ТОВАРИЩЕСТВО С ОГРАНИЧЕННОЙ ОТВЕТСТВЕННОСТЬЮ «АМАНГЕЛЬДЫ ГАЗ ТОВАРИЩЕСТВО С ОГРАНИЧЕННОЙ ОТВЕТСТВЕННОСТЬЮ «ПРОЕКТНЫЙ ИНСТИТУТ «ОРТІМИМ»

УТВЕРЖДАЮ:
первый заместитель
Генерального директора
ТОО «Амангельды газ»
С.Н. Ислямов
« » _____2021 г.

ПРОЕКТ РАЗРАБОТКИ МЕСТОРОЖДЕНИЯ АЙРАКТЫ по состоянию на 01.07.2021 г. Договор № 555708/2021/1

Генеральный директор
ТОО «Проектный институт «Optimum»

Б.К. Құрманов

СПИСОК ИСПОЛНИТЕЛЕЙ

| Руководитель службы разработки, ответственный исполнитель | | | | | |
|---|----------------------------|--|--|--|--|
| <u> Доруж</u> А.Н. Карайдарова | (разд. 1, 3, 4, 8) | | | | |
| Зам. генерального директора по науке | (общее руководство) | | | | |
| А.Е. Малютина | | | | | |
| Руководитель службы подсчета запасов | | | | | |
| К.М. Абекеева | (разд. 2, 10, п.разд. 8.2) | | | | |
| Главный специалист службы проектирования строительства | скважин | | | | |
| <i>Повесены</i> Ю.М. Кулиев | (разд. 7) | | | | |
| | | | | | |
| Руководитель службы охраны окружающей среды | | | | | |
| | (разд. 9) | | | | |
| | | | | | |
| Главный специалист службы петрофизики | | | | | |
| М.С. Овсеенко | (п.разд. 2.2, 2.4, 8.1) | | | | |
| Ведущий специалист службы подсчета запасов | | | | | |
| | (разд. 2, 10, п.разд. 8.1) | | | | |
| V | | | | | |
| Главный специалист службы техники и технологии добычи в | нефти и газа | | | | |
| Г.О. Цой | (разд. 6, 8) | | | | |
| | | | | | |
| Экономист службы разработки | | | | | |
| А.С. Мустафина | (разд. 5, 12, п.разд. 3.5) | | | | |
| Специалист службы оформления проектов | | | | | |
| ————————————————————————————————————— | (оформление отчета) | | | | |
| | ¥ | | | | |
| Специалист службы оформления проектов | | | | | |
| Баталова О.Н. | (оформление отчета) | | | | |



Құжат «Самұрық-Қязына» ӘАҚ» АҚ электронды порталымен құрылған Документ сформирован порталом электронных закупок АО «ФНБ «Самрук-Казына»



Приложение №2

к Договору №555708/2021/1 от 14.04.2021 г.

ТЕХНИЧЕСКАЯ СПЕЦИФИКАЦИЯ

по закупке 555708 способом Тендер путем проведения конкурентных переговоров

Лот № 1 (10 Р, 1976847)

Заказчик: Товарищество с ограниченной ответственностью "Амангельды Газ" Подрядчик: Товарищество с ограниченной ответственностью "Проектный институт "ОРТІМИМ"

1. Краткое описание ТРУ

| Наименование | Значение |
|---------------------------------------|---|
| Номер строки | 10 P |
| Наименование и краткая характеристика | Работы по технологическому проектированию |
| Дополнительная характеристика | Проект разработки месторождения Айракты |
| Г ОЛИЧЕСТВО | 1.000 |
| -диница измерения | |
| Место поставки | КАЗАХСТАН, г.Нур-Султан, район "Есиль", ул. Әлихан Бөкейхан,12 |
| Условия поставки | |
| Срок поставки | С даты подписания договора в течение 90 календарных дней |
| Условия оплаты | Предоплата - 0%, Промежуточный платеж - 100%, Окончательный платеж - 0% |

2. Описание и требуемые функциональные, технические, качественные и эксплуатационные характеристики

1.Основная задача закупаемых Работ:

На основе анализа и обобщения геолого-геофизических материалов, бурения, опробования, исследований пробуренных скважин, данных обработки и переинтерпретации сейморазведочных материалов МОГТ-3D, лабораторно-аналитических и других исследований, проведенных в рамках составления отчета «Пересчет запасов газа, конденсата и попутных компонентов по нижневизейскому горизонту (C1v1), оценка ресурсов углеводородов по 3-м горизонтам (C1sr, C1v2, C1t) месторождения Айракты» разработать «Проект разработки месторождения Айракты» в соответствии с п.1 Статьи 137 Кодекса «О недрах и недропользовании».

- 2.Объем закупаемых Работ:
- 2.1. Разработка «Проекта разработки месторождения Айракты».
- 2.2. Разработка проекта «Предварительная оценка воздействия на окружающую среду» (ПредОВОС) к «Проекту разработки месторождения Айракты».
- 2.3.Защита «Проекта разработки месторождения Айракты» на заседании Центральной комиссии по разведке и разработке месторождений углеводородов Республики Казахстан.
- 3. Техническое задание для разработки «Проекта разработки месторождения Айракты» представлено в Приложении №1 к Технической спецификации.
- 4. Требования к Подрядчику Работ:
- 4.1.Для сбора исходной геолого-технической информации Подрядчик должен командировать своих сотрудников в головной офис ТОО «Амангельды Газ» (г.Нұр-Сұлтан) и, при необходимости, на месторождение Айракты (Таласский район, Жамбылской области)
- 4.2.Заказчик на основе договора о конфиденциальности предоставляет Подрядчику необходимую существующую разрешительную документацию на пользование недрами и геолого-промысловую информацию.
- 4.3.При необходимости Подрядчик должен за свой счет провести дополнительные исследования кернового материала, оцифровку и переинтерпретацию материалов ГИС (геофизические исследования скважин) и обработку материалов ГДИС (газодинамические исследования скважин), в случае, если Исполнитель сомневается либо не согласен с качеством предоставляемого материала.
- 4.4.При получении государственной экологической экспертизы Подрядчик должен устранить все замечания эксперта, полученные в процессе рассмотрения проекта ПредОВОС.
- 4.5.Исполнитель должен устранить все замечания независимого эксперта Центральной комиссии по разведке и разработке месторождений углеводородов Республики Казахстан, полученные при в процессе рассмотрения «Проекта разработки месторождения Айракты».





Құжат «Самұрық-Қазына» ӘАҚ» АҚ электронды порталымен құрылған Документ сформирован порталом электронных зақупок АО «ФНБ «Самру к-Казына»



- 4.6.Подрядчик должен своими силами произвести защиту «Проекта разработки месторождения Айракты» на заседании Центральной комиссии по разведке и разработке месторождений углеводородов Республики Казахстан для получения согласования государственной экспертизы.
- 4.7.Подрядчик должен обеспечить участие ответственных исполнителей при защите на НТС Заказчика и Заседании Центральной комиссии по разведке и разработке месторождений углеводородов Республики Казахстан.
- 5.Порядок рассмотрения и сдачи результатов Работ:
- 5.1.«Проект разработки месторождения Айракты» должен быть рассмотрен на научно-техническом совете (HTC) ТОО «Амангельды Газ» с участием Подрядчика.
- 5.2.После принятия на НТС ТОО «Амангельды Газ» «Проект разработки месторождения Айракты» направляется на получение государственной экологической экспертизы.
- 5.3.После получения согласования государственной экологической экспертизы «Проект разработки месторождения Айракты» направляется на включение рассмотрения на заседание Центральной комиссии по разведке и разработке месторождений углеводородов Республики Казахстан.
- 5.4.Подрядчик должен устранить все замечания независимых экспертов, назначенных оператором независимой экспертизы базовых проектных документов и анализов разработки.
- 5.5.Защита «Проекта разработки месторождения Айракты» на заседании Центральной комиссии по разведке и разработке месторождений углеводородов Республики Казахстан.
- 5.6.Подрядчик передает «Проект разработки месторождения Айракты» Заказчику после утверждения на заседании Центральной комиссии по разведке и разработке месторождений углеводородов Республики Казакстан и выдачи Протокола ЦКРР РК на бумажном носителе (3 экземпляра), на электронном носителе (CD-R) в форматах. doc, .xls, .pdf, .cdr, .jpeg, .cps, .las со всеми приложениями с составлением Акта приёма-передачи оказанных услуг, подтверждающего отсутствие претензий между Заказчиком и Подрядчиком.
- 6.Сроки выполнения Работ:
- 6.1В течение 90 календарных дней с даты подписания Договора.
- 6.2.Сроки процедур согласования «Проекта разработки месторождения Айракты» на заседании Центральной комиссии по разведке и разработке месторождений углеводородов Республики Казахстан вне компетенции Сторон.
- 6.3.В части взаиморасчетов Договор действует до полного исполнения обязательств Сторонами по Договору.

7. Место выполнения Работ:

Работы должны быть оказаны Заказчику по адресу: г.Нұр-Сұлтан, ул. Әлихан Бөкейхан, 12.

8.3а дополнительной информацией обращаться в ТОО «Амангельды Газ», г. Нұр-Сұлтан, тел.: 8-7172-55-23-15 (0520, 0521).

3. Нормативно-технические документы

| № п/п | Наименование | | | | |
|----------|---|--|--|--|--|
| 1 | «Методические рекомендации по составлению проектов разработки газовых и газоконденсатных месторождений», утвержденные Приказом Министерства энергетики Республики Казахстан от 24 августа 2018 года №329. | | | | |
| 2 | Кодекс РК «О недрах и недропользовании» от 27 декабря 2017 года № 125-VI ЗРК (с изменениями и дополнениями); | | | | |
| | «Единые правила по рациональному и комплексному использованию недр», утвержденные Приказом Министра энергетики Республики Казахстан от 15 июня 2018 года №239 (с изменениями и дополнениями); | | | | |
| 4 | «Экологический кодекс Республики Казахстан» от 9 января 2007 года № 212-Ш (с изменениями и дополнениями); | | | | |

Приложение

Приложение №1 к ТС - ТЗ ПР м. Айракты (15.01.2021г).doc



РЕФЕРАТ

Отчет по договору №555708/2021/1 от 14.04.2021 г. «Проект разработки месторождения Айракты» по состоянию на 01.07.2021 г. состоит из 1 книги, 1 папки:

Книга текст отчета – содержит 244 страниц, включая 58 таблиц, 25 рисунков и 34 табличных приложений.

Папка – 20 графических приложений, на 20 листах, не секретно – 20.

Ключевые слова: МЕСТОРОЖДЕНИЕ, ГОРИЗОНТ, ГЕОЛОГИЧЕСКИЕ ЗАПАСЫ, ИЗВЛЕКАЕМЫЕ ЗАПАСЫ, ГАЗООТДАЧА, СКВАЖИНА, ДОБЫЧА ГАЗА И КОНДЕСАТА, ДЕБИТ, ПЛАСТОВОЕ И ЗАБОЙНОЕ ДАВЛЕНИЕ, ПРОМЫШЛЕННАЯ ЭКСПЛУАТАЦИЯ, РАЗРАБОТКА ЗАЛЕЖИ, ЭКОНОМИЧЕСКАЯ ЭФФЕКТИВНОСТЬ.

Цель работы – Выбор рациональной системы разработки газоконденсатной залежи месторождения Айракты.

На месторождении оконтурено 2 продуктивных горизонта, один в серпуховских отложениях (C_1 sr), второй - в нижневизейских.

Нижневизейский продуктивный горизонт. Залежь C_1v_1 при переинтерпретации сейсмики 3Д имееет блоковое строение (I, II, III), и с учетом литологической характеристике была разделена на 2 пачки: C_1v_1 -А и C_1v_1 -Б.

Серпуховский горизонт в основном, заглинизирован, только в единичных скважинах, выделяются пласты-коллекторы. Структура имеют блоковое строение (I, II, III).

Основными проектными решениями Проекта опытно-промышленной эксплуатации (по утвержденному варианту 1) являлись:

- Выделение одного объекта разработки нижневизейский горизонт;
- Технологический режим работы скважин при постоянном устьевом давлении на скважинах: (Руст=const) на каждый год в течение 5 лет, затем по 5 лет снижения устьевого давления по 1,0 МПа до конца разработки;
- Разработку газовых залежей месторождения Айракты планировалось осуществлять с 2017 года;
- Предусмотрено вести разработку объекта эксплуатации с использованием существующего фонда скважин (1Г, 6Г) и дополнительным бурением 9 новых проектных добывающих скважин с плотностью сетки 100 га/скв:

В 2019 г. выполнен «Анализ разработки месторождения Айракты», по утвержденному варианту 2 проектные технологические показатели приняты на 2019-2021 гг.



По состоянию на 01.07.2021 г. на месторождении Айракты пробурено 17 скважин, из 17 пробуренных 6 скважин ликвидированы. Во временной консервации находятся 2 скважины. Эксплуатационный фонд представлен 9 газовыми скважинами, из них одна скважина находится в бездействии.

По состоянию на 01.07.2021 года из месторождения отобрано 128,6 млн.м³ газа и 1,66 тыс.т конденсата.

В настоящем «Проекте разработки...» приведены геолого-физическая характеристика месторождения, физико-химические свойства пластовых флюидов, запасы газа и конденсата, проанализировано состояние фонда скважин, текущее состояние разработки и проведен расчет технологических показателей промышленной разработки по трем вариантам. Согласно технико-экономическому анализу к реализации рекомендован вариант 3.

По рекомендуемому варианту разработки рассмотрены вопросы техники и технологии добычи, бурения и освоения скважин, мероприятия по контролю за разработкой, доразведки месторождения, охраны недр и окружающей среды.

СОДЕРЖАНИЕ

| ВВЕДЕНИЕ | 16 |
|--|------------|
| 1 ОБЩИЕ СВЕДЕНИЯ О МЕСТОРОЖДЕНИИ | 18 |
| 2 ГЕОЛОГО-ФИЗИЧЕСКАЯ ХАРАКТЕРИСТИКА МЕСТОРОЖДЕНИЯ | 20 |
| 2.1 Характеристика геологического строения месторождения | 20 |
| 2.2 Характеристика толщин, коллекторских свойств продуктивных горизонтов и их неоднородность | 128 |
| 2.2.1 Характеристика коллекторских свойств по керну и ГИС | |
| 2.3 Свойства и состав газа, конденсата и воды | |
| 2.3.1 Газоконденсатная характеристика залежей | |
| 2.3.2 Состав пластового газа, газа сепарации и сырого конденсата | |
| 2.3.3 Свойства и фракционный состав стабильного конденсата | |
| 2.3.4 Состав газа с устья скважин | |
| 2.3.5 Характеристика сырого конденсата | |
| 2.3.6 Гидрогеологические исследований | |
| 2.4 Физико-гидродинамическая характеристика | |
| 3 ПОДГОТОВКА ГЕОЛОГО-ПРОМЫСЛОВОЙ И ТЕХНИКО-ЭКОНОМИЧЕСКОЙ ОСНОВ | ы для |
| ПРОЕКТИРОВАНИЯ РАЗРАБОТКИ | |
| 3.1 Анализ результатов газогидродинамических исследований скважин и пластов, характеристика и продуктивности и режимов | x 59 |
| 3.2. Анализ текущего состояния разработки месторождения | 75 |
| 3.2.1 Анализ структуры фонда скважин и текущих дебитов, технологических показателей разработки | 75 |
| 3.2.2 Анализ выработки запасов углеводородов и текущего состояния разработки | |
| 3.3 Обоснование принятых расчетных геолого-физических моделей пластов | |
| 3.3.1 Обоснование расчетных геолого-физических моделей пластов-коллекторов, принятых с | |
| расчета технологических показателей разработки | |
| 3.3.2 Обоснование выделения объектов разработки | |
| 3.3.3 Обоснование расчетных вариантов разработки и их исходные характеристики | |
| 3.4 Обоснование нормативов капитальных вложений и эксплуатационных затрат, принятых для рас экономических показателей | |
| экономических показателей 4 ТЕХНОЛОГИЧЕСКИЕ И ТЕХНИКО-ЭКОНОМИЧЕСКИЕ ПОКАЗАТЕЛИ ВАРИАНТОВ | 99 |
| РАЗРАБОТКИ | 103 |
| 4.1 Технологические показатели вариантов разработки | 103 |
| 4.2 Экономические показатели вариантов разработки | |
| 4.3 Анализ расчетных коэффициентов извлечения газа и конденсата | 135 |
| 5 ТЕХНИКО-ЭКОНОМИЧЕСКИЙ АНАЛИЗ ПРОЕКТНЫХ РЕШЕНИЙ | 136 |
| 5.1 Технико-экономический анализ вариантов разработки, обоснование выбора рекомендуемого к | |
| утверждению варианта | 136 |
| 6 ТЕХНИКА И ТЕХНОЛОГИЯ ДОБЫЧИ ГАЗА И КОНДЕНСАТА | 138 |
| 6.1 Обоснование выбора устьевого и внутрискважинного оборудования. Характеристика показателе эксплуатации скважин | |
| 6.2 Мероприятия по предупреждению и борьбе с осложнениями при эксплуатации скважин и промы | |
| объектов | |
| 6.3 Рекомендации к системе сбора и промысловой подготовки продукции скважин | |
| 6.4 Рекомендации к разработке программы по переработке (утилизации) газа | |
| 7 РЕКОМЕНДАЦИИ К КОНСТРУКЦИЯМ СКВАЖИН И ПРОИЗВОДСТВУ БУРОВЫХ РАБ МЕТОДАМ ВСКРЫТИЯ ПЛАСТОВ И ОСВОЕНИЯ СКВАЖИН | ЮT, |
| 7.1 Рекомендации к конструкциям скважин и производству буровых работ | |
| 7.2 Требования к методам вскрытия продуктивных пластов и освоения скважин | |
| 8 КОНТРОЛЬ ЗА РАЗРАБОТКОЙ ПЛАСТОВ, СОСТОЯНИЕМ И ЭКСПЛУАТАЦИЕЙ СКВА | и И НИЖ |
| СКВАЖИННОГО ОБОРУДОВАНИЯ | 166 |
| 8.1 Комплекс промыслово-геофизических исследований скважин | 166 |
| 8.2 Контроль за состоянием и эксплуатацией скважин и скважинного оборудования | 170 |
| 8.3 Газодинамические и газоконденсатные исследования | |
| 9 ОХРАНА НЕДР И ОКРУЖАЮЩЕЙ СРЕДЫ | 174 |



| 10 МЕРОПРИЯТИЯ ПО ДОРАЗВЕДКЕ МЕСТОРОЖДЕНИЯ | 179 |
|--|-----|
| 11 ОПЫТНО-ПРОМЫШЛЕННЫЕ ИСПЫТАНИЯ НОВЫХ ТЕХНОЛОГИЙ И ТЕХНИ РЕШЕНИЙ | |
| 12 РАСЧЕТ СУММЫ ОБЕСПЕЧЕНИЯ ЛИКВИДАЦИИ ПОСЛЕДСТВИЙ НЕДРОПОЛ | |
| ТАБЛИЧНЫЕ ПРИЛОЖЕНИЯ | |

СПИСОК ТАБЛИЦ

| Таблица 2.2.1 – Характеристика толщин пластов-коллекторов по залежам | 28 |
|--|------|
| Таблица 2.2.2 – Статистические показатели характеристик неоднородности | 30 |
| Таблица 2.1.1.3 – Характеристика коллекторских свойств и газонасыщенности продуктивных горизонтов | 33 |
| Таблица 2.2.1.4 – Ряды распределения проницаемости по отложениям | 34 |
| Таблица 2.3.1 – Месторождение Айракты. Свойства пластового газа нижневизейского продуктивно горизонта по состоянию на 01.07.2021 г | |
| Таблица 2.3.2 – Состав пластового газа нижневизейского горизонта | 38 |
| Таблица 2.3.3 – Состав газа сепарации, дегазации, дебутанизации | 39 |
| Таблица 2.3.4 – Состав сырого конденсата | 41 |
| Таблица 2.3.5 – Физико-химическая характеристика стабильного конденсата нижневизейского горизонта | 43 |
| Таблица 2.3.6 – Состав газа отобранные с устья скважин | 44 |
| Таблица 2.3.7 – Компонентный состав сырого конденсата нижневизейского горизонта | 47 |
| Таблица 2.3.8 – Химический состав и физические свойства пластовых вод | 49 |
| Таблица 2.4.1 – Результаты эксперимента по определению капиллярного давления, полученные на образцах керна пачек ${f A}$ и ${f G}$ (${f C}_{1V1}$) | 51 |
| Таблица 2.4.3 – Петрофизическая характеристика образцов керна, использованных для определени фазовой проницаемости | |
| Таблица 2.5.1 – Месторождение Айракты. Подсчет начальных запасов газа и конденсата по состоян на 01.07.2020 г | |
| Таблица 2.5.2 – Месторождение Айракты. Подсчёт запасов этана, пропана, бутанов, гелий в газе по состоянию на 01.07.2021 г | |
| Таблица 3.1.1 – Данные исследования МУО скв. № 104 (11-13.01.2019 г.) | 69 |
| Таблица 3.1.2 – Данные расчета дебитов скв. № 104 | 69 |
| Таблица 3.1.3 – Результаты газодинамических исследований выполненных за анализируемый пери | |
| Таблица 3.2.1.1 – Характеристика фонда скважин по состоянию на 01.07.2021 г | |
| Таблица 3.2.1.2 – Распределение фонда скважин по дебитам газа на 01.07.2021 г | 76 |
| Таблица 3.2.1.3 – Сравнение проектных и фактических показателей опытно-промышленной эксплуатации месторождения Айракты | 86 |
| Таблица 3.2.2.1 – Начальные запасы газа и степень их выработки на 01.07.2021 г. Месторождение Айракты | 87 |
| Таблица 3.2.2.2 – Начальные запасы конденсата и степень их выработки на 01.07.2021 г. Месторождение Айракты | 87 |
| Таблица 3.3.2.1 – Исходная геолого-физическая характеристика эксплуатационных объектов месторождения Айракты | 93 |
| Таблица 3.3.3.1 – Основные исходные характеристики расчетных вариантов разработки | 95 |
| Таблица 3.3.3.2 – Предельно-допустимые величины и диапазоны изменений проектных показателе относимых к контрактным обязательствам | |
| - Таблица 3.4.1 – Технико-экономические нормативы капитальных вложений и эксплуатационных затрат | .100 |
| Таблица 3.4.2 – Нормативы для расчета эксплуатационных затрат | 101 |
| Таблица 3.4.3 – Нормативы для расчета эксплуатационных затрат, связанные с налогообложением ценой продукции | |
| | |



| Таблица 4.1.1 – Месторождение Айракты. Характеристика основного фонда скважин в целом по месторождению. Вариант 31 | 105 |
|---|-------------|
| Таблица 4.1.2 – Месторождение Айракты. Характеристика основных показателей разработки в цело по месторождению. Вариант 3 | |
| Таблица 4.1.3 – Месторождение Айракты. Характеристика основного фонда скважин по I объекту. Вариант 3 | L 07 |
| Таблица 4.1.4 – Месторождение Айракты. Характеристика основных показателей разработки по I объекту. Вариант 31 | L 08 |
| Таблица 4.1.5 – Месторождение Айракты. Характеристика основного фонда скважин по II объекту. Вариант 3 | 10 |
| Таблица 4.1.6 – Месторождение Айракты. Характеристика основных показателей разработки по II объекту. Вариант 31 | 11 |
| Таблица 4.1.7 – Технологические показатели разработки рекомендуемого варианта 3 по объектам1 | 13 |
| Таблица 4.2.1 – Расчет дохода от реализации продукции рекомендуемый 3 вариант, тыс.тенге1 | 16 |
| Таблица 4.2.2 – Капитальные вложения рекомендуемый 3 вариант, тыс.тенге1 | 18 |
| Таблица 4.2.3 – Расчет эксплуатационных затрат, включаемых в себестоимость продукции в рекомендуемом 3 варианте тыс.тенге | 122 |
| Таблица 4.2.4 – Эксплуатационные затраты, включаемые в расходы периода в рекомендуемом 3 варианте тыс.тенге | 24 |
| Таблица 4.2.5 – Расчет налогооблагаемого дохода в рекомендуемом 3 варианте, тыс.тенге | 26 |
| Таблица 4.2.6 – Расчет чистой прибыли в рекомендуемом 3 варианте, тыс.тенге | 28 |
| Таблица 4.2.7 – Расчет потоков денежной наличности в рекомендуемом 3 варианте, тыс.тенге | 130 |
| Таблица 4.2.8 – Расчет бюджетной эффективности 3 варианта разработки, тыс. тенге | 133 |
| Таблица 4.3.1 – Сопоставление утвержденных и расчетных коэффициентов извлечения газа и конденсата1 | 135 |
| Таблица 5.1.1 – Технико-экономические показатели основных вариантов разработки месторождения | |
| Таблица 6.1.1 – Компоновка колонны насосно-компрессорных труб | 42 |
| Таблица 6.2.1– Результаты гидравлического разрыва пласта добывающих скважин | 149 |
| Таблица 6.2.2 – Технологические параметры ГРП1 | 150 |
| Таблица 6.2.3 – Результаты опытно-промысловых работ по удалению жидкости с забоя с использованием пенно-ингибирующих шашек | 151 |
| Таблица 6.4.1 – Добыча и распределение газа на месторождении Айракты1 | 160 |
| Таблица 7.1.1 – Проектная конструкция для скважин №№ 108, 109, 111, 112, 113, 114, 115, 116 | 162 |
| Таблица 7.1.2 – Проектная конструкция скважина № 110 (горизонтальная) | 162 |
| Таблица 7.1.3 – Фактические конструкции расконсервируемых скважин №№4Г и 8Г1 | 163 |
| Таблица 8.3.1 – Комплекс исследований по контролю за разработкой1 | |
| | |
| Таблица 12.1 – Расчет удельного норматива отчислений в ликвидационный фонд | 184 |
| Таблица 12.2 – Расчет стоимости платежей в ликвидационный фонд по 3 варианту, тенге | |



СПИСОК РИСУНКОВ

| Рисунок 1.1 – Обзорная карта | 19 |
|--|-----|
| Рисунок 2.4.1 – Связь проницаемости с пористостью по залежам нижнего визея | 50 |
| Рисунок 2.4.2 – Кривые капиллярного давления,полученные на керне пачек C ₁ v ₁ -A и C ₁ v ₁ -Б | 52 |
| Рисунок 2.4.3 – Сопоставление остаточной водонасыщенности с а) пористостью и б) проницаемост | |
| Рисунок 2.4.5 – Относительные фазовые проницаемости в системе газ-вода по керну залежи А в скважинам 106 и залежи Б в скважине 107 | 54 |
| Рисунок 2.4.6 – Относительные фазовые проницаемости в системе газ-вода по керну залежи Б в скважине №101 | 55 |
| Рисунок 3.1.1 – Месторождения Айракты. График изменения пластового давления скважин по год | |
| Рисунок 3.1.2 – Месторождение Айракты. Падение пластового давления скважин по годам | 70 |
| Рисунок 3.2.1.1 – Динамика дебитов газа и конденсата по скважине 1Г | 76 |
| Рисунок 3.2.1.2 – Динамика дебитов газа и конденсата по скважине 6Г | 77 |
| Рисунок 3.2.1.3 – Динамика дебитов газа и конденсата по скважине 101 101 | 78 |
| Рисунок 3.2.1.4 – Динамика дебитов газа и конденсата по скважине 102 | 79 |
| Рисунок 3.2.1.5 – Динамика дебитов газа и конденсата по скважине 103 | 80 |
| Рисунок 3.2.1.6 – Динамика дебитов газа и конденсата по скважине 104 104 | 81 |
| Рисунок 3.2.1.7 – Динамика дебитов газа и конденсата по скважине 105 105 | 82 |
| Рисунок 3.2.1.8 – Динамика дебитов газа и конденсата по скважине 106 106 | 83 |
| Рисунок 3.2.1.9 – Динамика основных технологических показателей по месяцам в целом по месторождению | 84 |
| Рисунок 6.1.1 – Зависимость скорости потока от дебита газа на І объекте (Рзаб = 4,8 МПа) | 140 |
| Рисунок 6.1.2 – Зависимость скорости потока от дебита газа на І объекте (Рзаб = 3,7 МПа) | 141 |
| Рисунок 6.1.3 – Зависимость скорости потока от дебита газа на II объекте (Рзаб = 4,4 МПа) | 141 |
| Рисунок 6.1.4 – Зависимость скорости потока от дебита газа на II объекте (Рзаб = 3,6 МПа) | 142 |
| Рисунок 6.2.1 – Равновесные параметры гидратообразования | 147 |
| Рисунок 6.3.1 – Принципиальная схема ГСП месторождения Айракты | 157 |
| Рисунок 8.1 – Распределение пористости работающих и не работающих перфорированных толщина залежей А и Б | |
| Рисунок 11.1 – Предлагаемый профиль бурения горизонтальной скважины 110 110 | 181 |



СПИСОК ТАБЛИЧНЫХ ПРИЛОЖЕНИЙ

| Приложение 1 – Расчет дохода от продажи продукции по 1 варианту, в тыс. тенге | .189 |
|--|------|
| Приложение 2 – Расчет дохода от продажи продукции по 2 варианту, в тыс. тенге | .191 |
| Приложение 3 – Капитальные вложения 1 варианта, тыс.тенге | .193 |
| Приложение 4 – Капитальные вложения 2 варианта, тыс.тенге | .194 |
| Приложение 5 – Расчет эксплуатационных затрат, включаемых в себестоимость продукции в 1 варианте, тыс. тенге | .195 |
| Приложение 6 – Расчет эксплуатационных затрат, включаемых в себестоимость продукции во 2 варианте, тыс. тенге | .197 |
| Приложение 7 – Эксплуатационные затраты, включаемые в расходы периода в 1 варианте, тыс. те | |
| Приложение 8 — Эксплуатационные затраты, включаемые в расходы периода во 2 варианте, тыс. тенге | .201 |
| Приложение 9 – Расчет налогооблагаемого дохода в 1 варианте, тыс.тенге | .203 |
| Приложение 10 – Расчет налогооблагаемого дохода во 2 варианте, тыс.тенге | .205 |
| Приложение 11 – Расчет чистой прибыли в 1 варианте, тыс.тенге | .207 |
| Приложение 12 – Расчет чистой прибыли во 21 варианте, тыс.тенге | .209 |
| Приложение 13 – Расчет потоков денежной наличности в 1 варианте, тыс.тенге | .211 |
| Приложение 14 – Расчет потоков денежной наличности во 2 варианте, тыс.тенге | .213 |
| Приложение 15 – Расчет бюджетной эффективности 1 варианта разработки, тыс. тенге | .215 |
| Приложение 16 – Расчет бюджетной эффективности 2 варианта разработки, тыс. тенге | .217 |
| Приложение 17 – Расчет удельного норматива отчислений в ликвидационный фонд по 1 варианту, тыс.тенге | .219 |
| Приложение 18 – Расчет стоимости платежей в ликвидационный фонд по 1 варианту, тыс.тенге | .219 |
| Приложение 19 – Расчет удельного норматива отчислений в ликвидационный фонд по 2 варианту, тыс.тенге | |
| Приложение 20 – Расчет стоимости платежей в ликвидационный фонд по 2 варианту, тыс.тенге | .220 |
| Приложение 21 – Месторождение Айракты. Характеристика основного фонда скважин в целом по месторождению. Вариант 1 | .221 |
| Приложение 22 – Месторождение Айракты. Характеристика основных показателей разработки в целом по месторождению. Вариант 1 | .222 |
| Приложение 23 – Месторождение Айракты. Характеристика основного фонда скважин по I объект Вариант 1 | • |
| Приложение 24 – Месторождение Айракты. Характеристика основных показателей разработки по объекту. Вариант 1 | |
| Приложение 25 – Месторождение Айракты. Характеристика основного фонда скважин по II объект Вариант 1 | |
| - Приложение 26 – Месторождение Айракты. Характеристика основных показателей разработки по объекту. Вариант 1 | |
| Приложение 27 – Месторождение Айракты. Характеристика основного фонда скважин в целом по месторождению. Вариант 2 | .228 |
| Приложение28 – Месторождение Айракты. Характеристика основных показателей разработки в целом по месторождению. Вариант 2 | .229 |
| Приложение 29 – Месторождение Айракты. Характеристика основного фонда скважин по I объект Вариант 2 | • |
| Приложение 30 – Месторождение Айракты. Характеристика основных показателей разработки по объекту. Вариант 2 | |



| Приложение 31 – Месторождение Айракты. Характеристика основного фонда скважин по II объек Вариант 2 | |
|---|-----|
| - Приложение 32 – Месторождение Айракты. Характеристика основных показателей разработки по объекту. Вариант 2 | II |
| Приложение 33 – Сопоставление результатов интерпретации ГИС открытого ствола и ГИС по контролю | 236 |
| | 243 |



СПИСОК ГРАФИЧЕСКИХ ПРИЛОЖЕНИЙ

| № п/п | Название приложения | Номер прило- жения | Номер листа прило- жения | Масштаб прил. | Гриф ограни- чения доступа |
|----------|--|--------------------------|-----------------------------------|-----------------------------------|-------------------------------------|
| 1 | 2 | 3 | 4 | 5 | 6 |
| 1 | Месторождение Айракты. Структурная карта по отражающему горизонту I-P (подошва надсолевых отложений верхней перми) | 1 | 1 | 1:25000 | Не секретно |
| 2 | Месторождение Айракты. Структурная карта по отражающему горизонту Па (кровля подсолевых отложений нижней перми) | 2 | 2 | 1:25000 | Не секретно |
| 3 | Месторождение Айракты. Структурная карта по отражающему горизонту IIIк (кровля карбонатов серпуховского яруса) | 3 | 3 | 1:25000 | Не секретно |
| 4 | Месторождение Айракты. Структурная карта по отражающему горизонту IIId (подошва верхневизейских отложений) | 4 | 4 | 1:25000 | He секретно |
| 5 | Месторождение Айракты. Структурная карта по отражающему горизонту III (кровля нижневизейских отложений) | 5 | 5 | 1:25000 | He секретно |
| 6 | Месторождение Айракты. Структурная карта по отражающему горизонту IV (подошва турнейских отложений нижнего карбона) | 6 | 6 | 1:25000 | He секретно |
| 7 | Месторождение Айракты. Глубинный сейсмический разрез Inline 2248 | 7 | 7 | гор 1:25 000 верт. 1км=8см | Не секретно |
| | Месторождение Айракты. Глубинный сейсмический разрез Inline 2314 | 8 | 8 | гор 1:25 000 верт. 1км=8см | Не секретно |
| 9 | Месторождение Айракты. Глубинный сейсмический разрез Crossline 10367 | 9 | 9 | гор 1:25 000 верт. 1км=8см | Не секретно |
| 10 | Месторождение Айракты. Геолого-литологический профиль по линии I-I | 10 | 10 | верт. 1:1000 гориз. 1:25000 | Не секретно |
| | Месторождение Айракты. Геолого-литологический профиль по линии II-II | 11 | 11 | верт. 1:1000 гориз. 1:25000 | Не секретно |
| | Месторождение Айракты. Залежь C ₁ sr a) Структурная карта по кровле коллектора; | 12 | 12 | 1:25000 | Не секретно |



| | б) Карта эффективных газонасыщенных толщин. | | | | |
|----|--|----|----|---------|----------------|
| 13 | Месторождение Айракты. Залежь C ₁ v ₁ - A а) Структурная карта по кровле коллектора; б) Карта эффективных газонасыщенных толщин. | 13 | 13 | 1:25000 | Не секретно |
| 14 | Месторождение Айракты. Залежь C ₁ v ₁ - Б а) Структурная карта по кровле коллектора; б) Карта эффективных газонасыщенных голщин. | 14 | 14 | 1:25000 | Не секретно |
| 15 | Месторождение Айракты. Объект I а) Карта текущих отборов; б) Карта накопленных отборов. | 15 | 15 | 1:25000 | Не секретно |
| 16 | Месторождение Айракты. Объект I (нижневизейский горизонт C ₁ v ₁) Карта изобар | 16 | 16 | 1:25000 | Не секретно |
| 17 | Месторождение Айракты. Вариант 1 Карта пробуренных и проектных скважин а) Объект I; б) Объект II | 17 | 17 | 1:25000 | Не секретно |
| 18 | Месторождение Айракты. Вариант 2 Карта пробуренных и проектных скважин а) Объект I; б) Объект II | 18 | 18 | 1:25000 | Не секретно |
| 19 | Месторождение Айракты. Вариант 3 Карта пробуренных и проектных скважин а) Объект I; б) Объект II | 19 | 19 | 1:25000 | Не секретно |
| 20 | Месторождение Айракты. Фондовая карта | 20 | 20 | 1:25000 | Не секретно |



ВВЕДЕНИЕ 16

ВВЕДЕНИЕ

Недропользователем является ТОО «Амангельды Газ», который имеет контракт на совмещенную разведку и добычу углеводородного сырья с Министерством нефти и газа Республики Казахстан № 611 от 12.12.2000 г. (Дополнение №14 от 11.12.2018 г.). Срок действия контракта — 12.12.2031 г.

ТОО «Амангельды Газ» проводит работы на территории Жамбылской области в границах геологического отвода в пределах 44°14'17" - 44°10'00" северной широты и 71°24'00"- 71°21'00" восточной долготы. На территории геологического отвода расположено месторождение Айракты.

В пределах структуры Айракты первая глубокая скважина (1Г) с забоем 2751 м была пробурена в 1971-1972 гг, был получен промышленный приток газа из нижневизейской залежи, и открыто месторождение Айракты.

В 1981 году специалистами «КАЗНЕФТЕГАЗГЕОЛОГИЯ» составлен «Отчет по подсчету запасов природных газов месторождений Амангельды и Айракты в Мойынкумской впадине Чу-Сарысуйской депрессии по результатам работ за 1971-1981гг.».

В 2008 году специалистами ТОО "Казахская геофизическая компания" на месторождении Айракты были проведены детальные сейсморазведочные работы МОГТ-2D в объеме 85,860 пог.км. полной кратности. По кровле нижневизейских отложений размеры структуры по замкнутой изогипсе –1800 м составляют 5 х 5,5 км, амплитуда 90 м.

В соответствии с «Проектом оценочных работ на месторождении Айракты», составленным ТОО «Даке Барлау», была пробурена в 2013 году оценочная скважина 8, а также восстановлены ранее пробуренные скважины №№ 1, 4, и 6, в которых были получены притоки газа.

В 2014 году ТОО «НПЦ» выполнено и утверждено «Дополнение к проекту оценочных работ на месторождении Айракты» (протокол ЦКРР РК №49/31 от 11.07.2014 г.), с целью доизучения и уточнения геологического строения месторождения.

В 2015 году компанией ТОО «МКБ-АЛ» выполнен «Пересчет запасов газа, конденсата и попутных компонентов нижневизейского горизонта C_1v_1 месторождения Айракты» по состоянию на 02.01.2014 г. (протокол ГКЗ № 1531-15-У от 23.02.2015 г.), запасы которого легли в основу при составлении Проекта опытно-промышленной эксплуатации.

В 2015 году выполнен «Проект опытно-промышленной эксплуатации месторождения Айракты», составленный ТОО «Проектный институт «Optimum» и



ВВЕДЕНИЕ 17

утвержденный Комитетом Геологии и Недропользования Министерства по Инвестициям и Развитию Республики Казахстан (письмо № 27-5-2798-и от 23 декабря 2015 г.).

Месторождение Айракты вступила в опытно промышленную эксплуатацию согласно Дополнения №12 от 28.12.2017 г. к Контракту №611 от 12.12.2000 г. на совмещенную разведку и добычу углеводородного сырья.

В 2018 году составлен «Авторский надзор за реализацией проекта опытнопромышленной эксплуатации месторождения Айракты» выполнен ТОО «Проектный институт «ОРТІМИМ» в соответствии с договором № АГ-17-0925/1 от 25.09.2017 г. и согласно выданному ТОО «Амангельды Газ» техническому заданию.

В 2019 г. выполнен «Анализ разработки месторождения Айракты» составленный ТОО «Проектный институт «ОРТІМИМ» и утвержденный Министерством Энергетики Республики Казахстан (протокол ЦКРР РК №14/1 от 03-04 октября 2019 г.). По утвержденному варианту 2 проектные технологические показатели приняты на 2019-2021 гг.

В 2020 г. выполнен «Авторский надзор за реализацией анализа разработки месторождения Айракты» составленный по состоянию изученности на 01.07.2020 г. на основании договора между ТОО «Амангельды Газ» и ТОО «Проектный институт «ОРТІМUМ» за №389542/2020/1 от 14.02.2020 г.

В 2021 году ТОО «Проектный институт «ОРТІМИМ» был выполнен «Пересчет запасов газа, конденсата и попутных компонентов по нижневизейскому горизонту (C_1v_1), оценка ресурсов углеводородов по 3-м горизонтам (C_1sr , C_1v_2 , C_1t) месторождения Айракты, Жамбылской области Республики Казахстан» по состоянию изученности на 01.07.2020 г. (Протокол ГКЗ РК №2349-21-У от 11.10.2021 г.)

На основе «Пересчета запасов..» был составлен настоящий «Проект разработки месторождения Айракты» по договору №555708/2021/1 от 14.04.2021 г. между ТОО «Проектный институт «ОРТІМИМ» и ТОО «Амангельды Газ» согласно «Методическим рекомендациям по составлению проектов разработки...» [14] с учетом требований «Единых правил по рациональному и комплексному использованию недр» [13] и экологического кодекса [20]. В работе использованы фактические материалы, предоставленные геологической службой ТОО «Амангельды Газ».

1 ОБЩИЕ СВЕДЕНИЯ О МЕСТОРОЖДЕНИИ

В административном отношении месторождение Айракты находится в пределах Таласского района Жамбылской области Республики Казахстан, в 170 км к северу от г. Тараз и в 70 км к северо-востоку от месторождения азотно-гелиевого газа Ушарал-Кемпиртюбе. (рисунок 1.1).

Географически оно расположено в юго-западной части песков Мойынкум, которые в рассматриваемом районе занимают междуречье Чу и Таласа, с юго-запада примыкает предгорная равнина Малого Каратау, являющегося ветвью Большого Каратау.

Ближайший населенный пункт - село Уюк находится в 70 км к югу, у р. Таспас. С населенными пунктами месторождение Айракты соединяется грунтовыми дорогами, которые пригодны для движения только в летнее и морозное зимнее время. Асфальтированная шоссейная дорога соединяет областной центр Тараз с селами Акколь, Уюк и Уланбель.

Источниками водоснабжения непосредственно на площади месторождения являются колодцы и артезианские скважины, уровень воды в которых находится на глубине 10-20 м от устья. Водоносные горизонты палеогена залегают на глубине 160-220 м, содержат воду с минерализацией 3-5 г/л.

Строительный материал - гравий, песок в избытке имеется в русле реки Талас, протекающей в 75 км на юго-западе. Бутовый камень разрабатывается в 120 км на севере, у с.Уланбель. Непосредственно через площадь Амангельды проходит с юго-востока (от Жамбылской ГЭС) на северо-запад высоковольтная линия электропередач (ЛЭП) районного значения.

Климат района резко-континентальный с сухим жарким летом (до $+40^{\circ}$ C) и холодной (до -40° C) малоснежной зимой, продолжительность отопительного сезона 178 суток (с 15 октября по 15 апреля). Господствующее направление ветров - северо-восточное.





Рисунок 1.1 – Обзорная карта

2 ГЕОЛОГО-ФИЗИЧЕСКАЯ ХАРАКТЕРИСТИКА МЕСТОРОЖДЕНИЯ

2.1 Характеристика геологического строения месторождения

Первооткрывательницей месторождения является поисковая скважина 1, в которой в 1972 году при опробовании турнейских и нижневизейских отложении были получены промышленные притоки газа. На месторождении пробурено 17 скважин (1, 2, 3, 4, 5, 6 Γ , 7, 8, 10, 11, 101, 102, 103, 104, 105, 106, 107) общим метражом 39732 м.

Литолого-стратиграфическая характеристика. На месторождении пробуренными скважинами вскрыты палеозойские, мезозойские и кайнозойские отложения максимальной толщиной 2751 метра (скв. 1).

Палеозойская эратема – PZ

Девонская система – D

Нижний-средний отделы – D₁₋₂

Отложения девонской системы нижний-средний отделы относятся к фундаменту и вскрыты в скважине 1 в интервале 2695-2751 м и представлены красноцветными конгломератами, крупнообломочной брекчией гранит-порфиров, сланцев, аргиллитов, песчаников и алевролитов, крепкосцементированных кремнисто-железистым цементом. Перекрываются маломощной корой выветривания. Вскрытая толщина 56 м.

Верхний отдел – D₃

Фаменский ярус (D₃fm)

Отложения вскрыты в скважине 1 и представлены красноцветными неотсортированными, грубо-мелкозернистыми песчаниками и гравелитами.

В верхней части разреза преобладают мелкозернистые песчаники темно-серой окраски с включениями редких прослойков аргиллита и ангидрита.

Нижняя часть разреза представлена гравелитами с размером обломков 1-3 мм, кварцевого состава и полуокатанной формы. Толщина грубозернистой пачки 54 м. Цементирующей массой являются алевролиты, аргиллиты с примесью ангидрита. Вскрытая толщина отложений составляет 253 м.

Каменноугольная система - С

Отложения каменноугольной системы представлены нижним и средним-верхним отделами.

Нижний отдел – С1

Нижнекаменноугольные образования включают в себя турнейский, визейский и серпуховский ярусы.

Турнейский ярус (C1t)



Разрез представлен переслаиванием серых и пестроокрашенных песчаников, темносерых, чисто углистых аргиллитов и алевролитов.

Песчаники коричневые, темно-коричневые, мелкозернистые, кварц-полевошпатовые, на глинистом цементе, слабокарбонатные и окремненные.

Встречаются обломки коричневых аргиллитов.

Алевролиты и аргиллиты коричневые, прослоями зеленоватые, пятнистые, с включениями обуглившегося детрита и округлыми зелеными пятнами, с восстановленным железом в цементе. В породе повсеместно встречаются гнезда ангидрита и пирит. Толщина турнейских отложений 297 м.

Визейский ярус (С1v)

Самая нижняя часть разреза, относимая к нижневизейскому подъярусу (C_1v_1), сложена переслаивающимися пластами песчаников, алевролитов и аргиллитов. В основании разреза встречаются прослои углей и углистых аргиллитов.

Песчаники серые, бурые, мелко – среднезернистые, кварц-полевошпатовые, на глинистом и слабокарбонатном цементе.

Аргиллиты и алевролиты темно-серые, слабоизвестковистые, окремненные, пиритизированные.

К пластам песчаников в сводовой части структуры приурочена газовая залежь.

Толщина нижневизейских отложений колеблется от 72 м (скважина 101) до 91 м (скважина 102).

В отложениях нижневизейского яруса установлены продуктивные горизонты C_1v_1 - A и C_1v_1 -Б.

Средне-верхневизейские подъярусы (C_1v_{2-3}) представлены известняками серыми, темно-серыми, пелитоморфными, плотными, массивными, окремненными с редкими прослоями черных, тонкослоистых аргиллитов и ангидритов. Повсеместно встречаются желваки ангидритов, они приурочены к нижней части разреза и к прослойкам аргиллитов.

В основании средне-верхневизейского разреза имеется маркирующий слой ангидрита толщиной 5-6м.

Толщина средне-верхневизейских отложений варьирует от 309 м (скважина 3) до 326 м (скважина 11) и увеличивается в северном направлении.

Регионально к кровле нижневизейского яруса приурочен отражающий горизонт III, а к подошве верхневизейского яруса – отражающий горизонт IIId.

Серпуховский ярус (С18)



Разрез представлен темно-серыми, серыми, мелкозернистыми песчаниками, аргиллитами, известняками и мергелями, тонко переслаивающимися между собой.

Известняки серые, темно-серые, плотные, массивные, окремненные, с многочисленной фауной.

Аргиллиты темно-серые, зеленоватые, известковистые, с многочисленными желваками ангидрита и гнездами пирита.

Породы сильно ангидритизированы, а мергелистые пропластки доломитизированы. Песчано-алевритовые породы плотно сцементированы сульфатно-карбонатным материалом. В отложениях серпуховского яруса установлен продуктивный горизонт C1sr.

Толщина серпуховских отложений колеблется от 148 м (скважина 104) до 177 м (скважина 2). К кровле данного яруса приурочен отражающий горизонт IIIk.

Средний-верхний отделы - С2-3

В основании среднего карбона залегает переходная пачка пестроцветных аргиллитов, алевролитов, мергелей с прослойками песчаника (уровень башкирского яруса), на котором с незначительным размывом и скрытым угловым несогласием залегают красноцветные отложения, относимые к среднему-верхнему карбону. Толща среднеговерхнего карбона литологически сложена песчаниками и алевролитами с редкими косыми, тонкими линзами аргиллитов темно-коричневой окраски. Среди алевролитов часты включения рассеянных желваков ангидрита.

Толщина отложений среднего-верхнего отделов меняется от 324 м (скважина 107) до 369 м (скважина 102).

Пермская система – Р

Отложения пермского возраста представлены двумя отделами – нижним и верхним, которые резко отличаются по своим литологическим характеристикам.

Нижний отдел – Р1

Нижний отдел разделяется на три толщи: нижняя — соленосно-глинистая толща, средняя - песчано-глинистая и верхняя соленосная — переслаивание терригенных отложений с прослоями галита.

Нижняя — соленосно-глинистая толща залегает согласно на подстилающих отложениях и представлена красно-бурыми аргиллитами с частыми маломощными прослойками алевролитов, каменной соли. Вся толща сильно засолонена и порой на крыльях структуры переходит в глинисто-соленосную толщу (скважины №№ 3, 10). В разрезе частично присутствуют и сероцветные аргиллиты и сульфатизированные



известковисто-глинистые породы, которые характерны для более глубоководной и восстановительной среды. Толщина изменяется от 155 м до 213 м.

Средняя — песчано-глинистая толща представлена переслаиванием аргиллитов и мелкозернистых песчаников. На всей площади в этой толще четко прослеживаются три литологически близкие пачки. Верхняя и нижняя пачки более глинистые, песчаные разности присутствуют в виде микрослоев. Средняя пачка более песчанистая. Толщина изменяется от 194 м до 260 м.

Верхняя — соленосная толща представлена переслаиванием каменной соли, тонкослоистых, плотных аргиллитов с обилием включений сульфатов по прожилкам и трещинам и ангидритов красновато-коричневых, плотных, окремненных, на глинистосульфатном и галитовом цементе. Толщина изменяется от 140 м до 378 м.

Регионально выделяются отражающие горизонты IIa и I-P, которые связаны с подошвой и размытой поверхностью нижнепермских отложений.

Верхний отдел – Р2

Толща верхней перми на подстилающих породах залегает с размывом и резким угловым несогласием и представлена переслаиванием коричнево-красных, плотных, тонкослоистых алевролитов и песчаников на глинисто-сульфатном цементе. Нижняя часть разреза характеризуется многочисленными мелкими кристаллами ангидрита, а верхняя — гнездами и тонкими прослоями белого волокнистого гипса. Толщина верхнепермских отложений изменяется от 292 м до 473 м.

Мезозойская-кайнозойская эратемы – MZ-KZ

Мезозойско-кайнозойские отложения перекрывают чехлом всю площадь месторождения с угловым несогласием.

Данный комплекс представлен верхнемеловыми и палеоген-четвертичными отложениями. Первые из них сложены зеленовато-серыми глинами и алевролитами с редкими пластами песчаников, которые вверх по разрезу сменяются на красноцветные и сероцветные разности. Палеоген-неогеновые и четвертичные осадки представлены песчаниками, глинами, суглинками, пестроцветной окраски. Толщина отложений колеблется от 280 м до 340 м.

В тектоническом отношении структура Айракты расположено в юго-восточной части Миштинского прогиба, Мойынкумской впадины, являющейся структурой II порядка в северо-восточной части Шу-Сарысуйской депрессии.

2008 году ТОО «Казахской геофизической компанией» были проведены сейсморазведочные работы МОГТ-2Д и построены структурные карты масштаба 1:25000



по основным отражающим горизонтам. В 2016 году компанией ТОО «Геоком LTD» были проведены полевые сейсморазведочные работы в объеме 93,08 км², обработка и интерпретация полевого материала выполнена компанией ТОО - «Profesional Geo Solutions Kazakhstan» (2017г).

В 2020 году был составлен отчет «Проведение повторной переинтерпретации материалов сейсморазведочных работ и синхронной инверсии сейсмических данных месторождения Айракты». В результате переинтерпретации были получены структурные построения по отражающим горизонтам:

- І-Р (подошва надсолевых отложений верхней перми);
- Иа (кровля подсолевых отложений нижней перми);
- IIIk (кровля карбонатов серпуховского яруса);
- IIId (подошва верхневизейских отложений);
- III (кровля нижневизейских отложений);
- IV (подошва турнейских отложений).

Ниже приведено описание строения структуры по основным отражающим горизонтам, которые взяты за основу при построении структурных поверхностей по кровле коллектора.

Отражающий горизонт **IIIk**. Свод структуры оконтуривается по изогипсе -1300 м, минимальная отметка в своде составляет -1230 м. Структура осложнена малоамплитудными тектоническими нарушениями F1, F2, F3, f2 и данные нарушений делят структуру на четыре блока I, II, III и IV. Свод структуры расположен в районе скважин 1. В разрезе этих отложений выделен продуктивный горизонт C₁sr.

По поверхности **III** отражающего горизонта структура Айракты выделяется как брахиантиклинальналь субмеридионального простирания, малоамплитудными тектоническими нарушениями F1 северо-восточного и в северной части северо-западного простирания. В разрезе этих отложений выделен продуктивный горизонт C_1v_1 , которые делится на две пачки A и Б.

Газоносность. По результатам бурения, переинтерпретации материалов ГИС и опробования скважин на месторождении оконтурено 2 продуктивных горизонта, один в серпуховских отложениях (C_1 sr), второй - в нижневизейских. В свою очередь в нижневизейском горизонте выделяется две пачки (A и B), с которыми связаны одноименные залежи (C_1 v₁-A, C_1 v₁-B).

Серпуховский горизонт в основном, заглинизирован, только в единичных скважинах, выделяются пласты-коллекторы. В скважинах 8 и 107, коллекторы



газонасыщенные, а в скважине 104 пласты водоносные. Структура имеют блоковое строение (I, II, III).

<u>Блок II.</u> В скважине 8 по данным ГИС пласты-коллекторы продуктивны до отметки -1420,2 м, с отметки -1426,7 м пласт водонасыщенный. Таким образом, ГВК принят на отметке -1420,0 м. В 2013г при опробовании пласта совместно с верхневизейским горизонтом в интервале 2074-2088м, 1791-1783м, 1780-1775м, 1772-1769м (-1706-1720, -1423-1415, -1412-1407, -1404-1401м) был получен слабый приток газа. В июле 2014 года в качестве метода интенсификации притока в скважине применен гидравлический разрыв пласта (ГРП), в результате получен приток газа дебитом 6,5 тыс.м³/сут через 5 мм штуцер.

<u>Блок III.</u> В скважине 107 по данным ГИС подошва продуктивного пласта отмечается на отметке -1388,8 м, с отметки -1390,0 м пласт водоносный. Таким образом, ГВК в данном блоке принят на отметке -1388,8 м.

В 2021г в скважине 107 при опробовании пласта в интервале 1685,0-1688,0м, 1706,0-1710,0м, 1713,5-1717,5м, 1758,0-1766,0м (-1306,6-1309,6, -1327,6-1331,6, -1335,1-1339,1, -1379,6-1387,6м) был получен не промышленный приток газа.

Залежь C_1 sr пластовая, полусводовая, тектонически- и литологически- экранированная.

Нижневизейский продуктивный горизонт. Общая толщина горизонта варьирует от 72 м (скважина 101) до 91 м (скважина 102). По разрезу прослеживается от 3 (скважины 11) до 8 (скважина 4, 6, 104) пластов-коллекторов. Залежь C_1v_1 при переинтерпретации сейсмики 3Д имееет блоковое строение (I, II, III), и с учетом литологической характеристике была разделена на 2 пачки: C_1v_1 -А и C_1v_1 -Б.

<u>Залежь C_1v_1 -А</u> вскрыта всеми пробуренными скважинами и имеет распространение в пределах трех блоков.

В пределах <u>І блока</u> пробурены две скважины 2 и 102, в пределах <u>ІІ блока</u> – одинадцать скважин 1, 4, 6 Γ ,7, 8, 11, 101, 103, 104, 105 и 106, в пределах <u>ІІІ блока</u> – одна скважина 107.

Эффективная газонасыщенная толщина колеблется от 1,8 (скв. 8) до 23,4 м (скв. 104), среднее значение составляет 7,8 м. Коэффициент расчленения равен 2,57, коэффициент песчанистости составил 0,59.

<u>Блок І.</u> Скважина 2 пробурена на севере структуры, по материалам ГИС в разрезе выделяется один продуктивный пласт-коллектор толщиной 4,0 м, подошва находится на абсолютной отметке -1809,6 м, водонасыщенный пласт отмечается с отметки -1814,0м.



Таким образом, ГВК в этом районе принят на отметке -1810 м. Скважина опробована, в результате получен слабый непромышленный приток газа.

В эксплуатационной скважине 102 по данным ГИС выделены четыре газонасыщенных коллектора, подошва нижнего установлена на абсолютной отметке - 1790,1 м, которая принята за отметку УГВК в этом районе -1790 м.

В январе 2018 года при совместном перфорации с нижележащей залежью C_1v_1 -Б интервалов 2130-2134м, 2143-2148м, 2154-2161м, 2163-2169м, 2183-2190м (-1759,8-1763,8м, -1772,8-1777,8м, -1783,8-1790,8м, -1792,8-1798,8м, -1812,8-1819,8м) в скважине 102 получен приток газа с первоначальным дебитом 52,7 тыс.м³/сут.

<u>Блок II.</u> Продуктивность в данном блоке доказана опробованием скважин 1, 4, 6 Γ , 7, 11, 101, 103, 104, 105 и 106.

В период 1973-1975гг в скважинах 1, 6Γ и 11 при опробовании получили промышленные притоки газа с дебитом 21,2 тыс.м³/сут, 10 тыс.м³/сут и 8,27 тыс.м³/сут соответственно.

Скважина 7 в июле 1974 г опробована совместно с залежью C_IV_I -E в интервале 2136-2140м, 2154-2166м (-1758,7-1762,7м, -1776,7-1788,7м), в результате получили на устье слабое выделение газа. В том же году в августе месяце провели дострел в интервале 2128-2136м, 2150-2156м, 2165-2170м (-1750,7-1758,8м, -1772,7-1778,7м, -1787,7-1792,7м), но положительных результатов не получили.

Скважина 4 в январе 1980 г опробована совместно с залежью *С₁t* в интервале 2104 - 2223 м (-1730,9 -1849,9м), в результате получили на устье слабое выделение газа. Позже в марте месяце 1980 г при опробовании в интервале 2092 - 2137 м (-1718,9 -1763,9 м) получили слабый приток газа. Затем в период 11.05-06.06.1980г.г. провели гидропескоструйную перфорацию, но увеличение притока не наблюдалось. В том же году в июне месяце провели глинокислотную обработку, но приток не увеличился. В период 17.04-26.04.2011г.г. при опробовании в интервале 2092-2135м (-1718,9 -1761,9 м) получен незначительный выход газа с водой.

Скважина 8 в октябре 2013 г опробована совместно с залежью C_IV_I -E в интервале 2120-2134 м, 2144-2158м (-1752-1766м, -1776-1790м), в результате получили приток пластовой воды.

В период 2017-2020 гг в эксплуатационых скважинах 101, 103, 104, 105 и 106 при перфорации были получены промышленные притоки газа.



Во всех скважинах в данном блоке по комплексу ГИС выделены только газонасыщенные пласты, наиболее низкая отметка газонасыщенного пласта -1778,6 м установлена в скважине 11. Эта отметка принята за условный ГВК -1779 м.

<u>Блок III.</u> УГВК залежи в этом блоке принят по подошве нижнего продуктивного пласта на отметке -1734,0 м в скважине 107. Суммарная эффективная газонасыщенная толщина составляет 2,3м.

При перфорации в скважине 107 из интервала 2101-2105м, 2110-2113м, 2114-2119м (-1722,5 -1726,5м, -1731,5 -1734,5м, -1735,5 -1740,5м) получили приток пластовой жидкости и слабый выход газа.

Залежь C_{IVI} -A пластовая, сводовая, тектонически-экранированная.

<u>Залежь C_1v_1 -Б</u> вскрыта всеми пробуренными скважинами, также разбита тектоническими нарушениями на три блока. Эффективная газонасыщенная толщина колеблется от 1,3 м (скв. 11) до 16,2 м (скв. 6 Γ), среднее значение составляет 6,5 м. Коэффициент расчленения равен 3,15, коэффициент песчанистости составил 0,51.

Залежь <u>І блока</u> оконтурена по результатам бурения двух скважин 2 и 102, в скважине 102 вскрыты газонасыщенные коллекторы, в скважине 2- водонасыщенные.

При опробовании в скважине 2 из интервала 2178-2191м (-1823-1836м) получили приток воды. По комплексу ГИС водонасыщенный пласт фиксируется с отметки -1830,8 м.

По геофизическим кривым в скважине 102 выделяется четыре газонасыщенных коллектора толщинами 1,3 м, 4,7 м, 2,0 м и 4,7 м до отметки -1819,1 м. УГВК в районе скважины 102 принят на отметке -1819,0 м по подошве продуктивного пласта.

<u>Блок II.</u> Продуктивность в этом блоке доказана опробованием скважин 1, 4, 6, 7, 11, 101, 103, 104, 105 и 106.

Во всех скважинах по комплексу ГИС выделены только газонасыщенные пласты, наиболее низкая отметка газонасыщенного пласта -1804,4 м установлена в скважине 105. Эта отметка принята за условный ГВК залежи -1804 м.

<u>Блок III.</u> По данным ГИС в скважине 107 подошва продуктивного пласта установлена на абсолютной отметке -1752,8 м, а кровля водонасыщенного пласта фиксируется на отметке -1755,7 м. ГВК в данном блоке принят на отметке -1753 м.

При перфорации в скважине 107 из интервала 2128-2132м, 2134-2141м, 2151-2155м (-1749,6 -1753,6м, -1755,6 -1762,6м, 1772,6 -1776,6м) получили приток пластовой жидкости и слабый выход газа.

Залежь C_1v_1 -E пластовая, сводовая, тектонически-экранированная.



2.2 Характеристика толщин, коллекторских свойств продуктивных горизонтов и их неоднородности

Промыслово-геофизические исследования выполнены во всех 17 скважинах, пробуренных на месторождении Айракты.

В данном отчете рассматриваются результаты промыслово-геофизических исследований 16 скважин: $1, 2, 3, 4, 6\Gamma, 7, 8, 10, 11, 101, 102, 103, 104, 105, 106, 107$. Данные комплекса ГИС по скважине 5 утеряны.

Характеристика общих, эффективных, газонасыщенных толщин коллекторов по залежам месторождения представлена в таблице 2.2.1.

Как видно из таблицы 2.2.1 максимальное среднее значение общей толщины пластов-коллекторов установлено по залежи C_1 sr (29,6 м), из нижневизейских залежей наиболее высокое среднее значение общей толщины установлено по залежи C_1 v₁-A (15,4 м).

Наибольшие эффективные толщины отмечаются в серпуховском горизонте и составляют в среднем 9,2 м.

Наименьшее среднее значение газонасыщенной толщины равной 5,6 м имеет залежь C_1 sr. Максимальная средняя газонасыщенная толщина равная 7,6 м отмечается в нижневизейской залежи C_1 v₁-A.

Показатели неоднородности пластовых резервуаров, с которым связаны залежи, коэффициенты распространения коллекторов, песчанистости и расчлененности продуктивного разреза, приведены в таблице 2.2.2.

Таблица 2.2.1 - Характеристика толщин пластов-коллекторов по залежам

| | | | | Зоны на | Зоны насыщения | | |
|---------|------|-----------------------|------------------------|---------|------------------|---------|--|
| Залежь | Блок | Толщина | Наименование | газовая | газо- водяная | В целом | |
| 1 | 2 | 3 | 4 | 5 | 6 | 7 | |
| | | | Средняя, м | - | 35,8* | 35,8* | |
| | | Общая | Коэф. вариации, д. ед. | - | | - | |
| | | | Интервал изменения, м | - | - | - | |
| | | | | | 13,0 | | |
| | II | Эффективная | | | - | - | |
| | | | Интервал изменения, м | м | | - | |
| | | Горо | Средняя, м - 8,4* | | 8,4* | 8,4* | |
| C_1sr | | Газо- насыщенная - | Коэф. вариации, д. ед. | - | - | - | |
| | | | Интервал изменения, м | - | - | - | |
| | III | | Средняя, м | | 23,3* | 23,3* | |
| | | Общая | Коэф. вариации, д. ед. | | - | - | |
| | | | Интервал изменения, м | | - | - | |
| | | | Средняя, м | | 4,7* | 4,7* | |
| | | Эффективная | Коэф. вариации, д. ед. | | - | - | |
| | | | Интервал изменения, м | | - | - | |



| | ние табли | _ [| | | | |
|---------------------------|-----------|----------------------|------------------------|----------|-----------|-------------|
| 1 | 2 | 3 | 4 | 5 | 6 | 7 |
| | | Газо- | Средняя, м | | 2,8* | 2,8* |
| | III | насыщенная | Коэф. вариации, д. ед. | | - | - |
| | | , | Интервал изменения, м | | - | - |
| | | | Средняя, м | - | 29,6 | 29,6 |
| | | Общая | Коэф. вариации, д. ед. | - | 0,045 | 0,045 |
| C_1sr | | | Интервал изменения, м | - | 23,3-35,8 | 23,3-35,8 |
| 0101 | Итого по | | Средняя, м | - | 9,2 | 9,2 |
| | залежи | ∷Эффективная | Коэф. вариации, д. ед. | - | 0,171 | 0,171 |
| | | | Интервал изменения, м | - | 5,4-13,0 | 5,4-13,0 |
| | | Газо- | Средняя, м | - | 5,6 | 5,6 |
| | | насыщенная | Коэф. вариации, д. ед. | - | 0,250 | 0,250 |
| | | | Интервал изменения, м | - | 2,8-8,4 | 2,8-8,4 |
| | | _ | Средняя, м | 30,5* | 12,2* | 21,4 |
| | | Общая | Коэф. вариации, д. ед. | - | - | 0,184 |
| | | | Интервал изменения, м | - | - | 12,2-30,5 |
| | | | Средняя, м | 11,2* | 7,0* | 9,1 |
| | I | Эффективная | Коэф. вариации, д. ед. | - | - | 0,053 |
| | | | Интервал изменения, м | - | - | 7,0-11,2 |
| | | Газо- | Средняя, м | 11,2* | 4,0* | 7,6 |
| | | насыщенная | Коэф. вариации, д. ед. | - | - | 0,224 |
| | | пасыщенная | Интервал изменения, м | - | - | 4,0-11,2 |
| | | <u> </u> | Средняя, м | 15,5 | - | 15,5 |
| | | Общая Эффективная | Коэф. вариации, д. ед. | 0,284 | - | 0,284 |
| | II | | Интервал изменения, м | 1,8-32,0 | - | 1,8-32,0 |
| | | | Средняя, м | 8,1 | - | 8,1 |
| | | | Коэф. вариации, д. ед. | 0,473 | - | 0,473 |
| | | | Интервал изменения, м | 1,8-23,4 | - | 1,8-23,4 |
| | | Газо- насыщенная | Средняя, м | 8,1 | - | 8,1 |
| | | | Коэф. вариации, д. ед. | 0,473 | - | 0,473 |
| C_1v_1 -A | | пасыщенная | Интервал изменения, м | 1,8-23,4 | - | 1,8-23,4 |
| CIVIII | | | Средняя, м | 2,3* | | 2,3* |
| | | Общая | Коэф. вариации, д. ед. | - | | - |
| | | | Интервал изменения, м | - | | - |
| | | <u> </u> | Средняя, м | 2,3* | | 2,3* |
| | III | Эффективная | Коэф. вариации, д. ед. | - | | - |
| | | | Интервал изменения, м | - | | - |
| | | Газо- | Средняя, м | 2,3* | | 2,3* |
| | | насыщенная | Коэф. вариации, д. ед. | - | | - |
| | | пасыщенная | Интервал изменения, м | - | | - |
| | | <u> </u> | Средняя, м | 14,4 | 12,2* | 15,4 |
| | | Общая | Коэф. вариации, д. ед. | 0,444 | - | 0,350 |
| | | | Интервал изменения, м | 1,8-32 | - | 1,8-32,0 |
| | Итого по | | Средняя, м | 7,6 | 7,0* | 7,8 |
| | залежи | Эффективная | Коэф. вариации, д. ед. | 0,584 | - | 0,448 |
| | залежи | | Интервал изменения, м | 1,8-23,4 | - | 1,8-23,4 |
| | | Газо- | Средняя, м | 7,6 | 4,0* | 7,6 |
| | | | Коэф. вариации, д. ед. | 0,584 | - | 0,490 |
| | | пасыщенная | Интервал изменения, м | 1,8-23,4 | - | 1,8-23,4 |
| | | | Средняя, м | 26,3* | | 26,3* |
| | | Общая | Коэф. вариации, д. ед. | - | | - |
| С. т | I | | Интервал изменения, м | - | | |
| C_1v_1 - \overline{b} | 1 | | Средняя, м | 12,7* | | 12,7* |
| | | Эффективная | Коэф. вариации, д. ед. | - | | |
| | I | | Интервал изменения, м | - | | - |



Продолжение таблицы 2.1.1

| продолже 1 | 2 | 3 | 4 | 5 | 6 | 7 |
|----------------|----------|---------------------|------------------------|----------|-------|----------|
| | I | Газо- насыщенная | Средняя, м | 12,7* | | 12,7* |
| | 1 | | Коэф. вариации, д. ед. | - | | - |
| | | | Интервал изменения, м | - | | - |
| | | Общая | Средняя, м | 13,0 | | 13,0 |
| | | | Коэф. вариации, д. ед. | 0,527 | | 0,527 |
| | | | Интервал изменения, м | 1,3-30,2 | | 1,3-30,2 |
| | | Эффективная | Средняя, м | 5,6 | | 5,6 |
| | II | | Коэф. вариации, д. ед. | 0,386 | | 0,386 |
| | 11 | | Интервал изменения, м | 1,3-13,5 | | 1,3-13,5 |
| | | Газо- насыщенная | Средняя, м | 5,6 | | 5,6 |
| | | | Коэф. вариации, д. ед. | 0,386 | | 0,386 |
| | | | Интервал изменения, м | 1,3-13,5 | | 1,3-13,5 |
| | | Общая | Средняя, м | | 12,2* | 12,2* |
| | | | Коэф. вариации, д. ед. | | - | - |
| C_1 v_1 -Б | | | Интервал изменения, м | | - | - |
| | III | Эффективная | Средняя, м | | 7,0* | 7,0* |
| | | | Коэф. вариации, д. ед. | | - | - |
| | | | Интервал изменения, м | | - | - |
| | | Газо- насыщенная | Средняя, м | | 2,2* | 2,2* |
| | | | Коэф. вариации, д. ед. | | - | - |
| | | | Интервал изменения, м | | - | - |
| | | | Средняя, м | 14,1 | 12,2* | 13,9 |
| | | Общая | Коэф. вариации, д. ед. | 0,478 | - | 0,452 |
| | | | Интервал изменения, м | 1,3-30,2 | = | 1,3-30,2 |
| | Итого по | | Средняя, м | 6,2 | 7,0* | 6,2 |
| | залежи | Эффективная | Коэф. вариации, д. ед. | 0,390 | = | 0,354 |
| | Sancakh | | Интервал изменения, м | 1,3-13,5 | - | 1,3-13,5 |
| | | Газо- | Средняя, м | 6,2 | 2,2* | 5,9 |
| | | насыщенная | Коэф. вариации, д. ед. | 0,390 | - | 0,431 |
| | | насыщенная | Интервал изменения, м | 1,3-13,5 | - | 1,3-13,5 |

^{* -} значение по одной скважине

Таблица 2.2.2 – Статистические показатели характеристик неоднородности

| | Кол-во скв., | Коэффи | | анистости, | | | | |
|----------------|-----------------------|-------------------|-----------|-----------------------|----------|-----------|----------------------|-----------------------------|
| | исполь- | | д.ед. | | д.ед. | | | Коэфф. |
| Залежь | зуемых для опреде- | среднее значе- | коэф. | интер- вал измене- | среднее | коэф. | интер-вал измене- | распрос- транения, д.ед. |
| | ления | ние | вариа-ции | ния | значение | вариа-ции | ния | грансиил, д.ед. |
| C_1 sr | 2 | 0,30 | 0,049 | 0,231-0,36 | 5,0 | - | 5,0-5,0 | 1,0 |
| C_1v_1-A | 14 | 0,59 | 0,168 | 0,328-1 | 2,64 | 0,217 | 1,0-5,0 | 1,0 |
| C_1 v_1 -Б | 13 | 0,51 | 0,271 | 0,194-1 | 3,38 | 0,142 | 1,0-6,0 | 1,0 |

Как видно из таблицы 2.2.2 среднее значение коэффициента песчанистости по залежам колеблется от 0,30 д. ед. (залежь C_1 sr) до 0,59 д.ед. (залежь C_1 v₁-A). Средний коэффициент расчлененности по залежам колеблется от 2,64 (залежь C_1 v₁-A) до 5,0 (залежь C_1 sr), наибольшее количество пропластков (до 6) отмечается в залежи C_1 v₁-Б.



2.2.1 Характеристика коллекторских свойств по керну и ГИС

Характеристика коллекторских свойств объектов разработки месторождения основана на результатах изучения керна, отобранного в 15 скважинах и интерпретации материалов ГИС по 16 скважинам.

Всего по месторождению изучено 1183 образца, из них непосредственно по разрезу серпуховского яруса 7 образцов и нижневивейскому подъярусу 903 образца

Для характеристики фильтрационно-ёмкостных свойств пород коллекторов залежей использованы определённые на образцах керна стандартные исследования (литологическое описание, пористость, проницаемость для газа, плотность зерен и объёмную, карбонатность, гранулометрический состав; специальные исследования: капиллярное давление, влияние давления на пористость и проницаемость, относительные фазовые проницаемости, минералогический состава пород методом XRD.

Для характеристики коллекторских свойств и коэффициента газонасыщенности по ГИС использованы результаты интерпретации по 16 скважинам. В том числе 7 скважин пробуренных после 2012 г, в которых запись ГИС выполнена в цифровом формате и наряду с комплексом общих исследований (КС, ПС, КВ, ГК,НГК) выполнен комплекс детальных исследований: многозондовый индукционый каротаж (ИК, Омм), проводимость (ИК, мСм), потенциал зонд (ПЗ), микрозондирование (МКЗ), микробоковой (МБК), акустический каротаж (АК), плотностной каротаж (ГГКП), компенсированный нейтронный каротаж (КНК), термометрия. При выделении коллекторов и разделении по характеру насыщения руководствовались прямыми признаками, основанными на проникновении фильтрата в пласт и по критическим значениям [11].

 C_1v_1 : Кп ≥ 0.08 д.ед, Кпр $\geq 0.35*10^{-3}$ мД, Кгл ≤ 0.20 д.ед., Кг ≥ 0.40 д.ед

C₁sr: Кп≥0,08д.ед, Кпр≥0,35*10⁻³ мД, Кгл≤0,15 д.ед., Кг≥0,40 д.ед.

Ниже приведена петрофизическая характеристика пород коллекторов на базе исследования керна и материалов ГИС по залежам серпуховского яруса и пачек A и Б нежневизейского подъяруса.

Залежь C₁sr (серпуховский ярус). Керн в пределах выделенных коллекторов не отобран. По описанию шлама отложения представлены неравномерным переслаиванием песчаников, известняков, аргиллитов. Коллекторами являются песчаники среднемелкозернистые, полимиктовые, зёрна полуокатанные, полуугловатые, умеренносортированные, цемент глинисто-карбонатный.

По результатам ГИС газонасыщенные коллекторы выделены в скважинах №8 и №107. В скважине №8 выделено четыре газонасыщенных пласта коллектора в общем



интервале 1764,5-1788,2 м (абс. отм -1395,2 - -1419,3 м) с пористостью от 0,12 д.ед до 0,35д.ед, коэффициентом газонасыщенности 0,57 и 0,73 д.ед. Кровля водоносного пласта на глубине 1794,7 м (абс. отм -1425.450 м); В скважине 107 три пласта коллектора с пористостью 0,08 - 0,14д.ед , коэффициентом газонасыщенности 0,53 д.ед.

Нижневизеский подъярус C_1v_1 представлен отложениями переслаивающихся песчаников, алевролитов, аргиллитов, углистых сланцев и углей. Овещен керном из 14 скважин (№№2, 3, 4, 6, 8, 10, 11, 101-107) и является наиболее изученным: отобрано 482,3 м керна, изучено 902 обр.

Залежь C_1v_1 , пачка А. Пачка представлена переслаиванием песчаников, алевролитов, аргиллитов, местами наблюдаются тонкие прослойки углистых сланцев и углей. Коллекторы пачки представлены песчаниками разного оттенка серыми, разнозернистыми, плохо сортированными, преимущественно кварцевыми, умеренно сцементированными, на глинисто-карбонатном цементе. порово-контактового типа, с хорошей видимой пористостью, с пропластками зеленых алевролитов, с включением зерен кальцита.

Из разреза пачки А отобрано 308,6 м (65.75 м) керна, изучено 468 образцов из 13 скважин, в том числе 159 образцов-коллекторов из 10 скважин. пористость которых изменяется от 0,08 до 0,20 д.ед., среднее значение 0,14 д.ед., проницаемость от 0,35 до 55.2*10⁻³ мкм², среднее значение проницаемости 1,91*10⁻³ мкм², содержание объёмной глинистости 8.5%, карбонатность в среднем составляет 6,05%.

По геофизическим исследованиям пористость газонасыщенных коллекторов изменяется от 0,10 до 0,28 д.ед. в среднем 0,17 д.ед., коэффициент газонасыщенности в диапазоне 0,40-0,83 д.ед., и в среднем равен 0,62 д.ед.

 C_1v_1 , пачка Б. Литологическая характеристика пачки Б аналогична отложениям пачки А. Можно отметить увеличение содержания углей особенно в нижней части пачки.

Отбор керна выполнен в 13 скважинах, вынос составил 273,1 м м, изучено 403 образца, на которых полностью или частично выполнен комплекс стандартных анализов. Из них 62 образца кондиционных, которые прошли граничный барьер по пористости и проницаемости. Для характеристики ёмкостных свойств были использованы также часть образцов с литологией песчаник и пористостью, объёмной глинистостью, карбонатностью соответствующих коллекторам, но без определений проницаемости. В результате пористость коллекторов была оценена по 164 образцам.

Пористость образцов - коллекторов изменяется от 0.08 до 0.19 д.ед., среднее значение составляет 0.11 д.ед. проницаемость от 0.35 до $13.9*10^{-3}$ мкм², содержание объёмной глинистости в среднем 8.5%, карбонатности около 5%.



По результатам интерпретации ГИС пористость пластов-коллекторов изменяется в диапазоне 0,10 - 0,27 д.ед., среднее значение составляет 0,15 д.ед.; коэффициент газонасыщенности варьирует в диапазоне 0,40 - 0,86 д.ед., среднее значение K_r =0,63 д.ед.

Статистическая характеристика фильтрационно-емкостных свойств газонасыщенных коллекторов по горизонтам C_1 sr и C_1V_1 (Пачка A и Б), определенная по результатам исследований керна, материалам ГИС и гидродинамическим исследованиям, представлена в таблице 2.1.1.3.

Таблица 2.1.1.3 - Характеристика коллекторских свойств и газонасыщенности продуктивных

горизонтов

| Залежь | Метод определения | Наименование | Проницае- мость, *10 ⁻³ мкм ² | Порис- тость, д.ед. | Начальная газонасы- щенность, д.ед. |
|--|---------------------------------------|--|---|---------------------------|--|
| 1 | 2 | 3 | 4 | 5 | 6 |
| | лабораторные исследования керна | Не проведены (образцы-коллекторы отсутствуют | | | |
| | | количество скважин | | 2 | 2 |
| | геофизические | кол-во определений | | 7 | 6 |
| Communication of the communica | исследования | среднее значение | | 0,176 | 0,64 |
| Серпуховский ярус C_1 sr | скважин | коэф-т вариации | | | |
| CISI | | интервал изменений | | 0,27-0,35 | 0,55-0,69 |
| | | количество скважин | 1 | | |
| | гидродинамически | кол-во определений | 2 | | |
| | е исследования | среднее значение | 0,091 | | |
| | скважин | коэф-т вариации | | | |
| | | интервал изменений | 0,1625-0,0196 | | |
| | | количество скважин | 13 | 13 | |
| | лабораторные | кол-во определений | 130 | 130 | |
| | исследования | среднее значение | 1,91 | 0,14 | |
| | керна | коэф-т вариации | 2,48 | 0,18 | |
| | | интервал изменений | 0,35-55,20 | 0,08-0,21 | |
| | | Количество скважин | | 14 | 14 |
| Нижневизейский | геофизические | кол-во определений | | 36 | 36 |
| ярус Пачка А | исследования | среднее значение | | 0,17 | 0,63 |
| ярус пачка А | скважин | коэф-т вариации | | 0,31 | 0,175 |
| | | интервал изменений | | 0,08-0,28 | 0,40-0,83 |
| | | количество скважин | 8 | | |
| | гидродинамически | кол-во определений | 30 | | |
| | е исследования | среднее значение | 0,390 | | |
| | скважин | коэф-т вариации | | | |
| | | интервал изменений | 0,0013-0,1651 | | |
| | | количество скважин | 7 | 7 | |
| Нижневизейский | лабораторные | кол-во определений | 33 | 33 | |
| ярус Пачка Б | исследования | среднее значение | 2,06 | 0,12 | |
| ярус пачка в | керна | коэф-т вариации | 1,48 | 0,264 | |
| | | интервал изменений | 0,35-13,96 | 0,08-0,19 | |



Продолжение таблицы 2.1.1.3

| 1 | 2 | 3 | 4 | 5 | 6 |
|---|------------------|---------------------|---------------|-----------|-----------|
| | | Количест во скважин | | 13 | 13 |
| | геофизические | кол-во определений | | 34 | 33 |
| | исследования | среднее значение | | 0,15 | 0,63 |
| | скважин | коэф-т вариации | | 0,248 | 0,181 |
| | | интервал изменений | | 0,10-0,27 | 0,40-0,86 |
| | | количество скважин | 8 | | |
| | гидродинамически | кол-во определений | 30 | | |
| | е исследования | среднее значение | 0,390 | | |
| | скважин | коэф-т вариации | | | |
| | | интервал изменений | 0,0013-0,1651 | | |

В таблице 2.2.1.4 приведены ряды распределения проницаемомости, определённой по керну.

Таблица 2.2.1.4 – Ряды распределения проницаемости по отложениям

| Интервалы изменения проницаемости, | Количество случаев по горизонтам | | | | |
|------------------------------------|----------------------------------|----------------------------------|--------|--|--|
| *10 ⁻³ мкм ² | C ₁ sr | C ₁ v ₁ .A | С1V1-Б | | |
| 0.35-1 | - | 52 | 17 | | |
| 1-10 | - | 77 | 14 | | |
| 10-50 | - | - | 2 | | |
| 50-100 | | 1 | - | | |

2.3 Свойства и состав газа, конденсата и воды

Для изучения газоконденсатной характеристики нижневизейской залежи всего было исследовано **14 проб** пластового флюида из скважин 1, 4, 6, 101, 102, 103, 104, 105 и 106. Пробы составлялись из поверхностных образцов газа сепарации и сырого конденсата, в соответствии с замеренным газоконденсатным фактором. По пробам определены основные свойства пластового газа и его состав. Свойства и фракционный состав стабильного конденсата исследованы по 10 пробам из 7 скважин. Состав газа с устья скважин нижневизейской залежи исследован по **59 устьевым пробам** газа, свойства сырого конденсата изучено – по **5 пробам** из 5 скважин.

Состав газа серпуховского горизонта изучен по **3 устьевым пробам** газа из скважины N₂₈.

Исследования газоконденсатной характеристики проведены в ТОО «КазТехГеостар», химический состав газа и конденсата с устья скважин определялся в лабораториях ЦХЛ ЮКТГУ, СредАзНИИГаза, ВНИГРИ и ВНИГНИ и в промысловой лаборатории ТОО «Амангельдыгаз».

2.3.1 Газоконденсатная характеристика залежей

По нижневизейской залежи газоконденсатная характеристика изучалась по 14 пробам из скважин №№1, 4, 6, 101, 102, 103, 104, 105 и 106. Пластовый флюид составлялся из проб газа с устья и сырого конденсата с тестового сепаратора, которые загружались в ячейку PVT в соотношении, соответствующем замеренному газоконденсатному фактору и доводились до термодинамических условий пласта. После этого проводились опыты контактной и дифференциальной конденсации.

По 2 пробам из скважин 4 и 6, отобранным до 2015 года, были определены низкие значения давления начала и максимальной конденсации, повышенная плотность стабильного конденсата, резко отличающиеся от результатов по остальным пробам. Кроме того, при отборе пробы из скважины 4 было зафиксировано значительно более низкое пластовое давление (17,5 МПа) по сравнению с остальными скважинами (26,2-27,7 МПа). По данной причине результаты исследований этих проб не включены в расчеты средних свойств пластового газа.

Пробы отобранные 2019 г. из скважин 1, 103, 105 и 106 признаны не представительными из-за низких значений Рпл, Рнач.конденсации, Ртах.конденсации и др. параметров.

Таким оброзом, количество представительных проб по нижневизейской залежи составляет **8 проб** из 6 скважин. Свойства пластового газа приведены в таблице 2.3.1.

В среднем по нижневизейской залежи давление начала конденсации составило 20,85 МПа при пластовом давлении 27,07 МПа, что указывает на недонасыщенность пластового газа конденсатом. Давление максимальной конденсации равно 11,35 МПа. Плотность пластового газа в стандартных условиях равна 0,8238 г/см³, динамическая вязкость – 0,0130 Мпа*с. Потенциальное содержание С_{5+высш.} невысокое – 35,88 г/м³, газ низкоконденсатный.

2.3.2 Состав пластового газа, газа сепарации и сырого конденсата

Состав пластового газа определялся по 14 пробам из скважин 1, 4, 6, 101, 102, 103, 104, 105 и 106. Состав пластового газа, газа сепарации, газа дегазации, газа дебутанизации и сырого конденсата приведены в таблицах 2.3.2, 2.3.3 и 2.3.4.

<u>Пластовый газ</u> нижневизейской залежи преимущественно метанового состава. Объемное содержание метана составляет 78,06%, этана -6,37 %, пропан -2,05 %, гескан+высших -0,36 %. Из неуглеводородных компонентов наиболее высоко содержание азота -11,95 %. Содержание углекислого газа низкое -0,25 %. Содержание гелия



определялось по одной пробе из скважины 6, где оно составило 0,153 %, газ относится к гелиеносным.

Пластовый газ нижневизейской залежи классифицируется как метановый по составу, «полужирный», азотный, гелиеносный, низкоуглекислый.

<u>Газ сепарации</u> по результатам газоконденсатных исследований в среднем по залежи состоит 78,50% из метана. Содержание этана в среднем составляет 6,24%, пропана -1,98%. Из неорганических компонентов содержится азот -12,02%, углекислый газ -0,25%.

<u>Газ дегазации</u> содержит: метана -32,46%, этана -29,7%, пропана -23,52%, бутанов -9,80%, пентанов -3,54% и незначительное количество гексанов и высших -0,36%. Содержание неорганических компонентов также невысокое: азота -1,30%, углекислого газа -0.25%.

<u>Газ дебутанизации</u> состоит в основном из тяжелых углеводородов, и не содержит метана. Содержание этана составляет 2,28%, пропана — 18,35%, бутанов —46,20%, пентанов — 31,28%, гексана и высших — 1,12%. Неорганические компоненты отсутствуют.

Состав сырого конденсата, отобранного после сепаратора для газоконденсатных исследований следующий: метана содержится 12,82%, этана - 12,15%, пропана - 12,53%, бутанов - 12,29%, пентана 6,82% и гексан +высших - 43,12%. Содержится также незначительное количество азота - 0,56%, углекислого газа - 0,14%.



Таблица 2.3.1 – Месторождение Айракты. Свойства пластового газа нижневизейского продуктивного горизонта по состоянию на 01.07.2021 г.

| | | Интер-вал | Плас- | Плас- товая | Давле- ние | Давле- ние макс. | Плот- | Относи- тельная плот- | Вазилеть | Коэф. сверх- | | отенциальн жание С ₅ +1 | | Молярн газа сеп | ая доля арации: | C_5+B , | Газо- конден- |
|-------|----------|-----------------------|-----------------------------|------------------------------|------------------------------------|--------------------------|-------------------------------------|--------------------------------------|----------------|-------------------------------|---------------------|---------------------------------------|-------|--------------------|--------------------|--|--|
| № скв | Дата | перфо- рации, м | товое давле- ние, МПа | темпе- рату- ра, °С | начала конден- сации, Мпа | конден- сации, МПа | ность газа, г/см ³ | плот- ность газа по воздуху | газа, мПа*с | сжи- мае- мости газа | на пласт. газ | на газ сепарации | сухой | в пласт. газе | CVXOM | г/см ³ (стаб. конден- сат) | сатный фактор см ³ /м ³ |
| 1 | 2 | 3 | 4 | 5 | 6 | 7 | 8 | 9 | 10 | 11 | 12 | 13 | 14 | 15 | 16 | 17 | 18 |
| | | | | | | | Нижне | визейски | й горизон | Т | | | | | | | |
| 1Γ | 03.10.17 | 2073-2110 | 27,4 | 72,4 | 21,75 | 11,6 | 0,8233 | 0,6833 | 0,0132 | 0,80 | 28,55 | 28,69 | 28,72 | 0,995 | 0,994 | 0,7589 | 28,99 |
| 1Γ | 2018 г. | 2073-2110 | 27,2 | 69,5 | 21 | 13,05 | 0,8117 | 0,6736 | 0,0130 | 0,79 | 32,25 | 32,51 | 32,44 | 0,992 | 0,994 | 0,7618 | 23,61 |
| 1Γ* | 2019 | 2073-2110 | 17,02* | 71,66 | 16,82 | 7,87 | 0,8119 | 0,6738 | 0,0131 | 0,79 | 29,58 | 29,7 | 29,72 | 0,996 | 0,995 | 0,7678 | 21,37 |
| 4* | 02.11.15 | 2092-2054 | 17,5* | 60 | 14,8 | 8,4 | 0,8401 | 0,6972 | 0,0127 | 0,77 | 39,02 | 39,22 | 39,26 | 0,995 | 0,994 | 0,8536* | 21,62 |
| 6* | ПЗ-2015 | 2177-2122 | 27,5 | 69 | - | 6 | - | - | - | 0,93 | 30,9 | - | - | - | - | 0,827* | - |
| 6Γ | 03.10.17 | 2115-2155 | 26,8 | 74,4 | 20,53 | 10,75 | 0,8207 | 0,6811 | 0,0130 | 0,78 | 30,66 | 30,81 | 30,84 | 0,995 | 0,994 | 0,7589 | 30,81 |
| 6Γ | 2018 г. | 2115-2155 | 27,7 | 77,22 | 21,2 | 10,75 | 0,8107 | 0,6728 | 0,0129 | 0,78 | 37,84 | 38,03 | 38,11 | 0,995 | 0,993 | 0,7642 | 19,2 |
| 101 | 03.10.17 | 2074,5-2107 | 27 | 72,5 | 21,04 | 11,8 | 0,8173 | 0,6782 | 0,0130 | 0,79 | 43,32 | 43,54 | 43,63 | 0,995 | 0,993 | 0,7887 | 27,89 |
| 102 | 2017 | 2130-2190 | 26,2 | 70,5 | 19,93 | 10,15 | 0,8396 | 0,6968 | 0,0131 | 0,79 | 30,52 | 30,74 | 30,70 | 0,993 | 0,994 | 0,7472 | 34,86 |
| 103 | 2017 | 2089-2115 | 27,05 | 70,5 | 20,09 | 10,7 | 0,8421 | 0,6988 | 0,0129 | 0,77 | 42,61 | 42,95 | 42,99 | 0,992 | 0,991 | 0,746 | 45,92 |
| 103* | 2019 | 2073-2110 | 17,3* | 77,3 | 16,05 | 9,12 | 0,8148 | 0,6762 | 0,0130 | 0,78 | 26,97 | 27,11 | 27,14 | 0,995 | 0,994 | 0,7592 | 21,73 |
| 104 | 2019 | 2067-2138 | 27,2 | - | 21,25 | 12,01 | 0,8247 | 0,6844 | 0,0132 | 0,79 | 41,29 | 41,37 | 41,58 | 0,998 | 0,993 | 0,7824 | 6,2 |
| 105* | 2019 | 2129-2200 | 24,92* | - | 18,97 | 10,19 | 0,8097 | 0,6719 | 0,0130 | 0,79 | 24,2 | 24,25 | 24,30 | 0,998 | 0,996 | 0,7838 | 6,4 |
| 106* | 2019 | 2115-2163 | 13,24* | | 11,89 | 7,36 | 0,8167 | 0,6778 | 0,0130 | 0,87 | 21,82 | 21,89 | 21,93 | 0,997 | 0,995 | 0,7591 | 14,82 |
| | Среді | iee | 27,07 | 72,43 | 20,85 | 11,35 | 0,8238 | 0,6836 | 0,0130 | 0,79 | 35,88 | 36,08 | 36,13 | 0,99 | 0,993 | 0,7635 | 27,19 |

Примечание: * – пробы не кондиционны

Таблица 2.3.2 – Состав пластового газа нижневизейского горизонта

| | | | | • | | | Содержан | ие, % мо. | тьные | | | | |
|--------|---------------------------|-------------|-------|-------------------|-----------|----------|----------|---------------|---------|----------------|----------|------------------|-------|
| № скв. | Интервал перфорации, м | Дата отбора | Азот | Углекислый газ | Метан | Этан | Пропан | Изо- бутан | Н-бутан | Изо- пентан | Н-Пентан | Гексан+ высше | Гелий |
| 1 | 2 | 3 | 4 | 5 | 6 | 7 | 8 | 9 | 10 | 11 | 12 | 13 | 14 |
| | | | | Них | кневизейс | кий гори | зонт | | | | | | |
| | 2073-2110 | 03.10.17 | 13,76 | 0,16 | 76,99 | 6,08 | 1,84 | 0,26 | 0,34 | 0,12 | 0,11 | 0,34 | - |
| 1 | 2073-2110 | 2018 г. | 11,71 | 0,12 | 79,57 | 5,49 | 1,8 | 0,3 | 0,39 | 0,14 | 0,1 | 0,38 | - |
| | 2073-2110 | 2019 | 12,5 | 0,11 | 78,76 | 5,74 | 1,77 | 0,26 | 0,36 | 0,12 | 0,11 | 0,27 | - |
| 4 | 2092-2154,3 | 02.11.2015 | 10,35 | 0,16 | 76,61 | 8,27 | 3,21 | 0,32 | 0,51 | 0,13 | 0,12 | 0,32 | - |
| | 2090-2210 | ПЗ 2015 г. | 11,8 | 0,32 | 76,66 | 7,6 | 2,16 | 0,26 | 0,42 | 0,12 | 0,1 | 0,4 | 0,153 |
| 6 | 2115-2155 | 03.10.17 | 11,52 | 0,17 | 78,34 | 6,63 | 2,03 | 0,29 | 0,42 | 0,14 | 0,11 | 0,35 | - |
| | 2115-2155 | 2018 г. | 10,67 | 0,20 | 80,12 | 5,9 | 1,75 | 0,27 | 0,4 | 0,19 | 0,15 | 0,35 | - |
| 101 | 2074,5-2107 | 03.10.17 | 11,96 | 0,14 | 78,66 | 6,12 | 1,85 | 0,26 | 0,36 | 0,11 | 0,11 | 0,43 | - |
| 102 | 2130-2190 | 2017 | 12,36 | 1,16 | 76,48 | 6,39 | 2,15 | 0,33 | 0,49 | 0,15 | 0,12 | 0,37 | - |
| 103 | 2089-2115 | 2017 | 11,76 | 0,28 | 77,33 | 6,07 | 2,52 | 0,45 | 0,7 | 0,17 | 0,15 | 0,57 | - |
| 103 | 2089-2115 | 2019 | 11,63 | - | 78,74 | 6,42 | 2,01 | 0,28 | 0,41 | 0,12 | 0,11 | 0,28 | - |
| 104 | 2067-2138 | 08.01.19 | 13,71 | 0,18 | 77,08 | 6,01 | 1,78 | 0,25 | 0,32 | 0,11 | 0,07 | 0,49 | - |
| 105 | 2129-2200 | 04.01.19 | 11,71 | 0,19 | 79,34 | 5,8 | 1,81 | 0,28 | 0,43 | 0,13 | 0,11 | 0,2 | - |
| 106 | 2115-2163 | | 11,91 | 0,09 | 78,22 | 6,66 | 2,00 | 0,26 | 0,39 | 0,12 | 0,10 | 0,25 | - |
| Сред | нее по нижневизейс | кой залежи | 11,95 | 0,25 | 78,06 | 6,37 | 2,05 | 0,29 | 0,42 | 0,13 | 0,11 | 0,36 | 0,153 |

Таблица 2.3.3 – Состав газа сепарации, дегазации, дебутанизации

| | | | | | | C | одержание, ' | % мольнь | ie | | _ | |
|---------|---------------------------|-------------|-------|---------------------|-----------|-------|--------------|---------------|---------|----------------|----------|------------------|
| № скв. | Интервал перфорации, м | Дата отбора | Азот | Угле- кислый газ | Метан | Этан | Пропан | Изо- бутан | Н-бутан | Изо- пентан | Н-Пентан | Гексан+ высше |
| 1 | 2 | 3 | 4 | 5 | 6 | 7 | 8 | 9 | 10 | 11 | 12 | 13 |
| | | _ | | | газ сепар | ации | _ | | | | _ | |
| | 2073-2110 | 03.10.17 | 13,84 | 0,16 | 77,40 | 6,03 | 1,77 | 0,24 | 0,31 | 0,10 | 0,10 | 0,05 |
| 1 | 2073-2110 | 2018 г. | 11,80 | | 80,12 | 5,44 | 1,71 | 0,24 | | 0,10 | 0,07 | 0,08 |
| | 2073-2110 | 2019 | 12,53 | 0,11 | 78,98 | 5,73 | 1,75 | 0,25 | 0,34 | 0,11 | 0,1 | 0,1 |
| 4 | 2092-2154,3 | 02.11.2015 | 10,40 | 0,16 | 76,94 | 8,23 | 3,13 | 0,28 | 0,45 | 0,11 | 0,10 | 0,20 |
| 6 | 2115-2155 | 03.10.17 | 11,59 | 0,17 | 78,76 | 6,58 | 1,97 | 0,26 | 0,39 | 0,12 | 0,10 | 0,06 |
| U | 2115-2155 | 2018 г. | 10,71 | 0,20 | 80,45 | 5,89 | 1,70 | 0,24 | 0,37 | 0,17 | 0,14 | 0,13 |
| 101 | 2074,5-2107 | 03.10.17 | 12,02 | 0,14 | 78,95 | 6,08 | 1,80 | 0,24 | 0,33 | 0,10 | 0,10 | 0,24 |
| 102 | 2130-2190 | 2017 | 12,45 | 1,17 | 76,95 | 6,35 | 2,08 | 0,30 | 0,45 | 0,13 | 0,10 | 0,02 |
| 103 | 2089-2115 | 2017 | 11,85 | 0,28 | 77,85 | 6,03 | 2,46 | 0,42 | 0,67 | 0,15 | 0,14 | 0,15 |
| 103 | 2089-2115 | 2019 | 11,67 | - | 79,04 | 6,39 | 1,96 | 0,26 | 0,38 | 0,1 | 0,1 | 0,1 |
| 104 | 2067-2138 | 08.01.19 | 13,73 | 0,19 | 77,17 | 6,0 | 1,76 | 0,24 | 0,31 | 0,1 | 0,06 | 0,44 |
| 105 | 2129-2200 | 04.01.19 | 11,74 | 0,2 | 79,49 | 5,77 | 1,79 | 0,27 | 0,42 | 0,12 | 0,1 | 0,1 |
| 106 | 2115-2163 | 2019 | 11,95 | 0,10 | 78,44 | 6,65 | 1,92 | 0,25 | 0,38 | 0,11 | 0,10 | 0,10 |
| Среднее | по нижневизейской за | алежи | 12,02 | 0,25 | 78,50 | 6,24 | 1,98 | 0,27 | 0,39 | 0,12 | 0,10 | 0,14 |
| | | | | | газ дегаз | ации | | | | | | |
| | 2073-2110 | 03.10.17 | 0,55 | 0,26 | 18,15 | 38,82 | 28,04 | 4,48 | 6,19 | 1,86 | 1,23 | 0,42 |
| 1 | 2073-2110 | 2018 г. | 0,58 | | 21,24 | 30,01 | 25,99 | | | 3,25 | 2,22 | 0,55 |
| | 2073-2110 | 2019 | - | | 64,11 | 20,98 | 8,87 | 1,96 | 2,43 | 0,75 | 0,6 | 0,3 |
| 4 | 2092-2154,3 | 02.11.2015 | - | - | 23,77 | 28,50 | 29,30 | 5,87 | 8,08 | 2,20 | 2,00 | 0,28 |
| 6 | 2115-2155 | 03.10.17 | 0,41 | 0,26 | 28,51 | 35,95 | 23,49 | 3,64 | 4,95 | 1,47 | 0,97 | 0,35 |
| 6 | 2115-2155 | 2018 г. | 0,50 | 0,28 | 28,08 | 23,42 | 25,75 | 6,23 | 9,42 | 3,28 | 2,37 | 0,67 |

Продолжение таблицы 2.3.3

| 1 | 2 | 3 | 4 | 5 | 6 | 7 | 8 | 9 | 10 | 11 | 12 | 13 |
|-----|----------------------|------------|------|------|-------------|--------|-------|-------|-------|-------|-------|------|
| 101 | 2074,5-2107 | 03.10.17 | ı | - | 37,23 | 30,42 | 22,36 | 3,25 | 4,24 | 1,16 | 1,00 | 0,34 |
| 102 | 2130-2190 | 2017 | 1 | - | 27,92 | 32,02 | 27,15 | 3,67 | 6,90 | 1,26 | 0,78 | 0,30 |
| 103 | 2089-2115 | 2017 | - | - | 32,81 | 30,59 | 24,32 | 4,46 | 5,77 | 1,13 | 0,65 | 0,27 |
| 103 | 2089-2115 | 2019 | 4,46 | - | 30,93 | 29,85 | 24,84 | 3 | 4,04 | 1,57 | 1,04 | 0,27 |
| 104 | 2067-2138 | 08.01.19 | - | 0,2 | 38,68 | 27,2 | 21,47 | 3,11 | 4,19 | 2,11 | 2,61 | 0,41 |
| 105 | 2129-2200 | 04.01.19 | - | - | 36,72 | 28,67 | 20,55 | 3,44 | 5,14 | 2,17 | 3,04 | 0,27 |
| 106 | 2115-2163 | | Ī | 0,26 | 33,86 | 29,63 | 23,69 | 2,75 | 4,28 | 2,45 | 2,83 | 0,25 |
| Сре | еднее по нижневизейс | кой залежи | 1,30 | 0,25 | 32,46 | 29,70 | 23,52 | 4,01 | 5,79 | 1,90 | 1,64 | 0,36 |
| | | | | | газ дебутан | изации | | | | | | |
| | 2073-2110 | 03.10.17 | - | - | - | 2,10 | 19,54 | 10,91 | 27,66 | 16,02 | 12,64 | 1,13 |
| 1 | 2073-2110 | 2018 г. | - | - | - | 2,74 | 18,53 | 21,10 | 25,99 | 16,80 | 13,49 | 1,35 |
| | 2073-2110 | 2019 | - | - | - | 2,14 | 20,67 | 19,13 | 32,57 | 12,36 | 11,79 | 1,34 |
| 4 | 2092-2154,3 | 02.11.2015 | - | - | - | 3,00 | 10,81 | 18,49 | 25,00 | 22,70 | 18,40 | 1,60 |
| 6 | 2115-2155 | 03.10.17 | = | - | - | 2,35 | 20,13 | 22,09 | 25,75 | 15,51 | 12,92 | 1,25 |
| U | 2115-2155 | 2018 г. | = | - | - | 1,93 | 20,99 | 22,62 | 24,39 | 15,22 | 13,43 | 1,42 |
| 101 | 2074,5-2107 | 03.10.17 | = | - | - | 2,00 | 18,20 | 20,92 | 26,58 | 16,82 | 14,73 | 0,75 |
| 102 | 2130-2190 | 2017 | = | - | - | 2,67 | 16,37 | 20,29 | 27,89 | 17,64 | 13,72 | 1,42 |
| 103 | 2089-2115 | 2017 | - | - | - | 2,48 | 18,53 | 19,35 | 27,61 | 16,89 | 13,84 | 1,30 |
| 103 | 2089-2115 | 2019 | Ī | - | - | 1,86 | 19,24 | 18,36 | 24,08 | 21,64 | 14,57 | 0,25 |
| 104 | 2067-2138 | 08.01.19 | - | - | - | 1,84 | 15,78 | 21,57 | 24,82 | 17,7 | 17,11 | 1,18 |
| 105 | 2129-2200 | 04.01.19 | 1 | - | _ | 3,16 | 19,57 | 21,88 | 22,79 | 16,84 | 14,76 | 1,0 |
| 106 | 2115-2163 | | - | - | | 1,35 | 20,19 | 22,87 | 25,89 | 15,65 | 13,49 | 0,56 |
| Сре | еднее по нижневизейс | кой залежи | - | - | - | 2,28 | 18,35 | 19,97 | 26,23 | 17,06 | 14,22 | 1,12 |

Таблица 2.3.4 – Состав сырого конденсата

| | • | | | | | (| Содержание | , % моль | ные | | | |
|--------|---------------------------|-------------|------|------------------------|-------|-------|------------|---------------|---------|----------------|----------|---------------|
| № скв. | Интервал перфорации, м | Дата отбора | Азот | Угле- кислый газ | Метан | Этан | Пропан | Изо- бутан | Н-бутан | Изо- пентан | Н-Пентан | Гексаны+высш. |
| 1 | 2 | 3 | 4 | 5 | 6 | 7 | 8 | 9 | 10 | 11 | 12 | 13 |
| | 2073-2110 | 03.10.17 | 0,22 | 0,17 | 7,13 | 15,44 | 13,4 | 4,24 | 5,77 | 2,72 | 2,04 | 48,87 |
| 1 | 2073-2110 | 2018 г. | 0,26 | 0,13 | 7,77 | 11,66 | 14,12 | 7,51 | 9,84 | 5,31 | 4,02 | 39,38 |
| | 2073-2110 | 2019 | - | - | 26,39 | 8,96 | 6,78 | 3,63 | 6,05 | 2,18 | 2,18 | 43,83 |
| 4 | 2092-2154,3 | 02.11.2015 | - | - | 12,03 | 15,38 | 18,93 | 7,69 | 12,43 | 5,13 | 4,54 | 23,87 |
| 6 | 2115-2155 | 03.10.17 | 0,16 | 0,16 | 11,13 | 14,47 | 12,24 | 4,77 | 5,88 | 3,02 | 2,22 | 45,95 |
| 6 | 2115-2155 | 2018 г. | 0,21 | 0,21 | 10,27 | 8,81 | 12,79 | 6,08 | 7,34 | 3,77 | 3,14 | 47,38 |
| 101 | 2074,5-2107 | 03.10.17 | - | - | 16,74 | 13,95 | 12,88 | 4,72 | 6,01 | 3 | 2,57 | 40,13 |
| 102 | 2130-2190 | 2017 | - | - | 9,74 | 11,6 | 11,9 | 4,3 | 6,59 | 3,01 | 2,29 | 50,57 |
| 103 | 2089-2115 | 2017 | - | - | 11,49 | 10,86 | 10,6 | 3,79 | 5,18 | 2,4 | 1,89 | 53,79 |
| 103 | 2089-2115 | 2019 | 1,96 | - | 13,07 | 13,07 | 14,16 | 4,8 | 6,32 | 4,8 | 3,26 | 38,56 |
| 104 | 2067-2138 | 08.01.19 | - | 0,07 | 16,44 | 12,33 | 13,01 | 6,85 | 8,22 | 5,48 | 5,48 | 32,19 |
| 105 | 2129-2200 | 04.01.19 | - | - | 12,27 | 10,45 | 10,45 | 5,45 | 5,91 | 4,1 | 3,64 | 47,73 |
| 106 | 2115-2163 | | - | 0,09 | 12,22 | 11,0 | 11,61 | 4,58 | 5,81 | 3,36 | 3,06 | 48,27 |
| Cpe, | днее по нижневизейс | кой залежи | 0,56 | 0,14 | 12,82 | 12,15 | 12,53 | 5,26 | 7,03 | 3,71 | 3,10 | 43,12 |

2.3.3 Свойства и фракционный состав стабильного конденсата

Характеристика стабильного конденсата определена при лабораторных газоконденсатных исследованиях проб пластового газа, после проведения процессов сепарации, дегазации и дебутанизации. Физико-химические свойства исследованы по 10 пробам из скважин 1, 6, 102, 103, 104, 105 и 106 (таблица 2.3.5).

В среднем по нижневизейской залежи плотность и вязкость стабильного конденсата при 20 °C составили 0,7625 г/см³ и 1,23*10⁻⁶ м²/с соответственно. Содержание серы – 0,020 % массовых, парафинов – 0,30 % массовых, смолистых веществ – 0,37 % массовых. Температура застывания – ниже -46 °C. Конденсат относится малосернистым и малопарафинистым Температура начала кипения равна 81 °C, до 300 °C выкипает 91 % фракций. Таким образом, конденсат в основном состоит из легких бензиновых фракций.

2.3.4 Состав газа с устья скважин

По нижневизейской залежи всего исследовано 59 проб газа с устья из скважин 1, 6, 11, 101, 102, 103, 104, 105, 106 и по серпуховской залежи отобраны 3 пробы из одной скважины N8.

В ПЗ-1981 году из нижневизейской залежи были отобраны 21 проба из 6 скважин, из пермской залежи 22 пробы из 7 скважин. Так как эти данные были утерены, в работе ПЗ-2021 взята среднее значение состава газа из Протокола №8884 от 27.11.1981г. Средний состав газа по всем устьевым пробам приведен в таблице 2.3.6.

Нижневизейский горизонт. Состав газа с устья скважин (газ сепарации) близок к составу пластового газа. Газ преимущественно метанового состава с небольшим содержанием этана и повышенным содержанием азота. Средние значения содержания компонентов следующие: метана -77,13%, этана -6,60%, азота и редких газов -12,74%, в том числе содержание гелия среднем составляет 0,22%. Сероводород отсутствует.

Газ сепарации классифицируется как метановый по составу, «полужирный», азотный, гелиеносный, низкоуглекислый.

Серпуховский горизонт. Средние значения содержания компонентов следующие: метана -80,06 %, этана -8,10 %, азота и редких газов -7,68 %. Газ с устья скважин классифицируется как метановый по составу, азотный, низкоуглекислый.

Пермский горизонт. Средние значения содержания компонентов следующие: метана -48.2%, этана -4.4%, азота и редких газов -44.3%, в том числе содержание гелия среднем составляет 0.26%. Газ пермской залежи по составу метано-азотно-гелиевые.



Таблица 2.3.5 – Физико-химическая характеристика стабильного конденсата нижневизейского горизонта

| аолица 2.3.5 – Физико-химическ | ан характерист | ika Ciaonii | BHUI U KUH, | денсата пи | жисьизси | ского гори | зипта | | | | 1 | |
|---|----------------------|-------------|--------------|------------|----------|--------------|--------------|---------|---------|---------|---------|---------|
| Скважина | | 1 | 1 | (| <u> </u> | 102 | 10 | 03 | 104 | 105 | 106 | Среднее |
| И | | 2073- | 2073- | 2090- | 2115- | 2130- | 2089- | 2089- | 2067- | 2129- | 2115- | - |
| Интервал | | 2110 | 2110 | 2210 | 2155 | 2190 | 2115 | 2115 | 2138 | 2200 | 2163 | значе- |
| Дата | | 2018 | 2019 | П3-2015 | 2018 | 2017 | 2017 | 2019 | 2019 | 2019 | 2019 | ние |
| Плотность при 20 °C, | г/см ³ | 0,7618 | 0,7678 | 0,7535 | 0,7642 | 0,7472 | 0,7460 | 0,7592 | 0,7824 | 0,7838 | 0,7591 | 0,7625 |
| Молекулярная мас | | 132,59 | 143,19 | 120 | 136,9 | - | - | 130,51 | 152,7 | 158,99 | 108,78 | 135,5 |
| | серы | 0,01 | 0,03 | 0,011 | - | 0,01 | 0,01 | 0,01 | 0,04 | 0,04 | 0,02 | 0,020 |
| | меркаптанов | - | - | = | - | - | = | - | - | - | - | - |
| | сульфидов | - | - | - | - | - | - | - | - | - | - | - |
| Содержание,% | парафинов | 0,004 | 0,12 | - | 0,17 | 0,20 | 0,7 | 0,04 | не обн. | 1,15 | 0,02 | 0,301 |
| | масел | - | - | - | - | - | - | - | - | - | - | - |
| | смол | 0,18 | 0,06 | отс. | 0,17 | 1,08 | 0,45 | 0,16 | 0,25 | 0,89 | 0,06 | 0,37 |
| | асфальтенов | не обн. | не обн | - | не обн. | Отс. | Отс. | не обн. | не обн. | не обн. | не обн. | Отс. |
| Вязкость кинематическая, | При 20 °C | 0,97 | 1,43 | 0,76 | 1,16 | 0,94 | 0,89 | 1,34 | 1,61 | 1,82 | 1,41 | 1,23 |
| 10 ⁻⁶ м ² сек ⁻¹ | При 50 °C | 0,78 | 1,17 | - | 0,91 | - | 0,68 | 1,15 | 1,13 | 1,28 | 1,19 | 1,04 |
| | 100 | - | 30 | 14 | - | 20 | 3 | - | 4 | 3 | 17,0 | 13,0 |
| Выход фракций,% при | 150 | - | 82 | 58 | - | 41 | 65 | - | 41 | 41 | 65,0 | 56,1 |
| температуре ⁰ С | 200 | | 93 | 90 | | 60 | 86 | - | 52 | 65,5 | 88,0 | 76,4 |
| | 300 | - | - | - | - | - | 94 | - | 84 | 96 | - | 91 |
| Температура помутне | ния, ⁰ С | - | - | - | - | - | - | - | - | - | - | - |
| Температура застыван | ия, ⁰ С | -60 | ниже - 60 | - | -60 | ниже - 20 | ниже - 20 | - | -20 | -30 | -60 | -46 |
| Температура начала кип | ения, ⁰ С | - | 73 | 65 | - | 68 | 78 | - | 96 | 98 | 90 | 81 |

Таблица 2.3.6 – Состав газа отобранные с устья скважин

| 1 аоли | ца 2.3.0 | <u>– Состав</u> | 1 asa 010 | ораннь | те с усты | и скваж | ип | | | | | | | | | | | | |
|-----------|---------------|-----------------|---------------|--------|--------------------------|---------|------|-------------|---------------|-------------|--------------|--------------|--------------|-------------|-------|-------|-----------------------|---|--|
| | | | ļ | | | | | | 1 | Ко | мпонен | гный со | став | 1 | 1 | | | , | |
| № скв. | Гори- зонт | Дата | Кисло- род | азот | Угле- кис- лый газ | метан | этан | Про- пан | изо- бутан | н- бутан | Пен- таны | Гек- саны | Геп- таны | Ок- таны | Гелий | Аргон | серо- водо- род | Относи- тельная плотность по воздуху | Плотность газа при 20°C, кг/м ³ |
| 1 | 2 | 3 | 4 | 5 | 6 | 7 | 8 | 9 | 10 | 11 | 12 | 13 | 14 | 15 | 16 | 17 | 18 | 19 | 20 |
| | | 16.10.17 | 0,03 | 12,29 | 0,15 | 78,49 | 6,41 | 1,78 | 0,25 | 0,34 | 0,21 | 0,046 | 0,006 | 0,007 | | | | 0,671 | 0,808 |
| | | 06.01.18 | 0,02 | 12,61 | 0,16 | 77,79 | 6,51 | 1,90 | 0,26 | 0,37 | 0,24 | 0,132 | 0,005 | 0,009 | | | | 0,677 | 0,816 |
| 1 | C11 | 02.09.18 | 0,02 | 11,81 | 0,20 | 78,96 | 6,24 | 1,93 | 0,26 | 0,36 | 0,20 | 0,011 | 0,003 | 0,001 | | | | 0,669 | 0,806 |
| 1 | C1v1 | 15.01.19 | 0,01 | 12,64 | 0,14 | 78,31 | 6,19 | 1,78 | 0,32 | 0,38 | 0,17 | 0,049 | 0,004 | 0,003 | | | | 0,672 | 0,809 |
| | | 06.07.19 | 0,03 | 12,83 | 0,11 | 77,97 | 6,45 | 1,81 | 0,23 | 0,36 | 0,16 | 0,037 | 0,003 | 0,002 | | | | 0,672 | 0,809 |
| | | 15.01.20 | 0,02 | 13,50 | 0,17 | 77,22 | 6,34 | 1,85 | 0,30 | 0,37 | 0,17 | 0,045 | 0,005 | 0,002 | | | | 0,677 | 0,815 |
| | | 17.10.17 | 0,01 | 10,63 | 0,21 | 79,13 | 7,04 | 2,06 | 0,28 | 0,39 | 0,20 | 0,043 | 0,004 | 0,007 | | | | 0,671 | 0,809 |
| | | 03.02.18 | 0,02 | 10,93 | 0,18 | 78,83 | 6,91 | 2,06 | 0,26 | 0,39 | 0,22 | 0,209 | 0,001 | 0,001 | | | | 0,675 | 0,814 |
| | | 17.07.18 | 0,01 | 11,18 | 0,22 | 78,07 | 7,15 | 2,32 | 0,24 | 0,41 | 0,26 | 0,121 | 0,005 | 0,007 | | | | 0,680 | 0,819 |
| 6 | C1v1 | 18.12.18 | 0,01 | 11,05 | 0,18 | 78,61 | 7,08 | 2,09 | 0,35 | 0,40 | 0,19 | 0,038 | 0,002 | 0,000 | | | | 0,674 | 0,812 |
| | | 23.02.19 | 0,02 | 11,01 | 0,16 | 79,42 | 6,39 | 1,98 | 0,33 | 0,41 | 0,21 | 0,067 | 0,002 | 0,001 | | | | 0,670 | 0,807 |
| | | 14.12.19 | 0,02 | 6,26 | 0,17 | 77,48 | 9,95 | 3,93 | 0,56 | 0,96 | 0,50 | 0,168 | 0,002 | 0,002 | | | | 0,708 | 0,853 |
| | | 03.02.20 | 0,02 | 11,17 | 0,19 | 78,91 | 6,79 | 2,05 | 0,25 | 0,36 | 0,20 | 0,057 | 0,099 | 0,004 | | | | 0,671 | 0,809 |
| | | 16.10.17 | 0,01 | 11,31 | 0,18 | 78,90 | 6,81 | 1,93 | 0,26 | 0,36 | 0,18 | 0,036 | 0,004 | 0,005 | | | | 0,670 | 0,807 |
| | | 07.03.18 | 0,02 | 11,83 | 0,18 | 77,85 | 7,15 | 2,06 | 0,26 | 0,38 | 0,23 | 0,036 | 0,005 | 0,009 | | | | 0,677 | 0,815 |
| 101 | C1v1 | 02.09.18 | 0,02 | 11,81 | 0,20 | 78,96 | 6,24 | 1,93 | 0,26 | 0,36 | 0,20 | 0,011 | 0,003 | 0,001 | | | | 0,669 | 0,806 |
| 101 | CIVI | 06.03.19 | 0,03 | 11,74 | 0,19 | 77,88 | 6,72 | 2,04 | 0,45 | 0,52 | 0,31 | 0,116 | 0,003 | 0,005 | | | | 0,683 | 0,822 |
| | | 01.09.19 | 0,02 | 11,99 | 0,17 | 78,30 | 6,66 | 1,97 | 0,27 | 0,39 | 0,19 | 0,049 | 0,009 | 0,004 | | | | 0,673 | 0,811 |
| | | 13.03.20 | 0,02 | 12,05 | 0,16 | 78,55 | 6,46 | 1,88 | 0,29 | 0,38 | 0,19 | 0,029 | 0,002 | 0,001 | | | | 0,671 | 0,809 |
| | | 17.04.18 | 0,01 | 11,10 | 0,20 | 78,40 | 7,15 | 2,15 | 0,30 | 0,42 | 0,22 | 0,031 | 0,002 | 0,000 | | | | 0,675 | 0,814 |
| | | 17.09.18 | 0,01 | 11,19 | 0,22 | 78,30 | 6,90 | 2,32 | 0,30 | 0,44 | 0,27 | 0,033 | 0,008 | 0,002 | | | | 0,678 | 0,817 |
| 102 | C1v1 | 03.04.19 | 0,04 | 11,11 | 0,21 | 76,75 | 7,35 | 2,88 | 0,58 | 0,68 | 0,36 | 0,035 | 0,002 | 0,002 | | | | 0,695 | 0,837 |
| | | 14.10.19 | 0,03 | 11,65 | 0,19 | 77,80 | 7,16 | 2,21 | 0,25 | 0,42 | 0,22 | 0,060 | 0,006 | 0,003 | | | | 0,678 | 0,817 |
| | | 06.04.20 | 0,06 | 11,30 | 0,17 | 78,59 | 6,81 | 2,03 | 0,40 | 0,28 | 0,21 | 0,108 | 0,042 | 0,008 | | | | 0,674 | 0,812 |

Продолжение таблицы 2.3.6

| 1 | 2 | 3 | 4 | 5 | 6 | 7 | 8 | 9 | 10 | 11 | 12 | 13 | 14 | 15 | 16 | 17 | 18 | 19 | 20 |
|-------|-------------------------------------|-------------|------|-------|------|-------|------|------|------|------|------|-------|-------|-------|------|-------|-----|-------|-------|
| | | 18.05.18 | 0,01 | 11,08 | 0,17 | 79,56 | 6,44 | 1,80 | 0,22 | 0,32 | 0,20 | 0,197 | 0,000 | 0,001 | | | | 0,669 | 0,806 |
| | | 04.10.18 | 0,02 | 11,20 | 0,19 | 79,75 | 6,24 | 1,87 | 0,22 | 0,32 | 0,17 | 0,012 | 0,002 | 0,002 | | | | 0,664 | 0,800 |
| 103 | C1v1 | 13.05.19 | 0,01 | 11,12 | 0,17 | 79,52 | 6,60 | 1,86 | 0,21 | 0,31 | 0,17 | 0,037 | 0,004 | 0,002 | | | | 0,666 | 0,802 |
| | | 04.11.19 | 0,01 | 11,81 | 0,18 | 78,49 | 6,66 | 1,89 | 0,31 | 0,41 | 0,18 | 0,039 | 0,016 | 0,005 | | | | 0,673 | 0,811 |
| | | 06.04.20 | 0,02 | 11,70 | 0,18 | 78,73 | 6,60 | 1,83 | 0,36 | 0,26 | 0,19 | 0,080 | 0,047 | 0,012 | | | | 0,671 | 0,809 |
| | | 23.02.19 | 0,02 | 13,17 | 0,17 | 77,35 | 6,39 | 1,94 | 0,35 | 0,40 | 0,18 | 0,038 | 0,001 | 0,001 | | | | 0,677 | 0,816 |
| 104 | C1v1 | 08.06.19 | 0,02 | 12,01 | 0,17 | 78,65 | 6,61 | 1,78 | 0,24 | 0,32 | 0,16 | 0,039 | 0,003 | 0,001 | | | | 0,669 | 0,806 |
| 104 | CIVI | 05.12.19 | 0,02 | 13,07 | 0,16 | 77,79 | 6,37 | 1,79 | 0,24 | 0,34 | 0,17 | 0,034 | 0,004 | 0,002 | | | | 0,673 | 0,810 |
| | | 13.05.20 | 0,02 | 12,50 | 0,17 | 78,67 | 6,04 | 1,76 | 0,25 | 0,33 | 0,17 | 0,074 | 0,021 | 0,002 | | | | 0,669 | 0,806 |
| | | 08.06.19 | 0,03 | 13,34 | 0,09 | 77,54 | 6,40 | 1,85 | 0,22 | 0,32 | 0,17 | 0,032 | 0,004 | 0,002 | | | | 0,673 | 0,811 |
| 105 | C1v1 | 05.12.19 | 0,02 | 11,89 | 0,15 | 79,10 | 6,33 | 1,76 | 0,22 | 0,31 | 0,17 | 0,041 | 0,009 | 0,004 | | | | 0,667 | 0,803 |
| | | 13.05.20 | 0,02 | 11,60 | 0,17 | 79,60 | 6,19 | 1,69 | 0,22 | 0,30 | 0,12 | 0,056 | 0,025 | 0,007 | | | | 0,663 | 0,799 |
| 106 | C1v1 | 07.01.20 | 0,02 | 12,15 | 0,25 | 78,24 | 6,57 | 1,90 | 0,24 | 0,34 | 0,21 | 0,054 | 0,010 | 0,005 | | | | 0,673 | 0,811 |
| 100 | CIVI | 13.06.20 | 0,02 | 11,90 | 0,17 | 78,69 | 6,41 | 1,83 | 0,26 | 0,35 | 0,18 | 0,114 | 0,049 | 0,016 | | | | 0,672 | 0,810 |
| | Среднее | C_1v_1 | 0,02 | 11,67 | 0,18 | 78,45 | 6,70 | 2,01 | 0, | 69 | 0,21 | 0,063 | 0,011 | 0,004 | | | | 0,674 | 0,812 |
| | C ₁ v ₁ до 19 | 81г** | | 13,80 | | 75,8 | 6,5 | 1,8 | 0 | ,7 | - | - | - | - | 0,22 | 0,08 | отс | 0,665 | 0,802 |
| Средн | ee C ₁ v ₁ за | весь период | 0,02 | 12,74 | 0,18 | 77,13 | 6,60 | 1,91 | 0, | 69 | 0,21 | 0,063 | 0,011 | 0,004 | 0,22 | 0,08 | отс | 0,670 | 0,807 |
| | | 24.09.14 | 0,01 | 7,60 | 0,06 | 80,35 | 8,15 | 2,34 | 0,37 | 0,60 | 0,36 | 0,14 | 0,007 | 0,009 | | | | 0,676 | 0,814 |
| 8 | C1sr | 28.09.14 | 0,01 | 7,71 | 0,06 | 79,50 | 8,15 | 3,14 | 0,36 | 0,58 | 0,34 | 0,15 | 0,008 | 0,010 | | | | 0,683 | 0,823 |
| | | 17.10.14 | 0,02 | 7,75 | 0,05 | 80,31 | 8,00 | 2,15 | 0,75 | 0,58 | 0,25 | 0,10 | 0,005 | 0,012 | | | | 0,676 | 0,815 |
| | Среднее | C1sr | 0,01 | 7,68 | 0,06 | 80,06 | 8,10 | 2,54 | 0,49 | 0,59 | 0,32 | 0,13 | 0,007 | 0,010 | | | | 0,678 | 0,817 |
| Пе | омь Р1с до | 1981г** | | 44,3 | | 48,2 | 4,4 | 1,5 | 0 | ,8 | - | - | - | - | 0,26 | 0,057 | отс | - | - |

Примечание: **-принятые среднее значение в ПЗ-1981г

2.3.5 Характеристика сырого конденсата

В 2018 году было отобрано 5 проб сырого конденсата из скважин 1, 101, 103 и 102+6Г. Пробы отбирались с тестового сепаратора и исследовались в промысловой лаборатории ТОО «Амангельдыгаз». По пробам определены компонентный и фракционный состав конденсата (таблица 2.3.7).

Конденсат с тестового сепаратора не содержит метана и содержит небольшое количество этана, пропана и бутана (до 5 %). По групповому углеводородному составу конденсат в основном состоит из метано-нафтеновых углеводородов (84-87 %). В пробах содержатся ненасыщенные углеводороды (алкены, алкины), которые обычно встречаются в газовых конденсатах в небольших количествах. Общее содержание ненасыщенных углеводородов составляет 4 %.

Проба из скважины 103 от 25.04.18 г. отличается повышенным содержанием ненасыщенных углеводородов (15,3 %). Также эта проба отличается по содержанию иных компонентов, фракционному составу и плотности, поэтому результаты по данной пробе были отбракованы.

Содержание ароматических углеводородов составляет 9,3-12,0 %. Температура начала кипения конденсата равна 31,7-40,8 °C. Конец кипения приходится на 262-274,5 °C, что соответствует в основном бензиновым и частично керосиновым фракциям. Плотность конденсата равна 0,7366-0,7400 г/см³.

Содержание меркаптановой серы очень низкое и составляет 0,00011-0,00135 %.



Габлица 2.3.7 – Компонентный состав сырого конденсата нижневизейского горизонта

| Потраната 101 102+6 103 103* 103* 104* 105-08 | <u>Таблица 2.3.7 – Ко</u> | | | | | | | | 1 |
|--|---------------------------|------------|----------------|----------|----------|-----------|----------|----------|----------|
| Поразант Поразант Поразанта Поразантические углеводороды Поразантические углеводороды роды Поразантические углеводороды Поразантические угл | № | | | | | | | | |
| Насыненные пентаны | | , , | | 21.05.18 | 22.05.18 | | 23.04.18 | 25.04.18 | Среднее |
| Насы- щенные углеводо- роды Ненасы- щенные углеводо- роды Ненасы- щенные углеводо- роды Тексаны 11.546 11.370 11.363 13.982 10.239 12.065 Тексаны 11.546 11.370 11.363 13.982 10.239 12.065 Тексаны 11.546 11.370 11.363 13.982 10.239 12.065 13.102 12.095 12.065 13.102 13.502 15.307 20.987 20.987 20.982 20.372 22.172 22.173 20.113 13.502 15.307 20.987 20.987 10.730 10.750 10.846 10.845 10.845 10.908 10.908 10.908 10.909 10.108 10.909 10.108 10.909 10.109 10.0089 10.0 | | | | | | | | | значение |
| Насыщенные углеводороды пентаны 1,127 0,912 1,037 0,939 0,931 1,004 0,852 0,846 0,853 0,846 0,852 0,846 0,853 0,846 0,853 0,846 0,853 0,846 0,853 0,846 0,853 0,846 0,853 0,846 0,853 0,846 0,853 0,846 0,853 0,846 0,853 0,846 0,853 0,846 0,853 0,846 0,853 0,846 0,853 0,846 0,853 0,846 0,853 0,846 0,853 0,846 0,853 0,846 0,853 0,846 0,855 0, | Me | сто отбора | ļ. | | | | | | |
| Насы- шенные углеводо роды Компонентный состав, % масс. Ненасы- щенные углеводо роды Компонентный состав, % масс. Компонентныя Компонентные Компонентные Компонентные Компонентные Компонентные Компонентные Компонентные Компонентн | | | этан | 0,155 | 0,142 | 0,128 | 0,131 | 0,130 | 0,139 |
| Менные утлеводо- роды пентаны 5,381 5,008 5,063 5,313 5,419 5,196 11,546 11,370 11,363 13,982 10,239 12,065 11,370 11,363 13,982 10,239 12,065 12,065 13,381 13,982 10,239 12,065 13,381 13,392 10,239 12,065 13,381 13,392 10,239 12,065 13,381 13,392 10,239 12,065 13,381 13,392 10,239 12,065 13,381 13,392 13,502 15,307 20,987 13,381 13,492 13,392 13,502 15,307 20,987 13,381 13,492 13,381 13,492 13,492 13,481 | | | пропан | 1,127 | 0,912 | 1,037 | 0,939 | 0,931 | 1,004 |
| Компонентный состав, % масс. Ненасыщенные углеводор роды Тентаны Тента | | Насы- | изо-бутан | 0,931 | 0,750 | 0,846 | 0,853 | 0,846 | 0,845 |
| Компонентный состав, % масс. Ненасыщенные углеводор роды Оттосительная плотностъ по воздуху Плотностътьата при 20°С, кг/м³ Вначало кипения Вначало кипения Отостав, % масе. Ненасьщения образороды Плотностътава при 20°С, кг/м³ Отостав, круги образороды О | | щенные | н-бутан | 2,225 | 1,703 | 2,009 | 2,393 | 3,280 | |
| Компонентный состав, % масс. гентаны 22,922 22,372 25,153 13,502 15,307 20,987 октаны+высш октаны+высш октаны+высш октаны+высш пенные углеводо-роды бутен 0,272 0,242 0,285 0,916 0,515 0,429 ненасыненые углеводо-роды октен+ 0,598 0,308 0,635 - 1,162* 0,514 октен+ 0,643 0,929 0,550 - 10,227* 0,647 октен+ 3,051 2,002 2,102 2,496 3,203 2,413 Относительная плотность газа при 20°С, кт/м³ 0,6115 0,6143 0,6117 0,6125 0,5921* 0,6125 Плотность газа при 20°С, кт/м³ 0,7366 0,7400 0,7368 0,7378 0,7378 Начало кинения 34,4 31,7 39,5 40,8 - 36,6 Начальны кинения 36,6 0,7400 0,7368 0,7 | | углеводо- | пентаны | 5,381 | 5,008 | 5,063 | 5,331 | 5,419 | 5,196 |
| Компонентный состав, % масс. бутен од. 272 од. 242 од. 285 од. 916 од. 515 од. 429 Ненасыщенные углеводо роды гексен од. 598 од. 308 од. 635 од. 1,162* од. 647 состав, % масс. Ненасыщенные углеводо роды гексен од. 463 од. 929 од. 550 од. 10,227* од. 647 октен+ д. 3д. 51 од. 202 од. 102 од. 496 од. 3д. 30 од. 2,413 гексадиен арматические углеводороды Плотность газа при 20°С, кг/м³ 0,6115 од. 6143 од. 6117 од. 6125 од. 9921* од. 202 0,208 од. 203 0,243 0,243 0,274 од. 2496 од. 2496 од. 203 0,208 од. 2413 0,271 од. 2496 од. 2496 од. 2496 од. 2496 од. 2496 од. 2496 0,208 од. 2413 0,271 од. 2496 | | роды | гексаны | 11,546 | 11,370 | 11,363 | 13,982 | 10,239 | 12,065 |
| Состав, % масс. бутен бутен 0,272 0,242 0,285 0,916 0,515 0,429 | I/a | | гептаны | 22,922 | 22,372 | 25,153 | 13,502 | 15,307 | 20,987 |
| Ненасыщенные углеводороды гексен 0,598 0,308 0,635 - 1,162* 0,542 0,647 0,647 0,647 0,646 0,698 0,929 0,550 - 10,227* 0,647 0,647 0,646 0,698 0,929 0,550 - 10,227* 0,647 0,647 0,646 0, | | | октаны+высш | 40,969 | 42,083 | 41,465 | 48,250 | 36,805 | 43,192 |
| Фракционный углеводо-роды гептен октен+ октен+ золот золот золот роды 0,463 золот зол | CUCIAB, /0 MACC. | | бутен | 0,272 | 0,242 | 0,285 | 0,916 | 0,515 | 0,429 |
| пенные углеводороды октен+ 3,051 2,002 2,102 2,496 3,203 2,413 тексадиен ароматические углеводороды 10,271 12,009 9,274 9,380 11,202 10,233 Относительная плотность по воздуху 0,6115 0,6143 0,6117 0,6125 0,5921* 0,6125 Плотность газа при 20°С, кг/м³ 0,7366 0,7400 0,7368 0,7378 0,7133* 0,7378 | | Homes | гексен | 0,598 | 0,308 | 0,635 | - | 1,162* | 0,514 |
| Органо роды октен+ роды роды 3,051 гексадиен доматические углеводороды 3,051 гексадиен доматические углеводороды 2,009 гексадиен доматические углеводороды 10,271 гексадиен доматические углеводороды 10,6117 гексадиен доматические углеводороды 10,6117 гексадиен доматические углеводороды 10,6125 гексадиен доматические углеводороды 10,6125 гексадиен доматические доматические углеводороды 10,6125 гексадиен доматические доматические доматические углеводороды 10,6125 гексадиен доматические доматические углеводороды 10,6125 гексадиен доматические доматическа доматические доматическа доматические доматические доматическ | | | гептен | 0,463 | 0,929 | 0,550 | - | 10,227* | 0,647 |
| Роды ароматические достав, °С постаток постав, °С постаток постав, °С постаток постав поста | | 1- | октен+ | 3,051 | 2,002 | 2,102 | 2,496 | 3,203 | 2,413 |
| проды углеводороды углеводородороды углеводороды углеводороды углеводороды углеводороды углеводородороды углеводородородородородородородородородородо | | • | гексадиен | 0,089 | - | 0,092 | - | 0,208 | 0,090 |
| Плотность газа при 20°С, кг/м³ 0,7366 0,7400 0,7368 0,7378 0,7133* 0,7378 В начало кипения 34,4 31,7 39,5 40,8 - 36,6 10% выкипает при Т, °С 84,8 87,1 84 81,9 27,84 84,5 20 % " 99,9 101,1 98,8 96 63,27 99,0 30 % " 109,6 110,3 107,8 105,6 80,72 108,3 40 % " 119,9 120,3 117,9 115,6 99,53 118,4 50 % " 130,8 130,6 128,7 125,7 114,77 129,0 Фракционный состав, °С 70 % " 162,1 158,5 161,2 160,3 131,79 160,5 80 % " 183,2 180,8 186,3 187,4 150,82 184,4 90 % " 228,7 223,1 227,5 231,4 174,15 227,7 Конец кипения 262,0 266,2 269,5 274,5 <th></th> <th>роды</th> <th>ароматические</th> <th>10,271</th> <th>12,009</th> <th>9,274</th> <th>9,380</th> <th>11,202</th> <th>10,233</th> | | роды | ароматические | 10,271 | 12,009 | 9,274 | 9,380 | 11,202 | 10,233 |
| Плотность газа при 20°С, кг/м³ 0,7366 0,7400 0,7368 0,7378 0,7133* 0,7378 Начало кипения 34,4 31,7 39,5 40,8 - 36,6 10% выкипает при Т, °С 84,8 87,1 84 81,9 27,84 84,5 20 % " 99,9 101,1 98,8 96 63,27 99,0 30 % " 109,6 110,3 107,8 105,6 80,72 108,3 40 % " 119,9 120,3 117,9 115,6 99,53 118,4 50 % " 130,8 130,6 128,7 125,7 114,77 129,0 60 % " 144,4 142,8 142,5 140,4 117,5 142,5 70 % " 162,1 158,5 161,2 160,3 131,79 160,5 80 % " 183,2 180,8 186,3 187,4 150,82 184,4 90 % " 228,7 223,1 227,5 231,4 174,15 227,7 Конец кипения 262,0 266,2 269,5 274,5 - 268,1 Отогнано 95,0 95,8 95,9 96,2 - 95,7 Остаток 1,1 1,4 1,2 - 1,2 - 1,2 Потери 3,9 2,8 2,9 3,8 - 3,4 Содержание меркаптановой серы, % 0,00135 0,000815 0,0001124 0,000899 - 0,00079 | Относительная | плотност | ь по воздуху | 0,6115 | 0,6143 | 0,6117 | 0,6125 | 0,5921* | 0,6125 |
| 10% выкипает при Т, °C 84,8 87,1 84 81,9 27,84 84,5 20 % " 99,9 101,1 98,8 96 63,27 99,0 30 % " 109,6 110,3 107,8 105,6 80,72 108,3 40 % " 119,9 120,3 117,9 115,6 99,53 118,4 50 % " 130,8 130,6 128,7 125,7 114,77 129,0 Фракционный состав, °C 60 % " 144,4 142,8 142,5 140,4 117,5 142,5 80 % " 162,1 158,5 161,2 160,3 131,79 160,5 80 % " 183,2 180,8 186,3 187,4 150,82 184,4 90 % " 228,7 223,1 227,5 231,4 174,15 227,7 Конец кипения 262,0 266,2 269,5 274,5 - 268,1 Остаток 1,1 1,4 1,2 - - 1,2 < | | | | 0,7366 | 0,7400 | 0,7368 | 0,7378 | 0,7133* | 0,7378 |
| Фракционный состав, °С 20 % " 99,9 101,1 98,8 96 63,27 99,0 Фракционный состав, °С 40 % " 119,9 120,3 117,9 115,6 99,53 118,4 50 % " 130,8 130,6 128,7 125,7 114,77 129,0 Фракционный состав, °С 60 % " 144,4 142,8 142,5 140,4 117,5 142,5 70 % " 162,1 158,5 161,2 160,3 131,79 160,5 80 % " 183,2 180,8 186,3 187,4 150,82 184,4 90 % " 228,7 223,1 227,5 231,4 174,15 227,7 Конец кипения 262,0 266,2 269,5 274,5 - 268,1 Отогнано 95,0 95,8 95,9 96,2 - 95,7 Остаток 1,1 1,4 1,2 - - 1,2 Потери 3,9 2,8 2,9 3,8 - <th></th> <th>Начал</th> <th>о кипения</th> <th>34,4</th> <th>31,7</th> <th>39,5</th> <th>40,8</th> <th>-</th> <th>36,6</th> | | Начал | о кипения | 34,4 | 31,7 | 39,5 | 40,8 | - | 36,6 |
| Фракционный состав, °C 20 % " 99,9 101,1 98,8 96 63,27 99,0 Фракционный состав, °C 109,6 110,3 107,8 105,6 80,72 108,3 40 % " 119,9 120,3 117,9 115,6 99,53 118,4 50 % " 130,8 130,6 128,7 125,7 114,77 129,0 Фракционный состав, °C 60 % " 144,4 142,8 142,5 140,4 117,5 142,5 70 % " 162,1 158,5 161,2 160,3 131,79 160,5 80 % " 183,2 180,8 186,3 187,4 150,82 184,4 90 % " 228,7 223,1 227,5 231,4 174,15 227,7 Конец кипения 262,0 266,2 269,5 274,5 - 268,1 Отогнано 95,0 95,8 95,9 96,2 - 95,7 Остаток 1,1 1,4 1,2 - - | | 10% выки | пает при Т, °С | 84,8 | 87,1 | 84 | 81,9 | 27,84 | 84,5 |
| Фракционный состав, °C 70 % 109,0 110,3 107,8 103,0 80,72 108,3 Фракционный состав, °C 50 % 130,8 130,6 128,7 125,7 114,77 129,0 60 % 144,4 142,8 142,5 140,4 117,5 142,5 80 % 162,1 158,5 161,2 160,3 131,79 160,5 80 % 183,2 180,8 186,3 187,4 150,82 184,4 90 % 228,7 223,1 227,5 231,4 174,15 227,7 Конец кипения 262,0 266,2 269,5 274,5 - 268,1 Отогнано 95,0 95,8 95,9 96,2 - 95,7 Остаток 1,1 1,4 1,2 - - 1,2 Потери 3,9 2,8 2,9 3,8 - 3,4 Содержание меркаптановой серы, % 0,00135 0,000815 0,0001124 0,000899 - | | 20 | % " | 99,9 | 101,1 | 98,8 | 96 | | 99,0 |
| Фракционный состав, °C 70 % 119,9 120,3 117,9 113,0 99,33 118,4 60 % " 130,8 130,6 128,7 125,7 114,77 129,0 60 % " 144,4 142,8 142,5 140,4 117,5 142,5 80 % " 162,1 158,5 161,2 160,3 131,79 160,5 80 % " 183,2 180,8 186,3 187,4 150,82 184,4 90 % " 228,7 223,1 227,5 231,4 174,15 227,7 Конец кипения 262,0 266,2 269,5 274,5 - 268,1 Отогнано 95,0 95,8 95,9 96,2 - 95,7 Остаток 1,1 1,4 1,2 - - 1,2 Потери 3,9 2,8 2,9 3,8 - 3,4 Содержание меркаптановой серы, % 0,00135 0,000815 0,0001124 | | 30 | % " | 109,6 | 110,3 | 107,8 | 105,6 | 80,72 | 108,3 |
| Фракционный состав, °С 60 % " 144,4 142,8 142,5 140,4 117,5 142,5 80 % " 162,1 158,5 161,2 160,3 131,79 160,5 80 % " 183,2 180,8 186,3 187,4 150,82 184,4 90 % " 228,7 223,1 227,5 231,4 174,15 227,7 Конец кипения 262,0 266,2 269,5 274,5 - 268,1 Отогнано 95,0 95,8 95,9 96,2 - 95,7 Остаток 1,1 1,4 1,2 - - 1,2 Потери 3,9 2,8 2,9 3,8 - 3,4 Содержание меркаптановой серы, % 0,00135 0,000815 0,0001124 0,000899 - 0,00079 | | 40 | % " | 119,9 | 120,3 | 117,9 | 115,6 | 99,53 | 118,4 |
| Состав, °C 70 % " 162,1 158,5 161,2 160,3 131,79 160,5 80 % " 183,2 180,8 186,3 187,4 150,82 184,4 90 % " 228,7 223,1 227,5 231,4 174,15 227,7 Конец кипения 262,0 266,2 269,5 274,5 - 268,1 Отогнано 95,0 95,8 95,9 96,2 - 95,7 Остаток 1,1 1,4 1,2 - - 1,2 Потери 3,9 2,8 2,9 3,8 - 3,4 Содержание меркаптановой серы, % 0,00135 0,000815 0,0001124 0,000899 - 0,00079 | | 50 | % " | 130,8 | 130,6 | 128,7 | 125,7 | 114,77 | 129,0 |
| Состав, С 70 % 162,1 138,3 161,2 160,3 131,79 160,3 80 % " 183,2 180,8 186,3 187,4 150,82 184,4 90 % " 228,7 223,1 227,5 231,4 174,15 227,7 Конец кипения 262,0 266,2 269,5 274,5 - 268,1 Отогнано 95,0 95,8 95,9 96,2 - 95,7 Остаток 1,1 1,4 1,2 - - 1,2 Потери 3,9 2,8 2,9 3,8 - 3,4 Содержание меркаптановой серы, % 0,00135 0,000815 0,0001124 0,000899 - 0,00079 | Фракционный | 60 | 0/0 " | 144,4 | 142,8 | 142,5 | 140,4 | 117,5 | 142,5 |
| 90 % " 228,7 223,1 227,5 231,4 174,15 227,7 Конец кипения 262,0 266,2 269,5 274,5 - 268,1 Отогнано 95,0 95,8 95,9 96,2 - 95,7 Остаток 1,1 1,4 1,2 - - 1,2 Потери 3,9 2,8 2,9 3,8 - 3,4 Содержание меркаптановой серы, % 0,00135 0,000815 0,0001124 0,000899 - 0,00079 | состав, ⁰С | 70 | % " | 162,1 | 158,5 | 161,2 | 160,3 | 131,79 | 160,5 |
| Конец кипения 262,0 266,2 269,5 274,5 - 268,1 Отогнано 95,0 95,8 95,9 96,2 - 95,7 Остаток 1,1 1,4 1,2 - - 1,2 Потери 3,9 2,8 2,9 3,8 - 3,4 Содержание меркаптановой серы, % 0,00135 0,000815 0,0001124 0,000899 - 0,00079 | | 80 | % " | 183,2 | 180,8 | 186,3 | 187,4 | 150,82 | 184,4 |
| Отогнано 95,0 95,8 95,9 96,2 - 95,7 Остаток 1,1 1,4 1,2 - - 1,2 Потери 3,9 2,8 2,9 3,8 - 3,4 Содержание меркаптановой серы, % 0,00135 0,000815 0,0001124 0,000899 - 0,00079 | | | | | | 227,5 | 231,4 | 174,15 | 227,7 |
| Остаток 1,1 1,4 1,2 - - 1,2 Потери 3,9 2,8 2,9 3,8 - 3,4 Содержание меркаптановой серы, % 0,00135 0,000815 0,0001124 0,000899 - 0,00079 | | Коне | ц кипения | 262,0 | 266,2 | 269,5 | 274,5 | - | 268,1 |
| Потери 3,9 2,8 2,9 3,8 - 3,4 Содержание меркаптановой серы, % 0,00135 0,000815 0,0001124 0,000899 - 0,00079 | | От | огнано | 95,0 | 95,8 | 95,9 | 96,2 | | 95,7 |
| Содержание меркаптановой серы, % 0,00135 0,000815 0,0001124 0,000899 - 0,00079 | | 0 | статок | 1,1 | 1,4 | 1,2 | - | - | 1,2 |
| | | П | Готери | 3,9 | 2,8 | 2,9 | 3,8 | - | 3,4 |
| | Содержание мо | еркаптано | вой серы, % | 0,00135 | 0,000815 | 0,0001124 | 0,000899 | - | 0,00079 |
| COGCPMAINCE ANOPHET DIA CONCEN, MITH 55,72 20,05 10,22 7,05 - 21,4 | Содержание х | лористых | солей, мг/л | 33,42 | 26,05 | 16,22 | 9,83 | - | 21,4 |

Примечание: * – отбракованы

2.3.6 Гидрогеологические исследований

На месторождения Айракты в скважинах №№2, 3 и 10 исследования проводились вовремя бурения скважин пластоиспытателем на трубах в открытом стволе. Представительные пробы воды в этих скважинах не получены, так как в трубах поднята смесь бурового раствора с пластовой водой и признаками газа.

В 2013 году из серпуховского горизонта в скважине 8 была отобрана проба пластового флюида. В результате исследования, дегазированная вода по характеристикам – техническая, т.е. при проведении опробования скважина не доочистилась.

В период 2019-2020гг. Были отобраны 4 проб пластовой воды из скважин 106 и 107. Из них 3 пробы были исследованы в лаборатории Департамента аналитических исследований ТОО «КазНИГРИ» (скв.106) и 1 проба была проанализирована в лаборатории



ТОО «Stratum CER» (г.Актау). Исследования проб проводились в соответствии с существующими ГОСТами. Пробы отобранные из скважины 106 при 9мм и 11мм диафрагмах признаны не представительными из-за низких значений минерализации. По данной причине результаты этих проб не были включены в расчет средних значений.

По классификации Сулина вода месторождения Айракты является хлоркальциевого типа, общая минерализация в среднем составило 219,0 г/л (таблица 2.3.8)



Таблица 2.3.8 – Химический состав и физические свойства пластовых вод

| | | | | Плот- | | | Компо | нентны | ый сост | ав, мг/л | / мг-эк | св/л | | Мине- | | | Жест- | Тип |
|-------|----------|------------------|-----|-------------------|-----------------|---------------|--------------|------------------|--------------------|---------------|------------------------------|-------------------|--------|--------|------|-------------|--------|--------|
| Сква- | Гори- | Дата отбора/ | D. | | Соле-ность, | | | | | | | | | рали- | pН | | кость, | по |
| жина | 30HT | Дата поступление | MAN | г/см ³ | Ве ⁰ | Сумма | Na++K+ | Ca ²⁺ | Mg^{2+} | Cl. | SO ₄ ² | HCO ³⁻ | CO_3 | зация, | hm | Сероводород | мг- | B.A. |
| | | дата поступление | | 1/CN1 | De | | | | | | | | | г/л | | | экв/л | Сулину |
| | | <u>-</u> | 7 | 1,122 | 15,2 | <u>151396</u> | <u>42163</u> | 13279 | <u>1749</u> | <u>92090</u> | <u>1808</u> | <u>307</u> | | 171,8 | 5.8 | н/о | 791,59 | III кл |
| | | 25.11.19Γ | / | 1,122 | 13,2 | 5280,8 | 1833,9 | 662,6 | 143,8 | 2597,8 | 37,7 | 5,0 | - | 1/1,0 | 3,0 | H/O | 191,39 | XK |
| 106 | C_1v_1 | = | 9* | 1,118 | 14,6 | 146084 | 38956 | 12885 | 2749 | 89273 | <u>1989</u> | <u>232</u> | | 146,1* | 5,4 | 11/0 | 869,05 | III кл |
| 100 | Clv1 | 25.11.19Γ* | 9. | 1,110 | 14,0 | 5127 | 1694,5 | 642,9 | 226,1 | 2518,3 | 41,4 | 3,8 | | 140,1 | 3,4 | н/о | 809,03 | XK |
| | | Ξ. | 11* | 1,115 | 15,6 | <u>143891</u> | <u>40915</u> | <u>10862</u> | <u>2329</u> | <u>87344</u> | <u>2115</u> | <u>326</u> | | 143,9* | 5,2 | н/о | 733,58 | III кл |
| | | 25.11.19Γ* | 11. | 1,113 | 13,0 | 5026,4 | 1779,7 | 542,0 | 191,5 | 2463,9 | 44,0 | 5,3 | - | 143,5 | 3,2 | H/O | 755,56 | XK |
| 107 | C_1v_1 | 31.05.2020 | | 1,168 | 20,99 | <u>265931</u> | <u>67176</u> | 33350 | <u>1804</u> | <u>163600</u> | <u>1</u> | <u>0</u> | 11/0 | 266,1 | 4,31 | 11/0 | 1816,0 | ХК |
| 107 | C_1V_1 | - | | 1,108 | 20,99 | 9230,0 | 2799,0 | 1667,5 | 148,5 | 4615,0 | 0,0 | 0 | н/о | 200,1 | 4,31 | н/о | 1010,0 | AK |
| | Cr | оеднее С1v1 | | 1,145 | 18,1 | | | | | | | | | 219,0 | 5,1 | н/о | 1303,8 | |

Примечание: н/о – не обнаружено

^{* –} пробы не кондиционны

2.4 Физико-гидродинамическая характеристика

Для физико-гидродинамической характеристики коллекторов месторождения Айракты использованы результаты определения на образцах керна пористости, проницаемости, кривые капиллярного давления методом полупроницаемой мембраны и относительной фазовой проницаемости методом центрифугирования.

Залежи Слул-А, Слул-Б.

Сопоставление пористости с проницаемостью по залежам нижнего визея (рис.2.4.1) построено по 334 образцам залежи C_1v_1 -A и 256 образцами залежи C_1v_1 -Б.

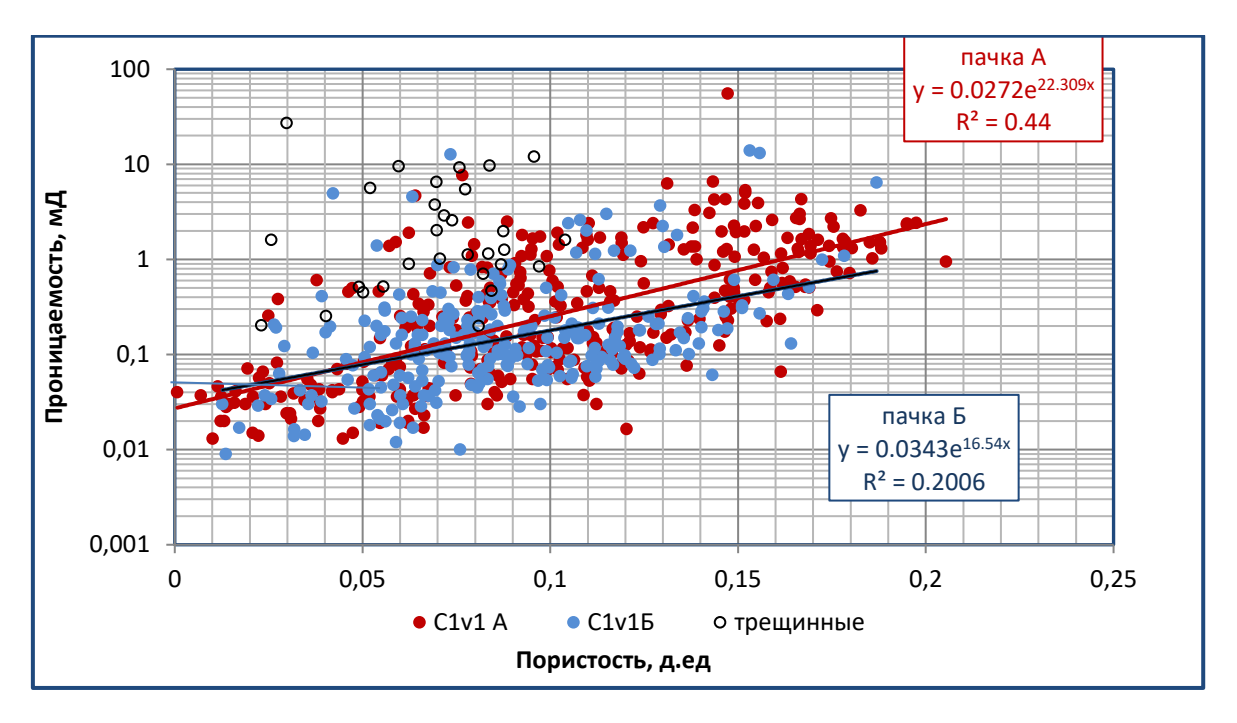


Рисунок 2.4.1 – Связь проницаемости с пористостью по залежам нижнего визея

По обеим пачкам связь проницаемости с пористостью описывается экспоненциальными уравнениями

$$C_1v_1$$
-A, $K\pi p=0.0272e^{22.39*K\pi}$ (R²=0.44) (2.4.1)

$$C_1 v_1$$
-Б, $K \pi p = 0.0343 e^{16.54*K\pi}$ ($R^2 = 0.20$) (2.4.2)

По залежи A связь между пористостью и проницаемостью относительно удовлетворительная, коэффициент аппроксимации равен 0,44 и гораздо ниже для пачки B-0,20, что является косвенным признаком неоднородности порового пространства

Приведенные уравнения были использованы для ориентировочного определения проницаемости по ГИС.

Кривые капиллярного давления, остаточная водонасыщенность.



Кривые ККД получены методом полупроницаемой мембраны в лаборатории ТОО STRATUM-КЭР (г. Актау). Эксперимент проводился на установке в системе дренирования газ-вода. Дренирование воды начиналось при давлении 1.5 рsi (0,01 МПа) и пошагово увеличено до 200 рsi (1.38 МПа). Для проведения эксперимента было отобрано 24 образца керна из пачек А и Б скважин 101, 106 и 107 с проницаемостью в диапазоне 0,05-2,44 *10⁻³мкм², пористостью от 0,04 до 0,14 д.ед.

В таблице. 2.4.1 приведена характеристика образцов по пористости и проницаемости а также результаты замеров водонасыщенности образца на каждом шаге и достигнутая водонасыщенность при 200 psi. На рис. 2.4.2 приведены кривые капиллярного давления.

Таблица 2.4.1 – Результаты эксперимента по определению капиллярного давления, полученные на

образцах керна пачек А и Б (С1V1)

| | ах керна | | | Порис- | Газопрониц | | Кап | иллярн | ое дав | ление | (psi) | |
|-----|-----------|--------------|----------------------|---------------|---|-----|-------|--------|--------|-------|-------|-------|
| Скв | Пачка | Обра- зец | Глубина, отбора,м | тость д.ед | аемость *10 ⁻ ³ мкм ² | 1.5 | 5 | 10 | 20 | 50 | 100 | 200 |
| 101 | C_1v_1B | 17ds | 2100.7 | 0.074 | 0.552 | 1 | 1 | 1 | 1 | 1 | 1 | 1 |
| 101 | C_1v_1B | 20ds | 2102.09 | 0.042 | 0.054 | 1 | 1 | 1 | 1 | 1 | 0.958 | 0.916 |
| 101 | C_1v_1B | 29ds | 2106.29 | 0.098 | 0.059 | 1 | 1 | 1 | 1 | 1 | 0.91 | 0.803 |
| 101 | C_1v_1B | 39ds | 2109.92 | 0.047 | 0.093 | 1 | 1 | 1 | 1 | 0.943 | 0.886 | 0.849 |
| 101 | C_1v_1B | 66ds | 2126.07 | 0.083 | 0.091 | 1 | 1 | 1 | 1 | 1 | 0.968 | 0.883 |
| 101 | C_1v_1B | 71ds | 2127.76 | 0.083 | 0.098 | 1 | 1 | 1 | 1 | 1 | 0.786 | 0.679 |
| 101 | C_1v_1B | 81ds | 2130.48 | 0.054 | 0.327 | 1 | 1 | 1 | 1 | 0.900 | 0.768 | 0.701 |
| 101 | C_1v_1B | 83ds | 2130.91 | 0.089 | 1.182 | 1 | 1 | 1 | 0.903 | 0.806 | 0.671 | 0.632 |
| 106 | C_1v_1A | 2ds | 2107.79 | 0.067 | 1.444 | 1 | 1.00 | 1.00 | 1.00 | 0.983 | 0.965 | 0.924 |
| 106 | C_1v_1A | 5ds | 2110.22 | 0.085 | 1.081 | 1 | 0.982 | 0.962 | 0.933 | 0.902 | 0.866 | 0.833 |
| 106 | C_1v_1A | 20ds | 2118.23 | 0.084 | 1.120 | 1 | 0.992 | 0.981 | 0.963 | 0.942 | 0.923 | 0.896 |
| 106 | C_1v_1A | 21ds | 2118.45 | 0.071 | 2.444 | 1 | 1.000 | 1.000 | 0.997 | 0.987 | 0.984 | 0.966 |
| 106 | C_1v_1A | 38ds | 2126.37 | 0.068 | 1.088 | 1 | 1.000 | 1.000 | 1.000 | 0.979 | 0.963 | 0.946 |
| 106 | C_1v_1A | 43ds | 2128.74 | 0.069 | 0.829 | 1 | 0.987 | 0.962 | 0.933 | 0.896 | 0.884 | 0.863 |
| 106 | C_1v_1B | 59ds | 2135.91 | 0.073 | 0.284 | 1 | 1.000 | 1.000 | 1.000 | 0.981 | 0.961 | 0.956 |
| 106 | C_1v_1B | 62ds | 2139.83 | 0.059 | 0.459 | 1 | 0.986 | 0.963 | 0.942 | 0.932 | 0.921 | 0.902 |
| 107 | C_1v_1A | 31ds | 2124,98 | 0.114 | 0.952 | 1 | 1 | 1 | 1.00 | 1.00 | 0.785 | 0.601 |
| 107 | C_1v_1B | 45ds | 2131.71 | 0.121 | 1.802 | 1 | 1 | 1 | 0.922 | 0.712 | 0.537 | 0.427 |
| 107 | C_1v_1B | 48ds | 2133.01 | 0.136 | 0.608 | 1 | 1 | 1 | 0.977 | 0.758 | 0.569 | 0.412 |
| 107 | C_1v_1B | 52ds | 2135.07 | 0.103 | 0.617 | 1 | 1 | 1 | 1.000 | 0.713 | 0.556 | 0.437 |
| 107 | C_1v_1B | 55ds | 2136.60 | 0.115 | 2.238 | 1 | 1 | 1 | 0.865 | 0.654 | 0.463 | 0.402 |
| 107 | C_1v_1B | 58ds | 2145.44 | 0.050 | 0.427 | 1 | 1 | 1 | 0.986 | 0.951 | 0.935 | 0.912 |
| 107 | C_1v_1B | 72ds | 2153.76 | 0.080 | 0.872 | 1 | 1 | 1 | 1.000 | 0.985 | 0.956 | 0.821 |
| 107 | C_1v_1B | 73ds | 2153.98 | 0.072 | 0.779 | 1 | 1 | 1 | 1.000 | 1.000 | 0.903 | 0.812 |



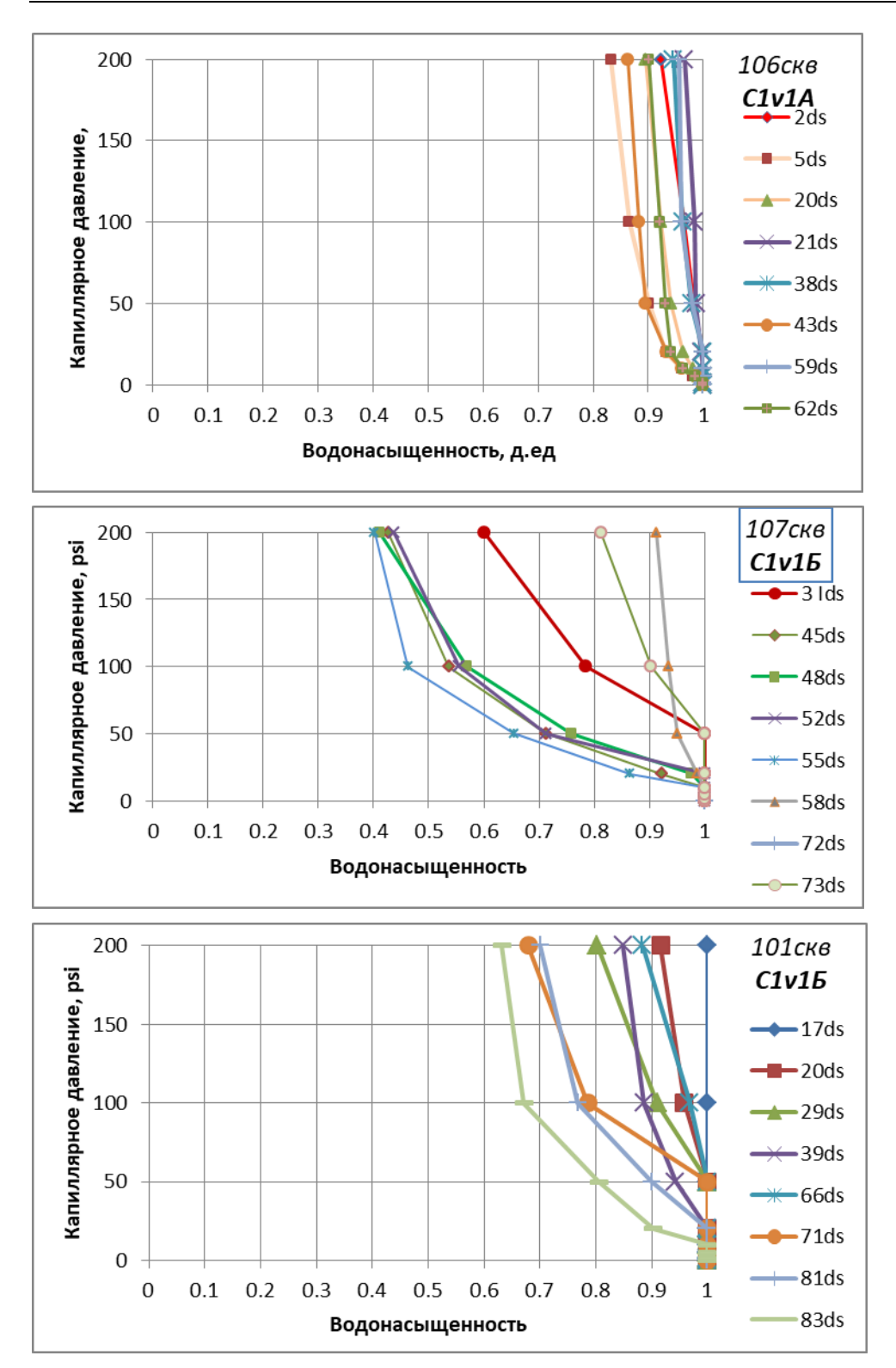


Рисунок 2.4.2 – Кривые капиллярного давления, полученные на керне пачек C₁v₁ -A и C₁v₁-Б

Пачка А. Эксперимент выполнен на семи образцах: шесть образцов керна скв.106 с пористостью от 0,067 д.ед до 0,085 д.ед,, на которых по виду ККД при 200 рsi достигнута неснижаемая водонасыщенность от 0,83 д.ед до 0,97 д.ед; на образце с пористостью 0,114



д.ед (скв.107), Кво=0,60, по виду капиллярной кривой неснижаемая водонасыщенность не достигнута.

Пачка Б. В эксперименте были задействованы образцы скважин 101 и 107. По виду капиллярных кривых из 7 образцов (скв.107) при максимальном капиллярном давлении 1,38 МПа (200рsi) остаточная водонасыщенность достигнута или близка к остаточной на образцах 58ds, 73ds (Кп 0,05 д.ед и 0,072 д.ед) и составляет 0,91 и 0,81 д.ед; на остальных образцах с пористостью 0,08 -0,136 д.ед неснижаемая водонасыщенность не достигнута , Кво колеблется в диапазоне 0,82 – 0,40 д.ед.

Вид кривых ККД на образцах скв. 101 аналогичен ККД скв.107, с той разницей, что эксперимент проводился на образцах с худшей пористостью (диапазон $0,042 \div 0,098$ д.ед) и проницаемостью ($0,054 \div 1,18*10^{-3}$ мкм²) . Остаточная водонасыщенность колеблется от 0,63 до 0,88 д.ед. Эксперимент на 17ds отбракован ввиду отсутствия кривой капиллярного давления.

В нашем контексте под термином остаточная водонасыщенность, имеется ввиду достигнутая водонасыщенность при $Pc=1,38M\Pi a$.

На рис 2.4.3 приведено сопоставление остаточной водонасыщенности (Ков) с пористостью (Кп) и проницаемостью (Кпр).

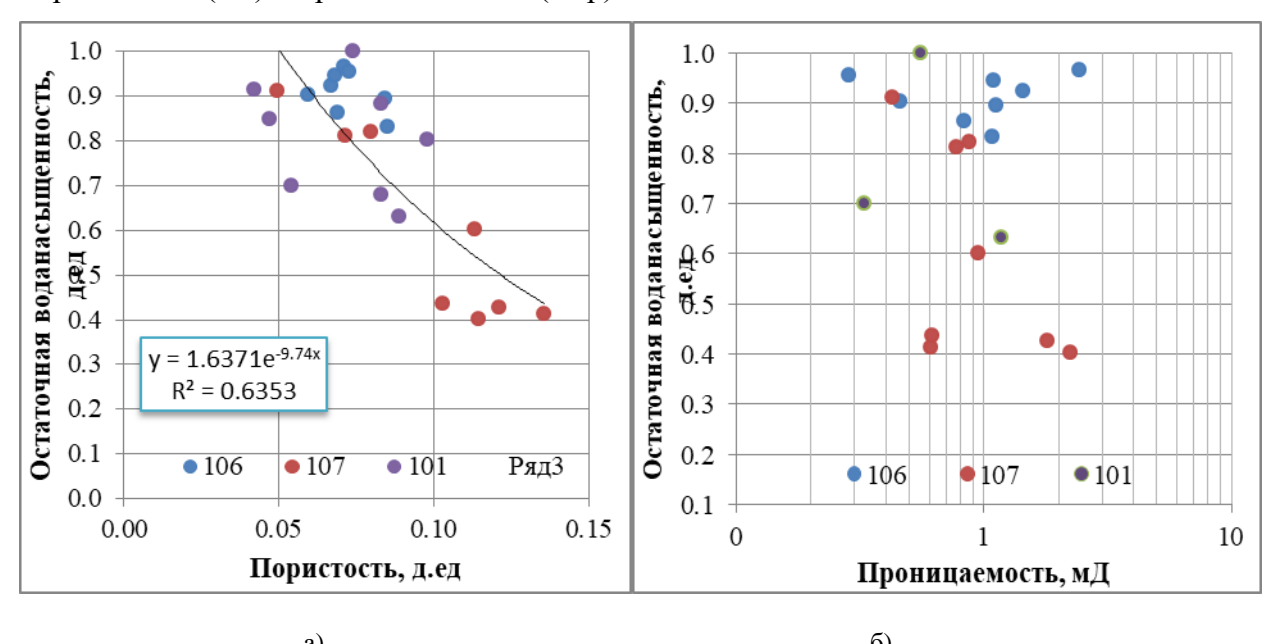


Рисунок 2.4.3 – Сопоставление остаточной водонасыщенности с а) пористостью и б) проницаемостью

Следуя рис. 2.4.3 связь остаточной водонасыщенности с пористостью описывается степенным уравнением с достаточно высоким коэффициентом аппроксимации

$$K_{BO}=1.637e^{-9.76K_{\Pi}}$$
 (R²=0.77) (2.3)



При сопоставлении Кво с проницаемостью связи не установлено. Отсутствие связи может быть связано со сложной структурой порового пространства.

Относительная фазовая проницаемость методом центрифугирования

Эксперимент выполнен на керне 3-х скважинах на 3-х составных образцах по 4 образца: скв.№101 (22ds, 24ds, 30ds, 36ds), скв.№106 (4ds, 15ds, 14ds, 50ds), скв.№107 (43ds, 44ds, 54ds, 56ds).

Петрофизическая характеристика образцов, на которых выполнялся эксперимент приведена в таблице (2.4.3).

Таблица 2.4.3 – Петрофизическая характеристика образцов керна, использованных для определения

фазовой проницаемости

| <u>разовои пр</u> | опицасмос | 1 11 | | | | | | | |
|-------------------|-----------|---------|----------------------|--------|--|---|---------------------|---------|-----------------------|
| Скв. | Пачка | Образец | Глубина отбора, м | Кп., % | Плотн- ость зерновая, г/см ³ | Прони- цаемость по газу *10 ⁻³ мкм ² | КІ *10 ⁻ | Пелит.% | Карбонат -ность, % |
| 106 | A | 4ds | 2109.78 | 8.85 | 2.73 | 2.502 | 1.768 | 1.0 | 1.0 |
| 106 | A | 15ds | 2113.77 | 14.95 | 2.69 | 1.927 | 1.363 | | |
| 106 | A | 14ds | 2114.10 | 16.32 | 2.68 | 1.681 | 1.179 | | |
| 106 | Б | 50ds | 2131.42 | 12.00 | 2.67 | 0.098 | 0.058 | 0.3 | 4.9 |
| 107 | Б | 43ds | 2130.95 | 15.32 | 2.66 | 13.963 | 11.147 | | |
| 107 | Б | 44ds | 2131.71 | 13.38 | 2.65 | 1.802 | 1.269 | | |
| 107 | Б | 54ds | 2136.17 | 12.93 | 2.66 | 3.67 | 2.719 | | |
| 107 | Б | 56ds | 2137.00 | 12.14 | 2.66 | 1.228 | 0.846 | 2.1 | 3 |
| 101 | Б | 22ds | 2103.07 | 14.48 | 2.70 | 0.1806 | | | |
| 101 | Б | 24ds | 2104.16 | 14.03 | 2.70 | 0.1936 | | | |
| 101 | Б | 30ds | 2106.65 | 14.32 | 2.68 | 0.0611 | | | |
| 101 | Б | 36ds | 2109.01 | 14.72 | 2.68 | 0.1874 | | | |

На рис. 2.4.5 приведены кривые относительной фазовой проницаемости

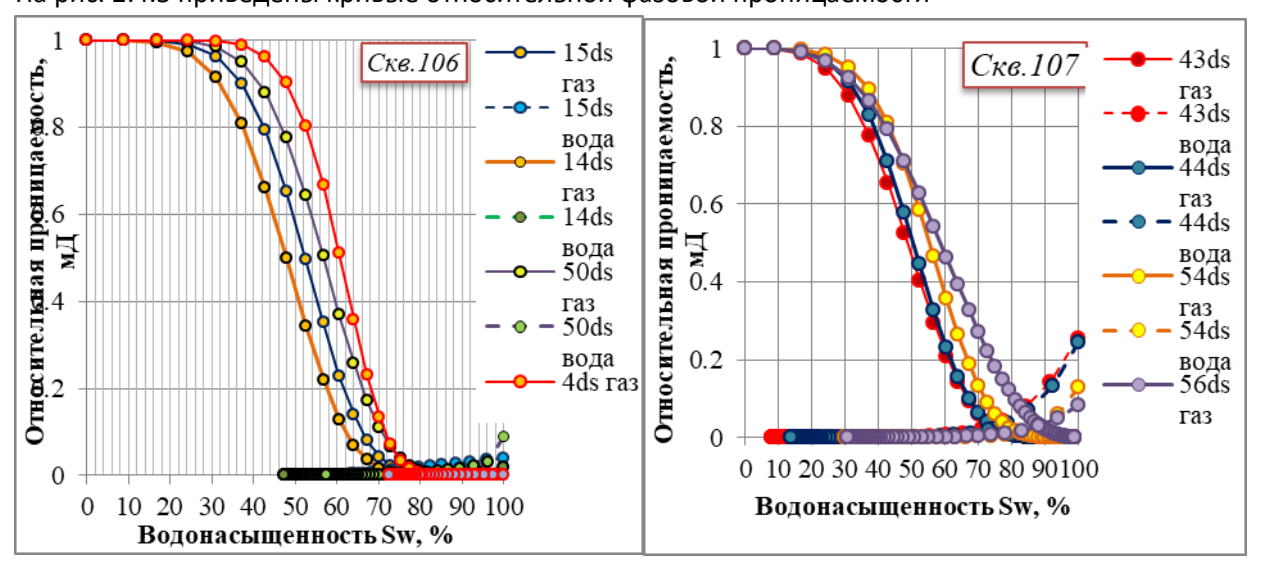


Рисунок 2.4.5 — Относительные фазовые проницаемости в системе газ-вода по керну залежи A в скважинам 106 и залежи Б в скважине 107



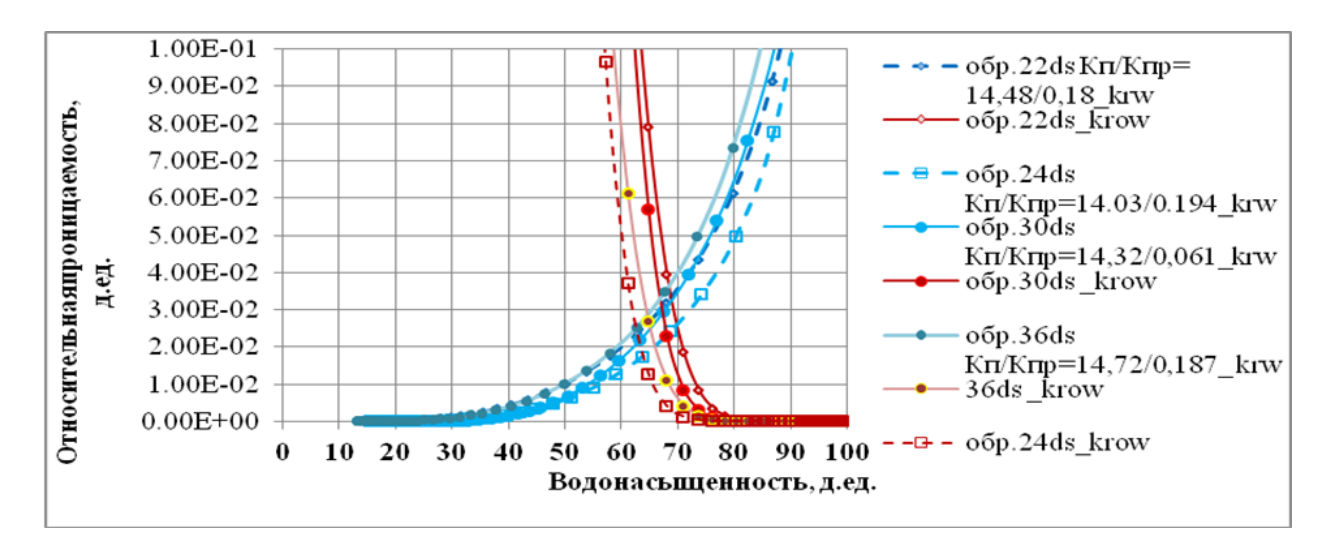


Рисунок 2.4.6 – Относительные фазовые проницаемости в системе газ-вода по керну залежи Б в скважине №101

Фазовые проницаемости воды и газа одинаковы при значениях коэффициента водонасыщенности 0,64-0,70 д.ед или коэффициенте газонасыщенности 0,30-0,36 на образцах с пористостью 14.39 % (скв.101); в скважинах 106, 107 на образцах с пористостью 13,03 % и 13,44 % при коэффициентах водонасыщенности в пределах 0,75 -0,85 д.ед или коэффициенте газонасыщенности 0,15-0,25.



2.5 Запасы газа и конденсата

По месторождению Айракты в 1981 году был первый подсчет запасов. В ГКЗ СССР были утверждены запасы только по залежам пермской и нижневизейской, а по турне были исключены, из за небольших размеров залежи.

По пермской залежи геологические запасы газа составили по категории $C_1 - 780$ млн.м³; по категории $C_2 - 2349$ млн.м³, геологические/извлекаемые запасы конденсата составили по категории $C_1 - 18$ тыс.т/16 тыс.т; по категории $C_2 - 44$ тыс.т/42 тыс.т (Протокол № 8884 от 27.11.1981г). Необходимо отметить, что при рассмотрении и утверждении запасов УВ на ГКЗ СССР по пермскому горизонту были внесены исправления, но к протоколу не приложена утвержденная таблица запасов газа и конденсата с подсчетными параметрами.

На Государственном балансе РК по состоянию изученности на 02.01.2014г. были утверждены запасы только по нижневизейской залежи (Протокол № 1531 – 15 – У от 23.02.2015).

В 2021 году ТОО «Проектный институт «ОРТІМИМ» был выполнен «Пересчет запасов газа и попутных компонентов ...» по состоянию изученности на 01.07.2020 г.

Согласно Протоколу ГКЗ РК №2349-21-У от 11.10.2021 г. на Государственный баланс РК приняты геологические / извлекаемые запасы в следующих количествах:

пластового газа

 $C_1 - 5393 \text{ млн.м}^3 / 2627 \text{ млн.м}^3$

 $C_2 - 948 \text{ млн.м}^3 / 356 \text{ млн.м}^3$;

конденсата

 $C_1 - 194$ тыс.т / 91 тыс.т,

 $C_2 - 34$ тыс.т / 11 тыс.т.

Запасы сухого газа составляют по категории: C_1 - 5338 млн.м³; C_2 - 939 млн.м³.

В таблице 2.5.1 представлены подсчитанные начальные геологические и извлекаемые, остаточные запасы пластового газа, в таблице 2.5.2 – подсчитанные запасы этана, пропана, бутанов, гелий в газе.



Таблица 2.5.1 – Месторождение Айракты. Подсчет начальных запасов газа и конденсата по состоянию на 01.07.2020 г.

| 1 40,1 | ица 2.5.1 | 1 – Miecio | рожде | ние Аира | <u>кты, 110д</u> | <u>счет нача</u> | льных зап | асов газ | а и кон | денсата | | | | .07.2020 | Γ. | | | | | | | | | | 1 | | | | 1 |
|-------------------------|-------------------|---------------|--------------------|------------------------------|---|-------------------------|-----------------------------|----------------------------|-----------|---------------|--------------------|---------------|-------------|---------------------------|-------------------------|----------------------------|---------------|--|-----------------------------|--|--|---|---------------------------------------|--|---------------------------|--------------------------------------|---------------------------------|-------------------------|---------------------|
| Гори- | Блок | | Кате- гори я | ности, тыс м ² | Средне- взвеш. эффект. газонасы -шенная | Объем газонась - щенных | доли ед. | | Пластовое | | Бойля- Мариотта | | Попр | мегапас- калей в | евода апас- ней в | пере- вода | Запасы сухого | 1 - | Извле- каемые запасы | газа, _{мпн.м³} | запась | Остаточные запасы газа, млн.м ³ жа | | Геологи ческие запасы конден- | коэфф. извле- чение | Извле- каемые запасы конден | е конден- ы сата, н тыс.т | Остато конден тыс | нсата, |
| залежь | | щения | Я | TLIC M2 | -шенная толщина , м | I | открытой порис- тости | газона- сыщен- ности | пачал | Конеч -ное | Нача ль- ное | Конеч- ное | ра- туру | физи- ческие атмосф | гязя. | запасов на сухой газ | мпн м3 | 1 | газа, млн.м ³ | 01.0 7.2 1 г | | | ного конденс., г/м ³ | сата | конден- сата | -сата, тыс.т | на 01.07.21г | гео- логи- ческие | извле каем ые |
| 1 | 2 | 3 | 4 | 5 | 6 | 7 | 8 | 9 | 10 | 11 | 12 | 13 | 14 | 15 | 16 | 17 | 18 | 19 | 20 | 21 | 22 | 23 | 24 | 25 | 26 | 27 | 28 | 29 | 30 |
| 1 | I (р-н | Г | - | 1942 | 4,0 | 7768 | 0,16 | 0,55 | 27,1 | 0,1 | 1,10 | 1,0 | 0,848 | 9,87 | 170 | 0,99 | | 0,380 | | 21 | | 23 | 35,88 | 6 | 0,368 | 2 | 20 | 2) | 30 |
| | скв 2) | ГВ | C2 | 1485 | 2,7 | 4010 | 0,16 | 0,55 | 27,1 | | 1,10 | 1,0 | 0,848 | 9,87 | 88 | 0,99 | | 0,380 | | | | | 35,88 | 3 | 0,368 | 1 | | | |
| | | Г | | 87 | 10,6 | 922 | 0,10 | 0,53 | 27,1 | 0,1 | 1,10 | | 0,848 | 9,87 | | 0,99 | | 0,506 | | - | - | | 35,88 | 1 | 0,308 | 0 | | | |
| | І (р-н | 1 | C1 | 0/ | 10,0 | 922 | 0,13 | 0,01 | 27,1 | 0,1 | 1,10 | 1,0 | 0,040 | 9,07 | 21 | 0,99 | 21 | 0,300 | 11 | | | | 33,00 | 1 | 0,490 | U | | | |
| | скв 102) | ГВ | CI | 1600 | 4,5 | 7200 | 0,15 | 0,61 | 27,1 | 0,1 | 1,10 | 1,0 | 0,848 | 9,87 | 164 | 0,99 | 162 | 0,506 | 83 | | | | 35,88 | 6 | 0,490 | 3 | | | |
| | | | C1 | 1687 | 4,8 | 8122 | | | | | | | | | 185 | | 183 | | 94 | | | | | 7 | | 3 | | | |
| | всего по | э I блоку | C2 | 3427 | 3,4 | 11778 | | | | | | | | | 258 | | 255 | | 98 | | | | | 9 | | 3 | | | |
| | | Г | C2 | 3546 | 1,9 | 6825 | 0,18 | 0,68 | 27,1 | 0,1 | 1,10 | 1,0 | 0,848 | 9,87 | 208 | 0,99 | | 0,380 | | | | | 35,88 | 7 | 0,368 | 3 | | | |
| C_1v_1 -A | | ГВ | C2 | 1015 | 1,9 | 1443 | 0,18 | 0,68 | 27,1 | 0,1 | 1,10 | 1,0 | 0,848 | 9,87 | 44 | 0,99 | | 0,380 | | - | | | 35,88 | 2 | 0,368 | 1 | | | |
| | II | Г | | 9545 | 8,1 | 77707 | 0,18 | 0,68 | 27,1 | 0,1 | 1,10 | 1,0 | 0,848 | 9,87 | 2365 | 0,99 | | 0,506 | | - | - | | 35,88 | 85 | 0,308 | 42 | | | |
| | - | ГВ | C1 | 3379 | 3,9 | 13011 | 0,18 | 0,68 | 27,1 | | 1,10 | | 0,848 | 9,87 | 396 | 0,99 | | 0,506 | | - | | | 35,88 | 14 | 0,490 | 7 | | | |
| | | 1 D | C1 | 12924 | | 90718 | 0,10 | 0,08 | 27,1 | 0,1 | 1,10 | 1,0 | 0,040 | 9,07 | 2761 | 0,99 | 2733 | 0,300 | 1397 | - | - | | 33,00 | 99 | 0,490 | 49 | | | |
| | всего по | II блоку | C1 C2 | | 7,0 | | | | | | | | | | | | 250 | | 96 | | | | | 99 | | | | | |
| | | Г | C2 | 4561 | 1,8 | 8268 | 0.15 | 0.40 | 27.1 | 0.1 | 1 10 | 1.0 | 0.040 | 0.07 | 252 | 0.00 | | 0.200 | | | | | 25.00 | 9 | 0.260 | 4 | | | |
| | III | I | C2 | 853 | 2,2 | 1877 | 0,15 | 0,40 | 27,1 | 0,1 | 1,10 | 1,0 | 0,848 | 9,87 | 28 | 0,99 | | 0,380 | | | | | 35,88 | 1 | 0,368 | 0 | | | |
| | | ГВ | CO | 486 | 1,9 | 923 | 0,15 | 0,40 | 27,1 | 0,1 | 1,10 | 1,0 | 0,848 | 9,87 | 14 | 0,99 | | 0,380 | | | | | 35,88 | 1 | 0,368 | 0 | | | |
| | всего по | III блоку | C2 | 1339 | 2,1 | 2800 | | | | 1 | | | | | 42 | | 42 | - | 16 | | | | | 2 | | 0 | | | |
| итог | го по С1у | 71-A: | C1 | 14611 | 6,8 | 98840 | | | | | | | | | 2946 | | 2916 | | 1491 | | | | | 106 | | 52 | | | |
| | - I | | C2 | 9327 | 2,4 | 22846 | 0.44 | 0.70 | 25.1 | 0.4 | 1.10 | 4.0 | 0.040 | 0.05 | 552 | 0.00 | 547 | 0.505 | 210 | | | | 27.00 | 20 | 0.400 | 7 | | | |
| | l | I. | G1 | 282 | 12,3 | 3469 | 0,14 | 0,59 | 27,1 | 0,1 | 1,10 | 1,0 | 0,848 | 9,87 | 71 | 0,99 | 70 | 0,506 | 36 | | | | 35,88 | 3 | 0,490 | 1 | | | |
| | (р-н скв 102) | ГВ | C1 | 1852 | 5,8 | 10742 | 0,14 | 0,59 | 27,1 | 0,1 | 1,10 | 1,0 | 0,848 | 9,87 | 221 | 0,99 | 219 | 0,506 | 112 | | | | 35,88 | 8 | 0,490 | 4 | | | |
| | всего по | о I блоку | C1 | 2134 | 6,7 | 14211 | | | | | | | | | 292 | | 289 | | 148 | | | | | 11 | | 5 | | | |
| | | Γ | C2 | 3034 | 3,8 | 11439 | 0,14 | 0,64 | 27,1 | 0,1 | 1,10 | 1,0 | 0,848 | 9,87 | 255 | 0,99 | 252 | 0,380 | 97 | | | | 35,88 | 9 | 0,368 | 3 | | | |
| СГ | 11 | ГВ | C2 | 1528 | 2,6 | 3996 | 0,14 | 0,64 | 27,1 | 0,1 | 1,10 | 1,0 | 0,848 | 9,87 | 89 | 0,99 | 88 | 0,380 | 34 | | | | 35,88 | 3 | 0,368 | 1 | | | |
| C_1 v ₁ -Б | II | Γ | C1 | 11105 | 6,3 | 70280 | 0,14 | 0,64 | 27,1 | 0,1 | 1,10 | 1,0 | 0,848 | 9,87 | 1566 | 0,99 | 1550 | 0,506 | 792 | | | | 35,88 | 56 | 0,490 | 27 | | | |
| | | ГВ | C1 | 2097 | 3,6 | 7517 | 0,14 | 0,64 | 27,1 | 0,1 | 1,10 | 1,0 | 0,848 | 9,87 | 167 | 0,99 | 165 | 0,506 | 85 | | | | 35,88 | 6 | 0,490 | 3 | | | |
| | | п.с | C1 | 13202 | 5,9 | 77797 | | | | | | | | | 1733 | | 1715 | | 877 | | | | | 62 | | 30 | | | |
| | всего по | II блоку | C2 | 4562 | | 15435 | | | | | | | | | 344 | | 340 | | 131 | | | | | 12 | | 4 | | | |
| | III | ГВ | C2 | 1218 | 1,4 | 1705 | 0,14 | 0,45 | 27,1 | 0,1 | 1,10 | 1,0 | 0,848 | 9,87 | 27 | 0,99 | 27 | 0,380 | 10 | | | | 35,88 | 1 | 0,368 | 0 | | | |
| | всего по | III блоку | C2 | 1218 | 1,4 | 1705 | | | | | | | | | 27 | | 27 | | 10 | | | | | 1 | | 0 | | | |
| | C | г. | C1 | 15336 | 6,0 | 92008 | | | | | | | | | 2025 | | 2004 | | 1025 | | | | | 73 | | 35 | | | |
| итог | о по С1v1 | 1 -D : | C2 | 5780 | 3,0 | 17140 | | | | | | | | | 371 | | 367 | | 141 | | | | | 13 | | 4 | | | |
| В | СЕГО П | 0 | C1 | 29947 | 6,4 | 190848 | | | | | | | | | 4971 | | 4920 | | 2516 | 128,63 | 4791,37 | 2387,37 | | 179 | | 87 | 1,66 | 177,34 | 85,34 |
| НИЖИН ОТ | ЕВИЗЕЙ(РИЗОНТ | | C2 | 15107 | 2,6 | 39986 | | | | | | | | | 923 | | 914 | | 351 | | | | | 33 | | 11 | | | |
| C ₁ Sr | III | ГВ | C2 | 2108 | 1,4 | 2951 | 0,10 | 0,53 | 15,8 | 0,1 | 1,18 | 1,0 | 0,863 | 9,87 | 25 | 0,99 | 25 | 0,197 | 5 | | <u> </u> | | 35,88 | 1 | 0,200 | 0 | | | |
| C151 | II | ГВ | C1 | 4416 | 4,0 | 17664 | 0,10 | 0,72 | 15,8 | 0,1 | 1,18 | 1,0 | 0,863 | 9,87 | 422 | 0,99 | | 0,263 | | | | | 35,88 | 15 | 0,266 | 4 | | | |
| | | по IV | C1 | 4416 | 4,0 | 17664 | 0,21 | 5,72 | 15,0 | 0,1 | 1,10 | 1,0 | 0,003 | 7,07 | 422 | 0,77 | 418 | 0,203 | 111 | | | | 22,00 | 15 | 0,200 | 4 | | | |
| | ьсего бло | | C2 | 2108 | 1,4 | 2951 | | | 1 | 1 | | | | | 25 | | 25 | | 5 | | | | | 1 | | 0 | | | |
| D | СЕГО П | | C1 | 4416 | 4,0 | 17664 | | | | + | | - | | | 422 | | 418 | | 111 | - | - | | | 15 | | 4 | | | |
| | YXOBCI | | | | 7,0 | | | | - | + | | | | | 722 | | | - | | - | | | | 13 | | - | | | |
| | у ДОВСТ РИЗОНТ | | C2 | 2108 | 1,4 | 2951 | | | | | | | | | 25 | | 25 | | 5 | | | | | 1 | | 0 | | | |
| | того п | | C1 | 34363 | 6,1 | 208512 | | | | | | | | | 5393 | | 5338 | | 2627 | 128,63 | 4791 37 | 2387 37 | | 194 | | 91 | 1,66 | 177,34 | 85 34 |
| | рожді | | C2 | 17215 | 2,5 | 42937 | | | 1 | 1 | | | | | 948 | | 939 | | 356 | 120,00 | 1.71,01 | _001,01 | | 34 | | 11 | 1,00 | 111,554 | 55,54 |
| | л | | C2 | 11210 | -,0 | 12/01 | I . | <u> </u> | l | I | | I | <u> </u> | | 710 | | ,,, | | 550 | | | | | | <u> </u> | ** | | 1 | <u> </u> |

Таблица 2.5.2 – Месторождение Айракты. Подсчёт запасов этана, пропана, бутанов, гелий в газе по состоянию на 01.07.2021 г.

| · | Кате- гори | орождение Айракты. Запасы газа, млн.м ³ | | добыча газа, | Остаточные запасы газа, млн.м3 | | Потенциальное содержание, г/м ³ | | Содер | Запасы , тыс.т. | | | | | | | Остаточные запасы , тыс.т. | | | | | | | Остаточные запасы гелия млн.м ³ | | |
|---------------------|------------------|--|--------|-----------------|--------------------------------|---------|--|-------|-------|-----------------|-------------------------|------------------|-----------------|------------------|-----------------|------------------|----------------------------|------------------|-------------------------|------|--------------------------|------------------|-----------------|--|-----------------|--------------|
| Горизонт, залежь | я запа- | геологи- | извле- | млн.м3 на | геологи | извле- | | Пno- | бутан | жание гелия, | | ана | проі Гео- | тана Г | бута: Гео- | нов | <u> </u> | ана | пропа | | бут | анов | Гео- | извле | Гео- | Изв- |
| | сов | ческие | каемые | 01.07.21r · | -ческие | каемые | і эгана | пана | | % | Гео- логи- ческие | извле- каемые | логи- ческие | извле- каемые | логи- ческие | извле- каемые | Гео- логи- ческие | извле- каемые | Гео- логи- ческие | | 1 ео- логи- ческие | извле- каемые | логи- ческие | -кае- мые 25 2,3 0,3 1,6 0,2 3,8 0,5 - 0 0 3,8 | логи- ческие | пекае мые |
| 1 | 2 | 3 | 4 | 5 | 6 | 7 | 8 | 9 | 10 | 11 | 12 | 13 | 14 | 15 | 16 | 17 | 18 | 19 | 20 | 21 | 22 | 23 | 24 | 25 | 26 | 27 |
| C_1v_1 -A | C_1 | 2946 | 1491 | | | | 79,42 | 37,6 | 17,41 | 0,153 | 234 | 118,4 | 110,8 | 56,1 | 51,3 | 26 | | | | | | | 4,5 | 2,3 | | |
| CIVI-A | C_2 | 552 | 210 | | | | 79,42 | 37,6 | 17,41 | 0,153 | 43,8 | 16,7 | 20,8 | 7,9 | 9,6 | 3,7 | | | | | | | 0,8 | 0,3 | | |
| С1V1-Б | C_1 | 2025 | 1025 | | | | 79,42 | 37,6 | 17,41 | 0,153 | 160,8 | 81,4 | 76,1 | 38,5 | 35,3 | 17,8 | | | | | | | 3,1 | 1,6 | | |
| C[V]-D | C_2 | 371 | 141 | | | | 79,42 | 37,6 | 17,41 | 0,153 | 29,5 | 11,2 | 13,9 | 5,3 | 6,5 | 2,5 | | | | | | | 0,6 | 0,2 | | |
| итого по | \mathbf{C}_{1} | 4971 | 2516 | 128,63 | 4842,37 | 2387,37 | | | | | 394,8 | 199,8 | 186,9 | 94,6 | 86,5 | 43,8 | 384,6 | 189,6 | 182,1 | 89,8 | 84,3 | 41,6 | 7,6 | 3,8 | 7,4 | 3,6 |
| C_1v_1 | C_2 | 923 | 351 | | | | | | | | 73,3 | 27,9 | 34,7 | 13,2 | 16,1 | 6,1 | | | | | | | 1,4 | 0,5 | | |
| C_1 sr | C_1 | 422 | 85 | | | | 101,31 | 46,59 | 24,18 | - | 42,8 | 8,6 | 19,7 | 4 | 10,2 | 2,1 | | | | | | | - | - | | |
| Clsi | C_2 | 25 | 5 | | | | 101,31 | 46,59 | 24,18 | - | 2,5 | 0,5 | 1,2 | 0,2 | 0,6 | 0,1 | | | | | | | - | - | | |
| итого по | $\mathbf{C_1}$ | 422 | 111 | | | | | | | | 42,8 | 8,6 | 19,7 | 4 | 10,2 | 2,1 | | | | | | | 0 | 0 | | |
| C ₁ sr | C ₂ | 25 | 5 | | | | | | | | 2,5 | 0,5 | 1,2 | 0,2 | 0,6 | 0,1 | | | | | | | 0 | 0 | | |
| Всего по | C ₁ | 5393 | 2627 | | | | | | | | 437,5 | 208,4 | 206,6 | 98,6 | 96,7 | 45,9 | 384,6 | 189,6 | 182,1 | 89,8 | 84,3 | 41,6 | 7,6 | 3,8 | 7,4 | 3,6 |
| месторож- дению | C ₂ | 948 | 356 | | | | | | | | 75,8 | 28,4 | 35,9 | 13,4 | 16,7 | 6,2 | | | | | | | 1,4 | 0,5 | | |

З ПОДГОТОВКА ГЕОЛОГО-ПРОМЫСЛОВОЙ И ТЕХНИКО-ЭКОНОМИЧЕСКОЙ ОСНОВЫ ДЛЯ ПРОЕКТИРОВАНИЯ РАЗРАБОТКИ

3.1 Анализ результатов газогидродинамических исследований скважин и пластов, характеристика их продуктивности и режимов

На месторождении Айракты в период ОПЭ проводились 43 газодинамических исследований на стационарных (МУО) и нестационарных (КВД) режимах фильтрации, из них 1 исследование методом МУО и 40 исследований методом КВД на горизонте нижневизей (C₁v₁), и 2 исследования КВД на горизонте серпуховское (C₁sr).

Газодинамические исследования методом неустановившихся отборов — записью кривой восстановления давления (КВД), проведены во всех скважинах, которые позволили уточнить коэффициенты фильтрационных сопротивлений (КФС), а также другие фильтрационно-емкостные свойства (ФЕС) коллекторов призабойной зоны скважин (ПЗС). А также были замерены забойные давления по всем добывающим скважинам.

В таблице 3.1.4 приведены результаты газодинамических исследований по всем скважинам месторождения, за период 2017-2021 гг.

Начальное пластовое давление по нижневизейскому горизонту взято по скважине $№1\Gamma - 27,1$ МПа, по серпуховскому горизонту -15,53 МПа.

Ниже по тексту приводятся результаты ГДИС исследований по скважинам.

<u>В 2017</u> было проведено 2 газодинамических исследований методом КВД по двум скважинам (№1Г и №6).

В скважине 1Г, 29 сентября 2017 г. было проведено газодинамическое исследование методом КВД, замерено пластовое давление и определены фильтрационно-емкостные свойства. Замеры давления в скважине выполнены прибором КСАТ-ПЛТ на глубине 2080 метров. Дебит скважины определен по фактической добыче за время проведения работ. Интерпретация ГДИС выполнялась в программном модуле Saphir NL. Проницаемость составила 0,784 мД, пластовое давление — 15,6 МПа, определенная отрицательная величина скин-фактора (-1,47) свидетельствует об улучшенном состоянии призабойной зоны пласта. Из-за короткого времени исследования пластовое давление возможно не восстановленное и при дальнейших исследованиях рекомендуется увеличить длительность регистрации КВД как минимум до 15 дней.

В скважине 6Г, с 8 по 9 октября 2017 г. было проведено газодинамическое исследование методом КВД, замерено пластовое давление и определены фильтрационно-емкостные свойства. Замеры давления в скважине выполнены прибором КСАТ-ПЛТ на



глубине 2120 метров. Дебит скважины определен по фактической добыче за время проведения работ. Интерпретация ГДИС выполнялась в программном модуле Saphir NL. Проницаемость составила 0,480 мД, пластовое давление — 13,3 МПа, определенная отрицательная величина скин-фактора (-1,7) свидетельствует об улучшенном состоянии призабойной зоны пласта. Из-за короткого времени исследования пластовое давление возможно не восстановленное и при дальнейших исследованиях рекомендуется увеличить длительность регистрации КВД как минимум до 15 дней.

<u>В 2018</u> было проведено 13 газодинамических исследований по пяти скважинам (№№1 Γ , 6 Γ , 101, 102, 103), из них 7 исследований методом КВД и 6 замеров забойного давления.

С 27 по 28 июня 2018 г., *на скважине 1Г* ТОО «УзеньГеоСервис» провели ГИС-к исследования на профиль притока с оценкой текущей насыщенности пластов-коллекторов методом импульсно нейтрон-нейтронного каротажа (ИННК), с измерениями термометрии и барометрии в статическом и динамическом режимах забойного давления и последующим снятием КВД.

Результаты КВД были обработаны в программном продукте «Saphir NL Ecrin ». По результатам интерпретации КВД было определено пластовое давление, а также другие фильтрационно-емкостные свойства (ФЕС). Пластовое давление составило 11,37 МПа, однако учитывая, что период исследования методом КВД составил 3 дня, определенное пластовое давление является непредставительным.

С 1 августа по 3 сентября 2018 г., в скважине 1Г провели исследования методом КВД специалистами ТОО «Алстрон», обработка данных производилась в программном комплексе «Рап System». Обработка кривой давления по методике Хорнера позволила определить ФЕС пластов-коллекторов. По результатам определена проницаемость, которая составила 0,42 мД, пластовое давление — 16,6 МПа, забойное давление — 8,7 МПа. Скинфактор показал отрицательное значение -2,23, что говорит о хорошем состоянии призабойной зоны скважины.

В скважине 6Г, с 1 августа по 1 сентября 2018 г., проведено гидродинамическое исследование методом КВД. Обработка данных проводилась на верхний интервал перфорации *(2090 м)* при помощи специализированного программного продукта PanSystem. По результатам графоаналитической обработки кривых определены следующие параметры: проницаемость, скин-фактор, давление пласта. Проницаемость составила 0,081 мД, пластовое давление — 21,2 МПа, забойное давление — 7,8 МПа. Скин-фактор показал



отрицательное значение -1,68, что говорит о хорошем состоянии призабойной зоны скважины.

В скважине 101, с 1 по 25 августа 2018 г., проведено гидродинамическое исследование методом КВД. Обработка данных проводилась на верхний интервал перфорации (2074.5 м) при помощи специализированного программного продукта PanSystem. По результатам графоаналитической обработки кривых определены следующие параметры: проницаемость, скин-фактор, давление пласта. Проницаемость составила 0,03 мД, пластовое давление — 20,7 МПа, забойное давление — 7,3 МПа. Скин-фактор показал отрицательное значение -2,48, что говорит о хорошем состоянии призабойной зоны скважины.

С 1 августа по 1 сентября 2018 г. *в скважине 102* провели исследования методом КВД специалистами ТОО «Алстрон», обработка данных производилась в программном комплексе «Рап System». Обработка кривой давления по методике Хорнера позволила определить ФЕС пластов-коллекторов. По результатам определена проницаемость, которая составила 0,54 мД, пластовое давление — 15,0 МПа, забойное давление — 8,6 МПа. Скинфактор показал отрицательное значение -2,13, что говорит о хорошем состоянии призабойной зоны скважины.

С 29 по 30 июня 2018 г., *в скважине 103* ТОО «УзеньГеоСервис» провели ГИС-к исследования на профиль притока с оценкой текущей насыщенности пластов-коллекторов методом импульсно нейтрон-нейтронного каротажа (ИННК), с измерениями термометрии и барометрии в статическом и динамическом режимах забойного давления и последующим снятием КВД. По кривой МН давление на забое в динамическом режиме составило 8,2 МПа, в статическом – 9,3 МПа.

Результаты КВД были обработаны в программном продукте «Saphir NL Ecrin ». По результатам интерпретации КВД было определено пластовое давление, а также другие фильтрационно-емкостные свойства (ФЕС). Пластовое давление составило 9,4 МПа, однако учитывая что, период исследования методом КВД составил 4 дня, результат определения пластового давления является непредставительным.

С 1 по 25 августа 2018 г. проведено гидродинамическое исследование методом КВД. Обработка данных проводилась на верхний интервал перфорации (2089 м) при помощи специализированного программного продукта PanSystem. По результатам графоаналитической обработки кривых определены следующие параметры: проницаемость, скин-фактор, давление пласта. Проницаемость составила 0,03 мД,



пластовое давление — 19,2 МПа, забойное давление — 7,7 МПа. Скин-фактор показал отрицательное значение -5,64, что говорит о хорошем состоянии призабойной зоны скважины.

<u>В 2019</u> было проведено 14 газодинамических исследований, одно исследование методом МУО и 13 исследований методом КВД по семи скважинам (№№1 Γ , 6 Γ , 101, 102, 103, 104, 105).

С 1 августа по 21 августа 2019 г., *в скважине 1Г* провели исследования методом КВД специалистами ТОО «Алстрон», обработка данных производилась в программном комплексе «Рап System». Обработка кривой давления по методике Хорнера позволила определить ФЕС пластов-коллекторов. По результатам определена проницаемость, которая составила 0,42 мД, пластовое давление — 17,0 МПа, забойное давление — 10,7 МПа. Скинфактор показал положительное значение 1,24, что может указывать на загрязнение призабойной зоны скважины.

27 декабря 2019 г. в скважине 1Г было проведено газодинамическое исследование методом КВД, замерено пластовое давление и определены фильтрационно-емкостные свойства. Замеры давления в скважине выполнены прибором Сова-3 №23 на глубине 2068 метров. Дебит скважины определен по фактической добыче за время проведения работ. Интерпретация ГДИС выполнялась в программном модуле Saphir NL. Определенная отрицательная величина скин-фактора (-2,04) свидетельствует об улучшенном состоянии призабойной зоны пласта. При дальнейших исследованиях рекомендуется увеличить длительность регистрации КВД как минимум до 15 дней.

В скважине 6Г, с 1 августа по 19 августа 2019 г., проведено гидродинамическое исследование методом КВД. Обработка данных проводилась на интервале перфорации 2115.0-2155.0 м при помощи специализированного программного продукта PanSystem. По результатам графоаналитической обработки кривых определены следующие параметры: проницаемость, скин-фактор, давление пласта. Проницаемость составила 0,090 мД, пластовое давление — 19,6 МПа, забойное давление — 6,8 МПа. Скин-фактор показал отрицательное значение -2,2, что говорит о хорошем состоянии призабойной зоны скважины.

В скважине 101, С 1 августа по 19 августа 2019 г., проведено гидродинамическое исследование методом КВД. Обработка данных проводилась на верхний интервал перфорации (2074.5 м) при помощи специализированного программного продукта PanSystem. По результатам графоаналитической обработки кривых определены следующие



параметры: проницаемость, скин-фактор, давление пласта. Проницаемость составила 0,048 мД, пластовое давление — 17,2 МПа, забойное давление — 9,7 МПа. Скин-фактор показал отрицательное значение -3,42, что говорит о хорошем состоянии призабойной зоны скважины.

12 декабря 2019 г. в скважине 101 было проведено газодинамическое исследование методом КВД, замерено пластовое давление и определены фильтрационно-емкостные свойства. Замеры давления в скважине выполнены прибором АГАТ-К9-Т2 №602 на глубине 2070 метров. Дебит скважины определен по фактической добыче за время проведения работ. Интерпретация ГДИС выполнялась в программном модуле Saphir NL. Определенная положительная величина скин-фактора (0,89) свидетельствует о некотором загрязнении призабойной части коллектора. При дальнейших исследованиях рекомендуется выполнять ежесуточный замер дебита газа во время и перед проведением ГДИС, длительность КВД необходимо увеличить как минимум до как минимум до 15 дней.

В скважине 102, С 1 августа по 19 августа 2019 г., проведено гидродинамическое исследование методом КВД. Обработка данных проводилась на интервале перфорации 2135 м при помощи специализированного программного продукта PanSystem. По результатам графоаналитической обработки кривых определены следующие параметры: проницаемость, скин-фактор, давление пласта. Проницаемость составила 0,106 мД, пластовое давление — 14,5 МПа, забойное давление — 8,3 МПа. Скин-фактор показал отрицательное значение -4,92, что говорит о хорошем состоянии призабойной зоны скважины.

С 15 по 16 июля 2019 г. в скважине 102 было проведено газодинамическое исследование методом КВД, замерено пластовое давление и определены фильтрационно-емкостные свойства. Замеры давления в скважине выполнены прибором Сова-3 №23 на глубине 2061,2 метров. Дебит скважины определен по фактической добыче за время проведения работ. Интерпретация ГДИС выполнялась в программном модуле Saphir NL. Определенная отрицательная величина скин-фактора (-0,596) свидетельствует об улучшенном состоянии призабойной зоны пласта. В связи с недовосстановленностю интерполированного пластового давления, в дальнейших исследованиях рекомендуется увеличить длительность регистрации КВД как минимум до 15 дней.

В скважине 103, С 1 августа по 19 августа 2019 г., проведено гидродинамическое исследование методом КВД. Обработка данных проводилась на интервале перфорации 2089.0-2115.0 м при помощи специализированного программного продукта PanSystem. По



результатам графоаналитической обработки кривых определены следующие параметры: проницаемость, скин-фактор, давление пласта. Проницаемость составила 0,193 мД, пластовое давление — 17,3 МПа, забойное давление — 8,8 МПа. Скин-фактор показал отрицательное значение -6, что говорит о хорошем состоянии призабойной зоны скважины.

В скважине 104, с 11 января по 16 января 2019 г. проведены газодинамические исследования методом установившегося режима посредством замены шайбы и методом неустановившегося режима запись КВД.

Газодинамические исследования в интервалах 2067-2072, 2073-2075, 2079-2100, 2106-2115, 2134-2138 м проводились 11-16.01.2019 г. Сначала были проведены исследования методом установившихся отборов (МУО) на 7-ми режимах работы путём изменения диаметра шайбы в следующем порядке: 4 мм - 5 мм - 6 мм - 7 мм - 6 мм - 5 мм - 7 мм — 7 мм. На КВД скважина простояла 4 дня (13 — 16 января 2019 г.) (табл. 3.1.2-3.1.3).

На исследование КВД скважина была остановлена на 31.30 час. Дебит газа в скважине перед закрытием на КВД составляло 13.5 тыс. м³/сут. На замер КВД в данной скважине было выделено достаточное время для восстановления давления. Поток в пласте остается радиальным, но его интенсивность резко снижается из-за аномально высокого гидравлического сопротивления призабойной зоны. Скин фактор кольматации — 7.76, связанное с ухудшением проницаемости призабойной зоны вследствие загрязнения пласта (в процессе бурения, освоения, капитального ремонта).

С 1 августа по 19 августа 2019 г., проведено гидродинамическое исследование методом КВД. Обработка данных проводилась на интервале перфорации 2089 м при помощи специализированного программного продукта PanSystem. По результатам графоаналитической обработки кривых определены следующие параметры: проницаемость, скин-фактор, давление пласта. Проницаемость составила 0,165 мД, пластовое давление — 22,0 МПа, забойное давление — 9,5 МПа. Скин-фактор показал отрицательное значение -4,11, что говорит о хорошем состоянии призабойной зоны скважины.

В скважине 105, 29 января 2019 г. проведено газодинамическое исследование методам неустановившейся фильтрации (КВД) специалистами ТОО «УзеньГеоСервис», интерпретация ГДИС выполнялась в программном модуле Saphir NL.

Замеры давления в скважине выполнены прибором Кса-Т-МО на глубине 2130 м (верхний интервал перфорации). По результатам интерпретации КВД было определено пластовое давление, а также другие фильтрационно-емкостные свойства (ФЕС). Пластовое



давление составило 25,3 МПа, однако нужно отметить, что период исследования методом КВД составляет 4 дня, скин-фактор показал отрицательное значение -1,88, что говорит о хорошем состоянии призабойной зоны скважины.

С 17 по 18 июля 2019 г. ТОО «УзеньГеоСервис» провели ГИС-к исследования на профиль притока с оценкой текущей насыщенности пластов-коллекторов методом импульсно нейтрон-нейтронного каротажа (ИННК), с измерениями термометрии и барометрии в статическом и динамическом режимах забойного давления и последующим снятием КВД.

Результаты КВД были обработаны в программном продукте «Saphir NL Ecrin». По результатам интерпретации КВД было определено пластовое давление, а также другие фильтрационно-емкостные свойства (ФЕС). Пластовое давление составило 15,4 МПа, однако учитывая, что период исследования методом КВД составил 2 дня, результат определения пластового давления является непредставительным.

С 1 августа по 19 августа 2019 г., проведено гидродинамическое исследование методом КВД. Обработка данных проводилась на интервале перфорации 2129.0-2200,0 м при помощи специализированного программного продукта PanSystem. По результатам графоаналитической обработки кривых определены следующие параметры: проницаемость, скин-фактор, давление пласта. Проницаемость составила 0,029 мД, пластовое давление — 27,2 МПа, забойное давление — 15,2 МПа. Скин-фактор показал отрицательное значение -1,36, что говорит о хорошем состоянии призабойной зоны скважины.

В 2020 было проведено 10 газодинамических исследований методом КВД по девяти скважинам (№№1 Γ , 6 Γ , 101, 102, 103, 104, 105, 106, 8 Γ).

В скважине 1Г С 30 июля по 15 августа 2020 года проведены исследования методом КВД специалистами ТОО «Алстрон», обработка данных производилась в программном комплексе «Рап System». Обработка кривой давления по методике Хорнера позволила определить ФЕС пластов-коллекторов. По результатам определена проницаемость, которая составила 0,42 мД, пластовое давление — 18,0 МПа, забойное давление — 7,7 МПа. Скинфактор показал положительное значение 1,66.

В скважине 6Г, с 28 июля по 18 августа 2020 года проведено газодинамическое исследование методом КВД. Обработка данных проводилась при интервале перфорации (2115.0-2155.0 м) с помощью специализированного программного продукта PanSystem. По результатам графоаналитической обработки кривых определены следующие параметры:



проницаемость, скин-фактор, давление пласта. Проницаемость составила 0,182 мД, пластовое давление — 18,3 МПа, забойное давление — 10,1 МПа. Скин-фактор показал отрицательное значение -1,99, что говорит о хорошем состоянии призабойной зоны скважины.

В скважине 101, с 28 июля по 18 августа 2020 г. было проведено газодинамическое исследование методом КВД, замерено пластовое давление и определены фильтрационноемкостные свойства. Замеры давления в скважине выполнены прибором АЦМ-6 №6801 на глубине 1900 метров. Обработка данных как кривой восстановления давления выполнялась при помощи программного продукта PanSystem. Определенная отрицательная величина скин-фактора (-3,9) свидетельствует об улучшенном состоянии призабойной зоны скважины. Интерполированное пластовое давление составило 15,3 МПа. Проницаемость составила 0,042 мД.

В скважине 102, с 28 июля по 15 августа 2020 г. было проведено газодинамическое исследование методом КВД, замерено пластовое давление и определены фильтрационно-емкостные свойства. Замеры давления в скважине выполнены прибором АЦМ-6 №6801 на глубине 2000 метров. Обработка данных как кривой восстановления давления выполнялась при помощи программного продукта PanSystem. Определенная отрицательная величина скин-фактора (-4,65) свидетельствует об улучшенном состоянии призабойной зоны скважины. Интерполированное пластовое давление составило 13,5 МПа. Проницаемость составила 0,051 мД.

В скважине 103, С 28 июля по 17 августа 2020 г. было проведено газодинамическое исследование методом КВД, замерено пластовое давление и определены фильтрационно-емкостные свойства. Замеры давления в скважине выполнены прибором АЦМ-6 №6801 на глубине 1900 метров. Обработка данных как кривой восстановления давления выполнялась при помощи программного продукта PanSystem. Определенная отрицательная величина скин-фактора (-5,93) свидетельствует о чистом состоянии призабойной зоны скважины. Интерполированное пластовое давление составило 14,7 МПа. Проницаемость составила 0,19 мД.

В скважине 104, С 30 июля по 20 августа 2020 г. было проведено газодинамическое исследование методом КВД, замерено пластовое давление и определены фильтрационно-емкостные свойства. Замеры давления в скважине выполнены прибором АЦМ-6 №6844 на глубине 2067 метров. Обработка данных как кривой восстановления давления выполнялась при помощи программного продукта PanSystem. Определенная отрицательная величина



скин-фактора (-4,04) свидетельствует о чистом состоянии призабойной зоны скважины. Интерполированное пластовое давление составило 18,3 МПа. Проницаемость составила 0,151 мД.

В скважине 105, С 28 июля по 17 августа 2020 г., в скважине 105 было проведено газодинамическое исследование методом КВД, замерено пластовое давление и определены фильтрационно-емкостные свойства. Замеры давления в скважине выполнены прибором GAMT №21 на глубине 2129 метров. Обработка данных как кривой восстановления давления выполнялась при помощи программного продукта PanSystem. Определенная отрицательная величина скин-фактора (-3,6) свидетельствует об улучшенном состоянии призабойной зоны скважины. Интерполированное пластовое давление составило 23,8 МПа. Проницаемость составила 0,0543 мД.

В скважине 106, с 29 по 30 июня 2020 г. было проведено газодинамическое исследование методом КВД, замерено пластовое давление и определены фильтрационноемкостные свойства. Замеры давления в скважине выполнены прибором КСА-Т12 1088 №23 на глубине 2100 метров. Дебит скважины определен по фактической добыче за время проведения работ. Интерпретация ГДИС выполнялась в программном модуле Saphir NL. Определенная отрицательная величина скин-фактора (-0,335) свидетельствует об улучшенном состоянии призабойной зоны пласта. При дальнейших исследованиях рекомендуется увеличить длительность регистрации КВД как минимум до 15 дней.

С 28 июля по 18 августа 2020 г., проведено гидродинамическое исследование методом КВД. Обработка данных проводилась на интервале перфорации 1800 м при помощи специализированного программного продукта PanSystem. По результатам графоаналитической обработки кривых определены следующие параметры: проницаемость, скин-фактор, давление пласта. Проницаемость составила 0,075 мД, пластовое давление — 20,6 МПа, забойное давление — 7,8 МПа. Скин-фактор показал отрицательное значение -3,3, что говорит о хорошем состоянии призабойной зоны скважины.

В скважине 8Г, с 30 декабря по 31 декабря 2020 г. ТОО «УзеньГеоСервис» провели ГИС-к исследования на профиль притока с оценкой текущей насыщенности пластов-коллекторов методом импульсно нейтрон-нейтронного каротажа (ИННК), с измерениями термометрии и барометрии в статическом и динамическом режимах забойного давления и последующим снятием КВД.



Результаты КВД были обработаны в программном продукте «Saphir NL Ecrin». По результатам интерпретации КВД было определено пластовое давление, а также другие фильтрационно-емкостные свойства (ФЕС). Определенная отрицательная величина скинфактора -2,2 свидетельствует об улучшеном состоянии околоствольной части коллектора. Пластовое давление составило 11,0 МПа, однако учитывая что, период исследования методом КВД составил 2 дня, определенное пластовое давление является непредставительным.

С 29 сентября по 15 октября 2014 г. *в скважине 8Г* было проведено исследование методом КВД специалистами ТОО «Алстрон» в интервале перфорации 1769-1772, 1775-1780, 1783-1791, 2074-2088 м. Обработка данных производилась в программном комплексе «Рап System». Обработка кривой давления по методике Хорнера позволила определить ФЕС пластов-коллекторов. По результатам определена проницаемость, которая составила 0,1625 мД, пластовое давление — 15,5 МПа, забойное давление — 5,4 МПа. Скин-фактор показал положительное значение -4,5.

В 2021 было проведено 3 газодинамических исследований методом КВД по трем скважинам (№№1Г, 102, 106).

В скважине 1Г, с 21 по 24 сентября 2021 г. было проведено газодинамическое исследование методом КВД, замерено пластовое давление и определены фильтрационноемкостные свойства. Замеры давления в скважине выполнены прибором ПИК-38 на глубине 2073 метров. Дебит скважины определен по фактической добыче за время проведения работ. Интерпретация ГДИС выполнялась в программном модуле Saphir NL. По результатам определена проницаемость, которая составила 0,186 мД, пластовое давление — 22,6 МПа. Скин-фактор показал положительное значение 8,68, что может указывать на загрязнение призабойной зоны скважины.

При дальнейших исследованиях рекомендуется увеличить длительность регистрации КВД как минимум до 15 дней.

В скважине 102, с 26 июля по 28 августа 2021 г. было проведено газодинамическое исследование методом КВД, замерено пластовое давление и определены фильтрационно-емкостные свойства. Замеры давления в скважине выполнены прибором GAMT №609 на глубине 2130 метров. Дебит скважины определен по фактической добыче за время проведения работ. Интерпретация ГДИС выполнялась в программном модуле Saphir NL. Проницаемость составила 0,03 мД, пластовое давление – 12,7 МПа, забойное давление – 7,3



МПа. Скин-фактор показал отрицательное значение -4,89, что говорит о хорошем состоянии призабойной зоны скважины.

В скважине 106, с 26 июля по 28 августа 2021 г. было проведено газодинамическое исследование методом КВД, замерено пластовое давление и определены фильтрационно-емкостные свойства. Замеры давления в скважине выполнены прибором GAMT №616 на глубине 2101 метров. Дебит скважины определен по фактической добыче за время проведения работ. Интерпретация ГДИС выполнялась в программном модуле Saphir NL. Проницаемость составила 0,0463 мД, пластовое давление — 19,2 МПа, забойное давление — 7,6 МПа. Скин-фактор показал отрицательное значение -5,5, что говорит о хорошем состоянии призабойной зоны скважины.

Таблица 3.1.1 – Данные исследования МУО скв. № 104 (11-13.01.2019 г.)

| Номер режима | Диаметр шайбы dш, мм | Давление на ДИКТе Рд, МПа | Температура на устье ty, оС | Температура на ДИКТе tд, оС | Время работы на режиме, минуты | | | |
|-----------------|-------------------------|---------------------------------|--------------------------------|--------------------------------|-----------------------------------|--|--|--|
| 1 | 4 | 9,3 | -6 | 9 | 120 | | | |
| 2 | 5 | 3,1 | -5 | 6 | 1320 | | | |
| 3 | 6 | 2,0 | -10 | 11 | 480 | | | |
| 4 | 7 | 1,8 | -12 | 9 | 480 | | | |
| 5 | 6 | 2,5 | 0 | 11 | 780 | | | |
| 6 | 5 | 5,3 | -6 | 9 | 240 | | | |
| 7 | 7 | 1,9 | -9 | 8 | 27 | | | |

Таблица 3.1.2 – Данные расчета дебитов скв. № 104

| Диаметр шайбы, d,мм | Давление, МПа | Дебит, тыс.м³/сут |
|---------------------|---------------|-------------------|
| 4 | 12,1 | 8,8 |
| 5 | 9,8 | 9,6 |
| 6 | 3,8 | 10,44 |
| 7 | 3,2 | 12,79 |
| 6 | 4,1 | 12,0 |
| 5 | 7,5 | 11,35 |
| 7 | 3,6 | 13,5 |

Как видно из рисунков 3.1.1 и 3.1.2, пластовое давление скважин снижается по годам, большая часть замеров пластового давления с 2017 г. ниже давления начала конденсации.

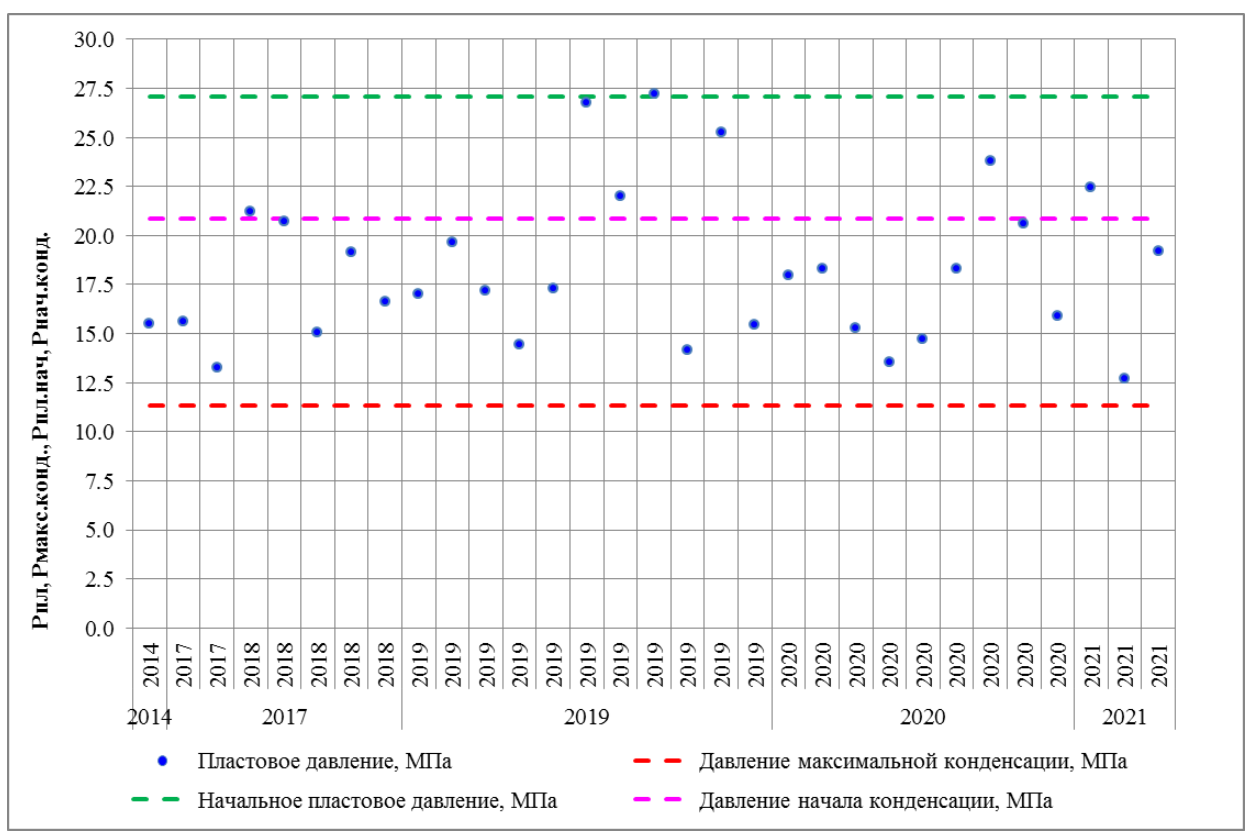


Рисунок 3.1.1 – Месторождения Айракты. График изменения пластового давления скважин по годам

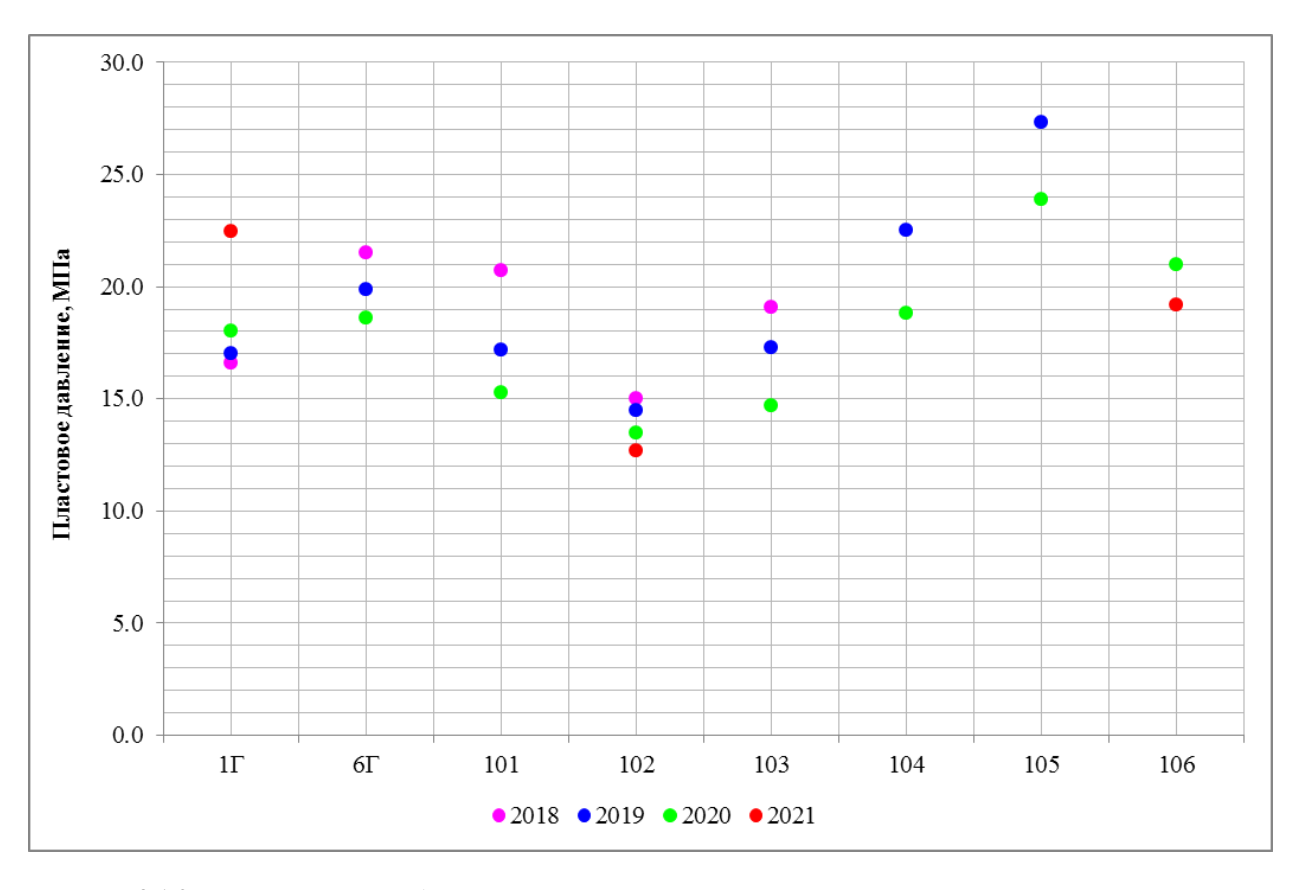


Рисунок 3.1.2 - Месторождение Айракты. Падение пластового давления скважин по годам



Данные замеров пластовых давлений за июнь 2021 года легли в основу построения карты изобар. По полученной карте изобар и экстраполяции данных определено средневзвешенное пластовое давление — 22,6 МПа (граф.прил. 16). Среднее приведенное пластовое давление по отношению к начальному (27,1 МПа) упало на 4,5 МПа.

Выводы

- Ежегодно по всем добывающим скважинам проводится газодинамические исследования с целью получения сведений о текущих емкостно-фильтрационных свойствах пластов, и определить состояние призабойной зоны в скважинах.
- Для анализа отбирались наиболее качественные исследования, отбраковывались некорректные (невосстановленные) замеры пластового, забойных давлений.
- Среднее пластовое давление по годам составило в 2018 г. 18,6 МПа, 2019 г. 19,3 МПа, 2020 г. 17,8 МПа, 2021 18,1 МПа.
- По результатам исследований средняя проницаемость составила 0,345 мД, газопроводимость $-0,475 \text{ мкм}^2*\text{м/(м}\Pi\text{a*c})$, пъезопроводность $-6,417 \text{ см}^2/\text{c}$.
- Коэффициенты фильтрационного сопротивления составили: а -12,505 МПа 2 /(тыс. м 3 /сут) и b -1,674 МПа 2 /(тыс. м 3 /сут)
- Скин фактор почти по всем скважинам отрицательный, что говорит об отсутствии загрязнения призабойной зоны скважин.
- При дальнейших исследованиях рекомендуется выполнять ежесуточный замер дебита газа во время и перед проведением ГДИС, длительность КВД в виду низкой оценочной проницаемости коллектора необходимо увеличить как минимум до 360 часов (15 суток).



| Табл | ица 3.1.3 | – Результаты газоди | намических і | исследований выпо | лненных за анал | <u>тизируемый</u> | период | | | T. | T | | | T. | | | |
|------|-----------|---|--------------|-------------------|-----------------|-------------------|----------|--------------|-------|-------------------------------|----------------------------|-------------------------------|--------|-------|---|-------------------------|-----------------------------|
| NºNº | Скв | Интервал | Горизонт | Дата | Метод | Рпл, МПа | Рпл.пр., | Рзаб, МПа | Тпл, | Газопрово- димость пласта, | Проницае- мость пласта, | Пъезопро- водность | Скин- | | | Дебит, | Коэффициент продуктив- |
| пп | CKB | перфорации, м | торизонт | | исследования | 1 1131, 171114 | МПа | 1 340, 11114 | °C | мкм ² *м/(мПа*с) | мД | пласта, см ² /с | фактор | | В, [МПа ²]/ [тыс,м ³ /сут] ² | тыс.м ³ /сут | ности, тыс. м³/(МПа*сут) |
| 1 | 2 | 3 | 4 | 5 | 6 | 7 | 8 | 9 | 10 | 11 | 12 | 13 | 14 | 15 | 16 | 17 | 18 |
| 1 | 1Γ | 2073-2085, 2091- 2096, 2097-2110 | C_{1V1} | 29.09.2017 | КВД | 15.6 | 16.1 | | 69.75 | 0.83 | 0.784 | 20.42 | -1.47 | 1.7 | 0.0081 | | 18.38 |
| 2 | 6Γ | 2090-2211-фильтр | C_{1V1} | 08-09.10.2017 | КВД | 13.3 | 13.5 | | 58.1 | 0.21 | 0.480 | 10.2 | -1.7 | 3.09 | 0.042 | | 8.6 |
| 3 | 1Γ | 2073-2085, 2091- 2096, 2097-2110 | C_{1V1} | 27-28.06.2018 | КВД | 11.4 | 11.9 | | 68.93 | 0.58 | 0.608 | 13.36 | -1.38 | 2.158 | 0.00500 | | 10.54 |
| 4 | 103 | 2089-2099, 2111- 2115 | C_{1V1} | 30.06.2018 | КВД | 9.4 | 10.0 | | 71.1 | 1.47 | 2.539 | 10.81 | -0.503 | 0.89 | 2.90000 | | |
| 5 | 6Γ | 2090-2211-фильтр, 2015-2122,2122- 2132, 2145-2165, 2164-2183 | C_{1V1} | 01.08-01.09.2018 | квд | 21.2 | 21.5 | 7.8 | | | 0.081 | | -1.68 | | | 13.3 | |
| 6 | 101 | 2074.5-2076.5, 2078- 2090, 2094-2096, 2099-2102, 2104- 2110, 2120-2129 | C_{1V1} | 01-25.08.2018 | квд | 20.7 | 21.2 | 7.3 | | | 0.030 | | -2.48 | | | 6.0 | |
| 7 | 102 | 2130-2134, 2143- 2148, 2154-2161, 2163-2169, 2183- 2190 | C_{1V1} | 01.08-01.09.2018 | квд | 15.0 | 15.1 | 8.6 | | | 0.540 | | -2.13 | | | 12.9 | |
| 8 | 102 | 2130-2134, 2143- 2148, 2154-2161, 2163-2169, 2183- 2190 | C_{1V1} | 31.07.2018 | Рзаб | | | 8.0 | | | | | | | | | |
| 9 | 102 | 2130-2134, 2143- 2148, 2154-2161, 2163-2169, 2183- 2190 | C_{1V1} | 01.09.2018 | Рзаб | | | 10.0 | | | | | | | | | |
| 10 | 103 | 2089-2099, 2111- 2115 | C_{1V1} | 01-25.08.2018 | квд | 19.1 | 19.7 | 7.7 | | | 0.170 | | -5.64 | | | 20.1 | |
| 11 | 1Γ | 2073-2085, 2091- 2096, 2097-2110 | C_{1V1} | 01.08-03.09.2018 | квд | 16.6 | 17.2 | 8.7 | | | 0.42 | | -2.23 | | | 30.957 | |
| 12 | 1Γ | 2073-2085, 2091- 2096, 2097-2110 | C_{1V1} | 11.05.2018 | Рзаб | | | 7.0 | | | | | | | | | |
| 13 | 6Γ | 2090-2211-фильтр, 2015-2122,2122- 2132, 2145-2165, 2164-2183 | C_{1V1} | 12.05.2018 | Рзаб | | | 6.3 | | | | | | | | | |
| 14 | 101 | 2074.5-2076.5, 2078- 2090, 2094-2096, 2099-2102, 2104- 2110, 2120-2129 | C_{1V1} | 14.05.2018 | Рзаб | | | 6.2 | | | | | | | | | |
| 15 | 103 | 2089-2099, 2111- 2115 | C_{1V1} | 13.05.2018 | Рзаб | | | 6.5 | | | | | | | | | |
| 16 | 1Γ | 2073-2085, 2091- 2096, 2097-2110 | C_{1V1} | 01-21.08.2019 | КВД | 17.0 | 17.6 | 10.7 | | | 0.415 | 2.40e ⁻⁷ | 1.24 | | | 23.58 | |
| 17 | 6Γ | 2115-2140, 2145- 2155 | C_{1V1} | 01-19.08.2019 | КВД | 19.6 | 19.9 | 6.8 | | | 0.089 | 5.27e ⁻⁸ | -2.2 | | | 12.743 | |
| 18 | 101 | 2074.5-2076.5, 2078- 2090, 2094-2096, 2099-2102, 2104- 2110, 2120-2129 | C_{1V1} | 01-19.08.2019 | квд | 17.2 | 17.7 | 9.7 | | | 0.048 | 2.39e ⁻⁸ | -3.42 | | | 6.432 | |

Продолжение таблицы 3.1.3

| | | таолицы э.г.э | | | | | 0 | | 10 | | 1 10 | - 10 | - 44 | | 4.0 | | 40 |
|----|-----|---|-----------|---------------------------|-----|------|------|------|-------|------|-------------|---------------------|--------|----------|------------|-------|---------|
| 1 | 2 | 3 | 4 | 5 | 6 | 7 | 8 | 9 | 10 | 11 | 12 | 13 | 14 | 15 | 16 | 17 | 18 |
| 19 | 102 | 2130-2134, 2143- 2148, 2154-2161, 2163-2169, 2183- 2190 | C_{1V1} | 01-19.08.2019 | КВД | 14.5 | 14.6 | 8.3 | | | 0.106 | 6,98e ⁻⁸ | -4.92 | | | 11 | |
| 20 | 103 | 2089-2099, 2111- 2115 | C_{1V1} | 01-19.08.2019 | КВД | 17.3 | 17.8 | 8.8 | | | 0.19 | 7,89e ⁻⁸ | -6 | | | 21 | |
| 21 | 104 | 2067.0-2072.0, 2073.0-2075.0, 2079.0-2100.0, 2106.0-2115.0, 2134.0-2138.0 | C_{1V1} | 11.01.2019- 16.01.2019 | КВД | 26.8 | 27.3 | | | | 0.0467 | 0.000267 | 7.76 | 0.195883 | 0.00040995 | | 57.2344 |
| 22 | 104 | 2067-2072, 2073- 2075, 2079-2100, 2106-2115, 2134- 2138 | C_{1V1} | 01-19.08.2019 | КВД | 22.0 | 22.5 | 9.5 | | | 0.1651 | 1.08e ⁻⁷ | -4.11 | | | 50 | |
| 23 | 105 | 2130-2134, 2143- 2148, 2154-2161, 2163-2169, 2183- 2190 | C_{1V1} | 01-19.08.2019 | КВД | 27.2 | 27.3 | 15.2 | | | 0.029 | 3.66e ⁻⁸ | -1.36 | | | 5 | |
| 24 | 1Γ | 2073-2085, 2091- 2096, 2097-2110 | C_{1V1} | 27.12.2019 | КВД | 12.1 | 12.6 | | 48.94 | 0.47 | 0.892156863 | 13.84 | -2.04 | 2.98 | 0.127 | | 8.13 |
| 25 | 101 | 2074.5-2076.5, 2078- 2090, 2094-2096, 2099-2102, 2104- 2110, 2120-2129 | C_{1V1} | 12.12.2019 | квд | 14.2 | 14.6 | | 51.41 | 0.08 | 0.088235294 | 4.81 | 0.89 | 15 | 0.6 | | 1.89 |
| 26 | 102 | 2130-2134, 2143- 2148, 2154-2161, 2163-2169, 2183- 2190 | C_{1V1} | 15-16.07.2019 | КВД | 8.26 | 8.4 | | 75.55 | 0.96 | 0.941 | 18.41 | -0.596 | 1.41 | 0.25 | | 11.72 |
| 27 | 1Γ | 2073-2085, 2091- 2096, 2097-2110 | C_{1V1} | 30.07-15.08.2020 | квд | 18.0 | 18.5 | 7.7 | | | 0.420 | 2.88e ⁻³ | 1.66 | | | 11.97 | |
| 28 | 6Γ | 2115-2140, 2145- 2155 | C_{1V1} | 28.07-18.08.2020 | КВД | 18.3 | 18.6 | 10.1 | | | 0.1822 | 1.18E-03 | -1.99 | | | 10.5 | |
| 29 | 101 | 2074.5-2076.5, 2078- 2090, 2094-2096, 2099-2102, 2104- 2110, 2120-2129 | C_{1V1} | 28.07-18.08.2020 | КВД | 15.3 | 15.7 | 8.9 | | | 0.042 | 1.81E-04 | -3.9 | | | 4.1 | |
| 30 | 102 | 2130-2134, 2143- 2148, 2154-2161, 2163-2169, 2183- 2190 | C_{1V1} | 28.07-15.08.2020 | квд | 13.5 | 13.6 | 7.8 | | | 0.051 | 2.92E-04 | -4.65 | | | 4.2 | |
| 31 | 103 | 2089-2099, 2111- 2115 | C_{1V1} | 28.07-17.08.2020 | КВД | 14.7 | 15.3 | 8.0 | | | 0.19 | 8.49e ⁻⁴ | -5.93 | | | 10.7 | |
| 32 | 104 | 2067-2072, 2073- 2075, 2079-2100, 2106-2115, 2134- 2138 | C_{1V1} | 30.07-20.08.2020 | КВД | 18.3 | 18.8 | 7.3 | | | 0.151 | 1.17E-03 | -4.04 | | | 32.3 | |
| 33 | 105 | 2129-2136, 2140- 2149, 2160-2162, 2165-2176, 2190- 2200 | C_{1V1} | 28.07-17.08.2020 | КВД | 23.8 | 23.9 | 13.3 | | | 0.0543 | 5.80E-04 | -3.6 | | | 5 | |
| 34 | 106 | 2101-2104, 2105- 2109, 2111-2113, 2115-2124 | C_{1V1} | 28.07-18.08.2020 | КВД | 20.6 | 21.0 | 7.8 | | | 0.0745 | 6.88E-04 | -3.3 | | | 5.1 | |

Продолжение таблицы 3.1.3

| 1 | 2 | 3 | 4 | 5 | 6 | 7 | 8 | 9 | 10 | 11 | 12 | 13 | 14 | 15 | 16 | 17 | 18 |
|----|-----|--|------------------|------------------|-----|------|------|-----|-------|------|-------------|-------|--------|-------|-------|-------|-------|
| 35 | 106 | 2101-2104, 2105- 2109, 2111-2113, 2115-2124, 2126- 2130, 2132-2136, 2138-2140, 2157- 2163 | C_{1V1} | 29-30.06.2020 | квд | 15.9 | 16.3 | | 70.13 | 0.66 | 1.245098039 | | -0.335 | 2.375 | 3.28 | | 13.38 |
| 36 | 105 | 2129-2133, 2133- 2136, 2140-2149, 2160- 2162, 2165- 2173, 2173- 2176, 2190- 2200 | C_{1V1} | 29.01.2019 | квд | 25.3 | 25.4 | | 72.13 | 0.04 | 0.117647059 | 2.27 | -1.88 | 40.9 | 1.5 | | |
| 37 | 105 | 2129-2133, 2133- 2136, 2140-2149, 2160- 2162, 2165- 2173, 2173- 2176, 2190- 2200 | C_{1V1} | 17-18.07.2019 | КВД | 15.4 | 15.5 | | 72.13 | 0.51 | 0.00131 | 13.39 | -1.16 | 2.5 | 0.35 | | 12.35 |
| 38 | 8Γ | 1769-1772, 1775- 1780, 1783-1791, 2074-2088 | C_{1S} | 29.09-15.10.2014 | КВД | 15.5 | 18.2 | 5.4 | | | 0.1625 | | -4.5 | | | 3 | |
| 39 | 8Γ | 1769-1772, 1775- 1780, 1783-1791, реперфорация - 2074-2088 | C_{1S} | 30-31.12.2020 | КВД | 11.0 | 13.7 | | 66.49 | 0.03 | 0.019607843 | 0.65 | -2.2 | 39 | 10.2 | 2.04 | 0.57 |
| 40 | 1Γ | 2073-2085, 2091- 2096, 2097-2110 | C_{1V1} | 21-24.09.2021 | КВД | 22.5 | 22.6 | | 70.7 | 0.07 | 0.186 | 12.1 | 8.68 | 28.4 | 0.387 | | 1,58 |
| 41 | 102 | 2130.0-2134.0, 2143.0-2148.0, 2154.0-2161.0, 2163.0-2169.0, 2183.0-2190.0 | C _{1V1} | 26.07-28.08.2021 | квд | 12.7 | 12.9 | 7.3 | | | 0.03 | 2.4 | -4.89 | | | 4 | |
| 42 | 106 | 2101.0-2104.0, 2105.0-2109.0, 2111.0-2113.0, 2115.0-2124.0 | C_{1V1} | 26.07-28.08.2021 | квд | 19.2 | 19.4 | 7.6 | | | 0.0463 | 1.12 | -5.5 | | | 4.569 | |

3.2. Анализ текущего состояния разработки месторождения

3.2.1 Анализ структуры фонда скважин и текущих дебитов, технологических показателей разработки

По состоянию на 01.07.2021 г. на месторождении Айракты пробурено 17 скважин, из 17 пробуренных 6 скважин ликвидированы. Во временной консервации находятся 2 скважины. Эксплуатационный фонд представлен 9 газовыми скважинами (№№1Г, 6Г, 101, 102, 103, 104, 105, 106, 107), из них в бездействии находится одна скважина №107.

Таблица 3.2.1.1 – Характеристика фонда скважин по состоянию на 01.07.2021 г.

| таолица 5.2.1.1 – Ларактеристика фонда скважин по состоянию на 01.07.2021 г. | | | | | | | | |
|--|---------------------------------|-----------------------|--|--|--|--|--|--|
| Наименование | Характеристика фонда скважин | Количество скважин | Номера скважин | | | | | |
| 1 | 2 | 3 | 4 | | | | | |
| | Пробурено | 17 | 17 | | | | | |
| | Всего: | 9 | 1Γ, 6Γ, 101, 102, 103, 104, 105, 106, 107 | | | | | |
| Фонд добывающих | Действующие | 8 | 1Γ, 6Γ, 101, 102, 103, 104, 105, 106 | | | | | |
| скважин | Бездействующие | 1 | 107 | | | | | |
| | В освоении после бурения | • | - | | | | | |
| В консервации | | 2 | 4, 8 | | | | | |
| Лик | видированные | 6 | 2, 3, 5, 7, 10, 11, | | | | | |

Дебит действующих скважин по газу на 01.07.2021 г. изменяется от 4,3 тыс.м³/сут (скважины №№101, 102, 106) до 23,3 тыс.м³/сут (скважина №104) и составляет в среднем 10,7 тыс.м³/сут. По сравнению с предыдущим годом (декабрь 2020 г.) по дебитам газа наблюдается падение в среднем на 21,3% по скважинам №№104, 105, 106 и увеличение в среднем на 11,2 % по остальным скважинам. Конденсат выделяется из продукции во всех скважинах не значительно, дебиты которых в среднем – 0,072 т/сут. Содержание конденсата в газе или конденсатогазовый фактор (КГФ) изменяется по скважинам от 6,4 г/м³ до 7,7 г/м³, составляя в среднем 6,8 г/м³.

За анализируемый период действующие скважины месторождения были остановлены в августе 2020 г., на 17 дней, для проведения газогидродинамических исследований. Начиная с сентября 2020 г. скважины работают без остановки.

| Of our convious | Пойотрукомий фонд | Средни | й дебит газа, тыс.м ³ /с | сут |
|-----------------------------|-------------------|--------|-------------------------------------|-------------|
| Объект горизонт | Действующий фонд | до 10 | от 10 до 50 | от 50 до 70 |
| | 1Γ | | 12,7 | |
| | 6Γ | | 12,2 | |
| | 101 | 4,3 | | |
| I объект (горизонт | 102 | 4,3 | | |
| $C_1V_{1)}$ | 103 | 8,6 | | |
| | 104 | | 23,3 | |
| | 105 | 4,8 | | |
| | 106 | 4,3 | | |
| В целом по месторожлению | 8 | 5,3 | 16,1 | 0,0 |

Таблица 3.2.1.2 – Распределение фонда скважин по дебитам газа на 01.07.2021 г.

<u>Скважина 1Г</u> была введена в ОПЭ из консервации в сентябре 2017 г. с начальным дебитом газа 89,3 тыс.м³/сут и дебитом конденсата 1,312 т/сут. После ввода в эксплуатацию, в динамике дебита скважины по газу наблюдается заметное снижение и стабилизация в последние месяцы, с февраля по июнь 2018 г. на уровне 32,8-35,3 тыс.м³/сут. С августа 2018 г. наблюдается снижение дебита газа до 5,2 тыс.м³/сут и начиная с января 2019 г. наблюдается увеличение до 22,1 тыс.м³/сут. На дату анализа дебит газа составил 12,7 тыс.м³/сут, дебит конденсата 0,120 т/сут.

По состоянию на 01.07.2021 г. накопленная добыча газа и конденсата по скважине №1 Γ составила 29,8 млн.м³ и 0,4 тыс.т, соответственно.

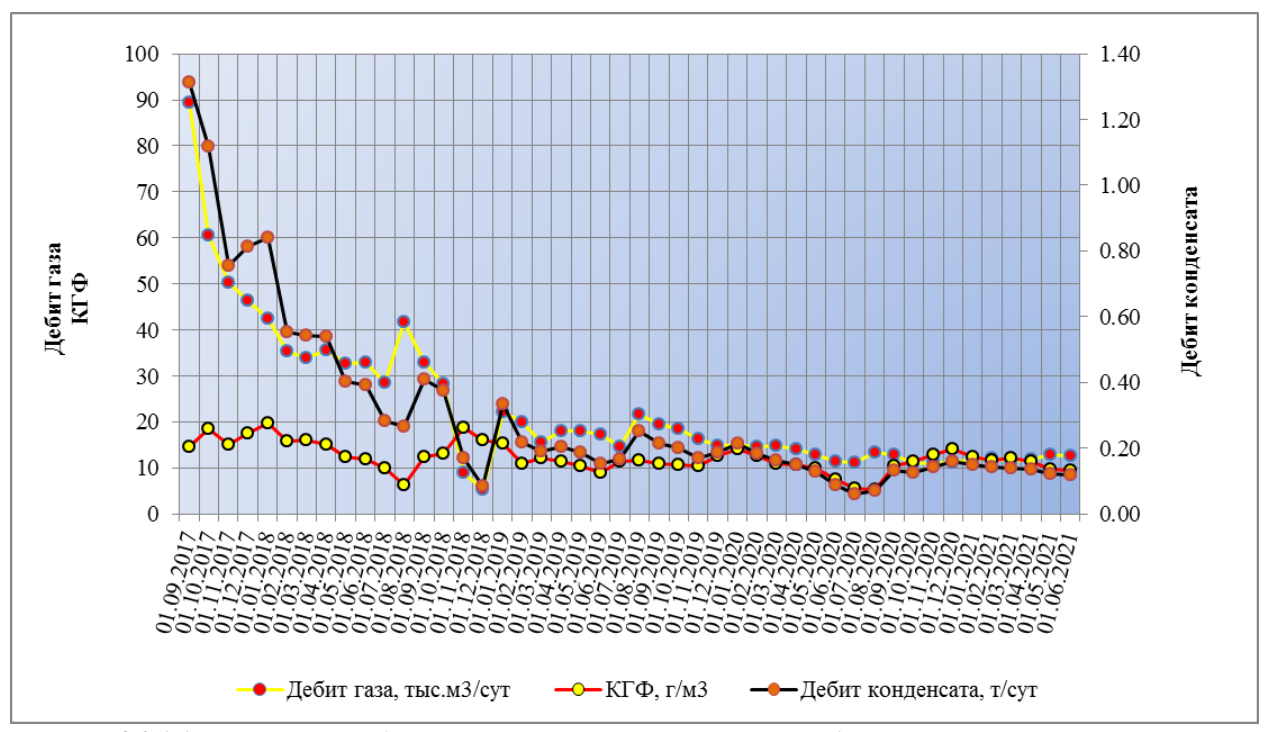


Рисунок 3.2.1.1 – Динамика дебитов газа и конденсата по скважине 1Г

Скважина 6Г была введена в ОПЭ из консервации в сентябре 2017 г с начальным дебитом газа 27,9 тыс.м³/сут и дебитом конденсата 0,014 т/сут. После ввода в эксплуатацию в динамике дебита скважины по газу наблюдается заметное снижение до 12,0 тыс.м³/сут (до апреля 2018 г.), затем скважина работала со стабильным дебитом газа. По состоянию на 01.04.2019 г. дебит газа составляет 13,1 тыс.м³/сут. Как видно из рисунка, в начале эксплуатации, дебит конденсата до ноября 2017 г. составлял 0,014-0,017 т/сут, начиная с декабря 2017 г. по январь 2018 г. наблюдается скачок и дебит конденсата возрастает до 0,432 т/сут., далее идет снижение (с февраля по май 2018 г.) до 0,14 т/сут. На дату анализа дебит газа составил 12,2 тыс.м³/сут, дебит конденсата 0,069 т/сут.

По состоянию на 01.07.2021 г. накопленная добыча газа и конденсата по скважине №6Г составила 18,3 млн.м³ и 0,218 тыс.т, соответственно.

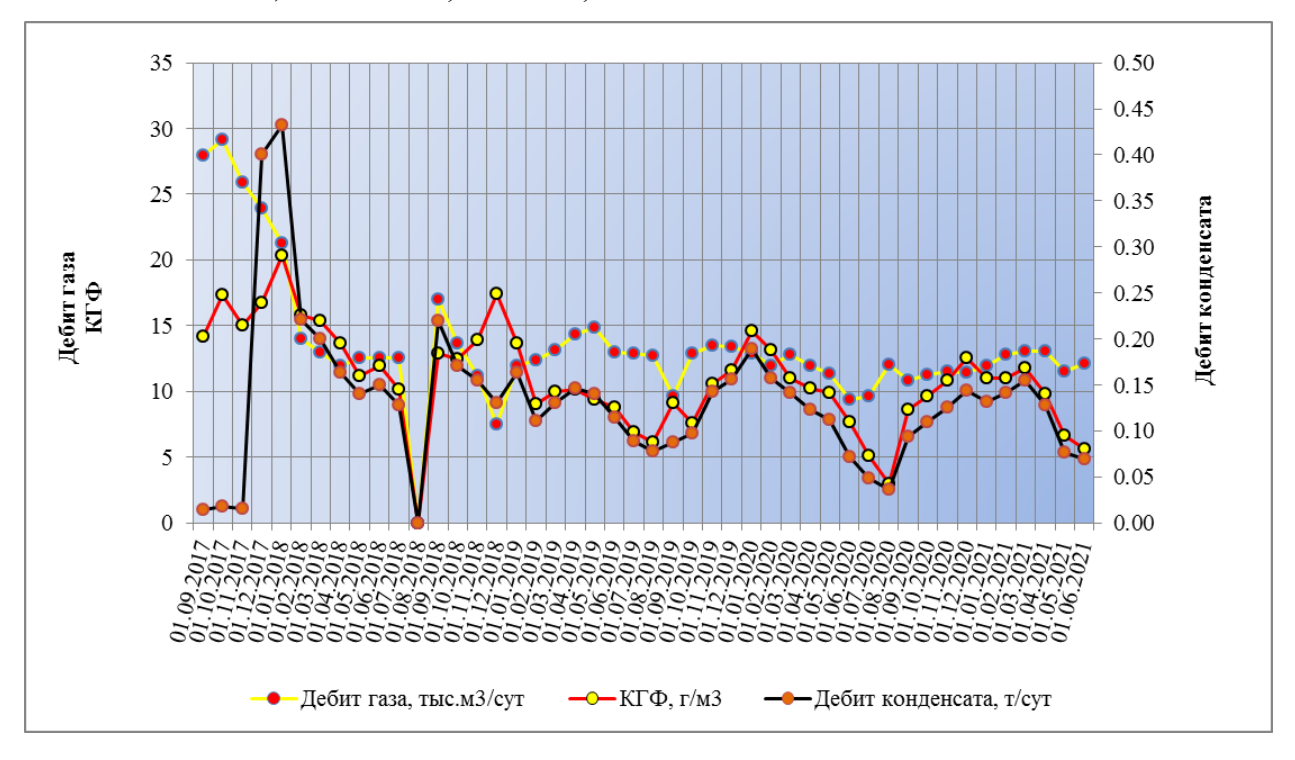


Рисунок 3.2.1.2 – Динамика дебитов газа и конденсата по скважине 6Г

<u>Скважина 101</u> была начата бурением 10.05.2017 г. и завершена – 30.09.2017 г. При освоении после бурения 19.09.2017 г. провели операцию по гидравлическому разрыву пластов (ГРП) с целью интенсификации притока. В ОПЭ скважина вступила 04.10.2017 г. с начальным дебитом газа 11.9 тыс.м³/сут и дебитом конденсата 0.371 т/сут. Как видно из динамики, (рис. 3.2.3) дебит газа по состоянию на 01.07.2021 г., уменьшился почти в 2 раза до 4.8 тыс.м³/сут, уменьшение наблюдается и по дебиту конденсата до 0.032 т/сут. На дату анализа КГФ составил 6.8 г/м³.

По состоянию на 01.07.2021 г. накопленная добыча газа и конденсата по скважине №101 составила 8,2 млн.м³ и 0,115 тыс.т, соответственно.

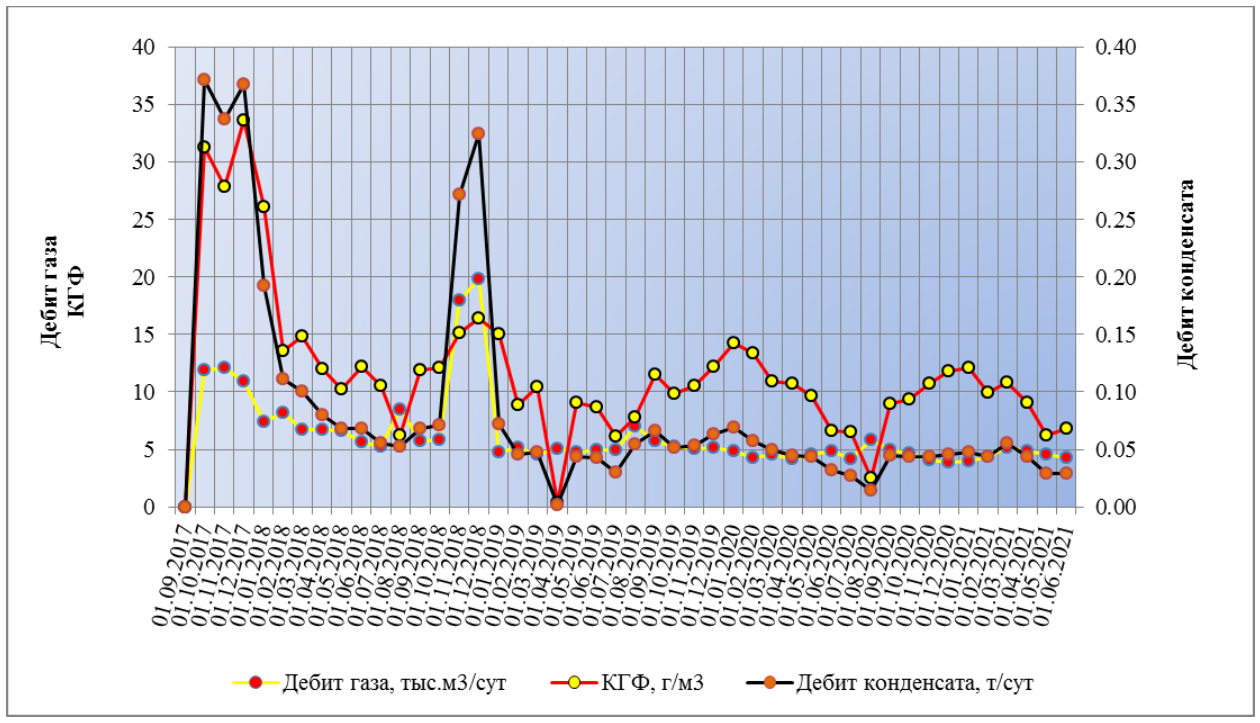


Рисунок 3.2.1.3 – Динамика дебитов газа и конденсата по скважине 101

Скважина 102. При освоении после бурения 30.12.2017 г. в скважине провели операцию по гидравлическому разрыву пластов (ГРП) с целью интенсификации притока, в результате скважина вступила в эксплуатацию 24.01.2018 г. с начальным дебитом газа 52,7 тыс.м³/сут. и дебитом конденсата 2,467 т/сут. После ввода в эксплуатацию дебит газа резко снижается до 25,9 тыс.м³/сут, как и дебит конденсата до 0,486 т/сут. На дату анализа дебит газа составил 4,3 тыс.м³/сут, дебит конденсата 0,029 т/сут.

По состоянию на 01.07.2021 г. накопленная добыча газа и конденсата по скважине №102 составила 9,8 млн.м³ и 0,132 тыс.т, соответственно.

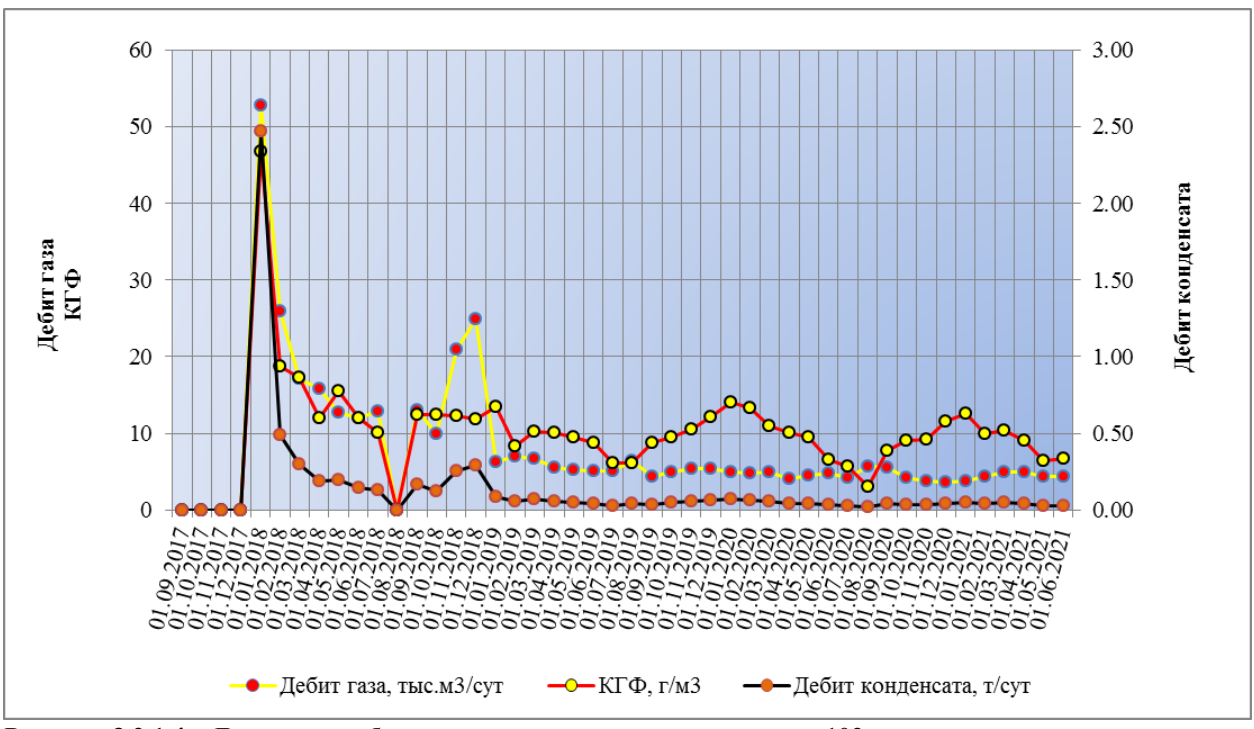


Рисунок 3.2.1.4 – Динамика дебитов газа и конденсата по скважине 102

Скважина 103 была начата бурением 22 августа 2017 г., завершена – 30.09.2017 г. В ОПЭ скважина вступила 19.12.2017 г. с начальным дебитом газа 1,2 тыс.м 3 /сут и КГФ – 4,6 г/м 3 . В декабре 2017 г. в скважине произвели операцию по гидравлическому разрыву пластов (ГРП) с целью интенсификации притока, в результате средний дебит по газу резко увеличился до 54,9 тыс.м 3 /сут. Через месяц в феврале 2018 г. средний дебит скважины по газу несколько уменьшился до 46,1 тыс.м 3 /сут, в последующие месяцы как видно из рисунка 3.2.5 падение не прекратилось и по состоянию на 01.07.2021 г. составил 8,6 тыс.м 3 /сут. Аналогичное падение наблюдается и по дебиту конденсата, текущий дебит составил 0,050 т/сут.

По состоянию на 01.07.2021 г. накопленная добыча газа и конденсата по скважине №103 составила 19,9 млн.м³ и 0,261 тыс.т, соответственно.

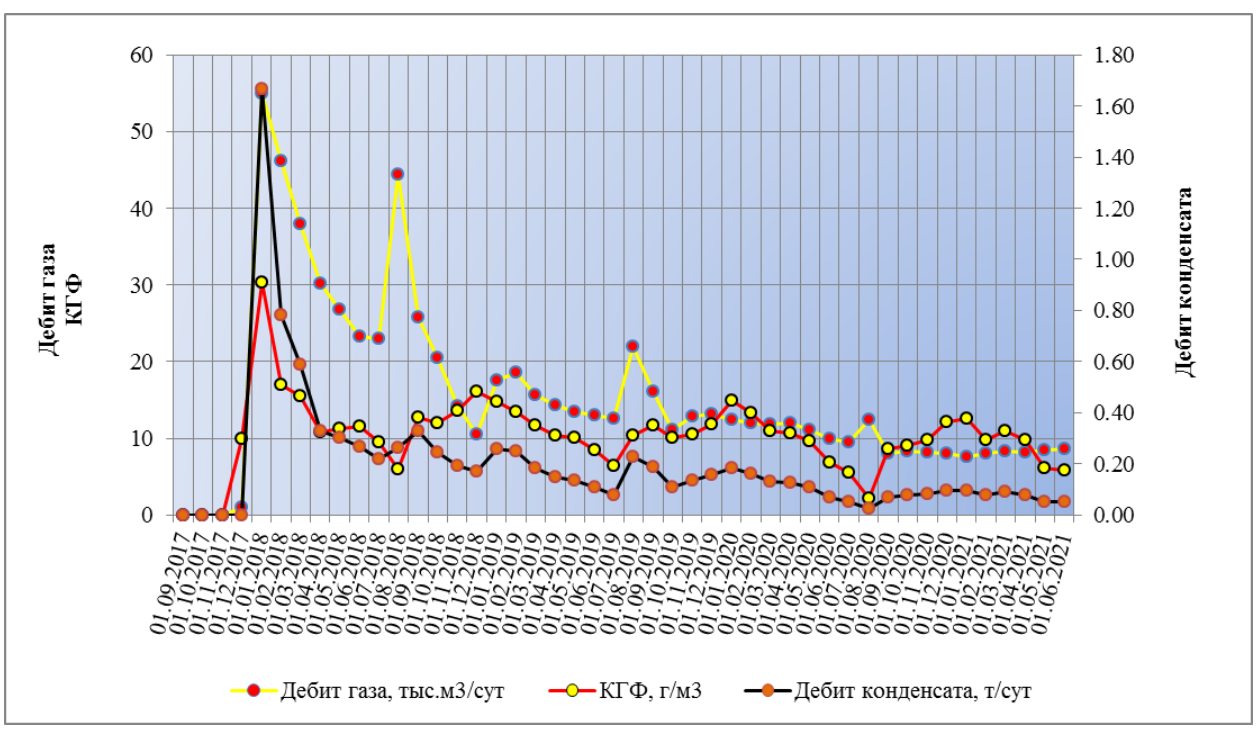


Рисунок 3.2.1.5 – Динамика дебитов газа и конденсата по скважине 103

<u>Скважина 104</u> вступила в эксплуатацию 31.12.2018 г. в ОПЭ с начальным дебитом газа 0,5 тыс.м³/сут. В январе 2019 г. в скважине произвели операцию по гидравлическому разрыву пластов (ГРП) с целью интенсификации притока, в результате средний дебит по газу резко увеличился до 69,5 тыс.м³/сут. На дату анализа дебит газа составляет 23,3 тыс.м³/сут. Дебит конденсата – 0,147 т/сут. КГФ составил 6,3 г/м³.

По состоянию на 01.07.2021 г. накопленная добыча газа и конденсата по скважине №104 составила 34,6 млн.м³ и 0,446 тыс.т, соответственно.

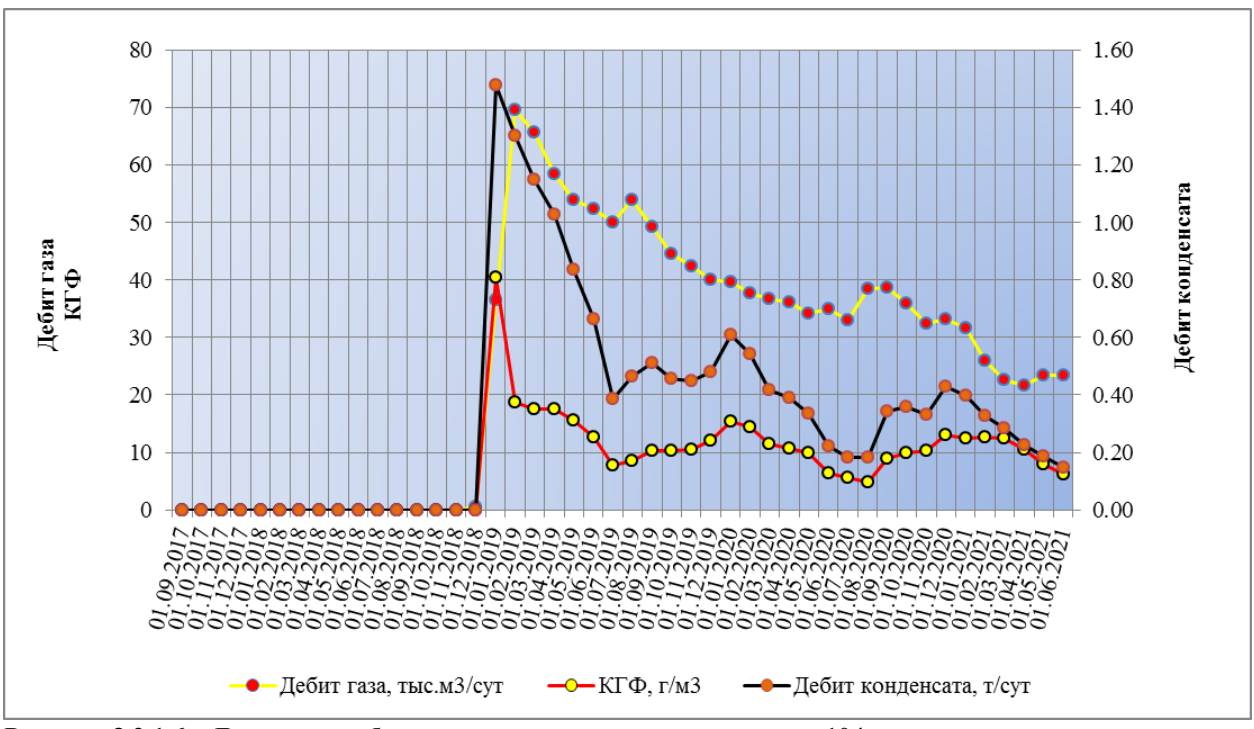


Рисунок 3.2.1.6 – Динамика дебитов газа и конденсата по скважине 104

<u>Скважина 105</u> вступила в эксплуатацию 31.12.2018 г. в ОПЭ с начальным дебитом газа 0,5 тыс.м³/сут. В январе 2019 г. в скважине произвели операцию по гидравлическому разрыву пластов (ГРП) с целью интенсификации притока, в результате средний дебит по газу незначительно увеличился до 6,5 тыс.м³/сут. На дату анализа дебит газа составляет 4,8 тыс.м³/сут. На дату анализа дебит конденсата составил 0,028 т/сут, КГФ – 5,8 г/м³.

По состоянию на 01.07.2021 г. накопленная добыча газа и конденсата по скважине №105 составила 4,9 млн.м³ и 0,048 тыс.т, соответственно.

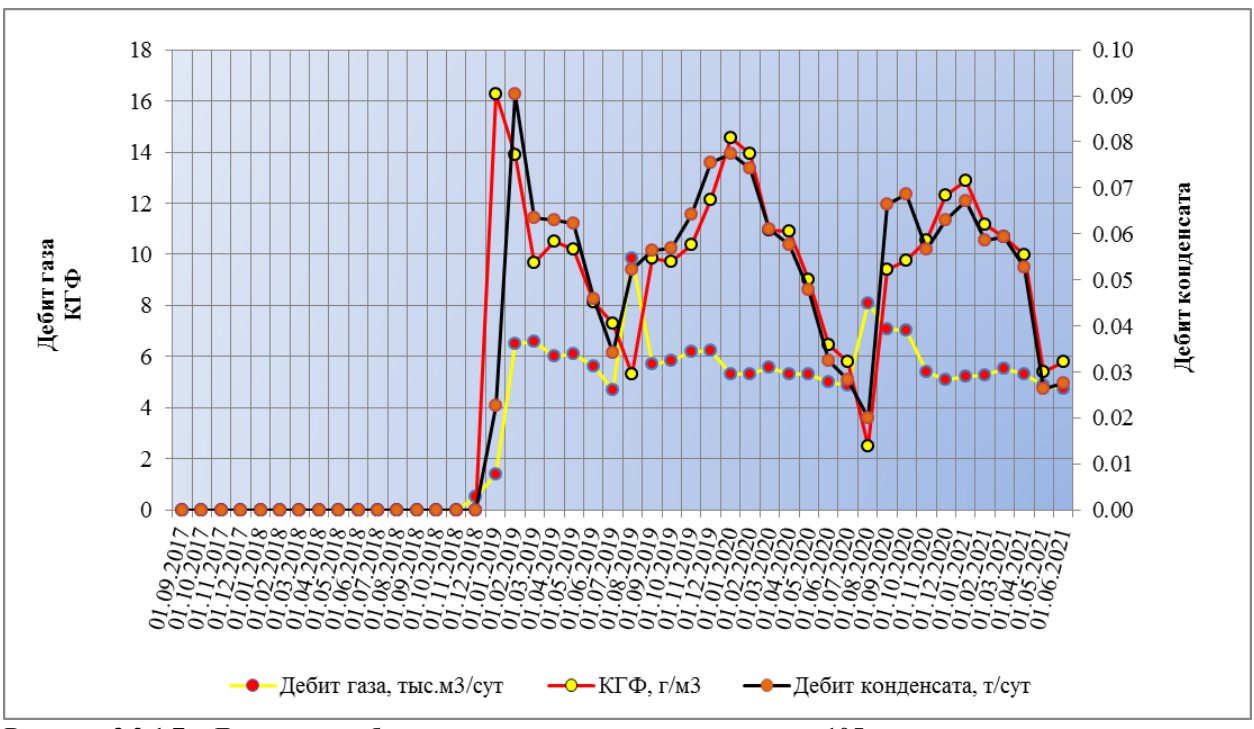


Рисунок 3.2.1.7 – Динамика дебитов газа и конденсата по скважине 105

<u>Скважина №106</u> была начата бурением 14.08.2019 г. и завершена — 27.10.2019 г. В ОПЭ скважина вступила в ноябре 2019 г. с начальным дебитом газа 0,3 тыс.м³/сут и дебитом конденсата 0,016 т/сут. В декабре 2019 г. (31.12.2019 г.) в скважине проведена операция по гидравлическому разрыву пласта (ГРП) с целью интенсификации притока. В результате, с января месяца 2020 г. среднесуточный дебит газа увеличился до 9,9 тыс.м³/сут. Как видно из динамики (рис. 3.2.8) дебит газа и дебит по конденсату по состоянию на 01.07.2021 г. составил 4,3 тыс.м³/сут и 0,049 т/сут, соответственно.

По состоянию на 01.07.2021 г. накопленная добыча газа и конденсата по скважине №106 составила 3,1 млн.м³ и 0,035 тыс.т, соответственно.

<u>Скважина 107</u> была начата бурением 14.08.2019 г. и завершена – 27.10.2019 г. Скважина не вступила в эксплуатацию из-за отсутствия притока. На дату анализа скважина находится в бездействующем фонде.

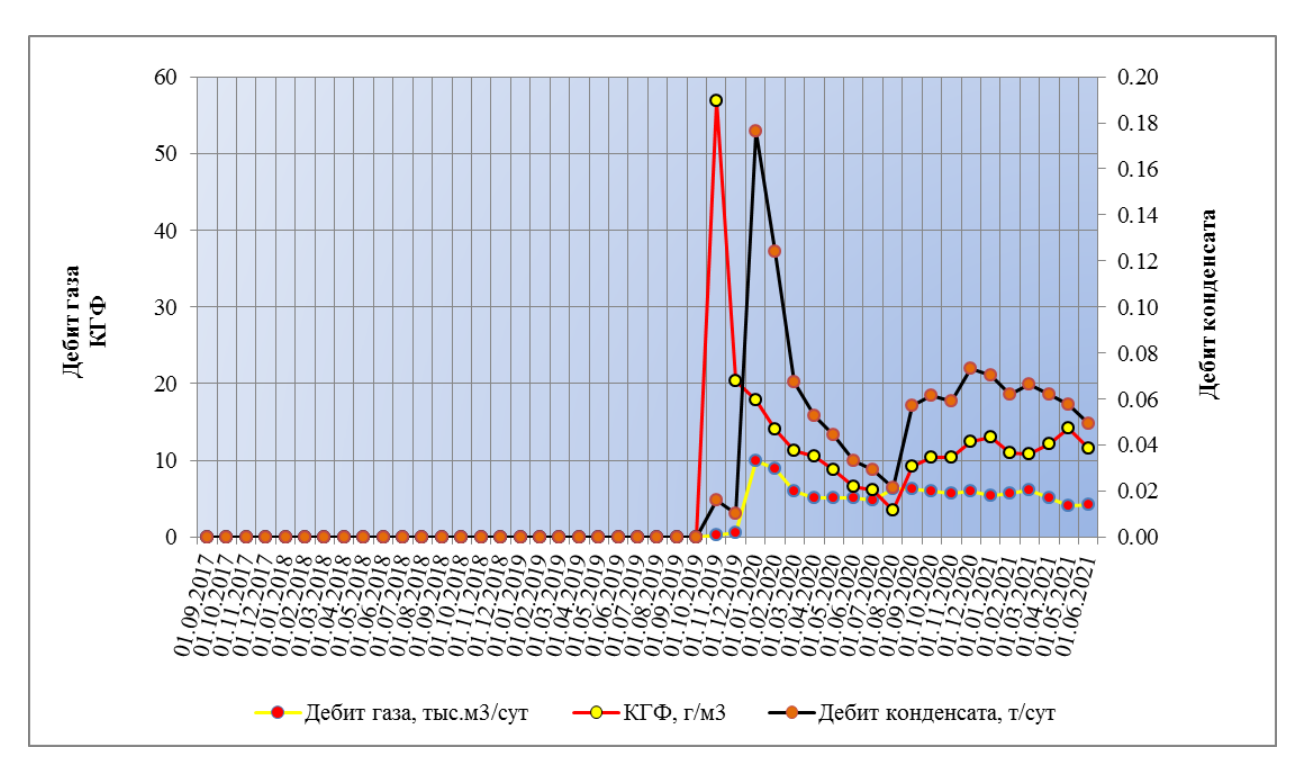


Рисунок 3.2.1.8 – Динамика дебитов газа и конденсата по скважине 106

Характеристика отборов газа, конденсата и воды

По состоянию на 01.07.2021 года из месторождения отобрано 128,6 млн.м³ газа и 1,66 тыс.т конденсата. Указанные отборы углеводородов включают добычу из залежи в период испытания скважин и с начала опытно-промышленной эксплуатации (ОПЭ).

Основные показатели ОПЭ месторождения в целом представлены в таблице 3.2.1.1 и на рисунке 3.2.1.1.

По состоянию на 01.07.2021 г. добыча газа составила 14,0 млн.м³, добыча конденсата 0,14 тыс.т., коэффициент извлечения газа (КИГ) и конденсата (КИК) составили 0,026 д.ед. и 0,009 д.ед. соответственно. Выработка газа и конденсата составили 5,1 % и 1,9 % соответственно.

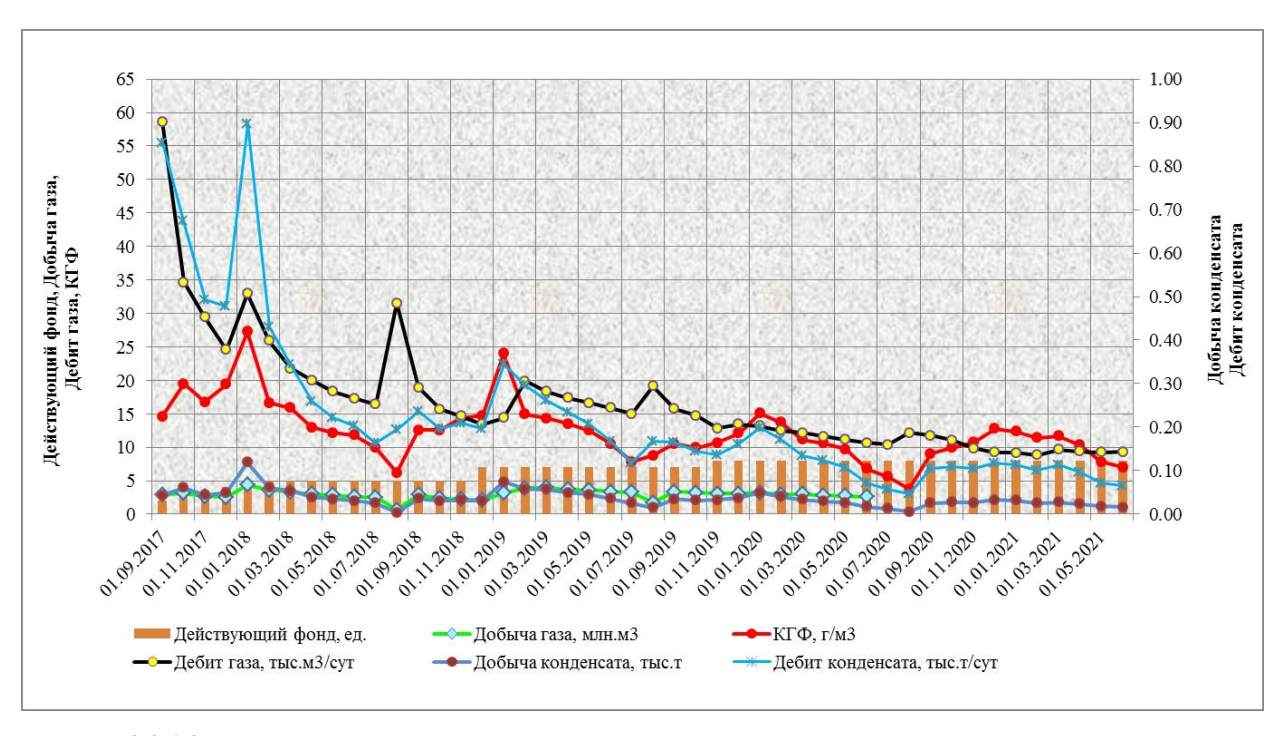


Рисунок 3.2.1.9 – Динамика основных технологических показателей по месяцам в целом по месторождению

Сравнение проектных и фактических показателей разработки

Сопоставление проектных и фактических показателей опытно-промышленной эксплуатации месторождения Айракты за 2017 г. по 6 месяцев 2021 г. проводится с утвержденными ЦКРиР проектными показателями из «Проекта опытно-промышленной эксплуатации месторождения Айракты» [7] и «Анализа разработки месторождения Айракты» [9].

Сопоставление проектных и фактических показателей опытно-промышленной эксплуатации месторождения Айракты представлено в таблице 3.2.1.3.

В 2017 г. причиной несоответствия основных проектных значений от фактических является поздний ввод скважин в эксплуатацию (конец 3 квартала 2017 г.) при запроектированном 1 квартал 2017 г., и фактические дебиты газа оказались меньше проектных. Начальный проектный среднесуточный дебит газа 40 тыс.м³/сут был взят по результатам гидродинамических исследований по скважинам №1Г и №6Г (2011 г.), по которым дебиты газа составляли 42,3 тыс.м³/сут и 247,3 тыс.м³/сут.

В 2017 г. добывающие скважины работали с дебитами газа от 89,3 тыс.м 3 /сут (начальный дебит скважины №1Г) до 10,9 тыс.м 3 (дебит скважины №101), в среднем составив 33,7 тыс.м 3 /сут, что оказались меньше проектного значения на 15,5 %.



В 2018 г. фактическая добыча газа отстает от проекта на 61 %, среднесуточные дебиты по газу и по конденсату (19,5 тыс.м 3 /сут и 0,3 т/сут) отстают от проектных значений (39,7 тыс.м 3 /сут и 0,9 т/сут) на 50,9 % и 61,4 %, соответственно. Фактический действующий фонд скважин на уровне проекта.

В 2019 г. при сравнении фактических показателей по добыче газа и конденсата наблюдается отставание от проектных значений на 9,3 % и 11,7%, соответственно. Среднегодовые дебиты по газу и конденсату отстают от проекта на 6,3 % и 8,8 %, соответственно.

Причиной несоответствия является поздний ввод скважины №106 в эксплуатацию (конец 4 квартала 2019 г.) при запроектированном (2 квартал 2019 г.), и фактические дебиты газа оказались меньше проектных.

В 2020 г. при сравнении фактических показателей по добыче газа и конденсата наблюдается отставание от проектных значений на 46,4 % и 57,5%, соответственно. Среднегодовые дебиты по газу и конденсату отстают от проекта на 40,4 % и 52,7 %, соответственно.

За первое полугодие 2021 г. фактическая добыча газа составила 14,0 млн.м³ против проектного значения 28,0 млн.м³, отставание составляет 49,8 %. Отставание от проекта наблюдается и по добыче конденсата на 21,8 %.

Фонд добывающих скважин отстает от проекта на 2 ед., запланированные скважины не пробурены.

Основной причиной не достижения проектных показателей является низкие дебиты, по причине низких коллекторских свойств пласта, почти во всех скважинах проведено мероприятие по ГРП перед вводом в эксплуатацию, для увеличения продуктивности скважин.



Таблица 3.2.1.3 - Сравнение проектных и фактических показателей опытно-промышленной эксплуатации месторождения Айракты

| | | 20 | 17 | 20 | 18 | 20 | 19 | 20 | 20 | | 2021 | |
|----------|--|--------|-------|--------|-------|--------|-------|--------|-------|--------|--------|--------------------|
| № п/п | Показатели | проект | факт | проект | факт | проект | факт | проект | факт | проект | проект | факт 01.07.2021 |
| 1 | Добыча газа, млн.м ³ | 56,2 | 11,2 | 83,3 | 32,5 | 43,2 | 39,2 | 59,2 | 31,7 | 56,0 | 28,0 | 14,0 |
| 2 | Накопленная добыча газа, млн.м ³ | 56,2 | 11,2 | 139,5 | 43,8 | 87 | 82,97 | 146,20 | 114,7 | 202,50 | 174,2 | 128,63 |
| 3 | Добыча конденсата, тыс.т | 1,3 | 0,2 | 1,9 | 0,49 | 0,6 | 0,50 | 0,77 | 0,33 | 1,30 | 0,65 | 0,14 |
| 4 | Накопленная добыча конденсата, тыс.т | 1,3 | 0,2 | 3,2 | 0,69 | 1,4 | 1,19 | 2,21 | 1,51 | 4,50 | 2,86 | 1,66 |
| 5 | Коэффициент извлечения газа, д.ед. | 0,01 | 0,002 | 0,024 | 0,009 | 0,015 | 0,017 | 0,025 | 0,023 | 0,035 | 0,035 | 0,026 |
| 6 | Коэффициент извлечения конденсата, д.ед. | 0,0 | 0,001 | 0,018 | 0,004 | 0,008 | 0,007 | 0,012 | 0,008 | 0,025 | 0,016 | 0,009 |
| 7 | Выработанность запасов газа, % | 2,2 | 0,4 | 5,5 | 1,7 | 2,0 | 3,3 | 3,3 | 4,6 | 4,5 | 6,9 | 5,1 |
| 8 | Выработанность запасов конденсата, % | 1,5 | 0,2 | 3,7 | 0,8 | 1,7 | 1,4 | 2,5 | 1,7 | 5,2 | 3,3 | 1,9 |
| 9 | Среднесуточный дебит газа, тыс.м ³ /сут | 40,0 | 33,7 | 39,7 | 19,5 | 16,9 | 15,9 | 18,9 | 11,2 | 15,3 | 15,3 | 9,6 |
| 10 | Среднесуточный дебит конденсата, т/сут | 0,9 | 0,1 | 0,9 | 0,3 | 0,220 | 0,201 | 0,2 | 0,116 | 0,355 | 0,355 | 0,098 |
| 11 | Конденсато-газовый фактор (КГФ), г/м 3 | 23,1 | 17,6 | 22,8 | 15,2 | 13,0 | 12,7 | 13,0 | 10,3 | 23,2 | 23,2 | 10,1 |
| 12 | Фонд добывающих скважин на конец года, шт. | 5 | 4 | 7 | 7 | 8 | 8 | 10 | 8 | 11 | 11 | 8 |
| 13 | в т.ч. действующих | 5 | 4 | 7 | 7 | 8 | 8 | 10 | 8 | 11 | 11 | 8 |
| 14 | Ввод добывающих скважин, шт. | 5 | 4 | 2 | 3 | 1 | 1 | 2 | 0 | 1 | 1 | 0 |
| 15 | в т.ч. из бурения | 2 | 2 | 2 | 3 | 1 | 1 | 2 | 0 | 1 | 1 | 0 |
| 16 | из другого объекта | 0 | 0 | 0 | 0 | 0 | 0 | 0 | 0 | 0 | 0 | 0 |
| 17 | из консервации | 3 | 2 | 0 | 0 | 0 | 0 | 0 | 0 | 0 | 0 | 0 |
| 18 | Выбытие добывающих скважин, шт. | 0 | 0 | 0 | 0 | 0 | 0 | 0 | 0 | 0 | 0 | 0 |
| 19 | Коэффициент использования скважин, д.ед. | 1,0 | 1,0 | 1 | 1 | 1 | 1 | 1 | 1 | | | 0,9 |
| 20 | Коэффициент эксплуатации скважин, д.ед. | 0,95 | 0,91 | 0,95 | 0,65 | 0,95 | 0,85 | 0,95 | 0,97 | 0,95 | 0,95 | 0,99 |
| 21 | Пластовое давление, МПа | 27,1 | - | 27,0 | 18,6 | 27,0 | 19,3 | 26,6 | 17,8 | 26,5 | 26,5 | 18,1 |
| 22 | Забойное давление, МПа | 10,0 | - | 10,0 | 7,6 | 8,9 | 8,9 | 8,5 | 8,9 | 8,5 | 8,5 | 7,4 |
| 23 | Устьевое давление, МПа | 8,2 | 8,2 | 8,2 | 6,4 | 7,4 | 6,0 | 7,1 | 6,0 | 7,1 | 7,1 | 5,4 |

3.2.2 Анализ выработки запасов углеводородов и текущего состояния разработки

Месторождение Айракты находится на начальной стадии разработки. Опытнопромышленная эксплуатация (ОПЭ) месторождения начата 6 сентября 2017 года.

Геологические и извлекаемые запасы *пластового газа и конденсата* в целом по месторождению составляют по категории $C_1 - 5393$ млн.м 3 / 2627 млн.м 3 газа и 194 тыс.т / 91 тыс.т конденсата, по категории $C_2 - 948$ млн.м 3 / 356 млн.м 3 газа и 34 тыс.т / 11 тыс.т конденсата.

По состоянию на 01.07.2021 года из месторождения отобрано 128,6 млн.м³ газа и 1,66 тыс.т конденсата. Как видно из таблиц 3.2.2.1 и 3.2.2.2 остаточные запасы в целом по месторождению на дату анализа составляют 2498,4 млн.м³ или 4,9% от извлекаемых запасов газа и 89,3 тыс.т или 1,8% от извлекаемых запасов конденсата.

Таблица 3.2.2.1 – Начальные запасы газа и степень их выработки на 01.07.2021 г. Месторождение Айракты

| | | твержденные в С, млн.м ³ | Накопленная | Остаточные за 01.07.2021 | Степень выработки | |
|--------|-------------------------|--|--|-----------------------------|---|-----|
| Объект | геологические запасы | извлекаемые запасы | добыча газа на 01.07.2021 г, млн.м ^з | геологические запасы | ологическиеизвлекаемые запасы запасы | |
| I | 4971 | 2516 | 128,6 | 4842,4 | 2387,4 | 5,1 |
| II | 422 | 111 | 0 | 422,0 | 111,0 | 0,0 |
| Итого | 5393 | 2627 | 128,6 | 5264,4 | 2498,4 | 4,9 |

Таблица 3.2.2.2 – Начальные запасы конденсата и степень их выработки на 01.07.2021 г. Месторождение Айракты

| Объект | утвержденні | онденсата ые в ГКЗ РК, н.м ³ | Накопленная добыча конденсата на 01.07.2021 г, | Остаточны конденсата на млн | Степень выработки запасов на | |
|--------|---------------|---|--|-----------------------------|------------------------------------|----------|
| | геологические | извлекаемые | на 01.07.2021 1, млн.м ³ | геологические | 01.07.2021 г, | |
| | запасы | запасы | 141411111 | запасы | запасы | % |
| I | 179 | 87 | 1,66 | 177,34 | 85,34 | 1,9 |
| II | 15 | 4 | 0 | 15,0 | 4,0 | 0,0 |
| Итого | 194 | 91 | 1,7 | 192,3 | 89,3 | 1,8 |

На дату анализа I объект эксплуатируются 9 скважинами (1 Γ , 6 Γ , 101, 102, 103, 104, 105, 106, 107) одна (107) из которых находится в бездействии, текущий средний дебит газа и конденсата 9,6 тыс.м³/сут и 0,098 т/сут. Объем добычи за шесть месяцев 2021 г составил 14,0 млн.м³ газа и 0,14 тыс.т конденсата. С начала текущего года добыто 128,6 млн.м³ газа и 0,66 тыс.т конденсата. Выработка запасов газа и конденсата составили 5,1 % и 1,9%.

II объект разработки (серпуховский горизонт) ранее не эксплуатировался, накопленная добыча газа и конденсата отсутствуют.

На данном этапе разработки, оценить выработку запасов, определить вовлеченные запасы газа не представляется возможным.



3.3 Обоснование принятых расчетных геолого-физических моделей пластов

3.3.1 Обоснование расчетных геолого-физических моделей пластов-коллекторов, принятых для расчета технологических показателей разработки

Выбор расчетной геолого-физической модели, принятой для прогноза основных технологических показателей разработки газоконденсатных залежей месторождения Айракты выполнен, исходя из наличия в залежах, преимущественно, газового режима.

При газовом режиме приток газа к забоям скважин обуславливается упругой энергией сжатого газа. Анализ экстраполированных и реальных данных по разработанным месторождениям показывает различные возможные коэффициенты извлечения газа (КИГ).

Расчетная геолого-физическая модель учитывает геологическую характеристику залежей, физические и теплофизические свойства флюидов, насыщающих пористой среды (плотности газа и конденсата, свойства и состав газа и конденсата и их изменение при снижении пластового давления, давления начала конденсации, КГФ и т.д.), промысловые данные (тип и конструкция скважин, расположение скважин, сведения о динамике добыче газа и конденсата, технологические режимы, давления и т.д.).

Выбор технологического режима работы скважин проводился на основе результатов опробования и исследования скважин методом установившихся отборов в период разведки и по результатам проведения режимных исследований по добывающим скважинам.

В Проекте ОПЭ [7] технологический режим работ скважин на период опытно - промышленной эксплуаации был принят Руст=const - 8,2 МПа на каждый год в течение 5 лет (с 2017 по 2021 гг.), затем по 5 лет снижения устьевого давления по 1,0 МПа до конца разработки.

В связи с низкими значениями фактических дебитов Недропользователем было решено снизить устьевое давление до 6,4 МПа в 2018 году, к 2021 году текущее устьевое давление снижено до 5,4 МПа.

Учитывая фактический режим эксплуатации скважин рекомендованы варианты с установлением расчетного технологического режима с 2021 года (Py=4,8 МПа) со снижением устьевого давления на 0,5 МПа, и начиная с 2025 года Руст=const=3,1 МПа, в связи с установкой ДКС (дожимная компрессорная станция) на месторождении Амангельды.

При прогнозировании основных технологических показателей разработки месторождения (добыча газа и конденсата), по выбранным технологическим режимам, были рассчитаны изменения пластового, забойного, устьевого давления, дебитов газа и



конденсата как по новым так и по переходящим скважинам, используя промысловые и рассчитанные данные коэффициентов фильтрационных сопротивлений.

Для выработки запасов газа и конденсата было выбрано рациональной количество скважин с использованием новых скважин из бурения.

При моделировании процесса разработки газоконденсатной залежи использовался метод "средней" скважины на основе уравнения материального баланса. Для "средней" скважины взяты средние параметры такие, как глубина, дебит, коэффициенты фильтрационных сопротивлений газоконденсатной залежи. Используемый метод материального баланса перспективен на начальной стадии проектирования, когда недостаточно исходной геолого-промысловой информации о пластовом резервуаре. Кроме того, этот метод используется для оперативных расчетов показателей разработки. Математическая модель включает систему дифференциальных уравнений, полученных исходя из балансовых соотношений флюидов в поровом объеме.

Технологические показатели разработки газоконденсатной залежи для газового режима определялись в следующей последовательности.

1. Определение пластового давления. Изменение во времени среднего пластового давления определяется по уравнению материального баланса для газовой залежи:

$$\widetilde{p}(t) = \left(\frac{p_{\scriptscriptstyle H}}{z_{\scriptscriptstyle H}} - \frac{p_{\scriptscriptstyle cm}Q_{\scriptscriptstyle \partial o o}(t)T_{\scriptscriptstyle H}}{\widetilde{\alpha}\Omega_{\scriptscriptstyle H}T_{\scriptscriptstyle cm}}\right)z(\widetilde{p}), \quad (3.1)$$

Где: $\tilde{p}(t)$ - средневзвешенное по объему порового пространства пластовое давление в момент времени t;

 $p_{_{\scriptscriptstyle H}}$ - средневзвешенное по объему порового пространства начальное пластовое давление;

 $p_{\it am}$ - атмосферное давление;

 $\widetilde{\alpha}\Omega_{_{\scriptscriptstyle H}}$ - поровый объем залежи, занятый газоконденсатной системой;

 $z(\widetilde{p})$ - коэффициенты сжимаемости газа;

 $Q_{\text{доб}}$ - суммарный объем добытого газа из месторождения за время t при стандартной температуре.

2. Определение изменения во времени давления на забое и потребного количества скважин. Давление на забое скважины определяется из двучленной формулы притока газа к забою скважины:

$$\frac{P^2 - P_3^2}{\mu_{cp}^* Z_{cp}} = A * q + B * \frac{q^2}{\mu_{cp}^*},$$
 (3.2)

Где: P и P_3 – текущие давления в пласте и на забое, МПа;

q — дебит газа, м³/c; A и B — коэффициенты фильтрационного сопротивления;

$$\mu^* = \frac{\mu(p)}{\mu_{am}},\tag{3.3}$$

где $\mu(p)$; μ_{am} - динамические коэффициенты вязкости газа при температуре $T_{\pi\pi}$ и давлениях P и $P_{a\pi}$ соответственно,

$$\mu_{cp}^* Z_{cp} = \sigma + \varphi(p_{np}^2 - p_{np}), \quad (3.4)$$

где σ и ϕ - коэффициенты, зависящие от приведенной температуры.

Потребное число скважин для обеспечения заданного темпа отбора и его изменение во времени определялась из соотношения:

$$n(t) = \frac{Q_{\partial o \bar{o}}(t)}{q(t)}.$$
 (3.5)

3. Определение давления на устье скважины. Для расчета потерь давления при движении газа по вертикальным трубам из существующих нескольких формул использована наиболее распространенная:

$$P_{y} = \sqrt{\frac{P_{3}^{2} - \theta q^{2}}{e^{2S}}}, \quad (3.6)$$

где S - величина, учитывающая вес столба газа в скважине, которая рассчитывается по формуле:

$$S = \frac{3.415 * 10^{-2} \Delta H}{zT}, \qquad (3.7)$$

heta - гидравлическое сопротивление движению газа в стволе скважины:

$$\theta = \frac{1,19 * 10^{-6} T_{cp}^2 \lambda z_{cp}^2 (e^{2S} - 1)}{d^5}, \quad (3.8)$$

 λ - коэффициент гидравлического сопротивления определяем по данным исследований согласно формуле:

$$\lambda = \frac{(p_s^2 - p_\Gamma^2 e^{2S}) d_{BH}^5}{1.377 Q^2 z_{cp}^2 T_{cp}^2 (e^{2S} - 1)}$$
(3.9)

4. Фильтрационные коэффициенты, продуктивная характеристика газовых скважин. В качестве прогнозных параметров, определяющих продуктивную

характеристику скважин, приняты результаты математической обработки исследований разведочных скважин. Были получены следующие коэффициенты фильтрационного сопротивления, которые являются средними для залежи (КФС):

Для нижневизейского:

- A = 27 (МПа)/(тыс.м 3 /сут);
- B = $0.017 \, (M\Pi a)^2 / (тыс.м^3 / cyт)^2;$

Для серпуховского:

- $A = 14 (M\Pi a)/(тыс.м^3/сут);$
- B = $0.22 \text{ (МПа)}^2/\text{(тыс.м}^3/\text{сут)}^2$.

По нижневизейскому и серпуховским горизонтам месторождения Айракты для расчета прогнозного КИГ использовался метод падения пластового давления. Для нижневизейского и серпуховского горизонтов использовались фактические замеры пластового давления.

Метод подсчета извлекаемых запасов свободного газа по падению пластового давления применяется при работе залежи на газовом режиме и основан на использовании зависимости между количеством газа, отбираемого из залежи и падением пластового давления. Метод может быть применен при разработке залежи в течение определенного времени по графику зависимости P/z от Qг, где P – текущее пластовое давление, Qг – отбор газа. Экстраполяция графика до пересечения с осью Qг позволяет определить величину запасов газа.

На основании полученных данных проведен расчет технологических и техникоэкономических показателей и определен рентабельный КИГ.



3.3.2 Обоснование выделения объектов разработки

В соответствии с определениями «Единых правил по рациональному и комплексному использованию недр...» — выделение в разрезах месторождений углеводородов эксплуатационных объектов решается с учетом геологических, технических, экологических и экономических факторов в виде оптимизационной задачи.

В единые объекты разработки объединяют продуктивные пласты или горизонты, имеющие один этаж нефтеносности, с близкими физико-химическими свойствами нефти, коллекторскими свойствами, режимами работы залежей, величинами пластовых давлений.

Выделенный объект разработки должен располагать достаточными запасами на единицу площади залежи и достаточной продуктивностью с тем, чтобы обеспечить высокие дебиты скважин в течение продолжительного периода эксплуатации в безводный период и при обводненности.

Месторождение Айракты по объёму запасов относится к мелким, имеющим сложное геологическое строение.

По состоянию на 01.07.2020 г. геологические запасы газа и конденсата по категории C_1 по нижневизейской залежи составили 4971 млн.м³ и 179 тыс.т, по серпуховскому горизонту 422 млн.м³ и 15 тыс.т, соотвественно.

Таким образом на месторождении Айракты выделяется два эксплуатационных объекта разработки:

I объект- нижневизейский горизонт;

II объект – серпуховский горизонт.

Исходная геолого-физическая характеристика продуктивного горизонта представлена в таблице 5.1.



Таблица 3.3.2.1 – Исходная геолого-физическая характеристика эксплуатационных объектов

| | Горизонты | T = = == |
|----------|--|--|
| | | Объект II |
| | | C _{1S} |
| | | 4 |
| | | 1771.7 |
| | | |
| | | IV-1411м |
| | | |
| | | 2.0- |
| | | 3487 |
| | | 15.2 |
| _ | | 7.0 |
| _ | | 0.28 |
| | | 0.59 |
| _ | | - |
| | | 0,091 |
| | | 0,57 |
| | | 0.42 |
| | | 6.0 |
| | | 66.49 |
| | 27.07 | 15.5 |
| 0.013 | 0.013 | - |
| 0.8238 | 0.8238 | 0.817 |
| 20.85 | 20.85 | - |
| 35.88 | 35.88 | 35.88 (по |
| 33.00 | 33.00 | аналоги C1v1) |
| 1.31 | 1.31 | - |
| 1 121 | 1 121 | |
| 1.131 | 1.131 | - |
| | 5.9 | 3.4 |
| 1.76 | 1.76 | 1.67 |
| 0.79 | 0.79 | - |
| | | |
| | | |
| 1.31 | 1.31 | - |
| 1.131 | 1.131 | - |
| | | |
| 2946/552 | 2025/371 | 422/25 |
| 0,506 | 0,506 | 0,263 |
| | | |
| 106/20 | 73/13 | 15/1 |
| 0,490 | 0,490 | 0,266 |
| | | |
| 1491/210 | 1025/141 | 111/5 |
| | | |
| 52/7 | 35/4 | 4/0 |
| | C1V1-A 2 2116.1 I-1800M,-1790M III-1734M IV-1763.5M 22320 15 7.6 0.18 0.61 2.15 0, 8 0.59 2.64 72.43 27.07 0.013 0.8238 20.85 35.88 1.31 1.131 5.9 1.76 0.79 1.31 1.131 2946/552 0,506 | O65ert I C1V1-A C1V1-B 2 3 2116.1 2136.4 I-1800m,-1790m I-1802m II-111-1790m III-1790m 1804m III-1734m IV-1763.5m 1796m 22320 18617 15 18.1 7.6 6.5 0.18 0.15 0.61 0.59 2.15 2,12 0,390 8,87 0.59 0.51 2.64 3.38 72.43 72.43 27.07 27.07 0.013 0.013 0.8238 0.8238 20.85 35.88 1.31 1.31 1.131 1.131 1.131 1.131 1.131 1.131 1.31 1.31 1.31 1.31 1.31 1.31 1.31 1.31 1.31 1.31 1.31 1.31 |



3.3.3 Обоснование расчетных вариантов разработки и их исходные характеристики

В данной работе рассмотрены 3 варианта прогнозных технологических показателей разработки месторождения Айракты.

На месторождении по состоянию на 01.07.2021 г. выделены два объекта разработки, первый объект разработки – нижневизейский горизонт C_1V_1 , второй объект – серпуховский горизонт C_1 sr.

Прогнозные технологические показатели разработки рассчитаны по 3 вариантам, различающиеся между собой размещением, количеством добывающих скважин, вводимых в эксплуатацию, темпами отбора газа и конденсата.

Технологические показатели рассчитаны при следующих условиях:

- режим газовый;
- технологический режим Руст= const;
- коэффициент эксплуатации действующего фонда скважин составляет 0,95 д.ед.;
- добывные ресурсы для проектных скважин определены по параметрам «средней» скважины месторождения;
- прогнозная добыча конденсата и динамика ее снижения в зависимости от снижения пластового давления в процессе отбора газа из залежи по результатам лабораторных исследований.
- ввод пропановой холодильной установки для обеспечения полноценной подготовки товарного газа.

Вариант 1.

Разработку планируется осуществлять существующим фондом добывающих скважин и вводом из консервации двух скважин. Общий добывающий фонд составит 10 ед.

Объект І (нижневизейский горизонт)

• ввод из консервации скважины №4Г;

Объект II (серпуховский горизонт)

• ввод из консервации скважины №8;

Вариант 2.

С целью увеличения извлечения газа и конденсата разработку планируется осуществлять вводом из бурения в эксплуатацию 2 новых проектных скважин (одна из них горизонтальная скважина) и вводом из консервации двух скважин. Общий добывающий фонд составит 12 ед.

Объект I (нижневизейский горизонт)



 бурение 2 проектных скважин (№№ 108, 109) и ввод из консервации скважины №4Г.

Объект II (серпуховский горизонт)

• ввод из консервации скважины №8;

Вариант 3.

С целью увеличения извлечения газа и конденсата разработку планируется осуществлять вводом из бурения в эксплуатацию 9 новых проектных скважин (одна из них горизонтальная скважина) и вводом из консервации двух скважин. Общий добывающий фонд составит 19 ед.

Объект І (нижневизейский горизонт)

• бурение 9 проектных скважин (№№ 108, 109, 110, 111, 112, 113, 114, 115, 116) и ввод из консервации скважины №4Г.

Объект II (серпуховский горизонт)

• ввод из консервации скважины №8;

В вариантах 2 и 3 приняты следующие равные условия:

- в новых пробуренных проектных скважинах провести мероприятия ГРП, с целью увеличения продуктивности призабойной зоны скважины;
 - проектный дебит для вертикальных скважин принят q_r =30 тыс.м³/сут;
 - проектный дебит для горизонтальной скважины принят $q_r = 100$ тыс. m^3/cyt .

Для выработки оставшихся запасов газа и конденсата местоположение проектных скважин заложено в зонах, не охваченных бурением.

Таблица 3.3.3.1 – Основные исходные характеристики расчетных вариантов разработки

| | | | I объект | | II объект | | | | |
|----------------------------------|--|------------------|---------------------|---------|-----------------------|-------------|-------|--|--|
| Характе | пистики | нижн | евизейский г | оризонт | серпуховский горизонт | | | | |
| Aapakie | ристики | | Варианты разработки | | | | | | |
| | | 1 | 2 | 3 | 1 | 2 | 3 | | |
| Режим ра | Режим разработки | | | | | газовый | | | |
| Система размен | цения скважин | | неравномерн | ая | неј | равномерная | I | | |
| Расстояние межд | у скважинами, м | 1000 | 750-1000 | 750 | - | - | - | | |
| Плотность сетки, | 10 ⁴ м ² /скв (га/скв) | 170,4 | 139,4 | 85,2 | 441,6 | 441,6 | 441,6 | | |
| Количество добыва | Количество добывающих скважин, ед. | | | 18 | 1 | 1 | 1 | | |
| В Т.Ч. ИЗ | бурения | - | 2 | 9 | - | - | - | | |
| из консе | ервации | 1 | 1 | 1 | 1 | 1 | 1 | | |
| Резервные | е скважин | | | | | | | | |
| Режим работы доб | ывающих скважин | Py=const=4,8 МПа | | | | | | | |
| Проектные дебиты | вертикальных | - | 30 | 30 | - | - | - | | |
| скважин, тыс.м ³ /сут | горизонтальных | - | 100 | 100 | - | - | - | | |
| Коэффициент | | | (| 0.05 | | | | | |
| добывающих | | 0,95 | | | | | | | |
| Коэффициент экс | 0,5 | | | | | | | | |
| добывающих (| скважин, д.ед. | | 0,5 | | | <u> </u> | | | |



| Коэффициент эксплуатации переходящих | 0.95 |
|--------------------------------------|------|
| скважин, д.ед. | 0,93 |

Обоснование проектных показателей, относимых к контрактным обязательствам, диапазонов их изменения или предельно допустимых значений

Согласно п. 12 статьи 277 Кодекса «О недрах и недропользовании» устанавливается выполнение следующих показателей проектных документов, относимых к контрактным обязательствам недропользователя:

- 1) плотность сетки эксплуатационных скважин;
- 2) соотношение добывающих и нагнетательных скважин по каждому эксплуатационному объекту;
 - 3) коэффициент компенсации по залежам;
- 4) отношение пластового и забойного давления к давлению насыщения или давлению конденсации;
 - 5) отношение пластового давления к забойному давлению;
 - 6) максимально допустимая величина газового фактора по скважинам;
 - 7) объемы добычи углеводородов;
 - 8) объемы обратной закачки рабочего агента для повышения пластового давления;
 - 9) показатели ввода эксплуатационных скважин.

При этом, значения показателей, указанных в настоящем пункте, не включаются в контракт и определяются исходя из проектных документов.

Согласно п. 107 «Единых правил по рациональному и комплексному использованию недр» при проектировании проекта разработки месторождения и изменений и/или дополнений к нему или анализа разработки необходимо обосновать диапазоны или предельно допустимые значения следующих показателей:

- 1) коэффициент компенсации по залежам;
- 2) отношение пластового и забойного давления к давлению насыщения или давлению конденсации;
 - 3) отношение пластового давления к забойному давлению;
 - 4) максимально допустимая величина газового фактора по скважинам;
 - 5) объемы добычи углеводородов;
 - 6) объемы обратной закачки рабочего агента для повышения пластового давления;
 - 7) показатели ввода эксплуатационных скважин.

Ниже приводится обоснование вышеуказанных проектных показателей, диапазоны их изменения или предельно допустимые значения.



Плотность сетки эксплуатационных скважин

Показатель плотности сетки скважин устанавливается исходя из положений расчетных вариантов разработки, определяющих количество пробуренных и проектных скважин по каждому объекту разработки.

Соотношение добывающих и нагнетательных скважин по каждому эксплуатационному объекту

Месторождение разрабатывается на режиме истощения, в связи с этим нагнетательные скважины не предусмотрены.

Коэффициент компенсации по залежам

В соответствии с предыдущим пунктом, данный пункт не актуален.

Отношение пластового давления к забойному давлению

Отношение пластового давления к забойному давлению составляет 2,97 МПа (при Pпл=18,1 МПа и Pзаб=6,8 МПа), депрессия на пласт составила $\Delta P=17,8$ МПа.

Отношение пластового и забойного давлений к давлению конденсации

Давление начала конденсации по месторождению составляет 20,85 МПа, что выше пластового давления 18,1 МПа. Отношение пластового давления к давлению конденсации -0,86 МПа. Отношение забойного давления (Рзаб=7,4 МПа) к давлению конденсации -0,35 МПа.

Объемы добычи углеводородов и объемы обратной закачки рабочего агента для повышения пластового давления

Допустимое отклонение объемов добычи углеводородов по эксплуатационным объектам разработки принято из расчета +/- 10% от годовых проектных показателей по добыче углеводородов, предусмотренного положениями п. 8 статьи 142 Кодекса «О недрах и недропользовании» и п. 162 «Единых правил по рациональному и комплексному использованию недр». Закачка рабочего агента не предусматривается проектом.

Показатели ввода эксплуатационных скважин

Отклонения по вводу эксплуатационных скважин не предусматриваются в связи с небольшим количеством скважин, предусмотренным к бурению.

Установленные настоящим проектом показатели, относимые к контрактным обязательствам по месторождения Айракты по рекомендуемому 3 варианту разработки, приведены в таблице 3.3.3.2.



Таблица 3.3.3.2 – Предельно-допустимые величины и диапазоны изменений проектных показателей, относимых к контрактным обязательствам

| THOCHMINA K KONT PARTIDISH GONSAT CIDE TO LINE | | | | | | | |
|--|--|--|--|--|--|--|--|
| Параметры | I объект | | | | | | |
| Плотность сетки скважин, га/скв | 85,2 | | | | | | |
| Отношение пластового давления к | 2,4 | | | | | | |
| забойному давлению | 2,4 | | | | | | |
| Отношение пластового давления к | 0,86 | | | | | | |
| давлению конденсации | 0,00 | | | | | | |
| Отношение забойного давления к | 0.35 | | | | | | |
| давлению конденсации | 0,33 | | | | | | |
| Объемы добычи углеводородов, тыс. т | +/- 10% от годовых показателей объемов добычи углеводородов | | | | | | |
| Ооъемы дооычи углеводородов, тыс. г | указанных в таблицах, приведенных в разделе 4.1 настоящего проекта | | | | | | |
| Показатели ввода эксплуатационных | В соответствии с показателями ввода скважин из бурения из таблиц, | | | | | | |
| скважин, ед. | приведенных в разделе 4.1, настоящего проекта | | | | | | |



3.4 Обоснование нормативов капитальных вложений и эксплуатационных затрат, принятых для расчетов экономических показателей

Расчет капитальных вложений и эксплуатационных затрат на добычу газа и конденсата выполнен на основе технологических показателей разработки и нормативов капитальных вложений и эксплуатационных затрат.

Капитальные вложения определены по отдельным направлениям, включающим в себя затраты на строительство скважин, систему поддержания пластового давления, а также на расширение объектов сбора и подготовки газа и конденсата. Потребность в капитальных вложениях определялась, исходя из объемных показателей, связанных с бурением скважин, реконструкцией объектов обустройства и удельных затрат, сложившихся за 2012-2020 гг. и утвержденному плану капитальных затрат на 2021 г. по бурению скважин, их обустройству, строительству объектов добычи и т.п.

Предполагаемые объемы инвестиционных затрат базируются на укрупненных удельных показателях стоимости, связанных как с бурением скважин, так и исходя из характеристики и необходимого количества оборудования, необходимого на строительство намеченных объектов, которые включают в себя издержки по инвестициям в основной капитал, состоящие из следующих расходов:

- стоимости основного и вспомогательного оборудования, потребных материалов;
- затрат на строительно-монтажные и пусконаладочные работы;
- прочих платежей.

В расчетах экономических показателей разработки месторождения капитальные затраты проекта оценивались укрупнено по следующим направлениям: затраты в строительство скважин; затраты на надземное газопромысловое строительство.

Капитальные вложения в строительство скважин включают в себя: затраты на бурение новых добывающих скважин.

Надземное строительство состоит из капитальных затрат на:

- обустройство проектных скважин затраты на сопутствующее скважинное оборудование для увеличения газоотдачи, обустройства выкидных линий для проектных скважин;
- проведение ГРП.

Капитальные вложения для расчета амортизационных отчислений для целей налогообложения и для включения в себестоимость приняты в соответствии с данными



раздела «Капвложения» настоящей записки. В составе капитальных вложений, также учтен резерв средств на прочие затраты (на экспертизы, авторский надзор, сел.хоз и лесной потери при добыче углеводородного сырья). Проектная стоимость бурения скважины подсчитана в зависимости от глубины бурения и с учетом особенностей скважины (горизонтальная, вертикальная, с боковыми стволами). Исходя из специфики бурения стоимость 1 метра проходки 303,00 тыс. тенге для эксплуатационной вертикальной скважины, 606,00 тыс. тенге для эксплуатационной горизонтальной скважины, которая определена исходя из анализа фактических затрат на бурение существующих скважин, пробуренных в 2012-2020 годах. Таким образом, стоимость строительства 1 (одной) скважины принята с учетом всех выше изложенных показателей. Продолжительность бурения и его окончания для каждой скважины определялось согласно нормативным данным по бурению. Так же капитальные вложения рассчитаны с учетом того, что большая часть оборудования, материалов, сооружений будет приобретаться в Казахстане. Однако, также возможно приобретение оборудования и материалов у производителей из других стран (СНГ) при невозможности приобретения соответствующего оборудования в Казахстане, а также в случаях их неконкурентоспособности с другими аналогами по показателям качества и цены. Нормативы для расчета капитальных затрат представлены в таблице 3.4.1;

Таблица 3.4.1 – Технико-экономические нормативы капитальных вложений и эксплуатационных затрат

| №№ п/п | Наименование | Ед. изм. | Значение |
|-----------|---|-----------|-----------|
| 1 | 2 | 3 | 4 |
| | <u> Капитальные вложения</u> | | |
| 1 | Строительство скважин | | |
| 1 | Средняя стоимость бурения вертикальной эксплуатационной скважины | тыс.тенге | 681 550 |
| 2 | Средняя стоимость бурения горизонтальной эксплуатационной скважины | тыс.тенге | 1 363 100 |
| 3 | Стоимость бурения 1 м проходки, включая наземное оборудование | тыс.тенге | 303 |
| 4 | Расконсервация скважин | тыс.тенге | 7 310 |
| 2 | Надземное строительство | | |
| 1 | Проведение ГГРП (гидро разрыв пласта) | тыс.тенге | 55 900 |
| 2 | Обустройство месторождения | тыс.тенге | 113 090 |
| 3 | Испытание серуховского горизонта | тыс.тенге | 6 880 |

Нормативы затрат, использованные в расчетах определены в соответствии с фактическими затратами за 2012-2020 гг. и утвержденным Бюджетом ТОО «Амангельды Газ» на 2021 год.

При расчете эксплуатационных затрат выделены две группы нормативов:



- нормативы для расчета затрат на производство;
- нормативы фиксированных платежей и цены продукции.

Нормативы, участвующие при определении эксплуатационных расходов, связанных с добычей и подготовкой газа, приведены в таблице 3.5.2.

Амортизационные отчисления, включаемые в себестоимость продукции рассчитывались, по производственному методу в соответствии со стандартом бухгалтерского учета РК № 20 «Учет и отчетность нефтегазодобывающей промышленности» и методическими рекомендациями к нему.

Экономика предприятия будет основываться на стандартной модели налогообложения с учетом особенностей контракта на недропользование, выданного ТОО «Амангельды Газ. В связи с этим проектирование налоговых обязательств, которые несет предприятие, осуществлялось по принятым в качестве нормативов ставкам налогов и других обязательных платежей в бюджет с корректировкой по некоторым видам налогов.

Величина нормативов, связанных с налогообложением приведена в таблице 3.4.3

Таблица 3.4.2 – Нормативы для расчета эксплуатационных затрат

| № | Наименование | Единица измерения | Значение |
|-----|---|---------------------------------|---------------|
| 1 | Уровень использования газа на продажу (топливный газ) | % | 99,6% |
| 2 | Уровень использования конденсата на продажу (средний+легкий дистллят) | % | 100% |
| 3 | Среднегодовая оплата труда 1-го работника ППП | тыс.тенге | 5 973,9 |
| 4 | Расходы, относимые на себестоимость продукции | | |
| 4.1 | Ватраты на материалы и химреагенты | тыс.тенге/1000.м ³ . | 141,90 |
| 4.2 | Затраты на ГСМ | тыс.тенге/1000.м ³ . | 21,50 |
| 4.3 | Ватраты на электроэнергию и пр. ресурсы (производство) | тыс.тенге/1000.м ³ . | 266,60 |
| 4.4 | Ватраты производственного характера | тыс.тенге/скв | 275,20 |
| 4.5 | Услуги производственного характера, выполненные сторонними организациями | тыс.тенге/1000.м ³ . | 3 276,60 |
| 4.6 | Затраты на ТБ И ООС | тыс.тенге/раб ПП | 623,50 |
| 4.8 | Ватраты на ремонт скважин | тыс. тенге/скв. | 2 558,50 |
| 5 | Расходы периода: | | |
| 5.1 | Административные затраты | тыс.тенге/раб.ПП | 1 431,90 |
| 5.2 | Прочие расходы, постоянного характера | тыс.тенге/в год | 6 884,30 |
| 6 | Удельный вес продажи газа на внешний рынок | % | 0,00 |
| 7 | Удельный вес продажи газа на внутренний рынок | % | 100,0% |
| 8 | Инфляция цены на продукцию | % в год | 1,5% с 2027г. |
| 9 | Инфляция на капитальные вложения и эксплуатационные затраты | % в год | 4,0% |



Таблица 3.4.3 – Нормативы для расчета эксплуатационных затрат, связанные с налогообложением и

ценой продукции

| No | Наименование | Значение |
|----|---|-----------------------------|
| 1 | Отчисления в Фонд государственного социального страхования | 11% |
| 2 | Отчисления в пенсионный фонд | 10% |
| 3 | Амортизационные отчисления фиксированных активов, подлежащих вычету при налогообложении | по Налоговому Кодексу РК |
| 4 | Ватраты на обучение казахстанских специалистов | Экспл.затраты*1% |
| 5 | Перечисления в Ликвидационный фонд (по утв.Программе ликвид.) | 1% от Экспл затрат |
| 6 | Развитие социальной сферы и инфраструктуры, тыс.\$/год | 0,5% от экспл. |
| 7 | Корпоративный подоходный налог | 20% |
| 8 | ндпи | по шкале |
| 9 | Налог на добавленную стоимость при покупке товаров и услуг | 12% |
| 10 | Налог на добавленную стоимость при реализации продукции на внутреннем рынке | 12% |
| 11 | Налог на имущество | 1,50% |
| 12 | Налог на сверхприбыль | по шкале |
| 13 | Прочие налоги и отчисления в бюджет | 1,50% |
| 14 | Цена реализации газоконденсата на внутреннем рынке(без учета НДС,), генге/тн | 116 000 |
| 15 | Цена реализации газа на внутреннем рынке (без учета НДС), тенге/тыс. м3 | 39 000 |
| 16 | Год начала проекта | 2021 |
| 17 | Курс доллара США, тенге/доллар | 430 |



4 ТЕХНОЛОГИЧЕСКИЕ И ТЕХНИКО-ЭКОНОМИЧЕСКИЕ ПОКАЗАТЕЛИ ВАРИАНТОВ РАЗРАБОТКИ

4.1 Технологические показатели вариантов разработки

В соответствии с требованиями «Единых правил по рациональному и комплексному использованию недр» расчеты технологических показателей по каждому варианту были выполнены на весь срок разработки месторождения.

Расчеты технологических показателей для газоконденсатной залежи на режиме истощения выполнены по 3 вариантам разработки с учетом ретроградных явлений, происходящих в пласте в процессе снижения пластового давления.

Вариант 1

Проектный период разработки – 2021-2052 годы.

Накопленная добыча газа за проектно-рентабельный период -504,3 млн.м³.

Накопленная добыча конденсата за проектно-рентабельный период – 5,1 тыс.т.

Накопленная добыча газа с начала разработки – 619,0 млн.м³.

Накопленная добыча конденсата с начала разработки – 6,6 тыс.т.

 $KИ\Gamma - 0,115$ д.ед.

КИК – 0,034 д.ед.

Вариант 2

Проектный период разработки – 2021-2071 годы.

Накопленная добыча газа за проектно-рентабельный период -1880,1 млн.м³.

Накопленная добыча конденсата за проектно-рентабельный период – 19,0 тыс.т.

Накопленная добыча газа с начала разработки – 1995,5 млн.м³.

Накопленная добыча конденсата с начала разработки – 20,5 тыс.т.

 $KИ\Gamma - 0.370$ д.ед.

KИK - 0.106 д.ед.

Вариант 3

Проектный период разработки – 2021-2066 годы.

Накопленная добыча газа за проектно-рентабельный период – 2512,4 млн.м³

Накопленная добыча конденсата за проектно-рентабельный период – 25,4 тыс.т.

Накопленная добыча газа с начала разработки – 2627,0 млн.м³.

Накопленная добыча конденсата с начала разработки – 26,9 тыс.т.

 $KИ\Gamma - 0.487$ д.ед.

КИК – 0,139 д.ед.



Согласно технико-экономических расчетов к реализации рекомендуется вариант 3. Основные технологические показатели по 3 варианту разработки объектов приведены в таблицах 4.1.1-4.1.6, по остальным вариантам приведены в табличных приложениях 21-32, карты размещения проектных и пробуренных скважин показаны на графических приложениях 17-19.

Таблица 4.1.1 - Месторождение Айракты. Характеристика основного фонда скважин в целом по

месторождению. Вариант 3

| месторождению. Вариант 3 | | | | | | | | | | |
|--------------------------|-------|---------|--------------|--------------------|---------------------|----------|--------------------|-----------------------------------|-------------|--|
| Готин | Ввод | скважи | н из бурения | Фонд скважин | Эксплуа- тацион- | | Фонд добывающих | Среднегодовой дебит на 1 скважину | | |
| Годы и | | | | сначала | | скважин, | | | · | |
| периоды | | И3 | И3 | разработки, | | / | конен гола | / | конденсата, | |
| | Beero | бурения | консервации | разраоотки, ед. | M | од. | ед. | тыс.м ³ /сут | т/сут | |
| 2021 | 0 | 0 | 0 | 17 | 0 | 0 | 8 | 9,4 | 0,095 | |
| 2022 | 1 | 0 | 1 | 17 | 0 | 0 | 9 | 9,9 | 0,100 | |
| 2023 | 2 | 1 | 1 | 18 | 2,25 | 0 | 11 | 11,4 | 0,115 | |
| 2024 | 1 | 1 | 0 | 19 | 2,25 | 0 | 12 | 12,7 | 0,128 | |
| 2025 | 3 | 3 | 0 | 22 | 7,40 | 0 | 15 | 13,4 | 0,135 | |
| 2026 | 3 | 3 | 0 | 25 | 6,75 | 0 | 18 | 16,4 | 0,166 | |
| 2027 | 1 | 1 | 0 | 26 | 2,25 | 0 | 19 | 16,2 | 0,163 | |
| 2028 | 0 | 0 | 0 | 26 | 0 | 0 | 19 | 13,8 | 0,140 | |
| 2029 | 0 | 0 | 0 | 26 | 0 | 0 | 19 | 12,5 | 0,126 | |
| 2030 | 0 | 0 | 0 | 26 | 0 | 0 | 19 | 12,1 | 0,122 | |
| 2031 | 0 | 0 | 0 | 26 | 0 | 0 | 19 | 12,7 | 0,129 | |
| 2032 | 0 | 0 | 0 | 26 | 0 | 0 | 19 | 12,9 | 0,130 | |
| 2033 | 0 | 0 | 0 | 26 | 0 | 0 | 19 | 12,4 | 0,125 | |
| 2034 | 0 | 0 | 0 | 26 | 0 | 0 | 19 | 12,3 | 0,124 | |
| 2035 | 0 | 0 | 0 | 26 | 0 | 0 | 19 | 12,1 | 0,122 | |
| 2036 | 0 | 0 | 0 | 26 | 0 | 0 | 19 | 11,9 | 0,120 | |
| 2037 | 0 | 0 | 0 | 26 | 0 | 0 | 19 | 11,7 | 0,118 | |
| 2038 | 0 | 0 | 0 | 26 | 0 | 0 | 19 | 11,6 | 0,117 | |
| 2039 | 0 | 0 | 0 | 26 | 0 | 0 | 19 | 11,0 | 0,112 | |
| 2040 | 0 | 0 | 0 | 26 | 0 | 0 | 19 | 10,8 | 0,109 | |
| 2041 | 0 | 0 | 0 | 26 | 0 | 0 | 19 | 10,3 | 0,104 | |
| 2042 | 0 | 0 | 0 | 26 | 0 | 0 | 19 | 9,8 | 0,099 | |
| 2043 | 0 | 0 | 0 | 26 | 0 | 0 | 19 | 9,4 | 0,095 | |
| 2044 | 0 | 0 | 0 | 26 | 0 | 0 | 19 | 9,0 | 0,091 | |
| 2045 | 0 | 0 | 0 | 26 | 0 | 0 | 19 | 8,6 | 0,087 | |
| 2046 | 0 | 0 | 0 | 26 | 0 | 0 | 19 | 8,2 | 0,083 | |
| 2047 | 0 | 0 | 0 | 26 | 0 | 0 | 19 | 7,9 | 0,079 | |
| 2048 | 0 | 0 | 0 | 26 | 0 | 0 | 19 | 7,5 | 0,076 | |
| 2049 | 0 | 0 | 0 | 26 | 0 | 0 | 19 | 7,3 | 0,073 | |
| 2050 | 0 | 0 | 0 | 26 | 0 | 0 | 19 | 7,0 | 0,071 | |
| 2051 | 0 | 0 | 0 | 26 | 0 | 1 | 18 | 6,7 | 0,068 | |
| 2052 | 0 | 0 | 0 | 26 | 0 | 0 | 18 | 6,5 | 0,066 | |
| 2053 | 0 | 0 | 0 | 26 | 0 | 0 | 18 | 6,3 | 0,064 | |
| 2054 | 0 | 0 | 0 | 26 | 0 | 0 | 18 | 6,1 | 0,062 | |
| 2055 | 0 | 0 | 0 | 26 | 0 | 1 | 17 | 5,9 | 0,060 | |
| 2056 | 0 | 0 | 0 | 26 | 0 | 0 | 17 | 5,7 | 0,058 | |
| 2057 | 0 | 0 | 0 | 26 | 0 | 0 | 17 | 5,5 | 0,056 | |
| 2058 | 0 | 0 | 0 | 26 | 0 | 0 | 17 | 5,4 | 0,054 | |
| 2059 | 0 | 0 | 0 | 26 | 0 | 1 | 16 | 5,2 | 0,053 | |
| 2060 | 0 | 0 | 0 | 26 | 0 | 0 | 16 | 5,1 | 0,051 | |
| 2061 | 0 | 0 | 0 | 26 | 0 | 0 | 16 | 4,9 | 0,050 | |
| 2062 | 0 | 0 | 0 | 26 | 0 | 0 | 16 | 4,8 | 0,048 | |
| 2063 | 0 | 0 | 0 | 26 | 0 | 1 | 15 | 4,7 | 0,047 | |
| 2064 | 0 | 0 | 0 | 26 | 0 | 0 | 15 | 4,6 | 0,046 | |
| 2065 | 0 | 0 | 0 | 26 | 0 | 0 | 15 | 4,5 | 0,045 | |
| 2066 | 0 | 0 | 0 | 26 | 0 | 0 | 15 | 4,4 | 0,044 | |

Таблица 4.1.2 – Месторождение Айракты. Характеристика основных показателей разработки в целом

по месторождению. Вариант 3

| no meeto | рожден | ию. Вариан | 11.5 | | Town | r6one | | | |
|----------|-------------|------------|---------------------------|-----------|---------|-------|------------|-------------|-------------|
| | Π.σ | | | Накоп- | Темп от | - | 0-5 | TC 4 4 | Коэффициен |
| Годы и | Добыч | Добыча | Накопленна | ленная | газа | | - | Коэффициен | T |
| период | а газа, | конденсат | я добыча | добыча | | | извлекаемы | | извлечения |
| Ы | МЛН. - 3 | а, тыс. т | газа, млн. м ³ | конденсат | запасо | | х запасов, | извлечения | конденсата, |
| | M^3 | | | а, тыс. т | началь | теку | % | газа, д.ед. | д.ед. |
| 2021 | 260 | 0.262 | 140.6 | | H | Щ | ~ 4 | 0.026 | |
| 2021 | 26,0 | 0,262 | 140,6 | 1,8 | 1,0 | 1,0 | 5,4 | 0,026 | 0,009 |
| 2022 | 29,3 | 0,296 | 169,9 | 2,1 | 1,1 | 1,2 | 6,5 | 0,032 | 0,011 |
| 2023 | 39,8 | 0,402 | 209,7 | 2,5 | 1,5 | 1,6 | 8,0 | 0,039 | 0,013 |
| 2024 | 50,6 | 0,511 | 260,3 | 3,0 | 1,9 | 2,1 | 9,9 | 0,048 | 0,015 |
| 2025 | 63,1 | 0,637 | 323,4 | 3,6 | 2,4 | 2,7 | 12,3 | 0,060 | 0,019 |
| 2026 | 94,4 | 0,953 | 417,8 | 4,6 | 3,6 | 4,1 | 15,9 | 0,077 | 0,024 |
| 2027 | 104,0 | 1,050 | 521,8 | 5,6 | 4,0 | 4,7 | 19,9 | 0,097 | 0,029 |
| 2028 | 91,0 | 0,919 | 612,8 | 6,5 | 3,5 | 4,3 | 23,3 | 0,114 | 0,034 |
| 2029 | 82,4 | 0,832 | 695,2 | 7,4 | 3,1 | 4,1 | 26,5 | 0,129 | 0,038 |
| 2030 | 79,9 | 0,807 | 775,0 | 8,2 | 3,0 | 4,1 | 29,5 | 0,144 | 0,042 |
| 2031 | 84,0 | 0,848 | 859,0 | 9,0 | 3,2 | 4,5 | 32,7 | 0,159 | 0,047 |
| 2032 | 85,0 | 0,858 | 944,0 | 9,9 | 3,2 | 4,8 | 35,9 | 0,175 | 0,051 |
| 2033 | 81,8 | 0,826 | 1025,8 | 10,7 | 3,1 | 4,9 | 39,0 | 0,190 | 0,055 |
| 2034 | 81,0 | 0,818 | 1106,8 | 11,5 | 3,1 | 5,1 | 42,1 | 0,205 | 0,059 |
| 2035 | 79,6 | 0,804 | 1186,4 | 12,3 | 3,0 | 5,2 | 45,2 | 0,220 | 0,064 |
| 2036 | 78,2 | 0,790 | 1264,6 | 13,1 | 3,0 | 5,4 | 48,1 | 0,234 | 0,068 |
| 2037 | 76,9 | 0,776 | 1341,4 | 13,9 | 2,9 | 5,6 | 51,1 | 0,249 | 0,072 |
| 2038 | 76,4 | 0,772 | 1417,8 | 14,7 | 2,9 | 5,9 | 54,0 | 0,263 | 0,076 |
| 2039 | 72,8 | 0,735 | 1490,6 | 15,4 | 2,8 | 6,0 | 56,7 | 0,276 | 0,079 |
| 2040 | 71,2 | 0,719 | 1561,8 | 16,1 | 2,7 | 6,3 | 59,5 | 0,290 | 0,083 |
| 2041 | 67,9 | 0,685 | 1629,7 | 16,8 | 2,6 | 6,4 | 62,0 | 0,302 | 0,087 |
| 2042 | 64,7 | 0,654 | 1694,4 | 17,5 | 2,5 | 6,5 | 64,5 | 0,314 | 0,090 |
| 2043 | 61,8 | 0,624 | 1756,2 | 18,1 | 2,4 | 6,6 | 66,9 | 0,326 | 0,093 |
| 2044 | 59,1 | 0,597 | 1815,3 | 18,7 | 2,2 | 6,8 | 69,1 | 0,337 | 0,096 |
| 2045 | 56,5 | 0,571 | 1871,9 | 19,3 | 2,2 | 7,0 | 71,3 | 0,347 | 0,099 |
| 2046 | 54,1 | 0,546 | 1926,0 | 19,8 | 2,1 | 7,2 | 73,3 | 0,357 | 0,102 |
| 2047 | 51,8 | 0,523 | 1977,8 | 20,3 | 2,0 | 7,4 | 75,3 | 0,367 | 0,105 |
| 2048 | 49,7 | 0,502 | 2027,5 | 20,8 | 1,9 | 7,7 | 77,2 | 0,376 | 0,107 |
| 2049 | 47,8 | 0,483 | 2075,3 | 21,3 | 1,8 | 8,0 | 79,0 | 0,385 | 0,110 |
| 2050 | 46,1 | 0,466 | 2121,4 | 21,8 | 1,8 | 8,4 | 80,8 | 0,393 | 0,112 |
| 2051 | 44,5 | 0,449 | 2165,9 | 22,2 | 1,7 | 8,8 | 82,4 | 0,402 | 0,115 |
| 2052 | 40,6 | 0,410 | 2206,5 | 22,6 | 1,5 | 8,8 | 84,0 | 0,409 | 0,117 |
| 2053 | 39,3 | 0,397 | 2245,8 | 23,0 | 1,5 | 9,3 | 85,5 | 0,416 | 0,119 |
| 2054 | 38,0 | 0,384 | 2283,8 | 23,4 | 1,4 | 10,0 | 86,9 | 0,423 | 0,121 |
| 2055 | 36,8 | 0,372 | 2320,6 | 23,8 | 1,4 | 10,7 | 88,3 | 0,430 | 0,123 |
| 2056 | 33,6 | 0,340 | 2354,3 | 24,1 | 1,3 | 11,0 | 89,6 | 0,437 | 0,124 |
| 2057 | 32,6 | 0,330 | 2386,9 | 24,5 | 1,2 | 12,0 | 90,9 | 0,443 | 0,126 |
| 2058 | 31,7 | 0,320 | 2418,6 | 24,8 | 1,2 | 13,2 | 92,1 | 0,448 | 0,128 |
| 2059 | 30,8 | 0,311 | 2449,3 | 25,1 | 1,2 | 14,8 | 93,2 | 0,454 | 0,129 |
| 2060 | 28,1 | 0,284 | 2477,5 | 25,4 | 1,1 | 15,8 | 94,3 | 0,459 | 0,131 |
| 2061 | 27,4 | 0,276 | 2504,8 | 25,7 | 1,0 | 18,3 | 95,3 | 0,464 | 0,132 |
| 2062 | 26,6 | 0,269 | 2531,5 | 25,9 | 1,0 | 21,8 | 96,4 | 0,469 | 0,134 |
| 2063 | 25,9 | 0,262 | 2557,4 | 26,2 | 1,0 | 27,1 | 97,3 | 0,474 | 0,135 |
| 2064 | 23,8 | 0,240 | 2581,2 | 26,4 | 0,9 | 34,2 | 98,3 | 0,479 | 0,136 |
| 2065 | 23,2 | 0,234 | 2604,4 | 26,7 | 0,9 | 50,7 | 99,1 | 0,483 | 0,137 |
| 2066 | 22,6 | 0,229 | 2627,0 | 26,9 | 0,9 | 100,1 | 100,0 | 0,487 | 0,139 |

Таблица 4.1.3 – Месторождение Айракты. Характеристика основного фонда скважин по I объекту. Вариант 3

| Вариант 3 | | | | | | | | | | |
|-----------|------|---------|--------------|-----------------|---------------------|----------|--------------------|-----------------------------------|-------------|--|
| Г | Ввод | скважи | н из бурения | Фонд скважин | Эксплуа- тацион- | | Фонд добывающих | Среднегодовой дебит на 1 скважину | | |
| Годы и | | | | сначала | | скважин, | | | - | |
| периоды | | и3 | И3 | разработки, | бурение. | | конен гола | / | конденсата, | |
| | | бурения | консервации | ед. | M | **** | ед. | тыс.м ³ /сут | т/сут | |
| 2021 | 0 | 0 | 0 | 16 | 0 | 0 | 8 | 9,4 | 0,095 | |
| 2022 | 0 | 0 | 0 | 16 | 0 | 0 | 8 | 10,2 | 0,103 | |
| 2023 | 2 | 1 | 1 | 17 | 2,25 | 0 | 10 | 12,1 | 0,123 | |
| 2024 | 1 | 1 | 0 | 18 | 2,25 | 0 | 11 | 13,4 | 0,136 | |
| 2025 | 3 | 3 | 0 | 21 | 7,40 | 0 | 14 | 13,7 | 0,139 | |
| 2026 | 3 | 3 | 0 | 24 | 6,75 | 0 | 17 | 16,9 | 0,170 | |
| 2027 | 1 | 1 | 0 | 25 | 2,25 | 0 | 18 | 16,6 | 0,167 | |
| 2028 | 0 | 0 | 0 | 25 | 0 | 0 | 18 | 14,1 | 0,142 | |
| 2029 | 0 | 0 | 0 | 25 | 0 | 0 | 18 | 12,7 | 0,128 | |
| 2030 | 0 | 0 | 0 | 25 | 0 | 0 | 18 | 12,3 | 0,124 | |
| 2031 | 0 | 0 | 0 | 25 | 0 | 0 | 18 | 13,0 | 0,131 | |
| 2032 | 0 | 0 | 0 | 25 | 0 | 0 | 18 | 13,1 | 0,133 | |
| 2033 | 0 | 0 | 0 | 25 | 0 | 0 | 18 | 12,6 | 0,128 | |
| 2034 | 0 | 0 | 0 | 25 | 0 | 0 | 18 | 12,5 | 0,126 | |
| 2035 | 0 | 0 | 0 | 25 | 0 | 0 | 18 | 12,3 | 0,124 | |
| 2036 | 0 | 0 | 0 | 25 | 0 | 0 | 18 | 12,1 | 0,122 | |
| 2037 | 0 | 0 | 0 | 25 | 0 | 0 | 18 | 11,9 | 0,120 | |
| 2038 | 0 | 0 | 0 | 25 | 0 | 0 | 18 | 11,8 | 0,119 | |
| 2039 | 0 | 0 | 0 | 25 | 0 | 0 | 18 | 11,2 | 0,113 | |
| 2040 | 0 | 0 | 0 | 25 | 0 | 0 | 18 | 11,0 | 0,111 | |
| 2041 | 0 | 0 | 0 | 25 | 0 | 0 | 18 | 10,4 | 0,106 | |
| 2042 | 0 | 0 | 0 | 25 | 0 | 0 | 18 | 10,0 | 0,101 | |
| 2043 | 0 | 0 | 0 | 25 | 0 | 0 | 18 | 9,5 | 0,096 | |
| 2044 | 0 | 0 | 0 | 25 | 0 | 0 | 18 | 9,1 | 0,091 | |
| 2045 | 0 | 0 | 0 | 25 | 0 | 0 | 18 | 8,7 | 0,087 | |
| 2046 | 0 | 0 | 0 | 25 | 0 | 0 | 18 | 8,3 | 0,084 | |
| 2047 | 0 | 0 | 0 | 25 | 0 | 0 | 18 | 7,9 | 0,080 | |
| 2048 | 0 | 0 | 0 | 25 | 0 | 0 | 18 | 7,6 | 0,076 | |
| 2049 | 0 | 0 | 0 | 25 | 0 | 0 | 18 | 7,3 | 0,074 | |
| 2050 | 0 | 0 | 0 | 25 | 0 | 0 | 18 | 7,0 | 0,071 | |
| 2051 | 0 | 0 | 0 | 25 | 0 | 1 | 17 | 6,7 | 0,068 | |
| 2052 | 0 | 0 | 0 | 25 | 0 | 0 | 17 | 6,5 | 0,066 | |
| 2053 | 0 | 0 | 0 | 25 | 0 | 0 | 17 | 6,3 | 0,063 | |
| 2054 | 0 | 0 | 0 | 25 | 0 | 0 | 17 | 6,1 | 0,061 | |
| 2055 | 0 | 0 | 0 | 25 | 0 | 1 | 16 | 5,9 | 0,059 | |
| 2056 | 0 | 0 | 0 | 25 | 0 | 0 | 16 | 5,7 | 0,057 | |
| 2057 | 0 | 0 | 0 | 25 | 0 | 0 | 16 | 5,5 | 0,055 | |
| 2058 | 0 | 0 | 0 | 25 | 0 | 0 | 16 | 5,3 | 0,054 | |
| 2059 | 0 | 0 | 0 | 25 | 0 | 1 | 15 | 5,2 | 0,052 | |
| 2060 | 0 | 0 | 0 | 25 | 0 | 0 | 15 | 5,0 | 0,051 | |
| 2061 | 0 | 0 | 0 | 25 | 0 | 0 | 15 | 4,9 | 0,049 | |
| 2062 | 0 | 0 | 0 | 25 | 0 | 0 | 15 | 4,7 | 0,048 | |
| 2063 | 0 | 0 | 0 | 25 | 0 | 1 | 14 | 4,6 | 0,046 | |
| 2064 | 0 | 0 | 0 | 25 | 0 | 0 | 14 | 4,5 | 0,045 | |
| 2065 | 0 | 0 | 0 | 25 | 0 | 0 | 14 | 4,4 | 0,044 | |
| 2066 | 0 | 0 | 0 | 25 | 0 | 0 | 14 | 4,3 | 0,043 | |

Таблица 4.1.4 – Месторождение Айракты. Характеристика основных показателей разработки по І объекту. Вариант 3

| таолица | 4.1.4 – IV | тесторожден | іне Аиракты. | ларактерис | гика осн | овных | показателеи | разраоотки по | 1 объекту. Вар | риант 5 | | | |
|-------------------|--|-------------|--|---|----------|--------------------|---------------------------|---------------|---|---------------|------|---------------------------------|-------|
| Годы и периоды | Добыча газа, млн. м ^з | , , | Накопленная добыча газа, млн. м ³ | Накоп- ленная добыча конденсата, | запасо | от емых в, % | извлекаемых запасов, % | коэффициент | Коэффициент извлечения конденсата, д.ед. | Давление, МПа | | Коэффициент сверхсжимаемости | |
| | | | | | начальн | • | | | | Рпл | Рзаб | Py | |
| 1 | 2 | 3 | 4 | 5 | 6 | 7 | 8 | 9 | 10 | 11 | 12 | 13 | 14 |
| 2021 | 26,0 | 0,262 | 140,6 | 1,8 | 1,0 | 1,1 | 5,6 | 0,028 | 0,010 | 17,9 | 5,9 | 4,8 | 0,877 |
| 2022 | 28,4 | 0,287 | 169,0 | 2,1 | 1,1 | 1,2 | 6,7 | 0,034 | 0,012 | 17,6 | 5,1 | 4,2 | 0,871 |
| 2023 | 38,1 | 0,385 | 207,1 | 2,4 | 1,5 | 1,6 | 8,2 | 0,042 | 0,014 | 17,5 | 4,7 | 3,8 | 0,871 |
| 2024 | 49,0 | 0,495 | 256,1 | 2,9 | 1,9 | 2,1 | 10,2 | 0,052 | 0,016 | 17,3 | 4,4 | 3,6 | 0,870 |
| 2025 | 59,8 | 0,604 | 316,0 | 3,5 | 2,4 | 2,6 | 12,6 | 0,064 | 0,020 | 17,1 | 3,8 | 3,1 | 0,870 |
| 2026 | 91,2 | 0,921 | 407,1 | 4,5 | 3,6 | 4,1 | 16,2 | 0,082 | 0,025 | 16,8 | 3,7 | 3,0 | 0,869 |
| 2027 | 100,8 | 1,018 | 507,9 | 5,5 | 4,0 | 4,8 | 20,2 | 0,102 | 0,031 | 16,4 | 3,7 | 3,0 | 0,869 |
| 2028 | 87,8 | 0,887 | 595,7 | 6,4 | 3,5 | 4,4 | 23,7 | 0,120 | 0,036 | 15,9 | 3,7 | 3,0 | 0,868 |
| 2029 | 79,3 | 0,801 | 675,0 | 7,2 | 3,2 | 4,1 | 26,8 | 0,136 | 0,040 | 15,5 | 3,7 | 3,0 | 0,867 |
| 2030 | 76,8 | 0,776 | 751,8 | 8,0 | 3,1 | 4,2 | 29,9 | 0,151 | 0,044 | 15,2 | 3,7 | 3,0 | 0,867 |
| 2031 | 80,9 | 0,817 | 832,8 | 8,8 | 3,2 | 4,6 | 33,1 | 0,168 | 0,049 | 14,8 | 3,6 | 2,9 | 0,867 |
| 2032 | 82,0 | 0,828 | 914,7 | 9,6 | 3,3 | 4,9 | 36,4 | 0,184 | 0,054 | 14,5 | 3,6 | 2,9 | 0,867 |
| 2033 | 78,9 | 0,796 | 993,6 | 10,4 | 3,1 | 4,9 | 39,5 | 0,200 | 0,058 | 14,1 | 3,4 | 2,8 | 0,867 |
| 2034 | 78,1 | 0,789 | 1071,7 | 11,2 | 3,1 | 5,1 | 42,6 | 0,216 | 0,062 | 13,8 | 3,3 | 2,6 | 0,867 |
| 2035 | 76,7 | 0,775 | 1148,4 | 12,0 | 3,0 | 5,3 | 45,6 | 0,231 | 0,067 | 13,4 | 3,1 | 2,5 | 0,867 |
| 2036 | 75,3 | 0,761 | 1223,7 | 12,7 | 3,0 | 5,5 | 48,6 | 0,246 | 0,071 | 13,1 | 3,0 | 2,4 | 0,868 |
| 2037 | 74,1 | 0,748 | 1297,8 | 13,5 | 2,9 | 5,7 | 51,6 | 0,261 | 0,075 | 12,8 | 2,9 | 2,3 | 0,868 |
| 2038 | 73,7 | 0,744 | 1371,5 | 14,2 | 2,9 | 6,0 | 54,5 | 0,276 | 0,079 | 12,4 | 2,7 | 2,2 | 0,869 |
| 2039 | 70,1 | 0,708 | 1441,5 | 14,9 | 2,8 | 6,1 | 57,3 | 0,290 | 0,083 | 12,1 | 2,6 | 2,1 | 0,870 |
| 2040 | 68,5 | 0,692 | 1510,0 | 15,6 | 2,7 | 6,4 | 60,0 | 0,304 | 0,087 | 11,8 | 2,5 | 2,0 | 0,871 |
| 2041 | 65,2 | 0,659 | 1575,2 | 16,3 | 2,6 | 6,5 | 62,6 | 0,317 | 0,091 | 11,5 | 2,4 | 2,0 | 0,871 |
| 2042 | 62,1 | 0,627 | 1637,3 | 16,9 | 2,5 | 6,6 | 65,1 | 0,329 | 0,094 | 11,2 | 2,3 | 1,9 | 0,872 |
| 2043 | 59,2 | 0,598 | 1696,6 | 17,5 | 2,4 | 6,7 | 67,4 | 0,341 | 0.098 | 11,0 | 2,3 | 1,9 | 0,873 |
| 2044 | 56,5 | 0,571 | 1753,1 | 18,1 | 2,2 | 6,9 | 69,7 | 0,353 | 0,101 | 10,7 | 2,2 | 1,8 | 0,874 |
| 2045 | 54,0 | 0,545 | 1807,1 | 18,6 | 2,1 | 7,1 | 71,8 | 0,364 | 0,104 | 10,5 | 2,2 | 1,8 | 0,876 |
| 2046 | 51,6 | 0,521 | 1858,7 | 19,1 | 2,1 | 7,3 | 73,9 | 0,374 | 0,107 | 10,3 | 2,2 | 1,8 | 0,877 |
| 2047 | 49,4 | 0,499 | 1908,1 | 19,6 | 2,0 | 7,5 | 75,8 | 0,384 | 0,110 | 10,0 | 2,1 | 1,7 | 0,878 |
| 2048 | 47,2 | 0,477 | 1955,4 | 20,1 | 1,9 | 7,8 | 77,7 | 0,393 | 0,112 | 9,8 | 2,1 | 1,7 | 0,879 |
| 2049 | 45,4 | 0,459 | 2000,8 | 20,6 | 1,8 | 8,1 | 79,5 | 0,402 | 0,115 | 9,6 | 2,0 | 1,6 | 0,880 |

Продолжение приложения 4.1.4

| 1 | 2 | 3 | 4 | 5 | 6 | 7 | 8 | 9 | 10 | 11 | 12 | 13 | 14 |
|------|------|-------|--------|------|-----|-------|-------|-------|-------|-----|-----|-----|-------|
| 2050 | 43,7 | 0,442 | 2044,5 | 21,0 | 1,7 | 8,5 | 81,3 | 0,411 | 0,117 | 9,4 | 1,9 | 1,6 | 0,881 |
| 2051 | 42,1 | 0,425 | 2086,7 | 21,4 | 1,7 | 8,9 | 82,9 | 0,420 | 0,120 | 9,2 | 1,8 | 1,5 | 0,882 |
| 2052 | 38,3 | 0,387 | 2125,0 | 21,8 | 1,5 | 8,9 | 84,5 | 0,427 | 0,122 | 9,1 | 1,8 | 1,4 | 0,883 |
| 2053 | 37,0 | 0,374 | 2162,0 | 22,2 | 1,5 | 9,5 | 85,9 | 0,435 | 0,124 | 8,9 | 1,7 | 1,4 | 0,884 |
| 2054 | 35,8 | 0,361 | 2197,8 | 22,6 | 1,4 | 10,1 | 87,4 | 0,442 | 0,126 | 8,7 | 1,6 | 1,3 | 0,885 |
| 2055 | 34,6 | 0,349 | 2232,3 | 22,9 | 1,4 | 10,9 | 88,7 | 0,449 | 0,128 | 8,6 | 1,6 | 1,3 | 0,886 |
| 2056 | 31,5 | 0,318 | 2263,8 | 23,2 | 1,3 | 11,1 | 90,0 | 0,455 | 0,130 | 8,4 | 1,5 | 1,3 | 0,888 |
| 2057 | 30,5 | 0,308 | 2294,3 | 23,5 | 1,2 | 12,1 | 91,2 | 0,462 | 0,131 | 8,3 | 1,5 | 1,2 | 0,889 |
| 2058 | 29,5 | 0,298 | 2323,8 | 23,8 | 1,2 | 13,3 | 92,4 | 0,467 | 0,133 | 8,2 | 1,5 | 1,2 | 0,890 |
| 2059 | 28,6 | 0,289 | 2352,4 | 24,1 | 1,1 | 14,9 | 93,5 | 0,473 | 0,135 | 8,1 | 1,5 | 1,2 | 0,890 |
| 2060 | 26,0 | 0,263 | 2378,5 | 24,4 | 1,0 | 15,9 | 94,5 | 0,478 | 0,136 | 7,9 | 1,4 | 1,2 | 0,891 |
| 2061 | 25,3 | 0,256 | 2403,8 | 24,6 | 1,0 | 18,4 | 95,5 | 0,484 | 0,138 | 7,8 | 1,4 | 1,2 | 0,892 |
| 2062 | 24,6 | 0,248 | 2428,4 | 24,9 | 1,0 | 21,9 | 96,5 | 0,489 | 0,139 | 7,7 | 1,4 | 1,2 | 0,893 |
| 2063 | 23,9 | 0,241 | 2452,3 | 25,1 | 1,0 | 27,3 | 97,5 | 0,493 | 0,140 | 7,6 | 1,4 | 1,2 | 0,894 |
| 2064 | 21,8 | 0,220 | 2474,1 | 25,3 | 0,9 | 34,2 | 98,3 | 0,498 | 0,142 | 7,5 | 1,3 | 1,1 | 0,895 |
| 2065 | 21,2 | 0,215 | 2495,3 | 25,6 | 0,8 | 50,7 | 99,2 | 0,502 | 0,143 | 7,4 | 1,3 | 1,1 | 0,896 |
| 2066 | 20,7 | 0,209 | 2516,0 | 25,8 | 0,8 | 100,1 | 100,0 | 0,506 | 0,144 | 7,3 | 1,3 | 1,1 | 0,897 |

Таблица 4.1.5 – Месторождение Айракты. Характеристика основного фонда скважин по II объекту. Вариант 3

| Вариант | 3 | | | | I - | 1 | | Π | |
|---------|-------|---------|-------------------|-----------------|---------------------|----------|--------------------|-------------------------|---------------------------------------|
| F | Ввод | скважи | н из бурения | Фонд скважин | Эксплуа- тацион- | | Фонд добывающих | | довой дебит кважину |
| Годы и | | | | сначала | ное | скважин, | | | |
| периоды | всего | И3 | из | | бурение. | | COHOU FORO | газа, | конденсата, |
| | 20010 | бурения | из консервации | ед. | M | 50. | ед. | тыс.м ³ /сут | т/сут |
| 2022 | 1 | 0 | 1 | 1 | 0 | 0 | 1 | 4,9 | 0.049 |
| 2023 | 0 | 0 | 0 | 1 | 0 | 0 | 1 | 4,9 | 0,049 |
| 2024 | 0 | 0 | 0 | 1 | 0 | 0 | 1 | 4,7 | 0,048 |
| 2025 | 0 | 0 | 0 | 1 | 0 | 0 | 1 | 9,3 | 0,094 |
| 2026 | 0 | 0 | 0 | 1 | 0 | 0 | 1 | 9,3 | 0,094 |
| 2027 | 0 | 0 | 0 | 1 | 0 | 0 | 1 | 9,2 | 0,093 |
| 2028 | 0 | 0 | 0 | 1 | 0 | 0 | 1 | 9,1 | 0,092 |
| 2029 | 0 | 0 | 0 | 1 | 0 | 0 | 1 | 9,0 | 0,091 |
| 2030 | 0 | 0 | 0 | 1 | 0 | 0 | 1 | 8,9 | 0,090 |
| 2031 | 0 | 0 | 0 | 1 | 0 | 0 | 1 | 8,7 | 0,088 |
| 2032 | 0 | 0 | 0 | 1 | 0 | 0 | 1 | 8,6 | 0,087 |
| 2032 | 0 | 0 | 0 | 1 | 0 | 0 | 1 | 8,5 | 0,087 |
| 2034 | 0 | 0 | 0 | 1 | 0 | 0 | 1 | 8,4 | 0,085 |
| 2035 | 0 | 0 | 0 | 1 | 0 | 0 | 1 | 8,3 | 0,083 |
| 2036 | 0 | 0 | 0 | 1 | 0 | 0 | 1 | 8,2 | 0,083 |
| 2037 | 0 | 0 | 0 | 1 | 0 | 0 | 1 | 8,1 | 0,083 |
| 2037 | 0 | 0 | 0 | 1 | 0 | 0 | 1 | 8,0 | 0,082 |
| 2039 | 0 | 0 | 0 | 1 | 0 | 0 | 1 | 7,9 | 0,030 |
| 2039 | 0 | 0 | 0 | 1 | 0 | 0 | 1 | 7,9 | 0,079 |
| 2040 | 0 | 0 | 0 | 1 | 0 | 0 | 1 | 7,7 | 0,078 |
| 2041 | 0 | 0 | 0 | 1 | 0 | 0 | 1 | 7,7 | 0,077 |
| 2042 | 0 | 0 | 0 | 1 | 0 | 0 | 1 | 7,6 | 0,076 |
| | 0 | 0 | 0 | 1 | 0 | 0 | 1 | 7,3 | |
| 2044 | 0 | 0 | 0 | 1 | 0 | 0 | 1 | 7,4 | 0,074 |
| 2045 | 0 | 0 | | 1 | 0 | 0 | 1 | 7,3 | 0,073 |
| 2046 | 0 | 0 | 0 | 1 | 0 | 0 | 1 | 7,2 | 0,073 |
| 2047 | 0 | 0 | 0 | 1 | 0 | 0 | 1 | | 0,072 |
| 2048 | 0 | 0 | 0 | 1 | 0 | 0 | 1 | 7,0 | 0,071 |
| 2049 | 0 | 0 | 0 | | 0 | 0 | 1 | 6,9 | 0,070 |
| 2050 | 0 | 0 | 0 | 1 | 0 | 0 | 1 | 6,8 6,7 | 0,069 |
| 2051 | 0 | 0 | 0 | 1 | 0 | 0 | 1 | - | 0,068 0.067 |
| 2052 | 0 | 0 | 0 | 1 | 0 | 0 | 1 | 6,7 6,6 | - , |
| 2054 | | | 0 | 1 | | 0 | 1 | - | 0,066 0,066 |
| 2054 | 0 | 0 | 0 | 1 | 0 | 0 | 1 | 6,5 | |
| 2056 | | 0 | 0 | 1 | 0 | 0 | 1 | 6,4 6,3 | 0,065 |
| 2057 | 0 | 0 | 0 | 1 | 0 | 0 | 1 | | 0,064 |
| 2057 | 0 | 0 | 0 | 1 | 0 | 0 | 1 | 6,3 | 0,063 0,062 |
| | 0 | | | 1 | | | 1 | 6,2 | · · · · · · · · · · · · · · · · · · · |
| 2059 | 0 | 0 | 0 | 1 | 0 | 0 | 1 | 6,1 | 0,062 |
| 2060 | 0 | 0 | | 1 | 0 | 0 | 1 | 6,0 | 0,061 |
| 2061 | 0 | 0 | 0 | 1 | 0 | 0 | 1 | 6,0 5.0 | 0,060 |
| 2062 | 0 | 0 | 0 | 1 | 0 | 0 | 1 | 5,9 | 0,059 |
| 2063 | 0 | 0 | 0 | 1 | 0 | 0 | 1 | 5,8 | 0,059 |
| 2064 | 0 | 0 | 0 | 1 | 0 | 0 | 1 | 5,7 | 0,058 |
| 2065 | 0 | 0 | 0 | 1 | 0 | 0 | 1 | 5,7 | 0,057 |
| 2066 | 0 | 0 | 0 | 1 | 0 | 0 | 1 | 5,6 | 0,057 |

Таблица 4.1.6 – Месторождение Айракты. Характеристика основных показателей разработки по ІІ объекту. Вариант 3

| Таолица | 7.1.0 - N | тесторождег | ис миракты. | ларактерис | | | показателен | разраоотки по | н ооъекту. ва | риант | | | |
|-------------------|--|-------------|--|---|---------|-------------|---------------------------------------|---------------|---------------|-------|-----------|-----|---------------------------------|
| Годы и периоды | Добыча газа, млн. м ³ | | Накопленная добыча газа, млн. м ³ | Накоп- ленная добыча конденсата, | | от 1емых | Отбор от извлекаемых запасов, % | коэффициент | конденсата, | Да | вление, М | Па | Коэффициент сверхсжимаемости |
| | | | | тыс. т | начальн | текущ | | | д.ед. | Рпл | Рзаб | Py | |
| 1 | 2 | 3 | 4 | 5 | 6 | 7 | 8 | 9 | 10 | 11 | 12 | 13 | 14 |
| 2022 | 0,9 | 0,009 | 0,9 | 0,009 | 0,8 | 0,8 | 1 | 0,002 | 0,001 | 11,4 | 5,3 | 4,2 | 0,836 |
| 2023 | 1,7 | 0,017 | 2,6 | 0,026 | 1,5 | 1,5 | 2 | 0,006 | 0,002 | 11,3 | 4,7 | 3,8 | 0,835 |
| 2024 | 1,6 | 0,017 | 4,2 | 0,043 | 1,5 | 1,5 | 4 | 0,010 | 0,003 | 11,3 | 4,6 | 3,7 | 0,835 |
| 2025 | 3,2 | 0,033 | 7,5 | 0,075 | 2,9 | 3,0 | 7 | 0,018 | 0,005 | 11,2 | 3,8 | 3,1 | 0,835 |
| 2026 | 3,2 | 0,032 | 10,7 | 0,108 | 2,9 | 3,1 | 10 | 0,025 | 0,007 | 11,2 | 3,8 | 3,0 | 0,835 |
| 2027 | 3,2 | 0,032 | 13,9 | 0,140 | 2,9 | 3,2 | 12 | 0,033 | 0,009 | 11,1 | 3,6 | 2,9 | 0,836 |
| 2028 | 3,2 | 0,032 | 17,0 | 0,172 | 2,8 | 3,3 | 15 | 0,040 | 0,011 | 11,0 | 3,6 | 2,9 | 0,836 |
| 2029 | 3,1 | 0,031 | 20,1 | 0,203 | 2,8 | 3,3 | 18 | 0,048 | 0,014 | 10,9 | 3,6 | 2,9 | 0,837 |
| 2030 | 3,1 | 0,031 | 23,2 | 0,235 | 2,8 | 3,4 | 21 | 0,055 | 0,016 | 10,9 | 3,6 | 2,9 | 0,837 |
| 2031 | 3,0 | 0,031 | 26,3 | 0,265 | 2,7 | 3,5 | 24 | 0,062 | 0,018 | 10,8 | 3,6 | 2,9 | 0,838 |
| 2032 | 3,0 | 0,030 | 29,2 | 0,295 | 2,7 | 3,5 | 26 | 0,069 | 0,020 | 10,7 | 3,6 | 2,9 | 0,838 |
| 2033 | 3,0 | 0,030 | 32,2 | 0,325 | 2,7 | 3,6 | 29 | 0,076 | 0,022 | 10,6 | 3,6 | 2,9 | 0,838 |
| 2034 | 2,9 | 0,029 | 35,1 | 0,355 | 2,6 | 3,7 | 32 | 0,083 | 0,024 | 10,6 | 3,6 | 2,9 | 0,839 |
| 2035 | 2,9 | 0,029 | 38,0 | 0,384 | 2,6 | 3,8 | 34 | 0,090 | 0,026 | 10,5 | 3,6 | 2,9 | 0,839 |
| 2036 | 2,8 | 0,029 | 40,8 | 0,412 | 2,6 | 3,9 | 37 | 0,097 | 0,027 | 10,4 | 3,6 | 2,9 | 0,840 |
| 2037 | 2,8 | 0,028 | 43,6 | 0,440 | 2,5 | 4,0 | 39 | 0,103 | 0,029 | 10,4 | 3,6 | 2,9 | 0,840 |
| 2038 | 2,8 | 0,028 | 46,4 | 0,468 | 2,5 | 4,1 | 42 | 0,110 | 0,031 | 10,3 | 3,6 | 2,9 | 0,841 |
| 2039 | 2,7 | 0,028 | 49,1 | 0,496 | 2,5 | 4,2 | 44 | 0,116 | 0,033 | 10,2 | 3,6 | 2,9 | 0,841 |
| 2040 | 2,7 | 0,027 | 51,8 | 0,523 | 2,4 | 4,3 | 47 | 0,123 | 0,035 | 10,2 | 3,6 | 2,9 | 0,842 |
| 2041 | 2,7 | 0,027 | 54,4 | 0,550 | 2,4 | 4,5 | 49 | 0,129 | 0,037 | 10,1 | 3,6 | 2,9 | 0,842 |
| 2042 | 2,6 | 0,026 | 57,1 | 0,576 | 2,4 | 4,6 | 51 | 0,135 | 0,038 | 10,0 | 3,6 | 2,9 | 0,843 |
| 2043 | 2,6 | 0,026 | 59,7 | 0,602 | 2,3 | 4,8 | 54 | 0,141 | 0,040 | 10,0 | 3,6 | 2,9 | 0,843 |
| 2044 | 2,6 | 0,026 | 62,2 | 0,628 | 2,3 | 5,0 | 56 | 0,147 | 0,042 | 9,9 | 3,6 | 2,9 | 0,844 |
| 2045 | 2,5 | 0,025 | 64,7 | 0,654 | 2,3 | 5,2 | 58 | 0,153 | 0,044 | 9,8 | 3,6 | 2,9 | 0,844 |
| 2046 | 2,5 | 0,025 | 67,2 | 0,679 | 2,2 | 5,4 | 61 | 0,159 | 0,045 | 9,8 | 3,6 | 2,9 | 0,844 |
| 2047 | 2,5 | 0,025 | 69,7 | 0,704 | 2,2 | 5,6 | 63 | 0,165 | 0,047 | 9,7 | 3,6 | 2,9 | 0,845 |
| 2048 | 2,4 | 0,025 | 72,1 | 0,728 | 2,2 | 5,9 | 65 | 0,171 | 0,049 | 9,7 | 3,6 | 2,9 | 0,845 |
| 2049 | 2,4 | 0,024 | 74,5 | 0,752 | 2,2 | 6,2 | 67 | 0,177 | 0,050 | 9,6 | 3,6 | 2,9 | 0,846 |
| 2050 | 2,4 | 0,024 | 76,9 | 0,776 | 2,1 | 6,5 | 69 | 0,182 | 0,052 | 9,6 | 3,6 | 2,9 | 0,846 |

Продолжение приложения 4.1.6

| 1 | 2 | 3 | 4 | 5 | 6 | 7 | 8 | 9 | 10 | 11 | 12 | 13 | 14 |
|------|-----|-------|-------|-------|-----|-------|-----|-------|-------|-----|-----|-----|-------|
| 2051 | 2,3 | 0,024 | 79,2 | 0,800 | 2,1 | 6,8 | 71 | 0,188 | 0,053 | 9,5 | 3,6 | 2,9 | 0,847 |
| 2052 | 2,3 | 0,023 | 81,5 | 0,823 | 2,1 | 7,3 | 73 | 0,193 | 0,055 | 9,4 | 3,6 | 2,9 | 0,847 |
| 2053 | 2,3 | 0,023 | 83,8 | 0,846 | 2,1 | 7,7 | 75 | 0,199 | 0,056 | 9,4 | 3,6 | 2,9 | 0,848 |
| 2054 | 2,3 | 0,023 | 86,0 | 0,869 | 2,0 | 8,3 | 78 | 0,204 | 0,058 | 9,3 | 3,6 | 2,9 | 0,848 |
| 2055 | 2,2 | 0,022 | 88,3 | 0,891 | 2,0 | 8,9 | 80 | 0,209 | 0,059 | 9,3 | 3,6 | 2,9 | 0,849 |
| 2056 | 2,2 | 0,022 | 90,5 | 0,914 | 2,0 | 9,7 | 81 | 0,214 | 0,061 | 9,2 | 3,6 | 2,9 | 0,849 |
| 2057 | 2,2 | 0,022 | 92,6 | 0,936 | 2,0 | 10,6 | 83 | 0,219 | 0,062 | 9,2 | 3,6 | 2,9 | 0,849 |
| 2058 | 2,1 | 0,022 | 94,8 | 0,957 | 1,9 | 11,7 | 85 | 0,225 | 0,064 | 9,1 | 3,6 | 2,9 | 0,850 |
| 2059 | 2,1 | 0,021 | 96,9 | 0,979 | 1,9 | 13,0 | 87 | 0,230 | 0,065 | 9,1 | 3,6 | 2,9 | 0,850 |
| 2060 | 2,1 | 0,021 | 99,0 | 1,000 | 1,9 | 14,8 | 89 | 0,235 | 0,067 | 9,0 | 3,6 | 2,9 | 0,851 |
| 2061 | 2,1 | 0,021 | 101,0 | 1,021 | 1,9 | 17,2 | 91 | 0,239 | 0,068 | 9,0 | 3,6 | 2,9 | 0,851 |
| 2062 | 2,0 | 0,021 | 103,1 | 1,041 | 1,8 | 20,5 | 93 | 0,244 | 0,069 | 8,9 | 3,6 | 2,9 | 0,852 |
| 2063 | 2,0 | 0,020 | 105,1 | 1,061 | 1,8 | 25,5 | 95 | 0,249 | 0,071 | 8,9 | 3,6 | 2,9 | 0,852 |
| 2064 | 2,0 | 0,020 | 107,1 | 1,082 | 1,8 | 33,7 | 96 | 0,254 | 0,072 | 8,8 | 3,6 | 2,9 | 0,853 |
| 2065 | 2,0 | 0,020 | 109,1 | 1,101 | 1,8 | 50,3 | 98 | 0,258 | 0,073 | 8,8 | 3,6 | 2,9 | 0,853 |
| 2066 | 1,9 | 0,020 | 111,0 | 1,121 | 1,8 | 100,1 | 100 | 0,263 | 0,075 | 8,7 | 3,6 | 2,9 | 0,853 |

Таблица 4.1.7 – Технологические показатели разработки рекомендуемого варианта 3 по объектам

| П | Объ | екты |
|--|--------|-------|
| Наименование | I | II |
| 1 | 2 | 3 |
| Плотность сетки доб. скв. | 85,2 | 441,6 |
| Проектный уровень добычи газа, млн. м ³ | 100,8 | 3,2 |
| Темп отбора при проектном уровне (от утв. нач. извлекаемых запасов), % | 4,0 | 2,9 |
| Год выхода на проектный уровень | 2027 | 2025 |
| Продолжительность проектного уровня, годы | 1 | 4 |
| Фонд скважин за весь срок разработки, всего, шт. | 18 | 1 |
| в том числе: добывающих | 18 | 1 |
| нагнетательных | - | - |
| специальных | - | - |
| Фонд скважин для бурения, всего, шт. | 9 | - |
| в том числе: добывающих | 9 | - |
| нагнетательных | - | - |
| специальных | - | - |
| Фонд резервных скважин, шт. | 2 | - |
| Фонд скважин-дублеров, шт. | - | - |
| Накопленная добыча за проектный период, млн. т: | | |
| газа | 2401,2 | 111,0 |
| конденсата | 24,3 | 1,121 |
| Накопленная добыча с начала разработки, млн. т: | | |
| газа | 2516,0 | 111,0 |
| конденсата | 25,8 | 1,121 |
| Конечный коэффициент извлечения газа, доли ед. | 0,506 | 0,263 |
| Конечный коэффициент извлечения конденсата, доли ед. | 0,144 | 0,075 |

4.2 Экономические показатели вариантов разработки

Оценка экономической эффективности вариантов разработки месторождения Айракты предполагает некоторые экономические и финансовые допущения, приведенные ниже.

Экономические и финансовые допущения, использованные в экономической модели, позволяют на этапе проектирования рассчитать уровень необходимых для оценки финансово-экономических показателей, сопоставить полученные результаты по вариантам, выбрать наиболее оптимальный вариант и определить рентабельный период разработки месторождения.

Срок проекта по вариантам различен, однако первым годом реализации проекта принят 2021 год по всем вариантам. За интервал планирования принят промежуток времени, соответствующий одному календарному году.

Расчеты проводились на весь проектный срок. По результатам расчетов определен рентабельный период, который представляет собой период безубыточной добычи газа до момента, начиная с которого операционный доход принимает положительные значения.

Дисконтирование проводилось исходя из теории временной стоимости денег, то есть для получения суммы потока платежей, приведенной к настоящему моменту времени. Для определения дисконтированных потоков приняты следующие ставки:

- 11,5%;
- 12,0%;
- 12.5%.

Также при расчете денежных потоков был учтен накопленный убыток на конец 2020 гг. в размере 6 450 250 тыс тенге. При расчете данной суммы учитывались вложения в строительство и обустройство месторождения, а также полученные доходы с продажи УВС.

Масштабы цен, приведенные в расчетах, позволяют сопоставить полученные результаты экономической оценки. Все стоимостные показатели, применяемые в расчетах, приведены в текущих ценах в национальной валюте – тенге.

Реализация продукции. Согласно условиям контракта №435394 / 2020 / 1. на осуществление разработки месторождения Айракты, 100% газа и газоконденсата реализуется на внутренний рынок. Согласно сложившейся схеме реализации товарного газа внутри группы АО «КазТрансГаз» у ТОО «Амангельды Газ» отсутствуют расходы по транспортировке.

Цена реализации продукции определена в соответствии с ценовой политикой ТОО «Амангельды Газ». В данном проекте проектируемая цена на газ составляет 39 000 тенге/тыс.м3 без учета НДС, цена на конденсат составляет 116 000 тенге/тонну с учетом НДС.

Инфляция для расчета стоимости капитальных вложений, и эксплуатационных затрат принята в размере 4,0 % в год, в соответствии со средними темпами инфляции в Республике Казахстан за последние годы.

Источники доходов. В расчетах принято, что обеспечение необходимых объемов финансирования капитальных вложений в обустройство и разработку месторождения будет осуществляться за счет собственных средств, получаемых от реализации проекта, реинвестирования чистой прибыли и использования амортизационных отчислений, в случае недостаточности средств, предприятие может использовать кредит. Экономика предприятия будет основываться на обычной модели по налогообложению. В таблице 4.2.1 приведен расчет дохода от продажи реализации газа.

Таблица 4.2.1 – Расчет дохода от реализации продукции рекомендуемый 3 вариант, тыс.тенге

| | Добы | Добыча | Объемы | <u>зации проду</u> реализации продукции | - | сомендуемы реализации | | реализации | Итого |
|--------------------|------------------------|--------------|---------------------|---|-------------------------------|--------------------------|------------------------|------------------|------------------------|
| Г | ча | конденса | Товарн | Газоконден | Товарн | Газоконден | Товарны | Газоконден | |
| Годы | газа | та | ый газ | сат | ый газ | сат | й газ | сат | |
| | млн. м ³ | тыс. тонн | млн. м ³ | млн. м ³ | тенге / тыс.м ³ | тенге / тыс.т. | тыс. тенге | тыс. тенге | тыс. тенге |
| 1 | 2 | 3 | 4 | 5 | 6 | 7 | 8 | 9 | 10 |
| 2021 | 26,0 | 0,3 | 25,9 | 0,3 | 39 000 | 116 000 | 1 008 625 | 30 422 | 1 039 047 |
| 2022 | 29,3 | 0,3 | 29,2 | 0,3 | 39 000 | 116 000 | 1 138 303 | 34 333 | 1 172 636 |
| 2023 | 39,8 | 0,4 | 39,6 | 0,4 | 39 000 | 116 000 | 1 544 638 | 46 589 | 1 591 227 |
| 2024 | 50,6 | 0,5 | 50,4 | 0,5 | 39 000 | 116 000 | 1 966 395 | 59 310 | 2 025 705 |
| 2025 | 63,1 | 0,6 | 62,8 | 0,6 | 39 000 | | 2 450 693 | 73 917 | 2 524 610 |
| 2026 | 94,4 | 1,0 | 94,0 | 1,0 | 39 000 | | 3 666 868 | 110 599 | 3 777 467 |
| 2027 | 104,0 | 1,0 | 103,5 | 1,0 | 39 585 | | 4 098 483 | 123 617 | 4 222 100 |
| 2028 | 91,0 | 0,9 | 90,6 | 0,9 | 40 179 | | 3 641 575 | 109 836 | 3 751 411 |
| 2029 | 82,4 | 0,8 | 82,1 | 0,8 | 40 781 | | 3 347 465 | 100 965 | 3 448 430 |
| 2030 | 79,9 | 0,8 | 79,5 | 0,8 | 41 393 | | 3 292 518 | 99 308 | 3 391 826 |
| 2031 | 84,0 | 0,8 | 83,6 | 0,8 | 42 014 | | 3 513 633 | 105 977 | 3 619 610 |
| 2032 | 85,0 | 0,9 | 84,6 | 0,9 | 42 644 | | 3 609 237 | 108 861 | 3 718 097 |
| 2033 | 81,8 | 0,8 | 81,5 | 0,8 | 43 284 | | 3 526 558 | 106 367 | 3 632 925 |
| 2034 | 81,0 | 0,8 | 80,7 | 0,8 | 43 933 | | 3 545 924 | 106 951 | 3 652 875 |
| 2035 | 79,6 | 0,8 | 79,2 | 0,8 | 44 592 | | 3 533 826 | 106 586 | 3 640 413 |
| 2036 | 78,2 | 0,8 | 77,9 | 0,8 | 45 261 | | 3 524 045 | 106 291 | 3 630 336 |
| 2037 | 76,9 | 0,8 | 76,5 | 0,8 | 45 940 | | 3 516 567 | 106 066 | 3 622 633 |
| 2038 | 76,4 | 0,8 | 76,1 | 0,8 | 46 629 | | 3 549 430 | 107 057 | 3 656 486 |
| 2039 | 72,8 | 0,7 | 72,5 | 0,7 | 47 329 | | 3 431 033 | 103 486 | 3 534 519 |
| 2040 | 71,2 | 0,7 | 70,9 | 0,7 | 48 038 | | 3 406 115 | 102 734 | 3 508 849 |
| 2041 | 67,9 | 0,7 | 67,6 | 0,7 | 48 759 | | 3 295 364 | 99 394 | 3 394 758 |
| 2042 | 64,7 | 0,7 | 64,5 | 0,7 | 49 490 | | 3 191 367 | 96 257 | 3 287 624 |
| 2043 | 61,8 | 0,6 | 61,6 | 0,6 | 50 233 | | 3 093 384 | 93 302 | 3 186 686 |
| 2044 | 59,1 | 0,6 | 58,9 | 0,6 | 50 986 | | 3 000 904 | 90 512 | 3 091 416 |
| 2045 | 56,5 | 0,6 | 56,3 | 0,6 | 51 751 | | 2 913 453 | 87 875 | 3 001 328 |
| 2046 | 54,1 | 0,5 | 53,9 | 0,5 | 52 527 | | 2 830 600 | 85 376 | 2 915 976 |
| 2047 | 51,8 | 0,5 | 51,6 | 0,5 | 53 315 | | 2 751 946 | 83 003 | 2 834 949 |
| 2048 | 49,7 | 0,5 | 49,5 | 0,5 | 54 115 | | 2 677 124 | 80 747 | 2 757 870 |
| 2049 2050 | 47,8 | 0,5 | 47,7 | 0,5 0,5 | 54 927 | | 2 617 458 2 560 415 | 78 947 | 2 696 405 |
| | 46,1 | 0,5 | 45,9 | | 55 751 | | | | 2 637 641 |
| 2051 2052 | 44,5 | 0,4 | 44,3 | 0,4 | 56 587 57 436 | | 2 505 878 2 324 727 | 75 581 70 118 | 2 581 460 2 394 845 |
| 2053 | 39,3 | 0,4 | 39,1 | 0,4 | 58 297 | | 2 281 748 | 68 821 | 2 350 570 |
| 2054 | 38,0 | 0,4 | 37,9 | 0,4 | 59 172 | | 2 240 243 | 67 569 | 2 307 812 |
| 2054 | 36,8 | 0,4 | 36,6 | 0,4 | 60 059 | 173 998 | 2 240 243 | 66 369 | 2 266 796 |
| 2056 | 33,6 | 0,4 | 33,5 | 0,4 | 60 960 | | 2 042 851 | 61 616 | 2 104 466 |
| 2057 | 32,6 | 0,3 | 32,5 | 0,3 | 61 875 | | 2 042 831 | 60 677 | 2 072 414 |
| 2058 | 31,7 | 0,3 | 31,6 | 0,3 | 62 803 | 186 798 | 1 981 535 | 59 766 | 2 041 301 |
| 2059 | 30,8 | 0,3 | 30,6 | 0,3 | 63 745 | 189 600 | 1 952 451 | 58 889 | 2 041 301 |
| 2060 | 28,1 | 0,3 | 28,0 | 0,3 | 64 701 | 192 444 | 1 812 556 | 54 670 | 1 867 225 |
| 2061 | 27,4 | 0,3 | 27,3 | 0,3 | 65 671 | 195 330 | 1 790 068 | 53 991 | 1 844 059 |
| 2062 | 26,6 | 0,3 | 26,5 | 0,3 | 66 656 | 198 260 | 1 768 110 | 53 329 | 1 821 440 |
| 2063 | 25,9 | 0,3 | 25,8 | 0,3 | 67 656 | 201 234 | 1 746 865 | 52 688 | 1 799 554 |
| 2064 | 23,8 | 0,2 | 23,7 | 0,2 | 68 671 | 204 253 | 1 627 687 | 49 094 | 1 676 780 |
| 2065 | 23,2 | 0,2 | 23,1 | 0,2 | 69 701 | 207 316 | 1 611 431 | 48 603 | 1 660 035 |
| 2066 | 22,6 | 0,2 | 22,6 | 0,2 | 70 747 | 210 426 | 1 595 464 | 48 122 | 1 643 585 |
| Итого2021- 2066 | 2 512,4 | 25,4 | 2 502,3 | 25,4 | | | 121 737 726 | 3 671 813 | 125 409 539 |

| Продолжен | ние таблиц | ы 4.2.1 | | | | | | | |
|--------------------|------------|---------|---------|------|--------|---------|----------------|-----------|----------------|
| 1 | 2 | 3 | 4 | 5 | 6 | 7 | 8 | 9 | 10 |
| 2067 | 22,2 | 0,2 | 22,1 | 0,2 | 71 808 | 213 583 | 1 587 261 | 47 874 | 1 635 136 |
| 2068 | 20,2 | 0,2 | 20,2 | 0,2 | 72 885 | 216 786 | 1 469 698 | 44 329 | 1 514 027 |
| 2069 | 19,9 | 0,2 | 19,8 | 0,2 | 73 978 | 220 038 | 1 464 776 | 44 180 | 1 508 956 |
| 2070 | 19,5 | 0,2 | 19,4 | 0,2 | 75 088 | 223 339 | 1 459 703 | 44 027 | 1 503 730 |
| 2071 | 19,2 | 0,2 | 19,1 | 0,2 | 76 214 | 226 689 | 1 454 653 | 43 875 | 1 498 527 |
| 2072 | 17,5 | 0,2 | 17,4 | 0,2 | 77 358 | 230 089 | 1 348 840 | 40 683 | 1 389 524 |
| 2073 | 17,2 | 0,2 | 17,1 | 0,2 | 78 518 | 233 540 | 1 346 142 | 40 602 | 1 386 744 |
| 2074 | 16,9 | 0,2 | 16,9 | 0,2 | 79 696 | 237 043 | 1 343 307 | 40 516 | 1 383 824 |
| 2075 | 16,6 | 0,2 | 16,6 | 0,2 | 80 891 | 240 599 | 1 340 482 | 40 431 | 1 380 914 |
| 2076 | 16,4 | 0,2 | 16,3 | 0,2 | 82 104 | 244 208 | 1 337 657 | 40 346 | 1 378 003 |
| 2077 | 16,1 | 0,2 | 16,0 | 0,2 | 83 336 | 247 871 | 1 334 833 | 40 261 | 1 375 094 |
| 2078 | 15,8 | 0,2 | 15,7 | 0,2 | 84 586 | 251 589 | 1 332 009 | 40 176 | 1 372 185 |
| 2079 | 15,5 | 0,2 | 15,5 | 0,2 | 85 855 | 255 363 | 1 329 185 | 40 090 | 1 369 276 |
| 2080 | 15,3 | 0,2 | 15,2 | 0,2 | 87 143 | 259 194 | 1 326 362 | 40 005 | 1 366 368 |
| Итого 2021-2080 | 2 760,7 | 27,9 | 2 749,7 | 27,9 | | | 141 212 637 | 4 259 209 | 145 471 846 |

В расчетах экономических показателей разработки месторождения капитальные затраты проекта оценивались укрупнено по следующим направлениям: затраты в строительство скважин; затраты на надземное газопромысловое строительство.

Капитальные вложения в строительство скважин включают в себя: затраты на бурение новых добывающих вертикальных и горизонтальных скважин.

Надземное строительство состоит из капитальных затрат на: обустройство проектных скважин - затраты на сопутствующее скважинное оборудование, проведение ГРП.

Потребность в капитальных вложениях определялась, исходя из объемных показателей, связанных с бурением скважин, реконструкцией объектов обустройства.

В данном проекте за 46 лет рентабельного периода предусматривается бурение 8 вертикальных и 1 горизонтальной добывающей скважины. В таблице 4.2.2 приведен расчет капитальных вложений.

Таблица 4.2.2 – Капитальные вложения рекомендуемый 3 вариант, тыс.тенге

| 140 | лица 4.2.2 – Капитальные вложения рекомен | ідуємый 3 і | Барна | | | | | | | | | | | | | | | | | | | | | | |
|-----|---|-------------|-------|-----------|------------|---------|---------|--------------|--------------|--------------|--------------|--------------|----------|---------|---------|---------|---------|----------|---------|------|------|------|------|----------|----------|
| | | | Кол- | Стоимость | | | | | | | Pя | спредел | тение ка | апиталь | ных вп | ожений | по голя | ім строі | ительст | B9 | | | | | ļ |
| № | Наименование работ, объектов и затрат | Ед. изм. | BO | ед-цы | всего | | • | | | T | | | | | | | | | | | ī | | | | · |
| | | | | тыс.тенге | тыс.тенге | 2021 | 2022 | 2023 | 2024 | 2025 | 2026 | 2027 | 2028 | 2029 | 2030 | 2031 | 2032 | 2033 | 2034 | 2035 | 2036 | 2037 | 2038 | 2039 | 2040 |
| 1 | 2 | 3 | 4 | 5 | 6 | 7 | 8 | 9 | 10 | 11 | 12 | 13 | 14 | 15 | 16 | 17 | 18 | 19 | 20 | 21 | 22 | 23 | 24 | 25 | 26 |
| T | Строительство скважин (подземное | | | | | | | | | | | | | | | | | | | | | | | 1 | |
| | строительство) | | | | | | | | | | | | | | | | | | | | | | | ↓ | <u> </u> |
| 1 | Ввод добывающих вертикальных газовых скважин | скв. | 8,0 | 681 750 | 5 454 000 | 0 | 0 | 681 750 | 681 750 | 1 363 500 | 2 045 250 | 681 750 | 0 | 0 | 0 | 0 | 0 | 0 | 0 | 0 | 0 | 0 | 0 | 0 | 0 |
| 2 | Ввод добывающих горизонтальных газовых скважин | скв. | 1,0 | 1 363 500 | 1 363 500 | 0 | 0 | 0 | 0 | 1 363 500 | 0 | 0 | | | | | | | | | | | | | |
| 3 | Расконсервация скважин | скв. | 2,0 | 7 299 | 14 597 | 0 | 7 299 | 7 299 | 0 | 0 | 0 | 0 | 0 | 0 | 0 | 0 | 0 | 0 | 0 | 0 | 0 | 0 | 0 | 0 | 0 |
| 3 | Выбытие скважин | скв. | 6,0 | 10 750 | 64 500 | 0 | 0 | 0 | 0 | 0 | 0 | 0 | 0 | 0 | 0 | 0 | 0 | 0 | 0 | 0 | 0 | 0 | 0 | 0 | 0 |
| | Итого строительство скважин | | | | 6 896 597 | 0 | 7 299 | 689 049 | 681 750 | 2 727 000 | 2 045 250 | 681 750 | 0 | 0 | 0 | 0 | 0 | 0 | 0 | 0 | 0 | 0 | 0 | 0 | 0 |
| | Итого строительство скважин с учетом инфляции | | | | 8 717 106 | 0 | 7 894 | 775 086 | 797 551 | 3 317 812 | 2 587 894 | 897 136 | 0 | 0 | 0 | 0 | 0 | 0 | 0 | 0 | 0 | 0 | 0 | 0 | 0 |
| II | Надземное строительство | | | | | | | | | | | | | | | | | | | | | | | | |
| | Обустройство промысла | | | | | | | | | | | | | | | | | | | | | | | | |
| 1 | Обустройство м/р | тыс.тенге | 9 | 113 090 | 1 017 810 | 0 | 0 | 113 090 | 113 090 | 339 270 | 339 270 | 113 090 | 0 | 0 | 0 | 0 | | | | | | | | | |
| 2 | Проведение ГГРП (гидро разрыв пласта) | тыс.тенге | 26 | 55 900 | 1 449 708 | 0 | 167 274 | 167 274 | 167 274 | 278 790 | 167 274 | 111 516 | 0 | 55 758 | 111 516 | 167 274 | 55 758 | 0 | 0 | 0 | 0 | 0 | 0 | 0 | 0 |
| 3 | Испытание серуховского горизонта | тыс.тенге | | 6 880 | 6 880 | 6 880 | 0 | 0 | 0 | 0 | 0 | 0 | 0 | 0 | 0 | 0 | 0 | 0 | 0 | 0 | 0 | 0 | 0 | 0 | 0 |
| III | Внешние коммуникации и затраты | | | | | | | | | | | | | | | | | | | | | | | | |
| 1 | Проектные работы | тыс.тенге | | | 26 054 | 26 054 | 0 | 0 | 0 | 0 | 0 | 0 | 0 | 0 | 0 | 0 | 0 | 0 | 0 | 0 | 0 | 0 | 0 | 0 | 0 |
| 2 | Оплата сел.хоз и лесной потери при добыче углеводородного сырья на м/р Айракты | тыс.тенге | | | 139 673 | 139 673 | 0 | 0 | 0 | 0 | 0 | 0 | 0 | 0 | 0 | 0 | 0 | 0 | 0 | 0 | 0 | 0 | 0 | 0 | 0 |
| | Итого надземное строительство | | | | 2 640 124 | 172 606 | 167 274 | 280 364 | 280 364 | 618 060 | 506 544 | 224 606 | 0 | 55 758 | 111 516 | 167 274 | 55 758 | 0 | 0 | 0 | 0 | 0 | 0 | 0 | 0 |
| | Итого надземное строительство с учетом инфляции | | | | 3 283 475 | 179 511 | 180 924 | 315 371 | 327 986 | 751 964 | 640 940 | 295 566 | 0 | 79 361 | 165 071 | 257 511 | 89 270 | 0 | 0 | 0 | 0 | 0 | 0 | 0 | 0 |
| | Всего со строительством скважин | | | | 9 536 722 | 172 606 | 174 573 | 969 413 | 962 114 | 3 345 060 | 2 551 794 | 906 356 | 0 | 55 758 | 111 516 | 167 274 | 55 758 | 0 | 0 | 0 | 0 | 0 | 0 | 0 | 0 |
| | Всего со строительством скважин в ценах с учетом инфляции | | | | 12 000 581 | 179 511 | 188 818 | 1 090 457 | 1 125 537 | 4 069 777 | 3 228 833 | 1 192 703 | 0 | 79 361 | 165 071 | 257 511 | 89 270 | 0 | 0 | 0 | 0 | 0 | 0 | 0 | 0 |

Продолжение таблицы 4.2.2.

| No. III. | ъ. | | | | | | | | | | | | Pa | спред | целени | е капит | гальні | ых вло | ожени | ій по год | ам стј | оител | ІЬСТВ | ı | | | | | | | | | |
|---|-----------|------|------|------|------|------|------|------|------|------|------|--------|------|-------|--------|---------|--------|--------|-------|-----------|--------|-------|--------------|--------|------|------|------|--------|------|------|------|--------|-----------|
| № Наименование работ, объектов и затрат | Ед. изм. | 2041 | 2042 | 2043 | 2044 | 2045 | 2046 | 2047 | 2048 | 2049 | 2050 | 2051 | 2052 | 2053 | 2054 | 2055 | 2056 | 2057 | 2058 | 2059 | 2060 | 2061 | 2062 | 2063 | 2064 | 2065 | 2066 | 2067 | 2068 | 2069 | 2070 | 2071 | 2072-2080 |
| 1 2 | 3 | 27 | 28 | 29 | 30 | 31 | 32 | 33 | 34 | 35 | 36 | 37 | 38 | 39 | 40 | 41 | 42 | 43 | 44 | 45 | 46 | 47 | 48 | 49 | 50 | 51 | 52 | 53 | 54 | 55 | 56 | 57 | 58 |
| I Строительство скважин (подземное строительство) | | | | | | | | | | | | | | | | | | | | | | | | | | | | | | | | | |
| 1 Ввод добывающих вертикальных газовых скважин | скв. | 0 | 0 | 0 | 0 | 0 | 0 | 0 | 0 | 0 | 0 | 0 | 0 | 0 | 0 | 0 | 0 | 0 | 0 | 0 | 0 | 0 | 0 | 0 | 0 | 0 | 0 | 0 | 0 | 0 | 0 | 0 | 0 |
| 2 Ввод добывающих горизонтальных газовых скважин | скв. | | | | | | | | | | | | | | | | | | | | | | | | | | | | | | | | |
| 3 Расконсервация скважин | скв. | 0 | 0 | 0 | 0 | 0 | 0 | 0 | 0 | 0 | 0 | 0 | 0 | 0 | 0 | 0 | 0 | 0 | 0 | 0 | 0 | 0 | 0 | 0 | 0 | 0 | 0 | 0 | 0 | 0 | 0 | 0 | 0 |
| 3 Выбытие скважин | скв. | 0 | 0 | 0 | 0 | 0 | 0 | 0 | 0 | 0 | 0 | 10 750 | 0 | 0 | 0 | 10 750 | 0 | 0 | 0 | 10 750 | 0 | 0 | 0 | 10 750 | 0 | 0 | 0 | 10 750 | 0 | 0 | 0 | 10 750 | 0 |
| Итого строительство скважин | | 0 | 0 | 0 | 0 | 0 | 0 | 0 | 0 | 0 | 0 | 10 750 | 0 | 0 | 0 | 10 750 | 0 | 0 | 0 | 10 750 | 0 | 0 | 0 | 10 750 | 0 | 0 | 0 | 10 750 | 0 | 0 | 0 | 10 750 | 0 |
| Итого строительство скважин с учетом инфляции | | 0 | 0 | 0 | 0 | 0 | 0 | 0 | 0 | 0 | 0 | 36 261 | 0 | 0 | 0 | 42 420 | 0 | 0 | 0 | 49 626 | 0 | 0 | 0 | 58 055 | 0 | 0 | 0 | 67 917 | 0 | 0 | 0 | 79 453 | 0 |
| II Надземное строительство | | | | | | | | | | | | | | | | | | | | | | | | | | | | | | | | | |
| Обустройство промысла | | | | | | | | | | | | | | | | | | | | | | | | | | | | | | | | | |
| 1 Обустройство м/р | тыс.тенге | | | | | | | | | | | | | | | | | | | | | | | | | | | | | | | | |
| 2 Проведение ГГРП (гидро разрыв пласта) | тыс.тенге | 0 | 0 | 0 | 0 | 0 | 0 | 0 | 0 | 0 | 0 | 0 | 0 | 0 | 0 | 0 | 0 | 0 | 0 | 0 | 0 | 0 | 0 | 0 | 0 | 0 | 0 | 0 | 0 | 0 | 0 | 0 | 0 |
| 3 Испытание серуховского горизонта | тыс.тенге | 0 | 0 | 0 | 0 | 0 | 0 | 0 | 0 | 0 | 0 | 0 | 0 | 0 | 0 | 0 | 0 | 0 | 0 | 0 | 0 | 0 | 0 | 0 | 0 | 0 | 0 | 0 | 0 | 0 | 0 | 0 | 0 |
| III Внешние коммуникации и затраты | | | | | | | | | | | | | | | | | | | | | | | | | | | | | | | | | |
| 1 Проектные работы | тыс.тенге | 0 | 0 | 0 | 0 | 0 | 0 | 0 | 0 | 0 | 0 | 0 | 0 | 0 | 0 | 0 | 0 | 0 | 0 | 0 | 0 | 0 | 0 | 0 | 0 | 0 | 0 | 0 | 0 | 0 | 0 | 0 | 0 |
| Oплата сел.хоз и лесной потери при добыче углеводородного сырья на м/р Айракты | тыс.тенге | 0 | 0 | 0 | 0 | 0 | 0 | 0 | 0 | 0 | 0 | 0 | 0 | 0 | 0 | 0 | 0 | 0 | 0 | 0 | 0 | 0 | 0 | 0 | 0 | 0 | 0 | 0 | 0 | 0 | 0 | 0 | 0 |
| Итого надземное строительство | | 0 | 0 | 0 | 0 | 0 | 0 | 0 | 0 | 0 | 0 | 0 | 0 | 0 | 0 | 0 | 0 | 0 | 0 | 0 | 0 | 0 | 0 | 0 | 0 | 0 | 0 | 0 | 0 | 0 | 0 | 0 | 0 |
| Итого надземное строительство с учетом инфляции | | 0 | 0 | 0 | 0 | 0 | 0 | 0 | 0 | 0 | 0 | 0 | 0 | 0 | 0 | 0 | 0 | 0 | 0 | 0 | 0 | 0 | 0 | 0 | 0 | 0 | 0 | 0 | 0 | 0 | 0 | 0 | 0 |
| Всего со строительством скважин | | 0 | 0 | 0 | 0 | 0 | 0 | 0 | 0 | 0 | 0 | 10 750 | 0 | 0 | 0 | 10 750 | 0 | 0 | 0 | 10 750 | 0 | 0 | 0 | 10 750 | 0 | 0 | 0 | 10 750 | 0 | 0 | 0 | 10 750 | 0 |
| Всего со строительством скважин в ценах с учетом инфляции | | 0 | 0 | 0 | 0 | 0 | 0 | 0 | 0 | 0 | 0 | 36 261 | 0 | 0 | 0 | 42 420 | 0 | 0 | 0 | 49 626 | 0 | 0 | 0 | 58 055 | 0 | 0 | 0 | 67 917 | 0 | 0 | 0 | 79 453 | 0 |

Затраты на операционные и текущие расходы определялись в соответствии с основными эксплуатационными показателями, рассчитанными на основе фактических и плановых данных ТОО «Амангельды Газ» за 2012-2020 годах. Расходы понесенные предприятием, (операционные затраты) разделяются на расходы, относимые на себестоимость продукции и на расходы периода.

Расходы относимые на себестоимость продукции включают в себя все эксплуатационные затраты, производимые непосредственно на промысле. Расходы периода в свою очередь включают в себя общие и административные расходы и расходы по реализации продукции.

Расходы, относимые на себестоимость продукции включают:

- материальные производственные затраты;
- обслуживание, текущий и капитальный ремонт основных фондов;
- амортизационные отчисления производственных фондов;
- оплату труда промышленно-производственного персонала;
- налоги, отчисления и сборы в бюджет, входящие в себестоимость продукции;
- услуги сторонних организаций производственного и непроизводственного характера;
- затраты на НИОКР;
- прочие необходимые затраты.
- Расходы периода в свою очередь включают в себя:
- амортизационные отчисления нематериальных активов;
- услуги непроизводственного характера, выполненные сторонними организациями;
- налоги и другие обязательные платежи в бюджет за исключением тех налогов и платежей, что платятся из прибыли;
- прочие затраты общепроизводственного назначения.

Согласно Кодекса о недрах Статья 129. Обязательства недропользователей в области обучения, науки и социально-экономического развития региона в течение периода добычи углеводородов, что в течение периода добычи, начиная со второго года, недропользователь обязан ежегодно осуществлять финансирование: обучения казахстанских кадров, научно-

исследовательских, научно-технических и (или) опытно-конструкторских работ, социально-экономического развития региона и развития его инфраструктуры.

Моделирование эксплуатационных затрат и расходов периода по проекту приведено в таблицах 4.2.3-4.2.4.

При определении денежных потоков применялось дисконтирование — метод приведения разновременных затрат и результатов к единому моменту времени, в данном случае к началу реализации проекта 2021 году, отражающий ценность прошлых и будущих поступлений (доходов) с современных позиций. Приведение делалось для того, чтобы, при вычислении значений интегральных показателей (IRR, NPV) исключить из расчета общее изменение масштаба цен, но сохранить (происходящее из-за инфляции) изменения в структуре цен. При выборе дифференцированной ставки процента (дисконтной) в процессе дисконтирования потока инвестиционного проекта учитывались следующие факторы:

- средний уровень ссудного процента (реальной депозитной ставки);
- темп инфляции (или премии за инфляцию);
- премии за риск;
- премии за низкую ликвидность проекта.

Для данного проекта ставка дисконта принята на уровне 12,0%. Расчет чистой прибыли и потоков денежной наличности приведены в таблицах 4.2.5-4.2.7.

| Таблица 4.2.3 | <u>– Расчет эксплу</u> | атационн | ых затра | | в себестоимость прод | • | <u> </u> | емом 3 варианте ть | іс.тенге | F | | | F | F | r | - |
|--------------------|-------------------------|------------------------------------|------------------|------------------|--|---|--------------------|---------------------------------------|------------------|--------------------------------------|-----------------------|------------------|----------------------------|---|--|--|
| | | 1 | | Расходы, отно | симые на себестоимост | гь продук | ции | ı | | Налог | ги и платежи | T | | | | |
| Годы | Материальные затраты | Затраты на текущий ремонт | Топливо и ГСМ | Энергоресурсы | услуги производственного характера (сервисных организаций.) | Затраты по охране труда и ООС | ФОТ ОПП | Прочие производственные расходы | ниокр | Налоги, отчисляемые от ФОТ ППП | Налог на имущество | ндпи | Итого прямые расходы | Амортизационные отчисления включаемые в себестоимость | Итого расходыотносимые на себестоимость продукции с амортизацией | Производственная себестоимость млн.м3 газа |
| 1 | 2 | 3 | 4 | 5 | 6 | 7 | 8 | 9 | 10 | 11 | 12 | 13 | 14 | 15 | 16 | 17 |
| 2021 | 3 846 | 21 296 | 617 | 7 201 | 88 435 | 648 | 62 150 | 1 082 | 9 564 | 11 670 | 102 106 | 5 043 | 313 657 | 68 201 | 381 858 | 14 706 |
| 2022 | 4 514 | 24 916 | 724 | 8 451 | 103 797 | 673 | 72 716 | 1 266 | 10 390 | 13 654 | 103 765 | 5 692 | 350 559 | 79 143 | 429 702 | 14 663 |
| 2023 | 6 370 | 31 671 | 1 021 | 11 927 | 146 483 | 700 | 92 430 | 1 609 | 11 726 | 17 356 | 111 935 | 7 723 | 440 953 | 110 845 | 551 797 | 13 876 |
| 2024 | 8 434 | 35 933 | 1 352 | 15 791 | 193 939 | 728 | 104 866 | 1 825 | 15 912 | 19 691 | 126 492 | 9 832 | 534 795 | 164 260 | 699 056 | 13 809 |
| 2025 | 10 932 | 46 713 | 1 753 | 20 467 | 251 371 | 758 | 136 326 | 2 373 | 20 257 | 25 598 | 162 458 | 12 253 | 691 259 | 235 526 | 926 784 | 14 690 |
| 2026 | 17 011 | 58 297 | 2 727 | 31 849 | 391 161 | 788 | 170 135 | 2 962 | 25 246 | 31 946 | 211 496 | 18 334 | 961 952 | 524 747 | 1 486 700 | 15 749 |
| 2027 | 19 482 | 63 997 | 3 123 | 36 475 | 447 972 | 819 | 186 770 | 3 251 | 37 775 | 35 070 | 235 219 | 20 492 | 1 090 446 | 733 678 | 1 824 124 | 17 548 |
| 2028 | 17 736 | 66 557 | 2 844 | 33 207 | 407 834 | 852 | 194 241 | 3 381 | 42 221 | 36 473 | 233 487 | 18 208 | 1 057 041 | 690 012 | 1 747 053 | 19 199 |
| 2029 | 16 705 | 69 220 | 2 678 | 31 277 | 384 130 | 886 | 202 011 | 3 516 | 37 514 | 37 932 | 224 240 | 16 737 | 1 026 846 | 622 249 | 1 649 095 | 20 010 |
| 2030 | 16 836 | 71 988 | 2 699 | 31 521 | 387 131 | 922 | 210 091 | 3 657 | 34 484 | 39 449 | 216 865 | 16 463 | 1 032 106 | 605 469 | 1 637 575 | 20 505 |
| 2031 | 18 409 | 74 868 | 2 951 | 34 467 | 423 305 | 959 | 218 495 | 3 803 | 33 918 | 41 027 | 210 652 | 17 568 | 1 080 422 | 645 476 | 1 725 898 | 20 555 |
| 2032 | 19 376 | 77 863 | 3 106 | 36 277 | 445 532 | 997 | 227 235 | 3 956 | 36 196 | 42 668 | 203 417 | 18 046 | 1 114 668 | 665 997 | 1 780 665 | 20 955 |
| 2033 | 19 398 | 80 977 | 3 110 | 36 319 | 446 049 | 1 037 | 236 324 | 4 114 | 37 181 | 44 375 | 194 260 | 17 633 | 1 120 775 | 644 249 | 1 765 024 | 21 577 |
| 2034 | 19 985 | 84 216 | 3 204 | 37 417 | 459 545 | 1 078 | 245 777 | 4 278 | 36 329 | 46 150 | 184 644 | 17 730 | 1 140 353 | 637 909 | 1 778 262 | 21 944 |
| 2035 | 20 407 | 87 585 | 3 272 | 38 208 39 041 | 469 257 | 1 121 | 255 608 | 4 449 4 627 | 36 529 | 47 995 49 915 | 175 166 | 17 669 17 620 | 1 157 268 | 625 734 | 1 783 002 | 22 409 |
| 2036 2037 | 20 852 21 320 | 91 088 94 732 | 3 343 3 418 | 39 918 | 479 484 490 252 | 1 166 | 265 832 276 466 | 4 812 | 36 404 | 51 912 | 165 867 156 736 | 17 583 | 1 175 241 | 614 188 | 1 789 430 | 22 891 23 394 |
| 2037 | 22 050 | 98 521 | 3 535 | 41 283 | 507 021 | 1 213 1 261 | 287 524 | 5 005 | 36 303 36 226 | 53 988 | 136 736 | 17 747 | 1 194 665 1 221 877 | 603 246 599 687 | 1 797 912 1 821 564 | 23 834 |
| 2039 | 21 839 | 102 462 | 3 501 | 40 889 | 507 021 | 1 312 | 299 025 | 5 205 | 36 565 | 56 148 | 138 946 | 17 155 | 1 225 228 | 569 413 | 1 794 641 | 24 657 |
| 2040 | 22 214 | 102 402 | 3 562 | 41 592 | 510 813 | 1 364 | 310 986 | 5 413 | 35 345 | 58 394 | 130 504 | 17 133 | 1 243 779 | 556 150 | 1 794 041 | 25 284 |
| 2040 | 22 022 | 110 823 | 3 531 | 41 231 | 506 376 | 1 419 | 323 426 | 5 630 | 35 088 | 60 730 | 122 370 | 16 477 | 1 249 120 | 528 481 | 1 777 601 | 26 197 |
| 2042 | 21 852 | 115 256 | 3 503 | 40 913 | 502 474 | 1 476 | 336 363 | 5 855 | 33 948 | 63 159 | 114 636 | 15 957 | 1 255 390 | 502 696 | 1 758 086 | 27 155 |
| 2043 | 21 703 | 119 866 | 3 480 | 40 633 | 499 043 | 1 535 | 349 817 | 6 089 | 32 876 | 65 685 | 107 276 | 15 467 | 1 263 470 | 478 595 | 1 742 065 | 28 176 |
| 2044 | 21 572 | 124 661 | 3 459 | 40 390 | 496 048 | 1 596 | 363 810 | 6 333 | 31 867 | 68 313 | 100 266 | 15 005 | 1 273 318 | 456 029 | 1 729 347 | 29 265 |
| 2045 | 21 460 | 129 647 | 3 441 | 40 178 | 514 954 | 1 660 | 378 362 | 6 586 | 30 914 | 71 045 | 93 585 | 14 567 | 1 306 399 | 434 861 | 1 741 260 | 30 806 |
| 2046 | 21 363 | 134 833 | 3 425 | 39 997 | 491 230 | 1 726 | 393 497 | 6 850 | 30 013 | 73 887 | 87 211 | 14 153 | 1 298 184 | 414 968 | 1 713 152 | 31 664 |
| 2047 | 21 281 | 140 226 | 3 412 | 39 844 | 489 343 | 1 795 | 409 237 | 7 124 | 29 160 | 76 842 | 81 127 | 13 760 | 1 313 150 | 396 239 | 1 709 388 | 32 985 |
| 2048 | 21 212 | 145 835 | 3 401 | 39 715 | 487 763 | 1 867 | 425 606 | 7 409 | 28 349 | 79 916 | 75 316 | 13 386 | 1 329 775 | 378 572 | 1 708 347 | 34 394 |
| 2049 | 21 250 | 151 669 | 3 407 | 39 786 | 488 638 | 1 942 | 442 630 | 7 705 | 27 579 | 83 113 | 69 749 | 13 087 | 1 350 556 | 363 618 | 1 714 174 | 35 828 |
| 2050 | 21 299 | 157 735 | 3 415 | 39 878 | 489 763 | 2 020 | 460 335 | 8 013 | 26 964 | 86 437 | 64 402 | 12 802 | 1 373 063 | 349 407 | 1 722 469 | 37 355 |
| 2051 | 21 359 | 155 411 | 3 424 | 39 990 | 491 137 | 2 100 | 453 552 | 7 895 | 26 376 | 85 163 | 59 534 | 12 529 | | 335 891 | 1 694 362 | 38 108 |
| 2052 | 20 303 | 161 627 | 3 255 | 38 013 | 466 855 | 2 184 | 471 694 | 8 211 | 25 815 | 88 570 | 54 980 | 11 624 | 1 353 129 | 307 599 | 1 660 728 | 40 867 |
| 2053 | 20 418 | 168 092 | 3 274 | 38 229 | 469 510 | 2 272 | 490 561 | 8 539 | 23 948 | 92 113 | 50 448 | 11 409 | 1 378 814 | 296 593 | 1 675 406 | 42 634 |
| 2054 | 20 541 | 174 816 | 3 293 | 38 458 | 472 323 | 2 363 | 510 184 | 8 881 | 23 506 | 95 797 | 46 079 | 11 201 | 1 407 441 | 286 032 | 1 693 473 | 44 551 |
| 2055 | 20 673 | 171 708 | 3 314 | 38 705 | 475 356 | 2 457 | 501 114 | 8 723 | 23 078 | 94 094 | 42 182 | 11 002 | 1 392 406 | 275 926 | 1 668 332 | 45 354 |
| 2056 | 19 665 | 178 576 | 3 153 | 36 818 | 452 184 | 2 555 | 521 158 | 9 072 | 22 668 | 97 858 | 38 525 | 10 214 | 1 392 447 | 254 160 | 1 646 608 | 48 939 |
| 2057 | 19 842 | 185 720 | 3 181 | 37 150 | 456 265 | 2 658 | 542 005 | 9 435 | 21 045 | 101 772 | 34 775 | 10 059 | 1 423 906 | 245 828 | 1 669 734 | 51 150 |
| 2058 | 20 026 | 193 148 | 3 211 | 37 494 | 460 485 | 2 764 | 563 685 | 9 812 | 20 724 | 105 843 | 31 148 | 9 908 | 1 458 247 | 237 772 | 1 696 019 | 53 539 |
| 2059 | 20 218 | 189 058 | 3 241 | 37 854 | 464 902 | 2 875 | 551 748 | 9 604 | 20 413 | 103 602 | 28 012 | 9 762 | 1 441 288 | 230 003 | 1 671 291 | 54 347 |
| 2060 | 19 232 | 196 620 | 3 083 | 36 007 | 442 221 | 2 990 | 573 818 | 9 989 | 20 113 | 107 746 | 25 054 | 9 063 | 1 445 935 | 213 978 | 1 659 914 | 59 015 |
| 2061 | 19 461 | 204 485 | 3 120 | 36 436 | 447 492 | 3 109 | 596 771 | 10 388 | 18 672 | 112 056 | 21 893 | 8 950 | 1 482 833 | 207 434 | 1 690 267 | 61 762 |
| 2062 | 19 695 | 212 665 | 3 158 | 36 876 | 452 889 | 3 233 | 620 642 | 10 804 | 18 441 | 116 538 | 18 830 | 8 841 | 1 522 610 | 201 035 | 1 723 646 | 64 720 |
| 2063 | 19 938 | 207 348 | 3 197 | 37 330 | 458 468 | 3 363 | 605 125 | 10 534 | 18 214 | 113 624 | 16 297 | 8 734 | 1 502 173 | 194 782 | 1 696 955 | 65 460 |
| 2064 | 19 035 | 215 642 | 3 052 | 35 640 | 437 712 | 3 497 | 629 331 | 10 955 | 17 996 | 118 169 | 13 872 | 8 138 | 1 513 039 | 186 521 | 1 699 560 | 71 417 |
| 2065 | 19 310 | 224 268 | 3 096 | 36 153 | 444 014 | 3 637 | 654 504 | 11 393 | 16 768 | 122 896 | 11 116 | 8 057 | 1 555 211 | 180 930 | 1 736 141 | 74 795 |
| 2066 | 19 589 | 233 238 | 3 141 | 36 676 | 398 842 | 3 783 | 680 684 | 11 849 | 16 600 | 127 812 | 8 445 | 7 977 | 1 548 636 | 175 294 | 1 723 930 | 76 137 |
| Итого2021- 2066 | 862 033 | 5 792 434 | | 1 613 970 | 19 791 976 | 82 160 | 16 904 663 | 294 263 | 1 247 224 | 3 174 188 | | | 55 362 900 | 18 129 424 | 73 492 325 | 29 252 |
| 2067 | 19 968 | 226 397 | 3 201 | 37 386 | 437 664 | 3 934 | 660 717 | 11 501 | 16 436 | 124 063 | 6 360 | 7 936 | 1 555 564 | 170 567 | 1 726 131 | 77 778 |
| 2068 | 18 945 | 235 453 | 3 037 | 35 470 | 414 127 | 4 091 | 687 146 | 11 961 | 16 351 | 129 025 | 4 230 | 7 348 | 1 567 185 | 181 368 | 1 748 554 | 86 367 |

Продолжение таблицы 4.2.3

| 1 | 2 | 3 | 4 | 5 | 6 | 7 | 8 | 9 | 10 | 11 | 12 | 13 | 14 | 15 | 16 | 17 |
|---------------------|-----------|-----------|---------|-----------|------------|---------|------------|---------|-----------|-----------|-----------|---------|------------|------------|------------|---------|
| 2069 | 19 346 | 244 871 | 3 102 | 36 222 | 423 362 | 4 255 | 714 632 | 12 440 | 15 140 | 134 186 | 1 435 | 7 324 | 1 616 314 | 175 089 | 1 791 403 | 90 113 |
| 2070 | 19 754 | 254 666 | 3 167 | 36 986 | 432 740 | 4 425 | 743 217 | 12 937 | 15 090 | 139 554 | 0 | 7 299 | 1 669 834 | 0 | 1 669 834 | 85 554 |
| 2071 | 20 171 | 245 934 | 3 234 | 37 765 | 442 318 | 4 602 | 717 735 | 12 494 | 15 037 | 134 769 | 596 | 7 273 | 1 641 929 | 0 | 1 641 929 | 85 682 |
| 2072 | 19 164 | 255 772 | 3 073 | 35 881 | 419 173 | 4 786 | 746 445 | 12 994 | 14 985 | 140 160 | 1 494 | 6 744 | 1 660 670 | -40 356 | 1 620 314 | 92 555 |
| 2073 | 19 597 | 266 002 | 3 142 | 36 691 | 429 124 | 4 978 | 776 302 | 13 513 | 13 895 | 145 766 | 2 096 | 6 731 | 1 717 838 | -39 906 | 1 677 932 | 97 479 |
| 2074 | 20 037 | 276 642 | 3 213 | 37 516 | 439 250 | 5 177 | 807 355 | 14 054 | 13 867 | 151 597 | 2 691 | 6717 | 1 778 116 | -39 399 | 1 738 717 | 102 742 |
| 2075 | 20 488 | 287 708 | 3 285 | 38 359 | 449 606 | 5 384 | 839 649 | 14 616 | 13 838 | 157 661 | 3 278 | 6 702 | 1 840 574 | -38 865 | 1 801 709 | 108 289 |
| 2076 | 20 948 | 299 216 | 3 359 | 39 221 | 460 192 | 5 599 | 873 235 | 15 201 | 13 809 | 163 967 | 3 857 | 6 688 | 1 905 293 | -38 315 | 1 866 977 | 114 135 |
| 2077 | 21 419 | 311 185 | 3 434 | 40 102 | 471 015 | 5 823 | 908 164 | 15 809 | 13 780 | 170 526 | 4 428 | 0 | 1 965 684 | -37 757 | 1 927 926 | 119 882 |
| 2078 | 21 900 | 323 633 | 3 511 | 41 003 | 482 078 | 6 056 | 944 491 | 16 441 | 13 751 | 177 347 | 4 990 | 0 | 2 035 200 | -37 196 | 1 998 003 | 126 371 |
| 2079 | 22 392 | 336 578 | 3 590 | 41 924 | 493 388 | 6 298 | 982 270 | 17 099 | 13 722 | 184 441 | 5 543 | 0 | 2 107 244 | -36 634 | 2 070 610 | 133 210 |
| 2080 | 22 894 | 350 041 | 3 671 | 42 865 | 504 949 | 85 155 | 1 021 561 | 17 783 | 13 693 | 191 818 | 6 089 | 0 | 2 260 519 | -36 074 | 2 224 445 | 145 563 |
| Итого 2021- 2080 | 1 149 057 | 9 706 531 | 184 224 | 2 151 359 | 26 090 962 | 232 725 | 28 327 581 | 493 105 | 1 450 619 | 5 319 068 | 4 900 182 | 679 451 | 80 684 863 | 18 311 947 | 98 996 810 | 35 859 |

Таблица 4.2.4 – Эксплуатационные затраты, включаемые в расходы периода в рекомендуемом 3 варианте тыс.тенге

| вариан | те тыс.тенг | <u>re</u> | | | | | - | |
|--------------|------------------|------------------|----------------|------------|--------------------|--------------|------------|------------------|
| | | Расходы период | a | | | | | Затраты на |
| | | | | Прочие | Итого | Истори- | Отчисления | обучение и |
| Годы | Админис- | 06 | Затраты на | налоги и | расходы | | в ликвида- | повышение |
| 1 Оды | тративные | Обще-админис- | социальные | отчисления | расходы периода | | ционный | квалификации |
| | расходы | тративные | нужды | в Бюджет | периода | sa i pa i bi | фонд | казахстанских |
| | | | | | | | | специалистов |
| 1 | 2 | 3 | 4 | 5 | 6 | 7 | 8 | 9 |
| 2021 | 14 319 | 7 161 | 1 267 | 406 | 23 153 | 34 180 | 8 618 | 2 535 |
| 2022 | 16 109 | 7 447 | 1 481 | 426 | 25 463 | 34 180 | 9 725 | 2 962 |
| 2023 | 19 689 | 7 745 | 2 015 | 482 | 29 931 | 34 180 | 13 197 | 4 031 |
| 2024 | 21 479 | 8 055 | 2 636 | 544 | 32 714 | 34 180 | 16 801 | 5 271 |
| 2025 | 26 848 | 8 377 | 3 531 | 620 | 39 376 | 34 180 | 20 938 | 7 062 |
| 2026 | 32 218 | 8 712 | 5 998 | 803 | 47 732 | 34 180 | 31 329 | 11 997 |
| 2027 | 34 008 | 9 061 | 7 478 | 878 | 51 424 | 17 090 | 34 499 | 14 956 |
| 2028 | 34 008 | 9 423 | 7 083 | 825 | 51 340 | 0 | 30 200 | 14 167 |
| 2029 | 34 008 | 9 800 | 6 663 | 794 | 51 265 | 0 | 27 351 | 13 327 |
| 2030 | 34 008 | 10 192 | 6 652 | 798 | 51 650 | 0 | 26 504 | 13 303 |
| 2031 | 34 008 | 10 600 | 7 114 | 846 | 52 567 | 0 | 27 866 | 14 227 |
| 2032 | 34 008 | 11 024 | 7 402 | 875 | 53 308 | 0 | 0 | 14 803 |
| 2033 | 34 008 | 11 465 | 7 358 | 875 | 53 706 | 0 | 0 | 14 716 |
| 2034 | 34 008 | 11 923 | 7 467 | 893 | 54 291 | 0 | 0 | 14 934 |
| 2035 | 34 008 | 12 400 | 7 528 | 906 | 54 842 | 0 | 0 | 15 056 |
| 2036 | 34 008 | 12 896 | 7 598 | 919 | 55 422 | 0 | 0 | 15 196 |
| 2037 | 34 008 | 13 412 | 7 677 | 934 | 56 030 | 0 | 0 | 15 354 |
| 2038 | 34 008 | 13 949 | 7 829 | 956 | 56 741 | 0 | 0 | 15 659 |
| 2039 | 34 008 | 14 507 | 7 729 | 949 | 57 193 | 0 | 0 | 15 458 |
| 2040 | 34 008 | 15 087 | 7 793 | 961 | 57 848 | 0 | 0 | 15 587 |
| 2041 | 34 008 | 15 690 | 7 715 | 955 | 58 367 | 0 | 0 | 15 429 |
| 2042 | 34 008 | 16 318 | 7 652 | 950 | 58 927 | 0 | 0 | 15 304 |
| 2043 | 34 008 | 16 971 | 7 604 | 945 | 59 527 | 0 | 0 | 15 208 |
| 2044 | 34 008 | 17 650 | 7 569 | 941 | 60 168 | 0 | 0 | 15 139 |
| 2045 | 34 008 | 18 356 | 7 656 | 938 | 60 957 | 0 | 0 | 15 311 |
| 2046 | 34 008 | 19 090 | 7 539 | 935 | 61 572 | 0 | 0 | 15 079 |
| 2047 | 34 008 | 19 853 | 7 542 | 932 | 62 336 | 0 | 0 | 15 085 |
| 2048 | 34 008 | 20 648 | 7 557 | 930 | 63 142 | 0 | 0 | 15 114 |
| 2049 | 34 008 | 21 473 | 7 603 | 931 | 64 016 | 0 | 0 | 15 206 |
| 2050 | 34 008 | 22 332 | 7 659 | 933 | 64 932 | 0 | 0 | 15 319 |
| 2051 | 32 218 | 23 226 | 7 554 | 935 | 63 932 | 0 | 0 | 15 108 |
| 2052 | 32 218 | 24 155 | 7 399 | 903 | 64 674 | 0 | 0 | 14 797 |
| 2053 | 32 218 | 25 121 | 7 487 | 906 | 65 732 | 0 | 0 | 14 975 |
| 2054 | 32 218 | 26 126 | 7 584 | 910 | 66 838 | 0 | 0 | 15 169 |
| 2055 2056 | 30 428 | 27 171 28 258 | 7 490 7 387 | 914 884 | 66 003 66 956 | 0 | 0 | 14 980 14 773 |
| 2056 | 30 428 | 28 258 | 7 510 | 884 889 | 68 215 | 0 | 0 | 15 021 |
| 2057 | 30 428 30 428 | 30 563 | 7 642 | 889 894 | 69 528 | 0 | 0 | 15 021 |
| 2058 | 28 638 | 31 786 | 7 548 | 900 | 68 872 | 0 | 0 | 15 284 |
| 2039 | 28 638 | 33 057 | 7 490 | 870 | 70 056 | 0 | 0 | 14 979 |
| 2060 | 28 638 | 34 380 | 7 643 | 877 | 71 539 | 0 | 0 | 15 287 |
| 2061 | 28 638 | 35 755 | 7 805 | 884 | 73 082 | 0 | 0 | 15 610 |
| 2062 | 26 848 | 37 185 | 7 700 | 892 | 72 625 | 0 | 0 | 15 401 |
| 2064 | 26 848 | 38 673 | 7 700 | 865 | 74 092 | 0 | 0 | 15 414 |
| 2065 | 26 848 | 40 219 | 7 887 | 873 | 75 827 | 0 | 0 | 15 773 |
| 2003 | ZU 040 | 40 219 | / 00/ | 0/3 | 13 821 | U | U | 13//3 |

Продолжение таблицы 4.2.4

| 1 | 2 | 3 | 4 | 5 | 6 | 7 | 8 | 9 |
|------------------------|-----------|-----------|---------|--------|--------------|---------|---------|---------|
| 2066 | 26 848 | 41 828 | 7 815 | 881 | 77 373 | 0 | 0 | 15 631 |
| Итого20 21-2066 | 1 419 371 | 908 511 | 318 046 | 39 358 | 2 685 285 | 222 173 | 247 029 | 636 091 |
| 2067 | 25 058 | 43 501 | 7 857 | 1 050 | 77 467 | 0 | 0 | 15 713 |
| 2068 | 25 058 | 45 241 | 7 958 | 1 081 | 79 339 | 0 | 0 | 15 916 |
| 2069 | 25 058 | 47 051 | 8 167 | 1 113 | 81 388 | 0 | 0 | 16 333 |
| 2070 | 25 058 | 48 933 | 7 539 | 1 145 | 82 676 | 0 | 0 | 15 079 |
| 2071 | 23 268 | 50 890 | 7 421 | 1 116 | 82 696 | 0 | 0 | 14 843 |
| 2072 | 23 268 | 52 926 | 7 285 | 1 149 | 84 628 | 0 | 0 | 14 569 |
| 2073 | 23 268 | 55 043 | 7 547 | 1 184 | 87 042 | 0 | 0 | 15 094 |
| 2074 | 23 268 | 57 245 | 7 819 | 1 219 | 89 552 | 0 | 0 | 15 638 |
| 2075 | 23 268 | 59 535 | 8 101 | 1 256 | 92 161 | 0 | 0 | 16 202 |
| 2076 | 23 268 | 61 916 | 8 393 | 1 295 | 94 873 | 0 | 0 | 16 787 |
| 2077 | 23 268 | 64 393 | 8 696 | 1 335 | 97 692 | 0 | 0 | 17 392 |
| 2078 | 23 268 | 66 968 | 9 010 | 1 377 | 100 623 | 0 | 0 | 18 019 |
| 2079 | 23 268 | 69 647 | 9 335 | 1 421 | 103 671 | 0 | 0 | 18 669 |
| 2080 | 23 268 | 372 592 | 10 064 | 1 466 | 407 390 | 0 | 0 | 20 128 |
| Итого 2021- 2080 | 1 752 288 | 2 004 392 | 433 237 | 56 566 | 4 246 483 | 222 173 | 247 029 | 866 475 |

Таблица 4.2.5 – Расчет налогооблагаемого дохода в рекомендуемом 3 варианте, тыс. тенге

| | | | | ца в рекомендуемом | e supilarite, islevite. | |
|------|----------------|------------------|------------|--------------------|-------------------------|------------|
| | Всего расходы, | Общие | | | | |
| | связанные с | расходы | | Амортизационные | Всего вычитаемые | |
| | обычной | (включаемые | Гатанаарая | отчисления, | затраты, налоги и | |
| l , | цеятельностью | в c/c + | Балансовая | относимые на | специальные | Налого- |
| Годы | предприятия | расходы | прибыль | вычеты при | фонды, | облагаемый |
| | (расходы, | периода) | (+), | определении | определяемые для | доход |
| | включаемые в | - / | убыток (-) | | Налогооблагаемого | |
| | с/с + расходы | на 1000 м3 | | дохода | дохода | |
| | периода) | газа | | , , , , , | , , , , , | |
| 1 | 2 | 3 | 4 | 5 | 6 | 7 |
| 2021 | 450 344 | 17 344 | 588 703 | 26 958 | 423 386 | 629 946 |
| 2022 | 502 033 | 17 132 | 670 603 | 51 237 | 450 796 | 698 509 |
| 2023 | 633 137 | 15 922 | 958 090 | 207 120 | 426 017 | 861 814 |
| 2024 | 788 022 | 15 567 | 1 237 683 | 344 883 | 443 139 | 1 057 061 |
| 2025 | 1 028 342 | 16 299 | 1 496 268 | 903 617 | 124 725 | 828 177 |
| 2026 | 1 611 938 | 17 076 | 2 165 529 | 1 252 399 | 359 539 | 1 437 877 |
| 2027 | 1 942 094 | 18 683 | 2 280 007 | 1 243 445 | 698 649 | 1 770 240 |
| 2028 | 1 842 759 | 20 250 | 1 908 651 | 1 056 928 | 785 831 | 1 541 735 |
| 2029 | 1 741 038 | 21 126 | 1 707 393 | 910 293 | 830 744 | 1 419 348 |
| 2030 | 1 729 032 | 21 650 | 1 662 794 | 798 510 | 930 522 | 1 469 753 |
| 2030 | 1 820 558 | 21 682 | 1 799 052 | 717 360 | 1 103 198 | 1 727 168 |
| 2031 | 1 848 776 | 21 757 | 1 869 321 | 623 146 | 1 225 630 | 1 912 172 |
| 2032 | 1 833 446 | 22 413 | 1 799 479 | 529 675 | 1 303 771 | 1 914 054 |
| 2033 | 1 847 488 | 22 798 | 1 805 388 | 450 223 | 1 397 265 | 1 993 074 |
| 2034 | 1 852 901 | 23 288 | 1 787 512 | 382 690 | 1 470 211 | 2 030 556 |
| | | | | | | 2 050 330 |
| 2036 | 1 860 047 | 23 794 24 323 | 1 770 289 | 325 286 | 1 534 761 | |
| 2037 | 1 869 296 | | 1 753 337 | 276 493 | 1 592 802 | 2 080 090 |
| 2038 | 1 893 964 | 24 782 | 1 762 523 | 235 019 | 1 658 944 | 2 127 190 |
| 2039 | 1 867 292 | 25 655 | 1 667 227 | 199 766 | 1 667 525 | 2 036 873 |
| 2040 | 1 873 363 | 26 315 | 1 635 486 | 169 802 | 1 703 562 | 2 021 834 |
| 2041 | 1 851 398 | 27 284 | 1 543 360 | 144 331 | 1 707 067 | 1 927 509 |
| 2042 | 1 832 317 | 28 301 | 1 455 307 | 122 682 | 1 709 635 | 1 835 321 |
| 2043 | 1 816 800 | 29 385 | 1 369 886 | 104 279 | 1 712 520 | 1 744 201 |
| 2044 | 1 804 654 | 30 539 | 1 286 763 | 88 637 | 1 716 016 | 1 654 154 |
| 2045 | 1 817 528 | 32 155 | 1 183 800 | 75 342 | 1 742 186 | 1 543 319 |
| 2046 | 1 789 803 | 33 080 | 1 126 173 | 64 041 | 1 725 762 | 1 477 100 |
| 2047 | 1 786 809 | 34 479 | 1 048 140 | 0 | 1 786 809 | 1 444 379 |
| 2048 | 1 786 604 | 35 970 | 971 267 | 0 | 1 786 604 | 1 349 839 |
| 2049 | 1 793 396 | 37 483 | 903 009 | 0 | 1 793 396 | 1 266 627 |
| 2050 | 1 802 720 | 39 096 | 834 921 | 0 | 1 802 720 | 1 184 328 |
| 2051 | 1 773 402 | 39 886 | 808 058 | 0 | 1 773 402 | 1 143 950 |
| 2052 | 1 740 199 | 42 822 | 654 646 | 0 | 1 740 199 | 962 244 |
| 2053 | 1 756 114 | 44 688 | 594 456 | 0 | 1 756 114 | 891 049 |
| 2054 | 1 775 480 | 46 708 | 532 333 | 0 | 1 775 480 | 818 364 |
| 2055 | 1 749 314 | 47 555 | 517 482 | 0 | 1 749 314 | 793 408 |
| 2056 | 1 728 337 | 51 369 | 376 130 | 0 | 1 728 337 | 630 290 |
| 2057 | 1 752 970 | 53 700 | 319 443 | 0 | 1 752 970 | 565 271 |
| 2058 | 1 780 831 | 56 216 | 260 470 | 0 | 1 780 831 | 498 242 |
| 2059 | 1 755 258 | 57 077 | 256 082 | 0 | 1 755 258 | 486 085 |
| 2060 | 1 744 949 | 62 038 | 122 277 | 0 | 1 744 949 | 336 255 |
| 2061 | 1 777 093 | 64 935 | 66 967 | 0 | 1 777 093 | 274 401 |
| 2062 | 1 812 338 | 68 050 | 9 102 | 0 | 1 812 338 | 210 137 |
| 2063 | 1 784 981 | 68 856 | 14 573 | 0 | 1 784 981 | 209 355 |
| 2064 | 1 789 066 | 75 178 | -112 286 | 0 | 1 789 066 | 74 235 |
| 2065 | 1 827 741 | 78 741 | -167 707 | 0 | 1 827 741 | 13 224 |
| 2066 | 1 816 934 | 80 245 | -173 349 | 0 | 1 816 934 | 1 945 |

Продолжение таблицы 4.2.5

| 1 | 2 | 3 | 4 | 5 | 6 | 7 |
|---------------------|-------------|---------|------------|------------|------------|------------|
| Итого2021- 2066 | 77 282 903 | 30 761 | 48 126 637 | 11 304 164 | 65 978 738 | 54 951 897 |
| 2067 | 1 819 312 | 81 977 | -184 176 | 0 | 1 819 312 | 0 |
| 2068 | 1 843 808 | 91 072 | -329 782 | 0 | 1 843 808 | 0 |
| 2069 | 1 889 125 | 95 028 | -380 168 | 0 | 1 889 125 | 0 |
| 2070 | 1 767 589 | 90 562 | -263 859 | 0 | 1 767 589 | 0 |
| 2071 | 1 739 468 | 90 772 | -240 940 | 0 | 1 739 468 | 0 |
| 2072 | 1 719 511 | 98 221 | -329 988 | 0 | 1 719 511 | 0 |
| 2073 | 1 780 069 | 103 413 | -393 325 | 0 | 1 780 069 | 0 |
| 2074 | 1 843 907 | 108 958 | -460 083 | 0 | 1 843 907 | 0 |
| 2075 | 1 910 072 | 114 802 | -529 158 | 0 | 1 910 072 | 0 |
| 2076 | 1 978 637 | 120 962 | -600 633 | 0 | 1 978 637 | 0 |
| 2077 | 2 043 011 | 127 039 | -667 917 | 0 | 2 043 011 | 0 |
| 2078 | 2 116 646 | 133 875 | -744 461 | 0 | 2 116 646 | 0 |
| 2079 | 2 192 949 | 141 081 | -823 674 | 0 | 2 192 949 | 0 |
| 2080 | 2 651 964 | 173 538 | -1 285 596 | 0 | 2 651 964 | 0 |
| Итого 2021- 2080 | 104 578 970 | 37 881 | 40 892 876 | 11 304 164 | 93 274 806 | 54 951 897 |

Таблица 4.2.6 – Расчет чистой прибыли в рекомендуемом 3 варианте, тыс.тенге

| Годы | Налого- облагаемая прибыль до переноса убытков | Налого- облагаемая прибыль после переноса убытков | Корпо- ративный подоходный налог | Чистая прибыль после выплаты подоходного налога | Налог на сверх- прибыль | Чистая прибыль после выплаты налога на сверх- прибыль |
|----------------|--|---|---|--|-------------------------------|---|
| | | _ | - | | | - |
| 2021 | 629 946 | 629 946 | 125 989 | 462 714 | 158 | 462 556 |
| 2022 | 698 509 | 698 509 | 139 702 172 363 | 530 902 | 154 | 530 747 785 727 |
| 2023 | 861 814 1 057 061 | 861 814 1 057 061 | 211 412 | 785 727 1 026 271 | 130 | 1 026 140 |
| 2025 | 828 177 | 828 177 | 165 635 | 1 330 633 | 0 | 1 330 633 |
| 2026 | 1 437 877 | 1 437 877 | 287 575 | 1 877 954 | 0 | 1 877 954 |
| 2027 | 1 770 240 | 1 770 240 | 354 048 | 1 925 959 | 107 | 1 925 851 |
| 2028 | 1 541 735 | 1 541 735 | 308 347 | 1 600 304 | 106 | 1 600 198 |
| 2029 | 1 419 348 | 1 419 348 | 283 870 | 1 423 523 | 106 | 1 423 417 |
| 2030 | 1 469 753 | 1 469 753 | 293 951 | 1 368 843 | 110 | 1 368 733 |
| 2031 | 1 727 168 | 1 727 168 | 345 434 | 1 453 618 | 119 | 1 453 499 |
| 2032 | 1 912 172 | 1 912 172 | 382 434 | 1 486 887 | 128 | 1 486 759 |
| 2033 | 1 914 054 | 1 914 054 | 382 811 | 1 416 668 | 132 | 1 416 536 |
| 2034 | 1 993 074 | 1 993 074 | 398 615 | 1 406 773 | 137 | 1 406 636 |
| 2035 | 2 030 556 | 2 030 556 | 406 111 | 1 381 401 | 141 | 1 381 260 |
| 2036 | 2 059 191 | 2 059 191 | 411 838 | 1 358 451 | 144 | 1 358 306 |
| 2037 | 2 080 090 | 2 080 090 | 416 018 | 1 337 319 | 146 | 1 337 173 |
| 2038 | 2 127 190 | 2 127 190 | 425 438 | 1 337 085 | 149 | 1 336 935 |
| 2039 | 2 036 873 | 2 036 873 | 407 375 | 1 259 853 | 147 | 1 259 705 |
| 2040 | 2 021 834 | 2 021 834 | 404 367 | 1 231 119 | 147 | 1 230 972 |
| 2041 | 1 927 509 | 1 927 509 | 385 502 | 1 157 858 | 144 | 1 157 714 |
| 2042 | 1 835 321 | 1 835 321 | 367 064 | 1 088 243 | 141 | 1 088 102 |
| 2043 | 1 744 201 | 1 744 201 | 348 840 | 1 021 046 | 138 | 1 020 908 |
| 2044 | 1 654 154 | 1 654 154 | 330 831 | 955 932 | 134 | 955 798 |
| 2045 | 1 543 319 | 1 543 319 | 308 664 | 875 136 | 128 | 875 008 |
| 2046 | 1 477 100 | 1 477 100 | 295 420 | 830 753 | 126 | 830 627 |
| 2047 | 1 444 379 | 1 444 379 | 288 876 | 759 264 | 127 | 759 137 |
| 2048 | 1 349 839 | 1 349 839 | 269 968 | 701 299 | 122 | 701 177 |
| 2049 | 1 266 627 | 1 266 627 | 253 325 | 649 683 | 118 | 649 566 |
| 2050 | 1 184 328 | 1 184 328 | 236 866 | 598 056 | 113 | 597 942 |
| 2051 | 1 143 950 | 1 143 950 | 228 790 | 579 268 | 112 | 579 156 |
| 2052 | 962 244 | 962 244 | 192 449 | 462 197 | 104 | 462 093 |
| 2053 | 891 049 | 891 049 | 178 210 | 416 246 | 100 | 416 146 |
| 2054 | 818 364 | 818 364 | 163 673 | 368 660 | 97 | 368 563 |
| 2055 | 793 408 | 793 408 | 158 682 | 358 800 | 96 | 358 704 |
| 2056 | 630 290 | 630 290 | 126 058 | 250 072 | 89 | 249 983 |
| 2057 | 565 271 | 565 271 | 113 054 | 206 389 | 86 | 206 303 |
| 2058 | 498 242 | 498 242 | 99 648 | 160 822 | 82 | 160 739 |
| 2059 | 486 085 | 486 085 | 97 217 | 158 865 | 82 | 158 783 |
| 2060 | 336 255 | 336 255 | 67 251 | 55 026 | 76 | 54 950 |
| 2061 | 274 401 | 274 401 | 54 880 | 12 087 | 73 70 | 12 013 |
| 2062 2063 | 210 137 209 355 | 210 137 209 355 | 42 027 | 0 | 70 | 0 |
| 2063 | 74 235 | 74 235 | 41 871 14 847 | 0 | 65 | 0 |
| 2064 | 13 224 | 13 224 | 2 645 | 0 | 63 | 0 |
| 2065 | 1 945 | 1 945 | 389 | 0 | 62 | 0 |
| Итого2021-2066 | 54 951 897 | 54 951 897 | 10 990 379 | 37 667 703 | 4 885 | 37 663 150 |
| 2067 | 0 | 0 | 0 | 0 | 62 | 0 |

Продолжение таблицы 4.2.6

| 1 | 2 | 3 | 4 | 5 | 6 | 7 |
|-----------------|------------|------------|------------|------------|-------|---|
| 2068 | 0 | 0 | 0 | 0 | 57 | 0 |
| 2069 | 0 | 0 | 0 | 0 | 56 | 0 |
| 2070 | 0 | 0 | 0 | 0 | 54 | 0 |
| 2071 | 0 | 0 | 0 | 0 | 54 | 0 |
| 2072 | 0 | 0 | 0 | 0 | 50 | 0 |
| 2073 | 0 | 0 | 0 | 0 | 48 | 0 |
| 2074 | 0 | 0 | 0 | 0 | 47 | 0 |
| 2075 | 0 | 0 | 0 | 0 | 45 | 0 |
| 2076 | 0 | 0 | 0 | 0 | 44 | 0 |
| 2077 | 0 | 0 | 0 | 0 | 42 | 0 |
| 2078 | 0 | 0 | 0 | 0 | 41 | 0 |
| 2079 | 0 | 0 | 0 | 0 | 39 | 0 |
| 2080 | 0 | 0 | 0 | 0 | 33 | 0 |
| Итого 2021-2080 | 54 951 897 | 54 951 897 | 10 990 379 | 37 667 703 | 5 557 | 0 |

Таблица 4.2.7 – Расчет потоков денежной наличности в рекомендуемом 3 варианте, тыс.тенге

| 1 4031HQ4 1.2 | | потоков ден | ежной наличн | ости в р | Г | iumre, ibien | l l | |
|--------------------|------------|-------------|--------------|----------|------------|--------------|------------|--------------|
| | Чистая | 77 | Накопленный | | . TT | | J | Срок |
| | прибыль с | поток | поток | ВНП | | тированны | | окупаемости |
| Годы | учетом | денежной | денежной | (IRR) | | | ти (Чистая | (дисконт |
| | всех | наличности | наличности | (1111) | приве, | денная сто | имость) | 12%) |
| | выплат | | | | | | | == , , |
| | | | | | 11,5% | 12,0% | 12,5% | |
| 1 | 2 | 3 | 4 | 5 | 6 | 7 | 8 | 9 |
| 2020 | | -6 450 250 | -6 450 250 | | -6 450 250 | -6 450 250 | -6 450 250 | |
| 2021 | 462 556 | 419 235 | -6 031 015 | 60,9% | 372 888 | 370 611 | 368 052 | 1 |
| 2022 | 530 747 | 500 215 | -5 530 800 | 66,6% | 399 028 | 394 820 | 390 352 | 1 |
| 2023 | 785 727 | -83 041 | -5 613 841 | -4,7% | -59 410 | -58 521 | -57 602 | 1 |
| 2024 | 1 026 140 | 229 124 | -5 384 717 | 11,7% | 147 017 | 144 171 | 141 275 | 1 |
| 2025 | 1 330 633 | -2 268 093 | -7 652 810 | -45,1% | -1 305 216 | -1 274 234 | -1 243 092 | 1 |
| 2026 | 1 877 954 | -301 385 | -7 954 194 | -6,5% | -155 549 | -151 179 | -146 829 | 1 |
| 2027 | 1 925 851 | 2 200 505 | -5 753 689 | 79,9% | 1 018 578 | 985 541 | 952 927 | 1 |
| 2028 | 1 600 198 | 2 290 210 | -3 463 479 | 156,7% | 950 763 | 915 819 | 881 577 | 1 |
| 2029 | 1 423 417 | 2 045 666 | -1 417 813 | 138,0% | 761 652 | 730 384 | 699 950 | 1 |
| 2030 | 1 368 733 | 1 974 202 | 556 390 | 124,7% | 659 233 | 629 347 | 600 442 | 1 |
| 2031 | 1 453 499 | 2 098 975 | 2 655 365 | 118,0% | 628 608 | 597 431 | 567 459 | 1 |
| 2031 | 1 486 759 | 2 152 756 | 4 808 120 | 130,1% | 578 219 | 547 088 | 517 332 | 1 |
| | | | | | | 467 603 | | 1 |
| 2033 | 1 416 536 | 2 060 786 | 6 868 906 | 131,1% | 496 427 | | 440 205 | 1 |
| 2034 | 1 406 636 | 2 044 545 | 8 913 451 | 127,1% | 441 717 | 414 212 | 388 210 | 1 |
| 2035 | 1 381 260 | 2 006 994 | 10 920 445 | 122,9% | 388 883 | 363 040 | 338 737 | 1 |
| 2036 | 1 358 306 | 1 972 495 | 12 892 940 | 119,0% | 342 779 | 318 571 | 295 924 | 1 |
| 2037 | 1 337 173 | 1 940 419 | 14 833 359 | 115,3% | 302 426 | 279 813 | 258 766 | 1 |
| 2038 | 1 336 935 | 1 936 622 | 16 769 981 | 112,6% | 270 703 | 249 344 | 229 564 | 1 |
| 2039 | 1 259 705 | 1 829 118 | 18 599 099 | 107,3% | 229 306 | 210 270 | 192 730 | 1 |
| 2040 | 1 230 972 | 1 787 122 | 20 386 221 | 103,8% | 200 934 | 183 431 | 167 382 | 1 |
| 2041 | 1 157 714 | 1 686 195 | 22 072 416 | 98,7% | 170 032 | 154 528 | 140 381 | |
| 2042 | 1 088 102 | 1 590 797 | 23 663 213 | 93,8% | 143 868 | 130 166 | 117 724 | |
| 2043 | 1 020 908 | 1 499 503 | 25 162 716 | 88,9% | 121 625 | 109 550 | 98 638 | |
| 2044 | 955 798 | 1 411 826 | 26 574 542 | 84,1% | 102 702 | 92 093 | 82 552 | |
| 2045 | 875 008 | 1 309 869 | 27 884 411 | 77,4% | 85 458 | 76 288 | 68 080 | |
| 2046 | 830 627 | 1 245 594 | 29 130 005 | 74,6% | 72 883 | 64 772 | 57 546 | |
| 2047 | 759 137 | 1 155 376 | 30 285 381 | 68,8% | 60 631 | 53 643 | 47 447 | |
| 2048 | 701 177 | 1 079 749 | 31 365 130 | 64,3% | 50 819 | 44 761 | 39 415 | |
| 2049 | 649 566 | 1 013 184 | 32 378 314 | 60,2% | 42 767 | 37 501 | 32 875 | |
| 2050 | 597 942 | 947 349 | 33 325 663 | 56,0% | 35 864 | 31 307 | 27 324 | |
| 2051 | 579 156 | 915 048 | 34 240 711 | 53,7% | 31 068 | 27 000 | 23 460 | |
| 2052 | 462 093 | 769 691 | 35 010 402 | 47,4% | 23 438 | 20 278 | 17 540 | 1 |
| 2053 | 416 146 | 712 739 | 35 723 141 | 43,5% | 19 465 | 16 765 | 14 438 | 1 |
| 2054 | 368 563 | 654 595 | 36 377 736 | 39,6% | 16 033 | 13 748 | 11 787 | |
| 2055 | 358 704 | 634 630 | 37 012 366 | 37,9% | 13 941 | 11 901 | 10 158 | |
| 2056 | 249 983 | 504 143 | 37 516 509 | 31,5% | 9 932 | 8 441 | 7 172 | |
| 2057 | 206 303 | 452 131 | 37 968 641 | 27,9% | 7 989 | 6 759 | 5 718 | |
| | | | | | | | | 1 |
| 2058 | 160 739 | 398 511 | 38 367 152 | 24,3% | 6 315 | 5 319 | 4 480 | |
| 2059 | 158 783 | 388 786 | 38 755 938 | 23,3% | 5 526 | 4 633 | 3 885 | |
| 2060 | 54 950 | 268 928 | 39 024 866 | 16,8% | 3 428 | 2 862 | 2 389 | |
| 2061 | 12 013 | 219 447 | 39 244 313 | 13,5% | 2 509 | 2 085 | 1 733 | |
| 2062 | 0 | 168 039 | 39 412 353 | 10,2% | 1 723 | 1 425 | 1 179 | |
| 2063 | 0 | 167 413 | 39 579 766 | 9,9% | 1 539 | 1 268 | 1 044 | - |
| 2064 | 0 | 59 323 | 39 639 089 | 3,7% | 489 | 401 | 329 | |
| 2065 | 0 | 10 516 | 39 649 605 | 0,6% | 78 | 63 | 52 | ļ |
| 2066 | 0 | 1 494 | 39 651 099 | 0,1% | 10 | 8 | 7 | |
| Итого2021- 2066 | 37 663 150 | 39 651 099 | 39 651 099 | 48,4% | 1 248 867 | 784 876 | 350 464 | 20 |

| продолжение таолины 4.2./ | іолжение табли | пы 4.2.7 |
|---------------------------|----------------|----------|
|---------------------------|----------------|----------|

| 1 | 2 | 3 | 4 | 5 | 6 | 7 | 8 | 9 |
|--------------------|------------|------------|------------|--------|-----------|---------|---------|----|
| 2067 | 0 | -13 671 | 39 637 428 | -0,8% | -81 | -66 | -53 | |
| 2068 | 0 | -148 470 | 39 488 959 | -8,9% | -792 | -638 | -514 | |
| 2069 | 0 | -205 134 | 39 283 824 | -12,0% | -982 | -787 | -631 | |
| 2070 | 0 | -263 912 | 39 019 912 | -14,9% | -1 133 | -904 | -722 | |
| 2071 | 0 | -320 447 | 38 699 465 | -17,6% | -1 233 | -980 | -779 | |
| 2072 | 0 | -410 750 | 38 288 716 | -23,3% | -1 418 | -1 122 | -888 | |
| 2073 | 0 | -473 184 | 37 815 532 | -26,0% | -1 465 | -1 154 | -909 | |
| 2074 | 0 | -538 927 | 37 276 605 | -28,6% | -1 497 | -1 173 | -920 | |
| 2075 | 0 | -606 932 | 36 669 673 | -31,1% | -1 512 | -1 180 | -921 | |
| 2076 | 0 | -677 306 | 35 992 367 | -33,6% | -1 513 | -1 176 | -914 | |
| 2077 | 0 | -743 473 | 35 248 894 | -35,7% | -1 489 | -1 152 | -892 | |
| 2078 | 0 | -818 893 | 34 430 001 | -38,0% | -1 471 | -1 133 | -873 | |
| 2079 | 0 | -896 980 | 33 533 021 | -40,2% | -1 445 | -1 108 | -850 | |
| 2080 | 0 | -1 357 775 | 32 175 245 | -50,5% | -1 962 | -1 498 | -1 144 | |
| Итого 2021-2080 | 37 663 150 | 32 175 245 | 32 175 245 | 29,4% | 1 230 874 | 770 805 | 339 455 | 20 |

Бюджетная эффективность проекта

Анализ бюджетной эффективности инвестиционного проекта показывает влияние результатов осуществляемого проекта на доходы и расходы бюджета Республики Казахстан. В качестве основного показателя доходов государства от реализуемого проекта принимается бюджетный эффект, который выражается в увеличении бюджетных доходов или снижении бюджетных расходов в результате реализации проекта.

Основным документом, регламентирующим расчет бюджетной эффективности является Налоговый кодекс РК. Проектирование налоговых обязательств, которые несет предприятие, осуществлялось по принятым в качестве нормативов ставкам налогов и других обязательных платежей в бюджет. Величина нормативов определена в соответствии с Налоговым кодексом РК, действующим на 01.07.2021 года. Все налоговые обязательства недропользователя рассчитываются и уплачиваются в тенге.

В расчете предусмотрены следующие налоги и платежи:

- НДС, при реализации продукции на внутреннем рынке 12% от облагаемого оборота. Предполагается, что возмещение налога на добавленную стоимость (НДС) из бюджета государства производится за счет всех налогов, уплачиваемых предприятием в бюджет РК;
- налоги и сборы, зависимые от фонда оплаты труда: обязательные выплаты в фонд государственного социального страхования (социальный налог), обязательного медицинского страхования и Пенсионный Фонд, ИПН у источника;
- налог на имущество -1.5% от среднегодовой остаточной стоимости основных фондов (балансовая стоимость с вычетом износа оборудования);

- НДПИ в соответствии с налоговым законодательством выплачивается в зависимости от уровня годовой добычи за каждый отдельный год деятельности по скользящей шкале ставок от стоимости добытых углеводородов, исчисленной по средневзвешенной цене их реализации без учета косвенных налогов;
 - корпоративный подоходный налог 20% от налогооблагаемого дохода.

Налог на сверхприбыль начислен в процентах к размеру, превышающему 25% отношения чистого дохода к вычетам и т.д. Результаты расчета бюджетной эффективности представлены в таблице 4.2.8.

| Таблица 4.2.8 – Расче | т бюджетной эффектив | вности 3 вариант | а разработки, тыс | . тенге | | TOWAR FOOTHER | | | | | |
|-----------------------|----------------------|------------------|----------------------------|-------------------------|------------------------------|--------------------|-----------------|---------------------|------------------|------------------------|------------------|
| | | | | | | ДОХОД ГОСУДАРСТ | ГВА, тыс. тенге | | | | |
| Годы | Социальный налог | ипн | Налог на имущество и на | НДПИ на добычу нефти | Прочие налоги и платежи в | КПН | НСП | Суммарный доход РК | | онтированный доход | • |
| | Социальный налог | ****** | транспорт | и газа | бюджет | KIIII | nen | Суммариви доход 1 к | 11,5% | 12,0% | 12,5% |
| 1 | 2 | 3 | 4 | 5 | 6 | 7 | 8 | 9 | 10 | 11 | 12 |
| 2021 | 6 113 | 5 557 | 102 106 | 5 043 | 406 | 125 989 | 158 | 245 373 | 218 247 | 216 914 | 215 416 |
| 2022 | 7 152 | 6 502 | 103 765 | 5 692 | 426 | 139 702 | 154 | 263 393 | 210 112 | 207 896 | 205 543 |
| 2023 | 9 091 | 8 265 | 111 935 | 7 723 | 482 | 172 363 | 0 | 309 859 | 221 684 | 218 368 | 214 937 |
| 2024 | 10 314 | 9 377 | 126 492 | 9 832 | 544 | 211 412 | 130 | 368 101 | 236 191 | 231 619 | 226 967 |
| 2025 | 13 408 | 12 189 | 162 458 | 12 253 | 620 | 165 635 | 0 | 366 565 | 210 946 | 205 939 | 200 906 |
| 2026 | 16 734 | 15 212 | 211 496 | 18 334 | 803 | 287 575 | 0 | 550 155 | 283 943 | 275 966 | 268 025 |
| 2027 | 18 370 | 16 700 | 235 219 | 20 492 | 878 | 354 048 | 107 | 645 815 | 298 937 | 289 241 | 279 670 |
| 2028 | 19 105 | 17 368 | 233 487 | 18 208 | 825 | 308 347 | 106 | 597 445 | 248 025 | 238 909 | 229 976 |
| 2029 | 19 869 | 18 063 | 224 240 | 16 737 | 794 | 283 870 | 106 | 563 678 | 209 872 | 201 256 | 192 870 |
| 2030 | 20 664 | 18 785 | 216 865 | 16 463 | 798 | 293 951 | 110 | 567 635 | 189 547 | 180 954 | 172 643 |
| 2031 | 21 490 | 19 537 | 210 652 | 17 568 | 846 | 345 434 | 119 | 615 646 | 184 376 | 175 231 | 166 440 |
| 2032 | 22 350 | 20 318 | 203 417 | 18 046 | 875 | 382 434 | 128 | 647 569 | 173 934 | 164 569 | 155 618 |
| 2033 | 23 244 | 21 131 | 194 260 | 17 633 | 875 | 382 811 | 132 | 640 085 | 154 191 | 145 239 | 136 729 |
| 2034 | 24 174 | 21 976 | 184 644 | 17 730 | 893 | 398 615 | 137 | 648 168 | 140 035 | 131 315 | 123 071 |
| 2035 | 25 140 | 22 855 | 175 166 | 17 669 | 906 | 406 111 | 141 | 647 989 | 125 557 | 117 213 | 109 367 |
| 2036 | 26 146 | 23 769 | 165 867 | 17 620 | 919 | 411 838 | 144 | 646 304 | 112 314 | 104 382 | 96 962 |
| 2037 | 27 192 | 24 720 | 156 736 | 17 583 | 934 | 416 018 | 146 | 643 329 | 100 267 | 92 770 | 85 792 76 575 |
| 2038 | 28 280 | 25 709 | 147 714 | 17 747 | 956 | 425 438 | 149 | 645 992 | 90 297 | 83 173 | 76 575 |
| 2039 | 29 411 | 26 737 | 138 946 | 17 155 | 949 | 407 375 | 147 | 620 720 | 77 816 | 71 356 | 65 404 |
| 2040 | 30 587 | 27 807 | 130 504 | 17 031 | 961 | 404 367 | 147 | 611 403 | 68 743 | 62 755 | 57 264 |
| 2041 2042 | 31 811 | 28 919 | 122 370 | 16 477 | 955 | 385 502 | 144 | 586 177 | 59 109 | 53 719 | 48 801 |
| 2042 | 33 083 34 406 | 30 076 31 279 | 114 636 107 276 | 15 957 15 467 | 950 945 | 367 064 348 840 | 141 138 | 561 906 538 351 | 50 817 43 666 | 45 978 39 331 | 41 583 35 413 |
| 2043 | 35 783 | 32 530 | 107 276 | 15 005 | 943 | 330 831 | 134 | 515 489 | 37 499 | 33 625 | 30 141 |
| 2044 | 37 214 | 33 831 | 93 585 | 14 567 | 938 | 308 664 | 128 | 488 927 | 31 898 | 28 476 | 25 412 |
| 2045 | 38 703 | 35 184 | 87 211 | 14 153 | 935 | 295 420 | 126 | 471 732 | 27 602 | 24 530 | 21 794 |
| 2047 | 40 251 | 36 592 | 81 127 | 13 760 | 932 | 288 876 | 127 | 461 664 | 24 227 | 21 435 | 18 959 |
| 2048 | 41 861 | 38 055 | 75 316 | 13 386 | 930 | 269 968 | 122 | 439 638 | 20 692 | 18 225 | 16 048 |
| 2049 | 43 535 | 39 577 | 69 749 | 13 087 | 931 | 253 325 | 118 | 420 324 | 17 742 | 15 558 | 13 638 |
| 2050 | 45 277 | 41 161 | 64 402 | 12 802 | 933 | 236 866 | 113 | 401 553 | 15 202 | 13 270 | 11 582 |
| 2051 | 44 609 | 40 554 | 59 534 | 12 529 | 935 | 228 790 | 112 | 387 063 | 13 142 | 11 421 | 9 923 |
| 2052 | 46 394 | 42 176 | 54 980 | 11 624 | 903 | 192 449 | 104 | 348 629 | 10 616 | 9 185 | 7 945 |
| 2053 | 48 249 | 43 863 | 50 448 | 11 409 | 906 | 178 210 | 100 | 333 186 | 9 099 | 7 837 | 6 749 |
| 2054 | 50 179 | 45 618 | 46 079 | 11 201 | 910 | 163 673 | 97 | 317 756 | 7 783 | 6 674 | 5 722 |
| 2055 | 49 287 | 44 807 | 42 182 | 11 002 | 914 | 158 682 | 96 | 306 970 | 6 743 | 5 756 | 4 913 |
| 2056 | 51 259 | 46 599 | 38 525 | 10 214 | 884 | 126 058 | 89 | 273 627 | 5 391 | 4 581 | 3 893 |
| 2057 | 53 309 | 48 463 | 34 775 | 10 059 | 889 | 113 054 | 86 | 260 634 | 4 605 | 3 896 | 3 296 |
| 2058 | 55 442 | 50 401 | 31 148 | 9 908 | 894 | 99 648 | 82 | 247 524 | 3 923 | 3 304 | 2 782 |
| 2059 | 54 268 | 49 334 | 28 012 | 9 762 | 900 | 97 217 | 82 | 239 575 | 3 405 | 2 855 | 2 394 |
| 2060 | 56 438 | 51 308 | 25 054 | 9 063 | 870 | 67 251 | 76 | 210 060 | 2 678 | 2 235 | 1 866 |
| 2061 | 58 696 | 53 360 | 21 893 | 8 950 | 877 | 54 880 | 73 | 198 730 | 2 272 | 1 888 | 1 569 |
| 2062 | 61 044 | 55 494 | 18 830 | 8 841 | 884 | 42 027 | 70 | 187 190 | 1 919 | 1 588 | 1 314 |
| 2063 | 59 518 | 54 107 | 16 297 | 8 734 | 892 | 41 871 | 71 | 181 489 | 1 669 | 1 375 | 1 132 |
| 2064 | 61 898 | 56 271 | 13 872 | 8 138 | 865 | 14 847 | 65 | 155 957 | 1 286 | 1 055 | 865 |
| 2065 | 64 374 | 58 522 | 11 116 | 8 057 | 873 | 2 645 | 63 | 145 650 | 1 077 | 879 | 718 |
| 2066 | 66 949 | 60 863 | 8 445 | 7 977 | 881 | 389 | 62 | 145 567 | 966 | 785 | 638 |
| Итого2021-2066 | 1 662 670 | 1 511 518 | 4 853 095 | 608 689 | 39 358 | 10 990 379 | 4 885 | 19 670 593 | 3 960 061 | 3 774 523 | 3 599 265 |
| 2067 | 64 985 | 59 078 | 6 360 | 7 936 | 1 050 | 0 | 62 | 139 472 | 830 | 671 | 543 |
| 2068 | 67 585 | 61 441 | 4 230 | 7 348 | 1 081 | 0 | 57 | 141 742 | 756 | 609 | 491 |
| 2069 | 70 288 | 63 898 | 1 435 | 7 324 | 1 113 | 0 | 56 | 144 113 | 690 | 553 | 443 |
| 2070 | 73 100 | 66 454 | 0 | 7 299 | 1 145 | 0 | 54 | 148 051 | 635 | 507 | 405 |

Продолжение таблицы 4.2.8

| 1 | 2 | 3 | 4 | 5 | 6 | 7 | 8 | 9 | 10 | 11 | 12 |
|-----------------|-----------|-----------|-----------|---------|--------|------------|-------|------------|-----------|-----------|-----------|
| 2071 | 70 593 | 64 176 | 596 | 7 273 | 1 116 | 0 | 54 | 143 809 | 554 | 440 | 350 |
| 2072 | 73 417 | 66 743 | 1 494 | 6 744 | 1 149 | 0 | 50 | 149 598 | 516 | 409 | 323 |
| 2073 | 76 354 | 69 413 | 2 096 | 6 731 | 1 184 | 0 | 48 | 155 825 | 482 | 380 | 299 |
| 2074 | 79 408 | 72 189 | 2 691 | 6 717 | 1 219 | 0 | 47 | 162 271 | 451 | 353 | 277 |
| 2075 | 82 584 | 75 077 | 3 278 | 6 702 | 1 256 | 0 | 45 | 168 943 | 421 | 328 | 256 |
| 2076 | 85 888 | 78 080 | 3 857 | 6 688 | 1 295 | 0 | 44 | 175 851 | 393 | 305 | 237 |
| 2077 | 89 323 | 81 203 | 4 428 | 0 | 1 335 | 0 | 42 | 176 331 | 353 | 273 | 211 |
| 2078 | 92 896 | 84 451 | 4 990 | 0 | 1 377 | 0 | 41 | 183 755 | 330 | 254 | 196 |
| 2079 | 96 612 | 87 829 | 5 543 | 0 | 1 421 | 0 | 39 | 191 444 | 308 | 237 | 181 |
| 2080 | 100 476 | 91 342 | 6 089 | 0 | 1 466 | 0 | 33 | 199 406 | 287 | 219 | 167 |
| Итого 2021-2080 | 2 786 179 | 2 532 890 | 4 900 182 | 679 451 | 56 566 | 10 990 379 | 5 557 | 21 951 203 | 3 967 067 | 3 780 062 | 3 603 646 |

4.3 Анализ расчетных коэффициентов извлечения газа и конденсата

Полученные значения расчетных коэффициентов извлечения газа КИГ из недр по объектам разработки месторождения Айракты для основных вариантов разработки и их сопоставление с утверждёнными в ГКЗ РК по состоянию на 01.07.2021 г., приведены в таблице 4.3.1.

Таблица 4.3.1 – Сопоставление утвержденных и расчетных коэффициентов извлечения газа и конденсата

| Объект эксплуатцаии | Категория | КИГ, утвержденный в ГКЗ РК | КИК, утвержденный в ГКЗ РК | Барианты | Коэффициенты извлечения газа, д.ед. | Коэффициенты извлечения конденсата, д.ед |
|--------------------------|-----------|----------------------------------|----------------------------------|----------|---|---|
| I | C_1 | 0,506 | 0,490 | 1 | 0,108 | 0,032 |
| II | C_1 | 0,263 | 0,266 | 1 | 0,193 | 0,055 |
| I | C_1 | 0,506 | 0,490 | 2 | 0,377 | 0,108 |
| II | C_1 | 0,263 | 0,266 | 2 | 0,285 | 0,081 |
| I | C_1 | 0,506 | 0,490 | 3 | 0,506 | 0,144 |
| II | C_1 | 0,263 | 0,266 | 3 | 0,263 | 0,075 |
| По месторождению в целом | | 0,487 | 0,473 | | 0,487 | 0,139 |

Как видно из таблицы, по I объекту разработки месторождения Айракты КИГ в базовом 1 варианте при общем количестве добывающих скважин — 9 единиц, составляет 0,108 д.ед. Бурение дополнительного количества добывающих скважин — 2 ед., при общем их количестве — 11 единиц во 2 варианте дает коэффициент газоотдачи — 0,377 д.ед. КИГ в 3 варианте при бурении дополнительного количества добывающих скважин — 9 ед. и при общем количестве добывающих скважин — 18 единиц, составляет 0,506 д.ед.

По II объекту по вариантам 1, 2, 3 при разных рентабельных годах КИГ составил 0,193 д.ед., 0,285 д.ед., 0,263 д.ед., соответственно.

Согласно проведенным технико-экономических расчетов рентабельные сроки разработки по вариантам составили, соответственно: 32, 51 и 46 лет.

Как видно из представленной таблицы 4.3.1, по третьему варианту разработки достигается рентабельный КИГ, соответсвующий утвержденному в ГКЗ РК.

5 ТЕХНИКО-ЭКОНОМИЧЕСКИЙ АНАЛИЗ ПРОЕКТНЫХ РЕШЕНИЙ

5.1 Технико-экономический анализ вариантов разработки, обоснование выбора рекомендуемого к утверждению варианта

По данному проекту были рассмотрены технико-экономические показатели 3 вариантов разработки месторождения Айракты.

По 1 варианту разработки месторождения рентабельный период составит 32 года и не предполагает бурение новых скважин. Суммарные поступления за весь рентабельный период составляет 23 341,7 млн.тенге, будет добыто 504,3 млн.м³ газа и 5,1 тыс тн конденсата. Средняя себестоимость 1000 м³ газа – 34 655,1 тенге. Накопленный денежный поток наличных – -717,1 млн.тенге. NPV (Чистая приведенная стоимость) при ставке дисконта 12,0% за рентабельный период составляет – -4 104,1 млн.тенге. Внутренняя норма доходности (IRR) составляет -4,0 %.

По 2 варианту разработки рентабельный период составляет 51 год, суммарные поступления которого составят 95 731,2 млн.тенге. За этот период будет добыто 1 880,8 млн.м³ газа и 19,0 тыс тн конденсата. Капитальные вложения составят 3 859,4 млн.тенге, предполагается бурение 1 вертикальной и 1 горизонтальной добывающей скважины. Средняя себестоимость 1000 м³ газа- 29 033,8 тенге. Накопленный денежный поток наличных –30 135,3 млн.тенге. NPV (Чистая приведенная стоимость) при ставке дисконта 12,0% за рентабельный период составляет – 772,7 млн.тенге. Внутренняя норма доходности (IRR) составляет 47,2 %. Данный вариант имеет положительные экономические показатели.

Вариант 3 в сравнении с рассмотренными первым и вторым вариантами разработки месторождения Айракты имеет наиболее привлекательные экономические показатели. Рентабельный период составляет 46 лет, суммарные поступления которого составят 125 409,5 млн.тенге. За этот период будет добыто 2 512,4 млн. м³ газа и 25,4 тыс.тг конденсата. Капитальные вложения составят 11 853,2 млн.тенге, предполагается бурение 8 вертикальных и 1 горизонтальной новой добывающей скважины. Средняя себестоимость 1000м3 газа – 30 761,1 тенге. Накопленный денежный поток наличных – 39 651,1 млн.тенге. NPV (Чистая приведенная стоимость) при ставке дисконта 12,0% за рентабельный период составляет – 784,9 млн.тенге. Внутренняя норма доходности (IRR) составляет 48,4 %.

Таким образом, вариант 3 с точки зрения экономического анализа и сравнения основных показателей обеспечивает наибольшую экономическую выгоду. В связи с этим данный вариант рекомендован к реализации. Результаты расчетов технико-экономических показателей по вариантам разработки представлены в таблице 5.1.1



Таблица 5.1.1 – Технико-экономические показатели основных вариантов разработки месторождения

| | | Вари | ант 1 | Вари | іант 2 | Варі | лант 3 |
|----|---|-----------|------------|-----------|------------|-----------|------------|
| № | Наименование показателей | Расчетный | Прибыльный | Расчетный | Прибыльный | Расчетный | Прибыльный |
| 1 | Период расчета, годы | 2021-2080 | 2021-2052 | 2021-2080 | 2021-2071 | 2021-2080 | 2021-2066 |
| 2 | Ввод добывающих скважин, шт. | 0 | 0 | 2 | 2 | 9 | 9 |
| 3 | Расконсервация скважин, шт. | 2 | 2 | 2 | 2 | 2 | 2 |
| 4 | Общий фонд скважин (добывающие), шт. | 10 | 10 | 12 | 12 | 19 | 19 |
| 5 | Добыча сырого газа, млн.м ³ | 734,3 | 504,3 | 1 986,5 | 1 880,8 | 2 760,7 | 2 512,4 |
| 6 | Добыча конденсата, тыс.тн. | 7,4 | 5,1 | 20,1 | 19,0 | 27,9 | 25,4 |
| 7 | Суммарная продажа сырого газа, млн.м3 | 731,3 | 502,3 | 1 978,6 | 1 873,3 | 2 749,7 | 2 502,3 |
| 8 | Суммарная продажа конденсата, тыс.тн. | 7,4 | 5,1 | 20,1 | 19,0 | 27,9 | 25,4 |
| 9 | Суммарная выручка от реализации товарной продукции, млн.тенге | 39 748,3 | 23 341,7 | 104 635,9 | 95 731,2 | 145 471,8 | 125 409,5 |
| 10 | Эксплуатационные затраты, млн.тенге | 40 177,0 | 17 477,1 | 65 160,0 | 54 607,7 | 104 579,0 | 77 282,9 |
| 11 | Удельные эксплуатационные затраты на 1000/м3(с учетом амортизации), тенге | 54 716,6 | 34 655,1 | 32 800,7 | 29 033,8 | 37 881,1 | 30 761,1 |
| 12 | Капитальные вложения (без НДС), млн.тенге | 616,1 | 318,7 | 3 859,4 | 3 859,4 | 12 000,6 | 11 853,2 |
| 13 | Удельные капитальные вложения, тенге | 839,1 | 631,9 | 1 942,8 | 2 052,0 | 4 346,9 | 4 718,0 |
| 14 | Налогооблагаемая балансовая прибыль, млн.тенге | 6 928,7 | 6 928,7 | 45 094,6 | 45 094,6 | 54 951,9 | 54 951,9 |
| 15 | Корпоративный подоходный налог, млн.тенге | 1 385,7 | 1 385,7 | 9 018,9 | 9 018,9 | 10 990,4 | 10 990,4 |
| 16 | Налог на сверхприбыль, млн.тенге | 4,2 | 2,9 | 6,4 | 5,9 | 5,6 | 4,9 |
| 17 | Чистая приведенная стоимость (NPV) при ставке 12 %, млн. тенге | -4 129,9 | -4 104,1 | 770,1 | 772,7 | 770,8 | 784,9 |
| 18 | Внутренняя норма прибыли (ВНП или IRR), % | -16,7% | -4,0% | 37,4% | 47,2% | 29,4% | 48,4% |
| 19 | Срок окупаемости, лет | 32 | 32 | 7 | 7 | 9 | 9 |
| 20 | Дисконтированный срок окупаемости, лет | 32 | 32 | 17 | 17 | 20 | 20 |
| 21 | Накопленный денежный поток чистой прибыли, млн.тенге | -6 622,0 | -717,1 | 28 499,1 | 30 135,3 | 32 175,2 | 39 651,1 |
| 22 | Суммарные выплаты Государству в виде налогов, млн.тенге | 8 522,7 | 5 442,4 | 16 696,0 | 15 970,5 | 21 951,2 | 19 670,6 |
| 23 | Чистый дисконтированный доход Государству (NPV) при ставке 12%, млн.тенге | 1 591,3 | 1 563,5 | 3 207,3 | 3 206,0 | 3 780,1 | 3 774,5 |
| 24 | коэффициент газоотдачи, дол.ед | 0,157 | 0,115 | 0,390 | 0,370 | 0,533 | 0,487 |

6 ТЕХНИКА И ТЕХНОЛОГИЯ ДОБЫЧИ ГАЗА И КОНДЕНСАТА

6.1 Обоснование выбора устьевого и внутрискважинного оборудования.

Характеристика показателей эксплуатации скважин

На месторождении Айракты на дату составления Проекта фонд скважин составляет 8 единиц, все находятся в действующем фонде.

По состоянию на 01.07.2021 г. на штуцере диаметром 7 мм работают скважины 1Г и 6Г со средним дебитом газа 17 и 15 тыс.м³/сут соответственно.

С использованием 8 мм штуцера работает скважина 104, 106 с дебитом газа 63 и 4,5 тыс. ${\rm M}^3/{\rm cyt}$.

С использованием 12 мм штуцера работает скважина 105 с дебитом газа 6,3 тыс. m^3 /сут.

Без штуцера работают скважины 101, 102, 103 со средним дебитом газа 5,2, 6,6 и 15,0 тыс.м³/сут соответственно.

Выбор техники и технологии добычи газа основан на условиях эксплуатации скважин, которые определяются исходя из геолого-промысловой характеристики продуктивных пластов, физико-химических свойств пластовых флюидов и заданных проектных условий разработки месторождения.

Коллекторы месторождения Айракты представлены переслаиванием пластов песчаников, алевролитов и аргиллитов. В основании разреза встречаются прослои углей и углистых аргиллитов. Песчаники серые, бурые, мелко — среднезернистые, кварцполевошпатовые, на глинистом и слабокарбонатном цементе. Аргиллиты и алевролиты темно-серые, слабоизвестковистые, окремненные, пиритизированные. Природный флюид характеризуется содержанием углекислого газа (СО₂) 0,25% и азота до 11,95%. В условиях добычи газ считается водонасыщенным.

Показатели эксплуатации скважин на проектируемый период приведены в таблице 6.1.1.

Табл. 6.1.1 – Показатели эксплуатации скважин

| Помоложови | Годы разработки | | | | | | | | | |
|--------------------------------------|-----------------|-------|-------|-------|-------|-------|-------|-------|-------|-------|
| Показатели | 2022 | 2023 | 2024 | 2025 | 2026 | 2027 | 2028 | 2029 | 2030 | 2031 |
| Ввод скважин | 1 | 2 | 1 | 3 | 3 | 1 | ı | ı | - | - |
| Фонд добывающих.скважин | 9 | 11 | 12 | 15 | 18 | 19 | 19 | 19 | 19 | 19 |
| Дебит газа, тыс.м ³ /сут, | 9,9 | 11,4 | 12,7 | 13,4 | 16,4 | 16,2 | 13,8 | 12,5 | 12,1 | 12,7 |
| Дебит конденсата, т/сут | 0,100 | 0,115 | 0,128 | 0,135 | 0,166 | 0,163 | 0,140 | 0,126 | 0,122 | 0,129 |



Обоснование устьевых и забойных давлений, выбор режимов эксплуатации скважин. Обоснование выбора подъёмного лифта

Учитывая, что проектируемые забойные давления гораздо ниже давления конденсации газа (давление конденсации близко к пластовому давлению), в скважине будут создаваться условия движения двухфазного потока. При выпадении из потока конденсата возможны осложнения при добыче, связанные с накоплением его на забое, что может привести к снижению дебита газа. Для выявления осложнений такого рода и разработки мероприятий по их предупреждению и устранению, в условиях разработки данного месторождения, необходимо рассмотреть характер и условия выпадения и возможного накопления конденсата на забое.

Для расчёта критической скорости выноса жидкости с забоя можно использовать формулу, выведенную на основе статистической обработки экспериментальных данных с учётом промысловых исследований [18].

$$V_{\rm kp} = 10 * (45 - 0.0455 * P_{\rm 3a6})^{1/4} * P_{\rm 3a6}^{-1/2}$$

где Рзаб – забойное давление (атм).

По рекомендуемому к реализации 3 варианту, скважины I объекта в период с 2021-2025 гг. должны эксплуатироваться при среднем значении забойного давления на 4,8 МПа, далее в период 2026-2030 гг. – при постоянном значении Рзаб= 3,7 МПа. Скорость газового потока необходимая для выноса конденсата с забоя, с учётом коэффициента запаса 1.2, при Рзаб = 4,8 МПа на I объекте составляет 3,69 м/с, при Рзаб = 3,7 МПа составляет 4,22 м/с.

По рекомендуемому к реализации 3 варианту, скважины II объекта в период с 2022-2026 гг. должны эксплуатироваться при среднем значении забойного давления на 4,4 МПа, далее в период с 2027 г. и до конца проектируемого периода — при постоянном значении Рзаб= 3,6 МПа. Скорость газового потока необходимая для выноса конденсата с забоя, с учётом коэффициента запаса 1.2, при Рзаб = 4,4 МПа на II объекте составляет 3,86 м/с, при Рзаб = 3,6 МПа составляет 4,28 м/с.

Поскольку газ в газовой залежи находится под давлением (Рпл = 17,9 МПа I объект и 11,4 МПа II объект), то при вскрытии пласта он способен фонтанировать с большой скоростью. Таким образом, добыча газа и конденсата на месторождении будет производиться фонтанным способом, обусловленным запасом пластовой энергии и режимом разработки залежи. Правильность эксплуатации и обеспечение длительного и бесперебойного фонтанирования скважин заключается в том, чтобы обеспечить оптимальный дебит при возможно меньших гидравлических и технологических потерях.



Для создания таких условий фонтанирования необходимо выбрать и обосновать фонтанный подъёмник (компоновку лифта) и согласовать работу пласта и подъёмника, учитывая проектные параметры (Qг, Ру, Рзаб, А, В), а также подобрать соответствующее наземное и подземное оборудование.

Решение задачи по определению и установлению оптимального режима работы скважин, а также выбор необходимого оборудования для его обеспечения связаны с проведением гидродинамических расчётов движения газожидкостного потока в подъёмных трубах с условием минимальных потерь давления в стволе скважины при заданном дебите.

Кроме того, выбор оборудования и режима работы скважин, для данного месторождения, проводится с учётом выноса с забоя скважины твёрдых и жидких частиц и возможной минимизации скоростного эрозионного потока.

На рисунке 6.1.1-6.1.4 приведены графики зависимости скорости потока от дебита газа для забойных (вынос твёрдых и жидких частиц) условий в НКТ диаметром 60,3 мм, 73 и 89 мм.

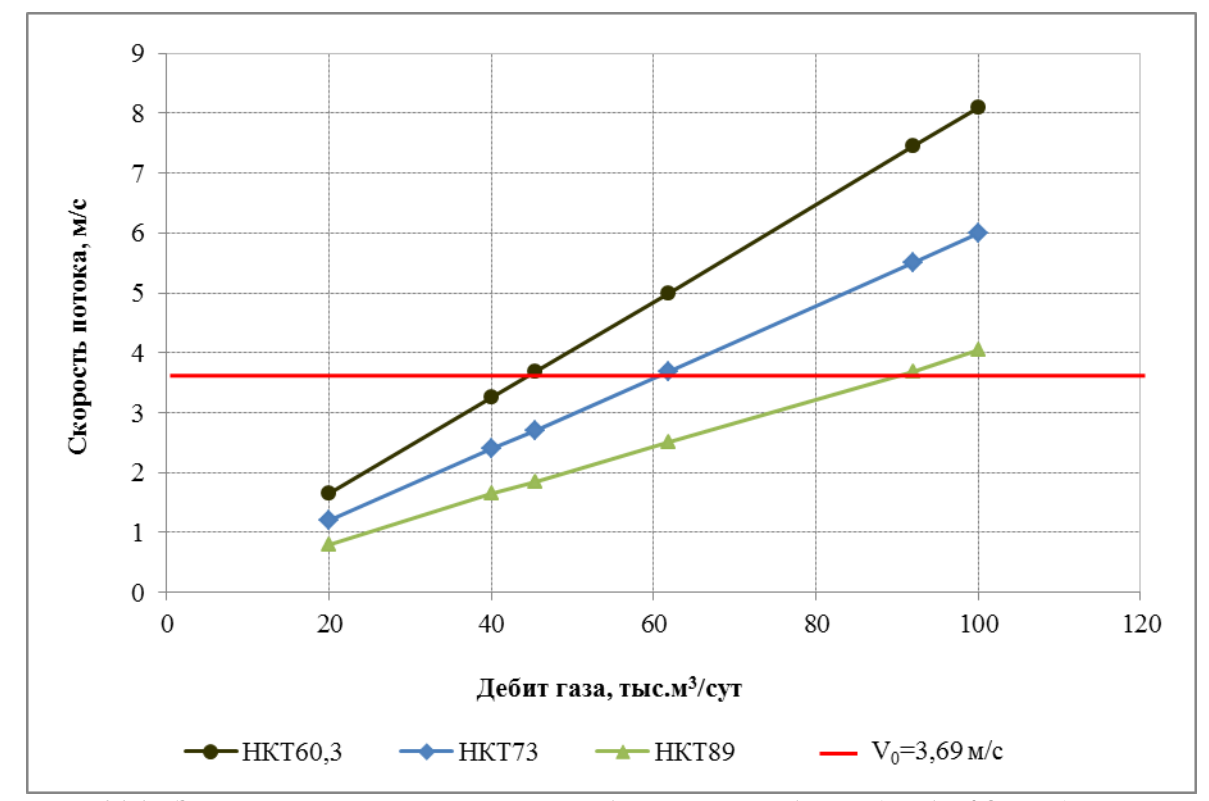


Рисунок 6.1.1 – Зависимость скорости потока от дебита газа на І объекте (Рзаб = 4,8 МПа)

Как видно из графика на рисунке 6.1.1, на I объекте при забойном давлении 4,8 МПа жидкость (конденсат) с забоя скважин в подъёмниках с наружным диаметром 60,3 мм, 73 мм и 89 мм будет полностью выноситься при дебитах более 45,4 тыс. м3/сут, 61,9 тыс. м3/сут и 92,0 тыс. м3/сут, соответственно.



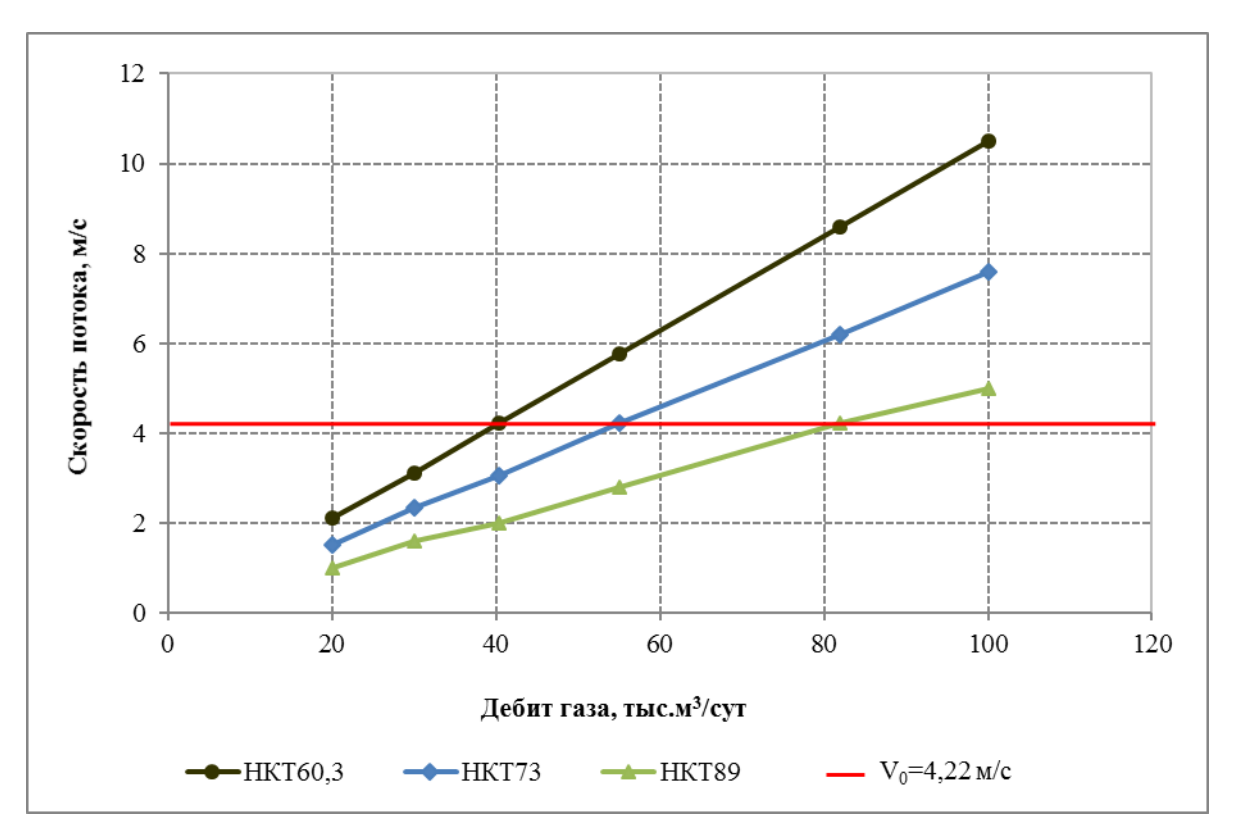


Рисунок 6.1.2 – Зависимость скорости потока от дебита газа на I объекте (Рзаб = 3,7 МПа)

Как видно из графика на рисунке 6.1.2, на I объекте при забойном давлении 3,7 МПа жидкость (конденсат) с забоя скважин в подъёмниках с наружным диаметром 60,3 мм, 73 мм и 89 мм будет полностью выноситься при дебитах более 40,4 тыс. м³/сут, 55,1 тыс. м³/сут и 81,9 тыс. м³/сут, соответственно.

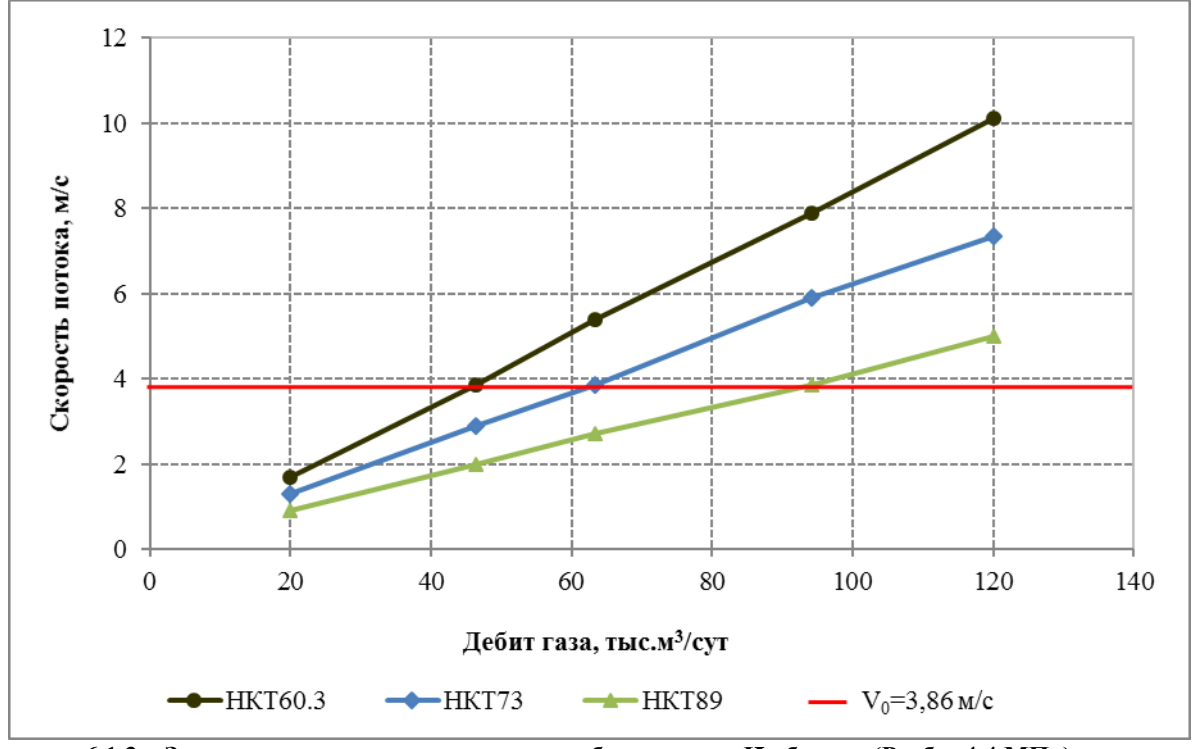


Рисунок 6.1.3 – Зависимость скорости потока от дебита газа на II объекте (Рзаб = 4,4 МПа)



Как видно из графика на рисунке 6.1.3, на II объекте при забойном давлении 4,4 МПа жидкость (конденсат) с забоя скважин в подъёмниках с наружным диаметром 60,3 мм, 73 мм и 89 мм будет полностью выноситься при дебитах более 46,4 тыс. м3/сут, 63,3 тыс. м3/сут и 94,2 тыс. м3/сут, соответственно.

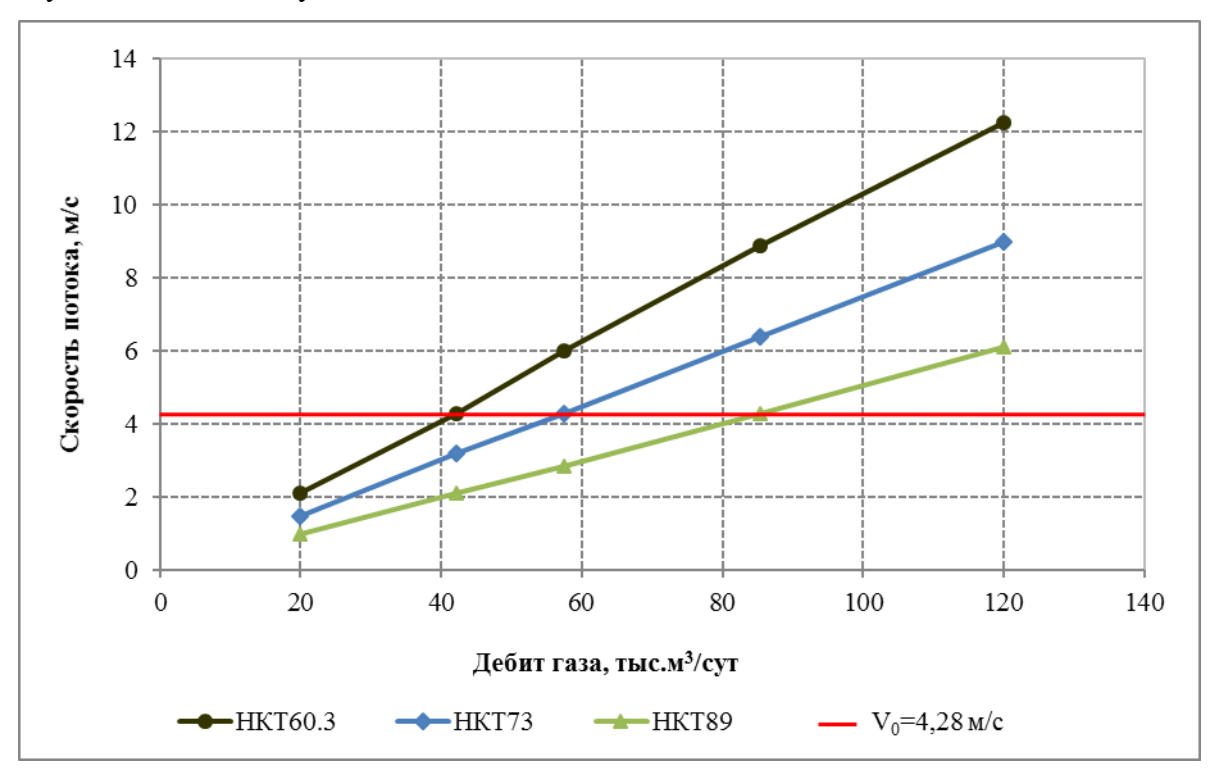


Рисунок 6.1.4 – Зависимость скорости потока от дебита газа на II объекте (Рзаб = 3,6 МПа)

Как видно из графика на рисунке 6.1.3, на II объекте при забойном давлении 3,6 МПа жидкость (конденсат) с забоя скважин в подъёмниках с наружным диаметром 60,3 мм, 73 мм и 89 мм будет полностью выноситься при дебитах более 42,1 тыс. м3/сут, 57,4 тыс. м3/сут и 85,3 тыс. м3/сут, соответственно.

Поскольку в НКТ с наружным диаметром 60,3 мм создаются более выгодные условия выноса жидкости с забоя (при более низких дебитах) следует считать его обоснованным по забойным условиям работы подъёмника.

В таблице 6.1.1 приведена предлагаемая компоновка фонтанного лифта с указанием толщины стенок и глубины спуска НКТ.

Таблица 6.1.1 - Компоновка колонны насосно-компрессорных труб

| Наружный диаметр эксплуатационной колонны, мм | Наружный диаметр лифтовой колонны, мм | Толщина стенки НКТ, мм | Глубина спуска НКТ, м | |
|---|--|---------------------------|--------------------------|--|
| | | | На 5 -10 м выше | |
| 168,3 | 60,3 | 5 | интервала | |
| | | | перфорации | |

Выбор одноступенчатой компоновки лифтовой колонны, её размеры и глубина спуска основаны на том, что она обеспечивает:

максимальную отдачу скважины;



- установку в скважине подземного оборудования, обеспечивающего эффективную и безопасную эксплуатацию скважины (пакер);
 - проведение необходимых исследовательских и ремонтных работ;
- проведение в скважинах геолого-технических мероприятий (промывки, физико-химической обработки пласта и НКТ;
- достаточную сопротивляемость всем нагрузкам, возникающим в ходе различных операций, которые могут проводиться в течение всего срока службы скважины.

Глубина спуска насосно-компрессорных труб до интервала перфорации обусловлена тем, что при спуске над интервалом (на разную величину) возможна потеря дебита, поскольку увеличивается на этом участке трение на скольжение и уменьшается скорость потока, особенно в скважинах с невысокими дебитами. При спуске НКТ, перекрывая интервал перфорации, увеличивается возможность повреждения башмака колонны за счёт прямого воздействия мехпримесей, поступающих из пласта с флюидом (за счёт эрозии скоростного потока). Кроме того, не возникает опасность прихвата башмака колонны НКТ на забое.

На месторождении целесообразно применять для фонтанного подъёмника трубы марки «Д» по ГОСТ 633-80 гладкие с высаженными концами, рассчитанные по пределу текучести для равнопрочной одноступенчатой колонны по допустимой глубине спуска (3564 м). При расчёте учитывались дополнительные нагрузки при установке пакера и освоении скважины. Расчёт на прочность и предельная глубина спуска одноступенчатой колонны, составленной из труб одинаковой прочности при максимальных толщинах стенки, проведён с коэффициентом запаса прочности на растяжение 1.373. По стандарту АРІ этой марке, соответствуют трубы С-75, с учётом величины растягивающих нагрузок, при которых напряжение в теле достигает предела текучести.

Обоснование выбора устьевого и внутрискважинного оборудования

Устьевое оборудование

Условиям рекомендуемого варианта Проекта и условиям эксплуатации месторождения отвечает фонтанная арматура крестового типа на рабочее давление 35 МПа, с условным проходом стволовой части ёлки — 80 мм и боковых отводов 65 мм, с ручным и автоматическим способом управления запорными устройствами (АФ6А — 80х65х35 по ГОСТ 13846-84 или соответствующая ей по классификации АНИ). Боковые выкиды арматуры оборудуются штуцеродержателями для установки щтуцеров и фонтанными клапанами или дроссельными устройствами. Компоновка устья скважины должна включать также следующее оборудование:



- панели управления (для автоматического закрытия задвижек центральной и отводящих линий), с обеспечением возможности эксплуатации при низких температурах;
- систему нагнетания химреагентов в скважину, на случай применения антикоррозионной защиты внутренней поверхности НКТ и борьбы с гидратообразованием.

В настоящее время для герметизации устьев скважин и направления продукции в систему сбора, скважины оборудованы фонтанными арматурами Российского производства (АФК6-65-35), рассчитанными на рабочее давление 35 МПа. Скважины 1Г и 6Г оборудованы колонными головками ООК2-324х244х146.

Внутрискважинное оборудование

Условия эксплуатации газоконденсатного месторождения (глубина залегания продуктивных объектов, характеристика пород коллектора) определяют выбор подземного оборудования.

Потенциальная опасность, связанная с содержанием CO₂, требует установки скважинной системы безопасности. К этой системе относится клапан–отсекатель и пакер.

Клапан—отсекатель и пакер должны удовлетворять следующим требованиям: быть съёмными, выполненными на рабочее давление не менее 14 МПа; посадочный ниппель клапана-отсекателя и уплотнительные манжеты пакера должны устанавливаться в эксплуатационной колонне на лифтовых трубах. Диаметр внутреннего проходного канала клапана—отсекателя и пакера должен позволять выполнение работ по интенсификации с помощью гибких труб, геофизических исследований и других технологических операций. Выбор клапана—отсекателя основан на том, что он должен эффективно действовать при возникновении аварийных ситуаций, связанных с повышением давления в выкидных линиях, возникновением пожара, уничтожением фонтанной арматуры и др.

Клапаны—отсекатели могут устанавливаться на глубине до 50 м от устья, для более удобного их обслуживания и управления ими.

Всё оборудование, спускаемое в скважину должно изготавливаться из материала согласно AISI, в соответствии с условиями работы в агрессивной среде.

В настоящее время все скважины оборудованы лифтовой колонной диаметром 73 мм. Лифтовые колонны в скважинах спущены выше верхних отверстий интервала перфорации.

Для наилучшего использования пластовой энергии и продления режима фонтанирования все добывающие скважины оборудованы пакерами ПРО-ЯМ2-ЯГ1-(М)-118. В результате чего исключаются потери скорости, что способствует выносу жидкости с забоя, предупреждаются межколонные перетоки при негерметичности колонн и муфтовых



соединений выше интервала перфорации и осуществляется защита внутренней части эксплуатационной колонны и наружной НКТ от воздействия агрессивных компонентов.

Целесообразность установки защитного оборудования (клапан-отсекатель, пакер), определяет Недропользователь, в том числе и при получении новых данных по компонентному составу газа.

Учитывая, что при эксплуатации скважин данного месторождения могут возникнуть осложнения, связанные с накоплением жидкости на забое, особенно в скважинах с низкой продуктивностью, необходимо предусмотреть мероприятия по минимизации этих осложнений.

Для удаления жидкости, скапливающейся на забое газовых скважин, имеются различные методы, которые могут быть опробованы с целью определения самого эффективного для условий месторождения Айракты. Методы удаления жидкости с забоев газовых скважин подразделяются на: механические (плунжерный лифт, различные модификации газлифта, автоматизированные продувки, диспергаторы и др.) и физико-химические (пенообразующие реагенты). Жидкость с забоя скважин может удаляться непрерывно и периодически. Выбор метода удаления жидкости обусловлен, геологопромысловой характеристикой месторождения, конструкцией скважин, количеством и причинами поступления жидкости из пласта в скважину.

6.2 Мероприятия по предупреждению и борьбе с осложнениями при эксплуатации скважин и промысловых объектов

Гидратообразование

В процессе разработки газовых и газоконденсатных месторождений могут возникнуть осложнения, связанные с образованием гидратов, как на устье скважин, так и в выкидных линиях сборной системы. Образование кристаллогидратов происходит при определенной температуре и давлении, при наличии воды и газа, содержащего гидратообразующие компоненты. Основными гидратообразующими компонентами, входящими в состав газа месторождения Айракты, являются: метан, этан, углекислый газ и азот (раздел 2).

С целью определения условий гидратообразования в стволе и на устье скважин нами применены расчетные методы, позволяющие с достаточной степенью точности прогнозировать образование гидратов в зависимости от изменения термодинамических условий в процессе эксплуатации скважин.

При проведении расчетов использованы универсальные эмпирические уравнения В. Г. Пономарева [19] для природных газов с учетом их состава.



Эти уравнения имеют следующий вид:

$$t_p = 18.47 * lgP_y - B$$
,

где: t_P - равновесная температура гидратообразования, ${}^0{\rm C}$;

 $P_{\scriptscriptstyle V}\,$ - устьевое давление, МПа;

B - коэффициент, зависящий от приведённой плотности, взят из табличного материала [19].

Приведённая плотность $\rho_{\scriptscriptstyle \Gamma}'$ определяется по формуле

$$\rho_{\Gamma}' = \frac{\sum y_i' * \rho_i}{\sum y_i'},$$

где: y_i' , ρ_i - мольная доля и относительная плотность гидратообразующих компонентов газа, соответственно.

Для рассчитанного состава газа и технологических характеристик работы скважин на рисунке 6.2.1 представлены равновесные параметры гидратообразования. Согласно рисунку, работа скважин в гидратном режиме будет осуществляться ниже кривой равновесия в присутствии свободной влаги.

К методам по предупреждению образования гидратов относятся: ввод ингибиторов в поток газа, осушка газа от паров воды, поддержание температуры газа выше температуры гидратообразования, поддержание давления ниже давления образования гидратов. Таким образом, устраняя какое — либо из основных условий существования гидратов: высокое давление, низкую температуру или свободную влагу, можно предупредить гидратообразование.

Существующие методы по ликвидации образовавшихся гидратов можно разделить на три группы:

- - понижение давления ниже давления разложения;
- - подогрев газа до температуры, превышающей температуру разложения;
- - ввод ингибиторов в поток газа.



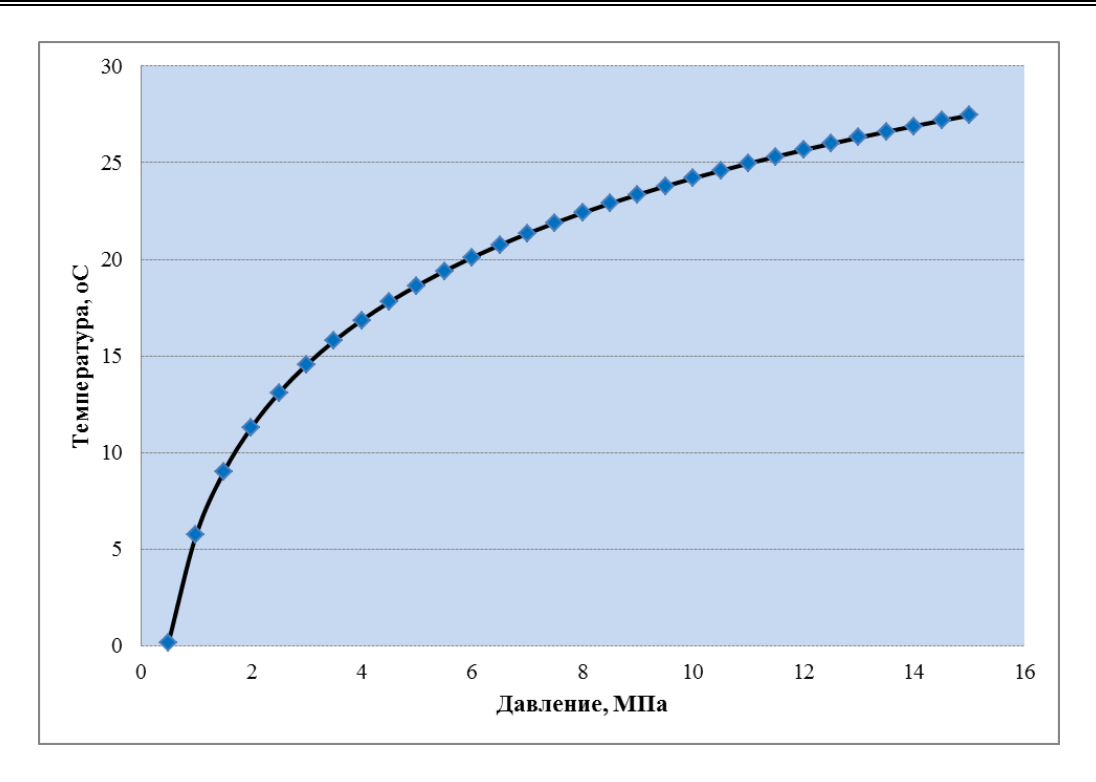


Рисунок 6.2.1 – Равновесные параметры гидратообразования

Исходя из вышеизложенного - подогрев газа, снижение давления и ввод ингибиторов можно использовать как для предупреждения, так и для ликвидации образовавшихся гидратов. Выбор методов определяется местом их накопления, количеством и характером гидратной пробки, составом гидрата, а также имеющимися средствами ликвидации.

В настоящее время для разрушения гидратов, образовавшихся на обратном клапане манифольда УКПГ, используется метод пропарки.

На УКПГ для предупреждения гидратообразования в системе низкотемпературной сепарации перед теплообменником подается диэтиленгликоль, который исключает образование гидратов в турбодетандерном агрегате.

Предотвращение и ликвидация межколонного давления (МКД)

Для недопущения осложнений, связанных с МКД в процессе эксплуатации скважин, необходимо обеспечить безопасные условия их работы.

На месторождении выполняются мероприятия по выявлению МКД, оценки риска, его снижению и ликвидации. Выполнение мониторинга, замеров давления в межколонном пространстве позволяет диагностировать источник МКД. После завершения диагностики производится наблюдение за скважиной на предмет изменения температуры и параметров МКД.

Для исследования причин и параметров МКД применяются диагностические методы: текущий мониторинг, контроль и исследование затрубного пространства,



опрессока уплотнений устьевого оборудования, стравливание МКД, анализ кривых падения и восстановления давления, отбор и анализ флюида, геофизические исследования.

На месторождении Айракты специалистами ТОО «Амангельды Газ» совместно с представителями ТОО «Мунай Сервис ЛТД» проведены работы по диагностике и ликвидации возникновения МКД в скважине 101.

На основании проведённых исследований 14.09.2017 г. были зафиксированы межколонные давления между технической и эксплуатационной колонной МК Π_1 =8 М Π_2 =0 М Π_3 .

Было произведено стравливание давления между технической и эксплуатационной колонной, в результате чего за 10 сек давление упало до 0 МПа.

Увеличение продуктивности

<u>Гидроразрыв пласта</u>

В период 2017-2021 гг. на 7-ми скважинах были выполнены работы по гидроразрыву пласта (ГРП).

Работы проводились в соответствии с индивидуальной программой, составленной с учётом характеристик скважины.

ГРП проводилось специалистами и по технологии сервисной компании ТОО "Петро Велт Технолоджис Казахстан" с применением проппанта производства Fores ForeProp.

Перед началом работ на скважинах 101, 102, 103, 104, 105, 106 и 107 устанавливался пакер типа ПРО-ЯМ2-ЯГ-1(М) на глубину соответственно 18 м, 23 м, 31,3 м, 26,7, 27,1 м, 56 м, 44 м (1 обработка) и 36,3 м (2 обработка) выше обрабатываемого интервала перфорации.

Все работы были проведены в 2 этапа. По результатам мини-ГРП было рассчитано чистое давление, давление смыкания трещин, эффективность жидкости и трение в призайбойной зоне и в интервале перфорации.

Информационный мини-ГРП включал в себя:

- на стадии замещения закачку линейного геля в объёме от 5,6 м³ (скважина 107 2-я обработка) до 8,0 м³ (скважина 104),
- далее закачку сшитой жидкости в объёме от 10,3 м³ (скважина 107 2-я обработка) до 14,0 м³ (скважины 101 и 102) вместе с пропантом 20/40 Fores в количестве от 400 кг (скважина 101) до 662 кг (скважина 107 2-я обработка).
- закачку линейного геля в объёме от 6,6 м³ (скважина 101) до 8,3 м³ (скважина 105) при скорости от 2,57 (скважина 105) до 3,1 м³/мин (скважина 107 2-я обработка). Основной ГРП состоял из:



- закачки сшитой подушки объёмом от 12 м³ (скважины 104, 105, 107 2-я обработка) до 35 м³ (скважины 102, 103, 106, 107 1-я обработка) при скорости подачи от 2,45 м³/мин (скважина 104) до 3,17 м³/мин (скважина 107 2-я обработка). Концентрация реагентов в гелевом растворе в среднем 10 литр/м3 HGA-48 и 10 литр/м3 HGA-37. Было закачено от 15 тонн пропанта 20/40 производства WellProp (скважина 107 2-я обработка) до 50 тонн (скважина 102) производства Fores ForeProp.
- продавки гелевым раствором в объёме от 6.9 м^3 (скважины 101 и 104) до 8.1 м^3 (скважина 102).

Параметры работы скважин до и после ГРП представлены в таблице 6.2.1.

Таблица 6.2.1- Результаты гидравлического разрыва пласта добывающих скважин

| | | | Параметры рабо | ты сква | | | | |
|-----|------------|--|----------------|-----------------------------------|------------|------------------|--------------------------|------------|
| | | , | До ГРП | После ГРП | | Продолжи | Прирост | Прирост |
| № | Дата ГРП | Дебит | | Дебит | Дебит | тельность | дебита | дебита |
| скв | дини 1111 | газа, | Дебит | газа, | конденсата | эффекта, сут | | конденсата |
| | | тыс. конденсатат/сут м ³ /сут | | тыс. м ³ /сут т/сут | | на 01.07.2021 | тыс. м ³ /сут | т/сут |
| 101 | 18.09.2017 | При ос | своении после | 6,3 | 0,10 | 1304 | После освоения | |
| 102 | 30.12.2017 | (| бурения | 9,0 | 0,10 | 1190 | | |
| 103 | 29.12.2017 | 1,2 | 0,01 | 16,9 | 0,20 | 1215 | 15,7 | 0,19 |
| 104 | 15.01.2019 | 0,5 | 0 | 39,9 | 0,50 | 875 | 39,4 | 0,50 |
| 105 | 17.01.2019 | 1,4 | 0 | 5,9 | 0,10 | 876 | 4,5 | 0,10 |
| 106 | 31.12.2019 | 0,5 | 0,01 | 5,9 | 0,10 | 525 | 5,4 | 0,09 |
| 107 | 31.12.2019 | При ос | своении после | | Ravei | плуатацию не вв | опипась | |
| 107 | 08.05.2021 | (| бурения | | D 5KC | іліуатацию не вв | одилась | |

Мощность обрабатываемых интервалов, объёмы закачанных рабочих агентов и давление разрыва представлены в таблице 6.2.2.

После проведённого ГРП скважины 101 и 102 работают на протяжении соответственно 1304 сут и 1190 сут со средним дебитом газа 6,3 тыс.м³/сут и 9,0 тыс.м³/сут и средним дебитом конденсата 0,1 т/сут.

На скважинах 103, 104, 105 и 106 прирост дебита газа составил от 4,5 тыс $\text{м}^3/\text{сут}$ (скважина 105) до 39,4 тыс $\text{м}^3/\text{сут}$ (скважина 104), конденсата – от 0,09 т/сут (скважина 106) до 0,5 т/сут (скважина 104).

Успешность работ составила 75%. По состоянию на 01.07.2021 г. на всех скважинах эффект продолжается.

Удаление жидкости с забоя с помощью пенообразователя

Одной из причин снижения продуктивности газовых скважин является накопление жидкости в стволе вследствие изменения фазового состояния углеводородной смеси или поступления воды к забою скважины. Столб жидкости в стволе создаёт противодавление на пласт, снижает устьевое давление и соответственно производительность скважины.



Таблица 6.2.2 – Технологические параметры ГРП

| | | | • | M | Объ | ьёмы закачаі | ных реаг | гентов | | Общая | Средняя | Cranna |
|-------|------------|-----------------------------------|--|--------------------------------------|--------------------------|---|----------------------------------|--------------------------------------|-----------------------------|--------------|--|--|
| № скв | Дата ГРП | Глубина установки пакера, м | Интервал перфорации | Мощность обрабаты ваемого интервалам | Ко-во пропан та, т | Удельный расход пропанта т/м ³ | Объём геля, м ³ | Объём продавки, м ³ | Давление разрыва, МПа | е закреп-пён | закреп-лённая высота трещины, м | Средняя закрепл. высота трещины в продукт зоне, м |
| 101 | 18.09.2017 | 2056,5 | 2074,5-2076,5 2078,0-2090,0 2094,0-2096,0 2099,0-2102,0 2104,0-2110,0 2120,0-2129,0 | 34 | 40 | 0,374 | 106,9 | 6,9 | 40,0 | 96,134 | 45,996 | 37,672 |
| 102 | 30.12.2017 | 2107,0 | 2130,0-2134,0 2143,0-2148,0 2154,0-2161,0 2163,0-2169,0 2183,0-2190,0 | 29 | 50 | 0,534 | 93,6 | 8,1 | 40,0 | 83,607 | 78,765 | 57,430 |
| 103 | 29.12.2017 | 2057,7 | 2089,0-2099,0 2111,0-2115,0 | 14 | 40 | 0,513 | 78,0 | 7,1 | 35,0 | 89,870 | 59,654 | 25,959 |
| 104 | 15.01.2019 | 2040,3 | 2067,0-2072,0 2073,0-2075,0 2079,0-2100,0 2106,0-2115,0 2134,0-2138,0 | 41 | 30 | 0,216 | 138,6 | 6,9 | 33,0 | 52,759 | 53,270 | 19,597 |
| 105 | 17.01.2019 | 2101,9 | 2129,0-2136,0 2140,0-2149,0 2160,0-2162,0 2165,0-2176,0 2190,0-2200,0 | 39 | 30 | 0,277 | 108,2 | 7,0 | 37,0 | 130,055 | 102,041 | 18,782 |
| 106 | 31.12.2019 | 1959,0 | 2115,0-2124,0 | 9 | 40 | 0,276 | 144,8 | 7,29 | 34,8 | 90,835 | 37,54 | 8,989 |
| | 31.12.2019 | 2084,76 | 2128,0-2132,0 2134,0-2141,0 2151,0-2155,0 | 15 | 40 | 0,271 | 147,4 | 6,9 | 53,5 | 124,88 | 29,998 | 22,246 |
| 107 | 08.05.2021 | 1648,9 | 1685,0-1688,0 1706,0-1710,0 1713,5-1717,5 1758,0-1766,0 | 19 | 15 | 0,283 | 52,9 | 5,6 | 45,0 | н.д. | н.д. | н.д. |

Проблема удаления жидкости с забоев скважин может быть решена с использованием одного из нижеследующих способов:

Очистка забоя с помощью колтюбинга, путём установки гибких насоснокомпрессорных труб (ГНКТ) меньшего диаметра внутри существующих НКТ. За счет значительного увеличения скорости восходящего потока газа достигается вынос жидкой фазы с забоя скважины.

Продувка скважин путём увеличения диаметра штуцера по сравнению с режимным, или с подключением компрессирования через затрубное пространство.

Удаление жидкости с забоя с помощью пенообразователя.

В период 25-28.10.2020 г. на скважине 1Г проводились опытно-промысловые работы (ОПР) по удалению жидкости с забоя с использованием пенно-ингибирующих шашек.

Работы проводились специалистами ТОО «УзеньГеоСервис» совместно со специалистами Пермского государственного университета.

Пенно-ингибирующие шашки представляют собой стержни белого цвета, размером ориентировочно 30х400 мм. В скважину через лубрикатор (шлюз) поочерёдно сбрасывали шашки, которые реагируют на конденсат и на воду.

Во время сброса шашек на тестовом сепараторе брали пробы на наличие жидкости и пены. В пробе наличие выноса жидкости не наблюдалось и увеличение дебита газа также не наблюдалось. В результате произошло поддержание стабильной работы скважины.

Параметры работы скважины до и после опытных работ представлены в таблице 6.2.3.

Таблица 6.2.3 – Результаты опытно-промысловых работ по удалению жидкости с забоя с использованием пенно-ингибирующих шашек

| | Параметры работы скважин | | | | | | | |
|-----|--------------------------|--|------------------------------|-------------------------|--|------------------------------|------------|--|
| № | Период | Перед проведен (среднее за 1 ме | - | После проведением работ | | | | |
| скв | - I | Дебит газа, тыс.м ³ /сут | Дебит конденсата т/сут | Ртр атм | Дебит газа, тыс.м ³ /сут | Дебит конденсата т/сут | Ртр атм | |
| 1Γ | 25-28.10.2020 г. | 11,5 | 0,130 | 5,9 | 11,2 | 0,140 | 5,9 | |

Защитные мероприятия по предупреждению и борьбе с коррозией

На месторождении Айракты среднее содержание CO₂ в газе по нижневизейскому горизонту составляет 0,3% мольных.

Количественно для допустимого уровня коррозии предельное парциальное давление углекислого газа составляет 0.01-0.02 МПа и 0.05 МПа — пороговое значение для коррозионного растрескивания.



В данном Проекте значение пластового давления в 2021 г. принято равном 17,9 МПа, для среднего значения углекислого газа парциальное давление углекислого газа составит 0,05 МПа, что является пороговым значением.

В условиях добычи при скоростях отбора газа, не обеспечивающих однородность потока, может происходить конденсация воды в призабойной зоне. Большую коррозионную угрозу для скважин представляет не наличие устойчивого двухфазного потока газожидкостной смеси, а парогазовая смесь, степень воздействия которой определяется влагоемкостью (влагосодержанием) газа, содержащего в своем составе кислый газ. Считается, что при отсутствии жидкой влаги и относительной влажности менее 60%, процесс электрохимической коррозии практически не реализуется. При относительной влажности газа выше 60% возможна сорбция влаги поверхностью труб, обусловливающая протекание электрохимической коррозии.

Кроме того, влажность и наличие кислых газов способствуют гидратообразованию, осложняющему эксплуатацию скважин, приводящему к отказам в системе добычи и сбора. Расчетные температуры гидратообразования в термодинамических условиях скважин при прогнозном значении устьевого давления составляют 20-22°С. В целях предотвращения гидратообразования в выкидные линии низкодебитных скважин рекомендован ввод метанола.

Однако, метанол в присутствии воды участвует в коррозионном процессе, что может приводить к увеличению интенсивности коррозионного процесса. Вследствие сосуществования четырех фаз (причем в числе гидратообразователей в газе месторождения входят коррозионно-активные двуокись углерода в газообразном и растворенном видах и минерализованная вода), возникают потенциально активные коррозионные зоны. Насыщение водометанольной смеси кислыми газами облегчает протекание всех видов коррозии. Метанол вместе с добываемой продукцией и водой, выносимой из скважин, проходит по всей технологической цепочке. Применение этого реагента является фактором, повышающим коррозионную угрозу, как для скважин, так и для систем сбора и транспортирования неподготовленных газа и газожидкостной смеси.

Пластовые воды представляют собой рассолы хлоридно-кальциевого типа. Коррозионная активность пластовых вод обусловлена содержанием хлорид-, сульфат- и бикарбонат-ионов, превышающих предел для допустимой коррозии (в частности, по хлорид-ионам — в сотни раз, по содержанию сульфатов и ионов железа — в полтора раза). По компонентному составу и степени воздействия пластовые воды могут вызывать общую и локальную виды коррозии.



Рекомендуемый комплекс противокоррозионных мероприятий

Внутрискважинное оборудование

Материал для внутрискважинного оборудования по структурно-механическим свойствам, коррозионной стойкости должен соответствовать требованиям для работы в условиях кислых сред.

К применению могут быть рекомендованы обсадные и насосно-компрессорные горячекатаные или подвергнутые закалке и отпуску трубы из нелегированных или низколегированных сталей марок Д (С-75-11), Ј–55, К-55, N-80 последние — при ужесточении требований по механическим свойствам. Трубы из низколегированной стали марки SM-80SU обладают стойкостью к общей коррозии на уровне материала труб общего назначения, производимых по стандартам АНИ. При применении труб с содержанием хрома — 12-14 % и углерода — 0.18-0.22 % перечисленных групп прочности применение дополнительных защитных мероприятий не требуется. Использование труб группы прочности Д (С-75-11) требует применения комплекса защитных мероприятий.

При пакерной конструкции газовых скважин межтрубное пространство должно быть заполнено ингибированной или коррозионно-неактивной жидкостью, в частности, углеводородной, с утяжелителем.

Газопроводы и трубы нефтяного сортамента

Для газовых и газоконденсатных месторождений, содержащих кислые газы, применяются углеродистые и низколегированные трубы, которые должны отвечать ряду требований.

Трубы должны быть бесшовными. Металл труб должен иметь высокую однородность по механическим свойствам. Должна быть предусмотрена нормализация или закалка/отпуск поставляемых бесшовных труб/фитингов со специфическим ограничением содержания серы уровнем 0.015 %. Исполнение соединительных деталей трубопроводов и запорной арматуры должно быть из тех же сталей, что и трубопроводы, и поставляться в штампованном или штампосварном исполнении. Толщина стенки трубопровода, работающего в условиях контакта с влажным газожидкостным потоком, содержащим кислый компонент, должна быть рассчитана с допуском на общую коррозию. При этом должна предусматриваться термообработка готовых изделий (отпуск) и проверка качества основного металла (ультразвуковой контроль) и сварных заводских соединений.

Трубы должны подвергаться 100%-ному неразрушающему контролю. Для газопроводов применимы трубы, изготовленные из низколегированной, спокойной, полностью раскисленной стали, обработанной кальцием или с добавками редкоземельных



металлов. При этом эквивалент углерода не должен превышать 0.38 %. Прочностные показатели металла труб могут быть в пределах норм APJ5LX для трубопроводных сталей. Механические свойства металла труб нефтяного сортамента должны соответствовать группам прочности C-75, L-80, C-95 (по АНИ 5АС) с лимитированием верхнего предела текучести (σ п $\geq 0.8\sigma$ 0 2).

Выкидные линии скважин и основной коллектор могут быть изготовлены из низколегированной углеродистой стали, соответствующей стали 20 российского стандарта ТУ-8731-74. Эти технические условия удовлетворяют требованиям MR-01-75 стандарта NACE по сопротивляемости кислотной коррозии. Применение углеродистых сталей возможно для транспортирования осушенного газа, очищенного от конденсата. Шлейфы скважин, промысловые линии, подводящие продукцию к входным сепараторам, работают в условиях возможного выпадения водной фазы. Скорость коррозии, ожидаемая при превалирующих кислых условиях, зависит от содержания кислого газа и режима течения, содержания воды и степени ее конденсации на стальной поверхности.

Материал для изготовления коммуникаций и оборудования подготовки газа и конденсата должен обладать определенным комплексом свойств, отвечающим требованиям для работы в кислых средах.

Для защиты подземных трубопроводов от грунтовой коррозии должна применяться электрохимзащита (метод катодной поляризации) в сочетании с пассивной защитой (изоляционные покрытия). Рекомендуется антикоррозионное, трёхслойное, полиэтиленовое покрытие шлейфов по DIN30670-91.

Для защиты оборудования от атмосферной коррозии должны применяться защитные покрытия.

Проблемы коррозии в газовых и газоконденсатных средах могут быть связаны с конденсацией водной фазы. Следует обеспечить антикоррозионный режим эксплуатации (соответствующий расход флюида — скорость выше критической с целью выноса конденсированной воды и твердых частиц из ПЗП).

6.3 Рекомендации к системе сбора и промысловой подготовки продукции скважин

Система внутрипромыслового сбора и подготовки добываемой продукции месторождения предназначена для сбора, поскважинного замера и промыслового транспорта к объекту подготовки для доведения её до требуемой кондиции и сдачи потребителю.

При разработке технологии системы сбора и подготовки добываемой продукции проектных скважин в соответствии с [13] необходимо обеспечение следующих требований:



- герметичность сбора добываемой продукции;
- достоверный замер дебита продукции каждой скважины и возможность проведения газодинамических исследований;
- учет промысловой продукции месторождения в целом;
- надежность в эксплуатации всех технологических звеньев;
- автоматизация всех технологических процессов;
- качество подготовки товарной продукции в соответствии с существующими стандартами РК.

При выборе технологии внутрипромыслового сбора и подготовки газа к транспорту по вариантам разработки принято во внимание следующее:

- конфигурация месторождения;
- количество и схемы размещения добывающих скважин;
- проектные дебиты газа;
- физико-химический состав добываемой продукции;
- устьевые параметры добывающих скважин (давление, температура);
- динамика падения устьевого давления в процессе эксплуатации;
- наличие и удаленность источников электроэнергии в регионе;
- размещение месторождения Айракты относительно существующей магистральной газопроводной системы.

Существующее положение в системе сбора, транспорта и подготовки продукции

В настоящее время на месторождении Айракты обустроены следующие основные объекты и сооружения:

- Добывающие скважины;
- Шлейфы диаметром 80 мм от скважин до входного манифольда ГСП;
- Газосборный пункт (ГСП) месторождения Айракты;
- Межпромысловый газопровод Ø-219х7мм протяжённость 24 км до точки врезки в газопровод от месторождения Жаркум до УКПГ «Амангельды».

По состоянию на 01.07.2020 г. действующий фонд состоит из 8-ми скважин №№ 1Г, 6Г, 101, 102, 103, 104, 105, 106.

В основу системы сбора заложена лучевая схема с манифольдной станцией, расположенной непосредственно на ГСП.

На устьях скважин для предотвращения образования гидратов в выкидные линии вводится метанол. На выкидных линиях предусмотрены клапаны-отсекатели.



Приустьевые площадки имеют приямок и ограждения. На приустьевых площадках скважин на расстоянии 30 метров от устья установлены свечи сброса газа.

Подготовка газа и газового конденсата осуществляется на газосборном пункте (ГСП) месторождения Айракты.

Технологическая схема ГСП представлена на рисунке 6.3.1. В состав оборудования ГСП входят следующие технологические блоки:

- Входной манифольд (М-1), рассчитан на 11 подключений;
- Тестовый сепаратор (C-4), объёмом 0,8 м³, рассчитан на рабочее давление 8,2 МПа;
- Газовый сепаратор (С-1), ГСЦ-11-1200, объёмом 3,9 м³, рассчитан на рабочее давление 8,2 МПа;
- Поточные электроподогреватели (П-1,2) газа и газоконденсата;
- Блок дозирования реагента (БР-1) производительностью 2,5 л/час;
- Факельный сепаратор (СФ-1), объёмом 4,0 м³, рассчитан на рабочее давление 0,1 МПа;
- Дренажные подземные емкости (Д-1, Д-2, Д-3) объёмом 8,0 м³, рассчитаны на рабочее давление 0,07 МПа;
- Трехфазный сепаратор (С-2) объёмом 4,0 м³, рассчитан на рабочее давление 0,25 МПа;
- Сепаратор концевой ступени (С-3) объёмом 3,5 м³, рассчитан на рабочее давление 0,1 МПа;
- Резервуары хранения конденсата (P-1/2), V-25 м³, H-0,7 м, по периметру имеют железобетонное обвалование;
- Насосы для откачки конденсата (H-1, H-2) производительностью 12 м³/час;



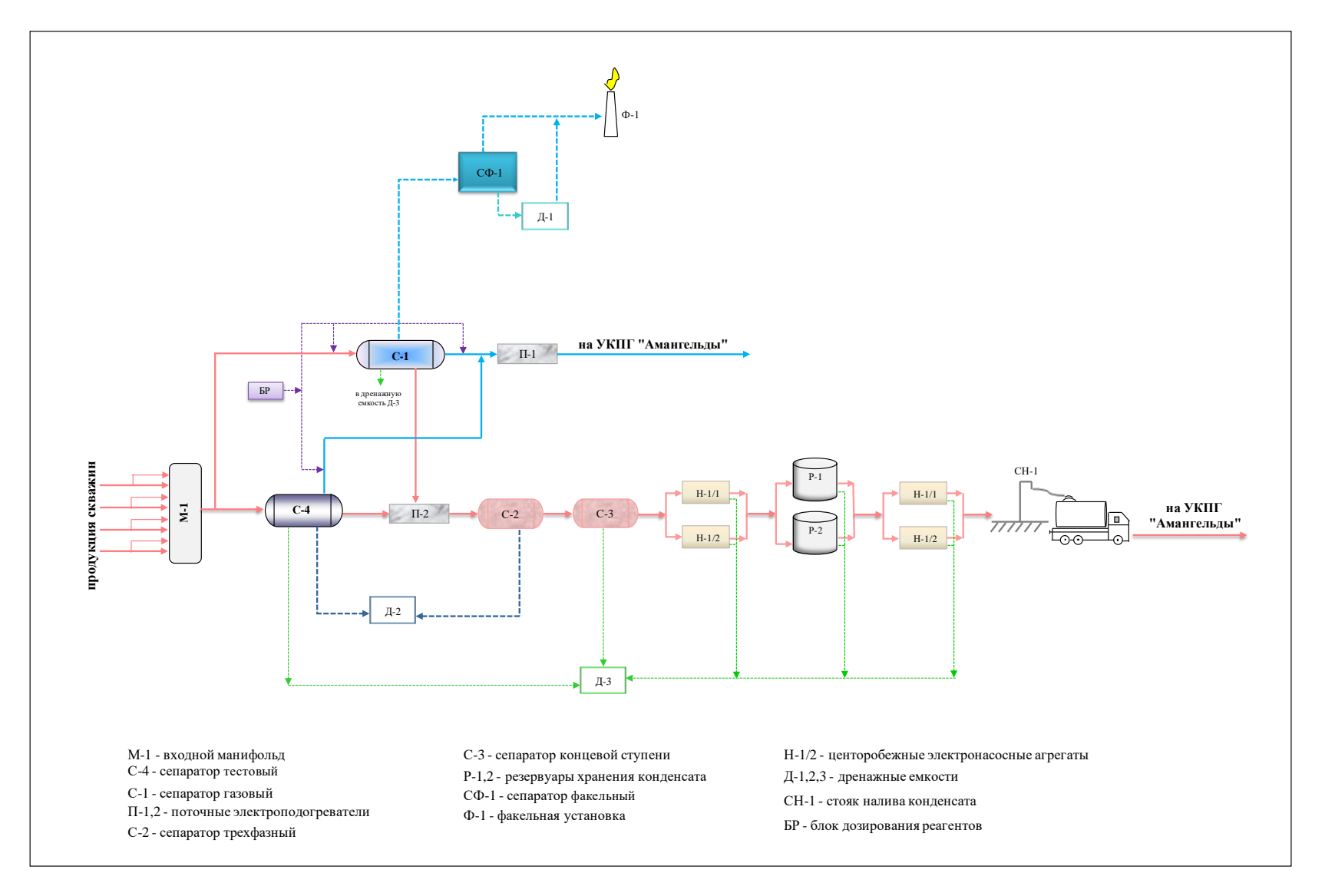


Рисунок 6.3.1 – Принципиальная схема ГСП месторождения Айракты

- Стояк налива конденсата в автоцистерны (СН-1);
- Факельная установка (Ф-1) УФМС-250, Ду-250 мм, H-17 м, имеет ограждение R-50 м, обвалование D-30 м.

Продукция добывающих скважин поступает во входной манифольд, оснащенный приборами измерения давления и температуры, оттуда - в сепаратор 1-й ступени сепарации С-1, предназначенный для отделения жидкой и газообразной фаз. Рабочее давление сепарации 8,0 МПа.

Жидкость, отводимая с 1-й ступени сепарации, объединившись с конденсатом, поступающим из тестового сепаратора C-4, направляется в поточный электроподогреватель П-2, где нагревается до температуры 50°C.

Смесь конденсата, воды и газа, разогретая для лучшего разделения и получения стабильного конденсата при нормальных условиях, поступает на 2-ю ступень сепарации в 3-х фазный сепаратор C-2. Рабочее давление сепарации 0,25 МПа.

Флюид разделяется на три потока: газ, конденсат и пластовую воду. Пластовая вода отводится в отдельную дренажную систему пластовой воды в Д-2.

Конденсат направляется на сепаратор концевой ступени сепарации С-3 для окончательного разгазирования и стабилизации, откуда откачивается в резервуары хранения Р-1/1,2 и вывозится автотранспортом на УКПГ Амангельды.

Газ, очищенный от жидкости, по трубопроводу Ø-219x7мм подается к точке врезки в межпромысловый газопровод «Айракты-Жаркум-Амангельды».

Окончательная подготовка газа месторождения Айракты осуществляется на действующей установке комплексной подготовки газа (УКПГ) месторождения Амангельды, производительностью 700 млн.м3/год.

<u>Рекомендации по системе внутрипромыслового сбора, промыслового транспорта и</u> подготовки газа

Данным Проектом по рекомендованному варианту предусмотрено:

- 2022 г. ввод из консервации 1-й скважины. Общий фонд добывающих скважин составит 9 единиц.
- 2023 г. ввод из бурения 1-й добывающей скважины, ввод из консервации 1-й скважины. Общий фонд добывающих скважин составит 11 единиц.
- 2024 г. ввод из бурения 1-й добывающей скважины. Общий фонд добывающих скважин составит 12 единиц.
- 2025 г. ввод из бурения 3-х добывающих скважин. Общий фонд добывающих скважин составит 15 единиц.



- 2026 г. ввод из бурения 3-х добывающих скважин. Общий фонд добывающих скважин составит 18 единиц.
- 2027 г. ввод из бурения 1-й добывающей скважины. Общий фонд добывающих скважин составит 19 единиц.

В настоящее время входной манифольд ГСП рассчитан на 11 подключений. К началу 2024 г. необходимо предусмотреть увеличение количества подключений от скважин.

При проектировании системы сбора продукции фонда скважин на месторождении для ее оптимизации и учета требований к ней необходимо выполнение следующих рекомендаций:

- каждая скважина от устья до ГСП должна иметь индивидуальный трубопровод;
- все наземные участки трубопроводов должны быть оснащены теплоизоляцией, система выкидных линий должна быть заглублена на глубину ниже глубины промерзания грунта.
- все технологические объекты должны быть оснащены системами автоматического регулирования, сигнализации по верхнему и нижнему уровню давления, системой аварийного останова, срабатывающего при нарушении технологического режима.

Шлейфы рекомендовано прокладывать подземно на глубине 1,4 м и классифицировать по ВСН 51-3-85 как газопроводы III класса, III категории.

Рекомендуется антикоррозионное, трёхслойное, полиэтиленовое покрытие шлейфов по DIN30670-91.

Рекомендуется предусмотреть на устье скважин возможность дозирования ингибитора гидратообразования.

Площадку ГСП предлагается оборудовать дополнительно площадками камер запуска скребка.

Газ, очищенный от жидкости, по трубопроводу Ø-219x7мм будет подаваться к точке врезки в межпромысловый газопровод «Айракты-Жаркум-Амангельды».

Окончательная подготовка газа месторождения Айракты будет осуществляться на действующей установке комплексной подготовки газа (УКПГ) месторождения Амангельды.

Вся система сбалансирована. Выходное давление с ГСП месторождения Айракты привязано к давлению блока входных манифольдов УКПГ. В связи со снижением давления во всей системе предусмотрена установка ДКС на месторождении Амангельды.



6.4 Рекомендации к разработке программы по переработке (утилизации) газа

В настоящее время ТОО «Амангельды Газ» имеет утверждённую «Программу развития переработки сырого газа месторождения Айракты на период 2020-2022 гг.» утвержденную Рабочей группой по выработке предложений по утверждению Программ развития переработки попутного газа, внесению изменений и дополнений в утвержденные Программы утилизации газа и Программы развития переработки газа МЭ РК (Протокол № 6.1 от 08 августа 2019 г.). Разработчик Программы – ТОО «Батыс Гео Консалт».

Объектов потребления сырого газа на промысле нет. Весь добываемый газ через узел замера по трубопроводу \acute{O} -219х7мм подается к точке врезки в межпромысловый газопровод «Айракты-Жаркум-Амангельды».

Основными источниками технологически неизбежного сжигания газа на месторождении Айракты, являются:

- Сжигание при подключении скважин или пуско-наладочных работах (ПНР).
- Сжигание газа на дежурных горелках и при постоянной продувке факельного коллектора.
- Сжигание газа при опорожнении и продувках газопроводов.

Объём технологически неизбежного сжигания газа на 2021 г., в соответствии с разрешением Министерства энергетики РК № KZ09VPC00013677 от 09.11.2020 г. составляет 0,713 млн.м³ при уровне добычи на 2021 г. 131,4 млн.м³. Таким образом, технологические потери газа при сборе, подготовке и транспортировке составят 0,54% от объёма добычи сырого газа.

Баланс расхода сырого газа месторождения Айракты на период 2021-2024 гг. представлен в таблице 6.4.1

Таблица 6.4.1 – Добыча и распределение газа на месторождении Айракты

| Период разработки | Добыча газа, млн.м ³ | Технологические потери газа при добыче, предварительной подготовке и транспортировке млн.м ³ | Сдача газа потребителям, млн.м ³ |
|----------------------|------------------------------------|---|---|
| 2021 | 25,966 | 0,140 | 25,826 |
| 2022 | 29,304 | 0,158 | 29,146 |
| 2023 | 39,765 | 0,215 | 39,550 |
| 2024 | 50,623 | 0,273 | 50,350 |



7 РЕКОМЕНДАЦИИ К КОНСТРУКЦИЯМ СКВАЖИН И ПРОИЗВОДСТВУ БУРОВЫХ РАБОТ, МЕТОДАМ ВСКРЫТИЯ ПЛАСТОВ И ОСВОЕНИЯ СКВАЖИН

7.1 Рекомендации к конструкциям скважин и производству буровых работ

Конструкция скважин по надежности, технологичности и безопасности должна обеспечить: условия безопасного ведения работ без аварий и осложнений на всех этапах строительства и эксплуатации скважины; условия охраны недр и окружающей среды, в первую очередь за счет прочности и долговечности крепи скважины, герметичности обсадных колон и перекрываемых ими кольцевых пространств, а также изоляции флюидосодержащих горизонтов друг от друга, от проницаемых пород и дневной поверхности.

Глубина спуска обсадных колонн определяется геологическими условиями, в которых бурится скважина. Фактическая глубина башмака обсадной колонны различна для разных скважин - она зависит от залегания продуктивного пласта. Однако для большинства скважин глубина будет определяться одним и тем же фактором - свойствами встретившегося разреза.

Конструкция скважин проектируется в соответствии с действующими инструктивно-методическими документами.

На месторождении Айракты планируется бурение 8 вертикальных скважин (№№ 108, 109, 111, 112, 113, 114, 115, 116) и 1 горизонтальная скважина №110. Также планируется расконсервации 2 скважин: №№ 4Г и 8Г

В соответствии с предполагаемым геологическим разрезом, проектной глубиной и с учётом возможных осложнений предусматривалась следующие конструкции скважины:



Таблица 7.1.1 – Проектная конструкция для скважин №№ 108, 109, 111, 112, 113, 114, 115, 116

| Наименование обсадной | | рвал вки, м | Диам | етр, мм | Рас-е от устья до | Причина спуска колонны |
|--------------------------|------|----------------|--------|---------|----------------------|--|
| колонн | верх | низ | долота | колонны | уровня цементам | причина спуска колонны |
| 1 | 2 | 3 | 4 | 5 | 6 | 7 |
| Направление | 0 | 30 | 490 | 426 | 0 | Цементируется до устья. Устанавливаются с целью предотвращения размыва устья при бурении под кондуктор и возврата восходящего потока бурового раствора из скважины в циркуляционную систему. |
| Кондуктор | 0 | 350 | 393,7 | 323,9 | 0 | Цементируется до устья, спускается с целью перекрытия верхних неустойчивых и поглощающих горизонтов. Устье скважины после спуска кондуктора оборудуется противовыбросовым оборудованием. |
| Техническая колонна | 0 | 1200 | 295,3 | 244,5 | 0 | Цементируется до устья, спускается с целью перекрытия поглощающих горизонтов, предотвращения гидроразрыва пород в процессе ликвидации возможных газоводопроявлений при бурении под эксплуатационную колонну и установки ПВО. |
| Эксплуатационная колонна | 0 | 2250 | 215,9 | 168,3 | 0 | Спускается и цементируется до устья, с целью испытания продуктивных горизонтов |

Таблица 7.1.2 – Проектная конструкция скважина № 110 (горизонтальная)

| Наименование | | гервал 10вки, м | Диам | етр, мм | Рас-е от устья до | Причина спуска колонны |
|--------------------------|------|--------------------|--------|---------|----------------------|--|
| обсадной колонн | верх | низ | долота | колонны | уровня цементам | причина спуска колониві |
| Направление | 0 | 30 | 490 | 426 | | Цементируется до устья. Устанавливают- ся с целью предотвращения размыва устья при бурении под кондуктор и возврата восходящего потока бурового раствора из скважины в циркуляционную систему. |
| Кондуктор | 0 | 350 | 393,7 | 323,9 | 0 | Цементируется до устья, спускается с целью перекрытия верхних неустойчивых и поглощающих горизонтов. Устье скважины после спуска кондуктора оборудуется противовыбросовым оборудованием. |
| Техническая колонна | 0 | 1200 | 295,3 | 244,5 | 0 | Цементируется до устья, спускается с целью перекрытия поглощающих горизонтов, предотвращения гидроразрыва пород в процессе ликвидации возможных газоводопроявлений при бурении под эксплуатационную колонну и установки ПВО. |
| Эксплуатационная колонна | 0 | 2250/2900 | 215,9 | 168,3 | 0 | Спускается и цементируется до устья, с целью испытания продуктивных горизонтов |

Примечание: 2250 - глубина скважины по вертикали; 2900 - глубина скважины по стволу. Длина горизонтального участка скважины - 500м, общее отклонение забоя скважины от вертикали - 650м.



При выполнении ИТП, по усмотрению заказчика, допускается изменения проектного профиля скважины.

Фактические конструкции скважин, пробуренные в отчетном периоде, с учетом рекомендации к методам вскрытия продуктивных пластов и освоения скважин, представлены ранее выполненных и защищённых проектах.

Фактические конструкции расконсервируемых скважин №№ 4Г и 8Г представлены в таблице 7.1.3

Таблица 7.1.3 – Фактические конструкции расконсервируемых скважин №№4Г и 8Г

| № скважин | Наименование колонн | Диаметр колонны, мм | Глубина спуска колонны, м | Высота подъема цемента от устья, м |
|-----------|------------------------|------------------------|------------------------------|---------------------------------------|
| 1 | 2 | 4 | 5 | 6 |
| | Кондуктор | 298,5 | 304 | 0 |
| 4Γ | Тех.колонна | 219,1 | 1947 | 40 |
| | Экс.колонна | 146 | 2292,24 | 340 |
| | Направление | 426 | 34,46 | |
| 0Г | Кондуктор | 323,9 | 352,03 | данные |
| 8Γ | Тех.колонна | 244,5 | 1199,66 | отсутствует |
| | Экс.колонна | 168,3 | 2297,04 | |

7.2 Требования к методам вскрытия продуктивных пластов и освоения скважин

С целью предотвращения возможных осложнений в процессе бурения, первичное вскрытие продуктивных пластов предполагается осуществить на химически обработанном полимерным растворе, строго соблюдая его проектные параметры. При этом депрессия на пласт не должна превышать 5% пластового давления. С этой целью, вскрытие горизонта производить только после полного выравнивания параметров бурового раствора. В противном случае, неизбежно поглощение бурового раствора без выхода циркуляции, особенно в интервале с низким градиентом пластового давления.

Основные требования, предъявляемые, к жидкостям для вторичного вскрытия продуктивных пластов являются:

- создание противодавления на пласт, достаточное для предупреждения нефтегазопроявлений после вторичного вскрытия перфорацией, не вызывая при этом поглощений этих жидкостей пластом;
- недопущение кольматации перфорационных каналов и околоствольной зоны пласта (ОЗП).

Промысловой практикой и научно-исследовательскими работами подтверждено, что дебит скважины будет больше в том случае, если при проведении перфорационных работ применять чистые жидкости (техническая или минерализованная вода, нефть) и если будет обеспечена промывка перфорационных каналов обратным потоком пластового флюида из



пласта в скважину. А это достигается при перфорации с перепадом давления, направленного в сторону ствола скважины, а не в пласт.

Для снижения вредного воздействия, оказываемого буровым раствором на продуктивный пласт во время бурения, и исключения вредного воздействия перфорационной жидкости во время перфорации при репрессии, рекомендуется перфорировать продуктивные пласты, при депрессии на пласт, в среде чистой жидкости перфораторами, спускаемыми на насосно-компрессорных трубах.

Поэтому в качестве промывочной и перфорационной жидкости рекомендуются:

Направление – бурение вести с использованием технической воды.

Кондуктор – бурение под колонну, для недопущения осложнений и перекрытия зон поглощений, водопроявлений и газопроявлений техногенного характера следует производить заранее приготовленным глинистого раствором, стабилизированным реагентами для уменьшения водоотдачи бурового раствора, глинизации стенок скважины и предупреждения проникновения фильтрата в пласт. В случае возникновения поглощений бурового раствора в альб-сеноманских отложениях использовать 2-3 вида наполнителей с различными размерами частиц (зернистые, волокнистые, чешуйчатые) в количестве 2 % к объему бурового раствора. Для поддержания щелочности бурового раствора на уровне рН=9,0–10,0 вводить каустическую соду (NaOH). По окончании бурения ствол скважины необходимо промыть в течение двух циклов с целью дополнительной очистки ствола скважины от выбуренной породы.

Эксплуатационная колонна - бурение данного интервала, с целью сохранения коллекторских характеристик (пористость, проницаемость) продуктивного пласта и предупреждения негативных явлений, производить с использованием ингибированного полимерно-хлоркалиевого бурового раствора с низким содержанием твердой фазы с ведением дополнительных полимерных реагентов для усиления ингибирующих свойств.

С целью максимального сохранения коллекторских свойств продуктивных пластов в качестве утяжеляющей и временно закупоривающей добавки использовать кислоторастворимый карбонат кальция. В целом система бурового раствора, предусмотренная программой, должна полностью отвечать основным требованиям, предъявляемым к нему при вскрытии продуктивных пластов.

Перед вызовом притока пластового флюида производится замена бурового раствора в скважине на перфорационную жидкость.



В качестве перфорационной среды необходимо применять жидкость с плотностью, соответствующей требованиям на строительство скважин. Перфорационную жидкость рекомендуется закачать в зону перфорации объекта плюс 100-150 м выше верхней границы зоны перфорации. Оставшийся ствол скважины заполнить буровым раствором, использованным при вскрытии продуктивных пластов. Перфорационную жидкость представляющую собой водный раствор солей, очищенных от механических примесей, необходимо обработать неионогенными добавками ПАВ для снижения поверхностного натяжения и капиллярного давления в порах пласта.



8 КОНТРОЛЬ ЗА РАЗРАБОТКОЙ ПЛАСТОВ, СОСТОЯНИЕМ И ЭКСПЛУАТАЦИЕЙ СКВАЖИН И СКВАЖИННОГО ОБОРУДОВАНИЯ

В соответствии с «Едиными правилами по рациональному и комплексному использованию недр» контроль за разработкой месторождения проводится по нескольким направлениям: промыслово-геофизические исследования, газогидрохимические, газодинамические исследования и контроль эксплуатации скважин и скважинного оборудования.

8.1 Комплекс промыслово-геофизических исследований скважин

Геофизические исследования по контролю за разработкой в условиях месторождения должны быть направлены на решение следующих задач:

- уточнение геологического строения, неоднородностей пласта;
- уточнение петрофизических характеристик пород коллекторов;
- контроль за выработкой пластов: выделения работающих толщин, оценки профиля и состава притока, определения текущего характера насыщения пластов, определение положения текущего ГВК;
- контроль технического состояния скважин: герметичность колонны, состояние цементного кольца, наличия заколонных перетоков и причин обводнения.

Задача уточнения геологического строения, неоднородности пласта, уточнения фильтрационных характеристик, текущей насыщенности решается исследованиями в открытом стволе комплексом методов ГИС и продолжением изучения фильтрационноемкостных характеристик на керне. В соответствии с рекомендуемым вариантом разработки на месторождении предполагается бурение девяти добывающих скважин и одной оценочной скважины.

Целью бурения оценочной скважины является прослеживание продуктивных горизонтов по площади и разрезу, уточнение положение ГВК и получение необходимых данных для перевода запасов газа из категории C_2 в категорию C_1 . В случае обнаружения новых залежей УВС или перспективных объектов на получение газа в результате бурения оценочной скважины, предусмотреть их испытание с целью оценки и доизучения месторождения, провести отбор и исследование керна.

Учитывая сложное геологическое строение, неоднозначность геофизических хахарактеристик при выделении коллекторов, в новых скважинах, не зависимо от категории эксплуатационная или оценочная, рекомендуется проведение в открытом стволе следующего комплекса методов ГИС:



- общие исследования, включающие следующие методы: стандартный каротаж (прямой и обращённый градиент зонды, потенциал зонд, ПС), боковой каротаж (БК), кавернометрию (ДС), естественную радиоактивность (ГК) и вторичное гамма-излучение (НГК), акустический каротаж (АК), должны проводится по всему стволу скважины;
- детальные исследования выполняются в интервале продуктивных отложений; принимая во внимание блоковое строение месторождения, сложные геолого-технические условия (повышенная температура, давление), низкие коллекторские свойства, сложности с выделением коллекторов и определением характера насыщения, рекомендуется в дополнение к выше перечисленным включить в комплекс следующие методы: многозондовый боковой каротаж (БК), микробоковой (МБК), однозондовый ИК кривая проводимости, микрозондирование (МКЗ), компенсированный нейтронный каротаж по тепловым нейтронам (КНК), гамма-гамма плотностной (ГГКП), акустический (АК) каротажи, спектральный гамма-каротаж (СГК) в отдельных скважинах.

Геофизические исследования должны проводится при заполнении скважины раствором, на котором вскрывался разрез.

Этапность, интервальность и очерёдность проведения ГИС определяются в проектах на строительство скважин.

Рекомендуемый комплекс при хорошем качестве записи геофизических параметров, позволяет выделить коллекторы, определить пористость, коэффициент газонасыщенности.

Геофизические исследования по контролю за разработкой в обсаженной скважине

Основными задачами ГИС по контролю в период разработки газовых залежей месторождения Айракты являются:

- определение текущей газонасыщенности пластов-коллекторов;
- изучение профилей притока и состава пластового флюида, поступающего в скважину;
 - выделение работающих толщин;
 - определение положения ГВК;
 - контроль технического состояния скважин и скважинного оборудования.

Геофизические исследования по выделению работающих толщин, определению профиля и состава притока на месторождении проведены во всех 11 скважинах добывающего фонда. Комплекс методов включал следующие измерительные датчики: ГК, локатор муфт (ЛМ), термометр (ТМ), манометр (МН), термоиндикация притока (СТД), резистивиметр (РИС), влагомер (ВЛ), плюс модуль механического расходомера (РГД).



Замеры проводились при вводе новых скважин в эксплуатацию, вывода скважин из консервации, а также до и после проведения различных геолого-технических мероприятий (дострелы, перестрелы, ГРП). Всего выполнено 28 замеров. Результаты проведенных исследований представлены в приложении 33. По выполненным исследованиям коэффициент охвата работающими толщинами (К_раб) изменяется по залежи А от 0,23 до 0,77 в среднем составляет 0,52; по залежи Б диапазон изменения и среднее значение коэффициента охвата работающими толщинами существенно ниже - от отсутствия притока до 0,71, среднее значение 0,35. Уменьшение коэфициента охвата работающими толщинами перфорированных интервалов залежи Б, возможно связано с состоянием призабойной зоны и некоторым ухудшением коллекторских свойств (залежь А: Кп_ср=0,13д.ед, Кпр_ср=1,98мД; залежь Б: Кп_ср=0,12д.ед, Кпр_ср=1,90мД). На рис.8.1 показаны распределения пористости работающих и не работающих толщин.

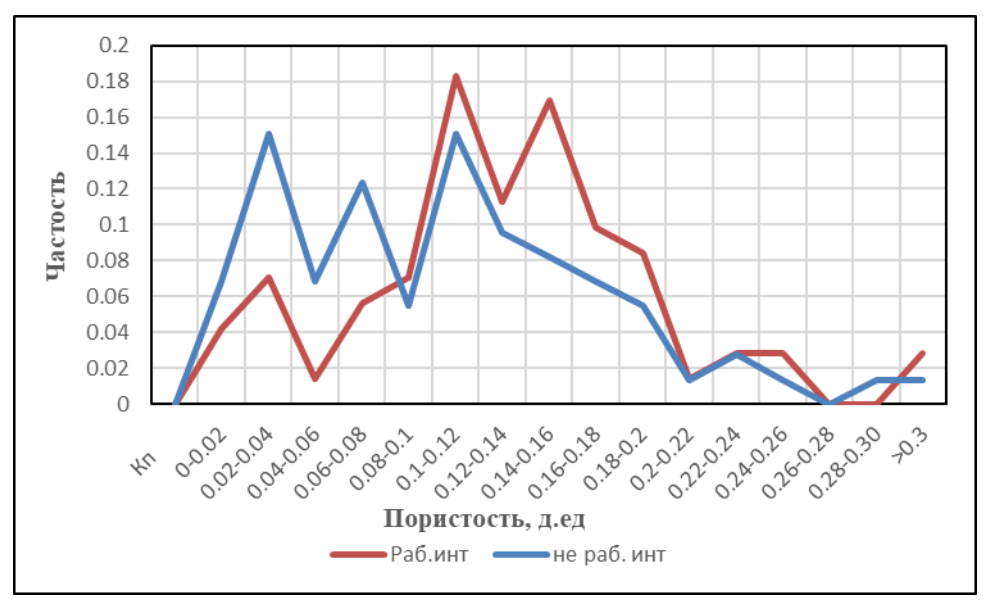


Рисунок 8.1 – Распределение пористости работающих и не работающих перфорированных толщин залежей **A** и **Б**

Получение притока пластового флюида в скважину против интервалов с низкой пористостью и в некоторых скважинах Кох работающими толщинами более эффективной толщины коллектора, вероятно связано с перетоками из интервалов коллекторов и поступлением пластового флюида через перфорационные отверствия против интервалов неколлекторов.

Выполняемый в скважинах месторождения комплекс геофизических методов по контролю эффективен и рекомендуется для дальнейшего использования.



Текущее насыщение. Для контроля за положением уровня газоводояного контакта и оценки текущей нефтенасыщенности коллекторов, а также возможно пропущенных продуктивных коллекторов на месторождении в настоящее время выполнено 11 замеров ИННК в 8 скважинах (приложение 34).

В условиях месторождения Айракты геофизические исследования по определению текущей газонасыщенности методом ИННК выполняются обычно с включением в комплекс с определением профиля притока.

Исследования ИННК необходимо выполнять в скважинах, где продуктивные пласты не вскрыты перфорацией. Достоверность определения текущей нефтенасыщенности и ГВК против перфорированных пластов-коллекторов снижается изза искажающего влияния приствольной зоны пласта на показания зондов ИННК.

В заключение необходимо отметить. Для получения информации, наиболее достоверно отражающей работу пласта, необходимо соблюдать правила компоновки скважинного оборудования: башмак НКТ должен находиться выше верхних перфорационных отверстий более 10 м, расстояние от нижних отверстий до искусственного забоя (зумпф) не менее 10 м.

При проведении исследований должна быть предоставлена вся информация, связанная с компоновкой подземного оборудования и выполненными на скважине работами, которая может оказать помощь при решении поставленных задач-целей исследований. Примеры такой информации приведены ниже:

- время и виды ремонтных работ в скважине (смена подземного оборудования, КРС и ПРС, изоляционные работы, дополнительная перфорация и реперфорация, интенсификация с целью увеличения добычи и т.д.);
 - данные о дебитах, обводнённости;
 - глубина положения башмака НКТ;
- пластовое/забойное давление, продуктивность, депрессия, если проводились гидродинамические исследования скважины.

Техническое состояние скважин.

Неотъемлемой частью контроля за разработкой месторождения является контроль за техническим состоянием скважин, в задачу которого входит выявление нарушений герметичности цементного кольца и обсадной колонны. Первоначальные исследования проводятся непосредственно после выхода скважины из бурения, спуска обсадной колонны и цементажа для определения высоты подъема цемента и сцепления цементного камня с



колонной. Данные этих исследований используются также в качестве фоновых измерений для изучения динамики образования дефектов в процессе эксплуатации скважины.

Периодические исследования в процессе эксплуатации скважин по мере необходимости.

Качество цементирования колонн контролируется выполнением акустической цементометрии (АКЦ).

Задачи контроля технического состояния скважины могут решаться комплексом методов приток-состав-флюида, описанный выше, а также, дополненные в случае необходимости АКЦ, скважинной гамма-дефектомерией-толщинометрией (СГДТ) или электромагнитной дефектоскопией (ЭМДС).

За весь период разработки месторождения Айракты геофизические исследования по контролю технического состояния обсаженных скважин выполнен по 11 скважинам.

Начальный замер качества цементажа после обсадки эксплуатационной колонной (ЭК) был выполнен в 7 новых (101-107) пробуренных скважинах. Кроме скважины 102, качество цементирования э/колонны новых скважин неудовлетворительное — в интервале продуктивной толщи более 31%, контакт цемента с колонной характеризуется как отсутствует и плохой. В скважине 105 контакт цемента в 63% длины колонны отсутствует. Данных о дозаливке цемента и исследований после повторного цементажа скважин к отчету не предоставлено.

Заключение на месторождений Айракты промыслово-геофизические исследования по контролю за разработкой проводятся в объёме, позволяющем своевременно оптимизировать процесс разработки. В частности, за последние три года сервисными компаниями ТОО «ГеоМунайРесурс», ТОО «УзеньГеоСервис» выполнено более 29 исследований, направленных на определение профиля и состава притока, технического состояния эксплуатационных скважин и текущего насыщения пластов.

8.2 Контроль за состоянием и эксплуатацией скважин и скважинного оборудования

На месторождении осуществляется ежесуточный контроль за эксплуатацией скважин, проводятся замеры дебита газа, газового конденсата, трубного, затрубного и межколонных давлений, проводится ежесуточный контроль за значениями устьевой температуры с регистрацией в специальном журнале.

Ведётся контроль за значениями межколонного давления, при обнаружении проводятся работы по ликвидации причин его возникновения.



Для контроля технического состояния наземного оборудования регулярно проводится визуальный осмотр и при необходимости профилактический ремонт (смазка запорных узлов и механизмов).

Данные систематического контроля режимов эксплуатации скважин, проводимых на них ремонтов, изменений режимов должны фиксироваться в специальных журналах и рапортах. По этим данным устанавливается необходимый (оптимальный) режим эксплуатируемой скважины, а также скважин, находящихся в аналогичных условиях.

На основании систематического изучения эксплуатации каждой скважины составляются графики проведения профилактических работ, своевременное выполнение которых обеспечивает нормальную работу скважин.

При накоплении газа (увеличении давления) в межколонном пространстве за короткий период времени, необходимо приостановить эксплуатацию (заглушить скважину) и устранить источник поступления газа.

Для контроля технического состояния наземного оборудования необходимо регулярно проводить: визуальный осмотр и профилактический ремонт (смазка запорных устройств и механизмов).

Контроль за внутрискважинным оборудованием проводится на основании наблюдений за трубным и затрубным давлениями, изменения соотношений которых в большую или меньшую сторону характеризуют состояние подземной части скважины. Проводимые мероприятия по определению технического состояния наземного и подземного оборудования, являются обязательными для выявления и своевременного устранения неисправностей наземного и подземного оборудования.

8.3 Газодинамические и газоконденсатные исследования

К газодинамическим методам исследований относятся методы определения свойств и характеристик продуктивных пластов и скважин.

Замер забойных параметров производится для оценки фактического режима эксплуатации скважины. При регистрации параметров с заданным по глубине или при использовании датчика положения и скорости определяется равномерность распределения фаз в стволе скважины. В результате замера получаем данные такие как: забойное давление; забойная температура.

Газодинамические исследования делаются на стационарных (методом режимных исследований с замером давления глубинным манометром на забое) и нестационарных режимах фильтрации (методом восстановления давления (КВД) и обязательно проводятся



при вводе каждой новой скважины в эксплуатацию, и далее по мере необходимости, но не реже одного раза в год.

При исследовании методом установившихся отборов, при стационарных режимах фильтрации, необходима полная стабилизация устьевых, забойных давлений и дебита на каждом режиме. В зависимости от производительности скважины и создаваемой депрессии исследования следует проводить на 3-5 режимах прямым и обратным ходом с повторением 2-4 режимов на обратном ходе.

Для оценки истинного скин-фактора производится регистрация кривой спада забойных давлений на каждом режиме. Для определения параметров пласта производится регистрация кривой восстановления давления (КВД).

За анализируемый период газодинамические исследования выполнены во всех добывающих скважинах №№1Г, 6Г, 101, 102, 103, 104, 105, 106, с периодичностью один раз в год.

Газогидрохимические исследования включают в себя:

- 1. Лабораторные газоконденсатные исследования (разовые исследования),
- 2.Отбор и исследование устьевых проб газа с периодичностью 2 раза в год,
- 3.Отбор устьевых проб конденсата на определение физико-химических свойств с периодичностью 1 раз в год,
- 4. Отбор устьевых проб конденсата на определение содержание вод 1 раза в квартал, а в обводнившихся скважинах 1 раз в месяц,
 - 5. Химический анализ попутно-добываемой воды при ежемесячном отборе.

Газоконденсатные исследования проводились на месторождении с периодичностью один раз в год в скважинах №№1Г, 6Г, 103, 104, 105, 107. В результате исследований определены: давление начала и максимальной конденсации, компонентный состав пластового газа, коэффициент сверхсжимаемости пластового газа, плотность стабильного конденсата, коэффициент конденсатоотдачи при режиме эксплуатации на истощение.

При изучении химического состава газа, конденсата и воды необходимо определять наличие и содержание в них компонентов, оказывающих вредное влияние на оборудование при добыче, подготовке, транспортировке (коррозионную агрессивность к металлу и цементу, выпадение солей, механических примесей и др.). При анализе проб конденсата обратить внимание на содержание углеводородного и фракционного состава.

В таблице 8.3.1 представлен комплекс исследований по контролю за разработкой.



Таблица 8.3.1 – Комплекс исследований по контролю за разработкой

| Таблица 8.3.1 – Комплекс исследований по Виды исследований | Категории и виды скважин | Пормолимироти | | | | | | | |
|--|--|--|--|--|--|--|--|--|--|
| | исследования в открытом ство | Периодичность | | | | | | | |
| • | Геолого-технические исследования (ГТИ | | | | | | | | |
| газ.каротаж) | | 3 скв. | | | | | | | |
| Отбор керна | Во вновь пробуренных | 3 скв.* C ₁ s - 10-15 м C ₁ t - 10-15 м | | | | | | | |
| Исследование образцов стандартным и специальным комплексом лабораторных методов | | *C ₁ s - 15-20 обр. *C ₁ t - 15-20 обр. | | | | | | | |
| Комплекс ГИС в открытом стволе (КС, ПС, Дс, ГК, КНК, АК, ГГКП, БК, ИК, МБК, МКЗ, ТМ, РИ) | Во вновь пробуренных | Разовые исследования при окончании бурения всех проектных скважин | | | | | | | |
| Геофизические ис | следования в обсаженных скваг | жинах | | | | | | | |
| Оценка текущей газонасыщенности коллекторов, контроль за перемещением ГВК (ИННК/ИНГК) | Разовые исследования при вводе в эксплуатацию (как фоновый замер) | При переходе на вышележащий объект разработки | | | | | | | |
| В добывающих скважинах выделение работающих толщин, состава поступающего в скважину флюида, заколонных перетоков (ГК, ЛМ, ТМ, БМ, ВЛ, РИ, ТА и/или РМ) | В добывающих скважинах при эксплуатации | -не менее 30% от действующего фонда; -при изменении технологических показателей скважины; до и после проведения ГТМ по интенсификации добычи | | | | | | | |
| Техническое состояние эксплуатационных скважин: во всех вновь пробуренных (АКЦ, ТМ, ГК, ЛМ) | Во всех вновь пробуренных | Разовые исследования после окончания строительства скважины В процессе эксплуатации по | | | | | | | |
| в действующих скважинах (ГК, ЛМ, ТМ, БМ, ВЛ, РИ, ТА и/или РМ, ЭМДС) | В действующих скважинах | мере необходимости | | | | | | | |
| Газогидр | охимические исследования | | | | | | | | |
| Лабораторные газоконденсатные исследования | По новым скважинам (с учетом графика бурения и ввода в эксплуатацию) | Разовые исследования | | | | | | | |
| Последования | По эксплуатационным скважинам | Разовые исследования | | | | | | | |
| Отбор устьевых проб газа | Эксплуатационный фонд скважин | 2 раза в год | | | | | | | |
| Отбор устьевых проб конденсата на определение физико-химических свойств | По эксплуатационным скважинам | 1 раз в год | | | | | | | |
| Отбор устьевых проб конденсата на определение содержания воды | По эксплуатационным добывающим скважинам | 1 раз в квартал; в обводнившихся скважинах – 1 раз в месяц | | | | | | | |
| Отбор проб и химический анализ попутно-добываемой воды | По эксплуатационным скважинам | 1 раз в месяц | | | | | | | |
| | инамические исследования | I a | | | | | | | |
| Замер дебитов газа | Действующий фонд скважин | 1 раз в месяц | | | | | | | |
| Исследования методом установившихся | По новым скважинам | Разовое исследование | | | | | | | |
| отборов (МУО). Исследования методом восстановления | в добывающих скважинах По новым скважинам | 1 раз в 2 года Разовое исследование | | | | | | | |
| давления (КВД, УКВД, МВУ). | в добывающих скважинах | 1 раз в 2 года | | | | | | | |
| Определение забойного и пластового | По новым скважинам | Разовое исследование | | | | | | | |
| давления. | по действующим скважинам | 1 раз в квартал. | | | | | | | |
| Определение пластовой температуры. | По новым скважинам | Разовое исследование | | | | | | | |
| * HOLL HOUSE | | • | | | | | | | |

^{*} при признаках продуктивны



9 ОХРАНА НЕДР И ОКРУЖАЮЩЕЙ СРЕДЫ

В разделе представлены результаты оценки воздействия на окружающую среду при реализации «Проекта разработки месторождения Айракты». Для более углубленной и комплексной оценки потенциального воздействия на природную среду производственных работ разработаны отдельные самостоятельные материалы «Оценки воздействия на окружающую среду к «Проекту разработки месторождения Айракты». В рамках материалов ОВОС проведено изучение современного состояния природной среды, определение характера, степени и масштаба воздействия работ на экологически чувствительную зону района проектируемых работ.

Результаты комплексной оценки потенциального воздействия на природную среду представлены в таблице 9.1.



Таблица 9.1 – Результаты комплексной оценки потенциального воздействия на природную среду

| Компоненты | Факторы воздействия | Мероприятия по снижению | Катег | Категория | | |
|-------------------------------|---|--|---|--------------------------------------|--|--------------------------------|
| окружающей среды | на окружающую среду | отрицательного техногенного воздействия на окружающую среду | Пространственный масштаб | Временной масштаб | Интенсивность воздействия | значимости, балл |
| 1 | 2 | 3 | 4 | 5 | 6 | 7 |
| Атмосфера | Работа основного и вспомогательного оборудования. Шумовые воздействия. | Профилактика и контроль оборудования. Использование противовыбросового оборудования. Контроль за состоянием атмосферного воздуха. | Местное воздействие (площадь воздействия до 10 км2 для площадных объектов или на удалении до 1 км от линейного объекта) | Многолетнее воздействие (постоянное) | Умеренное воздействие (изменения в природной среде превышают пределы природной изменчивости, но природная среда полностью самовосстанавливается) | Воздействие средней значимости |
| | | | 2 | 4 | 3 | 24 |
| Грунтовые и подземные воды | Возможное аварийное загрязнение вод. | Размещение объекта с учетом инженерно-геологических условий. Применение конструктивных решений, исключающих подпор грунтовых вод или уменьшение инфильтрационного питания. | Местное воздействие (площадь воздействия до 10 км2 для площадных объектов или на удалении до 1 км от линейного объекта) | Многолетнее воздействие (постоянное) | Незначительное воздействие (изменения в природной среде не превышают существующие пределы природной изменчивости) | Воздействие средней значимости |
| | | Оперативная ликвидация аварийных разливов. | 2 | 4 | 2 | 16 |
| Недра | I Виут п иппастовые | Изоляция водоносных горизонтов. Герметичность подземного и наземного оборудования. Тщательное планирование размещения различных сооружений. | Местное воздействие (площадь воздействия до 10 км2 для площадных объектов или на удалении до 1 км от линейного объекта) | Многолетнее воздействие (постоянное) | Сильное воздействие (компонент природной среды теряет способность к самовосстановлению) | Воздействие высокой значимости |
| | | | 2 | 4 | 4 | 32 |
| Ландшафты | Механические нарушения. Возникновение техногенных форм рельефа. Оврагообразование и эрозия. | Оптимизация размещения площадок и прочих объектов. Рекультивация земель. Запрет на движение транспорта вне дорог. | Местное воздействие (площадь воздействия до 10 км2 для площадных объектов или на удалении до 1 км от линейного объекта) | Многолетнее воздействие (постоянное) | Слабое воздействие (94% от земельного отвода временно выведено вследствие расположения объектов, с последующей рекультивацией в том числе и биологической) | Воздействие средней значимости |

Продолжение таблицы 9.1

| 1 | 2 | 2 | 1 | - | - | 7 |
|-------|---|--|---|--|---|--------------------------------------|
| 1 | 2 | 3 | 4 | 5 | 6 | 7 |
| Почвы | Нарушение и загрязнение почвенно- растительного слоя. | Создание системы контроля за состоянием почв. Профилактика и ликвидация аварийных разливов. Запрет на движение транспорта вне дорог. | Местное воздействие (площадь воздействия до 10 км2 для площадных объектов или на удалении до 1 км от линейного объекта) | Многолетнее воздействие (постоянное) | Слабое воздействие (механическими воздействиями нарушены гумусо-аккумулятивный горизонт, нарушено его сложение и структура, уплотнение иллювиального горизонта, активизируются эрозионные процессы, без образования новых форм, загрязнение почв нефтяными углеводородами и/или другими веществами вызывает изменение физико-химических свойств с сохранением направленности основных почвообразовательных процессов и режимов, приобретенные свойства не доминируют над природными, сохраняется способность почв к самовосстановлению) | Воздействие средней значимости |
| | | | 2 | 4 | 2 | 16 |

Продолжение таблицы 9.1

| 1 | 2 | 3 | 4 | 5 | 6 | 7 |
|----------------|--|---|---|--|---|--------------------------------|
| Растительность | Уничтожение травяного покрова. Химическое, тепловое и электромагнитное воздействие. Иссушение. | Противопожарные мероприятия. | Местное воздействие (площадь воздействия до 10 км2 для площадных объектов или на удалении до 1 км от линейного объекта) | Многолетнее воздействие (постоянное) | Умеренное воздействие (Выведение земель из оборота вследствие расположения постоянных объектов, площадок хранения отходов и т.д. с последующей рекультивацией без биологической стадии) | Воздействие средней значимости |
| | | | 2 | 4 | 3 | 24 |
| Животный мир | Незначительное уменьшение мест обитания. Фактор беспокойства. Шум от работающих агрегатов. | Строительство специальных ограждений. Обустройство мест на размещение отходов. Создание маркировок на объектах и сооружениях. | Местное воздействие (площадь воздействия до 10 км2 для площадных объектов или на удалении до 1 км от линейного объекта) | Многолетнее воздействие (постоянное) | Умеренное воздействие (Выведение земель из оборота вследствие расположения постоянных объектов, площадок хранения отходов и т.д. с последующей рекультивацией без биологической стадии) | Воздействие средней значимости |
| | | | 2 | 4 | 3 | 24 |

Таким образом, влияние проектируемых работ на окружающую среду согласно интегральной оценки равной 152 (среднее значение 27,7 баллов).

Анализируя степень вышеперечисленных критериев на каждый компонент окружающей среды по каждому из вариантов разработки можно сказать, что ожидаемое экологическое воздействие на окружающую среду на контрактной территории месторождений допустимо принять как:

- Ограниченное воздействие (площадь воздействия до 10 км2 для площадных объектов или на удалении до 1 км от линейного объекта);
- Умеренное воздействие (изменения среды превышают пределы природной изменчивости, приводят к нарушению отдельных компонентов природной среды. Природная среда сохраняет способность к самовосстановлению поврежденных элементов);
 - Многолетнее воздействие (постоянное).

Таким образом, интегральная оценка воздействия разработки месторождения Айракты оценивается как воздействие средней значимости.



10 МЕРОПРИЯТИЯ ПО ДОРАЗВЕДКЕ МЕСТОРОЖДЕНИЯ

По состоянию на 01.07.2020 г. был выполнен «Пересчет запасов газа, конденсата и попутных компонентов по нижневизейскому горизонту (C_1v_1), оценка ресурсов углеводородов по 3-м горизонтам (C_1 sr, C_1v_2 , C_1 t) месторождения Айракты» (Протокол № 2349-21-У от 11.10.2021 г.).

В результате подсчета в целом по месторождению запасы газа составили по категориям:

пластового

 $C_1 - 5393$ млн.м³ геологические, в том числе извлекаемые 2627 млн.м³,

 $C_2 - 948$ млн.м³ геологические, в том числе извлекаемые 356 млн.м³.

конденсата

 $C_1 - 194$ тыс.т геологические, в том числе извлекаемые 91 тыс.т,

 $C_2 - 34$ тыс.т геологические, в том числе извлекаемые 11 тыс.т.

Запасы *сухого газа* составляют по категории: C_1 - 5338 млн.м³; C_2 - 939 млн.м³.

Протоколом ГКЗ РК (Протокол № 2349-21-У от 11.10.2021 г.) Недропользователям было рекомендовано:

- -продолжить уточнение структурно-тектонической модели месторождения;
- -предусмотреть отбор проб пластовой воды;
- -продолжить проведение специальных исследований на керне;
- -продолжить проведение гидродинамических исследований и замеры пластового давления;
 - -продолжить уточнение ГВК;
 - -доизучить запасы пермских горизонтов;
 - -предусмотреть интенсификационные по увеличению длины трещин;
 - -доразведать запасы, оцененные по категории С2 с целью перевода в С1.

Запасы газа, оцененные по категории C_2 составили всего 15% от подсчитанных по месторождению. В целях дальнейшего доизучения месторождения недропользователю рекомендуется продолжить работы по доизучению запасов, оцененных по категории C_2 бурением оценочной скважины N 9.

Скважину №9 предлагаем пробурить в 2027 году во II блоке на северо-восток 850 м от скважины №8. Целью бурения является прослеживание продуктивных горизонтов по площади и разрезу, уточнение положение ГВК и получение необходимых данных для перевода запасов газа из категории С₂ в категорию С₁.



Проектные координаты оценочной скважины №9: X-12 694 375,40, У-4 888 657,27 (С.Ш. 44° 6' 24,96" и В.Д. 71° 25' 39,89").

Недропользователю по результатам бурения оценочной скважины №9 предлагается рассмотреть возможность бурения еще одной оценочной скважины с целью доразведки блока I нижневизейской залежи С_{1V1}-A, с извлекаемыми запасами 98 млн.м³.

Рекомендуем доразведать блок III нижневизейских залежей с извлекаемыми запасами 26 млн.м³ путем зарезки бокового ствола в направлении северо-востока.

В случае обнаружения новых залежей УВС или перспективных объектов на получение газа в результате бурения оценочной скважины, предусмотреть их испытание с целью оценки и доизучения месторождения, провести отбор и исследование керна.

По данным ГИС в скважине 103 выделен газонасыщенный коллектор в интервале 827-830,7 м (-448,0-451,7 м), 832,9-838,5 м (-453,9-459,5 м) и 846,2-851,1 м (-467,2-472,1 м) с эффективными толщинами 3,7м, 5,6м и 4,9м соответсвенно. Кп и Кг в этих интервалах колеблется в пределах 0,10-0,13д.ед. и 0,60-0,66д.ед. соответсвенно. Таким образом, согласно рекомендации ГКЗ РК с целью доизучение продуктивности пермыской залежи предлагаем в интервалах 827-838м провести опробования. При положительном результате опробования рекомендуем отобрать устьевые и поверхностные пробы газа.

В нижневизейских залежах, в которых сосредоточены 3,8 млн.м³ извлекаемых запасов гелия, рекомендуется отобрать глубинные пробы газа для достоверности информации о гелионосности.



11 ОПЫТНО-ПРОМЫШЛЕННЫЕ ИСПЫТАНИЯ НОВЫХ ТЕХНОЛОГИЙ И ТЕХНИЧЕСКИХ РЕШЕНИЙ

Третий вариант настоящего проекта предусматривает проведение опытнопромысловых испытаний технологии бурения горизонтальной скважины в нижневизейском продуктивном горизонте (C1v1) с использованием МГРП (многостадийного гидроразрыва пласта).

Применение данной технологии на месторождении Айракты было рекомендовано компанией «Schlumberger» на основе анализа обновленной геологической модели после получения новых данных.

Горизонтальное бурение с МГРП возможно будет целесообразным на месторождении Айракты – горизонтальный ствол в длине 500 м будет пересекать и хорошие, и плохие по ФЕС (фильтрационные емкостные свойства) участки, тем самым повышения шанс удачной эксплуатации скважины.

В разделе 7.1 приведена проектная конструкция скважины 110 (горизонтальная).

На рисунке 11.1 представлен предлагаемый профили бурения горизонтальной скважины 110.

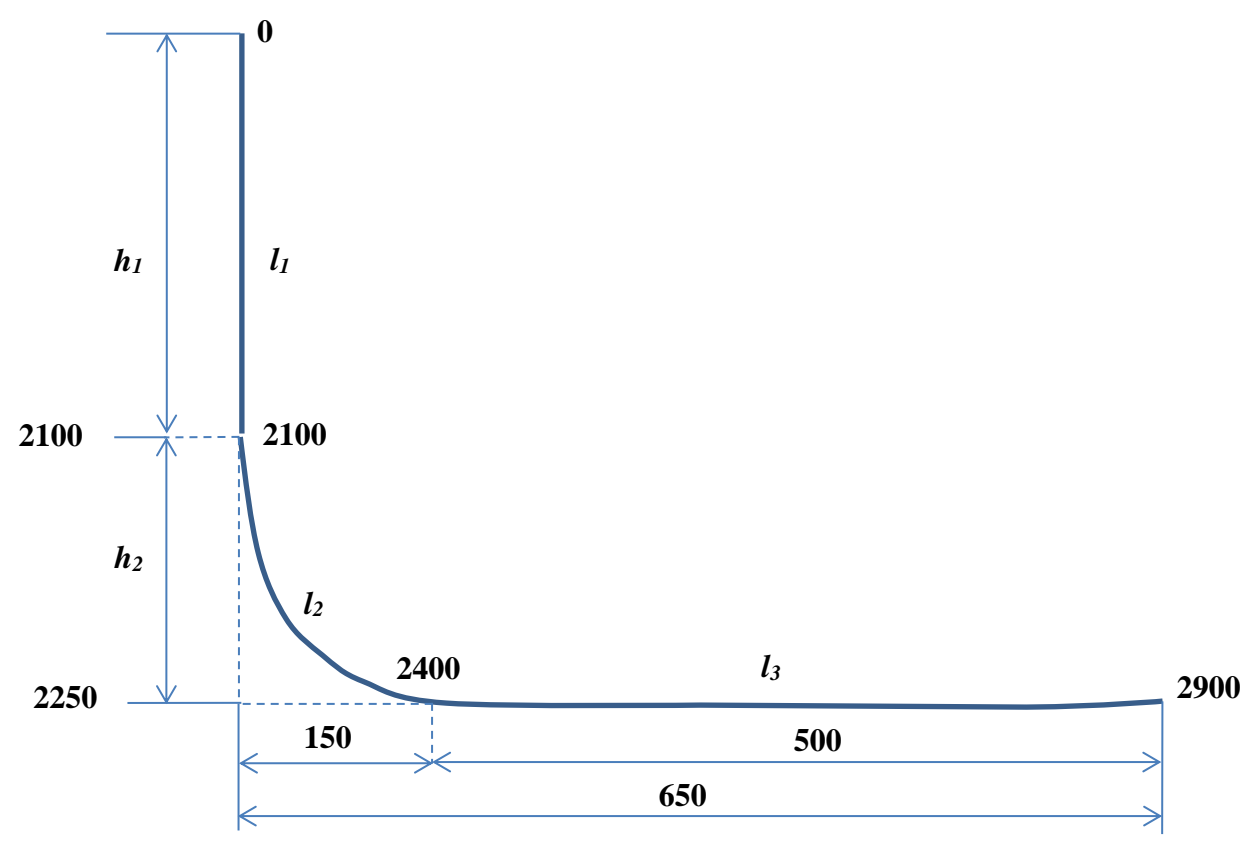


Рисунок 11.1 – Предлагаемый профиль бурения горизонтальной скважины 110



Где: $i_{\alpha} = 3.0$ град/10м — темп набора кривизны;

 $h_1 = l_1 = 2100 \text{ м}$ - вертикальный участок;

 $l_2 = 300 \text{ м}$ - участок набора кривизны;

 $l_3 = 500 \text{ м}$ - горизонтальный участок.

Азимут ствола скважины- 347°.

Количество муфты ГРП- 5 единиц, с расчетом через каждые 100 м горизонтального ствола (уточняется по данным ГИС). Предусматривается проппантовое ГРП. Объём проппанта определяется согласно дизайну ГРП.

Решение по выбору буровой компании и компании-исполнителя проппантного МГРП будет принято непосредственно Недропользователем.



12 РАСЧЕТ СУММЫ ОБЕСПЕЧЕНИЯ ЛИКВИДАЦИИ ПОСЛЕДСТВИЙ НЕДРОПОЛЬЗОВАНИЯ

После окончания разработки месторождения углеводородного сырья на его территории остается ряд стационарных объектов, дальнейшая эксплуатация которых не планируется. В действующем законодательстве предусмотрены особенности ликвидации последствий операций по недропользованию, с учетом их видов, которые определяются Особенной частью Кодекса «О Недрах и недропользовании» Республики Казахстан.

Ликвидацией последствий недропользования является комплекс мероприятий, проводимых с целью приведения производственных объектов и земельных участков в состояние, обеспечивающее безопасность жизни и здоровья населения, охраны окружающей среды.

Кроме того, финансирование ликвидации последствий недропользования проводится за счет недропользователя или лица, непосредственно являющегося недропользователем до прекращения соответствующей лицензии или контракта на недропользование. Исполнение обязательства по ликвидации может обеспечиваться гарантией, залогом банковского вклада и (или) страхованием.

К отношениям по разрешениям и лицензиям на недропользование по углеводородам, выданным, а также по контрактам на недропользование по углеводородам, заключенным до введения в действие Кодекса Республики Казахстан «О недрах и недропользовании» (с изменениями и дополнениями от 24.05.2018г.) по истечении тридцати шести месяцев со дня введения в действие настоящего Кодекса, согласно пунктам 8 и 9 статьи 126:

п.8 «Банковский вклад, являющийся предметом залога, обеспечивающего исполнение обязательств по ликвидации последствий добычи, формируется посредством взноса денег в размере суммы, определенной в проекте разработки месторождения пропорционально планируемым объемам добычи углеводородов»;

Для определения размера ликвидационных расходов, в целях планирования ежегодных отчислений в ликвидационный фонд были рассчитаны:

- затраты на ликвидацию скважин;
- расчет затрат на ликвидацию объектов нефтепромыслового обустройства;
- расчет затрат на рекультивацию земли;
- платежи за выбросы в атмосферу, образующиеся в процессе демонтажных работ, размещение отходов производства.



Таким образом, общие ликвидационные затраты по месторождению составят суммарные затраты на ликвидацию скважин, затраты на демонтажные работы объектов обустройства промысла, рекультивацию земли, платежи за выбросы от демонтажных работ и размещение отходов.

Согласно Программе ликвидации последствий деятельности недропользования общая сметная стоимость отчислений в Ликвидационный фонд по рекомендуемому 3 варианту разработки по текущим ценам на 2021 год составляет **258 868,37** тыс.тенге.(без НДС). Ликвидационный фонд аккумулируется на специальном депозитном счете банка Республики Казахстан.

На депозитный счет предприятия на конец 2020 года перечислено **11 839,15 тыс. тенге.**

Таким образом, от запланированных затрат на ликвидацию месторождения с учетом прочих расходов осталось перечислить на депозитный счет **247 029,37 т.тенге.**

Согласно главы 12 «Методических рекомендаций по составлению проектов разработки газовых и газоконденсатных месторождений», в рамках проекта разработки необходимо определить удельный норматив отчислений в тенге на 1 млн.м³ добытого газа

Расчет удельного норматива отчислений в ликвидационный фонд для обеспечения ликвидации последствий недропользования приведен в таблице 12.1.

Таблица 12.1 – Расчет удельного норматива отчислений в ликвидационный фонд

| Показатели | Ед. измерения | Базовая величина |
|---|---|---------------------|
| Всего базовая величина отчислений в Ликвидационный фонд, в ценах 2021года (за минусом возвратных сумм), без учета НДС | тыс. тенге | 249 932,37 |
| Затраты за выбросы вредных веществ при ликвидации объектов обустройства | тыс. тенге | 8 936,00 |
| Всего Ликвидационный фонд в базовых ценах 2021 года, без НДС | тыс. тенге | 258 868,37 |
| Курс доллара на момент расчета | тенге/\$ | 430 |
| Всего Ликвидационный фонд в базовых ценах 2021 года, без НДС | тыс.\$ | 602,02 |
| Проектируемая добыча газа за проектный период | млн.м ³ | 746,34 |
| Сумма фактических перечислений в фонд ликвидации | млн.м ³ | 11 839,00 |
| Остаточная стоимость Ликвид фонда | доли единицы | 247 029,37 |
| Базовый норматив отчислений в Фонд ликвидации - в ценах без учета | тыс тенге/1 млн. м ³ . запасов | 330,99 |
| инфляции при неизменном курсе доллара | $/ M^3$. | 0,77 |

Согласно п.9 ст.126 Кодекса «О недрах и недропользовании» сумма обеспечения исполнения обязательства по ликвидации последствий добычи определяется в проекте разработки месторождения на основе рыночной стоимости работ по ликвидации последствий добычи углеводородов и подлежит пересчету не реже одного раза в три года в рамках анализа разработки.



В таблице 12.2 представлены проектируемые отчисления в ликвидационный фонд по годам по месторождению Айракты по рекомендуемому 3 варианту. По остальным вариантам расчеты представлены в Приложениях.

Таблица 12.2 – Расчет стоимости платежей в ликвидационный фонд по 3 варианту, тенге

| Годы | Добыча сырого газа, млн.м ³ | Фактические перечисления сумм на депозитный счет | Отчисления в ликвид.фонд |
|-----------------|---|--|--------------------------|
| | | в .тыс.тенге | в .тыс.тенге |
| 1 | 2 | 3 | 4 |
| 2018 | | 1 202,31 | |
| 2019 | | 7 578,30 | |
| 2020 | | 3 058,54 | |
| 2021 | 25,97 | | 8 617,54 |
| 2022 | 29,30 | | 9 725,49 |
| 2023 | 39,77 | | 13 197,15 |
| 2024 | 50,62 | | 16 800,57 |
| 2025 | 63,09 | | 20 938,34 |
| 2026 | 94,40 | | 31 329,16 |
| 2027 | 103,95 | | 34 499,32 |
| 2028 | 91,00 | | 30 200,25 |
| 2029 | 82,41 | | 27 350,88 |
| 2030 | 79,86 | | 26 504,36 |
| 2031 | 83,97 | | 27 866,32 |
| Итого 2021-2031 | 744,34 | 11 839,15 | 247 029,37 |



СПИСОК ЛИТЕРАТУРЫ

- 1. Мамбетов У. М., Филипьев Г. П. и др. Отчет по подсчету запасов природных газов месторождений Амангельды и Айракты в Муюнкумской впадине Чу-Сарысуйской депрессии по работам за 1971-81 г.г. ЮКНЭ, ст. Тогуз, 1981 г.
- 2. Отчет по пересчету запасов газа нижневизейского продуктивного горизонта месторождения Амангельды Жамбылской области, 1996 г.
- 3. Отчет по подсчету запасов газа, конденсата и попутных компонентов месторождения Амангельды (Жамбылская область Республики Казахстан) по состоянию на 01.01.2006 г., г.Актау, АО «НИПИнефтегаз».
- 4. «Проект оценочных работ месторождении Айракты», ТОО «Даке Барлау», г. Тараз, 2011 г.
- 5. «Дополнение к проекту оценочных работ месторождении Айракты», ТОО «НПЦ», 2014 г.
- 6. «Пересчет запасов газа, конденсата и попутных компонентов нижневизейского (C1v1) яруса месторождения Айракты», ТОО «МКБ-АЛ», 2015 г.
- 7. «Проект опытно-промышленной эксплуатации месторождения Айракты», ТОО «Проектный институт «OPTIMUM», 2016 г.
- 8. «Авторский надзор за реализацией проекта опытно-промышленной эксплуатации месторождения Айракты», ТОО «Проектный институт «OPTIMUM», 2018 г.
- 9. «Анализ разработки месторождения Айракты», ТОО «Проектный институт «ОРТІМИМ», 2019 г.
- 10. «Авторский надзор за реализацией анализа разработки месторождения Айракты», ТОО «Проектный институт «ОРТІМИМ», 2020 г.
- 11. «Пересчет запасов газа, конденсата и попутных компонентов по нижневизейскому горизонту (C1v1), оценка ресурсов углеводородов по 3-м горизонтам (C1sr, C1v2, C1t) месторождения Айракты, Жамбылской области Республики Казахстан», ТОО «Проектный институт «ОРТІМИМ», 2021 г.
- 12. Кодекс Республики Казахстан о Недрах и Недропользовании от 27.12.2017 года № 125-VI с изменениями и дополнениями от 24.05.2018 г. №156-VI.
- 13. «Единые правила по рациональному и комплексному использованию недр» утвержден приказом Министра энергетики Республики Казахстан от 15 июня 2018 года № 239.
- 14. «Методические рекомендации по составлению проектов разработки газовых и газоконденсатных месторождений» утвержден приказом Министра энергетики Республики Казахстан от 24 августа 2018 года № 329.



- 15. РД 39-0147103-362-9-86 Руководство по применению антикоррозионных мероприятий при составлении проектов обустройства и реконструкции объектов нефтяных месторождений.
- 16. РД 153-39.0-072-01 «Техническая инструкция по проведению геофизических исследований и работ на кабеле в нефтяных и газовых скважинах», Москва, 2001 г.
- 17. Методические рекомендации по подсчёту геологических запасов нефти и газа объёмным методом Москва-Тверь. 2003 г.
- 18. Ширковский А.И. Разработка и эксплуатация газовых и газоконденсатных месторождений. Москва, Недра, 1979 г.
- 19. Б.В Дегтярев «Борьба с гидратообразованиями при эксплуатации газовых скважин в северных районах». «Недра», Москва, 1976 г.
- 20. Экологический кодекс Республики Казахстан, от 2 января 2021 г., № 400-VI Методика разработки проектов нормативов предельного размещения отходов производства и потребления. Приложение №16 к приказу Министра охраны окружающей среды Республики Казахстан от 18.04.2008 г. № 100-п.
- 21. «Методические указания при разработке газовых и газоконденсатных месторождений», согласовано приказом Комитета по государственному контролю за чрезвычайными ситуациями и промышленной безопасностью Министерства по чрезвычайным ситуациям РК от 20 августа 2008 г., №33.
- 22. «Инструкция по комплексному исследованию газовых и газоконденсатных пластов и скважин», Зотова Г.А., Алиева З.С.



ТАБЛИЧНЫЕ ПРИЛОЖЕНИЯ



Приложение 1 – Расчет дохода от продажи продукции по 1 варианту, в тыс. тенге

| Прило | жени | ie I – Pa | счет дохода | а от продажи і | продукции | по 1 вариант | у, в тыс. те | енге | |
|------------|-------------------------|--------------|---------------------|-------------------------|-------------------------------|--------------------------------------|-----------------|--------------------------------------|------------------|
| | | Добыч | | реализации продукции | Цены ре | ализации | Доход от | реализации | |
| Годы | Доб ыча газа | a | | Газоконденс | Товарный газ | Газоконден сат(средний +легкий | Товарный газ | Газоконденса т(средний+ле гкий | Итого доходов |
| | | | 13 | дистиллят) | 143 | дистиллят) | 15 | дистиллят) | |
| | млн . м ³ | тыс. тонн | млн. м ³ | млн. м ³ | тенге / тыс.м ³ | тенге / тыс.т. | тыс. тенге | тыс. тенге | тыс. тенге |
| 1 | 2 | 3 | 4 | 5 | 6 | 7 | 8 | 9 | 10 |
| 2021 | 26,0 | 0,26 | 25,9 | 0,26 | 39 000 | 116 000 | 1 008 625 | 30 422 | 1 039 047 |
| 2022 | 22,0 | 0,22 | 21,9 | 0,22 | 39 000 | 116 000 | 854 170 | 25 763 | 879 933 |
| 2023 | 26,2 | 0,26 | 26,1 | 0,26 | 39 000 | 116 000 | 1 018 412 | 30 717 | 1 049 129 |
| 2024 | 21,3 | 0,22 | 21,2 | 0,22 | 39 000 | 116 000 | 828 333 | 24 984 | 853 317 |
| 2025 | 22,1 | 0,22 | 22,0 | 0,22 | 39 000 | 116 000 | 856 632 | 25 837 | 882 470 |
| 2026 | 19,5 | 0,20 | 19,4 | 0,20 | 39 000 | 116 000 | 756 091 | 22 805 | 778 896 |
| 2027 | 19,3 | 0,19 | 19,2 | 0,19 | 39 585 | 117 740 | 760 785 | 22 947 | 783 732 |
| 2028 | 18,3 | 0,18 | 18,2 | 0,18 | 40 179 | 119 506 | 731 411 | 22 061 | 753 472 |
| 2029 | 17,1 | 0,17 | 17,1 | 0,17 | 40 781 | 121 299 | 696 174 | 20 998 | 717 172 |
| 2030 | 16,3 | 0,16 | 16,3 | 0,16 | 41 393 | 123 118 | 673 497 | 20 314 | 693 811 |
| 2031 | 15,9 | 0,16 | 15,9 | 0,16 | 42 014 | 124 965 | 666 805 | 20 112 | 686 917 |
| 2032 | 15,3 | 0,15 | 15,2 | 0,15 | 42 644 | 126 839 | 648 206 | 19 551 | 667 757 |
| | | 0,15 | 14,6 | 0,15 | 43 284 | 128 742 | 632 634 | 19 081 | 651 715 |
| 2034 | 14,1 | 0,14 | 14,0 | 0,14 | 43 933 | 130 673 | 617 054 | 18 611 | 635 666 |
| 2035 | 14,0 | 0,14 | 14,0 | 0,14 | 44 592 | 132 633 | 622 066 | 18 763 | 640 829 |
| 2036 | 13,9 | 0,14 | 13,8 | 0,14 | 45 261 | 134 623 | 625 741 | 18 873 | 644 614 |
| 2037 | 13,8 | 0,14 | 13,7 | 0,14 | 45 940 | 136 642 | 630 878 | 19 028 | 649 906 |
| 2038 | 13,7 | 0,14 | 13,6 | 0,14 | 46 629 | 138 692 | 634 633 | 19 142 | 653 775 |
| | 13,6 | 0,14 | 13,5 | 0,14 | 47 329 | 140 772 | 639 893 | 19 300 | 659 193 |
| 2040 | 13,5 | 0,14 | 13,4 | 0,14 | 48 038 | 142 884 | 643 730 | 19 416 | 663 146 |
| 2041 | 13,4 | 0,13 | 13,3 | 0,13 | 48 759 | 145 027 | 649 116 | 19 578 | 668 694 |
| 2042 | 13,2 | 0,13 | 13,2 | 0,13 | 49 490 | 147 202 | 653 034 | 19 697 | 672 731 |
| 2043 | 13,2 | 0,13 | 13,1 | 0,13 | 50 233 | 149 410 | 658 547 | 19 863 | 678 410 |
| 2044 | 13,0 | 0,13 | 13,0 | 0,13 | 50 986 | 151 652 | 662 548 | 19 984 | 682 531 |
| 2045 | 13,0 | 0,13 | 12,9 | 0,13 | 51 751 | 153 926 | 668 191 | 20 154 | 688 345 |
| 2046 | 12,8 | 0,13 | 12,8 | 0,13 | 52 527 | 156 235 | 672 274 | 20 277 | 692 551 |
| 2047 | | 0,13 | 12,7 | 0,13 | 53 315 | 158 579 | 678 050 | 20 451 | 698 501 |
| 2048 | 12,7 | 0,13 | 12,6 | 0,13 | 54 115 | 160 957 | 683 892 | 20 627 | 704 519 |
| 2049 | 12,6 | 0,13 | 12,5 | 0,13 | 54 927 | 163 372 | 688 119 | 20 755 | 708 874 |
| 2050 | 12,5 | 0,13 | 12,5 | 0,13 | 55 751 | 165 822 | 694 097 | 20 935 | 715 032 |
| 2051 | 12,4 | 0,13 | 12,4 | 0,13 | 56 587 | 168 310 | 700 142 | 21 117 | 721 259 |
| 2052 | 12,3 | 0,12 | 12,3 | 0,12 | 57 436 | 170 834 | 704 517 | 21 249 | 725 767 |
| Итого | | | | | | | | | |
| : 2021- | 504, 3 | 5,09 | 502,3 | 5,09 | | | 22 658 300 | 683 412 | 23 341 712 |
| 2052 | | | | | | | | | |
| 2053 | 12.2 | 0,12 | 12,2 | 0,12 | 58 297 | 173 397 | 710 703 | 21 436 | 732 139 |
| 2054 | | 0,12 | 12,1 | 0,12 | 59 172 | 175 998 | 715 163 | 21 571 | 736 733 |
| 2034 | 14,1 | 0,12 | 12,1 | 0,12 | 37 174 | 110 770 | /13/103 | 21 3/1 | 130 133 |



| Продо. | лжен | ие прил | ожения 1 | | | | | | |
|------------------------|-----------|---------|----------|------|--------|---------|------------|-----------|------------|
| 1 | 2 | 3 | 4 | 5 | 6 | 7 | 8 | 9 | 10 |
| 2055 | 12,1 | 0,12 | 12,0 | 0,12 | 60 059 | 178 638 | 721 492 | 21 761 | 743 253 |
| 2056 | 10,9 | 0,11 | 10,8 | 0,11 | 60 960 | 181 317 | 660 179 | 19 912 | 680 091 |
| 2057 | 10,8 | 0,11 | 10,8 | 0,11 | 61 875 | 184 037 | 666 241 | 20 095 | 686 336 |
| 2058 | 10,7 | 0,11 | 10,7 | 0,11 | 62 803 | 186 798 | 672 378 | 20 280 | 692 658 |
| 2059 | 10,7 | 0,11 | 10,6 | 0,11 | 63 745 | 189 600 | 676 871 | 20 416 | 697 286 |
| 2060 | 9,5 | 0,10 | 9,5 | 0,10 | 64 701 | 192 444 | 614 597 | 18 537 | 633 135 |
| 2061 | 9,5 | 0,10 | 9,4 | 0,10 | 65 671 | 195 330 | 620 444 | 18 714 | 639 158 |
| 2062 | 9,4 | 0,10 | 9,4 | 0,10 | 66 656 | 198 260 | 626 364 | 18 892 | 645 257 |
| 2063 | 9,4 | 0,09 | 9,3 | 0,09 | 67 656 | 201 234 | 632 355 | 19 073 | 651 428 |
| 2064 | 8,3 | 0,08 | 8,3 | 0,08 | 68 671 | 204 253 | 566 678 | 17 092 | 583 770 |
| 2065 | 8,2 | 0,08 | 8,2 | 0,08 | 69 701 | 207 316 | 570 844 | 17 218 | 588 062 |
| 2066 | 8,2 | 0,08 | 8,1 | 0,08 | 70 747 | 210 426 | 575 026 | 17 344 | 592 370 |
| 2067 | 8,1 | 0,08 | 8,1 | 0,08 | 71 808 | 213 583 | 580 688 | 17 515 | 598 203 |
| 2068 | 7,0 | 0,07 | 7,0 | 0,07 | 72 885 | 216 786 | 510 429 | 15 395 | 525 825 |
| 2069 | 7,0 | 0,07 | 7,0 | 0,07 | 73 978 | 220 038 | 515 513 | 15 549 | 531 062 |
| 2070 | 7,0 | 0,07 | 6,9 | 0,07 | 75 088 | 223 339 | 520 665 | 15 704 | 536 369 |
| 2071 | 6,9 | 0,07 | 6,9 | 0,07 | 76 214 | 226 689 | 525 882 | 15 861 | 541 743 |
| 2072 | 5,9 | 0,06 | 5,9 | 0,06 | 77 358 | 230 089 | 452 849 | 13 659 | 466 508 |
| 2073 | 5,8 | 0,06 | 5,8 | 0,06 | 78 518 | 233 540 | 457 374 | 13 795 | 471 169 |
| 2074 | 5,8 | 0,06 | 5,8 | 0,06 | 79 696 | 237 043 | 461 960 | 13 933 | 475 893 |
| 2075 | 5,8 | 0,06 | 5,8 | 0,06 | 80 891 | 240 599 | 466 606 | 14 074 | 480 680 |
| 2076 | 5,8 | 0,06 | 5,7 | 0,06 | 82 104 | 244 208 | 471 314 | 14 216 | 485 530 |
| 2077 | 5,7 | 0,06 | 5,7 | 0,06 | 83 336 | 247 871 | 476 084 | 14 359 | 490 443 |
| 2078 | 5,7 | 0,06 | 5,7 | 0,06 | 84 586 | 251 589 | 480 916 | 14 505 | 495 422 |
| 2079 | 5,7 | 0,06 | 5,7 | 0,06 | 85 855 | 255 363 | 485 813 | 14 653 | 500 465 |
| 2080 | 5,7 | 0,06 | 5,6 | 0,06 | 87 143 | 259 194 | 490 773 | 14 803 | 505 576 |
| Итого 2021- 2080 | 734, 3 | 7,4 | 731,3 | 7,4 | | | 38 584 502 | 1 163 773 | 39 748 275 |



Приложение 2 – Расчет дохода от продажи продукции по 2 варианту, в тыс. тенге

| IIpinion | | 1 40 101 | | реализации | 1 | о 2 варианту, | D TDICT TOIL | | |
|--------------|----------------|--------------|---------------------|---------------------|--------------------|--------------------|------------------------|------------------|------------------------|
| | Добы | Добыча | | продукции | Цены р | с еализации | Доход от | реализации | Итого |
| _ | ча | конденс | | | Товарны | Газоконденс | Товарны | Газоконденс | |
| Годы | газа | ата | й газ | ат | й газ | ат | й газ | ат | |
| | млн. | тыс. | млн. м ³ | млн. м ³ | тенге / | тенге / тыс.т. | тыс. | тыс. тенге | тыс. |
| 1 | м ³ | тонн 3 | 4 | 5 | тыс.м ³ | 7 | тенге 8 | 9 | тенге 10 |
| 2021 | 26,0 | 0,26 | 25,9 | 0,26 | 39 000 | 116 000 | 1 008 625 | 30 422 | 1 039 047 |
| 2022 | 29,3 | 0,30 | 29,2 | 0,30 | 39 000 | 116 000 | 1 138 303 | 34 333 | 1 172 636 |
| 2023 | 39,8 | 0,40 | 39,6 | 0,40 | 39 000 | 116 000 | 1 544 638 | 46 589 | 1 591 227 |
| 2024 | 63,4 | 0,64 | 63,1 | 0,64 | 39 000 | 116 000 | 2 462 627 | 74 277 | 2 536 904 |
| 2025 | 71,5 | 0,72 | 71,2 | 0,72 | 39 000 | 116 000 | 2 777 514 | 83 774 | 2 861 289 |
| 2026 | 66,3 | 0,67 | 66,0 | 0,67 | 39 000 | 116 000 | 2 574 644 | 77 656 | 2 652 300 |
| 2027 | 64,1 | 0,65 | 63,9 | 0,65 | 39 585 | 117 740 | 2 528 075 | 76 251 | 2 604 326 |
| 2028 | 61,9 | 0,62 | 61,6 | 0,62 | 40 179 | 119 506 | 2 475 716 | 74 672 | 2 550 388 |
| 2029 | 59,9 | 0,60 | 59,7 | 0,60 | 40 781 | 121 299 | 2 432 626 | 73 372 | 2 505 998 |
| 2030 | 58,0 | 0,59 | 57,8 | 0,59 | 41 393 | 123 118 | 2 391 527 | 72 132 | 2 463 659 |
| 2031 | 56,2 | 0,57 | 56,0 | 0,57 | 42 014 | 124 965 | 2 352 262 | 70 948 | 2 423 210 |
| 2032 | 54,5 | 0,55 | 54,3 | 0,55 | 42 644 | 126 839 | 2 314 692 | 69 815 | 2 384 507 |
| 2033 | 53,0 | 0,54 | 52,8 | 0,54 | 43 284 | 128 742 | 2 285 569 | 68 937 | 2 354 506 |
| 2034 | 51,4 | 0,52 | 51,2 | 0,52 | 43 933 | 130 673 | 2 250 899 | 67 891 | 2 318 790 |
| 2035 | 50,1 | 0,51 | 49,9 | 0,51 | 44 592 | 132 633 | 2 224 379 | 67 091 | 2 291 470 |
| 2036 | 48,8 | 0,49 0,48 | 48,6 47,2 | 0,49 0,48 | 45 261 45 940 | 134 623 136 642 | 2 198 902 2 167 883 | 66 323 65 387 | 2 265 225 2 233 270 |
| 2037 | 47,4 | 0,48 | 46,0 | 0,48 | 46 629 | 138 692 | 2 144 611 | 64 685 | 2 209 296 |
| 2039 | 45,0 | 0,47 | 44,8 | 0,47 | 47 329 | 140 772 | 2 122 220 | 64 010 | 2 186 230 |
| 2040 | 43,8 | 0,44 | 43,6 | 0,44 | 48 038 | 140 772 | 2 094 237 | 63 166 | 2 157 403 |
| 2041 | 42,7 | 0,43 | 42,5 | 0,43 | 48 759 | 145 027 | 2 073 730 | 62 547 | 2 136 277 |
| 2042 | 41,7 | 0,42 | 41,5 | 0,42 | 49 490 | 147 202 | 2 053 975 | 61 951 | 2 115 926 |
| 2043 | 40,7 | 0,41 | 40,5 | 0,41 | 50 233 | 149 410 | 2 034 942 | 61 377 | 2 096 319 |
| 2044 | 39,6 | 0,40 | 39,4 | 0,40 | 50 986 | 151 652 | 2 010 230 | 60 632 | 2 070 862 |
| 2045 | 38,7 | 0,39 | 38,5 | 0,39 | 51 751 | 153 926 | 1 992 742 | 60 104 | 2 052 846 |
| 2046 | 37,8 | 0,38 | 37,6 | 0,38 | 52 527 | 156 235 | 1 975 871 | 59 596 | 2 035 467 |
| 2047 | 36,9 | 0,37 | 36,8 | 0,37 | 53 315 | 158 579 | 1 959 596 | 59 105 | 2 018 701 |
| 2048 | 36,1 | 0,36 | 35,9 | 0,36 | 54 115 | 160 957 | 1 943 892 | 58 631 | 2 002 523 |
| 2049 | 35,3 | 0,36 | 35,1 | 0,36 | 54 927 | 163 372 | 1 928 734 | 58 174 | 1 986 908 |
| 2050 | 34,5 | 0,35 | 34,3 | 0,35 | 55 751 | | 1 914 101 | | 1 971 834 |
| 2051 | 33,7 | 0,34 | 33,6 | 0,34 | 56 587 | 168 310 | 1 899 970 | 57 306 | 1 957 277 |
| 2052 | 30,2 | 0,30 | 30,1 | 0,30 | 57 436 | 170 834 | 1 726 838 | 52 084 | 1 778 923 |
| 2053 | 29,6 | 0,30 | 29,5 | 0,30 | 58 297 | 173 397 | 1 717 754 | 51 810 | 1 769 564 |
| 2054 | 29,0 | 0,29 | 28,9 | 0,29 | 59 172 | 175 998 | 1 708 850 | 51 542 | 1 760 392 |
| 2055 | 28,4 | 0,29 | 28,3 25,2 | 0,29 | 60 059 | 178 638 | 1 700 251 | 51 282 | 1 751 533 |
| 2056 2057 | 25,3 24,8 | 0,26 0,25 | 23,2 | 0,26 0,25 | 60 960 61 875 | 181 317 184 037 | 1 536 073 1 531 291 | 46 331 46 186 | 1 582 404 1 577 477 |
| 2057 | 24,8 | 0,25 | 24,7 | 0,25 | 62 803 | 186 798 | 1 531 291 | 46 205 | 1 578 122 |
| 2059 | 24,1 | 0,23 | 24,0 | 0,23 | 63 745 | 189 600 | 1 527 355 | 46 068 | 1 573 422 |
| 2060 | 21,2 | 0,21 | 21,2 | 0,21 | 64 701 | 192 444 | 1 368 705 | 41 282 | 1 409 988 |
| 2061 | 20,9 | 0,21 | 20,8 | 0,21 | 65 671 | 195 330 | 1 367 025 | 41 232 | 1 408 257 |
| 2062 | 20,6 | 0,21 | 20,6 | 0,21 | 66 656 | 198 260 | 1 370 251 | 41 329 | 1 411 580 |
| 2063 | 20,3 | 0,21 | 20,2 | 0,21 | 67 656 | 201 234 | 1 368 666 | 41 281 | 1 409 947 |
| 2064 | 17,8 | 0,18 | 17,7 | 0,18 | 68 671 | 204 253 | 1 217 623 | 36 726 | 1 254 348 |
| 2065 | 17,5 | 0,18 | 17,5 | 0,18 | 69 701 | 207 316 | 1 218 222 | 36 744 | 1 254 965 |
| 2066 | 17,4 | 0,18 | 17,3 | 0,18 | 70 747 | 210 426 | 1 223 135 | 36 892 | 1 260 027 |
| 2067 | 17,1 | 0,17 | 17,0 | 0,17 | 71 808 | 213 583 | 1 223 760 | 36 911 | 1 260 670 |
| 2068 | 14,7 | 0,15 | 14,7 | 0,15 | 72 885 | 216 786 | 1 069 176 | 32 248 | 1 101 424 |
| 2069 | 14,6 | 0,15 | 14,5 | 0,15 | 73 978 | 220 038 | 1 075 222 | 32 430 | 1 107 652 |
| 2070 | 14,5 | 0,15 | 14,4 | 0,15 | 75 088 | 223 339 | 1 081 220 | 32 611 | 1 113 831 |



| Продола | жение | приложе | ния 2 | | | | | | |
|------------------------|------------|---------|---------|-------|-----------|-------------|----------------|-----------|----------------|
| 1 | 2 | 3 | 4 | 5 | 6 | 7 | 8 | 9 | 10 |
| 2071 | 14,3 | 0,14 | 14,3 | 0,14 | 76 214 | 226 689 | 1 087 264 | 32 794 | 1 120 057 |
| Итого 2021- 2071 | 1 880,8 | 19,00 | 1 873,3 | 19,00 | | | 92 928 329 | 2 802 874 | 95 731 202 |
| 2072 | 12,1 | 0,12 | 12,1 | 0,12 | 77 358 | 230 089 | 934 387 | 28 183 | 962 570 |
| 2073 | 12,0 | 0,12 | 12,0 | 0,12 | 78 518 | 233 540 | 940 836 | 28 377 | 969 213 |
| 2074 | 11,9 | 0,12 | 11,9 | 0,12 | 79 696 | 237 043 | 947 260 | 28 571 | 975 831 |
| 2075 | 11,8 | 0,12 | 11,8 | 0,12 | 80 891 | 240 599 | 953 741 | 28 766 | 982 508 |
| 2076 | 11,7 | 0,12 | 11,7 | 0,12 | 82 104 | 244 208 | 960 274 | 28 963 | 989 237 |
| 2077 | 11,6 | 0,12 | 11,6 | 0,12 | 83 336 | 247 871 | 966 858 | 29 162 | 996 020 |
| 2078 | 11,6 | 0,12 | 11,5 | 0,12 | 84 586 | 251 589 | 973 496 | 29 362 | 1 002 858 |
| 2079 | 11,5 | 0,12 | 11,4 | 0,12 | 85 855 | 255 363 | 980 186 | 29 564 | 1 009 750 |
| 2080 | 11,4 | 0,11 | 11,3 | 0,11 | 87 143 | 259 194 | 986 929 | 29 767 | 1 016 696 |
| Итого 2021- 2080 | 1 986,5 | 20,1 | 1 978,6 | 20,1 | 739 486,2 | 2 199 497,5 | 101 572 295 | 3 063 590 | 104 635 885 |



Приложение 3 – Капитальные вложения 1 варианта, тыс.тенге Стоимо Стоимо сть ед-Распределение капитальных вложений по годам строительства Наименование работ, объектов Ед. ЦЫ всего и затрат изм. 206 206 207 8 9 0 2071 2072тыс.\$ 9 10 11 12 13 14 15 16 17 18 19 20 21 22 23 24 25 26 27 28 29 30 31 32 33 34 35 36 37 38 39 40 41 42 43 44 45 46 47 48 49 50 51 52 53 54 55 56 57 3 4 5 Строительство скважин (подземное строительство) Строительство 0,0 эксплуатационных газовых 750,0 скважин 7 298,7 14 608,7 0 2 Расконсервация скважин 2,0 3 Выбытие скважин 5,0 10 750,0 53 750,0 68 359 Итого строительство скважин 0 0 0 42 420 0 0 0 49 626 0 0 0 58 0 0 0 67 917 0 0 0 Итого строительство скважин с учетом инфляции **П**Надземное строительство Обустройство промысла Проведение ГГРП (гидро разрыв тыс.те 111 55 55 758 758 55 900,0 пласта) 516,0 нге Испытание серуховского тыс.те 6 880.0 | 6 880 | 0 6 880.0 горизонта нге II Внешние коммуникации и затраты тыс.те 26 053,7 26 053,7 1 Проектные работы нге Оплата сел.хоз и лесной потери 139 139 139 гыс.те 2 при добыче углеводородного 672,6 672,6 нге сырья на м/р Айракты Итого надземное строительство Итого надземное строительство с учетом инфляции Всего со строительством скважин Всего со строительством скважин в ценах с учетом инфляции

Приложение 4 – Капитальные вложения 2 варианта, тыс.тенге

| | | | мо Стоим | | | | | | | | | | | | | | | | | | | | | | | | | | | | | | | | | | | | | | | | | |
|--|---------------|-----------------|--------------|--------------|------------|--------------|--------------|------------|---------|------------|------|------|------|------|-------|------|-------|-------|-------|-------|-------|------|-------|------|-------|--------|-----------|------|-------|-----------|------|-------|---|-------------|------|-----|-----------|------|------|-----------|-----------|-------|-----------|-----------------|
| Наименование работ, | Ед. | Ко сть е | | | | | | | | | | | | | | | Pacı | преде | лени | е ка | пита. | тьны | іх вл | ожен | ий по | о года | м ст | роит | ельст | ва | | | | | | | | | | | | | | |
| объектов и затрат | изм. | | ен тыс.те | _ | 2022 | 2023 | 2024 | 2025 | 202 | 202 | 2022 | 0320 | 3203 | 2032 | 0320 | 3203 | 20320 | 03203 | 32042 | 20420 | 04204 | 2042 | 0420 | 4204 | 2042 | 04205 | 2051 | 2052 | 05205 | 2055 | 2052 | 0520 | 205 | 9206 | 5206 | 206 | 2063 | 0620 | 6206 | 2067 | 2062 8 | 0620 | 7207 | 1 2072- 2080 |
| 1 2 | 3 | 4 5 | 6 | 7 | 8 | 9 | 10 | 11 | 12 1 | 3 14 | 15 | 16 1 | 7 18 | 19 2 | 20 21 | 22 | 23 2 | 4 25 | 26 | 27 2 | 28 29 | 30 3 | 31 32 | 2 33 | 34 3 | 35 36 | 37 | 38 3 | 39 40 | 41 | 42 | 13 44 | 4 45 | 46 | 47 | 48 | 49 5 | 50 5 | 1 52 | 53 | 54 5 | 55 56 | 5 57 | 58 |
| I Строительство скважин (подземное строительство) | | | | | | | | | | | | | | | | | | | | | | | | | | | | | | | | | | | | | | | | | | | | |
| 1 Ввод добывающих вертикальных газовых скважин | скв. | 1,0 681 7 | 50 681 75 | 0 | 0 | 681 750 | 0 | 0 | 0 (| 0 0 | 0 | 0 0 | 0 | 0 | 0 0 | 0 | 0 (| 0 0 | 0 | 0 (| 0 0 | 0 | 0 0 | 0 | 0 | 0 0 | 0 | 0 | 0 0 | 0 | 0 | 0 0 | 0 | 0 | 0 | 0 | 0 (| 0 0 | 0 | 0 | 0 | 0 0 | 0 | 0 |
| Ввод добывающих 2 горизонтальных газовых скважин | скв. | 1,0 1 36 500 | | 0 | 0 | 0 | 1 363 500 | | | | | | | | | | | | | | | | | | | | | | | | | | | | | | | | | | | | | |
| 3 Расконсервация скважин | скв. | 2,0 7 29 | 9 14 597 | 0 | 7 299 | 7 299 | 0 | 0 | 0 (| 0 0 | 0 | 0 0 | 0 | 0 | 0 0 | 0 | 0 (| 0 0 | 0 | 0 (| 0 0 | 0 | 0 0 | 0 | 0 | 0 0 | | 0 | 0 0 | 0 | 0 | 0 0 | T T | _ | 0 | | 0 (| 0 0 | 0 | 0 | 0 | 0 0 | | 0 |
| 4 Выбытие скважин | скв. | 6,0 10 7 | 64 500 | 0 | 0 | 0 | 0 | 0 | 0 (| 0 0 | 0 | 0 0 | 0 | 0 | 0 0 | 0 | 0 (| 0 0 | 0 | 0 | 0 0 | 0 | 0 0 | 0 | 0 | 0 0 | 10 750 | 0 | 0 0 | 10 750 | 0 | 0 0 |) 10 750 | 0 | 0 | 0 7 | 10 750 | 0 0 | 0 | 10 750 | 0 | 0 0 | 10 750 | 0 |
| Итого строительство скважин | | | 2 124 347 | 0 | 7 299 | 689 049 | 1 363 500 | 0 | 0 | 0 0 | 0 | 0 0 | 0 | 0 | 0 0 | 0 | 0 | 0 0 | 0 | 0 | 0 0 | 0 | 0 0 | 0 | 0 | 0 0 | 10 750 | 0 | 0 0 | 10 750 | 0 | 0 0 | $\begin{vmatrix} 10 \\ 750 \end{vmatrix}$ | $ 0\rangle$ | 0 | 0 7 | 10 750 | 0 0 | 0 | 10 750 | 0 | 0 0 | 10 750 | 0 |
| Итого строительство скважин с учетом инфляции | | | 2 711 815 | 0 | 7 894 | 775 086 | 1 595 102 | 0 | 0 (| 0 0 | 0 | 0 0 | 0 | 0 | 0 0 | 0 | 0 (| 0 0 | 0 | 0 | 0 0 | 0 | 0 0 | 0 | 0 | 0 0 | 36 261 | 0 | 0 0 | 42 420 | 0 | 0 0 | 626 | 0 | 0 | 0 | 58 055 | 0 0 | 0 | 67 917 | 0 | 0 0 | 79 453 | 0 |
| ПНадземное строительство | | | | | | | | | | | | | | | | | | | | | | | | | | | | | | | | | | | | | | | | | | | | |
| Обустройство промысла | | | | | | | | | | | | | | | | | | | | | | | | | | | | | | | | | | | | | | | | | | | | |
| 1 Обустройство м/р | тыс.те нге | 2,0 113 0 | 90 226 18 | 0 | 0 | 113 090 | 113 090 | 0 | 0 | | | | | | | | | | | | | | | | | | | | | | | | | | | | | | | | | | | |
| 2 Проведение ГГРП (гидро разрыв пласта) | тыс.те нге | 11, 55 90 | 00 613 33 | 8 0 | 167 274 | 167 274 | 111 516 | 111 516 | 0 5 | 55 58 0 | 0 | 0 0 | 0 | 0 | 0 0 | 0 | 0 (| 0 0 | 0 | 0 (| 0 0 | 0 | 0 0 | 0 | 0 | 0 0 | 0 | 0 | 0 0 | 0 | 0 | 0 0 | 0 | 0 | 0 | 0 | 0 (| 0 0 | 0 | 0 | 0 | 0 0 | 0 | 0 |
| Испытание серуховского горизонта | тыс.те нге | 6 88 | 0 6 880 | 6 880 | 0 | 0 | 0 | 0 | 0 (| 0 0 | 0 | 0 0 | 0 | 0 | 0 0 | 0 | 0 (| 0 0 | 0 | 0 | 0 0 | 0 | 0 0 | 0 | 0 | 0 0 | 0 | 0 | 0 0 | 0 | 0 | 0 0 | 0 | 0 | 0 | 0 | 0 (| 0 0 | 0 | 0 | 0 | 0 0 | 0 | 0 |
| II Внешние коммуникации и I затраты | | | | | | | | | | | | | | | | | | | | | | | | | | | | | | | | | | | | | | | | | | | | |
| 1 Проектные работы | тыс.те нге | 26 0: | 54 26 054 | 26 054 | 0 | 0 | 0 | 0 | 0 (| 0 0 | 0 | 0 0 | 0 | 0 | 0 0 | 0 | 0 (| 0 0 | 0 | 0 (| 0 0 | 0 | 0 0 | 0 | 0 | 0 0 | 0 | 0 | 0 0 | 0 | 0 | 0 0 | 0 | 0 | 0 | 0 | 0 (| 0 0 | 0 | 0 | 0 | 0 0 | 0 | 0 |
| Оплата сел.хоз и лесной потери 2 при добыче углеводородного сырья на м/р Айракты | тыс.те нге | 139 6 | 73 139 67 | 3 139 673 | 0 | 0 | 0 | | | 0 0 | 0 | 0 0 | 0 | 0 | 0 0 | 0 | 0 (| 0 0 | 0 | 0 | 0 0 | 0 | 0 0 | 0 | 0 | 0 0 | 0 | 0 | 0 0 | 0 | 0 | 0 0 | 0 | 0 | 0 | 0 | 0 (| 0 0 | 0 | 0 | 0 | 0 0 | 0 | 0 |
| Итого надземное строительство | | | 1 012 124 | | 167 274 | 280 364 | 224 606 | 111 516 | 0 575 | 55 58 0 | 0 | 0 0 | 0 | 0 | 0 0 | 0 | 0 | 0 0 | 0 | 0 | 0 0 | 0 | 0 0 | 0 | 0 | 0 0 | 0 | 0 | 0 | 0 | 0 | 0 0 | 0 | 0 | 0 | 0 | 0 (| 0 0 | 0 | 0 | 0 | 0 0 | 0 | 0 |
| Итого надземное строительство с учетом инфляции | | | 1 147 613 | 179 511 | 180 924 | 315 371 | 262 757 | 135 676 | 0 3 | 73 0 | 0 | 0 0 | 0 | 0 | 0 0 | 0 | 0 | 0 0 | 0 | 0 | 0 0 | 0 | 0 0 | 0 | 0 | 0 0 | 0 | 0 | 0 0 | 0 | 0 | 0 0 | 0 | 0 | 0 | 0 | 0 | 0 0 | 0 | 0 | 0 | 0 0 | 0 | 0 |
| Всего со строительством скважин | | | 3 136 472 | | 174 573 | 969 413 | 1 588 106 | 111 516 | 0 5 | 55 58 0 | 0 | 0 0 | 0 | 0 | 0 0 | 0 | 0 | 0 0 | 0 | 0 | 0 0 | 0 | 0 0 | 0 | 0 | 0 0 | 10 750 | 0 | 0 0 | 10 750 | 0 | 0 0 | 10 750 | 0 | 0 | 0 7 | 10 750 | 0 0 | 0 | 10 750 | 0 | 0 0 | 10 750 | 0 |
| Всего со строительством скважин в ценах с учетом инфляции | | | 3 859 427 | 179 | | 1 090 457 | | 135 676 | 0 3 | | 0 | 0 0 | 0 | 0 | 0 0 | 0 | 0 | 0 0 | 0 | 0 | 0 0 | 0 | 0 0 | 0 | 0 | 0 0 | 36 261 | 0 | 0 0 | 42 420 | 0 | 0 0 | 49 626 | | 0 | | 58 055 | 0 0 | 0 | 67 917 | 0 | 0 0 | 79 453 | 0 |

| Приложени | ие 5 – Расчет | эксплуата | ционных | затрат, включа | емых в себестоимості | ь продукци | и в 1 варі | ианте, тыс. тенге | | | | | | | | |
|---------------------|------------------------------|------------------------------------|------------------|------------------|---|--|--------------------|--------------------------------------|----------------|--------------------------------------|-----------------------|----------------|----------------------------|---|---|--|
| | | | | Расходы, отно | осимые на себестоимо | сть продун | сции | | | Налоги | и и платежи | | | | | |
| Годы | Материаль- ные затраты | Затраты на текущий ремонт | Топливо и ГСМ | Энергоресурсы | услуги производственного характера (сервисных организаций.) | Затраты по охране труда и ООС | ФОТ ОПП | Прочие производ- ственные расходы | ниокр | Налоги, отчисляемые от ФОТ ППП | Налог на имущество | ндпи | Итого прямые расходы | Амортизационные отчисления включаемые в себестоимость | Итого расходы относимые на себестоимость продукции с амортизацией | Производственная себестоимость млн.м3 газа |
| 1 | 2 | 3 | 4 | 5 | 6 | 7 | 8 | 9 | 10 | 11 | 12 | 13 | 14 | 15 | 16 | 17 |
| 2021 | 3 846 | 21 296 | 617 | 7 201 | 88 435 | 648 | 62 150 | 2 296 | 9 564 | 11 670 | 102 106 | 5 043 | 314 871 | 68 201 | 383 072 | 14 753 |
| 2022 | 3 387 | 24 916 | 543 | 6 342 | 77 888 | 673 | 72 716 | 2 686 | 10 390 | 13 654 | 103 010 | 4 271 | 320 477 | 59 217 | 379 695 | 17 267 |
| 2023 | 4 200 | 28 792 | 673 | 7 864 | 96 579 | 700 | 84 027 | 3 104 | 8 799 | 15 778 | 103 074 | 5 092 | 358 683 | 71 431 | 430 115 | 16 405 |
| 2024 | 3 553 | 29 944 | 570 | 6 652 | 81 696 | 728 | 87 388 | 3 228 | 10 491 | 16 409 | 102 631 | 4 142 | 347 431 | 58 590 | 406 021 | 19 040 |
| 2025 | 3 821 | 31 142 | 613 | 7 154 | 87 866 | 758 | 90 884 | 3 357 | 8 533 | 17 065 | 101 737 | 4 283 | 357 213 | 60 610 | 417 822 | 18 946 |
| 2026 | 3 508 | 32 387 | 562 | 6 567 | 80 656 | 788 | 94 519 | 3 491 | 8 825 | 17 748 | 100 881 | 3 780 | 353 713 | 53 440 | 407 153 | 20 917 |
| 2027 | 3 616 | 33 683 | 580 | 6 771 | 83 155 | 819 | 98 300 | 3 631 | 7 789 | 18 458 | 100 083 | 3 804 | 360 689 | 52 973 | 413 662 | 21 437 |
| 2028 | 3 562 | 35 030 | 571 | 6 670 | 81 914 | 852 | 102 232 | 3 776 | 7 837 | 19 196 | 99 310 | 3 657 | 364 608 | 50 154 | 414 762 | 22 693 |
| 2029 | 3 474 | 36 431 | 557 | 6 505 | 79 888 | 886 | 106 321 | 3 927 | 7 535 | 19 964 | 98 581 | 3 481 | 367 550 | 47 010 | 414 561 | 24 188 |
| 2030 | 3 444 | 37 889 | 552 | 6 448 | 79 189 | 922 | 110 574 | 4 084 | 7 172 | 20 763 | 97 892 | 3 367 | 372 296 | 44 792 | 417 088 | 25 532 |
| 2031 2032 | 3 494 3 480 | 39 404 40 980 | 560 558 | 6 541 | 80 333 80 016 | 959 997 | 114 997 119 597 | 4 248 4 418 | 6 938 6 869 | 21 593 22 457 | 97 229 96 588 | 3 334 3 241 | 379 630 385 715 | 43 684 41 826 | 423 314 427 541 | 26 565 |
| 2032 | 3 480 | 40 980 | 558 | 6 515 6 515 | 80 017 | 1 037 | 124 381 | 4 594 | 6 678 | 23 355 | 95 972 | 3 163 | 392 370 | 40 208 | 432 578 | 28 015 29 478 |
| 2033 | 3 478 | 44 324 | 558 | 6 511 | 79 969 | 1 037 | 129 356 | 4 778 | 6 517 | 24 289 | 95 381 | 3 085 | 399 325 | 38 629 | 437 954 | 31 057 |
| 2035 | 3 592 | 46 097 | 576 | 6 726 | 82 604 | 1 121 | 134 530 | 4 969 | 6 357 | 25 261 | 94 804 | 3 110 | 409 748 | 38 365 | 448 113 | 31 994 |
| 2036 | 3 703 | 47 941 | 594 | 6 932 | 85 139 | 1 166 | 139 912 | 5 168 | 6 408 | 26 271 | 94 231 | 3 129 | 420 593 | 38 019 | 458 613 | 33 040 |
| 2037 | 3 825 | 49 859 | 613 | 7 161 | 87 952 | 1 213 | 145 508 | 5 375 | 6 446 | 27 322 | 93 662 | 3 154 | 432 091 | 37 764 | 469 854 | 34 078 |
| 2038 | 3 942 | 51 853 | 632 | 7 381 | 90 655 | 1 261 | 151 328 | 5 590 | 6 499 | 28 415 | 93 098 | 3 173 | 443 829 | 37 425 | 481 254 | 35 218 |
| 2039 | 4 073 | 53 927 | 653 | 7 626 | 93 657 | 1 312 | 157 382 | 5 813 | 6 538 | 29 552 | 92 539 | 3 199 | 456 271 | 37 176 | 493 447 | 36 351 |
| 2040 | 4 198 | 56 084 | 673 | 7 861 | 96 540 | 1 364 | 163 677 | 6 046 | 6 592 | 30 734 | 91 984 | 3 219 | 468 971 | 36 844 | 505 815 | 37 596 |
| 2041 | 4 338 | 58 328 | 695 | 8 122 | 99 745 | 1 419 | 170 224 | 6 288 | 6 631 | 31 963 | 91 433 | 3 246 | 482 431 | 36 602 | 519 033 | 38 832 |
| 2042 | 4 471 | 60 661 | 717 | 8 372 | 102 819 | 1 476 | 177 033 | 6 539 | 6 687 | 33 241 | 90 886 | 3 265 | 496 168 | 36 277 | 532 444 | 40 190 |
| 2043 | 4 620 | 63 087 | 741 | 8 650 | 106 241 | 1 535 | 184 114 | 6 801 | 6 727 | 34 571 | 90 344 | 3 293 | 510 724 | 36 041 | 546 765 | 41 539 |
| 2044 | 4 763 | 65 611 | 764 | 8 917 | 109 519 | 1 596 | 191 479 | 7 073 | 6 784 | 35 954 | 89 806 | 3 313 | 525 578 | 35 722 | 561 300 | 43 022 |
| 2045 | 4 922 | 68 235 | 789 | 9 215 | 113 172 | 1 660 | 199 138 | 7 356 | 6 825 | 37 392 | 89 272 | 3 341 | 541 317 | 35 493 | 576 809 | 44 495 |
| 2046 | 5 074 | 70 965 | 813 | 9 499 | 116 668 | 1 726 | 207 103 | 7 650 | 6 883 | 38 888 | 88 742 | 3 361 | 557 374 | 35 180 | 592 554 | 46 113 |
| 2047 | 5 243 | 73 803 | 841 | 9 817 | 120 569 | 1 795 | 215 388 | 7 956 | 6 926 | 40 443 | 88 215 | 3 390 | 574 387 | 34 957 | 609 343 | 47 721 |
| 2048 | 5 419 | 76 755 | 869 | 10 146 | 124 603 | 1 867 | 224 003 | 8 274 | 6 985 | 42 061 | 87 693 | 3 419 | | 34 735 | 626 830 | 49 401 |
| 2049 2050 | 5 587 5 774 | 79 826 83 019 | 896 926 | 10 460 10 810 | 128 461 132 769 | 1 942 2 020 | 232 963 242 282 | 8 605 8 950 | 7 045 7 089 | 43 743 45 493 | 87 174 86 659 | 3 441 | 610 142 629 260 | 34 432 34 216 | 644 574 663 476 | 51 245 53 078 |
| 2050 | 5 968 | 86 339 | 957 | 11 173 | 137 224 | 2 100 | 251 973 | 9 308 | 7 150 | 47 313 | 86 148 | 3 501 | 649 153 | 34 003 | 683 156 | 54 993 |
| 2052 | 6 153 | 89 793 | 986 | 11 520 | 141 482 | 2 184 | 262 052 | 9 680 | 7 213 | 49 205 | 85 640 | 3 523 | 669 431 | 33 708 | 703 139 | 57 094 |
| Итого: 2021-2052 | 136 007 | 1 661 022 | | 254 643 | 3 127 418 | | 4 847 535 | | 235 724 | 910 221 | | | 14 544 135 | 1 377 724 | 15 921 858 | 31 571 |
| 2053 | 6 360 | 93 385 | 1 020 | 11 907 | 146 240 | 2 272 | 272 534 | 10 067 | 7 258 | 51 174 | 85 136 | 3 554 | 690 904 | 33 500 | 724 405 | 59 183 |
| 2054 | 6 557 | 97 120 | 1 051 | 12 277 | 150 782 | 2 363 | 283 435 | 10 470 | 7 321 | 53 221 | 84 635 | 3 576 | 712 809 | 33 211 | 746 019 | 61 478 |
| 2055 | 6 778 | 90 904 | 1 087 | 12 691 | 155 863 | 2 457 | 265 296 | 9 800 | 7 367 | 49 815 | 84 457 | 3 607 | 690 122 | 33 008 | 723 130 | 59 955 |
| 2056 | 6 355 | 94 540 | 1 019 | 11 898 | 146 130 | 2 555 | 275 907 | 10 192 | 7 433 | 51 807 | 84 303 | 3 301 | 695 441 | 29 965 | 725 406 | 66 715 |
| 2057 | 6 571 | 98 322 | 1 054 | 12 303 | 151 105 | 2 658 | 286 944 | 10 599 | 6 801 | 53 879 | 83 854 | 3 331 | 717 422 | 29 793 | 747 214 | 69 117 |
| 2058 | 6 795 | 102 255 | 1 089 | 12 723 | 156 253 | 2 764 | 298 421 | 11 023 | 6 863 | 56 035 | 83 409 | 3 362 | 740 992 | 29 622 | 770 614 | 71 690 |
| 2059 | 7 009 | 94 529 | 1 124 | 13 123 | 161 171 | 2 875 | 275 874 | 10 190 | 6 927 | 51 801 | 83 339 | 3 384 | | 29 378 | 740 723 | 69 479 |
| 2060 | 6 521 | 98 310 | 1 045 | 12 209 | 149 947 | 2 990 | 286 909 | 10 598 | 6 973 | 53 873 | 83 292 | 3 073 | 715 740 | 26 502 | 742 242 | 77 826 |
| 2061 | 6 745 | 102 243 | 1 081 | 12 629 | 155 102 | 3 109 | 298 385 | 11 022 | 6 331 | 56 028 | 82 895 | 3 102 | 738 673 | 26 358 | 765 032 | 80 651 |
| 2062 | 6 977 | 106 332 | 1 119 | 13 063 | 160 439 | 3 233 | 310 321 | 11 463 | 6 392 | 58 269 | 82 501 | 3 132 | 763 241 | 26 216 | 789 457 | 83 676 |
| 2063 | 7 217 | 96 762 | 1 157 | 13 513 | 165 963 | 3 363 | 282 392 | 10 431 | 6 453 | 53 025 | 82 544 | 3 162 | 725 982 | 26 075 | 752 057 | 80 141 |
| 2064 | 6 627 | 100 633 | 1 063 | 12 408 | 152 389 | 3 497 | 293 688 | 10 848 | 6 514 | 55 146 | 82 610 | 2 833 | 728 256 | 23 253 | 751 509 | 90 705 |
| 2065 | 6 840 | 104 658 | 1 097 | 12 807 | 157 290 | 3 637 | 305 435 | 11 282 | 5 838 | 57 352 50 646 | 82 262 | 2 854 | | 23 077 | 774 430 | 94 181 |
| 2066 | 7 060 | 108 845 | 1 132 | 13 219 | 162 345 | 3 783 | 317 652 | 11 734 | 5 881 | 59 646 | 81 917 | 2 875 | 776 088 | 22 902 | 798 990 | 97 908 |

| 2067 | 7 305 | 97 027 | 1 171 | 13 678 | 167 982 | 3 934 | 283 164 | 10 460 | 5 924 | 53 170 | 82 084 | 2 903 | 728 802 | 22 785 | 751 587 | 92 570 |
|------------------------|-------------|-----------|--------|---------|-----------|---------|------------|---------|---------|-----------|-----------|---------|------------|-----------|------------|---------|
| Продолже | ние приложе | ния 5 | | | | | | | | | | | | | | |
| 1 | 2 | 3 | 4 | 5 | 6 | 7 | 8 | 9 | 10 | 11 | 12 | 13 | 14 | 15 | 16 | 17 |
| 2068 | 6 580 | 100 908 | 1 055 | 12 319 | 151 294 | 4 091 | 294 491 | 10 878 | 5 982 | 55 297 | 82 273 | 2 552 | 727 720 | 19 968 | 747 688 | 106 337 |
| 2069 | 6 809 | 104 945 | 1 092 | 12 748 | 156 565 | 4 255 | 306 271 | 11 313 | 5 258 | 57 508 | 41 061 | 2 578 | 710 402 | 19 869 | 730 271 | 104 378 |
| 2070 | 7 046 | 109 142 | 1 130 | 13 192 | 162 024 | 4 425 | 318 522 | 11 766 | 5 311 | 59 809 | 0 | 2 603 | 694 970 | 0 | 694 970 | 99 825 |
| 2071 | 7 292 | 94 590 | 1 169 | 13 653 | 167 678 | 4 602 | 276 052 | 10 197 | 5 364 | 51 834 | 596 | 2 629 | 635 657 | 0 | 635 657 | 91 755 |
| 2072 | 6 434 | 98 374 | 1 032 | 12 046 | 147 948 | 4 786 | 287 094 | 10 605 | 5 417 | 53 908 | 1 190 | 2 264 | 631 098 | 245 | 631 343 | 107 417 |
| 2073 | 6 658 | 102 309 | 1 068 | 12 466 | 153 107 | 4 978 | 298 578 | 11 029 | 4 665 | 56 064 | 1 186 | 2 287 | 654 395 | 244 | 654 638 | 111 933 |
| 2074 | 6 891 | 106 401 | 1 105 | 12 902 | 158 451 | 5 177 | 310 521 | 11 470 | 4 712 | 58 307 | 1 183 | 2 310 | 679 428 | 242 | 679 670 | 116 785 |
| 2075 | 7 132 | 110 657 | 1 143 | 13 352 | 163 986 | 5 384 | 322 942 | 11 929 | 4 759 | 60 639 | 1 179 | 2 333 | 705 435 | 241 | 705 676 | 121 847 |
| 2076 | 7 381 | 115 083 | 1 183 | 13 819 | 169 721 | 5 599 | 335 859 | 12 406 | 4 807 | 63 064 | 1 175 | 2 357 | 732 456 | 240 | 732 696 | 127 127 |
| 2077 | 7 639 | 119 687 | 1 225 | 14 303 | 175 661 | 5 823 | 349 294 | 12 902 | 4 855 | 65 587 | 1 172 | 0 | 758 148 | 239 | 758 387 | 132 221 |
| 2078 | 7 907 | 124 474 | 1 268 | 14 804 | 181 815 | 6 056 | 363 266 | 13 419 | 4 904 | 68 210 | 1 168 | 0 | 787 291 | 238 | 787 528 | 137 960 |
| 2079 | 8 184 | 129 453 | 1 312 | 15 323 | 188 190 | 6 298 | 377 796 | 13 955 | 4 954 | 70 939 | 1 165 | 0 | 817 569 | 237 | 817 806 | 143 948 |
| 2080 | 8 471 | 134 631 | 1 358 | 15 861 | 194 794 | 32 752 | 392 908 | 14 513 | 5 005 | 73 776 | 1 161 | 0 | 875 231 | 235 | 875 466 | 154 828 |
| Итого 2021- 2080 | 332 150 | 4 597 542 | 53 252 | 621 879 | 7 637 652 | 180 322 | 13 417 486 | 495 623 | 401 991 | 2 519 401 | 4 400 549 | 183 255 | 34 841 102 | 1 835 366 | 36 676 467 | 49 949 |

| Приложение 6 – | - Расчет эксплуа | тационнь | іх затрат, | включаемых в | себестоимость прод | укции во | 2 вариант | ге, тыс. тенге | | | | | | | | |
|----------------|-------------------------|------------------------------------|------------------|--------------------|---|---|------------|---------------------------------------|--------|----------|--------------|--------|----------------------------|---|--|--|
| | | | | Расходы, относі | имые на себестоимо | сть проду | кции | | | Налог | ги и платежи | | | | | |
| Годы | Материальные затраты | Затраты на текущий ремонт | Топливо и ГСМ | Энергоресурсы | услуги производственного характера (сервисных организаций.) | Затраты по охране труда и ООС | ФОТ ОПП | Прочие производственные расходы | ниокр | Налоги, | Налог на | | Итого прямые расходы | Амортизационные отчисления включаемые в себестоимость | Итого расходыотносимые на себестоимость продукции с амортизацией | Производственная себестоимость млн.м3 газа |
| 1 | 2 | 3 | 4 | 5 | 6 | 7 | 8 | 9 | 10 | 11 | 12 | 13 | 14 | 15 | 16 | 17 |
| 2021 | 3 846 | 21 296 | 617 | 7 201 | 96 563 | 648 | 62 150 | 2 296 | 9 564 | 11 670 | 102 106 | 5 043 | 323 000 | 68 201 | 391 200 | 15 066 |
| 2022 | 4 514 | 24 916 | 724 | 8 451 | 113 337 | 673 | 72 716 | 2 686 | 10 390 | 13 654 | 103 765 | 5 692 | 361 519 | 79 143 | 440 662 | 15 037 |
| 2023 | 6 370 | 31 671 | 1 021 | 11 927 | 159 947 | 700 | 92 430 | 3 414 | 11 726 | 17 356 | 111 935 | 7 723 | 456 222 | 110 845 | 567 067 | 14 260 |
| 2024 | 10 563 | 35 933 | 1 693 | 19 776 | 265 204 | 728 | 104 866 | 3 874 | 15 912 | 19 691 | 131 665 | 12 313 | 622 218 | 206 791 | 829 009 | 13 076 |
| 2025 | 12 390 | 37 370 | 1 986 | 23 197 | 311 080 | 758 | 109 061 | 4 029 | 25 369 | 20 478 | 142 889 | 13 888 | 702 494 | 290 168 | 992 661 | 13 883 |
| 2026 | 11 944 | 38 865 | 1 915 | 22 363 | 299 893 | 788 | 113 423 | 4 190 | 28 613 | 21 297 | 139 689 | 12 873 | 695 852 | 272 273 | 968 125 | 14 606 |
| 2027 | 12 017 | 40 419 | 1 927 | 22 499 | 301 721 | 819 | 117 960 | 4 357 | 26 523 | 22 149 | 136 223 | 12 640 | 699 256 | 263 142 | 962 398 | 15 009 |
| 2028 | 12 058 | 42 036 | 1 933 | 22 576 | 302 750 | 852 | 122 679 | 4 532 | 26 043 | 23 035 | 132 882 | 12 379 | 703 755 | 255 709 | 959 463 | 15 509 |
| 2029 | 12 140 | 43 718 | 1 946 | 22 729 | 304 808 | 886 | 127 586 | 4 713 | 25 504 | 23 957 | 129 110 | 12 163 | 709 259 | 247 313 | 956 572 | 15 972 |
| 2030 | 12 229 | 45 466 | 1 961 | 22 896 | 307 039 | 922 | 132 689 | 4 901 | 25 060 | 24 915 | 125 460 | 11 958 | 715 494 | 239 323 | 954 817 | 16 460 |
| 2031 | 12 324 | 47 285 | 1 976 | 23 074 | 309 436 | 959 | 137 997 | 5 097 | 24 637 | 25 912 | 121 927 | 11 761 | 722 384 | 231 707 | 954 091 | 16 973 |
| 2032 | 12 426 | 49 176 | 1 992 | 23 265 | 311 993 | 997 | 143 517 | 5 301 | 24 232 | 26 948 | 118 506 | 11 573 | 729 928 | 224 438 | 954 366 | 17 512 |
| 2033 | 12 572 | 51 143 | 2 016 | 23 538 | 315 656 | 1 037 | 149 257 | 5 513 | 23 845 | 28 026 | 115 186 | 11 428 | 739 218 | 218 168 | 957 386 | 18 058 |
| 2034 | 12 686 | 53 189 | 2 034 | 23 752 | 318 525 | 1 078 | 155 227 | 5 734 | 23 545 | 29 147 | 111 964 | 11 254 | 748 136 | 211 503 | 959 639 | 18 655 |
| 2035 | 12 845 | 55 317 | 2 059 | 24 050 | 322 525 | 1 121 | 161 437 | 5 963 | 23 188 | 30 313 | 108 834 | 11 122 | 758 775 | 205 766 | 964 541 | 19 259 |
| 2036 | 13 011 | 57 529 | 2 086 | 24 360 | 326 684 | 1 166 | 167 894 | 6 202 | 22 915 | 31 525 | 105 789 | 10 995 | 770 157 | 200 253 | 970 410 | 19 895 |
| 2037 | 13 144 | 59 831 | 2 107 | 24 608 | 330 008 | 1 213 | 174 610 | 6 450 | 22 652 | 32 786 | 102 830 | 10 839 | 781 078 | 194 350 | 975 428 | 20 588 |
| 2038 | 13 323 | 62 224 | 2 136 | 24 944 | 334 507 | 1 261 | 181 594 | 6 708 | 22 333 | 34 098 | 99 953 | 10 723 | 793 802 | 189 284 | 983 087 | 21 289 |
| 2039 | 13 508 | 64 713 | 2 166 | 25 291 | 339 167 | 1 312 | 188 858 | 6 976 | 22 093 | 35 462 | 97 150 | 10 611 | 807 307 | 184 407 | 991 714 | 22 028 |
| 2040 | 13 658 | 67 301 | 2 190 | 25 573 | 342 939 | 1 364 | 196 412 | 7 255 | 21 862 | 36 880 | 94 423 | 10 471 | 820 330 | 179 142 | 999 472 | 22 835 |
| 2041 | 13 858 | 69 993 | 2 222 | 25 946 | 347 945 | 1 419 | 204 269 | 7 545 | 21 574 | 38 356 | 91 770 | 10 369 | 835 265 | 174 643 | 1 009 908 | 23 651 |
| 2042 | 14 064 | 72 793 | 2 255 | 26 332 | 353 118 | 1 476 | 212 440 | 7 847 | 21 363 | 39 890 | 89 183 | 10 270 | 851 029 | 170 304 | 1 021 333 | 24 511 |
| 2043 | 14 277 | 75 705 | 2 289 | 26 730 | 358 463 | 1 535 | 220 937 | 8 161 | 21 159 | 41 485 | 86 660 | 10 175 | 867 576 | 166 117 | 1 033 693 | 25 415 |
| 2044 | 14 451 | 78 733 | 2 317 | 27 056 | 362 832 | 1 596 | 229 775 | 8 488 | 20 963 | 43 145 | 84 202 | 10 051 | 883 608 | 161 549 | 1 045 157 | 26 403 |
| 2045 | 14 678 | 81 882 | 2 353 | 27 481 | 368 535 | 1 660 | 238 966 | 8 827 | 20 709 | 44 871 | 81 808 | 9 964 | 901 733 | 157 669 | 1 059 402 | 27 402 |
| 2046 | 14 912 | 85 158 | 2 391 | 27 920 | 374 415 | 1 726 | 248 524 | 9 180 | 20 528 | 46 665 | 79 471 | 9 879 | 920 770 | 153 919 | 1 074 690 | 28 456 |
| 2047 | 15 154 | 88 564 | 2 430 | 28 372 | 380 477 | 1 795 | 258 465 | 9 547 | 20 355 | 48 532 | 77 189 | 9 798 | 940 678 | 150 294 | 1 090 972 | 29 564 |
| 2048 | 15 402 | 92 106 | 2 469 | 28 838 | 386 724 | 1 867 | 268 804 | 9 929 | 20 187 | 50 473 | 74 961 | 9 719 | 961 481 | 146 788 | 1 108 269 | 30 729 |
| 2049 | 15 659 | 95 791 | 2 510 | 29 317 | 393 160 | 1 942 | 279 556 | | 20 025 | 52 492 | 72 785 | 9 644 | 983 207 | 143 395 | 1 126 602 | 31 955 |
| 2050 | 15 923 | 99 622 | 2 553 | 29 812 | 399 787 | 2 020 | 290 738 | 10 739 | 19 869 | 54 592 | 70 659 | 9 571 | 1 005 884 | 140 110 | 1 145 994 | 33 245 |
| 2051 | 16 194 | 94 973 | 2 596 | 30 320 | 406 610 | 2 100 | 277 170 | 10 238 | 19 718 | 52 044 | 68 853 | 9 500 | 990 319 | 136 930 | 1 127 248 | 33 439 |
| 2052 | 15 081 | 98 772 | 2 418 | 28 236 | 378 660 | 2 184 | 288 257 | 10 648 | 19 573 | 54 126 | 67 174 | 8 634 | 973 764 | 123 208 | 1 096 973 | 36 340 |
| 2053 | 15 371 | 102 723 | 2 464 | 28 780 | 385 946 | 2 272 | 299 787 | 11 074 | 17 789 | 56 291 | 65 345 | 8 589 | 996 431 | 120 682 | 1 117 113 | 37 761 |
| 2054 | 15 668 | 106 832 | 2 512 | 29 336 | 393 402 | 2 363 | 311 779 | 11 517 | 17 696 | 58 543 | 63 553 | 8 544 | 1 021 744 | 118 216 | 1 139 960 | 39 315 |
| 2055 | 15 973 | 101 005 | 2 561 | 29 907 | 401 064 | 2 457 | 294 773 | 10 888 | 17 604 | 55 349 | 62 116 | 8 501 | 1 002 199 | 115 818 | 1 118 017 | 39 335 |
| 2056 | 14 787 | 105 045 | 2 371 | 27 685 | 371 261 | 2 555 | 306 564 | 11 324 | 17 515 | 57 563 | 60 786 | 7 680 | 985 137 | 103 840 | 1 088 976 | 43 044 |
| 2057 | 15 104 | 109 247 | 2 421 | 28 278 | 379 221 | 2 658 | 318 826 | | 15 824 | 59 866 | 59 243 | 7 656 | 1 010 122 | 101 939 | 1 112 061 | 44 755 |
| 2058 | 15 482 | 113 617 | 2 482 | 28 986 | 388 720 | 2 764 | 331 579 | 12 248 | 15 775 | 62 261 | 57 725 | 7 660 | 1 039 299 | 100 436 | 1 139 735 | 46 538 |
| 2059 | 15 816 | 106 345 | 2 536 | 29 612 | 397 109 | 2 875 | 310 358 | 11 464 | 15 781 | 58 276 | 56 605 | 7 637 | 1 014 413 | 98 611 | 1 113 024 | 46 267 |
| 2060 | 14 522 | 110 599 | 2 328 | 27 190 | 364 625 | 2 990 | 322 773 | 11 923 | 15 734 | 60 607 | 55 578 | 6 844 | 995 712 | 87 955 | 1 083 667 | 51 022 |
| 2061 | 14 862 | 115 023 | 2 383 | 27 825 | 373 148 | 3 109 | 335 684 | 12 400 | 14 100 | 63 031 | 54 269 | 6 835 | 1 022 668 | 86 516 | 1 109 184 | 53 072 |
| 2062 | 15 264 | 119 624 | 2 447 | 28 578 | 383 240 | 3 233 | 349 111 | 12 896 | 14 083 | 65 553 | 52 980 | 6 851 | 1 053 859 | 85 413 | 1 139 272 | 55 199 |
| 2063 | 15 621 | 110 586 | 2 505 | 29 248 | 392 226 | 3 363 | 322 734 | 11 921 | 14 116 | 60 600 | 52 144 | 6 843 | 1 021 906 | 84 020 | 1 105 926 | 54 450 |
| 2064 | 14 240 | 115 009 | 2 283 | 26 661 | 357 535 | 3 497 | 335 643 | 12 398 | 14 110 | 63 024 | 51 389 | 6 088 | 1 001 867 | 74 671 | 1 076 538 | 60 471 |
| 2065 | 14 598 | 119 609 | 2 340 | 27 331 | 366 521 | 3 637 | 349 069 | 12 894 | 12 543 | 65 545 | 50 278 | 6 091 | 1 030 457 | 73 581 | 1 104 038 | 62 915 |
| 2066 | 15 018 | 124 394 | 2 408 | 28 117 | 377 064 | 3 783 | 363 031 | 13 410 | 12 550 | 68 166 | 49 180 | 6 116 | 1 063 236 | 72 768 | 1 136 004 | 65 444 |
| 2067 | 15 395 | 113 198 | | 28 824 | 386 548 | 3 934 | 330 359 | 12 203 | 12 600 | 62 031 | 48 606 | 6 119 | 1 003 230 | 71 707 | 1 093 993 | 63 937 |
| 2068 | 13 782 | 117 726 | | 25 804 | 346 038 | 4 091 | 343 573 | | 12 607 | 64 513 | 48 106 | 5 346 | 996 487 | 62 847 | 1 059 334 | 71 925 |
| 2000 | 13 /02 | 11/ /20 | 2 210 | 2J 00 4 |) TO 030 | T U/1 | J7J J1J | 12 071 | 12 007 | 1 04 213 | 40 I UU | J J+U | ノノひ サび / | 02 07/ | 1 007 004 | 11 145 |

Продолжение приложения 6

| 1 | 2 | 3 | 4 | 5 | 6 | 7 | 8 | 9 | 10 | 11 | 12 | 13 | 14 | 15 | 16 | 17 |
|---------------------|---------|-----------|---------|-----------|------------|---------|------------|---------|-----------|-----------|-----------|---------|------------|-----------|------------|---------|
| 2069 | 14 201 | 122 435 | 2 277 | 26 589 | 356 566 | 4 255 | 357 316 | 13 199 | 11 014 | 67 093 | 23 817 | 5 376 | 1 004 139 | 62 257 | 1 066 396 | 73 078 |
| 2070 | 14 632 | 127 333 | 2 346 | 27 396 | 367 387 | 4 425 | 371 608 | 13 727 | 11 077 | 69 777 | 0 | 5 406 | 1 015 113 | 0 | 1 015 113 | 70 215 |
| 2071 | 15 076 | 113 508 | 2 417 | 28 227 | 357 040 | 4 602 | 331 262 | 12 236 | 11 138 | 62 201 | 596 | 5 436 | 943 742 | 0 | 943 742 | 65 889 |
| Итого 2021- 2071 | 692 632 | 4 117 350 | 111 047 | 1 296 803 | 17 369 168 | 103 468 | 12 016 092 | 443 857 | 955 676 | 2 256 261 | 4 189 317 | 464 642 | 44 016 312 | 7 418 128 | 51 434 440 | 27 347 |
| 2072 | 13 276 | 118 048 | 2 128 | 24 856 | 333 327 | 4 786 | 344 513 | 12 726 | 11 201 | 64 689 | 1 182 | 4 672 | 935 404 | 1 370 | 936 774 | 77 245 |
| 2073 | 13 697 | 122 770 | 2 196 | 25 644 | 343 895 | 4 978 | 358 293 | 13 235 | 9 626 | 67 277 | 1 161 | 4 704 | 967 475 | 1 359 | 968 834 | 80 531 |
| 2074 | 14 130 | 127 681 | 2 265 | 26 455 | 354 771 | 5 177 | 372 625 | 13 764 | 9 692 | 69 968 | 1 141 | 4 736 | 1 002 406 | 1 348 | 1 003 753 | 84 111 |
| 2075 | 14 577 | 132 788 | 2 337 | 27 292 | 365 996 | 5 384 | 387 530 | 14 315 | 9 758 | 72 767 | 1 121 | 4 769 | 1 038 634 | 1 336 | 1 039 970 | 87 852 |
| 2076 | 15 038 | 138 100 | 2 411 | 28 156 | 377 580 | 5 599 | 403 031 | 14 887 | 9 825 | 75 677 | 1 101 | 4 801 | 1 076 207 | 1 326 | 1 077 532 | 91 762 |
| 2077 | 15 514 | 143 624 | 2 487 | 29 047 | 389 532 | 5 823 | 419 153 | 15 483 | 9 892 | 78 704 | 1 081 | 0 | 1 110 341 | 1 315 | 1 111 656 | 95 433 |
| 2078 | 16 005 | 149 369 | 2 566 | 29 967 | 401 867 | 6 056 | 435 919 | 16 102 | 9 960 | 81 852 | 1 061 | 0 | 1 150 725 | 1 304 | 1 152 029 | 99 698 |
| 2079 | 16 512 | 155 344 | 2 647 | 30 916 | 414 595 | 6 298 | 453 355 | 16 746 | 10 029 | 85 127 | 1 042 | 0 | 1 192 611 | 1 293 | 1 193 904 | 104 156 |
| 2080 | 17 035 | 161 557 | 2 731 | 31 895 | 427 729 | 39 302 | 471 490 | 17 416 | 10 097 | 88 532 | 1 022 | 0 | 1 268 808 | 1 283 | 1 270 091 | 111 696 |
| Итого 2021- 2080 | 828 417 | 5 366 632 | 132 817 | 1 551 030 | 20 778 460 | 186 872 | 15 662 001 | 578 532 | 1 045 756 | 2 940 853 | 4 199 228 | 488 324 | 53 758 922 | 7 430 061 | 61 188 982 | 30 802 |



| | | | | | | Пј | одолжение п | риложения 7 |
|------------------------|---------|-----------|---------|--------|--------------|---------|-------------|-------------|
| 1 | 2 | 3 | 4 | 5 | 6 | 7 | 8 | 9 |
| 2065 | 12 529 | 40 219 | 3 131 | 496 | 56 376 | 0 | 0 | 6 261 |
| 2066 | 12 529 | 41 828 | 3 243 | 503 | 58 104 | 0 | 0 | 6 487 |
| 2067 | 10 739 | 43 501 | 3 038 | 616 | 57 894 | 0 | 0 | 6 075 |
| 2068 | 10 739 | 45 241 | 3 008 | 629 | 59 617 | 0 | 0 | 6 016 |
| 2069 | 10 739 | 47 051 | 3 119 | 642 | 61 552 | 0 | 0 | 6 239 |
| 2070 | 10 739 | 48 933 | 3 136 | 656 | 63 465 | 0 | 0 | 6 272 |
| 2071 | 8 949 | 50 890 | 2 876 | 608 | 63 324 | 0 | 0 | 5 752 |
| 2072 | 8 949 | 52 926 | 2 843 | 620 | 65 339 | 0 | 0 | 5 686 |
| 2073 | 8 949 | 55 043 | 2 952 | 634 | 67 578 | 0 | 0 | 5 904 |
| 2074 | 8 949 | 57 245 | 3 066 | 647 | 69 907 | 0 | 0 | 6 132 |
| 2075 | 8 949 | 59 535 | 3 184 | 662 | 72 329 | 0 | 0 | 6 368 |
| 2076 | 8 949 | 61 916 | 3 306 | 676 | 74 848 | 0 | 0 | 6 613 |
| 2077 | 8 949 | 64 393 | 3 434 | 692 | 77 468 | 0 | 0 | 6 868 |
| 2078 | 8 949 | 66 968 | 3 566 | 708 | 80 192 | 0 | 0 | 7 132 |
| 2079 | 8 949 | 69 647 | 3 704 | 725 | 83 025 | 0 | 0 | 7 407 |
| 2080 | 8 949 | 143 305 | 3 978 | 742 | 156 974 | 0 | 0 | 7 955 |
| Итого 2021- 2080 | 907 467 | 1 775 105 | 145 856 | 29 544 | 2 857 972 | 222 173 | 128 640 | 291 713 |



Приложение 8 – Эксплуатационные затраты, включаемые в расходы периода во 2 варианте, тыс. тенге

| тенге | Pacxo | ды периода | | | | | | Затраты на |
|--------------|------------------|----------------|----------------|------------------|------------------|------------|------------------|----------------|
| | | -1 | | П.,,,,,,, | 17 | | Отчис- | обучение и |
| | | | 2 | Прочие | Итого | | ления в | повышение |
| Год | A | Общеадми- | Затраты | налоги и | расход | Историческ | ликвид | квалификаци |
| ы | Административн | нистративн | | отчислени я в | ы период | ие затраты | a- | И |
| | ые расходы | ые | социальны | ь в Бюджет | а | | ционны | казахстански |
| | | | е нужды | Бюджет | | | й фонд | X |
| | | | | | _ | | | специалистов |
| 1 | 2 | 3 | 4 | 5 | 5 | 6 | 7 | 8 |
| 2021 | 14 319 | 7 161 | 1 314 | 406 | 23 200 | 34 180 | 6 747 | 2 628 |
| 2022 | 16 109 | 7 447 | 1 536 | 426 | 25 518 | 34 180 | 7 615 | 3 072 |
| 2023 | 19 689 | 7 745 | 2 092 | 482 | 30 008 | 34 180 | 10 333 | 4 183 |
| 2024 | 21 479 | 8 055 | 3 247 | 609 | 33 389 | 34 180 | 16 474 | 6 494 |
| 2025 | 21 479 | 8 377 | 3 950 | 664 | 34 470 | 34 180 | 18 580 | 7 900 |
| 2026 | 21 479 | 8 712 | 3 828 | 650 | 34 670 | 34 180 | 17 223 | 7 657 |
| 2027 | 21 479 | 9 061 | 3 824 | 653 | 35 016 | 17 090 | 16 661 | 7 649 |
| 2028 | 21 479 21 479 | 9 423 9 800 | 3 826 3 829 | 654 | 35 381 35 764 | 0 | 16 075 15 562 | 7 651 7 658 |
| 2029 2030 | 21 479 | 10 192 | 3 829 | 656 659 | 36 167 | 0 | 15 073 | 7 658 |
| 2030 | 21 479 | 10 192 | 3 849 | 662 | 36 590 | 0 | 15 073 | 7 674 |
| 2031 | 21 479 | 11 024 | 3 866 | 665 | 37 033 | 0 | 0 | 7 731 |
| 2032 | 21 479 | 11 465 | 3 895 | 669 | 37 507 | 0 | 0 | 7 789 |
| 2034 | 21 479 | 11 923 | 3 919 | 673 | 37 993 | 0 | 0 | 7 837 |
| 2035 | 21 479 | 12 400 | 3 955 | 678 | 38 512 | 0 | 0 | 7 911 |
| 2036 | 21 479 | 12 896 | 3 996 | 683 | 39 053 | 0 | 0 | 7 992 |
| 2037 | 21 479 | 13 412 | 4 032 | 687 | 39 609 | 0 | 0 | 8 063 |
| 2038 | 21 479 | 13 949 | 4 080 | 692 | 40 199 | 0 | 0 | 8 160 |
| 2039 | 21 479 | 14 507 | 4 132 | 698 | 40 815 | 0 | 0 | 8 264 |
| 2040 | 21 479 | 15 087 | 4 179 | 702 | 41 447 | 0 | 0 | 8 358 |
| 2041 | 21 479 | 15 690 | 4 239 | 708 | 42 116 | 0 | 0 | 8 478 |
| 2042 | 21 479 | 16 318 | 4 303 | 714 | 42 814 | 0 | 0 | 8 606 |
| 2043 | 21 479 | 16 971 | 4 371 | 721 | 43 541 | 0 | 0 | 8 742 |
| 2044 | 21 479 | 17 650 | 4 434 | 726 | 44 288 | 0 | 0 | 8 868 |
| 2045 | 21 479 | 18 356 | 4 510 | 733 | 45 077 | 0 | 0 | 9 021 |
| 2046 | 21 479 | 19 090 | 4 591 | 740 | 45 899 | 0 | 0 | 9 181 |
| 2047 | 21 479 | 19 853 | 4 675 | 747 | 46 755 | 0 | 0 | 9 351 |
| 2048 | 21 479 | 20 648 | 4 765 | 755 | 47 646 | 0 | 0 | 9 529 |
| 2049 | 21 479 | 21 473 | 4 858 | 763 | 48 573 | 0 | 0 | 9 717 |
| 2050 | 21 479 | 22 332 | 4 957 | 771 | 49 538 | 0 | 0 | 9 913 |
| 2051 | 19 689 | 23 226 | 4 886 | 779 | 48 579 | 0 | 0 | 9 771 |
| 2052 | 19 689 | 24 155 | 4 737 | 745 | 49 326 | 0 | 0 | 9 475 |
| 2053 | 19 689 | 25 121 | 4 845 | 754 | 50 409 | 0 | 0 | 9 691 |
| 2054 | 19 689 | 26 126 | 4 958 | 763 | 51 535 | 0 | 0 | 9 916 |
| 2055 | 17 899 | 27 171 | 4 872 | 772 | 50 714 | 0 | 0 | 9 744 |
| 2056 | 17 899 | 28 258 | 4 727 | 736 | 51 620 | 0 | 0 | 9 454 |
| 2057 | 17 899 | 29 388 | 4 847 | 746 | 52 880 | 0 | 0 | 9 695 |
| 2058 | 17 899 | 30 563 | 4 982 | 757 | 54 201 | 0 | 0 | 9 963 |
| 2059 | 16 109 | 31 786 | 4 874 | 767 | 53 536 | 0 | 0 | 9 747 |
| 2060 | 16 109 | 33 057 | 4 725 | 728 | 54 619 | 0 | 0 | 9 449 |
| 2061 | 16 109 | 34 380 | 4 855 | 739 | 56 082 | 0 | 0 | 9 709 |
| 2062 | 16 109 | 35 755 | 4 999 | 751 | 57 613 | 0 | 0 | 9 998 |
| 2063 | 14 319 | 37 185 | 4 861 | 761 | 57 127 | 0 | 0 | 9 722 |
| 2064 | 14 319 | 38 673 | 4 710 | 720 | 58 421 | 0 | 0 | 9 419 |
| 2065 | 14 319 | 40 219 | 4 848 | 731 | 60 117 | 0 | 0 | 9 696 |
| 2066 | 14 319 | 41 828 | 5 000 | 743 | 61 890 | 0 | 0 | 10 000 |
| 2067 | 12 529 | 43 501 | 4 823 | 670 | 61 524 | 0 | 0 | 9 646 |



| Продол | Продолжение приложения 8 | | | | | | | | | | | | |
|------------------------|--------------------------|-----------|---------|--------|--------------|---------|---------|---------|--|--|--|--|--|
| 1 | 2 | 3 | 4 | 5 | 5 | 6 | 7 | 8 | | | | | |
| 2068 | 12 529 | 45 241 | 4 644 | 685 | 63 100 | 0 | 0 | 9 288 | | | | | |
| 2069 | 12 529 | 47 051 | 4 795 | 701 | 65 077 | 0 | 0 | 9 591 | | | | | |
| 2070 | 12 529 | 48 933 | 4 644 | 718 | 66 824 | 0 | 0 | 9 289 | | | | | |
| 2071 | 10 739 | 50 890 | 4 322 | 671 | 66 623 | 0 | 0 | 8 644 | | | | | |
| Итого | | | | | 2 360 | | | | | | | | |
| 2021- | 962 953 | 1 144 128 | 217 843 | 35 482 | 405 | 222 173 | 154 949 | 435 685 | | | | | |
| 2071 | | | | | 405 | | | | | | | | |
| 2072 | 10 739 | 52 926 | 4 275 | 686 | 68 627 | 0 | 0 | 8 550 | | | | | |
| 2073 | 10 739 | 55 043 | 4 430 | 702 | 70 915 | 0 | 0 | 8 861 | | | | | |
| 2074 | 10 739 | 57 245 | 4 591 | 719 | 73 294 | 0 | 0 | 9 182 | | | | | |
| 2075 | 10 739 | 59 535 | 4 758 | 736 | 75 768 | 0 | 0 | 9 516 | | | | | |
| 2076 | 10 739 | 61 916 | 4 931 | 754 | 78 340 | 0 | 0 | 9 861 | | | | | |
| 2077 | 10 739 | 64 393 | 5 110 | 772 | 81 014 | 0 | 0 | 10 220 | | | | | |
| 2078 | 10 739 | 66 968 | 5 296 | 792 | 83 795 | 0 | 0 | 10 592 | | | | | |
| 2079 | 10 739 | 69 647 | 5 489 | 812 | 86 687 | 0 | 0 | 10 977 | | | | | |
| 2080 | 10 739 | 72 433 | 5 852 | 833 | 89 857 | 0 | 0 | 11 704 | | | | | |
| Итого 2021- 2080 | 1 059 606 | 1 704 233 | 262 574 | 42 287 | 3 068 700 | 222 173 | 154 949 | 525 148 | | | | | |



| Приложение 9 | – Расчет нало | огооблагаемо | го дохода і | з 1 варианте, тыс | .тенге | |
|----------------------|-------------------|--------------|-------------|-------------------|-----------------|----------------|
| | Всего | | | | | |
| | расходы, | 0.5 | | | D | |
| | связанные с | Общие | | | Всего | |
| | обычной | расходы | _ | Амортизационн | вычитаемые | |
| | деятельност | (включаемы | | | затраты, налоги | |
| | ью | е в с/с + | ая | относимые на | и специальные | Налогооблагаем |
| Годы | предприятия | расходы | прибыль | вычеты при | фонды, | ый доход |
| | (noovour | периода) | (+), | определении | определяемые | ын долод |
| | ключаемые | приходящие | убыток (-) | налогооблагаем | для | |
| | в с/с + | ся на 1000 | | ого дохода | Налогооблагаем | |
| | расходы | м3 газа | | | ого дохода | |
| | периода) | | | | | |
| 1 | <u> 1 сриода)</u> | 3 | 4 | 5 | 6 | 7 |
| 2021 | 457 870 | 17 633 | 581 177 | 26 958 | 430 912 | 622 419 |
| | | | | | | |
| 2022 | 454 178 | 20 654 | 425 756 | 33 145 | 421 033 | 451 828 |
| 2023 | 509 873 | 19 447 | 539 257 | 38 813 | 471 060 | 571 875 |
| 2024 | 482 884 | 22 644 | 370 433 | 32 991 | 449 894 | 396 032 |
| 2025 | 495 642 | 22 475 | 386 828 | 28 042 | 467 600 | 419 395 |
| 2026 | 483 657 | 24 848 | 295 239 | 23 836 | 459 821 | 324 843 |
| 2027 | 473 446 | 24 536 | 310 286 | 20 260 | 453 185 | 342 999 |
| 2028 | 457 249 | 25 018 | 296 223 | 17 221 | 440 028 | 329 156 |
| 2029 | 456 772 | 26 650 | 260 400 | 14 638 | 442 134 | 292 772 |
| 2030 | 459 272 | 28 114 | 234 539 | 12 442 | 446 830 | 266 888 |
| 2031 | 465 772 | 29 230 | 221 145 | 10 576 | 455 196 | 254 253 |
| 2032 | 461 335 | 30 229 | 206 422 | 8 990 | 452 345 | 239 258 |
| 2033 | 466 887 | 31 816 | 184 828 | 7 641 | 459 246 | 217 394 |
| 2034 | 472 801 | 33 528 | 162 865 | 6 495 | 466 306 | 194 998 |
| 2035 | 483 590 | 34 527 | 157 239 | 5 521 | 478 069 | 190 083 |
| 2036 | 494 738 | 35 642 | 149 876 | 4 693 | 490 045 | 183 203 |
| 2037 | 506 660 | 36 747 | 143 246 | 3 989 | 502 671 | 177 021 |
| 2038 | 518 761 | 37 963 | 135 014 | 3 390 | 515 371 | 169 048 |
| 2039 | 531 690 | 39 168 | 127 504 | 2 882 | 528 808 | 161 798 |
| 2040 | 544 817 | 40 494 | 118 329 | 2 450 | 542 367 | 152 724 |
| 2041 | 558 830 | 41 809 | 109 865 | 2 082 | 556 747 | 144 384 |
| 2042 | 573 062 | 43 256 | 99 669 | 1 770 | 571 292 | 134 176 |
| 2043 | 588 242 | 44 691 | 90 169 | 1 504 | 586 737 | 124 705 |
| | | | 78 868 | 1 279 | 602 385 | |
| 2044 | 603 664 | 46 269 | | | | 113 311 |
| | 620 102 | 47 834 | 68 243 | 1 087 | 619 015 | 102 649 |
| 2046 | 636 805 | 49 557 | 55 746 | 924 | 635 881 | 90 002 |
| 2047 | 654 599 | 51 265 | 43 902 | 0 | 654 599 | 78 859 |
| 2048 | 673 130 | 53 050 | 31 390 | 0 | 673 130 | 66 125 |
| 2049 | 691 952 | 55 012 | 16 921 | 0 | 691 952 | 51 353 |
| 2050 | 711 983 | 56 958 | 3 049 | 0 | 711 983 | 37 266 |
| 2051 | 732 836 | 58 992 | -11 577 | 0 | 732 836 | 22 426 |
| 2052 | 754 031 | 61 226 | -28 265 | 0 | 754 031 | 5 443 |
| Итого: 2021- 2052 | 17 477 129 | 34 655 | 5 864 583 | 313 619 | 17 163 510 | 6 928 687 |
| 2053 | 776 565 | 63 445 | -44 427 | 0 | 776 565 | 0 |
| 2054 | 799 491 | 65 884 | -62 757 | 0 | 799 491 | 0 |
| 2055 | 775 572 | 64 303 | -32 319 | 0 | 775 572 | 0 |
| 2056 | 778 933 | 71 638 | -98 842 | 0 | 778 933 | 0 |
| 2057 | 802 189 | 74 202 | -115 853 | 0 | 802 189 | 0 |
| 2058 | 827 095 | 76 945 | -134 437 | 0 | 827 095 | 0 |
| 2059 | 796 258 | 74 688 | -98 972 | 0 | 796 258 | 0 |
| 2060 | 790 238 | 83 780 | -165 896 | 0 | 790 238 | 0 |
| 2061 | 823 474 | | | 0 | 823 474 | 0 |
| | | 86 813 | -184 316 | | | |
| 2062 | 849 619 | 90 053 | -204 362 | 0 | 849 619 | 0 |
| 2063 | 811 382 | 86 463 | -159 954 | 0 | 811 382 | 0 |



| Продолжение приложения 9 | | | | | | | | | | | | |
|--------------------------|------------|---------|----------|---------|------------|-----------|--|--|--|--|--|--|
| 1 | 2 | 3 | 4 | 5 | 6 | 7 | | | | | | |
| 2064 | 812 267 | 98 038 | -228 496 | 0 | 812 267 | 0 | | | | | | |
| 2065 | 837 067 | 101 799 | -249 005 | 0 | 837 067 | 0 | | | | | | |
| 2066 | 863 580 | 105 823 | -271 210 | 0 | 863 580 | 0 | | | | | | |
| 2067 | 815 556 | 100 448 | -217 354 | 0 | 815 556 | 0 | | | | | | |
| 2068 | 813 321 | 115 671 | -287 496 | 0 | 813 321 | 0 | | | | | | |
| 2069 | 798 061 | 114 067 | -266 999 | 0 | 798 061 | 0 | | | | | | |
| 2070 | 764 707 | 109 842 | -228 339 | 0 | 764 707 | 0 | | | | | | |
| 2071 | 704 733 | 101 726 | -162 989 | 0 | 704 733 | 0 | | | | | | |
| 2072 | 702 367 | 119 501 | -235 859 | 0 | 702 367 | 0 | | | | | | |
| 2073 | 728 121 | 124 497 | -256 951 | 0 | 728 121 | 0 | | | | | | |
| 2074 | 755 709 | 129 851 | -279 815 | 0 | 755 709 | 0 | | | | | | |
| 2075 | 784 373 | 135 435 | -303 694 | 0 | 784 373 | 0 | | | | | | |
| 2076 | 814 157 | 141 262 | -328 627 | 0 | 814 157 | 0 | | | | | | |
| 2077 | 842 722 | 146 924 | -352 279 | 0 | 842 722 | 0 | | | | | | |
| 2078 | 874 853 | 153 258 | -379 431 | 0 | 874 853 | 0 | | | | | | |
| 2079 | 908 238 | 159 866 | -407 773 | 0 | 908 238 | 0 | | | | | | |
| 2080 | 1 040 395 | 183 996 | -534 819 | 0 | 1 040 395 | 0 | | | | | | |
| Итого 2021- 2080 | 40 176 965 | 54 717 | -428 690 | 313 619 | 39 863 346 | 6 928 687 | | | | | | |





2065

1 173 850

66 894

0

81 115

1 173 850

154 696

| 2066 1 207 8 | 395 | 59 586 | 52 132 | 0 | 1.2 | 207 895 | 124 901 |
|---------------------|----------|--------|---------|------------|-----------|----------|---------------|
| Продолжение г | риложени | я 10 | | | | | |
| 1 | 2 | | 3 | 4 | 5 | 6 | 7 |
| 2067 | 1 165 16 | 53 | 68 096 | 95 507 | 0 | 1 165 16 | 63 167 213 |
| 2068 | 1 131 72 | 21 | 76 840 | -30 297 | 0 | 1 131 72 | 21 32 550 |
| 2069 | 1 141 06 | 54 | 78 194 | -33 412 | 0 | 1 141 06 | 54 28 845 |
| 2070 | 1 091 22 | 26 | 75 480 | 22 605 | 0 | 1 091 22 | 26 22 605 |
| 2071 | 1 019 00 |)8 | 71 144 | 101 049 | 0 | 1 019 00 | 08 101 049 |
| Итого 2021- 2071 | 54 607 6 | 52 | 29 034 | 41 123 550 | 3 447 103 | 51 160 5 | 49 45 094 575 |
| 2072 | 1 013 95 | 51 | 83 609 | -51 381 | 0 | 1 013 95 | 51 0 |
| 2073 | 1 048 60 |)9 | 87 162 | -79 396 | 0 | 1 048 60 | 09 0 |
| 2074 | 1 086 22 | 29 | 91 022 | -110 398 | 0 | 1 086 22 | 29 0 |
| 2075 | 1 125 25 | 53 | 95 056 | -142 745 | 0 | 1 125 25 | 53 0 |
| 2076 | 1 165 73 | 33 | 99 273 | -176 496 | 0 | 1 165 73 | 33 0 |
| 2077 | 1 202 89 | 90 | 103 265 | -206 869 | 0 | 1 202 89 | 90 0 |
| 2078 | 1 246 41 | 5 | 107 867 | -243 558 | 0 | 1 246 41 | 15 0 |
| 2079 | 1 291 56 | 58 | 112 676 | -281 818 | 0 | 1 291 56 | 68 0 |
| 2080 | 1 371 65 | 52 | 120 628 | -354 956 | 0 | 1 371 65 | 52 0 |
| Итого 2021- 2080 | 65 159 9 | 53 | 32 801 | 39 475 932 | 3 447 103 | 61 712 8 | 45 094 575 |



Приложение 11 – Расчет чистой прибыли в 1 варианте, тыс.тенге

| Hajotoobjataen Hajo | приложение т | – Расчет чистой | приобли в т вар | иапте, тыслепт | . C | T | T |
|--|--------------|------------------------|------------------|---------------------|----------------|------------|-----------|
| Поды Налогооблагаем и прибыть подколный излог Подоходный по | | | | | И истоп | | Чистая |
| Подава После вереное водення видент водент вод | | Подоборожногом | Ца дорооб дороом | Г опионативи | | | прибыль |
| | | | | | _ | Налог на | после |
| Incrementary Solution Incrementary Solution Incrementary Solution Incrementary I | Годы | - | - | | | сверхприбы | выплаты |
| 1 | , , | - | - | | | | налога на |
| 1 | | убытков | убытков | налог | | | |
| 1 | | | | | го налога | | |
| 2021 | 1 | 2 | 3 | 4 | 5 | 6 | 7 |
| 2002 | | | | 18 | | | 156 537 |
| 2023 | | | | | | | |
| 2024 396 032 396 032 79 206 291 226 116 291 110 2025 419 395 419 395 83 879 302 949 119 302 830 2026 324 843 324 843 64 969 230 270 107 230 163 2027 342 999 342 999 68 600 241 686 111 241 575 2028 329 156 329 156 65 831 230 392 111 230 281 2029 292 772 292 772 58 554 2018 45 105 2017 40 2030 266 888 266 888 53 378 181 161 101 181 060 2031 254 253 254 253 50 851 170 294 99 170 195 2032 239 258 239 258 47 852 158 570 97 158 473 2033 217 394 217 394 43 479 141 349 94 141 255 2034 194 998 194 998 39 000 123 865 90 123 775 2035 190 083 190 083 38 017 119 222 89 119 134 2036 183 203 183 203 36 641 113 236 87 113 149 2037 177 021 177 021 35 404 107 842 86 107 756 2038 169 048 169 048 33 810 101 204 84 101 120 2039 161 798 161 798 32 360 95 144 83 95 062 2040 152 724 152 724 30 545 87 84 81 87 703 2041 144 384 144 384 28 877 80 988 80 80 908 2042 134 176 134 176 26 835 72 834 78 72 756 2043 124 705 124 705 24 941 65 228 76 65 151 2044 113 311 113 311 22 662 56 206 75 56 131 2046 90 002 90 002 18 000 37 745 72 37 674 2047 78 859 78 859 15 772 28 130 70 28 060 2049 51 353 51 353 10 271 6651 67 6584 2050 37 266 37 266 74 53 0 66 0 0 0 0 0 0 0 | | | | | | | |
| 2025 | | | | | | | |
| 2026 324 843 324 843 64 969 230 270 107 230 163 2027 342 999 342 999 68 600 241 686 111 241 575 2028 329 156 329 156 65 831 230 392 111 230 281 2029 292 772 292 772 58 554 201 845 105 201 740 2030 266 888 266 888 53 378 181 161 101 181 060 2031 254 253 254 253 50 851 170 294 99 170 195 2032 239 258 239 258 47 852 158 570 97 158 473 2033 217 394 217 394 43 479 141 349 94 141 255 2034 194 998 194 998 39 000 123 865 90 123 775 2035 190 083 190 083 38 017 119 222 89 119 134 2037 177 021 177 021 35 404 107 842 86 107 756 2038 169 048 169 048 33 810 101 204 84 101 120 2039 161 798 161 798 32 360 95 144 83 95 062 2040 152 724 152 724 30 545 87 784 81 87 703 2041 144 384 144 384 28 877 80 988 80 80 908 2045 102 649 102 649 205 2045 102 649 102 649 20 530 47 713 73 47 640 2046 90 002 90 002 18 000 37 745 72 37 674 2046 90 002 90 002 18 000 37 745 72 37 674 2047 78 859 78 859 15 877 3 45 2866 29 33 45 246 22 426 22 426 4855 06 64 00 2055 00 00 00 00 00 | | | | | | | |
| 2027 | | | | | | | |
| 2028 329 156 329 156 65 831 230 392 111 230 281 2029 292 772 292 772 85 554 201 845 105 201740 2030 266 888 266 888 53 378 181 161 101 181 060 2031 254 253 254 253 50 851 170 294 99 170 195 2032 239 258 239 258 47 852 158 570 97 158 473 2033 217 394 217 394 43 479 141 349 94 141 255 2034 194 998 194 998 39 000 123 865 90 123 775 2035 190 083 190 083 38 017 119 222 89 119 134 2036 183 203 183 203 36 641 113 236 87 113 149 2037 177 021 177 021 35 404 107 842 86 107 756 2039 161 798 161 798 32 360 95 144 83 95 062 2040 152 724 152 724 30 545 87 784 81 87 703 2041 144 384 144 384 28 877 80 988 80 80 908 2042 134 176 134 176 26 835 72 834 78 72 756 2043 124 705 124 705 24 941 65 228 76 65 151 2044 133 311 113 311 22 662 56 206 75 56 131 2045 60 49 102 649 20 530 47 713 73 47 640 2047 78 859 78 859 15 772 28 130 70 28 060 2048 66 125 66 125 13 225 18 165 69 18 096 2055 54 43 5443 1089 0 63 0 0 0 0 0 0 0 0 0 | | | | | | | |
| 2029 | | | | | | | |
| 2030 | | | | | | | |
| 2031 | | | | | | | |
| 2032 | | | | | | | |
| 2033 | | | | | | | |
| 2034 | | | | | | | |
| 2035 | | | | | | | |
| 2036 | | | | | | | |
| 2037 177 021 177 021 35 404 107 842 86 107 756 2038 169 048 169 048 33 810 101 204 84 101 120 2039 161 798 161 798 32 360 95 144 83 95 062 2040 152 724 152 724 30 545 87 784 81 87 703 2041 144 384 144 384 28 877 80 988 80 80 908 2042 134 176 134 176 26 835 72 834 78 72 756 2043 124 705 124 705 24 941 65 228 76 65 151 2044 113 311 113 311 22 660 56 206 75 56 131 2045 102 649 102 649 20 530 47 713 73 47 640 2046 90 002 90 002 18 000 37 745 72 37 674 2047 78 859 78 859 15 772 28 130 70 28 660 2048 | | | | | | | |
| 2038 | | | | | | | |
| 2039 161 798 161 798 32 360 95 144 83 95 062 2040 152 724 152 724 30 545 87 784 81 87 703 2041 144 384 144 384 28 877 80 988 80 80 908 2042 134 176 134 176 26 835 72 834 78 72 756 2043 124 705 124 705 24 941 65 228 76 65 151 2044 113 311 113 311 22 662 56 206 75 56 131 2045 102 649 102 649 20 530 47 713 73 47 640 2046 90 002 90 002 18 000 37 745 72 37 674 2047 78 859 78 859 15 772 28 130 70 28 060 2048 66 125 66 125 13 225 18 165 69 18 096 2050 37 266 37 266 7 453 0 66 0 2051 22 426< | | | | | | | |
| 2040 152 724 152 724 30 545 87 784 81 87 703 2041 144 384 144 384 28 877 80 988 80 80 908 2042 134 176 134 176 26 835 72 834 78 72 756 2043 124 705 124 705 24 941 65 228 76 65 151 2044 113 311 113 311 22 662 56 206 75 56 131 2045 102 649 102 649 20 530 47 713 73 47 640 2046 90 002 90 002 18 000 37 745 72 37 674 2047 78 859 78 859 15 772 28 130 70 28 060 2048 66 125 66 125 13 225 18 165 69 18 096 2049 51 353 51 353 10 271 6 651 67 6 584 2050 37 266 37 266 7 453 0 66 0 2051 5 443 | | | | | | | |
| 2041 144 384 144 384 28 877 80 988 80 80 908 2042 134 176 134 176 26 835 72 834 78 72 756 2043 124 705 124 705 24 941 65 228 76 65 151 2044 113 311 113 311 22 662 56 206 75 56 131 2045 102 649 102 649 20 530 47 713 73 47 640 2046 90 002 90 002 18 000 37 745 72 37 674 2047 78 859 78 859 15 772 28 130 70 28 060 2048 66 125 66 125 13 225 18 165 69 18 096 2049 51 353 51 353 10 271 6 651 67 6 584 2050 37 266 37 266 7 453 0 66 0 2051 22 426 22 426 4 485 0 64 0 2052 6 928 687 < | | | | | | | |
| 2042 134 176 134 176 26 835 72 834 78 72 756 2043 124 705 124 705 24 941 65 228 76 65 151 2044 113 311 113 311 22 662 56 206 75 56 131 2045 102 649 102 649 20 530 47 713 73 47 640 2046 90 002 90 002 18 000 37 745 72 37 674 2047 78 859 78 859 15 772 28 130 70 28 060 2048 66 125 66 125 13 225 18 165 69 18 096 2049 51 353 51 353 10 271 6 651 67 6 584 2050 37 266 37 266 7 453 0 66 0 2051 22 426 22 426 4 485 0 64 0 2052 5 443 5 443 1 089 0 63 0 Utroro: 2021- 2052 6 928 68 | | | | | | | |
| 2043 124 705 124 705 24 941 65 228 76 65 151 2044 113 311 113 311 22 662 56 206 75 56 131 2045 102 649 102 649 20 530 47 713 73 47 640 2046 90 002 90 002 18 000 37 745 72 37 674 2047 78 859 78 859 15 772 28 130 70 28 060 2048 66 125 66 125 13 225 18 165 69 18 096 2049 51 353 51 353 10 271 6 651 67 6 584 2050 37 266 37 266 7 453 0 66 0 2051 22 426 22 426 4 485 0 64 0 2052 5 443 5 443 1 089 0 63 0 Wrore: 2021- 2052 6 928 687 6 928 687 1 385 737 4 528 665 2 933 4 525 925 2053 | | | | | | | |
| 2044 113 311 113 311 22 662 56 206 75 56 131 2045 102 649 102 649 20 530 47 713 73 47 640 2046 90 002 90 002 18 000 37 745 72 37 674 2047 78 859 78 859 15 772 28 130 70 28 060 2048 66 125 66 125 13 225 18 165 69 18 096 2049 51 353 51 353 10 271 6 651 67 6 584 2050 37 266 37 266 7 453 0 66 0 2051 22 426 22 426 4 485 0 64 0 2052 5 443 5 443 1 089 0 63 0 Hroro: 2021- 2052 6 928 687 1 385 737 4 528 665 2 933 4 525 925 2053 0 0 0 0 60 0 2054 0 0 0 | | | | | | | |
| 2045 102 649 102 649 20 530 47 713 73 47 640 2046 90 002 90 002 18 000 37 745 72 37 674 2047 78 859 78 859 15 772 28 130 70 28 060 2048 66 125 66 125 13 225 18 165 69 18 096 2049 51 353 51 353 10 271 6 651 67 6 584 2050 37 266 37 266 7 453 0 66 0 2051 22 426 22 426 4 485 0 64 0 2052 5 443 5 443 1 089 0 63 0 Wrore: 2021- 2052 6 928 687 6 928 687 1 385 737 4 528 665 2 933 4 525 925 2053 0 0 0 0 60 0 2054 0 0 0 0 62 0 2055 0 0 0 | | | | | | | |
| 2046 90 002 90 002 18 000 37 745 72 37 674 2047 78 859 78 859 15 772 28 130 70 28 060 2048 66 125 66 125 13 225 18 165 69 18 096 2049 51 353 51 353 10 271 6 651 67 6 584 2050 37 266 37 266 7 453 0 66 0 2051 22 426 22 426 4 485 0 64 0 2052 5 443 5 443 1 089 0 63 0 Hroro: 2021- 2052 6 928 687 6 928 687 1 385 737 4 528 665 2 933 4 525 925 2053 0 0 0 0 60 0 2054 0 0 0 0 62 2933 4 525 925 2053 0 0 0 0 62 0 0 2055 0 0 | | | | | | | |
| 2047 78 859 78 859 15 772 28 130 70 28 060 2048 66 125 66 125 13 225 18 165 69 18 096 2049 51 353 51 353 10 271 6 651 67 6 584 2050 37 266 37 266 7 453 0 66 0 2051 22 426 22 426 4 485 0 64 0 2052 5 443 5 443 1 089 0 63 0 Wrore: 2021- 2052 6 928 687 6 928 687 1 385 737 4 528 665 2 933 4 525 925 2053 0 0 0 0 61 0 2054 0 0 0 0 62 0 2055 0 0 0 0 62 0 2055 0 0 0 0 57 0 2056 0 0 0 0 55 0 </td <td></td> <td></td> <td></td> <td></td> <td></td> <td></td> <td></td> | | | | | | | |
| 2048 66 125 66 125 13 225 18 165 69 18 096 2049 51 353 51 353 10 271 6 651 67 6 584 2050 37 266 37 266 7 453 0 66 0 2051 22 426 22 426 4 485 0 64 0 2052 5 443 5 443 1 089 0 63 0 Mroro: 2021- 2052 6 928 687 6 928 687 1 385 737 4 528 665 2 933 4 525 925 2053 0 0 0 0 61 0 2054 0 0 0 60 0 2055 0 0 0 62 0 2056 0 0 0 57 0 2057 0 0 0 57 0 2058 0 0 0 57 0 2059 0 0 0 57 <td></td> <td></td> <td></td> <td></td> <td></td> <td></td> <td></td> | | | | | | | |
| 2049 51 353 51 353 10 271 6 651 67 6 584 2050 37 266 37 266 7 453 0 66 0 2051 22 426 22 426 4 485 0 64 0 2052 5 443 5 443 1 089 0 63 0 Mroro: 2021- 2052 6 928 687 6 928 687 1 385 737 4 528 665 2 933 4 525 925 2053 0 0 0 0 61 0 2054 0 0 0 0 60 0 2055 0 0 0 0 62 0 2055 0 0 0 0 57 0 2056 0 0 0 0 57 0 2057 0 0 0 0 55 0 2058 0 0 0 0 57 0 2060 | | | | | | | |
| 2050 37 266 37 266 7 453 0 66 0 2051 22 426 22 426 4 485 0 64 0 2052 5 443 5 443 1 089 0 63 0 Uroro: 2021- 2052 6 928 687 6 928 687 1 385 737 4 528 665 2 933 4 525 925 2053 0 0 0 0 61 0 2054 0 0 0 0 60 0 2055 0 0 0 0 62 0 2056 0 0 0 0 57 0 2057 0 0 0 0 55 0 2058 0 0 0 0 57 0 2059 0 0 0 0 57 0 2060 0 0 0 50 0 2061 0 0 < | | | | | | | |
| 2051 22 426 22 426 4 485 0 64 0 2052 5 443 5 443 1 089 0 63 0 Wroro: 2021- 2052 6 928 687 6 928 687 1 385 737 4 528 665 2 933 4 525 925 2053 0 0 0 0 61 0 2054 0 0 0 0 60 0 2055 0 0 0 0 62 0 2056 0 0 0 0 57 0 2057 0 0 0 0 55 0 2058 0 0 0 0 57 0 2059 0 0 0 0 57 0 2060 0 0 0 51 0 2061 0 0 0 50 0 2062 0 0 0 0 49 | | 51 353 | | | 6 651 | 67 | 6 584 |
| 2052 5 443 5 443 1 089 0 63 0 Wroro: 2021- 2052 6 928 687 6 928 687 1 385 737 4 528 665 2 933 4 525 925 2053 0 0 0 0 61 0 2054 0 0 0 0 60 0 2055 0 0 0 0 62 0 2055 0 0 0 0 57 0 2056 0 0 0 0 57 0 2057 0 0 0 0 55 0 2058 0 0 0 0 54 0 2059 0 0 0 0 57 0 2060 0 0 0 57 0 2061 0 0 0 50 0 2062 0 0 0 0 49 0 </td <td></td> <td></td> <td></td> <td></td> <td>0</td> <td></td> <td>0</td> | | | | | 0 | | 0 |
| Utroro: 2021- 2052 6 928 687 6 928 687 1 385 737 4 528 665 2 933 4 525 925 2053 0 0 0 0 61 0 2054 0 0 0 0 60 0 2055 0 0 0 0 62 0 2056 0 0 0 0 57 0 2057 0 0 0 0 55 0 2058 0 0 0 0 54 0 2059 0 0 0 0 57 0 2060 0 0 0 57 0 2061 0 0 0 57 0 2062 0 0 0 51 0 2063 0 0 0 0 49 0 2064 0 0 0 0 46 0 | 2051 | 22 426 | 22 426 | 4 485 | 0 | 64 | 0 |
| 2052 6 928 687 6 928 687 1 385 737 4 528 665 2 933 4 525 925 2053 0 0 0 0 61 0 2054 0 0 0 0 60 0 2055 0 0 0 0 62 0 2056 0 0 0 0 57 0 2057 0 0 0 0 55 0 2058 0 0 0 0 54 0 2059 0 0 0 0 57 0 2060 0 0 0 51 0 2061 0 0 0 50 0 2062 0 0 0 0 49 0 2063 0 0 0 0 46 0 2064 0 0 0 0 46 0 | | 5 443 | 5 443 | 1 089 | 0 | 63 | 0 |
| 2053 0 0 0 0 61 0 2054 0 0 0 0 60 0 2055 0 0 0 0 62 0 2056 0 0 0 0 57 0 2057 0 0 0 0 55 0 2058 0 0 0 0 54 0 2059 0 0 0 0 57 0 2060 0 0 0 57 0 2060 0 0 0 51 0 2061 0 0 0 50 0 2062 0 0 0 49 0 2063 0 0 0 46 0 2064 0 0 0 45 0 2065 0 0 0 0 44 | | | | | | | |
| 2054 0 0 0 0 60 0 2055 0 0 0 0 62 0 2056 0 0 0 0 57 0 2057 0 0 0 0 55 0 2058 0 0 0 0 54 0 2059 0 0 0 0 57 0 2060 0 0 0 57 0 2061 0 0 0 51 0 2062 0 0 0 0 50 0 2063 0 0 0 0 449 0 2064 0 0 0 0 46 0 2065 0 0 0 0 44 0 | | 6 928 687 | 6 928 687 | 1 385 737 | 4 528 665 | | 4 525 925 |
| 2055 0 0 0 0 62 0 2056 0 0 0 0 57 0 2057 0 0 0 0 55 0 2058 0 0 0 0 54 0 2059 0 0 0 0 57 0 2060 0 0 0 57 0 2061 0 0 0 51 0 2062 0 0 0 50 0 2063 0 0 0 49 0 2064 0 0 0 46 0 2065 0 0 0 0 44 0 | | | - | , , | | _ | |
| 2056 0 0 0 57 0 2057 0 0 0 0 55 0 2058 0 0 0 0 54 0 2059 0 0 0 0 57 0 2060 0 0 0 0 51 0 2061 0 0 0 0 50 0 2062 0 0 0 0 49 0 2063 0 0 0 0 52 0 2064 0 0 0 0 46 0 2065 0 0 0 0 44 0 | | | | | 0 | 60 | 0 |
| 2057 0 0 0 0 55 0 2058 0 0 0 0 54 0 2059 0 0 0 0 57 0 2060 0 0 0 0 51 0 2061 0 0 0 0 50 0 2062 0 0 0 0 49 0 2063 0 0 0 0 52 0 2064 0 0 0 0 46 0 2065 0 0 0 0 44 0 | | | | | | | |
| 2058 0 0 0 54 0 2059 0 0 0 0 57 0 2060 0 0 0 0 51 0 2061 0 0 0 0 50 0 2062 0 0 0 0 49 0 2063 0 0 0 0 52 0 2064 0 0 0 0 46 0 2065 0 0 0 0 44 0 | 2056 | | | 0 | 0 | | 0 |
| 2059 0 0 0 0 57 0 2060 0 0 0 0 51 0 2061 0 0 0 0 50 0 2062 0 0 0 0 49 0 2063 0 0 0 0 52 0 2064 0 0 0 0 46 0 2065 0 0 0 0 44 0 2066 0 0 0 0 44 0 | | | | 0 | | | - |
| 2060 0 0 0 51 0 2061 0 0 0 0 50 0 2062 0 0 0 0 49 0 2063 0 0 0 0 52 0 2064 0 0 0 0 46 0 2065 0 0 0 0 45 0 2066 0 0 0 0 44 0 | | | | 0 | 0 | | 0 |
| 2061 0 0 0 50 0 2062 0 0 0 0 49 0 2063 0 0 0 0 52 0 2064 0 0 0 0 46 0 2065 0 0 0 0 45 0 2066 0 0 0 0 44 0 | | | | 0 | 0 | | 0 |
| 2062 0 0 0 49 0 2063 0 0 0 0 52 0 2064 0 0 0 0 46 0 2065 0 0 0 0 45 0 2066 0 0 0 0 44 0 | 2060 | 0 | 0 | 0 | 0 | 51 | 0 |
| 2063 0 0 0 52 0 2064 0 0 0 0 46 0 2065 0 0 0 0 45 0 2066 0 0 0 0 44 0 | 2061 | | | 0 | 0 | 50 | 0 |
| 2064 0 0 0 46 0 2065 0 0 0 0 45 0 2066 0 0 0 0 44 0 | 2062 | 0 | 0 | 0 | 0 | 49 | 0 |
| 2065 0 0 0 0 45 0 2066 0 0 0 0 44 0 | 2063 | 0 | 0 | 0 | 0 | 52 | 0 |
| 2066 0 0 0 0 44 0 | 2064 | 0 | 0 | 0 | 0 | 46 | 0 |
| | 2065 | 0 | 0 | 0 | 0 | 45 | 0 |
| 2067 0 0 0 47 0 | 2066 | 0 | 0 | 0 | 0 | 44 | 0 |
| | 2067 | 0 | 0 | 0 | 0 | 47 | 0 |
| 2068 0 0 0 0 41 0 | 2068 | 0 | 0 | 0 | 0 | 41 | 0 |



| Продолжение приложения 11 | | | | | | | | | | | | |
|---------------------------|-----------|-----------|-----------|-----------|-------|-----------|--|--|--|--|--|--|
| 1 | 2 | 3 | 4 | 5 | 6 | 7 | | | | | | |
| 2069 | 0 | 0 | 0 | 0 | 43 | 0 | | | | | | |
| 2070 | 0 | 0 | 0 | 0 | 44 | 0 | | | | | | |
| 2071 | 0 | 0 | 0 | 0 | 48 | 0 | | | | | | |
| 2072 | 0 | 0 | 0 | 0 | 41 | 0 | | | | | | |
| 2073 | 0 | 0 | 0 | 0 | 40 | 0 | | | | | | |
| 2074 | 0 | 0 | 0 | 0 | 39 | 0 | | | | | | |
| 2075 | 0 | 0 | 0 | 0 | 38 | 0 | | | | | | |
| 2076 | 0 | 0 | 0 | 0 | 37 | 0 | | | | | | |
| 2077 | 0 | 0 | 0 | 0 | 36 | 0 | | | | | | |
| 2078 | 0 | 0 | 0 | 0 | 35 | 0 | | | | | | |
| 2079 | 0 | 0 | 0 | 0 | 34 | 0 | | | | | | |
| 2080 | 0 | 0 | 0 | 0 | 30 | 0 | | | | | | |
| Итого 2021- 2080 | 6 928 687 | 6 928 687 | 1 385 737 | 4 528 665 | 4 231 | 4 525 925 | | | | | | |



Приложение 12 – Расчет чистой прибыли во 21 варианте, тыс.тенге

| 1101111 | жение 12 – Расчет ч | photon inputoblem bo | | Чистая | | Чистая |
|--------------|-------------------------|------------------------|--------------------|------------------------|--------------------------|-------------------------------|
| | | | | บทุกกระบาน | | прибыль |
| | Налогооблагаемая | Налогооблагаемая | Корпоративный | после | Налог на | приоыль после |
| Годы | | прибыль после | подоходный | | талог на сверхприбыль | |
| | переноса убытков | переноса убытков | налог | выплаты подоходного | | налога на |
| | | | | подоходного налога | | налога на сверхприбыль |
| 1 | 2 | 3 | 4 | 5 | 6 | сверхприовіль 7 |
| 2021 | 622 334 | 622 334 | 124 467 | 456 625 | 155 | 456 469 |
| 2022 | 689 495 | 689 495 | 137 899 | 523 690 | 151 | 523 539 |
| 2023 | 849 181 | 849 181 | 169 836 | 775 620 | 0 | 775 620 |
| 2024 | 1 369 417 | 1 369 417 | 273 883 | 1 343 474 | 0 | 1 343 474 |
| 2025 | 1 656 792 | 1 656 792 | 331 358 | 1 442 139 | 148 | 1 441 991 |
| 2026 | 1 516 876 | 1 516 876 | 303 375 | 1 287 070 | 146 | 1 286 925 |
| 2027 | 1 523 681 | 1 523 681 | 304 736 | 1 260 774 | 150 | 1 260 624 |
| 2028 | 1 528 300 | 1 528 300 | 305 660 | 1 226 157 | 156 | 1 226 002 |
| 2029 | 1 517 413 | 1 517 413 | 303 483 | 1 186 959 | 158 | 1 186 801 |
| 2030 | 1 501 960 | 1 501 960 | 300 392 | 1 149 536 | 160 | 1 149 376 |
| 2031 | 1 482 733 | 1 482 733 | 296 547 | 1 113 677 | 161 | 1 113 517 |
| 2032 | 1 474 498 | 1 474 498 | 294 900 | 1 090 477 | 163 | 1 090 314 |
| 2033 | 1 454 972 | 1 454 972 | 290 994 | 1 060 829 | 163 | 1 060 666 |
| 2034 | 1 427 056 | 1 427 056 | 285 411 | 1 027 909 | 162 | 1 027 747 |
| 2035 | 1 403 171 | 1 403 171 | 280 634 | 999 873 | 161 | 999 712 |
| 2036 | 1 377 386 | 1 377 386 | 275 477 | 972 293 | 159 | 972 133 |
| 2037 | 1 344 479 | 1 344 479 | 268 896 | 941 274 | 157 | 941 118 |
| 2038 | 1 316 099 | 1 316 099 | 263 220 | 914 630 | 154 | 914 476 |
| 2039 | 1 286 464 | 1 286 464 | 257 293 | 888 145 | 151 | 887 993 |
| 2040 | 1 250 395 | 1 250 395 | 250 079 | 858 047 | 148 | 857 898 |
| 2041 | 1 219 075 | 1 219 075 | 243 815 | 831 959 | 145 | 831 814 |
| 2042 | 1 186 835 | 1 186 835 | 237 367 | 805 805 | 142 | 805 663 |
| 2043 | 1 153 816 | 1 153 816 | 230 763 | 779 580 | 139 | 779 441 |
| 2044 | 1 114 849 | 1 114 849 | 222 970 | 749 579 | 135 | 749 444 |
| 2045 | 1 080 655 | 1 080 655 | 216 131 | 723 216 | 132 | 723 084 |
| 2046 2047 | 1 045 710 1 021 918 | 1 045 710 1 021 918 | 209 142 204 384 | 696 555 667 240 | 128 126 | 696 427 667 113 |
| 2047 | 983 867 | 983 867 | 196 773 | 640 306 | 120 | 640 183 |
| 2049 | 945 412 | 945 412 | 189 082 | 612 934 | 119 | 612 815 |
| 2050 | 906 499 | 906 499 | 181 300 | 585 089 | 115 | 584 973 |
| 2051 | 908 608 | 908 608 | 181 722 | 589 957 | 116 | 589 841 |
| 2052 | 746 358 | 746 358 | 149 272 | 473 878 | 107 | 473 771 |
| 2053 | 713 033 | 713 033 | 142 607 | 449 745 | 104 | 449 640 |
| 2054 | 677 196 | 677 196 | 135 439 | 423 541 | 101 | 423 440 |
| 2055 | 688 876 | 688 876 | 137 775 | 435 283 | 103 | 435 180 |
| 2056 | 536 193 | 536 193 | 107 239 | 325 115 | 94 | 325 021 |
| 2057 | 504 781 | 504 781 | 100 956 | 301 886 | 92 | 301 794 |
| 2058 | 474 658 | 474 658 | 94 932 | 279 291 | 89 | 279 201 |
| 2059 | 495 726 | 495 726 | 99 145 | 297 970 | 91 | 297 879 |
| 2060 | 350 208 | 350 208 | 70 042 | 192 211 | 83 | 192 128 |
| 2061 | 319 798 | 319 798 | 63 960 | 169 323 | 81 | 169 242 |
| 2062 | 290 109 | 290 109 | 58 022 | 146 675 | 78 | 146 596 |
| 2063 | 321 192 | 321 192 | 64 238 | 172 933 | 81 | 172 853 |
| 2064 | 184 641 | 184 641 | 36 928 | 73 041 | 73 | 72 968 |
| 2065 | 154 696 | 154 696 | 30 939 | 50 176 | 71 | 50 104 |
| 2066 | 124 901 | 124 901 | 24 980 | 27 152 | 69 | 27 083 |
| 2067 | 167 213 | 167 213 | 33 443 | 62 064 | 72 | 61 992 |
| 2068 | 32 550 | 32 550 | 6 510 | 0 | 64 | 0 |
| 2069 | 28 845 | 28 845 | 5 769 | 0 | 64 | 0 |
| 2070 | 22 605 | 22 605 | 4 521 | 18 084 | 64 | 18 021 |



| Продолжение приложения 12 | | | | | | | | | | | | |
|---------------------------|------------|------------|-----------|------------|-------|------------|--|--|--|--|--|--|
| 1 | 2 | 3 | 4 | 5 | 6 | 7 | | | | | | |
| 2071 | 101 049 | 101 049 | 20 210 | 80 840 | 69 | 80 771 | | | | | | |
| Итого 2021- | | | | | | | | | | | | |
| 2071 | 45 094 575 | 45 094 575 | 9 018 915 | 32 180 623 | 5 875 | 32 174 876 | | | | | | |
| 2072 | 0 | 0 | 0 | 0 | 62 | 0 | | | | | | |
| 2073 | 0 | 0 | 0 | 0 | 61 | 0 | | | | | | |
| 2074 | 0 | 0 | 0 | 0 | 59 | 0 | | | | | | |
| 2075 | 0 | 0 | 0 | 0 | 57 | 0 | | | | | | |
| 2076 | 0 | 0 | 0 | 0 | 56 | 0 | | | | | | |
| 2077 | 0 | 0 | 0 | 0 | 55 | 0 | | | | | | |
| 2078 | 0 | 0 | 0 | 0 | 53 | 0 | | | | | | |
| 2079 | 0 | 0 | 0 | 0 | 52 | 0 | | | | | | |
| 2080 | 0 | 0 | 0 | 0 | 49 | 0 | | | | | | |
| Итого 2021- 2080 | 45 094 575 | 45 094 575 | 9 018 915 | 32 180 623 | 6 379 | 32 174 876 | | | | | | |



| | | | денежной нал | | 1 | , | | |
|--------|--------------|------------|--------------|--------|-------------|-------------|------------|--------------|
| | Чистая | | Накопленный | | | | J | Срок |
| _ | прибыль с | Поток | поток | ВНП | , , | тированнь | | окупаемости |
| Годы | учетом | денежной | денежной | (IRR) | | і наличност | • | (дисконт |
| | всех | наличности | наличности | (IIII) | приве | денная сто | имость) | 12%) |
| | выплат | | паличности | | | | | 12 /0) |
| | | | | | 11,5% | 12,0% | 12,5% | |
| 1 | 2 | 3 | 4 | 5 | 6 | 7 | 8 | 9 |
| 2020 | - | -6 450 250 | -6 450 250 | | | | -6 450 250 | |
| 2021 | 456 537 | 413 216 | -6 037 034 | 59,5% | 367 535 | 365 290 | 362 769 | 1 |
| | | | | | | | | |
| 2022 | 335 262 | 385 495 | -5 651 539 | 69,6% | 307 514 | 304 271 | 300 828 | 1 |
| 2023 | 424 745 | 496 176 | -5 155 363 | 79,5% | 354 982 | 349 671 | 344 178 | 1 |
| 2024 | 291 110 | 349 700 | -4 805 663 | 69,4% | 224 384 | 220 040 | 215 621 | 1 |
| 2025 | 302 830 | 363 440 | -4 442 223 | 70,0% | 209 148 | 204 184 | 199 193 | 1 |
| 2026 | 230 163 | 283 603 | -4 158 620 | 57,3% | 146 372 | 142 260 | 138 166 | 1 |
| 2027 | 241 575 | 294 548 | -3 864 072 | 60,2% | 136 342 | 131 920 | 127 554 | 1 |
| 2028 | 230 281 | 280 435 | -3 583 636 | 59,3% | 116 421 | 112 142 | 107 949 | 1 |
| 2029 | 201 740 | 248 750 | -3 334 886 | 53,1% | 92 616 | 88 814 | 85 113 | 1 |
| 2030 | 181 060 | 225 852 | -3 109 035 | 48,3% | 75 417 | 71 998 | 68 691 | 1 |
| 2030 | 170 195 | 213 879 | | 45,2% | 64 053 | 60 876 | 57 822 | 1 |
| | | | -2 895 155 | | | | | |
| 2032 | 158 473 | 200 299 | -2 694 856 | 42,8% | 53 799 | 50 903 | 48 134 | 1 |
| 2033 | 141 255 | 181 463 | -2 513 393 | 38,6% | 43 713 | 41 175 | 38 762 | 1 |
| 2034 | 123 775 | 162 404 | -2 350 989 | 34,3% | 35 087 | 32 902 | 30 837 | 1 |
| 2035 | 119 134 | 157 499 | -2 193 491 | 32,6% | 30 518 | 28 490 | 26 582 | 1 |
| 2036 | 113 149 | 151 168 | -2 042 323 | 30,6% | 26 270 | 24 415 | 22 679 | 1 |
| 2037 | 107 756 | 145 520 | -1 896 803 | 28,9% | 22 680 | 20 984 | 19 406 | 1 |
| 2038 | 101 120 | 138 545 | -1 758 258 | 26,9% | 19 366 | 17 838 | 16 423 | 1 |
| 2039 | 95 062 | 132 237 | -1 626 021 | 25,1% | 16 578 | 15 202 | 13 934 | 1 |
| 2040 | 87 703 | 124 548 | -1 501 473 | 23,1% | 14 003 | 12 784 | 11 665 | 1 |
| 2040 | 80 908 | 117 510 | -1 383 963 | 21,3% | 11 849 | 10 769 | 9 783 | 1 |
| | | | | | | | | ł |
| 2042 | 72 756 | 109 033 | -1 274 930 | 19,3% | 9 861 | 8 922 | 8 069 | 1 |
| 2043 | 65 151 | 101 192 | -1 173 738 | 17,5% | 8 208 | 7 393 | 6 656 | 1 |
| 2044 | 56 131 | 91 853 | -1 081 885 | 15,6% | 6 682 | 5 992 | 5 371 | 1 |
| 2045 | 47 640 | 83 133 | -998 752 | 13,7% | 5 424 | 4 842 | 4 321 | 1 |
| 2046 | 37 674 | 72 854 | -925 898 | 11,8% | 4 263 | 3 788 | 3 366 | 1 |
| 2047 | 28 060 | 63 017 | -862 882 | 9,9% | 3 307 | 2 926 | 2 588 | 1 |
| 2048 | 18 096 | 52 831 | -810 051 | 8,1% | 2 487 | 2 190 | 1 929 | 1 |
| 2049 | 6 584 | 41 015 | -769 035 | 6,1% | 1 731 | 1 518 | 1 331 | 1 |
| 2050 | 0 | 29 747 | -739 288 | 4,3% | 1 126 | 983 | 858 | 1 |
| 2051 | 0 | 17 877 | -721 412 | 2,5% | 607 | 527 | 458 | 1 |
| 2052 | 0 | 4 292 | -717 120 | 0,6% | 131 | 113 | 98 | 1 |
| | U | 4 272 | -/1/ 120 | 0,070 | 131 | 113 | 70 | 1 |
| Итого: | 4 505 005 | 717 120 | 717 100 | 4.00/ | 4 027 770 | 4 104 120 | 4.160.117 | 22 |
| 2021- | 4 525 925 | -717 120 | -717 120 | -4,0% | -4 03 / //8 | -4 104 130 | -4 169 117 | 32 |
| 2052 | _ | | | | | | | |
| 2053 | 0 | -10 988 | -780 023 | -1,5% | -300 | -258 | -223 | ļ |
| 2054 | 0 | -29 606 | -768 895 | -3,9% | -725 | -622 | -533 | |
| 2055 | 0 | -8 785 | -730 197 | -1,1% | -193 | -165 | -141 | <u> </u> |
| 2056 | 0 | -68 933 | -786 053 | -9,2% | -1 358 | -1 154 | -981 | |
| 2057 | 0 | -86 116 | -803 236 | -11,1% | -1 522 | -1 287 | -1 089 | |
| 2058 | 0 | -104 870 | -908 105 | -13,1% | -1 662 | -1 400 | -1 179 | |
| 2059 | 0 | -89 899 | -998 005 | -11,0% | -1 278 | -1 071 | -898 | |
| 2060 | 0 | -139 445 | -1 137 450 | -18,0% | -1 777 | -1 484 | -1 239 | |
| 2061 | 0 | -158 008 | -1 295 458 | -19,8% | -1 806 | -1 501 | -1 239 | 1 |
| | | | | - | | | | |
| 2062 | 0 | -178 195 | -1 473 653 | -21,6% | -1 827 | -1 512 | -1 251 | 1 |
| 2063 | 0 | -165 911 | -1 639 564 | -19,7% | -1 526 | -1 257 | -1 035 | |
| 2064 | 0 | -205 289 | -1 844 853 | -26,0% | -1 693 | -1 388 | -1 138 | ļ |
| 20.65 | 0 | -225 973 | -2 070 826 | -27,8% | -1 671 | -1 364 | -1 114 | |
| 2065 | U | | | | | | | |
| 2065 | 0 | -248 352 | -2 319 178 | -29,5% | -1 647 | -1 339 | -1 088 | |



| Продолжен | Іродолжение приложения 13 | | | | | | | | | | | |
|--------------------|---------------------------|------------|------------|--------|------------|------------|------------|----|--|--|--|--|
| 1 | 2 | 3 | 4 | 5 | 6 | 7 | 8 | 9 | | | | |
| 2068 | 0 | -267 570 | -2 826 495 | -33,7% | -1 428 | -1 150 | -926 | | | | | |
| 2069 | 0 | -247 173 | -3 073 668 | -31,8% | -1 183 | -948 | -761 | | | | | |
| 2070 | 0 | -228 382 | -3 302 051 | -29,9% | -980 | -782 | -625 | | | | | |
| 2071 | 0 | -242 490 | -3 544 541 | -30,9% | -933 | -742 | -590 | | | | | |
| 2072 | 0 | -235 656 | -3 780 197 | -33,6% | -814 | -644 | -509 | | | | | |
| 2073 | 0 | -256 748 | -4 036 945 | -35,3% | -795 | -626 | -493 | | | | | |
| 2074 | 0 | -279 612 | -4 316 557 | -37,0% | -776 | -609 | -477 | | | | | |
| 2075 | 0 | -303 491 | -4 620 048 | -38,7% | -756 | -590 | -461 | | | | | |
| 2076 | 0 | -328 424 | -4 948 472 | -40,3% | -734 | -570 | -443 | | | | | |
| 2077 | 0 | -352 077 | -5 300 549 | -41,8% | -705 | -546 | -422 | | | | | |
| 2078 | 0 | -379 229 | -5 679 778 | -43,4% | -681 | -525 | -404 | | | | | |
| 2079 | 0 | -407 571 | -6 087 348 | -44,9% | -657 | -504 | -386 | | | | | |
| 2080 | 0 | -534 614 | -6 621 963 | -51,4% | -773 | -590 | -450 | | | | | |
| Итого 2021-2080 | 4 525 925 | -6 740 275 | -6 621 963 | -16,7% | -4 069 404 | -4 129 910 | -4 190 153 | 32 | | | | |



Приложение 14 – Расчет потоков денежной наличности во 2 варианте, тыс.тенге

| | Чистая | | денежной нал | | | | | |
|------|-----------|------------|--------------|--------|-----------------------------|------------|------------|--------------|
| | прибыль с | Поток | Накопленный | DIIII | Дискон | ый поток | Срок | |
| Годы | учетом | денежной | поток | ВНП | денежной наличности (Чистая | | | окупаемости |
| | всех | наличности | денежной | (IRR) | | денная сто | ` | (дисконт |
| | выплат | | наличности | | | | , | 12%) |
| | | | | | 11,5% | 12,0% | 12,5% | |
| 1 | 2 | 3 | 4 | 5 | 6 | 7 | 8 | 9 |
| 2020 | | -6 450 250 | -6 450 250 | | -6 450 250 | -6 450 250 | -6 450 250 | |
| 2021 | 456 469 | 413 148 | -6 037 102 | 59,5% | 367 474 | 365 230 | 362 709 | 1 |
| 2022 | 523 539 | 493 007 | -5 544 095 | 65,0% | 393 277 | 389 131 | 384 727 | 1 |
| 2023 | 775 620 | -93 148 | -5 637 243 | -5,2% | -66 641 | -65 644 | -64 613 | 1 |
| 2024 | 1 343 474 | -100 804 | -5 738 047 | -3,5% | -64 681 | -63 429 | -62 155 | 1 |
| 2025 | 1 441 991 | 1 732 158 | -4 005 889 | 137,0% | 953 802 | 930 142 | 906 358 | 1 |
| 2026 | 1 286 925 | 1 559 197 | -2 446 692 | 142,6% | 761 726 | 739 117 | 716 610 | 1 |
| 2027 | 1 260 624 | 1 523 766 | -922 925 | 132,0% | 662 327 | 639 450 | 616 866 | 1 |
| 2028 | 1 226 002 | 1 481 710 | 558 785 | 138,6% | 615 121 | 549 513 | 527 359 | 1 |
| 2029 | 1 186 801 | 1 434 114 | 1 992 899 | 133,8% | 533 956 | 469 036 | 447 700 | 1 |
| 2030 | 1 149 376 | 1 388 699 | 3 381 598 | 129,2% | 463 719 | 442 697 | 379 365 | 1 |
| 2031 | 1 113 517 | 1 345 223 | 4 726 821 | 124,8% | 402 872 | 382 891 | 320 682 | 1 |
| 2032 | 1 090 314 | 1 314 752 | 6 041 574 | 122,9% | 353 136 | 334 123 | 315 950 | 1 |
| 2033 | 1 060 666 | 1 278 834 | 7 320 408 | 118,9% | 308 061 | 290 174 | 273 172 | 1 |
| 2034 | 1 027 747 | 1 239 250 | 8 559 658 | 114,8% | 267 736 | 251 064 | 235 304 | 1 |
| 2035 | 999 712 | 1 205 478 | 9 765 135 | 111,0% | 233 578 | 218 056 | 203 459 | 1 |
| 2036 | 972 133 | 1 172 386 | 10 937 521 | 107,3% | 203 736 | 189 348 | 175 888 | 1 |
| 2037 | 941 118 | 1 135 467 | 12 072 989 | 103,4% | 176 969 | 163 737 | 151 421 | 1 |
| 2038 | 914 476 | 1 103 760 | 13 176 749 | 99,8% | 154 285 | 142 111 | 130 838 | |
| 2039 | 887 993 | 1 072 400 | 14 249 149 | 96,3% | 134 440 | 123 280 | 112 996 | |
| 2040 | 857 898 | 1 037 041 | 15 286 189 | 92,6% | 116 599 | 106 442 | 97 129 | |
| 2041 | 831 814 | 1 006 457 | 16 292 646 | 89,1% | 101 489 | 92 235 | 83 791 | |
| 2042 | 805 663 | 975 967 | 17 268 613 | 85,6% | 88 264 | 79 858 | 72 225 | |
| 2043 | 779 441 | 945 558 | 18 214 172 | 82,2% | 76 694 | 69 080 | 62 199 | |
| 2044 | 749 444 | 910 992 | 19 125 164 | 78,5% | 66 270 | 59 424 | 53 267 | |
| 2045 | 723 084 | 880 753 | 20 005 917 | 75,1% | 57 462 | 51 296 | 45 777 | |
| 2046 | 696 427 | 850 346 | 20 856 263 | 71,8% | 49 756 | 44 219 | 39 286 | |
| 2047 | 667 113 | 817 408 | 21 673 671 | 68,0% | 42 896 | 37 952 | 33 568 | |
| 2048 | 640 183 | 786 971 | 22 460 642 | 64,7% | 37 039 | 32 624 | 28 727 | |
| 2049 | 612 815 | 756 210 | 23 216 852 | 61,4% | 31 920 | 27 990 | 24 537 | |
| 2050 | 584 973 | 725 084 | 23 941 936 | 58,2% | 27 450 | 23 962 | 20 913 | |
| 2051 | 589 841 | 726 770 | 24 668 706 | 57,4% | 24 676 | 21 445 | 18 633 | |
| 2052 | 473 771 | 596 979 | 25 265 685 | 50,5% | 18 179 | 15 728 | 13 605 | |
| 2053 | 449 640 | 570 322 | 25 836 007 | 47,6% | 15 576 | 13 415 | 11 553 | |
| 2054 | 423 440 | 541 656 | 26 377 663 | 44,4% | 13 267 | 11 376 | 9 753 | |
| 2055 | 435 180 | 550 998 | 26 928 661 | 44,3% | 12 104 | 10 332 | 8 819 | |
| 2056 | 325 021 | 428 860 | 27 357 521 | 37,2% | 8 449 | 7 180 | 6 101 | |
| 2057 | 301 794 | 403 733 | 27 761 254 | 34,4% | 7 134 | 6 035 | 5 106 | |
| 2058 | 279 201 | 379 637 | 28 140 892 | 31,7% | 6 016 | 5 067 | 4 268 | |
| 2059 | 297 879 | 396 490 | 28 537 382 | 32,3% | 5 635 | 4 725 | 3 962 | |
| 2060 | 192 128 | 280 083 | 28 817 465 | 24,8% | 3 570 | 2 980 | 2 488 | 1 |
| 2061 | 169 242 | 255 758 | 29 073 223 | 22,2% | 2 924 | 2 430 | 2 019 | 1 |
| 2062 | 146 596 | 232 009 | 29 305 232 | 19,7% | 2 379 | 1 968 | 1 628 | 1 |
| 2063 | 172 853 | 256 873 | 29 562 105 | 21,2% | 2 362 | 1 945 | 1 602 | 1 |
| 2064 | 72 968 | 147 639 | 29 709 744 | 13,3% | 1 218 | 998 | 819 | |
| 2065 | 50 104 | 123 685 | 29 833 430 | 10,9% | 915 | 747 | 610 | 1 |
| 2066 | 27 083 | 99 851 | 29 933 281 | 8,6% | 662 | 538 | 437 | |
| 2067 | 61 992 | 133 699 | 30 066 980 | 11,2% | 795 | 644 | 521 | |
| 2068 | 0 | 25 976 | 30 092 956 | 2,4% | 139 | 112 | 90 | |
| 2069 | 19 021 | 23 012 | 30 115 968 | 2,1% | 110 | 88 | 71 | |
| 2070 | 18 021 | 18 021 | 30 133 989 | 1,6% | 77 | 62 | 49 | <u> </u> |



| Тродолжение приложения 14 | | | | | | | | | | |
|----------------------------------|------------|------------|------------|--------|-----------|---------|---------|----|--|--|
| 1 | 2 3 | | 4 | 5 | 6 | 7 | 8 | 9 | | |
| 2071 | 80 771 | 1 318 | 30 135 307 | 0,1% | 5 | 4 | 3 | | | |
| Итого | | | | | | | | | | |
| 2021- | 32 174 876 | 30 135 307 | 30 135 307 | 47,2% | 1 226 673 | 772 676 | 337 940 | 17 | | |
| 2071 | | | | | | | | | | |
| 2072 | 0 | -50 071 | 30 085 236 | -4,9% | -173 | -137 | -108 | | | |
| 2073 | 0 | -78 095 | 30 007 141 | -7,5% | -242 | -190 | -150 | | | |
| 2074 | 0 | -109 106 | 29 898 035 | -10,1% | -303 | -238 | -186 | | | |
| 2075 | 0 | -141 463 | 29 756 571 | -12,6% | -352 | -275 | -215 | | | |
| 2076 | 0 | -175 223 | 29 581 348 | -15,0% | -391 | -304 | -236 | | | |
| 2077 | 0 | -205 606 | 29 375 742 | -17,1% | -412 | -319 | -247 | | | |
| 2078 | 0 | -242 304 | 29 133 438 | -19,5% | -435 | -335 | -258 | | | |
| 2079 | 0 | -280 574 | 28 852 864 | -21,7% | -452 | -347 | -266 | | | |
| 2080 | 0 | -353 719 | 28 499 145 | -25,8% | -511 | -390 | -298 | | | |
| Итого | | | | | | | | | | |
| 2021- | 32 174 876 | 28 499 145 | 28 499 145 | 37,4% | 1 223 401 | 770 142 | 335 976 | 17 | | |
| 2080 | | | | | | | | | | |



| | асчет бюджетной эффективности 1 варианта разработки, тыс. тенге ДОХОД ГОСУДАРСТВА, тыс. тенге | | | | | | | | | | | |
|----------------|---|------------------|-----------------------------|-----------------------------------|---------------|-----------|----------|--------------------|-------------------------------|----------------|----------------|--|
| Годы | | ИПН | Налог на | НДПИ на добычу нефти и газа | Прочие налоги | H | | | Дисконтированный доход РК при | | | |
| | Социальный налог | | имущество и на транспорт | | | КПН | НСП | Суммарный доход РК | 11,5% | 12,0% | 12,5% | |
| 1 | 2 | 3 | 4 | 5 | 6 | 7 | 8 | 9 | 10 | 11 | 12 | |
| 2021 | 6 113 | 5 557 | 102 106 | 5 043 | 406 | 124 484 | 155 | 243 865 | 216 905 | 215 580 | 214 092 | |
| 2022 | 7 152 | 6 502 | 103 010 | 4 271 | 392 | 90 366 | 128 | 211 821 | 168 972 | 167 190 | 165 298 | |
| 2023 | 8 265 | 7 513 | 103 074 | 5 092 | 417 | 114 375 | 137 | 238 872 | 170 898 | 168 341 | 165 696 | |
| 2024 | 8 595 | 7 814 | 102 631 | 4 142 | 397 | 79 206 | 116 | 202 901 | 130 191 | 127 671 | 125 106 | |
| 2025 | 8 939 | 8 126 | 101 737 | 4 283 | 405 | 83 879 | 119 | 207 488 | 119 403 | 116 569 | 113 720 | |
| 2026 | 9 297 | 8 451 | 100 881 | 3 780 | 396 | 64 969 | 107 | 187 881 | 96 968 | 94 244 | 91 532 | |
| 2027 | 9 668 | 8 789 | 100 083 | 3 804 | 399 | 68 600 | 111 | 191 454 | 88 621 | 85 747 | 82 909 | |
| 2028 | 10 055 | 9 141 | 99 310 | 3 657 | 397 | 65 831 | 111 | 188 502 | 78 255 | 75 379 | 72 561 | |
| 2029 | 10 457 | 9 507 | 98 581 | 3 481 | 395 | 58 554 | 105 | 181 080 | 67 421 | 64 653 | 61 959 | |
| 2030 | 10 876 | 9 887 | 97 892 | 3 367 | 394 | 53 378 | 101 | 175 895 | 58 736 | 56 073 | 53 497 | |
| 2031 | 11 311 | 10 282 | 97 229 | 3 334 | 395 | 50 851 | 99 | 173 501 | 51 961 | 49 383 | 46 906 | |
| 2032 | 11 763 | 10 694 | 96 588 | 3 241 | 395 | 47 852 | 97 | 170 629 | 45 830 | 43 363 | 41 004 | |
| 2033 | 12 234 | 11 121 | 95 972 | 3 163 | 395 | 43 479 | 94 | 166 458 | 40 098 | 37 770 | 35 557 | |
| 2034 | 12 723 | 11 566 | 95 381 | 3 085 | 395 | 39 000 | 90 | 162 240 | 35 051 | 32 869 | 30 805 | |
| 2035 | 13 232 | 12 029 | 94 804 | 3 110 | 398 | 38 017 | 89 | 161 678 | 31 327 | 29 246 | 27 288 | |
| 2036 | 13 761 | 12 510 | 94 231 | 3 129 | 402 | 36 641 | 87 | 160 760 | 27 937 | 25 964 | 24 118 | |
| 2037 | 14 312 | 13 011 | 93 662 | 3 154 | 405 | 35 404 | 86 | 160 034 | 24 942 | 23 077 | 21 341 | |
| 2038 | 14 884 | 13 531 | 93 098 | 3 173 | 409 | 33 810 | 84 | 158 989 | 22 224 | 20 470 | 18 846 | |
| 2039 | 15 479 | 14 072 | 92 539 | 3 199 | 413 | 32 360 | 83 | 158 145 | 19 826 | 18 180 | 16 663 | |
| 2040 | 16 099 | 14 635 | 91 984 | 3 219 | 417 | 30 545 | 81 | 156 978 | 17 650 | 16 112 | 14 703 | |
| 2041 | 16 742 | 15 220 | 91 433 | 3 246 | 421 | 28 877 | 80 | 156 019 | 15 733 | 14 298 | 12 989 | |
| 2042 | 17 412 | 15 829 | 90 886 | 3 265 | 425 | 26 835 | 78 | 154 731 | 13 993 | 12 661 | 11 451 | |
| 2043 | 18 109 | 16 462 | 90 344 | 3 293 | 429 | 24 941 | 76 | 153 654 | 12 463 | 11 226 | 10 107 | |
| 2044 | 18 833 | 17 121 | 89 806 | 3 313 | 434 | 22 662 | 75 | 152 243 | 11 075 | 9 931 | 8 902 | |
| 2045 | 19 586 | 17 806 | 89 272 | 3 341 | 438 | 20 530 | 73 | 151 046 | 9 854 | 8 797 | 7 851 | |
| 2046 | 20 370 | 18 518 | 88 742 | 3 361 | 443 | 18 000 | 72 | 149 506 | 8 748 | 7 774 | 6 907 | |
| 2047 | 21 185 | 19 259 | 88 215 | 3 390 | 448 | 15 772 | 70 | 148 339 | 7 784 | 6 887 | 6 092 | |
| 2048 | 22 032 | 20 029 | 87 693 | 3 419 | 453 | 13 225 | 69 | 146 920 | 6 915 | 6 091 | 5 363 | |
| 2049 | 22 913 | 20 830 | 87 174 | 3 441 | 458 | 10 271 | 67 | 145 154 | 6 127 | 5 373 | 4 710 | |
| 2050 | 23 830 | 21 663 | 86 659 | 3 470 | 464 | 7 453 | 66 | 143 606 | 5 437 | 4 746 | 4 142 | |
| 2051 | 24 783 | 22 530 | 86 148 | 3 501 | 470 | 4 485 | 64 | 141 981 | 4 821 | 4 189 | 3 640 | |
| 2052 | 25 774 | 23 431 | 85 640 | 3 523 | 476 | 1 089 | 63 | 139 995 | 4 263 | 3 688 | 3 190 | |
| ого: 2021-2052 | 476 783 | 433 439 | 3 016 802 | 113 291 | 13 380 | 1 385 737 | 2 933 | 5 442 365 | 1 620 428 | 1 563 541 | 1 508 947 | |
| 2053 | 26 805 | 24 368 | 85 136 | 3 554 | 482 | 0 | 61 | 140 406 | 3 835 | 3 303 | 2 844 | |
| 2054 | 27 877 | 25 343 | 84 635 | 3 576 | 488 | 0 | 60 | 141 979 | 3 478 | 2 982 | 2 556 | |
| 2055 | 26 093 | 23 721 | 84 457 | 3 607 | 494 | 0 | 62 | 138 436 | 3 041 | 2 596 | 2 216 | |
| 2056 2057 | 27 137 | 24 670 | 84 303 | 3 301 | 482 | 0 | 57 | 139 949 | 2 757 | 2 343 | 1 991 | |
| 2057 | 28 223 | 25 657 | 83 854 83 409 | 3 331 3 362 | 488 495 | 0 | 55 | 141 609 | 2 502 | 2 117 | 1 791 | |
| 2059 | 29 351 27 134 | 26 683 24 667 | 83 339 | 3 384 | 501 | 0 | 54 57 | 143 354 139 082 | 2 272 1 977 | 1 913 1 657 | 1 611 1 390 | |
| 2060 | 28 219 | 25 654 | 83 292 | 3 073 | 487 | 0 | 51 | 140 775 | 1 794 | 1 498 | 1 250 | |
| 2060 | 29 348 | 26 680 | 82 895 | 3 102 | 493 | 0 | 50 | 140 775 | 1 630 | 1 354 | 1 126 | |
| 2061 | 30 522 | 20 080 | 82 501 | 3 102 | 500 | 0 | 49 | 142 369 | 1 481 | 1 225 | 1 014 | |
| 2062 | 27 775 | 25 250 | 82 544 | 3 162 | 508 | 0 | 52 | 139 290 | 1 281 | 1 055 | 869 | |
| 2063 | 28 886 | 26 260 | 82 610 | 2 833 | 490 | 0 | 46 | 139 290 | 1 164 | 954 | 783 | |
| 2064 | 30 041 | 27 310 | 82 262 | 2 854 | 496 | 0 | 45 | 143 009 | 1 058 | 863 | 705 | |
| 2065 | 31 243 | 28 403 | 81 917 | 2 875 | 503 | 0 | 43 | 143 009 | 962 | 782 | 635 | |
| 2067 | 27 851 | 25 319 | 82 084 | 2 903 | 616 | 0 | 47 | 138 820 | 826 | 668 | 541 | |
| 2068 | 28 965 | 26 332 | 82 273 | 2 552 | 629 | 0 | 41 | 140 792 | 751 | 605 | 487 | |
| 2068 | 30 123 | 26 332 | 41 061 | 2 578 | 642 | 0 | 43 | 101 832 | 487 | 391 | 313 | |
| 2070 | 31 328 | 28 480 | 0 | 2 603 | 656 | 0 | 43 | 63 112 | 271 | 216 | 173 | |

Продолжение приложения 15

| 1 | 2 | 3 | 4 | 5 | 6 | 7 | 8 | 9 | 10 | 11 | 12 |
|-----------------|-----------|-----------|-----------|---------|--------|-----------|-------|-----------|-----------|-----------|-----------|
| 2071 | 27 151 | 24 683 | 596 | 2 629 | 608 | 0 | 48 | 55 715 | 214 | 170 | 135 |
| 2072 | 28 237 | 25 670 | 1 190 | 2 264 | 620 | 0 | 41 | 58 024 | 200 | 158 | 125 |
| 2073 | 29 367 | 26 697 | 1 186 | 2 287 | 634 | 0 | 40 | 60 211 | 186 | 147 | 116 |
| 2074 | 30 542 | 27 765 | 1 183 | 2 310 | 647 | 0 | 39 | 62 486 | 174 | 136 | 107 |
| 2075 | 31 763 | 28 876 | 1 179 | 2 333 | 662 | 0 | 38 | 64 851 | 162 | 126 | 98 |
| 2076 | 33 034 | 30 031 | 1 175 | 2 357 | 676 | 0 | 37 | 67 310 | 150 | 117 | 91 |
| 2077 | 34 355 | 31 232 | 1 172 | 0 | 692 | 0 | 36 | 67 487 | 135 | 105 | 81 |
| 2078 | 35 729 | 32 481 | 1 168 | 0 | 708 | 0 | 35 | 70 122 | 126 | 97 | 75 |
| 2079 | 37 158 | 33 780 | 1 165 | 0 | 725 | 0 | 34 | 72 863 | 117 | 90 | 69 |
| 2080 | 38 645 | 35 132 | 1 161 | 0 | 742 | 0 | 30 | 75 710 | 109 | 83 | 63 |
| Итого 2021-2080 | 1 319 686 | 1 199 715 | 4 400 549 | 183 255 | 29 544 | 1 385 737 | 4 231 | 8 522 717 | 1 653 568 | 1 591 293 | 1 532 202 |

| | | | | | | цоход государст | ГВА, тыс, тенге | | | | |
|--------------|------------------|------------------|-----------------------------|----------------|-----------------------|-----------------|-----------------|--------------------|------------|---------------------|------------|
| Γ | | | Налог на | НДПИ на | Прочие налоги | Torrow Torrow | | | Лиск | сонтированный доход | РК при |
| Годы | Социальный налог | ИПН | имущество и на транспорт | | и платежи в бюджет | кпн | НСП | Суммарный доход РК | 11,5% | 12,0% | 12,5% |
| 1 | 2 | 3 | 4 | 5 | 6 | 7 | 8 | 9 | 10 | 11 | 12 |
| 2021 | 6 113 | 5 557 | 102 106 | 5 043 | 406 | 124 467 | 155 | 243 848 | 216 890 | 215 565 | 214 077 |
| 2022 | 7 152 | 6 502 | 103 765 | 5 692 | 426 | 137 899 | 151 | 261 587 | 208 671 | 206 471 | 204 134 |
| 2023 | 9 091 | 8 265 | 111 935 | 7 723 | 482 | 169 836 | 0 | 307 332 | 219 877 | 216 587 | 213 184 |
| 2024 | 10 314 | 9 377 | 131 665 | 12 313 | 609 | 273 883 | 0 | 438 161 | 281 145 | 275 702 | 270 165 |
| 2025 | 10 727 | 9 752 | 142 889 | 13 888 | 664 | 331 358 | 148 | 509 426 | 293 158 | 286 200 | 279 205 |
| 2026 | 11 156 | 10 142 | 139 689 | 12 873 | 650 | 303 375 | 146 | 478 031 | 246 719 | 239 787 | 232 887 |
| 2027 | 11 602 | 10 547 | 136 223 | 12 640 | 653 | 304 736 | 150 | 476 552 | 220 588 | 213 434 | 206 371 |
| 2028 | 12 066 | 10 969 | 132 882 | 12 379 | 654 | 305 660 | 156 | 474 766 | 197 095 | 189 851 | 182 753 |
| 2029 | 12 549 | 11 408 | 129 110 | 12 163 | 656 | 303 483 | 158 | 469 526 | 174 816 | 167 640 | 160 654 |
| 2030 | 13 051 | 11 864 | 125 460 | 11 958 | 659 | 300 392 | 160 | 463 543 | 154 788 | 147 771 | 140 984 |
| 2031 | 13 573 | 12 339 | 121 927 | 11 761 | 662 | 296 547 | 161 | 456 969 | 136 855 | 130 067 | 123 542 |
| 2032 | 14 116 | 12 832 | 118 506 | 11 573 | 665 | 294 900 | 163 | 452 755 | 121 608 | 115 060 | 108 802 |
| 2033 | 14 680 | 13 346 | 115 186 | 11 428 | 669 | 290 994 | 163 | 446 467 | 107 550 | 101 306 | 95 370 |
| 2034 | 15 268 | 13 880 | 111 964 | 11 254 | 673 | 285 411 | 162 | 438 612 | 94 761 | 88 860 | 83 282 |
| 2035 | 15 878 | 14 435 | 108 834 | 11 122 | 678 | 280 634 | 161 | 431 742 | 83 656 | 78 097 | 72 869 |
| 2036 | 16 513 | 15 012 | 105 789 | 10 995 | 683 | 275 477 | 159 | 424 628 | 73 792 | 68 580 | 63 705 |
| 2037 | 17 174 | 15 613 | 102 830 | 10 839 | 687 | 268 896 | 157 | 416 195 | 64 866 | 60 016 | 55 502 |
| 2038 | 17 861 | 16 237 | 99 953 | 10 723 | 692 | 263 220 | 154 | 408 840 | 57 148 | 52 639 | 48 463 |
| 2039 | 18 575 | 16 887 | 97 150 | 10 611 | 698 | 257 293 | 151 | 401 365 | 50 317 | 46 140 | 42 291 |
| 2040 | 19 318 | 17 562 | 94 423 | 10 471 | 702 | 250 079 | 148 | 392 704 | 44 153 | 40 307 | 36 781 |
| 2041 | 20 091 | 18 265 | 91 770 | 10 369 | 708 | 243 815 | 145 | 385 163 | 38 839 | 35 298 | 32 066 |
| 2042 | 20 895 | 18 995 | 89 183 | 10 270 | 714 | 237 367 | 142 | 377 566 | 34 146 | 30 894 | 27 941 |
| 2043 | 21 730 | 19 755 | 86 660 | 10 175 | 721 | 230 763 | 139 | 369 942 | 30 006 | 27 027 | 24 335 |
| 2044 | 22 600 | 20 545 | 84 202 | 10 051 | 726 | 222 970 | 135 | 361 229 | 26 277 | 23 563 | 21 122 |
| 2045 | 23 504 | 21 367 | 81 808 | 9 964 | 733 | 216 131 | 132 | 353 638 | 23 072 | 20 596 | 18 380 |
| 2046 | 24 444 | 22 222 | 79 471 | 9 879 | 740 | 209 142 | 128 | 346 026 | 20 247 | 17 994 | 15 986 |
| 2047 | 25 422 | 23 110 | 77 189 | 9 798 | 747 | 204 384 | 126 | 340 777 | 17 883 | 15 822 | 13 994 |
| 2048 | 26 438 | 24 035 | 74 961 | 9 719 | 755 | 196 773 | 123 | 332 805 | 15 664 | 13 796 | 12 149 |
| 2049 | 27 496 | 24 996 | 72 785 | 9 644 | 763 | 189 082 | 119 | 324 885 | 13 714 | 12 025 | 10 542 |
| 2050 | 28 596 | 25 996 | 70 659 | 9 571 | 771 | 181 300 | 115 | 317 007 | 12 001 | 10 476 | 9 143 |
| 2051 | 27 261 | 24 783 | 68 853 | 9 500 | 779 | 181 722 | 116 | 313 014 | 10 628 | 9 236 | 8 025 |
| 2052 | 28 352 | 25 774 | 67 174 | 8 634 | 745 | 149 272 | 107 | 280 058 | 8 528 | 7 378 | 6 382 |
| 2053 | 29 486 | 26 805 | 65 345 | 8 589 | 754 | 142 607 | 104 | 273 689 | 7 475 | 6 438 | 5 544 |
| 2054 | 30 665 | 27 877 | 63 553 | 8 544 | 763 | 135 439 | 101 | 266 943 | 6 538 | 5 606 | 4 807 |
| 2055 | 28 993 | 26 357 | 62 116 | 8 501 | 772 | 137 775 | 103 | 264 617 | 5 813 | 4 962 | 4 235 |
| 2056 | 30 152 | 27 411 | 60 786 | 7 680 | 736 | 107 239 | 94 | 234 099 | 4 612 | 3 919 | 3 331 |
| 2057 | 31 358 | 28 508 | 59 243 | 7 656 | 746 | 100 956 | 92 | 228 559 | 4 039 | 3 417 | 2 890 |
| 2058 | 32 613 | 29 648 | 57 725 | 7 660 | 757 | 94 932 | 89 | 223 424 | 3 541 | 2 982 | 2 512 |
| 2059 | 30 526 | 27 750 | 56 605 | 7 637 | 767 | 99 145 | 91 | 222 521 | 3 163 | 2 652 | 2 223 |
| 2060 | 31 747 | 28 860 | 55 578 | 6 844 | 728 | 70 042 | 83 | 193 881 | 2 471 | 2 063 | 1 722 |
| 2061 | 33 016 | 30 015 | 54 269 | 6 835 | 739 | 63 960 | 81 | 188 914 | 2 160 | 1 795 | 1 491 |
| 2062 | 34 337 | 31 215 | 52 980 | 6 851 | 751 | 58 022 | 78 | 184 234 | 1 889 | 1 563 | 1 293 |
| 2063 | 31 743 | 28 857 | 52 144 | 6 843 | 761 | 64 238 | 81 | 184 668 | 1 698 | 1 399 | 1 152 |
| 2064 | 33 012 | 30 011 | 51 389 | 6 088 | 720 | 36 928 | 73 | 158 222 | 1 305 | 1 070 | 877 |
| 2065 | 34 333 | 31 212 | 50 278 | 6 091 | 731 | 30 939 | 71 | 153 654 | 1 137 | 928 | 757 |
| 2066 | 35 706 | 32 460 | 49 180 | 6 116 | 743 | 24 980 | 69 | 149 255 | 990 | 805 | 654 |
| 2067 2068 | 32 493 | 29 539 | 48 606 | 6 119 | 670 | 33 443 | 72 | 150 941 | 898 | 727 | 588 |
| 2068 | 33 792 | 30 720 | 48 106 | 5 346 5 376 | 685 | 6 510 | 64 | 125 224 102 821 | 668 | 538 395 | 433 316 |
| 2069 | 35 144 36 550 | 31 949 33 227 | 23 817 | 5 3/6 | 701 | 5 769 | 64 | | 492 345 | | |
| ZU / U | 36 550 | 33 ZZI | 0 | 3 406 | 718 | 4 521 | 64 | 80 485 | 343 | 276 | 220 |

| 1 | 2 | 3 | 4 | 5 | 6 | 7 | 8 | 9 | 10 | 11 | 12 |
|-----------------|-----------|-----------|-----------|---------|--------|-----------|-------|------------|-----------|-----------|-----------|
| Итого 2021-2071 | 1 181 851 | 1 074 410 | 4 189 317 | 464 642 | 35 482 | 9 018 915 | 5 875 | 15 970 492 | 3 349 034 | 3 205 991 | 3 070 350 |
| 2072 | 33 885 | 30 804 | 1 182 | 4 672 | 686 | 0 | 62 | 71 291 | 246 | 195 | 154 |
| 2073 | 35 240 | 32 037 | 1 161 | 4 704 | 702 | 0 | 61 | 73 905 | 229 | 180 | 142 |
| 2074 | 36 650 | 33 318 | 1 141 | 4 736 | 719 | 0 | 59 | 76 623 | 213 | 167 | 131 |
| 2075 | 38 116 | 34 651 | 1 121 | 4 769 | 736 | 0 | 57 | 79 449 | 198 | 154 | 121 |
| 2076 | 39 640 | 36 037 | 1 101 | 4 801 | 754 | 0 | 56 | 82 389 | 184 | 143 | 111 |
| 2077 | 41 226 | 37 478 | 1 081 | 0 | 772 | 0 | 55 | 80 612 | 161 | 125 | 97 |
| 2078 | 42 875 | 38 977 | 1 061 | 0 | 792 | 0 | 53 | 83 759 | 150 | 116 | 89 |
| 2079 | 44 590 | 40 536 | 1 042 | 0 | 812 | 0 | 52 | 87 032 | 140 | 108 | 82 |
| 2080 | 46 374 | 42 158 | 1 022 | 0 | 833 | 0 | 49 | 90 436 | 130 | 99 | 76 |
| Итого 2021-2080 | 44 571 | 40 519 | 4 199 228 | 488 324 | 42 287 | 9 018 915 | 6 379 | 16 695 987 | 3 350 685 | 3 207 278 | 3 071 353 |

Приложение 17 – Расчет удельного норматива отчислений в ликвидационный фонд по 1 варианту, тыс.тенге

| 1BIC.1EHI E | | | | |
|--|------------------------------|--|--|--|
| Показатели | Ед. измерения | Базовая величина | | |
| Всего базовая величина отчислений в Ликвидационный фонд, в ценах 2021 года (за минусом возвратных сумм), без учета НДС | тыс. тенге | 131 543,35 | | |
| Затраты за выбросы вредных веществ при ликвидации объектов обустройства | тыс. тенге | 8 936,00 | | |
| Всего Ликвидационный фонд в базовых ценах 2016 года, без НДС | тыс. тенге | 140 479,35 | | |
| Курс доллара на момент расчета | тенге/\$ | 430 | | |
| Всего Ликвидационный фонд в базовых ценах 2021 года, без НДС | тыс.\$ | 326,70 | | |
| Проектируемая добыча газа за проектный период | млн.м3 | 224,00 | | |
| Сумма фактических перечислений в фонд ликвидации | тыс. тенге | 11 839,00 | | |
| Остаточная стоимость Ликвид фонда | тыс. тенге | 128 640,35 | | |
| Базовый норматив отчислений в Фонд ликвидации - в ценах без | тыс тенге/1 млн. м3. запасов | 140 479,35 430 326,70 224,00 11 839,00 | | |
| учета инфляции при неизменном курсе доллара | \$/ m3 | 1,34 | | |

Приложение 18 – Расчет стоимости платежей в ликвидационный фонд по 1 варианту, тыс.тенге

| Годы | Добыча сырого газа, млн.м ³ | Отчисления в ликвид.фонд | Фактические перечисления сумм на депозитный счет |
|--------------------|---|--------------------------|---|
| | MJIH.M | в .тыс.тенге | в .тыс.тенге |
| 1 | 2 | 3 | 4 |
| 2018 | | | 1 202,31 |
| 2019 | | | 7 578,30 |
| 2020 | | | 3 058,54 |
| 2021 | 25,97 | 14 911,98 | |
| 2022 | 21,99 | 12 628,45 | |
| 2023 | 26,22 | 15 056,68 | |
| 2024 | 21,32 | 12 246,46 | |
| 2025 | 22,05 | 12 664,85 | |
| 2026 | 19,46 | 11 178,40 | |
| 2027 | 19,30 | 11 081,58 | |
| 2028 | 18,28 | 10 496,28 | |
| 2029 | 17,14 | 9 842,95 | |
| 2030 | 16,34 | 9 381,61 | |
| 2031 | 15,93 | 9 151,11 | |
| Итого 2021-2031 | 224,00 | 128 640,35 | 11 839,15 |



Приложение 19 – Расчет удельного норматива отчислений в ликвидационный фонд по 2 варианту, тыс.тенге

| Показатели | Ед. измерения | Базовая величина |
|---|------------------------------|------------------|
| Всего базовая величина отчислений в Ликвидационный фонд, в ценах 2021года (за минусом возвратных сумм), без учета НДС | тыс. тенге | 157 852,03 |
| Затраты за выбросы вредных веществ при ликвидации объектов обустройства | тыс. тенге | 8 936,00 |
| Всего Ликвидационный фонд в базовых ценах 2016 года, без НДС | тыс. тенге | 166 788,03 |
| Курс доллара на момент расчета | тенге/\$ | 430 |
| Всего Ликвидационный фонд в базовых ценах 2021 года, без НДС | тыс.\$ | 387,88 |
| Проектируемая добыча газа за проектный период | млн.м3 | 598,32 |
| Сумма фактических перечислений в фонд ликвидации | млн.м3 | 11 839,00 |
| Остаточная стоимость Ликвид фонда | доли единицы | 154 949,03 |
| Базовый норматив отчислений в Фонд ликвидации - в ценах без | тыс тенге/1 млн. м3. запасов | 258,98 |
| учета инфляции при неизменном курсе доллара | \$/ m3. | 0,60 |

Приложение 20 – Расчет стоимости платежей в ликвидационный фонд по 2 варианту, тыс.тенге

| Годы | Добыча сырого газа, млн.м ³ | Отчисления в ликвид.фонд | Фактические перечисления сумм на депозитный счет |
|-----------------|--|-----------------------------|--|
| | | в .тыс.тенге | в .тыс.тенге |
| 1 | 2 | 3 | 4 |
| 2018 | | | 1 202,31 |
| 2019 | | | 7 578,30 |
| 2020 | | | 3 058,54 |
| 2021 | 25,97 | 6 747,12 | |
| 2022 | 29,30 | 7 614,59 | |
| 2023 | 39,77 | 10 332,74 | |
| 2024 | 63,40 | 16 473,56 | |
| 2025 | 71,50 | 18 579,97 | |
| 2026 | 66,28 | 17 222,89 | |
| 2027 | 64,12 | 16 661,44 | |
| 2028 | 61,86 | 16 075,25 | |
| 2029 | 59,89 | 15 562,02 | |
| 2030 | 58,01 | 15 073,00 | |
| 2031 | 56,21 | 14 606,43 | |
| Итого 2021-2031 | 596,32 | 154 949,03 | 11 839,15 |



Приложение 21 – Месторождение Айракты. Характеристика основного фонда скважин в целом по месторождению. Вариант 1

| месторож | денин | ю. Вариа | HT 1 | | | | | | | |
|----------|-------|---------------|-------------------|-------------|-----------------------------------|----------|-------------|--|--|--|
| | Вроп | скражи | н из бурения | Фонд | Эксплуа- | | Фонд | газа, тыс.м³/сут т/сут 9,4 0,095 7,4 0,075 7,9 0,080 6,1 0,062 6,4 0,064 5,6 0,056 5,3 0,053 4,9 0,040 4,0 0,044 4,2 0,044 4,2 0,044 4,0 0,041 4,0 0,040 4,0 0,040 4,0 0,040 3,9 0,039 3,9 0,039 3,8 0,039 3,8 0,038 3,7 0,037 3,7 0,037 3,7 0,037 3,7 0,037 3,7 0,037 3,7 0,037 | | |
| Годы и | рвод | СКВажи | н из бурсния | скважин | тацион- | Выбытие | добывающих | на 1 сн | сважину | |
| попиони | | из | из | сначала | ное | скважин, | скважин на | гозо | конденсата ут т/сут 0,095 0,075 0,080 0,062 0,064 0,057 0,056 0,053 0,050 0,048 0,044 0,043 0,041 0,041 0,041 0,040 0,040 0,040 0,039 0,039 0,038 0,038 0,037 0,037 | |
| псриоды | всего | ns Synauua | из консервации | разработки, | разработки, бурение, ед. конец го | | конец года, | | | |
| | | | консервации | | M | | ед. | | 1/031 | |
| 2021 | 0 | 0 | 0 | 17 | 0 | 0 | 8 | | | |
| 2022 | 1 | 0 | 1 | 18 | 0 | 0 | 9 | | | |
| 2023 | 1 | 0 | 1 | 19 | 0 | 0 | 10 | 7,9 | | |
| 2024 | 0 | 0 | 0 | 19 | 0 | 0 | 10 | 6,1 | | |
| 2025 | 0 | 0 | 0 | 19 | 0 | 0 | 10 | 6,4 | | |
| 2026 | 0 | 0 | 0 | 19 | 0 | 0 | 10 | 5,6 | 0,057 | |
| 2027 | 0 | 0 | 0 | 19 | 0 | 0 | 10 | | 0,056 | |
| 2028 | 0 | 0 | 0 | 19 | 0 | 0 | 10 | 5,3 | 0,053 | |
| 2029 | 0 | 0 | 0 | 19 | 0 | 0 | 10 | 4,9 | 0,050 | |
| 2030 | 0 | 0 | 0 | 19 | 0 | 0 | 10 | 4,7 | 0,048 | |
| 2031 | 0 | 0 | 0 | 19 | 0 | 0 | 10 | 4,6 | 0,046 | |
| 2032 | 0 | 0 | 0 | 19 | 0 | 0 | 10 | 4,4 | 0,044 | |
| 2033 | 0 | 0 | 0 | 19 | 0 | 0 | 10 | 4,2 | 0,043 | |
| 2034 | 0 | 0 | 0 | 19 | 0 | 0 | 10 | 4,1 | 0,041 | |
| 2035 | 0 | 0 | 0 | 19 | 0 | 0 | 10 | 4,0 | 0,041 | |
| 2036 | 0 | 0 | 0 | 19 | 0 | 0 | 10 | 4,0 | 0,040 | |
| 2037 | 0 | 0 | 0 | 19 | 0 | 0 | 10 | 4,0 | 0,040 | |
| 2038 | 0 | 0 | 0 | 19 | 0 | 0 | 10 | 3,9 | 0,040 | |
| 2039 | 0 | 0 | 0 | 19 | 0 | 0 | 10 | 3,9 | 0,040 | |
| 2040 | 0 | 0 | 0 | 19 | 0 | 0 | 10 | 3,9 | 0,039 | |
| 2041 | 0 | 0 | 0 | 19 | 0 | 0 | 10 | 3,9 | 0,039 | |
| 2042 | 0 | 0 | 0 | 19 | 0 | 0 | 10 | 3,8 | 0,039 | |
| 2043 | 0 | 0 | 0 | 19 | 0 | 0 | 10 | 3,8 | 0,038 | |
| 2044 | 0 | 0 | 0 | 19 | 0 | 0 | 10 | 3,8 | 0,038 | |
| 2045 | 0 | 0 | 0 | 19 | 0 | 0 | 10 | | 0,038 | |
| 2046 | 0 | 0 | 0 | 19 | 0 | 0 | 10 | 3,7 | 0,037 | |
| 2047 | 0 | 0 | 0 | 19 | 0 | 0 | 10 | 3,7 | 0,037 | |
| 2048 | 0 | 0 | 0 | 19 | 0 | 0 | 10 | 3,7 | 0,037 | |
| 2049 | 0 | 0 | 0 | 19 | 0 | 0 | 10 | 3,6 | 0,037 | |
| 2050 | 0 | 0 | 0 | 19 | 0 | 0 | 10 | 3,6 | 0,036 | |
| 2051 | 0 | 0 | 0 | 19 | 0 | 0 | 10 | 3,6 | 0,036 | |
| 2052 | 0 | 0 | 0 | 19 | 0 | 0 | 10 | 3,6 | 0,036 | |



Приложение 22 – Месторождение Айракты. Характеристика основных показателей разработки в

целом по месторождению. Вариант 1

| целом по | месторо | эждению. Ва | риант 1 | | | | | | |
|----------|---------------------|-------------|---------------------|-------------|---------|-------|----------|---------------------------|-------------|
| | | | | Накоп- | Темп от | гбора | Отбор от | Коэффи- | Коэффи- |
| Годы и | Добыча | Добыча | Накопленная | ленная | газа | OT | извлека- | циент | циент |
| | | | добыча газа, | добыча | извлека | емых | емых | циент извлечения | извлечения |
| периоды | млн. м ³ | тыс. т | млн. м ³ | конденсата, | запасо | в, % | запасов, | извлечения газа, д.ед. | конденсата, |
| | | | | тыс. т | начальн | текущ | % | таза, д.ед. | д.ед. |
| 2021 | 26,0 | 0,262 | 140,6 | 1,778 | 1,0 | 1,0 | 19,6 | 0,026 | 0,009 |
| 2022 | 22,0 | 0,222 | 162,6 | 2,000 | 0,8 | 0,9 | 22,7 | 0,030 | 0,010 |
| 2023 | 26,2 | 0,265 | 188,8 | 2,265 | 1,0 | 1,1 | 26,3 | 0,035 | 0,012 |
| 2024 | 21,3 | 0,215 | 210,2 | 2,481 | 0,8 | 0,9 | 29,3 | 0,039 | 0,013 |
| 2025 | 22,1 | 0,223 | 232,2 | 2,703 | 0,8 | 0,9 | 32,4 | 0,043 | 0,014 |
| 2026 | 19,5 | 0,197 | 251,7 | 2,900 | 0,7 | 0,8 | 35,1 | 0,047 | 0,015 |
| 2027 | 19,3 | 0,195 | 271,0 | 3,095 | 0,7 | 0,8 | 37,8 | 0,050 | 0,016 |
| 2028 | 18,3 | 0,185 | 289,3 | 3,279 | 0,7 | 0,8 | 40,3 | 0,054 | 0,017 |
| 2029 | 17,1 | 0,173 | 306,4 | 3,452 | 0,7 | 0,7 | 42,7 | 0,057 | 0,018 |
| 2030 | 16,3 | 0,165 | 322,7 | 3,617 | 0,6 | 0,7 | 45,0 | 0,060 | 0,019 |
| 2031 | 15,9 | 0,161 | 338,7 | 3,778 | 0,6 | 0,7 | 47,2 | 0,063 | 0,019 |
| 2032 | 15,3 | 0,154 | 353,9 | 3,933 | 0,6 | 0,7 | 49,3 | 0,066 | 0,020 |
| 2033 | 14,7 | 0,148 | 368,6 | 4,081 | 0,6 | 0,6 | 51,4 | 0,068 | 0,021 |
| 2034 | 14,1 | 0,142 | 382,7 | 4,223 | 0,5 | 0,6 | 53,3 | 0,071 | 0,022 |
| 2035 | 14,0 | 0,141 | 396,7 | 4,365 | 0,5 | 0,6 | 55,3 | 0,074 | 0,022 |
| 2036 | 13,9 | 0,140 | 410,6 | 4,505 | 0,5 | 0,6 | 57,2 | 0,076 | 0,023 |
| 2037 | 13,8 | 0,139 | 424,4 | 4,644 | 0,5 | 0,6 | 59,1 | 0,079 | 0,024 |
| 2038 | 13,7 | 0,138 | 438,0 | 4,782 | 0,5 | 0,6 | 61,0 | 0,081 | 0,025 |
| 2039 | 13,6 | 0,137 | 451,6 | 4,919 | 0,5 | 0,6 | 62,9 | 0,084 | 0,025 |
| 2040 | 13,5 | 0,136 | 465,1 | 5,055 | 0,5 | 0,6 | 64,8 | 0,086 | 0,026 |
| 2041 | 13,4 | 0,135 | 478,4 | 5,190 | 0,5 | 0,6 | 66,7 | 0,089 | 0,027 |
| 2042 | 13,2 | 0,134 | 491,7 | 5,324 | 0,5 | 0,6 | 68,5 | 0,091 | 0,027 |
| 2043 | 13,2 | 0,133 | 504,9 | 5,457 | 0,5 | 0,6 | 70,4 | 0,094 | 0,028 |
| 2044 | 13,0 | 0,132 | 517,9 | 5,589 | 0,5 | 0,6 | 72,2 | 0,096 | 0,029 |
| 2045 | 13,0 | 0,131 | 530,9 | 5,720 | 0,5 | 0,6 | 74,0 | 0,098 | 0,029 |
| 2046 | 12,8 | 0,130 | 543,7 | 5,849 | 0,5 | 0,6 | 75,8 | 0,101 | 0,030 |
| 2047 | 12,8 | 0,129 | 556,5 | 5,978 | 0,5 | 0,6 | 77,6 | 0,103 | 0,031 |
| 2048 | 12,7 | 0,128 | 569,2 | 6,106 | 0,5 | 0,6 | 79,3 | 0,106 | 0,031 |
| 2049 | 12,6 | 0,127 | 581,7 | 6,233 | 0,5 | 0,6 | 81,1 | 0,108 | 0,032 |
| 2050 | 12,5 | 0,126 | 594,2 | 6,360 | 0,5 | 0,6 | 82,8 | 0,110 | 0,033 |
| 2051 | 12,4 | 0,125 | 606,7 | 6,485 | 0,5 | 0,6 | 84,5 | 0,112 | 0,033 |
| 2052 | 12,3 | 0,124 | 619,0 | 6,610 | 0,5 | 0,6 | 86,3 | 0,115 | 0,034 |



Приложение 23 – Месторождение Айракты. Характеристика основного фонда скважин по I объекту. Вариант 1

Фонд Эксплуа-Фонд Среднегодовой дебит Ввод скважин из бурения тацион- Выбытиедобывающих на 1 скважину скважин Годы и сначала ное скважин, скважин на периоды конденсата, бурения консервации разработки, бурение, из газа, всего ед. конец года, гыс.м³/сут T/CVT ед. M ед. 9,4 0,095 7,6 0,077 0,084 8,3 0,064 6,3 6.0 0.061 5,2 0,053 5,2 0,052 4,8 0,049 4,5 0,045 4,2 0,043 0,042 4,1 3,9 0,040 3,8 0,038 3,6 0,036 3,6 0,036 3,5 0,036 0,036 3,5 3,5 0,035 3.5 0,035 0,035 3,4 3,4 0,035 3,4 0,034 3,4 0,034 3,4 0,034 3,3 0,034 3,3 0,034 0,033 3,3 3,3 0,033 3,3 0,033 3,2 0,033 3,2 0,033 0,032 3,2



Приложение 24 – Месторождение Айракты. Характеристика основных показателей разработки по І объекту. Вариант 1

| приложен | ие 24 – Mec | горождение . | Аиракты. Лар | актеристика | | | | тки по I объек | ту. вариант 1 | | | | |
|-------------------|----------------------|-----------------------|-----------------------------|----------------------------|--------------------------------|--------|-------------------------|---------------------------|--|------|----------|-----|---------------------------------|
| Годы и периоды | Добыча газа, млн. | Добыча конденсата, | Накопленная добыча газа, | Накоп- ленная добыча | Темп отб от извле запасо | каемых | Отбор от извлекаемых | Коэффициент извлечения | Коэффициент извлечения конденсата, | Дав. | ление, М | 1Па | Коэффициент сверхсжимаемости |
| Периоды | M ³ | тыс. т | млн. м ³ | конденсата, тыс. т | начальн | текущ | запасов, % | газа, д.ед. | д.ед. | Рпл | Рзаб | Py | СВерхежимаемости |
| 1 | 2 | 3 | 4 | 5 | 6 | 7 | 8 | 9 | 10 | 11 | 12 | 13 | 14 |
| 2021 | 26,0 | 0,262 | 140,6 | 1,778 | 1,0 | 1,1 | 5,59 | 0,028 | 0,010 | 17,9 | 5,9 | 4,8 | 0,877 |
| 2022 | 21,1 | 0,213 | 161,7 | 1,991 | 0,8 | 0,9 | 6,43 | 0,033 | 0,011 | 17,6 | 5,1 | 4,2 | 0,871 |
| 2023 | 24,5 | 0,248 | 186,3 | 2,239 | 1,0 | 1,0 | 7,40 | 0,037 | 0,013 | 17,5 | 4,7 | 3,8 | 0,871 |
| 2024 | 19,7 | 0,199 | 205,9 | 2,438 | 0,8 | 0,8 | 8,19 | 0,041 | 0,014 | 17,4 | 4,6 | 3,7 | 0,870 |
| 2025 | 18,8 | 0,190 | 224,8 | 2,628 | 0,7 | 0,8 | 8,93 | 0,045 | 0,015 | 17,3 | 3,8 | 3,1 | 0,870 |
| 2026 | 16,3 | 0,164 | 241,0 | 2,792 | 0,6 | 0,7 | 9,58 | 0,048 | 0,016 | 17,2 | 3,8 | 3,1 | 0,870 |
| 2027 | 16,1 | 0,163 | 257,1 | 2,955 | 0,6 | 0,7 | 10,22 | 0,052 | 0,017 | 17,2 | 3,8 | 3,1 | 0,870 |
| 2028 | 15,1 | 0,153 | 272,2 | 3,107 | 0,6 | 0,7 | 10,82 | 0,055 | 0,017 | 17,1 | 3,8 | 3,1 | 0,869 |
| 2029 | 14,0 | 0,142 | 286,3 | 3,249 | 0,6 | 0,6 | 11,38 | 0,058 | 0,018 | 17,0 | 3,7 | 3,0 | 0,869 |
| 2030 | 13,3 | 0,134 | 299,5 | 3,383 | 0,5 | 0,6 | 11,90 | 0,060 | 0,019 | 16,9 | 3,7 | 3,0 | 0,869 |
| 2031 | 12,9 | 0,130 | 312,4 | 3,513 | 0,5 | 0,6 | 12,42 | 0,063 | 0,020 | 16,9 | 3,7 | 3,0 | 0,869 |
| 2032 | 12,3 | 0,124 | 324,7 | 3,637 | 0,5 | 0,6 | 12,90 | 0,065 | 0,020 | 16,8 | 3,7 | 3,0 | 0,869 |
| 2033 | 11,7 | 0,118 | 336,4 | 3,756 | 0,5 | 0,5 | 13,37 | 0,068 | 0,021 | 16,8 | 3,7 | 3,0 | 0,869 |
| 2034 | 11,2 | 0,113 | 347,6 | 3,869 | 0,4 | 0,5 | 13,82 | 0,070 | 0,022 | 16,7 | 3,7 | 3,0 | 0,869 |
| 2035 | 11,1 | 0,112 | 358,7 | 3,981 | 0,4 | 0,5 | 14,26 | 0,072 | 0,022 | 16,7 | 3,7 | 3,0 | 0,869 |
| 2036 | 11,0 | 0,112 | 369,8 | 4,093 | 0,4 | 0,5 | 14,70 | 0,074 | 0,023 | 16,6 | 3,7 | 3,0 | 0,868 |
| 2037 | 11,0 | 0,111 | 380,8 | 4,204 | 0,4 | 0,5 | 15,13 | 0,077 | 0,023 | 16,6 | 3,7 | 3,0 | 0,868 |
| 2038 | 10,9 | 0,110 | 391,7 | 4,314 | 0,4 | 0,5 | 15,57 | 0,079 | 0,024 | 16,5 | 3,7 | 3,0 | 0,868 |
| 2039 | 10,8 | 0,110 | 402,5 | 4,423 | 0,4 | 0,5 | 16,00 | 0,081 | 0,025 | 16,5 | 3,7 | 3,0 | 0,868 |
| 2040 | 10,8 | 0,109 | 413,3 | 4,532 | 0,4 | 0,5 | 16,43 | 0,083 | 0,025 | 16,4 | 3,7 | 3,0 | 0,868 |
| 2041 | 10,7 | 0,108 | 424,0 | 4,640 | 0,4 | 0,5 | 16,85 | 0,085 | 0,026 | 16,4 | 3,7 | 3,0 | 0,868 |
| 2042 | 10,6 | 0,107 | 434,6 | 4,748 | 0,4 | 0,5 | 17,27 | 0,087 | 0,027 | 16,3 | 3,7 | 3,0 | 0,868 |
| 2043 | 10,6 | 0,107 | 445,2 | 4,854 | 0,4 | 0,5 | 17,69 | 0,090 | 0,027 | 16,3 | 3,7 | 3,0 | 0,868 |
| 2044 | 10,5 | 0,106 | 455,7 | 4,960 | 0,4 | 0,5 | 18,11 | 0,092 | 0,028 | 16,2 | 3,7 | 3,0 | 0,868 |
| 2045 | 10,4 | 0,105 | 466,1 | 5,066 | 0,4 | 0,5 | 18,53 | 0,094 | 0,028 | 16,2 | 3,7 | 3,0 | 0,868 |
| 2046 | 10,4 | 0,105 | 476,5 | 5,170 | 0,4 | 0,5 | 18,94 | 0,096 | 0,029 | 16,1 | 3,7 | 3,0 | 0,868 |
| 2047 | 10,3 | 0,104 | 486,8 | 5,275 | 0,4 | 0,5 | 19,35 | 0,098 | 0,029 | 16,1 | 3,7 | 3,0 | 0,868 |
| 2048 | 10,3 | 0,104 | 497,1 | 5,378 | 0,4 | 0,5 | 19,76 | 0,100 | 0,030 | 16,0 | 3,6 | 2,9 | 0,868 |
| 2049 | 10,2 | 0,103 | 507,2 | 5,481 | 0,4 | 0,5 | 20,16 | 0,102 | 0,031 | 16,0 | 3,7 | 3,0 | 0,868 |

| 1 | 2 | 3 | 4 | 5 | 6 | 7 | 8 | 9 | 10 | 11 | 12 | 13 | 14 |
|------|------|-------|-------|-------|-----|-----|-------|-------|-------|------|-----|-----|-------|
| 2050 | 10,1 | 0,102 | 517,4 | 5,583 | 0,4 | 0,5 | 20,56 | 0,104 | 0,031 | 15,9 | 3,6 | 2,9 | 0,867 |
| 2051 | 10,1 | 0,102 | 527,5 | 5,685 | 0,4 | 0,5 | 20,96 | 0,106 | 0,032 | 15,9 | 3,6 | 2,9 | 0,867 |
| 2052 | 10,0 | 0,101 | 537,5 | 5,786 | 0,4 | 0,5 | 21,36 | 0,108 | 0,032 | 15,8 | 3,6 | 3,0 | 0,867 |

Приложение 25 — Месторождение Айракты. Характеристика основного фонда скважин по II объекту. Вариант 1

| вариант | | | | Фонд | Эксплуа- | | Фонд | Среднегод | довой дебит |
|---------|-------|---------|-------------------|-------------|----------|----------|-------------|-------------------------|-------------|
| _ | Ввод | скважи | н из бурения | скважин | | | добывающих | | сважину |
| Годы и | | | | сначала | ное | скважин, | | | |
| периоды | всего | и3 | ИЗ | разработки, | бурение, | ед. | конец года, | | конденсата, |
| | | оурения | из консервации | ед. | M | | ед. | тыс.м ³ /сут | т/сут |
| 2022 | 1 | 0 | 1 | 1 | 0 | 0 | 1 | 4,9 | 0,049 |
| 2023 | 0 | 0 | 0 | 1 | 0 | 0 | 1 | 4,9 | 0,049 |
| 2024 | 0 | 0 | 0 | 1 | 0 | 0 | 1 | 4,7 | 0,048 |
| 2025 | 0 | 0 | 0 | 1 | 0 | 0 | 1 | 9,3 | 0,094 |
| 2026 | 0 | 0 | 0 | 1 | 0 | 0 | 1 | 9,3 | 0,094 |
| 2027 | 0 | 0 | 0 | 1 | 0 | 0 | 1 | 9,2 | 0,093 |
| 2028 | 0 | 0 | 0 | 1 | 0 | 0 | 1 | 9,1 | 0,092 |
| 2029 | 0 | 0 | 0 | 1 | 0 | 0 | 1 | 9,0 | 0,091 |
| 2030 | 0 | 0 | 0 | 1 | 0 | 0 | 1 | 8,9 | 0,090 |
| 2031 | 0 | 0 | 0 | 1 | 0 | 0 | 1 | 8,7 | 0,088 |
| 2032 | 0 | 0 | 0 | 1 | 0 | 0 | 1 | 8,6 | 0,087 |
| 2033 | 0 | 0 | 0 | 1 | 0 | 0 | 1 | 8,5 | 0,086 |
| 2034 | 0 | 0 | 0 | 1 | 0 | 0 | 1 | 8,4 | 0,085 |
| 2035 | 0 | 0 | 0 | 1 | 0 | 0 | 1 | 8,3 | 0,084 |
| 2036 | 0 | 0 | 0 | 1 | 0 | 0 | 1 | 8,2 | 0,083 |
| 2037 | 0 | 0 | 0 | 1 | 0 | 0 | 1 | 8,1 | 0,082 |
| 2038 | 0 | 0 | 0 | 1 | 0 | 0 | 1 | 8,0 | 0,080 |
| 2039 | 0 | 0 | 0 | 1 | 0 | 0 | 1 | 7,9 | 0,079 |
| 2040 | 0 | 0 | 0 | 1 | 0 | 0 | 1 | 7,8 | 0,078 |
| 2041 | 0 | 0 | 0 | 1 | 0 | 0 | 1 | 7,7 | 0,077 |
| 2042 | 0 | 0 | 0 | 1 | 0 | 0 | 1 | 7,6 | 0,076 |
| 2043 | 0 | 0 | 0 | 1 | 0 | 0 | 1 | 7,5 | 0,075 |
| 2044 | 0 | 0 | 0 | 1 | 0 | 0 | 1 | 7,4 | 0,074 |
| 2045 | 0 | 0 | 0 | 1 | 0 | 0 | 1 | 7,3 | 0,073 |
| 2046 | 0 | 0 | 0 | 1 | 0 | 0 | 1 | 7,2 | 0,073 |
| 2047 | 0 | 0 | 0 | 1 | 0 | 0 | 1 | 7,1 | 0,072 |
| 2048 | 0 | 0 | 0 | 1 | 0 | 0 | 1 | 7,0 | 0,071 |
| 2049 | 0 | 0 | 0 | 1 | 0 | 0 | 1 | 6,9 | 0,070 |
| 2050 | 0 | 0 | 0 | 1 | 0 | 0 | 1 | 6,8 | 0,069 |
| 2051 | 0 | 0 | 0 | 1 | 0 | 0 | 1 | 6,7 | 0,068 |
| 2052 | 0 | 0 | 0 | 1 | 0 | 0 | 1 | 6,7 | 0,067 |



Приложение 26 – Месторождение Айракты. Характеристика основных показателей разработки по II объекту. Вариант 1

| | 11020 | рождение | | Накоп- | Темп отб | | | | кту. вариант 1 | - | | | |
|---------|------------|-------------|---------------------|-------------|----------|-------|-------------|-------------|----------------------|--------|----------|-----|------------------|
| | Добыча | Добыча | Накопленная | | от извле | - | Отбор от | Коэффициент | Коэффициент | Дав. | ление, М | Пα | TC 11 |
| Годы и | газа, млн. | конденсата, | добыча газа, | добыча | запас | ов, % | извлекаемых | извлечения | извлечения | | | | Коэффициент |
| периоды | M^3 | тыс. т | млн. м ³ | конденсата, | начальн | текущ | запасов, % | газа, д.ед. | конденсата, д.ед. | Рпл | Рзаб | Py | сверхсжимаемости |
| | | | | тыс. т | | текущ | | | д.ед. | 1 1171 | | | |
| 2022 | 0,9 | 0,009 | 0,9 | 0,009 | 0,8 | 0,8 | 0,8 | 0,002 | 0,001 | 11,4 | 5,3 | 4,2 | 0,836 |
| 2023 | 1,7 | 0,017 | 2,6 | 0,026 | 1,5 | 1,5 | 2,3 | 0,006 | 0,002 | 11,3 | 4,7 | 3,8 | 0,835 |
| 2024 | 1,6 | 0,017 | 4,2 | 0,043 | 1,5 | 1,5 | 3,8 | 0,010 | 0,003 | 11,3 | 4,6 | 3,7 | 0,835 |
| 2025 | 3,2 | 0,033 | 7,5 | 0,075 | 2,9 | 3,0 | 6,7 | 0,018 | 0,005 | 11,2 | 3,8 | 3,1 | 0,835 |
| 2026 | 3,2 | 0,032 | 10,7 | 0,108 | 2,9 | 3,1 | 9,6 | 0,025 | 0,007 | 11,2 | 3,8 | 3,0 | 0,835 |
| 2027 | 3,2 | 0,032 | 13,9 | 0,140 | 2,9 | 3,2 | 12,5 | 0,033 | 0,009 | 11,1 | 3,6 | 2,9 | 0,836 |
| 2028 | 3,2 | 0,032 | 17,0 | 0,172 | 2,8 | 3,3 | 15,3 | 0,040 | 0,011 | 11,0 | 3,6 | 2,9 | 0,836 |
| 2029 | 3,1 | 0,031 | 20,1 | 0,203 | 2,8 | 3,3 | 18,2 | 0,048 | 0,014 | 10,9 | 3,6 | 2,9 | 0,837 |
| 2030 | 3,1 | 0,031 | 23,2 | 0,235 | 2,8 | 3,4 | 20,9 | 0,055 | 0,016 | 10,9 | 3,6 | 2,9 | 0,837 |
| 2031 | 3,0 | 0,031 | 26,3 | 0,265 | 2,7 | 3,5 | 23,6 | 0,062 | 0,018 | 10,8 | 3,6 | 2,9 | 0,838 |
| 2032 | 3,0 | 0,030 | 29,2 | 0,295 | 2,7 | 3,5 | 26,3 | 0,069 | 0,020 | 10,7 | 3,6 | 2,9 | 0,838 |
| 2033 | 3,0 | 0,030 | 32,2 | 0,325 | 2,7 | 3,6 | 29,0 | 0,076 | 0,022 | 10,6 | 3,6 | 2,9 | 0,838 |
| 2034 | 2,9 | 0,029 | 35,1 | 0,355 | 2,6 | 3,7 | 31,6 | 0,083 | 0,024 | 10,6 | 3,6 | 2,9 | 0,839 |
| 2035 | 2,9 | 0,029 | 38,0 | 0,384 | 2,6 | 3,8 | 34,2 | 0,090 | 0,026 | 10,5 | 3,6 | 2,9 | 0,839 |
| 2036 | 2,8 | 0,029 | 40,8 | 0,412 | 2,6 | 3,9 | 36,8 | 0,097 | 0,027 | 10,4 | 3,6 | 2,9 | 0,840 |
| 2037 | 2,8 | 0,028 | 43,6 | 0,440 | 2,5 | 4,0 | 39,3 | 0,103 | 0,029 | 10,4 | 3,6 | 2,9 | 0,840 |
| 2038 | 2,8 | 0,028 | 46,4 | 0,468 | 2,5 | 4,1 | 41,8 | 0,110 | 0,031 | 10,3 | 3,6 | 2,9 | 0,841 |
| 2039 | 2,7 | 0,028 | 49,1 | 0,496 | 2,5 | 4,2 | 44,2 | 0,116 | 0,033 | 10,2 | 3,6 | 2,9 | 0,841 |
| 2040 | 2,7 | 0,027 | 51,8 | 0,523 | 2,4 | 4,3 | 46,7 | 0,123 | 0,035 | 10,2 | 3,6 | 2,9 | 0,842 |
| 2041 | 2,7 | 0,027 | 54,4 | 0,550 | 2,4 | 4,5 | 49,0 | 0,129 | 0,037 | 10,1 | 3,6 | 2,9 | 0,842 |
| 2042 | 2,6 | 0,026 | 57,1 | 0,576 | 2,4 | 4,6 | 51,4 | 0,135 | 0,038 | 10,0 | 3,6 | 2,9 | 0,843 |
| 2043 | 2,6 | 0,026 | 59,7 | 0,602 | 2,3 | 4,8 | 53,7 | 0,141 | 0,040 | 10,0 | 3,6 | 2,9 | 0,843 |
| 2044 | 2,6 | 0,026 | 62,2 | 0,628 | 2,3 | 5,0 | 56,0 | 0,147 | 0,042 | 9,9 | 3,6 | 2,9 | 0,844 |
| 2045 | 2,5 | 0,025 | 64,7 | 0,654 | 2,3 | 5,2 | 58,3 | 0,153 | 0,044 | 9,8 | 3,6 | 2,9 | 0,844 |
| 2046 | 2,5 | 0,025 | 67,2 | 0,679 | 2,2 | 5,4 | 60,6 | 0,159 | 0,045 | 9,8 | 3,6 | 2,9 | 0,844 |
| 2047 | 2,5 | 0,025 | 69,7 | 0,704 | 2,2 | 5,6 | 62,8 | 0,165 | 0,047 | 9,7 | 3,6 | 2,9 | 0,845 |
| 2048 | 2,4 | 0,025 | 72,1 | 0,728 | 2,2 | 5,9 | 65,0 | 0,171 | 0,049 | 9,7 | 3,6 | 2,9 | 0,845 |
| 2049 | 2,4 | 0,024 | 74,5 | 0,752 | 2,2 | 6,2 | 67,1 | 0,177 | 0,050 | 9,6 | 3,6 | 2,9 | 0,846 |
| 2050 | 2,4 | 0,024 | 76,9 | 0,776 | 2,1 | 6,5 | 69,2 | 0,182 | 0,052 | 9,6 | 3,6 | 2,9 | 0,846 |
| 2051 | 2,3 | 0,024 | 79,2 | 0,800 | 2,1 | 6,8 | 71,4 | 0,188 | 0,053 | 9,5 | 3,6 | 2,9 | 0,847 |
| 2052 | 2,3 | 0,023 | 81,5 | 0,823 | 2,1 | 7,3 | 73,4 | 0,193 | 0,055 | 9,4 | 3,6 | 2,9 | 0,847 |

Приложение 27 – Месторождение Айракты. Характеристика основного фонда скважин в целом по

месторождению. Вариант 2

| месторож | дени | о. Вариа | HT 2 | T | | | | <u> </u> | |
|----------|-------|----------|-------------------|-------------|----------|----------|-------------|-------------------------|-------------|
| | Ввол | скважи | н из бурения | Фонд | Эксплуа- | | Фонд | | довой дебит |
| Годы и | ВВОД | СКВИЖП | п из бурении | скважин | тацион- | | добывающих | на 1 сн | сважину |
| периолы | | из | из | сначала | ное | скважин, | скважин на | газа, | конденсата, |
| перподы | всего | бупения | из консервации | разработки, | бурение, | ед. | конец года, | тыс.м ³ /сут | |
| | | оурсини | консервации | ед. | M | | ед. | • | |
| 2021 | 0 | 0 | 0 | 17 | 0 | 0 | 8 | 9,4 | 0,095 |
| 2022 | 1 | 0 | 1 | 18 | 0 | 0 | 9 | 9,9 | 0,100 |
| 2023 | 2 | 1 | 1 | 20 | 2,25 | 0 | 11 | 11,4 | 0,115 |
| 2024 | 1 | 1 | 0 | 21 | 2,90 | 0 | 12 | 15,9 | 0,160 |
| 2025 | 0 | 0 | 0 | 21 | 0 | 0 | 12 | 17,2 | 0,174 |
| 2026 | 0 | 0 | 0 | 21 | 0 | 0 | 12 | 15,9 | 0,161 |
| 2027 | 0 | 0 | 0 | 21 | 0 | 0 | 12 | 15,4 | 0,156 |
| 2028 | 0 | 0 | 0 | 21 | 0 | 0 | 12 | 14,9 | 0,150 |
| 2029 | 0 | 0 | 0 | 21 | 0 | 0 | 12 | 14,4 | 0,145 |
| 2030 | 0 | 0 | 0 | 21 | 0 | 0 | 12 | 13,9 | 0,141 |
| 2031 | 0 | 0 | 0 | 21 | 0 | 0 | 12 | 13,5 | 0,136 |
| 2032 | 0 | 0 | 0 | 21 | 0 | 0 | 12 | 13,1 | 0,132 |
| 2033 | 0 | 0 | 0 | 21 | 0 | 0 | 12 | 12,7 | 0,129 |
| 2034 | 0 | 0 | 0 | 21 | 0 | 0 | 12 | 12,4 | 0,125 |
| 2035 | 0 | 0 | 0 | 21 | 0 | 0 | 12 | 12,0 | 0,122 |
| 2036 | 0 | 0 | 0 | 21 | 0 | 0 | 12 | 11,7 | 0,118 |
| 2037 | 0 | 0 | 0 | 21 | 0 | 0 | 12 | 11,4 | 0,115 |
| 2038 | 0 | 0 | 0 | 21 | 0 | 0 | 12 | 11,1 | 0,112 |
| 2039 | 0 | 0 | 0 | 21 | 0 | 0 | 12 | 10,8 | 0,109 |
| 2040 | 0 | 0 | 0 | 21 | 0 | 0 | 12 | 10,5 | 0,106 |
| 2041 | 0 | 0 | 0 | 21 | 0 | 0 | 12 | 10,3 | 0,104 |
| 2042 | 0 | 0 | 0 | 21 | 0 | 0 | 12 | 10,0 | 0,101 |
| 2043 | 0 | 0 | 0 | 21 | 0 | 0 | 12 | 9,8 | 0,099 |
| 2044 | 0 | 0 | 0 | 21 | 0 | 0 | 12 | 9,5 | 0,096 |
| 2045 | 0 | 0 | 0 | 21 | 0 | 0 | 12 | 9,3 | 0,094 |
| 2046 | 0 | 0 | 0 | 21 | 0 | 0 | 12 | 9,1 | 0,092 |
| 2047 | 0 | 0 | 0 | 21 | 0 | 0 | 12 | 8,9 | 0,090 |
| 2048 | 0 | 0 | 0 | 21 | 0 | 0 | 12 | 8,7 | 0,088 |
| 2049 | 0 | 0 | 0 | 21 | 0 | 0 | 12 | 8,5 | 0,086 |
| 2050 | 0 | 0 | 0 | 21 | 0 | 0 | 12 | 8,3 | 0,084 |
| 2051 | 0 | 0 | 0 | 21 | 0 | 1 | 11 | 8,1 | 0,082 |
| 2052 | 0 | 0 | 0 | 21 | 0 | 0 | 11 | 7,9 | 0,080 |
| 2053 | 0 | 0 | 0 | 21 | 0 | 0 | 11 | 7,8 | 0,078 |
| 2054 | 0 | 0 | 0 | 21 | 0 | 0 | 11 | 7,6 | 0,077 |
| 2055 | 0 | 0 | 0 | 21 | 0 | 1 | 10 | 7,5 | 0,075 |
| 2056 | 0 | 0 | 0 | 21 | 0 | 0 | 10 | 7,3 | 0,074 |
| 2057 | 0 | 0 | 0 | 21 | 0 | 0 | 10 | 7,2 | 0,072 |
| 2058 | 0 | 0 | 0 | 21 | 0 | 0 | 10 | 7,1 | 0,071 |
| 2059 | 0 | 0 | 0 | 21 | 0 | 1 | 9 | 6,9 | 0,070 |
| 2060 | 0 | 0 | 0 | 21 | 0 | 0 | 9 | 6,8 | 0,069 |
| 2061 | 0 | 0 | 0 | 21 | 0 | 0 | 9 | 6,7 | 0,068 |
| 2062 | 0 | 0 | 0 | 21 | 0 | 0 | 9 | 6,6 | 0,067 |
| 2063 | 0 | 0 | 0 | 21 | 0 | 1 | 8 | 6,5 | 0,066 |
| 2064 | 0 | 0 | 0 | 21 | 0 | 0 | 8 | 6,4 | 0,065 |
| 2065 | 0 | 0 | 0 | 21 | 0 | 0 | 8 | 6,3 | 0,064 |
| 2066 | 0 | 0 | 0 | 21 | 0 | 0 | 8 | 6,3 | 0,063 |
| 2067 | 0 | 0 | 0 | 21 | 0 | 1 | 7 | 6,2 | 0,062 |
| 2068 | 0 | 0 | 0 | 21 | 0 | 0 | 7 | 6,1 | 0,061 |
| 2069 | 0 | 0 | 0 | 21 | 0 | 0 | 7 | 6,0 | 0,061 |
| 2070 | 0 | 0 | 0 | 21 | 0 | 0 | 7 | 6,0 | 0,060 |
| 2071 | 0 | 0 | 0 | 21 | 0 | 1 | 6 | 5,9 | 0,060 |
| 2071 | U | U | U | <i>L</i> 1 | U | 1 | U | ٦,٦ | 0,000 |



Приложение 28 – Месторождение Айракты. Характеристика основных показателей разработки в

целом по месторождению. Вариант 2

| целом по |) местој | ождению. | Вариант 2 | | • | | T | T | , |
|--------------|----------|----------------|------------------|------------------|---------|-------|------------|---------------------------------------|--|
| | | | | Накоп- | Темп от | гбора | | | Коэффициен |
| Годы и | Добыч | Добыча | Накопленна | пакон- ленная | газа | OT | Отбор от | Коэффициен | |
| 11 ' ' | а газа, | | я добыча | ленная добыча | извлека | емых | извлекаемы | T | Т |
| период | млн. | конденсат | газа, млн. | | запасо | в, % | х запасов, | извлечения | извлечения |
| ы | M^3 | а, тыс. т | M^3 | конденсат | началь | теку | % | газа, д.ед. | конденсата, |
| | | | | а, тыс. т | Н | Щ | | | д.ед. |
| 2021 | 26,0 | 0,262 | 140,6 | 1,8 | 1,0 | 1,0 | 7,7 | 0,026 | 0,009 |
| 2022 | 29,3 | 0,296 | 169,9 | 2,1 | 1,1 | 1,2 | 9,3 | 0,032 | 0,011 |
| 2023 | 39,8 | 0,402 | 209,7 | 2,5 | 1,5 | 1,6 | 11,5 | 0,039 | 0,013 |
| 2024 | 63,4 | 0,640 | 273,1 | 3,1 | 2,4 | 2,6 | 15,0 | 0,051 | 0,016 |
| 2025 | 71,5 | 0,722 | 344,6 | 3,8 | 2,7 | 3,0 | 18,9 | 0,064 | 0,020 |
| 2026 | 66,3 | 0,669 | 410,9 | 4,5 | 2,5 | 2,9 | 22,5 | 0,076 | 0,023 |
| 2027 | 64,1 | 0,648 | 475,0 | 5,2 | 2,4 | 2,9 | 26,0 | 0,088 | 0,027 |
| 2028 | 61,9 | 0,625 | 536,9 | 5,8 | 2,4 | 2,9 | 29,4 | 0,100 | 0,030 |
| 2029 | 59,9 | 0,605 | 596,8 | 6,4 | 2,3 | 2,9 | 32,7 | 0,111 | 0,033 |
| 2030 | 58,0 | 0,586 | 654,8 | 7,0 | 2,2 | 2,9 | 35,8 | 0,121 | 0,036 |
| 2031 | 56,2 | 0,568 | 711,0 | 7,5 | 2,1 | 2,9 | 38,9 | 0,132 | 0,039 |
| 2032 | 54,5 | 0,550 | 765,5 | 8,1 | 2,1 | 2,8 | 41,9 | 0,142 | 0,042 |
| 2033 | 53,0 | 0,535 | 818,5 | 8,6 | 2,0 | 2,8 | 44,8 | 0,152 | 0,044 |
| 2034 | 51,4 | 0,520 | 869,9 | 9,1 | 2,0 | 2,8 | 47,6 | 0,161 | 0,047 |
| 2035 | 50,1 | 0,506 | 920,0 | 9,7 | 1,9 | 2,9 | 50,4 | 0,171 | 0,050 |
| 2036 | 48,8 | 0,493 | 968,8 | 10,1 | 1,9 | 2,9 | 53,0 | 0,180 | 0,052 |
| 2037 | 47,4 | 0,479 | 1016,2 | 10,6 | 1,8 | 2,9 | 55,6 | 0,188 | 0,055 |
| 2038 | 46,2 | 0,466 | 1062,4 | 11,1 | 1,8 | 2,9 | 58,2 | 0,197 | 0,057 |
| 2039 | 45,0 | 0,455 | 1107,4 | 11,5 | 1,7 | 2,9 | 60,6 | 0,205 | 0,059 |
| 2040 | 43,8 | 0,442 | 1151,1 | 12,0 | 1,7 | 2,9 | 63,0 | 0,213 | 0,062 |
| 2041 | 42,7 | 0,431 | 1193,8 | 12,4 | 1,6 | 2,9 | 65,4 | 0,221 | 0,064 |
| 2042 | 41,7 | 0,421 | 1235,5 | 12,8 | 1,6 | 2,9 | 67,6 | 0,229 | 0,066 |
| 2043 | 40,7 | 0,411 | 1276,2 | 13,2 | 1,5 | 2,9 | 69,9 | 0,237 | 0,068 |
| 2044 | 39,6 | 0,400 | 1315,8 | 13,6 | 1,5 | 2,9 | 72,0 | 0,244 | 0,070 |
| 2045 | 38,7 | 0,390 | 1354,4 | 14,0 | 1,5 | 2,9 | 74,1 | 0,251 | 0,072 |
| 2046 | 37,8 | 0,381 | 1392,2 | 14,4 | 1,4 | 3,0 | 76,2 | 0,258 | 0,072 |
| 2047 | 36,9 | 0,373 | 1429,1 | 14,8 | 1,4 | 3,0 | 78,2 | 0,265 | 0,074 |
| 2047 | 36,1 | 0,364 | 1465,2 | 15,2 | 1,4 | 3,0 | 80,2 | 0,203 | 0,078 |
| 2049 | 35,3 | 0,356 | 1500,4 | 15,5 | 1,3 | 3,0 | 82,1 | 0,272 | 0,078 |
| 2050 | 34,5 | 0,348 | 1534,9 | 15,9 | 1,3 | 3,1 | 84,0 | 0,278 | 0,080 |
| 2051 | 33,7 | 0,340 | 1568,6 | 16,2 | 1,3 | 3,1 | 85,9 | 0,283 | 0,082 |
| 2052 | 30,2 | 0,340 | 1598,8 | | 1 | 2,9 | 87,5 | 0,291 | 0,084 |
| 2052 | 29,6 | 0,303 | 1628,4 | 16,5 | 1,1 | 2,9 | 89,1 | 0,302 | 0,083 |
| 2054 | 29,0 | 0,299 | 1657,4 | 16,8 17,1 | 1,1 | 2,9 | 90,7 | 0,302 | 0,087 |
| 2055 | 28,4 | 0,293 | | | | | 90,7 | 0,307 | 0,088 |
| | 25,3 | | 1685,8 | 17,4 | 1,1 | 2,9 | | · · · · · · · · · · · · · · · · · · · | |
| 2056 2057 | | 0,256 0,251 | 1711,1 1735,9 | 17,6 | 1,0 | 2,7 | 93,7 | 0,317 0,322 | 0,091 |
| 2057 | 24,8 | · | | 17,9 | 0,9 | 2,7 | 95,0 | | 0,092 |
| | 24,5 | 0,247 | 1760,4 | 18,1 | 0,9 | 2,7 | 96,4 | 0,326 | 0,093 |
| 2059 | 24,1 | 0,243 | 1784,5 | 18,4 | 0,9 | 2,8 | 97,7 | 0,331 | 0,095 |
| 2060 | 21,2 | 0,215 | 1805,7 | 18,6 | 0,8 | 2,5 | 98,9 | 0,335 | 0,096 |
| 2061 | 20,9 | 0,211 | 1826,6 | 18,8 | 0,8 | 2,5 | 100,0 | 0,339 | 0,097 |
| 2062 | 20,6 | 0,208 | 1847,3 | 19,0 | 0,8 | 2,6 | 101,1 | 0,343 | 0,098 |
| 2063 | 20,3 | 0,205 | 1867,6 | 19,2 | 0,8 | 2,6 | 102,2 | 0,346 | 0,099 |
| 2064 | 17,8 | 0,180 | 1885,4 | 19,4 | 0,7 | 2,3 | 103,2 | 0,350 | 0,100 |
| 2065 | 17,5 | 0,177 | 1902,9 | 19,6 | 0,7 | 2,4 | 104,2 | 0,353 | 0,101 |
| 2066 | 17,4 | 0,175 | 1920,3 | 19,8 | 0,7 | 2,4 | 105,1 | 0,356 | 0,102 |
| 2067 | 17,1 | 0,173 | 1937,4 | 19,9 | 0,7 | 2,4 | 106,1 | 0,359 | 0,103 |
| 2068 | 14,7 | 0,149 | 1952,1 | 20,1 | 0,6 | 2,1 | 106,9 | 0,362 | 0,103 |
| 2069 | 14,6 | 0,147 | 1966,7 | 20,2 | 0,6 | 2,2 | 107,7 | 0,365 | 0,104 |
| 2070 | 14,5 | 0,146 | 1981,2 | 20,4 | 0,6 | 2,2 | 108,5 | 0,367 | 0,105 |
| 2071 | 14,3 | 0,145 | 1995,5 | 20,5 | 0,5 | 2,2 | 109,2 | 0,370 | 0,106 |



Приложение 29 – Месторождение Айракты. Характеристика основного фонда скважин по I объекту. Вариант 2

| Вариант | | | | T | | | | <u> </u> | |
|--------------|-------|----------------|-------------------|-------------|----------|----------|-------------|----------------------------------|-------------|
| | Вроп | CKDOWN | н из бурения | Фонд | Эксплуа- | | Фонд | | довой дебит |
| Годы и | рвод | СКВажи | н из бурсния | скважин | тацион- | Выбытие | добывающих | на 1 сн | сважину |
| периольт | | шэ | шэ | сначала | ное | скважин, | скважин на | газа, | конденсата, |
| псриоды | всего | ทง ดีงทอบนส | из консервации | разработки, | бурение, | ед. | конец года, | таза, тыс.м ³ /сут | |
| | | оурения | консервации | ед. | M | | ед. | · | 1/Cy1 |
| 2021 | 0 | 0 | 0 | 17 | 0 | 0 | 8 | 9,4 | 0,095 |
| 2022 | 0 | 0 | 0 | 17 | 0 | 0 | 8 | 10,2 | 0,103 |
| 2023 | 2 | 1 | 1 | 19 | 2,25 | 0 | 10 | 12,1 | 0,123 |
| 2024 | 1 | 1 | 0 | 20 | 2,90 | 0 | 11 | 16,9 | 0,171 |
| 2025 | 0 | 0 | 0 | 20 | 0 | 0 | 11 | 17,9 | 0,181 |
| 2026 | 0 | 0 | 0 | 20 | 0 | 0 | 11 | 16,5 | 0,167 |
| 2027 | 0 | 0 | 0 | 20 | 0 | 0 | 11 | 16,0 | 0,161 |
| 2028 | 0 | 0 | 0 | 20 | 0 | 0 | 11 | 15,4 | 0,155 |
| 2029 | 0 | 0 | 0 | 20 | 0 | 0 | 11 | 14,9 | 0,150 |
| 2030 | 0 | 0 | 0 | 20 | 0 | 0 | 11 | 14,4 | 0,145 |
| 2031 | 0 | 0 | 0 | 20 | 0 | 0 | 11 | 13,9 | 0,141 |
| 2032 | 0 | 0 | 0 | 20 | 0 | 0 | 11 | 13,5 | 0,136 |
| 2033 | 0 | 0 | 0 | 20 | 0 | 0 | 11 | 13,1 | 0,133 |
| 2034 | 0 | 0 | 0 | 20 | 0 | 0 | 11 | 12,7 | 0,129 |
| 2035 | 0 | 0 | 0 | 20 | 0 | 0 | 11 | 12,4 | 0,125 |
| 2036 | 0 | 0 | 0 | 20 | 0 | 0 | 11 | 12,0 | 0,122 |
| 2037 | 0 | 0 | 0 | 20 | 0 | 0 | 11 | 11,7 | 0,118 |
| 2038 | 0 | 0 | 0 | 20 | 0 | 0 | 11 | 11,4 | 0,115 |
| 2039 | 0 | 0 | 0 | 20 | 0 | 0 | 11 | 11,1 | 0,112 |
| 2040 | 0 | 0 | 0 | 20 | 0 | 0 | 11 | 10,8 | 0,112 |
| 2040 | 0 | 0 | 0 | 20 | 0 | 0 | 11 | 10,5 | 0,106 |
| 2041 | 0 | 0 | 0 | 20 | 0 | 0 | 11 | 10,3 | 0,103 |
| 2042 | 0 | 0 | 0 | 20 | 0 | 0 | 11 | 10,2 | 0,103 |
| 2043 | 0 | 0 | 0 | 20 | 0 | 0 | 11 | 9,7 | 0,101 |
| 2044 | 0 | 0 | 0 | | 0 | 0 | 11 | 9,7 | · |
| | 0 | 0 | | 20 | | | 11 | | 0,096 |
| 2046 2047 | 0 | | 0 | 20 | 0 | 0 | | 9,2 | 0,093 |
| - | | 0 | 0 | 20 | 0 | 0 | 11 | 9,0 | 0,091 |
| 2048 | 0 | 0 | 0 | 20 | 0 | 0 | 11 | 8,8 | 0,089 |
| 2049 | 0 | 0 | 0 | 20 | 0 | 0 | 11 | 8,6 | 0,087 |
| 2050 | 0 | 0 | 0 | 20 | 0 | 0 | 11 | 8,4 | 0,085 |
| 2051 | 0 | 0 | 0 | 20 | 0 | 1 | 10 | 8,2 | 0,083 |
| 2052 | 0 | 0 | 0 | 20 | 0 | 0 | 10 | 8,0 | 0,081 |
| 2053 | 0 | 0 | 0 | 20 | 0 | 0 | 10 | 7,9 | 0,080 |
| 2054 | 0 | 0 | 0 | 20 | 0 | 0 | 10 | 7,7 | 0,078 |
| 2055 | 0 | 0 | 0 | 20 | 0 | 1 | 9 | 7,6 | 0,076 |
| 2056 | 0 | 0 | 0 | 20 | 0 | 0 | 9 | 7,4 | 0,075 |
| 2057 | 0 | 0 | 0 | 20 | 0 | 0 | 9 | 7,3 | 0,073 |
| 2058 | 0 | 0 | 0 | 20 | 0 | 0 | 9 | 7,2 | 0,072 |
| 2059 | 0 | 0 | 0 | 20 | 0 | 1 | 8 | 7,0 | 0,071 |
| 2060 | 0 | 0 | 0 | 20 | 0 | 0 | 8 | 6,9 | 0,070 |
| 2061 | 0 | 0 | 0 | 20 | 0 | 0 | 8 | 6,8 | 0,069 |
| 2062 | 0 | 0 | 0 | 20 | 0 | 0 | 8 | 6,7 | 0,068 |
| 2063 | 0 | 0 | 0 | 20 | 0 | 1 | 7 | 6,6 | 0,067 |
| 2064 | 0 | 0 | 0 | 20 | 0 | 0 | 7 | 6,5 | 0,066 |
| 2065 | 0 | 0 | 0 | 20 | 0 | 0 | 7 | 6,4 | 0,065 |
| 2066 | 0 | 0 | 0 | 20 | 0 | 0 | 7 | 6,4 | 0,064 |
| 2067 | 0 | 0 | 0 | 20 | 0 | 1 | 6 | 6,3 | 0,063 |
| 2068 | 0 | 0 | 0 | 20 | 0 | 0 | 6 | 6,2 | 0,062 |
| 2069 | 0 | 0 | 0 | 20 | 0 | 0 | 6 | 6,1 | 0,062 |
| 2070 | 0 | 0 | 0 | 20 | 0 | 0 | 6 | 6,1 | 0,061 |
| 2071 | 0 | 0 | 0 | 20 | 0 | 1 | 5 | 6,0 | 0,061 |



Приложение 30 – Месторождение Айракты. Характеристика основных показателей разработки по I объекту. Вариант 2

| | | Лобыча | Накопленная , добыча газа, | Накоп- | | бора газа каемых | | Коэффициент | Коэффициент извлечения конденсата, | | ление, М | ЛПа | Коэффициент сверхсжимаемости |
|---------|--------------|--------|-------------------------------|-----------------------|---------|---------------------|------------|-------------|--|------|----------|-----|---------------------------------|
| периоды | газа, млн. м | тыс. т | млн. м ³ | конденсата, тыс. т | начальн | текущ | запасов, % | газа, д.ед. | д.ед. | Рпл | Рзаб | Py | сверхскимаемости |
| 1 | 2 | 3 | 4 | 5 | 6 | 7 | 8 | 9 | 10 | 11 | 12 | 13 | 14 |
| 2021 | 26,0 | 0,262 | 140,6 | 1,778 | 1,0 | 1,1 | 5,59 | 0,028 | 0,010 | 17,9 | 5,9 | 4,8 | 0,877 |
| 2022 | 28,4 | 0,287 | 169,0 | 2,065 | 1,1 | 1,2 | 6,72 | 0,034 | 0,012 | 17,6 | 5,1 | 4,2 | 0,871 |
| 2023 | 38,1 | 0,385 | 207,1 | 2,450 | 1,5 | 1,6 | 8,23 | 0,042 | 0,014 | 17,5 | 4,7 | 3,8 | 0,871 |
| 2024 | 61,8 | 0,624 | 268,9 | 3,074 | 2,5 | 2,7 | 10,69 | 0,054 | 0,017 | 17,3 | 4,4 | 3,6 | 0,870 |
| 2025 | 68,3 | 0,689 | 337,1 | 3,763 | 2,7 | 3,0 | 13,40 | 0,068 | 0,021 | 17,0 | 3,7 | 3,0 | 0,870 |
| 2026 | 63,1 | 0,637 | 400,2 | 4,400 | 2,5 | 2,9 | 15,91 | 0,081 | 0,025 | 16,7 | 3,7 | 3,0 | 0,869 |
| 2027 | 60,9 | 0,615 | 461,1 | 5,015 | 2,4 | 2,9 | 18,33 | 0,093 | 0,028 | 16,4 | 3,6 | 2,9 | 0,869 |
| 2028 | 58,7 | 0,593 | 519,8 | 5,608 | 2,3 | 2,9 | 20,66 | 0,105 | 0,031 | 16,1 | 3,6 | 3,0 | 0,868 |
| 2029 | 56,8 | 0,573 | 576,6 | 6,182 | 2,3 | 2,8 | 22,92 | 0,116 | 0,035 | 15,9 | 3,6 | 2,9 | 0,868 |
| 2030 | 54,9 | 0,555 | 631,6 | 6,737 | 2,2 | 2,8 | 25,10 | 0,127 | 0,038 | 15,6 | 3,5 | 2,9 | 0,867 |
| 2031 | 53,2 | 0,537 | 684,7 | 7,274 | 2,1 | 2,8 | 27,22 | 0,138 | 0,041 | 15,4 | 3,5 | 2,8 | 0,867 |
| 2032 | 51,5 | 0,520 | 736,2 | 7,794 | 2,0 | 2,8 | 29,26 | 0,148 | 0,044 | 15,1 | 3,4 | 2,8 | 0,867 |
| 2033 | 50,1 | 0,506 | 786,3 | 8,300 | 2,0 | 2,8 | 31,25 | 0,158 | 0,046 | 14,9 | 3,3 | 2,7 | 0,867 |
| 2034 | 48,5 | 0,490 | 834,8 | 8,790 | 1,9 | 2,8 | 33,18 | 0,168 | 0,049 | 14,7 | 3,3 | 2,7 | 0,867 |
| 2035 | 47,2 | 0,477 | 882,0 | 9,266 | 1,9 | 2,8 | 35,06 | 0,177 | 0,052 | 14,5 | 3,2 | 2,6 | 0,867 |
| 2036 | 45,9 | 0,464 | 928,0 | 9,730 | 1,8 | 2,8 | 36,88 | 0,187 | 0,054 | 14,3 | 3,1 | 2,5 | 0,867 |
| 2037 | 44,6 | 0,450 | 972,6 | 10,181 | 1,8 | 2,8 | 38,66 | 0,196 | 0,057 | 14,0 | 3,0 | 2,5 | 0,867 |
| 2038 | 43,4 | 0,439 | 1016,0 | 10,619 | 1,7 | 2,8 | 40,38 | 0,204 | 0,059 | 13,9 | 3,0 | 2,4 | 0,867 |
| 2039 | 42,3 | 0,427 | 1058,3 | 11,046 | 1,7 | 2,8 | 42,06 | 0,213 | 0,062 | 13,7 | 2,9 | 2,3 | 0,867 |
| 2040 | 41,1 | 0,415 | 1099,4 | 11,461 | 1,6 | 2,8 | 43,69 | 0,221 | 0,064 | 13,5 | 2,9 | 2,3 | 0,868 |
| 2041 | 40,0 | 0,404 | 1139,4 | 11,866 | 1,6 | 2,8 | 45,29 | 0,229 | 0,066 | 13,3 | 2,8 | 2,3 | 0,868 |
| 2042 | 39,0 | 0,394 | 1178,5 | 12,260 | 1,6 | 2,8 | 46,84 | 0,237 | 0,068 | 13,1 | 2,7 | 2,2 | 0,868 |
| 2043 | 38,1 | 0,385 | 1216,5 | 12,645 | 1,5 | 2,8 | 48,35 | 0,245 | 0,071 | 13,0 | 2,7 | 2,2 | 0,868 |
| 2044 | 37,0 | 0,374 | 1253,6 | 13,019 | 1,5 | 2,8 | 49,82 | 0,252 | 0,073 | 12,8 | 2,7 | 2,2 | 0,869 |
| 2045 | 36,1 | 0,365 | 1289,7 | 13,384 | 1,4 | 2,9 | 51,26 | 0,259 | 0,075 | 12,6 | 2,6 | 2,1 | 0,869 |
| 2046 | 35,3 | 0,356 | 1325,0 | 13,740 | 1,4 | 2,9 | 52,66 | 0,267 | 0,077 | 12,5 | 2,6 | 2,1 | 0,869 |
| 2047 | 34,4 | 0,348 | 1359,4 | 14,088 | 1,4 | 2,9 | 54,03 | 0,273 | 0,079 | 12,3 | 2,5 | 2,0 | 0,870 |
| 2048 | 33,6 | 0,340 | 1393,1 | 14,428 | 1,3 | 2,9 | 55,37 | 0,280 | 0,081 | 12,2 | 2,5 | 2,0 | 0,870 |
| 2049 | 32,9 | 0,332 | 1425,9 | 14,760 | 1,3 | 2,9 | 56,67 | 0,287 | 0,082 | 12,0 | 2,4 | 2,0 | 0,870 |

| 1 | 2 | 3 | 4 | 5 | 6 | 7 | 8 | 9 | 10 | 11 | 12 | 13 | 14 |
|------|------|-------|--------|--------|-----|-----|-------|-------|-------|------|-----|-----|-------|
| 2050 | 32,1 | 0,324 | 1458,0 | 15,084 | 1,3 | 2,9 | 57,95 | 0,293 | 0,084 | 11,9 | 2,4 | 1,9 | 0,871 |
| 2051 | 31,4 | 0,317 | 1489,4 | 15,401 | 1,2 | 3,0 | 59,20 | 0,300 | 0,086 | 11,7 | 2,3 | 1,9 | 0,871 |
| 2052 | 27,9 | 0,282 | 1517,3 | 15,682 | 1,1 | 2,7 | 60,31 | 0,305 | 0,088 | 11,6 | 2,3 | 1,9 | 0,872 |
| 2053 | 27,3 | 0,276 | 1544,6 | 15,958 | 1,1 | 2,7 | 61,39 | 0,311 | 0,089 | 11,5 | 2,3 | 1,9 | 0,872 |
| 2054 | 26,7 | 0,270 | 1571,3 | 16,228 | 1,1 | 2,8 | 62,45 | 0,316 | 0,091 | 11,4 | 2,3 | 1,9 | 0,873 |
| 2055 | 26,2 | 0,265 | 1597,5 | 16,493 | 1,0 | 2,8 | 63,50 | 0,321 | 0,092 | 11,3 | 2,3 | 1,8 | 0,873 |
| 2056 | 23,1 | 0,233 | 1620,6 | 16,726 | 0,9 | 2,5 | 64,41 | 0,326 | 0,093 | 11,2 | 2,3 | 1,8 | 0,873 |
| 2057 | 22,7 | 0,229 | 1643,3 | 16,955 | 0,9 | 2,5 | 65,31 | 0,331 | 0,095 | 11,1 | 2,3 | 1,8 | 0,874 |
| 2058 | 22,3 | 0,226 | 1665,7 | 17,181 | 0,9 | 2,6 | 66,20 | 0,335 | 0,096 | 11,0 | 2,2 | 1,8 | 0,874 |
| 2059 | 21,9 | 0,222 | 1687,6 | 17,403 | 0,9 | 2,6 | 67,07 | 0,339 | 0,097 | 10,9 | 2,2 | 1,8 | 0,875 |
| 2060 | 19,1 | 0,193 | 1706,8 | 17,596 | 0,8 | 2,3 | 67,84 | 0,343 | 0,098 | 10,8 | 2,2 | 1,8 | 0,875 |
| 2061 | 18,8 | 0,190 | 1725,6 | 17,786 | 0,7 | 2,3 | 68,58 | 0,347 | 0,099 | 10,7 | 2,2 | 1,8 | 0,875 |
| 2062 | 18,6 | 0,188 | 1744,2 | 17,974 | 0,7 | 2,4 | 69,32 | 0,351 | 0,100 | 10,6 | 2,1 | 1,7 | 0,876 |
| 2063 | 18,3 | 0,185 | 1762,5 | 18,159 | 0,7 | 2,4 | 70,05 | 0,355 | 0,101 | 10,5 | 2,1 | 1,7 | 0,876 |
| 2064 | 15,8 | 0,160 | 1778,3 | 18,319 | 0,6 | 2,1 | 70,68 | 0,358 | 0,102 | 10,5 | 2,1 | 1,7 | 0,876 |
| 2065 | 15,6 | 0,157 | 1793,9 | 18,476 | 0,6 | 2,1 | 71,30 | 0,361 | 0,103 | 10,4 | 2,1 | 1,7 | 0,877 |
| 2066 | 15,4 | 0,156 | 1809,3 | 18,632 | 0,6 | 2,1 | 71,91 | 0,364 | 0,104 | 10,3 | 2,0 | 1,6 | 0,877 |
| 2067 | 15,2 | 0,153 | 1824,5 | 18,785 | 0,6 | 2,1 | 72,51 | 0,367 | 0,105 | 10,3 | 2,1 | 1,7 | 0,877 |
| 2068 | 12,8 | 0,130 | 1837,3 | 18,915 | 0,5 | 1,9 | 73,02 | 0,370 | 0,106 | 10,2 | 2,1 | 1,7 | 0,878 |
| 2069 | 12,7 | 0,128 | 1850,0 | 19,043 | 0,5 | 1,9 | 73,53 | 0,372 | 0,106 | 10,1 | 2,0 | 1,7 | 0,878 |
| 2070 | 12,6 | 0,127 | 1862,6 | 19,170 | 0,5 | 1,9 | 74,03 | 0,375 | 0,107 | 10,1 | 2,0 | 1,6 | 0,878 |
| 2071 | 12,5 | 0,126 | 1875,1 | 19,296 | 0,5 | 1,9 | 74,53 | 0,377 | 0,108 | 10,0 | 1,9 | 1,6 | 0,879 |

Приложение 31 – Месторождение Айракты. Характеристика основного фонда скважин по II объекту.

Вариант 2

| | | | | Фонд | Эксплуа- | | Фонд | Спепнего | довой дебит |
|---------|-------|---------|-------------------|-------------|----------|----------|--------------------|-------------------------|-------------|
| | Ввод | скважи | н из бурения | скважин | | | Фонд добывающих | | кважину |
| Годы и | | | | | | скважин, | скважин на | na i ci | |
| периоды | всего | И3 | из консервации | разработки, | | / | конец года, | газа, | конденсата, |
| | | бурения | консервации | ед. | M | , , | ед. | тыс.м ³ /сут | т/сут |
| 2022 | 1 | 0 | 1 | 1 | 0 | 0 | 1 | 4,9 | 0,049 |
| 2023 | 0 | 0 | 0 | 1 | 0 | 0 | 1 | 4,9 | 0,049 |
| 2024 | 0 | 0 | 0 | 1 | 0 | 0 | 1 | 4,7 | 0,048 |
| 2025 | 0 | 0 | 0 | 1 | 0 | 0 | 1 | 9,3 | 0,094 |
| 2026 | 0 | 0 | 0 | 1 | 0 | 0 | 1 | 9,3 | 0,094 |
| 2027 | 0 | 0 | 0 | 1 | 0 | 0 | 1 | 9,2 | 0,093 |
| 2028 | 0 | 0 | 0 | 1 | 0 | 0 | 1 | 9,1 | 0,092 |
| 2029 | 0 | 0 | 0 | 1 | 0 | 0 | 1 | 9,0 | 0,091 |
| 2030 | 0 | 0 | 0 | 1 | 0 | 0 | 1 | 8,9 | 0,090 |
| 2031 | 0 | 0 | 0 | 1 | 0 | 0 | 1 | 8,7 | 0,088 |
| 2032 | 0 | 0 | 0 | 1 | 0 | 0 | 1 | 8,6 | 0,087 |
| 2033 | 0 | 0 | 0 | 1 | 0 | 0 | 1 | 8,5 | 0,086 |
| 2034 | 0 | 0 | 0 | 1 | 0 | 0 | 1 | 8,4 | 0,085 |
| 2035 | 0 | 0 | 0 | 1 | 0 | 0 | 1 | 8,3 | 0,084 |
| 2036 | 0 | 0 | 0 | 1 | 0 | 0 | 1 | 8,2 | 0,083 |
| 2037 | 0 | 0 | 0 | 1 | 0 | 0 | 1 | 8,1 | 0,082 |
| 2038 | 0 | 0 | 0 | 1 | 0 | 0 | 1 | 8,0 | 0,080 |
| 2039 | 0 | 0 | 0 | 1 | 0 | 0 | 1 | 7,9 | 0,079 |
| 2040 | 0 | 0 | 0 | 1 | 0 | 0 | 1 | 7,8 | 0,078 |
| 2041 | 0 | 0 | 0 | 1 | 0 | 0 | 1 | 7,7 | 0,077 |
| 2042 | 0 | 0 | 0 | 1 | 0 | 0 | 1 | 7,6 | 0,076 |
| 2043 | 0 | 0 | 0 | 1 | 0 | 0 | 1 | 7,5 | 0,075 |
| 2044 | 0 | 0 | 0 | 1 | 0 | 0 | 1 | 7,4 | 0,074 |
| 2045 | 0 | 0 | 0 | 1 | 0 | 0 | 1 | 7,3 | 0,073 |
| 2046 | 0 | 0 | 0 | 1 | 0 | 0 | 1 | 7,2 | 0,073 |
| 2047 | 0 | 0 | 0 | 1 | 0 | 0 | 1 | 7,1 | 0,072 |
| 2048 | 0 | 0 | 0 | 1 | 0 | 0 | 1 | 7,0 | 0,071 |
| 2049 | 0 | 0 | 0 | 1 | 0 | 0 | 1 | 6,9 | 0,070 |
| 2050 | 0 | 0 | 0 | 1 | 0 | 0 | 1 | 6,8 | 0,069 |
| 2051 | 0 | 0 | 0 | 1 | 0 | 0 | 1 | 6,7 | 0,068 |
| 2052 | 0 | 0 | 0 | 1 | 0 | 0 | 1 | 6,7 | 0,067 |
| 2053 | 0 | 0 | 0 | 1 | 0 | 0 | 1 | 6,6 | 0,066 |
| 2054 | 0 | 0 | 0 | 1 | 0 | 0 | 1 | 6,5 | 0,066 |
| 2055 | 0 | 0 | 0 | 1 | 0 | 0 | 1 | 6,4 | 0,065 |
| 2056 | 0 | 0 | 0 | 1 | 0 | 0 | 1 | 6,3 | 0,064 |
| 2057 | 0 | 0 | 0 | 1 | 0 | 0 | 1 | 6,3 | 0,063 |
| 2058 | 0 | 0 | 0 | 1 | 0 | 0 | 1 | 6,2 | 0,062 |
| 2059 | 0 | 0 | 0 | 1 | 0 | 0 | 1 | 6,1 | 0,062 |
| 2060 | 0 | 0 | 0 | 1 | 0 | 0 | 1 | 6,0 | 0,061 |
| 2061 | 0 | 0 | 0 | 1 | 0 | 0 | 1 | 6,0 | 0,060 |
| 2062 | 0 | 0 | 0 | 1 | 0 | 0 | 1 | 5,9 | 0,059 |
| 2063 | 0 | 0 | 0 | 1 | 0 | 0 | 1 | 5,8 | 0,059 |
| 2064 | 0 | 0 | 0 | 1 | 0 | 0 | 1 | 5,7 | 0,058 |
| 2065 | 0 | 0 | 0 | 1 | 0 | 0 | 1 | 5,7 | 0,057 |
| 2066 | 0 | 0 | 0 | 1 | 0 | 0 | 1 | 5,6 | 0,057 |
| 2067 | 0 | 0 | 0 | 1 | 0 | 0 | 1 | 5,5 | 0,056 |
| 2068 | 0 | 0 | 0 | 1 | 0 | 0 | 1 | 5,5 | 0,055 |
| 2069 | 0 | 0 | 0 | 1 | 0 | 0 | 1 | 5,4 | 0,055 |
| 2070 | 0 | 0 | 0 | 1 | 0 | 0 | 1 | 5,3 | 0,054 |
| 2071 | 0 | 0 | 0 | 1 | 0 | 0 | 1 | 5,3 | 0,053 |



Приложение 32 – Месторождение Айракты. Характеристика основных показателей разработки по II объекту. Вариант 2

| приложен | <u> 1ие 32 – Мес</u> | горождение . | Аиракты. Лар | * | | | | тки по 11 ооъе | кту. Вариант 2 | 4 | | | |
|----------|----------------------|--------------|---------------------|------------------|----------------------|-------|-------------|----------------|----------------|------|----------|-----|------------------|
| F | Добыча | Добыча | Накопленная | Накоп- ленная | Темп отб от извле | - | | Коэффициент | Коэффициент | Дав | ление, М | ИПа | ICan de de conse |
| Годы и | газа, млн. | конденсата, | добыча газа, | добыча | запас | ов, % | извлекаемых | извлечения | извлечения | | | | Коэффициент |
| периоды | \mathbf{M}^{3} | тыс. т | млн. м ³ | конденсата, | | | запасов, % | газа, д.ед. | конденсата, | D | Doof | D | сверхсжимаемости |
| | | | | тыс. т | начальн | текущ | | | д.ед. | Рпл | Рзаб | Py | |
| 1 | 2 | 3 | 4 | 5 | 6 | 7 | 8 | 9 | 10 | 11 | 12 | 13 | 14 |
| 2022 | 0,9 | 0,009 | 0,9 | 0,009 | 0,8 | 0,8 | 0,81 | 0,002 | 0,001 | 11,4 | 5,3 | 4,2 | 0,836 |
| 2023 | 1,7 | 0,017 | 2,6 | 0,026 | 1,5 | 1,5 | 2,33 | 0,006 | 0,002 | 11,3 | 4,7 | 3,8 | 0,835 |
| 2024 | 1,6 | 0,017 | 4,2 | 0,043 | 1,5 | 1,5 | 3,80 | 0,010 | 0,003 | 11,3 | 4,6 | 3,7 | 0,835 |
| 2025 | 3,2 | 0,033 | 7,5 | 0,075 | 2,9 | 3,0 | 6,72 | 0,018 | 0,005 | 11,2 | 3,8 | 3,1 | 0,835 |
| 2026 | 3,2 | 0,032 | 10,7 | 0,108 | 2,9 | 3,1 | 9,61 | 0,025 | 0,007 | 11,2 | 3,8 | 3,0 | 0,835 |
| 2027 | 3,2 | 0,032 | 13,9 | 0,140 | 2,9 | 3,2 | 12,50 | 0,033 | 0,009 | 11,1 | 3,6 | 2,9 | 0,836 |
| 2028 | 3,2 | 0,032 | 17,0 | 0,172 | 2,8 | 3,3 | 15,34 | 0,040 | 0,011 | 11,0 | 3,6 | 2,9 | 0,836 |
| 2029 | 3,1 | 0,031 | 20,1 | 0,203 | 2,8 | 3,3 | 18,15 | 0,048 | 0,014 | 10,9 | 3,6 | 2,9 | 0,837 |
| 2030 | 3,1 | 0,031 | 23,2 | 0,235 | 2,8 | 3,4 | 20,92 | 0,055 | 0,016 | 10,9 | 3,6 | 2,9 | 0,837 |
| 2031 | 3,0 | 0,031 | 26,3 | 0,265 | 2,7 | 3,5 | 23,65 | 0,062 | 0,018 | 10,8 | 3,6 | 2,9 | 0,838 |
| 2032 | 3,0 | 0,030 | 29,2 | 0,295 | 2,7 | 3,5 | 26,34 | 0,069 | 0,020 | 10,7 | 3,6 | 2,9 | 0,838 |
| 2033 | 3,0 | 0,030 | 32,2 | 0,325 | 2,7 | 3,6 | 29,00 | 0,076 | 0,022 | 10,6 | 3,6 | 2,9 | 0,838 |
| 2034 | 2,9 | 0,029 | 35,1 | 0,355 | 2,6 | 3,7 | 31,63 | 0,083 | 0,024 | 10,6 | 3,6 | 2,9 | 0,839 |
| 2035 | 2,9 | 0,029 | 38,0 | 0,384 | 2,6 | 3,8 | 34,22 | 0,090 | 0,026 | 10,5 | 3,6 | 2,9 | 0,839 |
| 2036 | 2,8 | 0,029 | 40,8 | 0,412 | 2,6 | 3,9 | 36,77 | 0,097 | 0,027 | 10,4 | 3,6 | 2,9 | 0,840 |
| 2037 | 2,8 | 0,028 | 43,6 | 0,440 | 2,5 | 4,0 | 39,29 | 0,103 | 0,029 | 10,4 | 3,6 | 2,9 | 0,840 |
| 2038 | 2,8 | 0,028 | 46,4 | 0,468 | 2,5 | 4,1 | 41,78 | 0,110 | 0,031 | 10,3 | 3,6 | 2,9 | 0,841 |
| 2039 | 2,7 | 0,028 | 49,1 | 0,496 | 2,5 | 4,2 | 44,23 | 0,116 | 0,033 | 10,2 | 3,6 | 2,9 | 0,841 |
| 2040 | 2,7 | 0,027 | 51,8 | 0,523 | 2,4 | 4,3 | 46,66 | 0,123 | 0,035 | 10,2 | 3,6 | 2,9 | 0,842 |
| 2041 | 2,7 | 0,027 | 54,4 | 0,550 | 2,4 | 4,5 | 49,05 | 0,129 | 0,037 | 10,1 | 3,6 | 2,9 | 0,842 |
| 2042 | 2,6 | 0,026 | 57,1 | 0,576 | 2,4 | 4,6 | 51,41 | 0,135 | 0,038 | 10,0 | 3,6 | 2,9 | 0,843 |
| 2043 | 2,6 | 0,026 | 59,7 | 0,602 | 2,3 | 4,8 | 53,74 | 0,141 | 0,040 | 10,0 | 3,6 | 2,9 | 0,843 |
| 2044 | 2,6 | 0,026 | 62,2 | 0,628 | 2,3 | 5,0 | 56,04 | 0,147 | 0,042 | 9,9 | 3,6 | 2,9 | 0,844 |
| 2045 | 2,5 | 0,025 | 64,7 | 0,654 | 2,3 | 5,2 | 58,31 | 0,153 | 0,044 | 9,8 | 3,6 | 2,9 | 0,844 |
| 2046 | 2,5 | 0,025 | 67,2 | 0,679 | 2,2 | 5,4 | 60,56 | 0,159 | 0,045 | 9,8 | 3,6 | 2,9 | 0,844 |
| 2047 | 2,5 | 0,025 | 69,7 | 0,704 | 2,2 | 5,6 | 62,77 | 0,165 | 0,047 | 9,7 | 3,6 | 2,9 | 0,845 |
| 2048 | 2,4 | 0,025 | 72,1 | 0,728 | 2,2 | 5,9 | 64,96 | 0,171 | 0,049 | 9,7 | 3,6 | 2,9 | 0,845 |
| 2049 | 2,4 | 0,024 | 74,5 | 0,752 | 2,2 | 6,2 | 67,12 | 0,177 | 0,050 | 9,6 | 3,6 | 2,9 | 0,846 |
| 2050 | 2,4 | 0,024 | 76,9 | 0,776 | 2,1 | 6,5 | 69,25 | 0,182 | 0,052 | 9,6 | 3,6 | 2,9 | 0,846 |

| 1 | 2 | 3 | 4 | 5 | 6 | 7 | 8 | 9 | 10 | 11 | 12 | 13 | 14 |
|------|-----|-------|-------|-------|-----|----------|--------|-------|-------|-----|-----|-----|-------|
| 2051 | 2,3 | 0,024 | 79,2 | 0,800 | 2,1 | 6,8 | 71,35 | 0,188 | 0,053 | 9,5 | 3,6 | 2,9 | 0,847 |
| 2052 | 2,3 | 0,023 | 81,5 | 0,823 | 2,1 | 7,3 | 73,43 | 0,193 | 0,055 | 9,4 | 3,6 | 2,9 | 0,847 |
| 2053 | 2,3 | 0,023 | 83,8 | 0,846 | 2,1 | 7,7 | 75,48 | 0,199 | 0,056 | 9,4 | 3,6 | 2,9 | 0,848 |
| 2054 | 2,3 | 0,023 | 86,0 | 0,869 | 2,0 | 8,3 | 77,51 | 0,204 | 0,058 | 9,3 | 3,6 | 2,9 | 0,848 |
| 2055 | 2,2 | 0,022 | 88,3 | 0,891 | 2,0 | 8,9 | 79,51 | 0,209 | 0,059 | 9,3 | 3,6 | 2,9 | 0,849 |
| 2056 | 2,2 | 0,022 | 90,5 | 0,914 | 2,0 | 9,7 | 81,49 | 0,214 | 0,061 | 9,2 | 3,6 | 2,9 | 0,849 |
| 2057 | 2,2 | 0,022 | 92,6 | 0,936 | 2,0 | 10,6 | 83,45 | 0,219 | 0,062 | 9,2 | 3,6 | 2,9 | 0,849 |
| 2058 | 2,1 | 0,022 | 94,8 | 0,957 | 1,9 | 11,7 | 85,38 | 0,225 | 0,064 | 9,1 | 3,6 | 2,9 | 0,850 |
| 2059 | 2,1 | 0,021 | 96,9 | 0,979 | 1,9 | 13,0 | 87,28 | 0,230 | 0,065 | 9,1 | 3,6 | 2,9 | 0,850 |
| 2060 | 2,1 | 0,021 | 99,0 | 1,000 | 1,9 | 14,8 | 89,17 | 0,235 | 0,067 | 9,0 | 3,6 | 2,9 | 0,851 |
| 2061 | 2,1 | 0,021 | 101,0 | 1,021 | 1,9 | 17,2 | 91,03 | 0,239 | 0,068 | 9,0 | 3,6 | 2,9 | 0,851 |
| 2062 | 2,0 | 0,021 | 103,1 | 1,041 | 1,8 | 20,5 | 92,87 | 0,244 | 0,069 | 8,9 | 3,6 | 2,9 | 0,852 |
| 2063 | 2,0 | 0,020 | 105,1 | 1,061 | 1,8 | 25,5 | 94,68 | 0,249 | 0,071 | 8,9 | 3,6 | 2,9 | 0,852 |
| 2064 | 2,0 | 0,020 | 107,1 | 1,082 | 1,8 | 33,7 | 96,48 | 0,254 | 0,072 | 8,8 | 3,6 | 2,9 | 0,853 |
| 2065 | 2,0 | 0,020 | 109,1 | 1,101 | 1,8 | 50,3 | 98,25 | 0,258 | 0,073 | 8,8 | 3,6 | 2,9 | 0,853 |
| 2066 | 1,9 | 0,020 | 111,0 | 1,121 | 1,8 | 100,1 | 100,00 | 0,263 | 0,075 | 8,7 | 3,6 | 2,9 | 0,853 |
| 2067 | 1,9 | 0,019 | 112,9 | 1,141 | 1,7 | -99199,3 | 101,73 | 0,268 | 0,076 | 8,7 | 3,6 | 2,9 | 0,854 |
| 2068 | 1,9 | 0,019 | 114,8 | 1,160 | 1,7 | -98,7 | 103,44 | 0,272 | 0,077 | 8,6 | 3,6 | 2,9 | 0,854 |
| 2069 | 1,9 | 0,019 | 116,7 | 1,179 | 1,7 | -49,1 | 105,13 | 0,277 | 0,079 | 8,6 | 3,6 | 2,9 | 0,855 |
| 2070 | 1,9 | 0,019 | 118,6 | 1,197 | 1,7 | -32,5 | 106,81 | 0,281 | 0,080 | 8,5 | 3,6 | 2,9 | 0,855 |
| 2071 | 1,8 | 0,019 | 120,4 | 1,216 | 1,7 | -24,3 | 108,46 | 0,285 | 0,081 | 8,5 | 3,6 | 2,9 | 0,856 |

Приложение 33 – Сопоставление результатов интерпретации ГИС открытого ствола и ГИС по контролю

| риложение 3 | | | e peojuzia | | | ткрытого | | 120011111 | 110 110 110 | 111 00110 | | | | P | езультаты ГИ | С по контро | пю | | |
|-------------|------|-------|------------|---------|------|--------------------|----------------------------|--------------|-------------|------------------------|---------------|--------|--------------|------|--------------|-------------|------|-------|----------------------------|
| | | | Глубі | ина, м | | лкрытого цина,м | Ствола | | | | | Интери | зал перфорац | | | ощий интерв | | | |
| Скважина | Ярус | Пачка | Кровля | Подошва | Нобщ | ффсН | К _{гл} , д.ед. | Кп, д.ед. | Кг, д.ед. | Характер насы-щения | Дата ГИС-к | Кровля | Подошва | Нобщ | Кровля | Подошва | Hpa6 | К охв | Состав притока по ГИС-к |
| 1 | 2 | 3 | 5 | 6 | 7 | 8 | 9 | 10 | 11 | 12 | 13 | 14 | 15 | 16 | 17 | 18 | 19 | 20 | 21 |
| 1 | C1v1 | A | 2075 | 2079.3 | 4.3 | 4.3 | 0.08 | 0.28 | 0.75 | газ | 2010г. | 2073 | 2086 | 13 | 2073.9 | 2074.3 | 0.4 | 20 | газ |
| | CIVI | | 2075 | 2017.5 | 1.5 | 15 | 0.00 | 0.20 | 0.75 | 143 | 20101. | 2073 | 2000 | 13 | 2075.4 | 2075.9 | 0.5 | | газ |
| | | | | | | | | | | | | | | | 2077.9 | 2078.2 | 0.3 | | газ |
| | | | | | | | | | | | | | | | 2079.6 | 2080.1 | 0.5 | | газ |
| | | | | | | | | | | | | | | | 2080.4 | 2080.8 | 0.4 | | газ |
| | | | | | | | | | | | | | | | 2081.3 | 2081.8 | 0.5 | | газ |
| | | | | | | | | | | | | | | | 2085.6 | 2085.9 | 0.3 | | газ |
| 1 | C1v1 | A | 2091.3 | 2094.2 | 2.9 | 2.5 | 0.21 | 0.23 | 0.71 | газ | | 2091 | 2096 | 5 | 2091.4 | 2091.8 | 0.4 | | газ |
| - | CIVI | | 2071.5 | 2071.2 | 2.7 | 2.5 | 0.21 | 0.23 | 0.71 | 143 | | 2071 | 2070 | | 2093 | 2093.7 | 0.7 | | газ |
| | | | | | | | | | | | | | | | 2095 | 2095.6 | 0.6 | | газ |
| 1 | C1v1 | | | | | 6.8 | | | | | | | | | 2000 | 2075.0 | 4.6 | 0.68 | 1405 |
| 1 | C1v1 | Б | 2096.9 | 2098.1 | 1.2 | 1 | 0.18 | 0.18 | 0.61 | газ | | 2097 | 2110 | 13 | 2097.3 | 2097.6 | 0.3 | 0.00 | газ |
| 1 | C1v1 | Б | 2098.7 | 2099.7 | 1 | 1 | 0.18 | 0.27 | 0.74 | газ | | | 2110 | 10 | 2098.4 | 2098.8 | 0.4 | | газ |
| 1 | C1v1 | | | | | 2 | 0.120 | 0.127 | | | | | | | | | 0.7 | 0.35 | |
| 1 | C1v1 | A | 2075 | 2079.3 | 4.3 | 4.3 | 0.08 | 0.28 | 0.75 | газ | 02.10.2017 | 2073 | 2086 | 13 | 2077.4 | 2078.3 | 0.9 | | газ |
| | | | | | | | | | | | | | | - | 2081.4 | 2083 | 1.6 | | газ |
| 1 | C1v1 | A | 2091.3 | 2094.2 | 2.9 | 2.5 | 0.21 | 0.23 | 0.71 | газ | | 2091 | 2096 | 5 | 2092.4 | 2093.2 | 0.8 | | Газ+жидкость |
| 1 | C1v1 | | | | | 6.8 | | | | | | | | | | | 3.3 | 0.49 | |
| 1 | C1v1 | Б | 2096.9 | 2098.1 | 1.2 | 1 | 0.18 | 0.18 | 0.61 | газ | | | | | | | | | |
| 1 | C1v1 | Б | 2098.7 | 2099.7 | 1 | 1 | 0.18 | 0.27 | 0.74 | газ | | | | | | | | | |
| 1 | C1v1 | Б | 2101.7 | 2109.4 | 7.7 | 7.2 | 0.02 | 0.13 | 0.57 | газ | | 2097 | 2110 | 13 | 2101.4 | 2102.4 | 1 | | Газ+жидкость |
| 1 | C1v1 | Б | 2116.8 | 2125.1 | 8.3 | 4.3 | - | 0.17 | 0.43 | газ | | | | | | | | | , , |
| 1 | C1v1 | | | | | 13.5 | | | | | | | | | | | 1 | 0.07 | |
| 1 | C1v1 | A | 2075 | 2079.3 | 4.3 | 4.3 | 0.08 | 0.28 | 0.75 | газ | 28.06.2018 | 2073 | 2086 | 13 | 2077 | 2078 | 1 | | газ |
| | | | | | | | | | | | | | | | 2078.6 | 2080.3 | 1.7 | | газ |
| | | | | | | | | | | | | | | | 2083.5 | 2085 | 1.5 | | газ |
| 1 | C1v1 | A | 2091.3 | 2094.2 | 2.9 | 2.5 | 0.21 | 0.23 | 0.71 | газ | | 2091 | 2096 | 5 | 2092.4 | 2093.4 | 1 | | Газ+жидкость |
| 1 | C1v1 | | | | | 6.8 | | | | | | | | | | | 5.2 | 0.76 | |
| 1 | C1v1 | Б | 2096.9 | 2098.1 | 1.2 | 1 | 0.18 | 0.18 | 0.61 | газ | | | | | | | | | |
| 1 | C1v1 | Б | 2098.7 | 2099.7 | 1 | 1 | 0.18 | 0.27 | 0.74 | газ | | 2097 | 2110 | 13 | 2098.7 | 2099.9 | 1.2 | | Газ+жидкость |
| 1 | C1v1 | Б | 2101.7 | 2109.4 | 7.7 | 7.2 | 0.02 | 0.13 | 0.57 | газ | | | | | | | | | |
| 1 | C1v1 | | | | | 9.2 | | | | | | | | | | | 1.2 | 0.13 | |
| 1 | C1v1 | A | 2075 | 2079.3 | 4.3 | 4.3 | 0.08 | 0.28 | 0.75 | газ | 28.12.2019 | 2073 | 2086 | 13 | 2076.6 | 2077.5 | 0.9 | | газ |
| | | | | | | | | | | | | | | | 2080.2 | 2082.1 | 1.9 | | газ |

| Продолжение | | | | | | Ι ο | | 10 | | | 1 10 | | | 1 | | 1.0 | 1 10 | 1 | |
|-------------|------|---|-------------|--------|-----|------|---------|-------|------|------|------------|--------|--------|------|--------------|--------|----------|------|------------------|
| 1 | 2 | 3 | 5 | 6 | 7 | 8 | 9 | 10 | 11 | 12 | 13 | 14 | 15 | 16 | 17 | 18 | 19 | 20 | 21 |
| | | | | | | | | | | | | | | | 2084 | 2085 | 1 | | газ |
| 1 | C1v1 | A | 2091.3 | 2094.2 | 2.9 | 2.5 | 0.21 | 0.23 | 0.71 | газ | | 2091 | 2096 | 5 | | | | | Не работает |
| 1 | C1v1 | | | | | 6.8 | | | | | | | | | | | 3.8 | 0.56 | |
| 1 | C1v1 | Б | 2101.7 | 2109.4 | 7.7 | 7.2 | 0.02 | 0.13 | 0.57 | газ | - | 2097 | 2110 | 13 | - | - | - | - | перекрыт осадком |
| 4 | C1v1 | A | 2091.6 | 2093.9 | 2.3 | 2.3 | 0.16 | 0.1 | 0.56 | газ | 2011г. | 2092 | 2134 | 42 | 2092.1 | 2092.6 | 0.5 | | газ+вода |
| | | | | | | | | | | | | 2104.4 | 2154.3 | 49.9 | 2094.8 | 2095.1 | 0.3 | | газ+вода |
| | | | | | | | | | | | | 2106 | 2135 | 29 | 2097.6 | 2098 | 0.4 | | газ+вода |
| | | | | | | | | | | | | | | | 2099.4 | 2099.9 | 0.5 | | газ+вода |
| | | | | | | | | | | | | | | | 2101.8 | 2102.2 | 0.4 | | газ+вода |
| 4 | C1v1 | A | 2103.3 | 2104.7 | 1.4 | 1.4 | 0.16 | 0.22 | 0.73 | газ | | | | | 2102.6 | 2103 | 0.4 | | газ+вода |
| 4 | C1v1 | A | 2106 | 2106.9 | 0.9 | 0.9 | 0.19 | 0.1 | 0.61 | газ | | | | | 2104.2 | 2104.5 | 0.3 | | газ+вода |
| 4 | C1v1 | A | 2109.8 | 2110.6 | 0.8 | 0.6 | 0.19 | 0.16 | 0.66 | газ | | | | | 2107 | 2107.3 | 0.3 | | газ+вода |
| 4 | C1v1 | A | 2111.8 | 2117.8 | 6 | 5.8 | 0.19 | 0.15 | 0.61 | газ | | | | | 2113.7 | 2115.1 | 1.4 | | газ+вода |
| 4 | C1v1 | | | | | 11 | | | | | | | | | | | 4.5 | 0.41 | |
| 6 | C1v1 | A | 2117.8 | 2119.9 | 2.1 | 2.1 | 0.23 | 0.14 | 0.65 | газ | 26.08.2011 | 2115 | 21.40 | 25 | | | | | |
| 6 | C1v1 | Α | 2123 | 2123.8 | 0.8 | 0.8 | 0.35 | 0.15 | 0.67 | газ | | 2115 | 2140 | 25 | 2124.8 | 2125.4 | 0.6 | | Газ |
| 6 | C1v1 | Α | 2125.3 | 2131.4 | 6.1 | 6.1 | 0.17 | 0.14 | 0.58 | газ | | | | | 2126.1 | 2126.5 | 0.4 | | Газ |
| | | | | | | | | | | | | | | | 2127.9 | 2128.3 | 0.4 | | Газ |
| | | | | | | | | | | | | | | | 2129.7 | 2130.4 | 0.7 | | Газ |
| | | | | | | | | | | | | | | | 2131 | 2131.4 | 0.4 | | Газ |
| | | | | | | | | | | | | | | | 2132.9 | 2133.2 | 0.3 | | Газ |
| 6 | C1v1 | A | 2137.9 | 2138.8 | 0.9 | 0.9 | 0.4 | 0.19 | - | газ | | | | | 2137.4 | 2138.1 | 0.7 | | Газ |
| 6 | C1v1 | | | | 412 | 9.9 | 011 | 0.127 | | | | | | | | | 3.5 | 0.35 | |
| 6 | C1v1 | Б | 2145.5 | 2147.8 | 2.3 | 2.3 | 0.22 | 0.13 | 0.64 | газ | | | | | | | | | |
| 6 | C1v1 | Б | 2149.8 | 2154.8 | 5 | 5 | 0.09 | 0.1 | - | газ | | 2145 | 2155 | 10 | 2149.5 | 2150.5 | 1 | | Газ + вода |
| | | | | | | | 0.00 | 0.12 | | | | | | | 2151.9 | 2152.7 | 0.8 | | Газ + вода |
| 6 | C1v1 | Б | 2158.4 | 2162 | 3.6 | 3.6 | 0.33 | 0.25 | 0.86 | газ | | | | | 2101.5 | 210217 | 0.0 | | Тиз Води |
| 6 | C1v1 | Б | 2171.6 | 2176.9 | 5.3 | 5.3 | 0.29 | 0.1 | 0.5 | газ | | | | | | | | | |
| 6 | C1v1 | | 217110 | 21700 | 0.0 | 16.2 | 0.27 | 0.1 | 0.0 | 1.00 | | | | | | | 1.8 | 0.11 | |
| 6 | C1v1 | Α | 2117.8 | 2119.9 | 2.1 | 2.1 | 0.23 | 0.14 | 0.65 | газ | 08.10.2017 | 2090 | 2211 | 121 | | | | | Не работает |
| 6 | C1v1 | A | 2123 | 2123.8 | 0.8 | 0.8 | 0.35 | 0.15 | 0.67 | газ | 00.13.2017 | | | | 2124.7 | 2125.6 | 0.9 | | Газ |
| 6 | C1v1 | A | 2125.3 | 2131.4 | 6.1 | 6.1 | 0.17 | 0.14 | 0.58 | газ | | | | | 2126.8 | 2128.8 | 2 | | Газ |
| 6 | C1v1 | A | 2137.9 | 2138.8 | 0.9 | 0.9 | 0.4 | 0.19 | - | газ | | | | | 2130 | 2130.9 | 0.9 | | Газ+жидкость |
| 6 | C1v1 | | 2131.7 | 2130.0 | 0.7 | 9.9 | · · · · | 0.17 | | 143 | | | 1 | | 2130 | 2130.7 | 3.8 | 0.38 | т из - жидкость |
| 6 | Clv1 | Б | 2145.5 | 2147.8 | 2.3 | 2.3 | 0.22 | 0.13 | 0.64 | газ | | | 1 | | 2145.9 | 2147.1 | 1.2 | 0.00 | Газ+жидкость |
| 6 | C1v1 | Б | 2149.8 | 2154.8 | 5 | 5 | 0.09 | 0.13 | | газ | | | 1 | | 2148.9 | 2149.8 | 0.9 | | Газ+жидкость |
| 6 | Clv1 | Б | 2158.4 | 2162 | 3.6 | 3.6 | 0.33 | 0.25 | 0.86 | газ | + | | | | 2152 | 2153.7 | 1.7 | | Газ+жидкость |
| 6 | C1v1 | Б | 2171.6 | 2176.9 | 5.3 | 5.3 | 0.29 | 0.23 | 0.5 | газ | + | | | | 2154.6 | 2155.8 | 1.2 | | Газ+жидкость |
| 6 | C1v1 | ע | 21/1.0 | 21/0.7 | 5.5 | 16.2 | 0.23 | 0.1 | 0.5 | 1 43 | + - | | + | | 2134.0 | 2133.0 | 5 | 0.31 | т аз і мидкость |
| 8 | Clvi | | 1764.5 | 1765.8 | 1.3 | 1.3 | 0.1 | 0.17 | 0.57 | FOD | 26.11.2013 | | | | | | 3 | 0.31 | |
| 8 | Clsr | | 1764.3 | 1763.8 | 1.3 | 0.5 | 0.1 | 0.17 | 0.37 | газ | 20.11.2013 | 1769 | 1772 | 3 | | 1 | - | | |
| | | | _ | | | | | | | газ | | 1/09 | 1//2 | 3 | - | - | - | - | - |
| 8 | C1sr | | 1771.1 | 1774.3 | 3.2 | 3.2 | 0.06 | 0.27 | 0.55 | газ | | | | | <u> </u> | | <u> </u> | | |

| Продолжение | - | | | | | | | | | 1 | | | | | | ı | | ı | |
|-------------|------|---|--------|-----------|-----|------|------|------|------|-------------|------------|--------|----------|----|--------|--------|----------|------|---------------------------|
| 1 | 2 | 3 | 5 | 6 | 7 | 8 | 9 | 10 | 11 | 12 | 13 | 14 | 15 | 16 | 17 | 18 | 19 | 20 | 21 |
| 8 | C1sr | | 1776.9 | 1778.9 | 2 | 2 | 0.06 | 0.35 | 0.69 | газ | | 1775 | 1780 | 5 | 1777 | 1777.6 | 0.6 | | Газ + вода |
| 8 | C1sr | | 1783.6 | 1788.2 | 4.6 | 3.6 | 0 | 0.11 | 0.65 | не ясно | | 1783 | 1791 | 8 | 1787.9 | 1790 | 2.1 | | Вода |
| 8 | C1sr | | 2175.3 | 2176 | 0.7 | - | 0.2 | - | - | уголь | | 2074 | 2088 | 14 | - | - | - | | - |
| 8 | C1sr | | | | | 10.6 | | | | | | | | | | | 2.7 | 0.25 | |
| 8 | C1sr | | 1764.5 | 1765.8 | 1.3 | 1.3 | 0.1 | 0.17 | 0.57 | газ | | | | | | | | | |
| 8 | C1sr | | 1767.7 | 1768.9 | 1.2 | 0.5 | 0.29 | 0.27 | 0.4 | газ | 31.12.2020 | 1769 | 1772 | 3 | - | - | - | | - |
| 8 | C1sr | | 1771.1 | 1774.3 | 3.2 | 3.2 | 0.06 | 0.27 | 0.55 | газ | | | | | | | | | |
| 8 | C1sr | | 1776.9 | 1778.9 | 2 | 2 | 0.06 | 0.35 | 0.69 | газ | | 1775 | 1780 | 5 | 1775 | 1776.5 | 1.5 | | Газ + вода |
| 8 | C1sr | | 1783.6 | 1788.2 | 4.6 | 3.6 | 0 | 0.11 | 0.65 | не ясно | | 1783 | 1791 | 8 | 1782.3 | 1790.9 | 8.6 | | Вода |
| 8 | C1sr | | 2175.3 | 2176 | 0.7 | - | 0.2 | - | - | уголь | | 2074 | 2088 | 14 | - | - | - | | - |
| 8 | C1sr | | | | | 10.6 | | | | | | | | | | | 10.1 | 0.95 | |
| 101 | | | | | | | | | | | 12.12.2019 | 2074.5 | 2076.5 | 2 | | | | | Не работает |
| 101 | C1v1 | A | 2080.6 | 2082.1 | 1.5 | 1.5 | 0.21 | 0.2 | 0.68 | газ | | 2078 | 2090 | 12 | 2082 | 2083.4 | 1.4 | | Газ ч/з столб жидкости |
| 101 | C1v1 | A | 2085.4 | 2086.4 | 1 | 1 | 0.12 | 0.24 | 0.83 | газ | | | | | 2085.9 | 2087.3 | 1.4 | | Газ ч/з столб жидкости |
| 101 | C1v1 | Б | 2099.4 | 2101.5 | 2.1 | 2.1 | 0.24 | 0.16 | 0.74 | газ | | 2094 | 2096 | 2 | | | | | Не работает |
| 101 | | | | | | | | | | | | 2099 | 2102 | 3 | 2099.7 | 2101.1 | 1.4 | | Газ ч/з столб жидкости |
| 101 | C1v1 | Б | 2104.1 | 2105.2 | 1.1 | 1.1 | 0.2 | 0.2 | 0.72 | газ | | 2104 | 2110 | 6 | 2104.1 | 2105 | 0.9 | | Газ ч/з столб жидкости |
| 101 | C1v1 | Б | 2106.5 | 2107.4 | 0.9 | 0.9 | 0.18 | 0.19 | 0.76 | газ | | | | | 2105.5 | 2107.3 | 1.8 | | Газ ч/з столб жидкости |
| 101 | C1v1 | | | | | 6.6 | | | | | | | | | | | 6.9 | 1.00 | |
| | | | | | | | | | | | | 2120 | 2129 | 9 | 2125.5 | 2129 | 3.5 | | Слабый газ+вода |
| | | | | | | | | | | | | | | | | | | | |
| 102 | C1v1 | A | 2129.8 | 2130.8 | 1 | 1 | 0.06 | 0.11 | 0.54 | газ | 30.12.2017 | 2130 | 2134 | 4 | 2130.6 | 2131.4 | 0.8 | | Газ ч/з столб жидкости |
| 102 | C1v1 | A | 2131.6 | 2133.5 | 1.9 | 0.9 | 0.22 | - | - | газ | | | | | 2132.3 | 2133.3 | 1 | | Газ ч/з столб жидкости |
| | | | | | | | | | | | | 21.12 | 21.10 | 5 | 2143.3 | 2144.8 | 1.5 | | Газ ч/з столб жидкости |
| 102 | C1v1 | A | 2142.8 | 2147.6 | 4.8 | 4.8 | 0.08 | 0.21 | 0.77 | газ | | 2143 | 2148 | | 2145.5 | 2147.7 | 2.2 | | Газ ч/з столб жидкости |
| 100 | G1 1 | | | | 5.5 | 4.5 | 0.2 | 0.1 | 0.5 | газ | | 2154 | 2161 | 7 | 2154.7 | 2155.6 | 0.9 | | Газ ч/з столб жидкости |
| 102 | C1v1 | A | 2154.8 | 2160.3 | | | | | | | | | | | 2158.2 | 2160.4 | 2.2 | | Газ ч/з столб жидкости |
| 102 | C1v1 | | | | | 11.2 | | | | | | | | | | | 8.6 | 0.77 | , , |
| 102 | C1v1 | Б | 2163 | 2164.3 | 1.3 | 1.3 | 0.07 | 0.14 | 0.67 | газ | | 2163 | 2169 | 6 | 2163 | 2164 | 1 | | Газ ч/з столб жидкости |
| | | | | | | | | | | | | | | | 2166.3 | 2169 | 2.7 | | Газ ч/з столб жидкости |
| 102 | C1v1 | Б | 2183.6 | 2189.3 | 5.7 | 4.7 | 0.21 | | - | не ясно/газ | | 2183 | 2190 | 7 | | | | | Замерами охвачен частично |
| 102 | C1v1 | | | | | 6 | | | | | | | | | | | 3.7 | 0.62 | |
| 102 | C1v1 | A | 2129.8 | 2130.8 | 1 | 1 | 0.06 | 0.11 | 0.54 | газ | 03.03.2018 | 2130 | 2134 | 4 | 2131 | 2131.5 | 0.5 | | Газ ч/з столб жидкости |
| 102 | C1v1 | A | 2131.6 | 2133.5 | 1.9 | 0.9 | 0.22 | - | - | газ | | | <u> </u> | | 2131.9 | 2132.6 | 0.7 | | Газ ч/з столб жидкости |
| | | | | 1 1 1 1 1 | | | | | | | | | | | 2133.4 | 2134 | 0.6 | | Газ ч/з столб жидкости |
| 102 | C1v1 | A | 2142.8 | 2147.6 | 4.8 | 4.8 | 0.08 | 0.21 | 0.77 | газ | | 2143 | 2148 | 5 | 2147.2 | 2148 | 0.8 | | Газ ч/з столб жидкости |
| 102 | C1v1 | A | 2150.9 | 2152.4 | 1.5 | - | 0.23 | - | - | уголь | | -1.0 | | | | 21.0 | 0.0 | | 2 23 23 TONG MILANOVIII |
| | | | | | 5.5 | 4.5 | 0.23 | 0.1 | 0.5 | газ | | 2154 | 2161 | 7 | | | | | |
| 102 | C1v1 | A | 2154.8 | 2160.3 | 0.0 | 1.0 | 0.2 | 0.1 | 0.0 | 143 | | 210 . | 2101 | , | | | | | |
| 102 | C1v1 | | | | | 11.2 | | | | 1 | | | | | | | 2.6 | 0.23 | |
| 102 | C1v1 | Б | 2163 | 2164.3 | 1.3 | 1.3 | 0.07 | 0.14 | 0.67 | газ | | 2163 | 2169 | 6 | | | 2.0 | 0.00 | |
| 102 | CIVI | ע | 2103 | 210T.J | 1.3 | 1.5 | 0.07 | 0.17 | 0.07 | 1 43 | | 2103 | 2107 | | | | <u> </u> | 0.00 | |

| 1 | 2 | 3 | 5 | 6 | 7 | 8 | 9 | 10 | 11 | 12 | 13 | 14 | 15 | 16 | 17 | 18 | 19 | 20 | 21 |
|-----|------|---|--------|--------|-----|------|------|------|------|-------------|------------|------|------|----|--------|--------|-----|------|------------------------------|
| 102 | C1v1 | | | | | 1.3 | | | | | | | | | | | 0 | 0.00 | |
| 102 | C1v1 | A | 2129.8 | 2130.8 | 1 | 1 | 0.06 | 0.11 | 0.54 | газ | 20.03.2018 | 2130 | 2134 | 4 | 2130.7 | 2132.1 | 1.4 | | Газ ч/з столб жидкости |
| 102 | C1v1 | A | 2131.6 | 2133.5 | 1.9 | 0.9 | 0.22 | - | - | газ | | | | | 2133.2 | 2134 | 0.8 | | Газ ч/з столб жидкости |
| | | | | | | | | | | | | 2143 | 2148 | 5 | 2143 | 2143.9 | 0.9 | | Газ ч/з столб жидкости |
| 102 | C1v1 | A | 2142.8 | 2147.6 | 4.8 | 4.8 | 0.08 | 0.21 | 0.77 | газ | | | | | 2146 | 2147.5 | 1.5 | | Газ ч/з столб жидкости |
| 102 | C1v1 | A | 2154.8 | 2160.3 | 5.5 | 4.5 | 0.2 | 0.1 | 0.5 | газ | | 2154 | 2161 | 7 | 2155.3 | 2156.6 | 1.3 | | Газ ч/з столб жидкости |
| | | | | | | | | | | | | | | | 2158.4 | 2159.4 | 1 | | Вода с газом |
| 102 | C1v1 | | | | | 11.2 | | | | | | | | | | | 6.9 | 0.62 | |
| 102 | C1v1 | Б | 2163 | 2164.3 | 1.3 | 1.3 | 0.07 | 0.14 | 0.67 | газ | | 2163 | 2169 | 6 | 2165.5 | 2167.4 | 1.9 | | Вода |
| | | | | | | | | | | | | | | | 2167.8 | 2169 | 1.2 | | Вода |
| 102 | C1v1 | Б | 2183.6 | 2189.3 | 5.7 | 4.7 | 0.21 | | - | не ясно/газ | | 2183 | 2190 | 7 | 2183 | 2190 | 5.7 | | замерами охвачен частично |
| 102 | C1v1 | | | | | 6 | | | | | | | | | | | 8.8 | 1.47 | |
| 102 | C1v1 | A | 2129.8 | 2130.8 | 1 | 1 | 0.06 | 0.11 | 0.54 | газ | 15.07.2019 | 2130 | 2134 | 4 | | | | | Не работает |
| 102 | C1v1 | A | 2131.6 | 2133.5 | 1.9 | 0.9 | 0.22 | - | - | газ | | | | | | | | | |
| 102 | C1v1 | A | 2142.8 | 2147.6 | 4.8 | 4.8 | 0.08 | 0.21 | 0.77 | газ | | 2143 | 2148 | 5 | 2143.2 | 2146.9 | 3.7 | | Газ ч/з столб жидкости |
| 102 | C1v1 | A | 2150.9 | 2152.4 | 1.5 | - | 0.23 | - | - | уголь | | | | | | | | | |
| 102 | C1v1 | A | 2154.8 | 2160.3 | 5.5 | 4.5 | 0.2 | 0.1 | 0.5 | газ | | 2154 | 2161 | 7 | 2154.5 | 2157.8 | 3.3 | | Газ ч/з столб жидкости |
| 102 | C1v1 | | | | | 11.2 | | | | | | | | | | | 7 | 0.63 | |
| 102 | C1v1 | Б | 2163 | 2164.3 | 1.3 | 1.3 | 0.07 | 0.14 | 0.67 | газ | | 2163 | 2169 | 6 | 2164.6 | 2167.4 | 2.8 | | Газ ч/з столб жидкости |
| 102 | C1v1 | Б | 2183.6 | 2189.3 | 5.7 | 4.7 | 0.21 | | - | не ясно/газ | | 2183 | 2190 | 7 | | | | | Не работает |
| 102 | C1v1 | | | | | 6 | | | | | | | | | | | 2.8 | 0.47 | |
| 102 | C1v1 | A | 2129.8 | 2130.8 | 1 | 1 | 0.06 | 0.11 | 0.54 | газ | 19.07.2020 | 2130 | 2134 | 4 | | | | | Не работает |
| 102 | C1v1 | A | 2131.6 | 2133.5 | 1.9 | 0.9 | 0.22 | - | - | газ | | | | | | | | | |
| 102 | C1v1 | A | 2142.8 | 2147.6 | 4.8 | 4.8 | 0.08 | 0.21 | 0.77 | газ | | 2143 | 2148 | 5 | 2146.6 | 2148 | 1.4 | | Газ ч/з столб жидкости |
| 102 | C1v1 | A | 2150.9 | 2152.4 | 1.5 | - | 0.23 | - | - | уголь | | | | | | | | | |
| 102 | C1v1 | A | 2154.8 | 2160.3 | 5.5 | 4.5 | 0.2 | 0.1 | 0.5 | газ | | 2154 | 2161 | 7 | 2154.8 | 2157 | 2.2 | | Газ ч/з столб жидкости |
| | | | | | | | | | | | | | | | 2157.8 | 2159.3 | 1.5 | | Газ ч/з столб жидкости |
| 102 | C1v1 | | | | | 11.2 | | | | | | | | | | | 5.1 | 0.46 | |
| 102 | C1v1 | Б | 2163 | 2164.3 | 1.3 | 1.3 | 0.07 | 0.14 | 0.67 | газ | | 2163 | 2169 | 6 | 2165.5 | 2168 | 2.5 | | Вода |
| 102 | C1v1 | Б | 2183.6 | 2189.3 | 5.7 | 4.7 | 0.21 | | - | не ясно/газ | | 2183 | 2190 | 7 | - | - | - | | Не работает |
| 102 | C1v1 | | | | | 6 | | | | | | | | | | | 2.5 | 0.42 | |
| 103 | C1v1 | A | 2089.8 | 2098.6 | 8.8 | 8.8 | 0.1 | 0.16 | 0.69 | газ | 28.12.2017 | 2089 | 2099 | 10 | 2090 | 2090.9 | 0.9 | | газ ч/з столб жидкости |
| | | | | | | | | | | | | | | | 2092.4 | 2093.3 | 0.9 | | газ ч/з столб жидкости |
| | | | | | | | | | | | | | | | 2095.3 | 2096.3 | 1 | | газ ч/з столб жидкости |
| | | | | | | | | | | | | | | | 2097.4 | 2098.2 | 0.8 | | слабо газ ч/з столб жидкости |
| 103 | C1v1 | | | | | 8.8 | | | | | | | | | | | 3.6 | 0.41 | |
| 103 | C1v1 | Б | 2112.1 | 2114.3 | 2.2 | 2.2 | 0.16 | 0.14 | 0.66 | газ | | 2111 | 2115 | 4 | 2113.5 | 2114.3 | 0.8 | | слабо вода с газом |
| 103 | C1v1 | | | | | 2.2 | | | | | | | | | | | 0.8 | 0.36 | |

| 1 1 | 2 | 3 | 5 | 6 | 7 | 8 | 9 | 10 | 11 | 12 | 13 | 14 | 15 | 16 | 17 | 18 | 19 | 20 | 21 |
|-----|------|---|--------|--------|------|------|------|------|------|---------|------------|------|------|----|--------|--------|-----|------|------------------------|
| 103 | C1v1 | A | 2089.8 | 2098.6 | 8.8 | 8.8 | 0.1 | 0.16 | 0.69 | газ | 29.06.2018 | 2089 | 2099 | 10 | | | | | |
| | | | | | | | | | | | | | | | 2095.7 | 2096.7 | 1 | | Газ |
| | | | | | | | | | | | | | | | 2098 | 2099 | 1 | | газ ч/з столб жидкости |
| 103 | C1v1 | | | | | 8.8 | | | | | | | | | | | 2 | 0.23 | |
| 103 | C1v1 | Б | 2112.1 | 2114.3 | 2.2 | 2.2 | 0.16 | 0.14 | 0.66 | газ | | 2111 | 2115 | 4 | 2112.2 | 2113.1 | 0.9 | | терм. |
| 103 | C1v1 | Б | | | | 2.2 | | | | | | | | | | | 0.9 | 0.41 | · |
| 103 | C1v1 | A | 2089.8 | 2098.6 | 8.8 | 8.8 | 0.1 | 0.16 | 0.69 | газ | 22.12.2019 | 2089 | 2099 | 10 | 2089.8 | 2091.7 | 1.9 | | Газ |
| | | | | | | | | | | | | | | | 2094.4 | 2095.4 | 1 | | Газ |
| | | | | | | | | | | | | | | | 2095.8 | 2097.3 | 1.5 | | Газ |
| | | | | | | | | | | | | | | | 2098.1 | 2099 | 0.9 | | Газ |
| 103 | C1v1 | | | | | 8.8 | | | | | | | | | | | 5.3 | 0.60 | |
| 103 | C1v1 | Б | 2112.1 | 2114.3 | 2.2 | 2.2 | 0.16 | 0.14 | 0.66 | газ | | 2111 | 2115 | 4 | 2112.8 | 2113.8 | 1 | | Слабый газ |
| 103 | C1v1 | | | | | 2.2 | | | | | | | | | | | 1 | 0.45 | |
| 104 | C1v1 | A | 2067.6 | 2070 | 2.4 | 2.4 | 0.17 | 0.1 | 0.45 | газ | 10.01.2019 | 2067 | 2072 | 5 | 2069 | 2070.6 | 1.6 | | Газ ч/з столб жидкости |
| 104 | C1v1 | A | 2073.8 | 2074.6 | 0.8 | 0.8 | 0.19 | 0.1 | 0.58 | газ | | 2073 | 2075 | 2 | 2074.2 | 2075 | 0.8 | | Газ ч/з столб жидкости |
| 104 | C1v1 | A | 2079.4 | 2092.5 | 13.1 | 13.1 | 0.17 | 0.18 | 0.74 | газ | | 2079 | 2100 | 21 | 2079 | 2079.8 | 0.8 | | Газ ч/з столб жидкости |
| | | | | | | | | | | | | | | | 2080.7 | 2081.7 | 1 | | Газ ч/з столб жидкости |
| | | | | | | | | | | | | | | | 2083 | 2085.6 | 2.6 | | Газ ч/з столб жидкости |
| | | | | | | | | | | | | | | | 2086 | 2088.4 | 2.4 | | Газ ч/з столб жидкости |
| | | | | | | | | | | | | | | | 2091.2 | 2092.5 | 1.3 | | Газ ч/з столб жидкости |
| 104 | C1v1 | A | 2092.5 | 2099.6 | 7.1 | 7.1 | 0.16 | 0.16 | 0.68 | газ | | | | | 2093.2 | 2094.8 | 1.6 | | Газ ч/з столб жидкости |
| | | | | | | | | | | | | | | | 2095.8 | 2096.7 | 0.9 | | Газ ч/з столб жидкости |
| | | | | | | | | | | | | | | | 2098 | 2099 | 1 | | Газ ч/з столб жидкости |
| 104 | C1v1 | | | | | 23.4 | | | | | | | | | | | 14 | 0.60 | |
| 104 | C1v1 | Б | 2105.9 | 2106.6 | 0.7 | 0.7 | 0.36 | 0.18 | 0.74 | газ | - | 2106 | 2115 | 9 | - | - | - | | Не работает |
| 104 | C1v1 | Б | 2107.4 | 2108.6 | 1.2 | 1.2 | 0.18 | 0.12 | 0.66 | газ | | | | | 2107.4 | 2108.6 | 1.2 | | Газ ч/з столб жидкости |
| 104 | C1v1 | Б | 2109 | 2111.7 | 2.7 | 2.7 | 0.25 | 0.13 | 0.69 | газ | | | | | 2109.6 | 2110.6 | 1 | | Газ ч/з столб жидкости |
| 104 | C1v1 | Б | 2112.4 | 2113.7 | 1.3 | 1.3 | 0.26 | 0.12 | 0.64 | газ | | | | | 2111.7 | 2113.7 | 2 | | Слабый газ |
| 104 | C1v1 | Б | | | | 5.9 | | | | | | | | | | | 4.2 | 0.71 | |
| 104 | | | 2134.5 | 2138.8 | 4.3 | 4.3 | 0.28 | - | - | сланцы | | 2134 | 2138 | 4 | | | | | Не работает |
| 105 | C1v1 | A | 2129.2 | 2131.5 | 2.3 | 2.3 | 0.1 | 0.2 | 0.68 | газ | 16.01.2019 | 2129 | 2136 | 7 | | | | | Не работает |
| 105 | C1v1 | A | 2140.4 | 2146.7 | 6.3 | 6.3 | 0.12 | 0.21 | 0.71 | газ | | 2140 | 2149 | 9 | 2143.4 | 2144.8 | 1.4 | | Газ ч/з столб жидкости |
| | | | | | | | | | | | | | | | 2145.3 | 2147.4 | 2.1 | | Газ ч/з столб жидкости |
| 105 | C1v1 | A | 2159.6 | 2161.4 | 1.8 | 1 | 0.21 | 0.19 | 0.7 | не ясно | | 2160 | 2162 | 2 | | | | | Не работает |
| 105 | C1v1 | | | | | 9.6 | | | | | | | | | | | 3.5 | 0.36 | |
| 105 | C1v1 | Б | 2165.3 | 2166.3 | 1 | 1 | 0.14 | 0.21 | 0.5 | газ | | 2165 | 2176 | 11 | | | | | Не работает |
| 105 | C1v1 | Б | 2194.5 | 2199.7 | 5.2 | 3.5 | 0.21 | 0.16 | 0.69 | не ясно | | 2190 | 2200 | 10 | | | | | Не работает |
| 105 | C1v1 | | | | | 4.5 | | | | | | | | | | | 0 | 0.00 | |
| 105 | C1v1 | A | 2129.2 | 2131.5 | 2.3 | 2.3 | 0.1 | 0.2 | 0.68 | газ | 18.07.2019 | 2129 | 2136 | 7 | | | | | Не работает |

| Продолжение | приложен | ия ээ | | | | | | | | | | | | | | | | | |
|-------------|----------|-------|--------|--------|-----|-----|------|------|------|---------|----------------|------|------|----------|--------|--------|-----|------|------------------------|
| 1 | 2 | 3 | 5 | 6 | 7 | 8 | 9 | 10 | 11 | 12 | 13 | 14 | 15 | 16 | 17 | 18 | 19 | 20 | 21 |
| 105 | C1v1 | A | 2140.4 | 2146.7 | 6.3 | 6.3 | 0.12 | 0.21 | 0.71 | газ | | 2140 | 2149 | 9 | 2141 | 2145.3 | 4.3 | | Газ ч/з столб жидкости |
| | | | | | | | | | | | | | | | 2147.2 | 2148.2 | 1 | | Газ ч/з столб жидкости |
| 105 | C1v1 | A | 2159.6 | 2161.4 | 1.8 | 1 | 0.21 | 0.19 | 0.7 | не ясно | | 2160 | 2162 | 2 | | | | | Не работает |
| 105 | C1v1 | | | | | 9.6 | | | | | | | | | | | 5.3 | 0.55 | |
| 105 | C1v1 | Б | 2165.3 | 2166.3 | 1 | 1 | 0.14 | 0.21 | 0.5 | газ | | 2165 | 2176 | 11 | 2165.2 | 2167.1 | 1.9 | | Газ ч/з столб жидкости |
| 105 | C1v1 | Б | 2194.5 | 2199.7 | 5.2 | 3.5 | 0.21 | 0.16 | 0.69 | не ясно | | 2190 | 2200 | 10 | | | | | Не работает |
| 105 | C1v1 | | | | | 4.5 | | | | | | | | | | | 1.9 | 0.42 | |
| 105 | C1v1 | A | 2129.2 | 2131.5 | 2.3 | 2.3 | 0.1 | 0.2 | 0.68 | газ | 29.01.2019 | 2129 | 2136 | 7 | | | | | Не работает |
| 105 | C1v1 | A | 2140.4 | 2146.7 | 6.3 | 6.3 | 0.12 | 0.21 | 0.71 | газ | | 2140 | 2149 | 9 | 2141.6 | 2143.8 | 2.2 | | Газ ч/з столб жидкости |
| | | | | | | | | | | | | | | | 2146.4 | 2149 | 2.6 | | Слабая работа |
| 105 | C1v1 | A | 2159.6 | 2161.4 | 1.8 | 1 | 0.21 | 0.19 | 0.7 | не ясно | | 2160 | 2162 | 2 | 2161 | 2162 | 1 | | Слабая работа |
| 105 | C1v1 | | | | | 9.6 | | | | | | | | | | | 5.8 | 0.60 | |
| 105 | C1v1 | Б | 2165.3 | 2166.3 | 1 | 1 | 0.14 | 0.21 | 0.5 | газ | | 2165 | 2176 | 11 | | | | | |
| 105 | C1v1 | Б | 2173.5 | 2175.9 | 2.4 | 2.4 | 0.1 | 0.19 | 0.62 | газ | | | | | 2170.9 | 2174.6 | 3.7 | | Слабая работа |
| 105 | C1v1 | Б | 2194.5 | 2199.7 | 5.2 | 3.5 | 0.21 | 0.16 | 0.69 | не ясно | | 2190 | 2200 | 10 | | | | | не охвачен |
| 105 | C1v1 | | | | | 6.9 | | | | | | | | | | | 3.7 | 0.54 | |
| 106 | C1v1 | A | 2114.9 | 2117.5 | 2.6 | 2.6 | 0.13 | 0.19 | 0.78 | газ | 25.11.2019 | 2115 | 2124 | 9 | 2115 | 2116.6 | 1.6 | | Газ ч/з столб жидкости |
| 106 | C1v1 | A | 2123.6 | 2127.2 | 3.6 | - | 0.32 | - | - | уголь | | 2126 | 2130 | 4 | 2126 | 2130 | 4 | | не работает |
| 106 | C1v1 | | | | | 2.6 | | | | | | | | | | | 5.6 | 2.15 | |
| 106 | C1v1 | Б | 2133 | 2133.8 | 0.8 | 0.8 | 0.12 | 0.2 | 80 | газ | | 2132 | 2136 | 4 | 2132.3 | 2133.8 | 1.5 | | Вода с газом |
| 106 | C1v1 | Б | 2134.6 | 2135.9 | 1.3 | 1.3 | 0.09 | 0.18 | 0.77 | газ | | | | | 2134.6 | 2136 | 1.4 | | Вода с газом |
| 106 | C1v1 | Б | 2138.6 | 2139.7 | 1.1 | 1.1 | 0.07 | 0.14 | 0.7 | газ | | 2138 | 2140 | 2 | 2138 | 2140 | 2 | | Вода с газом |
| 106 | C1v1 | Б | 2158.6 | 2163.2 | 4.6 | 4.6 | 0.18 | 0.13 | 0.75 | газ | | 2157 | 2163 | 6 | | | | | Замерами не охвачен |
| 106 | C1v1 | | | | | 7.8 | | | | | | | | | | | 4.9 | 0.63 | |
| 106 | C1v1 | A | 2114.9 | 2117.5 | 2.6 | 2.6 | 0.13 | 0.19 | 0.78 | газ | 12.01.2020 | 2115 | 2124 | 9 | 2115 | 2116.9 | 1.9 | | Газ |
| 106 | C1v1 | A | 2118.7 | 2119.3 | 0.6 | 0.6 | 0.1 | 0.15 | 0.73 | газ | | | | | 2117.7 | 2119 | 1.3 | | Газ |
| 106 | C1v1 | A | 2123.6 | 2127.2 | 3.6 | - | 0.32 | - | - | уголь | | | | | 2120.5 | 2121.1 | 0.6 | | Газ |
| 106 | C1v1 | A | 2114.9 | 2117.5 | 2.6 | 2.6 | 0.13 | 0.19 | 0.78 | газ | 29.12.2019 | 2115 | 2124 | 9 | 2116.6 | 2118.7 | 2.1 | | Слабая работа |
| 106 | C1v1 | A | 2123.6 | 2127.2 | 3.6 | - | 0.32 | - | - | уголь | | 2126 | 2130 | 4 | 2126.7 | 2127.8 | 1.1 | | Слабая работа |
| 106 | C1v1 | | | | | 5.8 | | | | | | | | | | | 7 | 1.21 | |
| 106 | C1v1 | Б | 2133 | 2133.8 | 0.8 | 0.8 | 0.12 | 0.2 | 80 | газ | | 2132 | 2136 | 4 | 2133 | 2134.1 | 1.1 | | Слабая работа |
| 106 | C1v1 | Б | 2138.6 | 2139.7 | 1.1 | 1.1 | 0.07 | 0.14 | 0.7 | газ | | 2138 | 2140 | 2 | 2138.6 | 2140 | 1.4 | | Газ с незн. |
| 100 | CIVI | ъ | 2130.0 | 2139.7 | 1.1 | 1.1 | 0.07 | 0.14 | 0.7 | 143 | | | | <u> </u> | | | | | кол-вом воды |
| | | | | | | | | | | | 29-30.06.2020г | 2101 | 2104 | 3 | 2103.5 | 2104 | 0.5 | | Газ |
| 106 | C1v1 | | | | | 1.9 | | | | | | | | | | | 3 | 1.58 | |
| 106 | C1v1 | A | 2107.4 | 2108.1 | 0.7 | 0.7 | 0.15 | 0.12 | 0.74 | газ | | 2105 | 2109 | 4 | 2105.4 | 2106.3 | 0.8 | | Газ |
| | | | | | | | | | | | | | | | 2108.2 | 2109 | 0.8 | | Газ |
| | | | | | | | | | | | | 2111 | 2113 | 2 | 2111.9 | 2113 | 1.1 | | Газ |
| 106 | C1v1 | A | 2114.9 | 2117.5 | 2.6 | 2.6 | 0.13 | 0.19 | 0.78 | газ | | 2115 | 2124 | 9 | 2116.1 | 2117.1 | 1 | | Газ ч/з столб жидкости |
| 106 | C1v1 | A | 2118.7 | 2119.3 | 0.6 | 0.6 | 0.1 | 0.15 | 0.73 | газ | | | | | | | | | |

| 1 | 2 | 3 | 5 | 6 | 7 | 8 | 9 | 10 | 11 | 12 | 13 | 14 | 15 | 16 | 17 | 18 | 19 | 20 | 21 |
|-----|------|---|--------|--------|-----|-----|------|------|------|---------|------------|------|------|----|--------|--------|-----|------|------------------------|
| 106 | C1v1 | A | 2123.6 | 2127.2 | 3.6 | - | 0.32 | ı | ı | уголь | | | | | 2121.5 | 2122.4 | 0.9 | | Газ ч/з столб жидкости |
| 106 | C1v1 | | | | | 3.9 | | | | | | | | | | | 4.6 | 1.18 | |
| 107 | C1v1 | A | 2109.3 | 2110.1 | 0.8 | - | 0.57 | - | ı | сланцы | 23.04.2020 | 2102 | 2105 | 3 | | | | | Не работает |
| 107 | C1v1 | A | 2110.1 | 2112.4 | 2.3 | 2.3 | 0.04 | 0.15 | 0.4 | газ | | 2110 | 2113 | 3 | | | | | Не работает |
| 107 | C1v1 | A | 2112.9 | 2113.6 | 0.7 | - | 0.78 | ı | ı | сланцы | | 2114 | 2119 | 5 | | | | | Не работает |
| 107 | C1v1 | | | | | 2.3 | | | | | | | | | | | 0 | 0.00 | |
| 107 | C1v1 | Б | 2130.7 | 2131.3 | 0.6 | 0.6 | 0.2 | 0.11 | ı | газ | 31.12.2019 | 2128 | 2132 | 4 | | | | | Не работает |
| 107 | C1v1 | Б | 2134.2 | 2135.7 | 1.5 | 1.5 | - | 0.14 | 0.01 | вода | | 2134 | 2141 | 7 | 2134 | 2136.8 | 2.8 | | Вода |
| 107 | C1v1 | Б | 2139.3 | 2140.4 | 1.1 | 1.1 | - | 0.12 | 0.01 | вода | | | | 0 | 2138.7 | 2140.4 | 1.7 | | Слабая работа |
| 107 | C1v1 | Б | 2153.8 | 2155.4 | 1.6 | 1.6 | 0.22 | 0.11 | 0.12 | не ясно | | 2151 | 2155 | 4 | | | | | Не работает |
| 107 | C1v1 | Б | 2130.7 | 2131.3 | 0.6 | 0.6 | 0.2 | 0.11 | - | газ | 22.01.2020 | 2128 | 2132 | 4 | | | | | не отмечается |
| 107 | C1v1 | Б | 2134.2 | 2135.7 | 1.5 | 1.5 | - | 0.14 | 0.01 | вода | | 2134 | 2141 | 7 | 2134 | 2136.8 | 2.8 | | вода |
| 107 | C1v1 | Б | 2139.3 | 2140.4 | 1.1 | 1.1 | - | 0.12 | 0.01 | вода | | | | | 2138.7 | 2140.4 | 1.7 | | слабая работа |
| 107 | C1v1 | Б | 2153.8 | 2155.4 | 1.6 | 1.6 | 0.22 | 0.11 | 0.12 | не ясно | | 2151 | 2155 | 4 | | | | | не отмечается |
| 107 | C1v1 | | | | | 9.6 | | | | | | | | | | | 9 | 0.94 | |

Приложение 34 – Сопостовление результатов интерпретации ГИС открытого ствола и ИНГК по скважинам месторождение Айракты

| | | Текущи | е параметры по ИНГК | | | | | | | | | |
|------|------------------|---------------|---------------------|--------|------------------------------|--------------|---------------|-----------------|-----------|-----------------------|-----------|--------------------------|
| №скв | Дата ГИС-к | № плас- та | | | ИС открыто пласта, м подошва | Н общ., м | Кгл, д.ед. | Кп эф, д.ед. | Кг, д.ед. | Характер насыщения | Кг, д.ед. | Характер насыщения |
| 1 | 2 | 3 | 4 | 5 | 6 | 7 | 8 | 9 | 10 | 11 | 12 | 13 |
| 1г | 27-28.12.2019 г. | A | $C_1 v_1$ | 2075,1 | 2078,5 | 3,4 | 26 | 0,31 | 0,71 | газ | 0,52 | газ |
| 1г | | A | $C_1 v_1$ | 2078,5 | 2081 | 2,5 | 24,2 | 0,27 | 0,55 | газ | 0,31 | остаточный газ |
| 1г | | A | $C_1 v_1$ | 2081 | 2082,5 | 1,5 | 17,8 | 0,30 | 0,3 | газ | 0,23 | обводнен |
| 1г | | Б | $C_1 v_1$ | 2091,4 | 2094,2 | 2,8 | 32 | 0,28 | 0,35 | газ | 0,30 | остаточный газ |
| 1г | | Б | $C_1 v_1$ | 2097,2 | 2098,3 | 1,1 | 31,1 | 0,27 | 0,27 | газ | 0,19 | обводнен |
| 1г | | Б | $C_1 v_1$ | 2098,3 | 2099,2 | 0,9 | 29 | 0,30 | 0,34 | газ | 0,25 | обводнен |
| 1г | | Б | $C_1 v_1$ | 2099,2 | 2100,5 | 1,3 | 33,3 | 0,26 | 0,39 | газ | 0,28 | обводнен |
| 8Γ | 30-31.12.2020 г | | C1sr | 1768.3 | 1775 | 6.7 | 14.2 | 15.1 | 52 | УВ | 0.35 | остаточно газонасыщенный |
| 8Γ | | | C1sr | 1775 | 1779.8 | 4.8 | 3.1 | 15.1 | 55 | УВ | 0.37 | остаточно газонасыщенный |
| 8Γ | | | C1sr | 1779.8 | 1783.5 | 3.7 | 11 | 8.6 | 30-50 | УВ | 0.27 | остаточно газонасыщенный |
| 8Γ | | | C1sr | 1783.5 | 1791.2 | 7.7 | 1.75 | 11.1 | 65 | УВ | 0.35 | остаточно газонасыщенный |
| 8г | | | C1sr | 1868.6 | 1870.6 | 2 | 17 | 8.8 | 50 | УВ | 0.13 | обводнен |
| 8Γ | | | C1sr | 1870.6 | 1872 | 1.4 | 27.9 | 7.5 | 22 | ост.газ. | 0.15 | обводнен |
| 8г | | | C1v2-3 | 1906 | 1909 | 3 | 18.1 | 8.55 | 42 | пониж.газ. | 0.23 | обводнен |
| 8г | | | C1v2-3 | 1910.6 | 1915 | 4.4 | 20.2 | 4.2 | 32 | пониж.газ. | 0.22 | обводнен |
| 8г | | | C1v2-3 | 1968 | 1974 | 6 | 17 | 9.9 | 50 | УВ | 0.32 | остаточно газонасыщенный |
| 8г | | | C1v2-3 | 2074 | 2087.8 | 13.8 | 13.4 | 15.4 | 50 | УВ | 0.36 | остаточно газонасыщенный |

| продолж | ение приложения | דע | | | | | | | | | | |
|---------|------------------|----|-----------|--------|--------|-----|------|------|------|-----|------|--------------------------|
| 1 | 2 | 3 | 4 | 5 | 6 | 7 | 8 | 9 | 10 | 11 | 12 | 13 |
| 101 | 12.12.2019 г. | A | $C_1 v_1$ | 2072.9 | 2073.7 | 0.8 | 18.2 | 0.18 | 0.44 | газ | 0.45 | газ |
| 101 | | A | $C_1 v_1$ | 2075.1 | 2076 | 0.9 | 83.6 | 0.13 | 0.54 | газ | 0.47 | газ |
| 101 | | A | $C_1 v_1$ | 2078.5 | 2079.3 | 0.8 | 15.3 | 0.17 | 0.37 | газ | 0.44 | газ |
| 101 | | A | $C_1 v_1$ | 2080.9 | 2081.8 | 0.9 | 16.7 | 0.2 | 0.39 | газ | 0.27 | слабый газ |
| 101 | | A | $C_1 v_1$ | 2085.8 | 2086.4 | 0.6 | 24.8 | 0.2 | 0.49 | газ | 0.42 | газ |
| 101 | | Б | $C_1 v_1$ | 2099.9 | 2100.9 | 1 | 17.2 | 0.19 | 0.4 | газ | 0.41 | газ |
| 101 | | Б | $C_1 v_1$ | 2104.1 | 2105.2 | 1.1 | 16.1 | 0.22 | 0.39 | газ | 0.48 | газ |
| 101 | | Б | $C_1 v_1$ | 2107 | 2107.9 | 0.9 | 25.6 | 0.18 | 0.39 | газ | 0.27 | слабый газ |
| 101 | | | | | | | | | | газ | 0.22 | слабый газ |
| 102 | 15-16.07.2020 г. | A | $C_1 v_1$ | 2129.8 | 2130.8 | 1 | 0.08 | 0.1 | 0.3 | газ | 0.44 | остаточно газонасыщенный |
| 102 | | A | $C_1 v_1$ | 2131.6 | 2133.5 | 1.9 | 0.26 | 0.1 | 0.22 | газ | 0.25 | остаточно газонасыщенный |
| 102 | | A | $C_1 v_1$ | 2143.4 | 2147.6 | 4.2 | 0.08 | 0.17 | 0.63 | газ | 0.44 | остаточно газонасыщенный |
| 102 | | A | $C_1 v_1$ | 2154.8 | 2160.3 | 5.5 | 0.21 | 0.09 | 0.21 | газ | 0 | насыщение не отмечается |
| 102 | | Б | $C_1 v_1$ | 2163.2 | 2164.1 | 0.9 | 0.08 | 0.13 | 0.52 | газ | 0.05 | насыщение не отмечается |
| 102 | | Б | $C_1 v_1$ | 2165.9 | 2170.6 | 4.7 | 0.07 | 0.14 | 0.57 | газ | 0.25 | обводнен |
| 102 | | Б | $C_1 v_1$ | 2170.6 | 2172.6 | 2 | 0.11 | 0.13 | 0.38 | газ | 0.2 | обводнен |
| 102 | 18-19.07.2020г. | Б | $C_1 v_1$ | 2129.8 | 2130.8 | 1 | 0.08 | 0.1 | 0.3 | газ | 0.38 | остаточно газонасыщенный |
| 102 | | Б | $C_1 v_1$ | 2131.6 | 2133.5 | 1.9 | 0.26 | 0.1 | 0.22 | газ | 0.25 | остаточно газонасыщенный |
| 102 | | Б | $C_1 v_1$ | 2143.4 | 2147.6 | 4.2 | 0.08 | 0.17 | 0.63 | газ | 0.55 | остаточно газонасыщенный |
| 102 | | Б | $C_1 v_1$ | 2154.8 | 2160.3 | 5.5 | 0.21 | 0.09 | 0.21 | газ | 0.05 | обводнен |
| 102 | | Б | $C_1 v_1$ | 2163.2 | 2164.1 | 0.9 | 0.08 | 0.13 | 0.52 | газ | 0.26 | обводнен |
| 102 | | Б | $C_1 v_1$ | 2165.9 | 2170.6 | 4.7 | 0.07 | 0.14 | 0.57 | газ | 0.25 | обводнен |
| 102 | | Б | $C_1 v_1$ | 2170.6 | 2172.6 | 2 | 0.11 | 0.13 | 0.38 | газ | 0.19 | обводнен |
| 103 | 29.06.2018г. | A | $C_1 v_1$ | 2089.8 | 2090.3 | 0.5 | 0.2 | 0.1 | 0.46 | газ | 0.45 | остаточно газонасыщенный |

| продолж | родолжение приложения 34 | | | | | | | | | | | | |
|---------|--------------------------|---|-----------|--------|--------|-----|------|------|------|-------|------|--------------------------|--|
| 1 | 2 | 3 | 4 | 5 | 6 | 7 | 8 | 9 | 10 | 11 | 12 | 13 | |
| 103 | | A | $C_1 v_1$ | 2091.4 | 2096 | 4.6 | 0.06 | 0.16 | 0.64 | газ | 0.6 | остаточно газонасыщенный | |
| 103 | | A | $C_1 v_1$ | 2096 | 2097.7 | 1.7 | 0.15 | 0.15 | 0.55 | газ | 0.54 | остаточно газонасыщенный | |
| 103 | | | $C_1 v_1$ | 2101.2 | 2102 | 0.8 | - | - | - | уголь | - | уголь | |
| 103 | | | $C_1 v_1$ | 2102.9 | 2104.1 | 1.2 | - | - | - | уголь | - | уголь | |
| 103 | | | $C_1 v_1$ | 2104.7 | 2105.7 | 1 | - | - | - | уголь | - | уголь | |
| 103 | | | $C_1 v_1$ | 2110.1 | 2110.9 | 0.8 | - | - | - | уголь | - | уголь | |
| 103 | | Б | $C_1 v_1$ | 2112.1 | 2114.3 | 2.2 | 0.16 | 0.13 | 0.55 | газ | 0.2 | обводнен | |
| 103 | | | $C_1 v_1$ | 2121 | 2124.3 | 3.3 | - | - | - | уголь | - | уголь | |
| 103 | 21-22.12.2019 г. | A | $C_1 v_1$ | 2089,8 | 2090,3 | 0,5 | 0,2 | 0,1 | 0,46 | газ | 0,42 | слабый газ | |
| 103 | | A | $C_1 v_1$ | 2091,4 | 2096 | 4,6 | 0,06 | 0,16 | 0,64 | газ | 0,56 | газ | |
| 103 | | A | $C_1 v_1$ | 2096 | 2097,7 | 1,7 | 0,15 | 0,15 | 0,55 | газ | 0,34 | остаточный газ | |
| 103 | | | $C_1 v_1$ | 2101,2 | 2102 | 0,8 | - | - | - | уголь | - | уголь | |
| 103 | | | $C_1 v_1$ | 2102,9 | 2104,1 | 1,2 | - | - | - | уголь | - | уголь | |
| 103 | | | $C_1 v_1$ | 2104,7 | 2105,7 | 1 | - | - | - | уголь | - | уголь | |
| 103 | | | $C_1 v_1$ | 2110,1 | 2110,9 | 0,8 | - | - | - | уголь | - | уголь | |
| 103 | | Б | $C_1 v_1$ | 2112,1 | 2114,3 | 2,2 | 0,16 | 0,13 | 0,55 | газ | 0,17 | обводнен | |
| 103 | | | $C_1 v_1$ | 2121 | 2124,3 | 3,3 | - | - | - | уголь | - | уголь | |
| 104 | 10.01.2019Γ. | A | $C_1 v_1$ | 2067.6 | 2070.0 | 2.4 | 0.09 | 0.1 | 0.42 | газ | 0.52 | остаточно газонасыщенный | |
| 104 | | A | $C_1 v_1$ | 2073.8 | 2074.6 | 0.8 | 0.12 | 0.12 | 0.43 | газ | 0.52 | остаточно газонасыщенный | |
| 104 | | A | $C_1 v_1$ | 2079.4 | 2086.2 | 6.8 | 0.07 | 0.17 | 0.61 | газ | 0.57 | остаточно газонасыщенный | |
| 104 | | A | $C_1 v_1$ | 2086.2 | 2092.6 | 6.4 | 0.07 | 0.17 | 0.61 | газ | 0.53 | остаточно газонасыщенный | |
| 104 | | A | $C_1 v_1$ | 2092.6 | 2099.6 | 7 | 0.07 | 0.17 | 0.61 | газ | 0.47 | остаточно газонасыщенный | |
| 104 | | Б | $C_1 v_1$ | 2105.9 | 2106.6 | 0.7 | 0.29 | 0.15 | 0.63 | газ | 0.33 | остаточно газонасыщенный | |

| Продоля | Тродолжение приложения 34 | | | | | | | | | | | | |
|---------|----------------------------------|---|-----------|--------|--------|-----|------|------|------|------|------|---|--|
| 1 | 2 | 3 | 4 | 5 | 6 | 7 | 8 | 9 | 10 | 11 | 12 | 13 | |
| 104 | | Б | $C_1 v_1$ | 2107.4 | 2108.6 | 1.2 | 0.13 | 0.13 | 0.51 | газ | 0.36 | остаточно газонасыщенный | |
| 104 | | Б | $C_1 v_1$ | 2109.0 | 2113.7 | 4.7 | 0.2 | 0.13 | 0.52 | газ | 0.32 | остаточно газонасыщенный | |
| 104 | | | $C_1 v_1$ | 2155.5 | 2157.8 | 2.3 | 0.29 | 0.16 | 0.33 | вода | 0 | водонасыщенный | |
| 104 | | | $C_1 v_1$ | 2158.0 | 2162.0 | 3.6 | 0.35 | 0.17 | 0.29 | вода | 0 | водонасыщенный | |
| 104 | | | $C_1 v_1$ | 2162.5 | 2169.0 | 6.5 | 0.37 | 0.16 | 0.21 | вода | 0 | водонасыщенный | |
| 105 | 16.01.2019г. | A | $C_1 v_1$ | 2129.6 | 2131.5 | 1.9 | 0.08 | 0.13 | 0.41 | газ | 0.5 | остаточно газонасыщенный | |
| 105 | | A | $C_1 v_1$ | 2140.4 | 2146.7 | 6.3 | 0.1 | 0.16 | 0.49 | газ | 0.54 | остаточно газонасыщенный | |
| 105 | | Б | $C_1 v_1$ | 2165.3 | 2166.3 | 1 | 0.13 | 0.16 | 0.42 | газ | 0.4 | остаточно газонасыщенный | |
| 105 | | Б | $C_1 v_1$ | 2168.0 | 2170.8 | 2.8 | 0.22 | 0.13 | 0.47 | газ | 0.4 | остаточно газонасыщенный | |
| 105 | | Б | $C_1 v_1$ | 2173.5 | 2174.7 | 1.2 | 0.13 | 0.15 | 0.49 | газ | 0.35 | остаточно газонасыщенный | |
| 105 | | Б | $C_1 v_1$ | 2175.1 | 2175.9 | 0.8 | 0.22 | 0.14 | 0.38 | газ | 0.28 | остаточно газонасыщенный | |
| 105 | | | $C_1 v_1$ | 2190.0 | 2195.8 | 5.8 | 0.27 | 0.12 | 0.48 | газ | 0.4 | остаточно газонасыщенный с ГВК на глубине 2193.5 м | |
| 105 | | | $C_1 v_1$ | 2197.0 | 2198.0 | 1 | 0.16 | 0.12 | 0.54 | газ | 0.27 | обводнен | |
| 105 | | | $C_1 v_1$ | 2217.1 | 2218.5 | 1.4 | 0.26 | 0.15 | 0.33 | вода | 0 | водонасыщенный | |
| 105 | | | $C_1 v_1$ | 2219.8 | 2220.6 | 0.8 | 0.43 | 0.21 | 0.35 | вода | 0 | водонасыщенный | |
| 105 | | | $C_1 v_1$ | 2221.9 | 2223.6 | 1.7 | 0.35 | 0.2 | 0.39 | вода | 0 | водонасыщенный | |
| 105 | 17-18.07.2019 | A | $C_1 v_1$ | 2129.6 | 2131.5 | 1.9 | 0.08 | 0.13 | 0.41 | газ | 0.41 | остаточно газонасыщенный | |
| 105 | | A | $C_1 v_1$ | 2140.4 | 2146.7 | 6.3 | 0.1 | 0.16 | 0.55 | газ | 0.5 | остаточно газонасыщенный | |
| 105 | | Б | $C_1 v_1$ | 2165.3 | 2166.3 | 1 | 0.13 | 0.16 | 0.42 | газ | 0.03 | обводнен | |
| 105 | | Б | $C_1 v_1$ | 2168 | 2170.8 | 2.8 | 0.22 | 0.13 | 0.47 | газ | 0.1 | обводнен | |
| 105 | | Б | $C_1 v_1$ | 2173.5 | 2174.7 | 1.2 | 0.13 | 0.15 | 0.49 | газ | 0.1 | обводнен | |
| 105 | | Б | $C_1 v_1$ | 2175.1 | 2175.9 | 0.8 | 0.22 | 0.14 | 0.38 | газ | 0.15 | обводнен | |
| 105 | | | $C_1 v_1$ | 2190 | 2195.8 | 5.8 | 0.27 | 0.12 | 0.48 | газ | 0.15 | обводнен | |
| 105 | | | C1 v1 | 2197 | 2198 | 1 | 0.16 | 0.12 | 0.54 | газ | 0.16 | исследованием не охвачен | |
| 106 | 29-30.06.20г | A | C1 v1 | 2107,4 | 2108,1 | 1,9 | 0,15 | 0,11 | 0,27 | газ | 0,27 | остаточно газонасыщенный | |
| 106 | | A | C1 v1 | 2114,9 | 2117,5 | 6,3 | 0,17 | 0,17 | 0,50 | газ | 0,50 | остаточно газонасыщенный | |
| 106 | | A | C1 v1 | 2118,7 | 2119,3 | 1,0 | 0,09 | 0,14 | 0,40 | газ | 0,36 | остаточно газонасыщенный | |
| 106 | | | C1 v1 | 2122,6 | 2123,3 | 2,8 | 0,02 | 0,16 | 0,48 | газ | 0,37 | остаточно газонасыщенный | |